



REPUBBLICA ITALIANA



UNIONE EUROPEA



REGIONE SICILIANA



COMUNE DI PALAZZO ADRIANO
Città Metropolitana di Palermo

Fondi del Piano di Azione e Coesione (POC 2014/2020) da destinare ai comuni ai sensi del comma 22 dell'art. 7 della L.R. 3/16 e del comma 7 dell'art. 21 della L.R. 8/17 - Linea di intervento 3.1.4.2 (Sviluppo Urbano Sostenibile) PO FESR 2007/2013

PROGETTO PER IL MIGLIORAMENTO DEL PAESAGGIO CULTURALE URBANO DELLE TRE CITTADELLE ATTRAVERSO IL RESTAURO DELLE 24 FONTANE E L'ADEGUAMENTO SISMICO DI UN EDIFICIO COMUNALE DA DESTINARE A CENTRO DI MICRO RACCOLTA DELLE FRAZIONI DIFFERENZIATE DEI RIFIUTI URBANI SPECIALI (.....in sintonia con la convenzione Europea del paesaggio e con la strategia tecnica Europea per l'ambiente urbano)

PROGETTO ESECUTIVO

Art. 23 comma 8 del D.Lgs. 50/2016 e ss.mm.ii.

RELAZIONE DI CALCOLO

Tavola

S-03

SCALA



PARERI:

Comune di Palazzo Adriano

Città Metropolitana di Palermo
Ufficio Tecnico - III Settore - Urbanistico e Ambiente

VISTO il Progetto Esecutivo SI ESPRIME
PARERE TECNICO FAVOREVOLE
ai sensi dell'art. 5, comma 3 della Legge Regionale
n. 12 del 12/07/2011

Palazzo Adriano li,

09 AGO. 2019

Il R.U.P.

Geom. Francesco LA SALA



Comune di Palazzo Adriano

Città Metropolitana di Palermo
Ufficio Tecnico - III Settore - Urbanistico e Ambiente

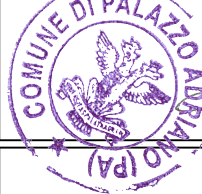
VERIFICA del progetto esecutivo ai sensi dell'art. 26, comma 1
e 6 del D.Lgs n. 50 del 18/04/2016 e s.m.i. e VALIDAZIONE
POSITIVA ai sensi dell'art. 26, comma 8 del D.Lgs n. 50 del
18/04/2016 e s.m.i.

Palazzo Adriano li,

09 AGO. 2019

Il R.U.P.

Geom. Francesco LA SALA



IL SINDACO

Geom. Nicolò GRANA'

Data:

09 AGO. 2019

Aggiornamento:

Variante:

PROGETTAZIONE - UFFICIO TECNICO 3° SETTORE

PROGETTISTA E CSP

Arch. Giovanni SPERANZA



Il R.U.P.

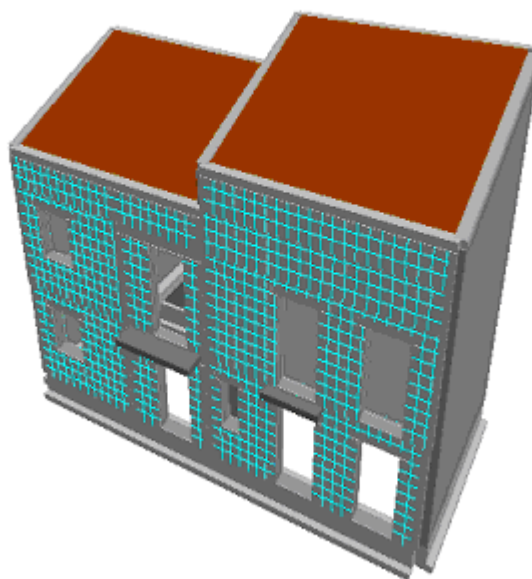
Geom. Francesco LA SALA

Comune : PALAZZO ADRIANO

PROVINCIA : PALERMO

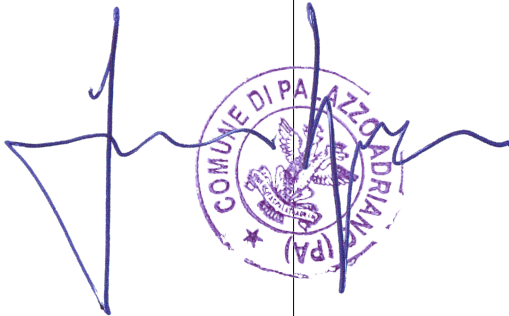
Relazione di calcolo

Ai sensi del D.M. 17/01/2018 "Norme Tecniche per le Costruzioni"



Archivio: Calcoli - Data: 09/08/2019

Oggetto: PROGETTO PER IL MIGLIORAMENTO DEL PAESAGGIO CULTURALE URBANO DELLE TRE CITTADELLE ATTRAVERSO IL RESTAURO DELLE 24 FONTANE E L'ADEGUAMENTO SISMICO DI UN EDIFICIO COMUNALE DA DESTINARE A CENTRO DI MICRO RACCOLTA DELLE FRAZIONI DIFFERENZIATE DEI R.U.S.

Committente:	Progettista:	Progettista Strutturale:	Direttore dei Lavori:
Comune di Palazzo Adriano	Arch Giovanni Speranza	Arch Giovanni Speranza	
			

1 Introduzione

1.1 Premessa

1.1.1 Cenni sulla casa produttrice del software

La relazione seguente riporta i dati relativi ai criteri di progettazione, alla geometria, alla meccanica della struttura descritta al relativo paragrafo, nonché i relativi risultati dei calcoli strutturali così come ricavati dal calcolatore elettronico tramite l'utilizzo del Software "VEM" prodotto e distribuito da Stacec srl con sede in Bovalino (RC), e concesso in licenza al responsabile dei calcoli stessi. "VEM" è un programma sviluppato specificatamente per la progettazione e la verifica di edifici in muratura ordinaria ed armata. "VEM" articola le operazioni di progetto secondo tre fasi distinte:

- 1) il **preprocessore**: fase di Input dove viene definita e modellata interamente la struttura;
- 2) il **solutore**: fase di elaborazione della struttura tramite un solutore agli elementi finiti;
- 3) il **post-processore**: fase di verifica degli elementi, di creazione degli elaborati grafici e della relazione di calcolo.

1.1.2 Descrizione dell'Opera da calcolare

Comune	: PALAZZO ADRIANO
PROVINCIA	: PALERMO
Oggetto	: PROGETTO PER IL MIGLIORAMENTO DEL PAESAGGIO CULTURALE URBANO DELLE TRE CITTADELLE ATTRAVERSO IL RESTAURO DELLE 24 FONTANE E L'ADEGUAMENTO SISMICO DI UN EDIFICIO COMUNALE DA DESTINARE A CENTRO DI MICRO RACCOLTA DELLE FRAZIONI DIFFERENZIATE DEI R.U.S.
Committente	: Comune di Palazzo Adriano
Indirizzo	: Piazza Umberto I, 46
Città	: PALAZZO ADRIANO
PROVINCIA	: PALERMO
Telefono	:
Progettista	: Arch Giovanni Speranza
Indirizzo	: Piazza Umberto I, 46
Città	: PALAZZO ADRIANO
PROVINCIA	: PALERMO
Telefono	:
Progettista Strutturale	: Arch Giovanni Speranza
Indirizzo	: Piazza Umberto I, 46
Città	: PALAZZO ADRIANO
PROVINCIA	: PALERMO
Telefono	:
Direttore dei Lavori	:
Indirizzo	:
Città	:
PROVINCIA	:
Telefono	:
Nome File	: Calcoli

1.2 Riferimenti Legislativi.

Tutte le operazioni illustrate nel proseguo, relative all'analisi della struttura ed alle verifiche sugli elementi sono state effettuate in piena conformità alle seguenti norme:

Circolare Ministero LL.PP. 30/07/1981

D.M. 20/11/1987

D.M. 17/01/2018:

Circolare Ministeriale 21 Gennaio 2019 n. 7:

1.3 Convenzioni, Unità di misura e simboli adottati.

Nei calcoli sono state utilizzate le seguenti unità:

- distanze	: cm
- forze, tagli, e sforzi normali	: daN
- coppie e momenti flettenti	: daNm
- carichi sulle aste	: daN/m
- carichi su superfici	: daN/m ²
- peso specifico	: daN/m ³
- tensioni e resistenze	: daN/m ²
- temperatura	: °C

I simboli adottati hanno il seguente significato:

q	: fattore di comportamento ;
R _{ck}	: Resistenza caratteristica cubica a compressione del calcestruzzo;
f _{ck}	: Resistenza caratteristica cilindrica a compressione del calcestruzzo;
E _c	: Modulo elastico secante del calcestruzzo;
E _{ct}	: Modulo elastico a trazione del calcestruzzo
f _{cd}	: Resistenza di calcolo del calcestruzzo;
f _{ctk,0.05}	: Resistenza caratteristica a trazione;
ν	: Coefficiente di Poisson;
α _t	: Coefficiente di dilatazione termica;
ps	: peso specifico;
f _{yk}	: Resistenza caratteristica di snervamento dell'acciaio;
f _{tk}	: Resistenza caratteristica di rottura dell'acciaio;
f _d	: resistenza di calcolo dell'acciaio;
A	: Superficie della sezione trasversale;
J _x	: Momento di inerzia rispetto all'asse X;
J _y	: Momento di inerzia rispetto all'asse Y;
J _{xy}	: Momento di inerzia centrifugo rispetto agli assi X ed Y;
J _t	: Fattore torsionale;
N	: sforzo normale;
M _T	: Momento Torcente;
M _{XZ}	: Momento Flettente X-Z;
T _{XZ}	: Taglio X-Z;
M _{XY}	: Momento Flettente X-Y;
T _{XY}	: Taglio X-Y;
f	: Frequenza del modo i-esimo;
T	: Periodo del modo i-esimo;
Γ _x	: Fattore di partecipazione del modo i-esimo in direzione x;
Γ _y	: Fattore di partecipazione del modo i-esimo in direzione y;
Γ _z	: Fattore di partecipazione del modo i-esimo in direzione z;
N _{sd}	: Sforzo Normale sollecitante di calcolo;
M _{sdXZ}	: Momento Flettente X-Z sollecitante di calcolo;
M _{sdXY}	: Momento Flettente X-Y sollecitante di calcolo;
M _{ts}	: Momento Torcente sollecitante di calcolo;
V _{sdXZ}	: Taglio X-Z sollecitante di calcolo;
V _{sdXY}	: Taglio X-Y sollecitante di calcolo;

N_{Rd} : Sforzo Normale resistente di calcolo;
 M_{RdXZ} : Momento Flettente X-Z resistente di calcolo;
 M_{RdXY} : Momento Flettente X-Y resistente di calcolo;
 M_{tR} : Momento Torcente resistente di calcolo;
 V_{RdXZ} : Taglio X-Z resistente di calcolo;
 V_{RdXY} : Taglio X-Y resistente di calcolo;
 σ_c : Tensioni del calcestruzzo;
 σ_s : Tensioni delle armature;
 $\sigma_{c,lim}$: Tensioni limite del calcestruzzo;
 $\sigma_{s,lim}$: Tensioni limite dell'acciaio;
 f/l : rapporto freccia/lunghezza;
 f_{lim} : valore limite del rapporto freccia/lunghezza;

2 Descrizione del Modello.

2.1 Modello assunto per il calcolo.

L'analisi numerica della struttura è stata condotta attraverso l'utilizzo del metodo degli elementi finiti ipotizzando un comportamento elastico-lineare.

Il metodo degli elementi finiti consiste nel sostituire il modello continuo della struttura con un modello discreto equivalente e di approssimare la funzione di spostamento con polinomio algebrico, definito in regioni (dette appunto elementi finiti) che sono delle funzioni interpolanti il valore di spostamento definito in punti discreti (detti nodi).

Gli elementi finiti utilizzabili ai fini della corretta modellazione della struttura verranno descritti di seguito.

Il modello di calcolo può essere articolato sulla base dell'ipotesi di impalcato rigido, in funzione della reale presenza di solai continui atti ad irrigidire tutto l'impalcato.

Tale ipotesi viene realizzata attraverso l'introduzione di adeguate relazioni cinematiche tra i gradi di libertà dei nodi costituenti l'impalcato stesso.

Il metodo di calcolo adottato, le combinazioni di carico, e le procedure di verifica saranno descritte di seguito.

Riferimento globale e locale.

La struttura viene definita utilizzando una terna di assi cartesiani formanti un sistema di riferimento levogiro, unico per tutti gli elementi e chiamato "globale". Localmente esiste un'ulteriore sistema di riferimento, detto appunto "locale", utile alla definizione delle caratteristiche di rigidezza dei singoli elementi.

I due sistemi di riferimento sono correlati da una matrice, detta di rotazione.

Modellazione geometrica della struttura.

Il modello geometrico (mesh) della struttura è basato sull'utilizzo dei seguenti elementi:

- Nodi

Si definiscono nodi, entità geometriche determinate tramite le tre coordinate nel riferimento globale.

I nodi, nello spazio tridimensionale, posseggono tre gradi di libertà traslazionali e tre rotazionali.

Essi sono posizionati in modo da definire gli estremi degli elementi finiti e, di regola, in ogni discontinuità strutturale, di carico, di caratteristiche meccaniche, di campo di spostamento.

- Vincoli e Molle

I gradi di libertà possono essere vincolati, bloccando il cinematismo nella direzione voluta o assegnando "molle" applicate ai nodi tramite valori di rigidezza finiti.

Un vincolo assegna a priori un valore di spostamento nullo, e quindi la variabile corrispondente viene eliminata.

- Vincoli interni

Tali vincoli servono a definire le modalità di trasmissione degli sforzi dall'elemento finito ai nodi. Ciò viene associato al concetto di trasferimento della rigidezza.

Generalmente l'elemento considerato è rigidamente connesso ai nodi che lo definiscono, in modo da bloccare tutti i gradi di libertà relativi. E' possibile, comunque "rilasciare" le caratteristiche delle sollecitazioni, in modo da svincolare i gradi di libertà corrispondenti. Nel caso particolare, il modello utilizzato consente di svincolare le tre rotazioni intorno agli assi locali dell'asta.

- Aste

Si tratta di elementi finiti monodimensionali ad asse rettilineo delimitate da due nodi (i nodi di estremità).

Per questi elementi generalmente la funzione interpolante è quella del modello analitico per cui la mesh non influisce sensibilmente sulla convergenza.

Le aste sono dotate di rigidità assiale, flessionale, e a taglio, secondo il modello classico della trave inflessa di Eulero-Bernoulli.

Alla singola asta è possibile associare una sezione costante per tutta la sua lunghezza.

- Asta su suolo elastico

Si tratta di elementi finiti monodimensionali ad asse rettilineo, di definizione simile alle aste. Sono utili a modellare travi di fondazione, considerate poggianti su suolo alla Winkler, e reagenti sia rispetto alle componenti traslazionali di cinematisimo, sia rotazionali.

- Lastra-Piastra

Si tratta di elementi finiti bidimensionali, definiti da tre o quattro nodi, posti ai vertici rispettivamente di un triangolo o di un quadrilatero irregolare. La geometria reale dell'elemento viene ricondotta ad un triangolo rettangolo (elemento a tre nodi) o ad un quadrato definito nella trattazione isoparametrica.

L'elemento lastra-piastra non ha rigidità per la rotazione intorno all'asse perpendicolare al suo piano e viene trattato secondo la teoria di Mindlin-Reissner. Nel modello considerato si tiene conto dell'accoppiamento tra azioni flessionali e membranali.

- Forze e coppie concentrate

Per la risoluzione statica della struttura, tutti i carichi applicati agli elementi vengono trasferiti ai nodi. Ciò avviene in automatico per il peso delle aste, delle piastre, delle pareti, dei pannelli di carico presenti sulle aste e per la distribuzione di carico applicate

agli elementi bidimensionali.

Il modello di calcolo consente anche l'introduzione di forze e coppie ai nodi.

Le forze sono dirette lungo le tre direzioni del sistema di riferimento globale ed in entrambi i versi per ogni direzione.

Le coppie concentrate sono riferite ai tre assi del riferimento globale, in entrambi i versi di rotazione di ciascun asse.

- Pannelli di carico

Il pannello di carico è un concetto legato alla reale distribuzione di carichi gravanti sulle aste. Ne fanno parte: solai, balconi, scale.

Da tali pannelli, di forma irregolare come definiti dalla geometria dell'input, si passa alla quantificazione dei carichi trapezoidali ripartiti sulle aste. Per meglio simulare l'effetto dei pannelli, vengono generati in modo automatico anche dei carichi ripartiti torcenti, anch'essi di forma trapezia, relativi ai carichi distribuiti equivalenti al pannello.

- Sezioni

Le sezioni assegnabili alle aste sono definite attraverso le caratteristiche geometrico-elastiche, i moduli di resistenza plastici (sezioni in acciaio) ed il materiale.

Materiali.

I materiali, ai fini del calcolo delle sollecitazioni, sono considerati omogenei ed isotropi e sono definiti dalle seguenti caratteristiche: peso per unità di volume, modulo elastico, coefficiente di Poisson, coefficiente di dilatazione, e tutte le caratteristiche meccaniche, riepilogate in seguito, utili alle verifiche strutturali dettate dalla normativa.

Matrici di calcolo della struttura.

Dalla discretizzazione geometrica della struttura vengono definite le matrici utili a studiare il comportamento globale della struttura in esame.

- Matrice di rigidità

Tale matrice viene costruita partendo dalla matrice di rigidità espressa nel sistema di riferimento locale dell'elemento considerato. Attraverso un'operazione di trasformazione, mediante la matrice di rotazione, viene riferita al sistema di riferimento globale. L'ultima operazione consiste nell'"assemblaggio" delle singole matrici di ogni elemento, in modo da formare un'unica matrice relativa all'intera struttura.

- Matrice delle masse

La generazione della matrice globale è del tutto analoga a quella sopra descritta per la matrice di rigidità. La matrice delle masse è di tipo "consistente" e considera l'effettiva distribuzione delle masse della struttura. Come definito dalla normativa, alle masse relative ai carichi permanenti, viene aggiunta un'aliquota delle masse equivalenti ai carichi d'esercizio.

2.2 Tipo di calcolo. (ANALISI STATICA NON LINEARE)

Il calcolo risolutivo della struttura è stato effettuato utilizzando un sistema di equazioni lineari (di dimensioni pari ai gradi di libertà), secondo la relazione:

$$\underline{u} = [\underline{K}]^{-1} \underline{F}$$

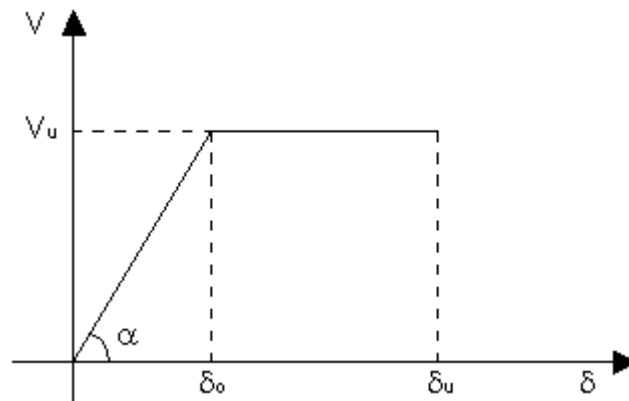
dove: \underline{F} = vettore dei carichi risultanti applicate ai nodi;
 \underline{u} = vettore dei cinematismi nodali;
 $[\underline{K}]$ = matrice di rigidezza globale.

Tale analisi è stata ripetuta per tutte le condizioni presenti sulla struttura, identificati dai vettori dei carichi relativi a:

- carichi permanenti;
- carichi d'esercizio;
- delta termico;

Il calcolo consiste nell'incrementare i carichi sismici fino a quando la struttura raggiunge il collasso.

La struttura viene schematizzata a telaio equivalente, costituita da elementi maschi, elementi fasce e nodi rigidi. Il maschio ha un comportamento elastico perfettamente plastico definito dal taglio ultimo (V_u), dalla rigidezza (k), dallo spostamento elastico (δ_0) e dallo spostamento ultimo (δ_u)



Il calcolo del taglio ultimo si ottiene in accordo ai punti 7.8.2.2.1 e 7.8.2.2.2 del N.T.C. (vedi paragrafo "Pressoflessione e Taglio nel piano" della presente relazione). La rigidezza k si ottiene in funzione dei collegamenti vincolari agli estremi degli elementi. Nel caso di incastro – incastro vale:

$$k = 1 / [h^3 / (12EI) + 1.2h/(GA)]$$

dove:

h è l'altezza dell'elemento

E è il modulo elastico normale

G è il modulo elastico tangenziale

I è il momento d'inerzia della sezione trasversale rispetto all'asse baricentrico ortogonale al piano dell'elemento

A è l'area della sezione trasversale

Lo spostamento elastico si ottiene dal rapporto tra il taglio ultimo e la rigidezza, mentre lo spostamento ultimo dipende dal tipo di rottura dell'elemento. Per normativa deve essere pari a 0.8% l'altezza della parete se la rottura avviene per flessione (punto 7.8.2.2.1 delle N.T.C.) e 0.4% l'altezza della parete se la rottura avviene per taglio (punto 7.8.2.2.2 delle N.T.C.).

Per la resistenza delle fasce si veda il paragrafo "Pressoflessione e Taglio nel piano" della presente relazione.

In fase elastica ogni elemento si considera incastrato agli estremi. Raggiunto il limite elastico cambia la configurazione di vincolo dell'elemento (si declassa in una biella compressa capace di trasmettere solo carichi verticali).

Il risultato consiste in un diagramma ("curva di capacità") dove in ascissa viene riportato lo spostamento di un punto di controllo (baricentro delle masse dell'ultimo piano) e in ordinata la forza totale orizzontale applicata alla struttura. Dalla curva di capacità è possibile ricavare la "capacità di spostamento" della struttura.

La verifica globale della struttura si considera soddisfatta se la capacità di spostamento è maggiore della "domanda di spostamento".

$$d_{\max}^* = S_{De}(T^*) \quad \text{per } T^* \geq T_C$$

$$d_{\max}^* = ((S_{De}(T^*)) / q^*) \cdot [1 + (q^* - 1) \cdot T_C / T^*] \quad \text{per } T^* < T_C$$

dove:

d_{\max}^*	è la domanda di spostamento.
$T^* = 2\pi\sqrt{m^* / k^*}$	è il periodo del sistema equivalente ad un grado di libertà.
T_C	riportato nella tabella 3.2.VI del punto 3.2.3.2.2 del D.M. 17/01/2018.
$m^* = \sum m_i \Phi_i$	è la massa partecipante del sistema equivalente.
k^*	è la rigidezza secante del sistema equivalente ad un grado di libertà.
$q^* = S_e(T^*)m^* / F_y^*$	è il rapporto tra la forza di risposta elastica e la forza di snervamento del sistema equivalente.
$S_{De}(T^*)$	è il valore dello spettro di risposta elastico degli spostamenti in corrispondenza del periodo T^* .
$S_e(T^*)$	è il valore dello spettro di risposta elastico delle accelerazioni in corrispondenza del periodo T^* .
m_i	è la massa di ogni impalcato della struttura.
Φ_i	è il vettore che rappresenta il primo modo di vibrare della struttura.
F_y^*	è la forza di snervamento del sistema equivalente.

Il calcolo viene eseguito separatamente nelle due direzioni principali della struttura considerando due distribuzioni di forze applicate al baricentro delle masse di ogni impalcato: una di forze proporzionali alle masse (la prima del Gruppo 2 del punto 7.3.4.2 del D.M. 17/01/2018) ed una di forze proporzionali all'altezza degli impalcati (la prima del Gruppo 1 del punto 7.3.4.2 del DM 17/01/2018).

Nel primo caso le forze sono computate secondo le seguenti formule:

$$F_{lh} = F_H W_I / (\sum W_I);$$

$$F_H = S_d(T_I) W_{tot} \lambda$$

Nel secondo caso le forze sono computate secondo le seguenti formule:

$$F_{lh} = F_H (W_I z_I) / (\sum W_I z_I);$$

dove:

z_I	quota dell'impalcato
$S_d(T_I)$	ordinata spettro di risposta;
λ	= 0.85 ($N_{piani} \geq 3 - T_I \leq 2 T_C$) oppure 1.00 (in tutti gli altri casi);
W_I	= ($G_K + \sum_i \Psi_{Ei} Q_{iK}$);

2.3 Condizioni di carico valutate

Combinazioni di carico per elementi soggetti a sisma.

Comb.	Condizione			
	Carichi permanenti (Gk1)	Carichi d'esercizio (Qk)	Sisma	Incremento forze proporzionale
1	$\gamma G1s$	$\Psi 2$	Sisma X(+); Ecc(+)	Masse
2	$\gamma G1s$	$\Psi 2$	Sisma X(+); Ecc(-)	Masse
3	$\gamma G1s$	$\Psi 2$	Sisma X(-); Ecc(+)	Masse
4	$\gamma G1s$	$\Psi 2$	Sisma X(-); Ecc(-)	Masse
5	$\gamma G1s$	$\Psi 2$	Sisma X(+); Ecc(+)	Altezze
6	$\gamma G1s$	$\Psi 2$	Sisma X(+); Ecc(-)	Altezze
7	$\gamma G1s$	$\Psi 2$	Sisma X(-); Ecc(+)	Altezze
8	$\gamma G1s$	$\Psi 2$	Sisma X(-); Ecc(-)	Altezze
9	$\gamma G1s$	$\Psi 2$	Sisma Y(+); Ecc(+)	Masse
10	$\gamma G1s$	$\Psi 2$	Sisma Y(+); Ecc(-)	Masse
11	$\gamma G1s$	$\Psi 2$	Sisma Y(-); Ecc(+)	Masse
12	$\gamma G1s$	$\Psi 2$	Sisma Y(-); Ecc(-)	Masse
13	$\gamma G1s$	$\Psi 2$	Sisma Y(+); Ecc(+)	Altezze
14	$\gamma G1s$	$\Psi 2$	Sisma Y(+); Ecc(-)	Altezze
15	$\gamma G1s$	$\Psi 2$	Sisma Y(-); Ecc(+)	Altezze

16	$\gamma G1s$	$\Psi2$	Sisma Y(-); Ecc(-)	Altezze
17	$\gamma G1s$	$\Psi2$	Sisma Y(-); Ecc(-)	Altezze
18	$\gamma G1s$	$\Psi2$	Sisma Y(-); Ecc(-)	Altezze
19	$\gamma G1s$	$\Psi2$	Sisma Y(-); Ecc(-)	Altezze
20	$\gamma G1s$	$\Psi2$	Sisma Y(-); Ecc(-)	Altezze
21	$\gamma G1s$	$\Psi2$	Sisma Y(-); Ecc(-)	Altezze
22	$\gamma G1s$	$\Psi2$	Sisma Y(-); Ecc(-)	Altezze
23	$\gamma G1s$	$\Psi2$	Sisma Y(-); Ecc(-)	Altezze
24	$\gamma G1s$	$\Psi2$	Sisma Y(-); Ecc(-)	Altezze
25	$\gamma G1s$	$\Psi2$	Sisma Y(-); Ecc(-)	Altezze
26	$\gamma G1s$	$\Psi2$	Sisma Y(-); Ecc(-)	Altezze
27	$\gamma G1s$	$\Psi2$	Sisma Y(-); Ecc(-)	Altezze
28	$\gamma G1s$	$\Psi2$	Sisma Y(-); Ecc(-)	Altezze
29	$\gamma G1s$	$\Psi2$	Sisma Y(-); Ecc(-)	Altezze
30	$\gamma G1s$	$\Psi2$	Sisma Y(-); Ecc(-)	Altezze
31	$\gamma G1s$	$\Psi2$	Sisma Y(-); Ecc(-)	Altezze
32	$\gamma G1s$	$\Psi2$	Sisma Y(-); Ecc(-)	Altezze

I coefficienti utilizzati assumono i seguenti valori:

ELEMENTO	$\gamma G1s$	$\gamma G2s$
Struttura	1.0	1.0

Coefficienti di combinazione.

Impalcato	Destinazione	Altre azioni			Delta termico		
		$\Psi0i$	$\Psi1i$	$\Psi2i$	$\Psi0i$	$\Psi1i$	$\Psi2i$
Fondazioni	B-Ufficio	0.7	0.5	0.3	0.6	0.5	0.0
Primo piano	B-Ufficio	0.7	0.5	0.3	0.6	0.5	0.0
Sottotetto	E-Magazzino	1.0	0.9	0.8	0.6	0.5	0.0
Copertura quota inf.	H-Copertura	0.0	0.0	0.0	0.6	0.5	0.0
Copertura quota sup.	H-Copertura	0.0	0.0	0.0	0.6	0.5	0.0

Combinazioni per le verifiche allo Stato limite di esercizio

Le azioni di calcolo presenti sulla struttura e le relative combinazioni di carico nei riguardi degli stati limite di esercizio possono essere riassunte nelle seguenti tabelle:

Combinazioni Rare:

Elementi della Struttura				
Comb.	Condizione			
	C. perm.(Gk1)	C. p. non str.(Gk2)	C. ese.(Qk)	Delta T(DT)
1	γGns	$\gamma G2ns$	γQns	$\Psi0\gamma Qns$
2	γGns	$\gamma G2ns$	γQns	$-\Psi0\gamma Qns$
3	γGns	$\gamma G2ns$	$\Psi0\gamma Qns$	γQns
4	γGns	$\gamma G2ns$	$\Psi0\gamma Qns$	$-\gamma Qns$

Combinazioni Frequenti:

Elementi della Struttura				
Comb.	Condizione			
	C. perm.(Gk1)	C. p. non str.(Gk2)	C. ese.(Qk)	Delta T(DT)
1	γGns	$\gamma G2ns$	$\Psi1\gamma Qns$	$\Psi2\gamma Qns$
2	γGns	$\gamma G2ns$	$\Psi1\gamma Qns$	$-\Psi2\gamma Qns$
3	γGns	$\gamma G2ns$	$\Psi2\gamma Qns$	$\Psi1\gamma Qns$
4	γGns	$\gamma G2ns$	$\Psi2\gamma Qns$	$-\Psi1\gamma Qns$

Combinazioni quasi permanenti :

Elementi della Struttura

Comb.	Condizione			
	C. perm.(Gk1)	C. p. non str.(Gk2)	C. ese.(Qk)	Delta T(DT)
1	γ_{Gns}	γ_{G2ns}	$\Psi 2 \gamma_{Qns}$	$\Psi 2 \gamma_{Qns}$
2	γ_{Gns}	γ_{G2ns}	$\Psi 2 \gamma_{Qns}$	$-\Psi 2 \gamma_{Qns}$

I coefficienti utilizzati assumono i seguenti valori:

ELEMENTO	SLE														
	Rare					Frequenti					Q. Permanenti				
	γ_{Gns}	γ_{Qns}	γ_I	γ_{EG}	γ_{EQ}	γ_{Gns}	γ_{Qns}	γ_I	γ_{EG}	γ_{EQ}	γ_{Gns}	γ_{Qns}	γ_I	γ_{EG}	γ_{EQ}
Struttura	1.0	1.0	1.0	1.0	1.0	1.0	1.0	1.0	1.0	1.0	1.0	1.0	1.0	1.0	1.0

Tali combinazioni vengono considerate sovrapponendo i diagrammi secondo la tecnica dell'involuppo.

Combinazioni per le verifiche allo Stato Limite di Salvaguardia della Vita

Le azioni di calcolo presenti sulla struttura e le relative combinazioni di carico nei riguardi degli stati limite di salvaguardia della vita essere riassunte nelle seguenti tabelle:

Elementi della Struttura									
Comb.	Condizione								
	C. perm.(Gk1)	C. p. non str.(Gk2)	C. ese.(Qk)	Delta T(DT)	Tors. acc. X(Mx)	Tors. acc. Y(My)	Sisma X	Sisma Y	Sisma Z
1*	γ_{Gns}	γ_{G2ns}	γ_{Qns}	0	0	0	0	0	0
2*	γ_{Gns}	γ_{G2ns}	γ_{Qns}	$\Psi 0 \gamma_{Qns}$	0	0	0	0	0
3*	γ_{Gns}	γ_{G2ns}	γ_{Qns}	$-\Psi 0 \gamma_{Qns}$	0	0	0	0	0
4*	γ_{Gns}	γ_{G2ns}	$\Psi 0 \gamma_{Qns}$	γ_{Qns}	0	0	0	0	0
5*	γ_{Gns}	γ_{G2ns}	$\Psi 0 \gamma_{Qns}$	$-\gamma_{Qns}$	0	0	0	0	0

*Combinazione fondamentale (par. 2.5.3, formula 2.5.1)

Elementi di fondazione A1									
Comb.	Condizione								
	C. perm.(Gk1)	C. p. non str.(Gk2)	C. ese.(Qk)	Delta T(DT)	Tors. acc. X(Mx)	Tors. acc. Y(My)	Sisma X	Sisma Y	Sisma Z
1*	γ_{Gns}	γ_{G2ns}	γ_{Qns}	0	0	0	0	0	0
2*	γ_{Gns}	γ_{G2ns}	γ_{Qns}	$\Psi 0 \gamma_{Qns}$	0	0	0	0	0
3*	γ_{Gns}	γ_{G2ns}	γ_{Qns}	$-\Psi 0 \gamma_{Qns}$	0	0	0	0	0
4*	γ_{Gns}	γ_{G2ns}	$\Psi 0 \gamma_{Qns}$	γ_{Qns}	0	0	0	0	0
5*	γ_{Gns}	γ_{G2ns}	$\Psi 0 \gamma_{Qns}$	$-\gamma_{Qns}$	0	0	0	0	0

*Combinazione fondamentale (par. 2.5.3, formula 2.5.1)

I coefficienti utilizzati assumono i seguenti valori:

ELEMENTO	SLV					
	γ_{G1ns}	γ_{G2ns}	γ_{Qns}	γ_{G1s}	γ_{G2s}	γ_{Qs}
ELEMENTO	1.3	1.5	1.5	1.0	1.0	1.0
ELEMENTO	1.3	1.5	1.5	1.0	1.0	1.0
Fondazione A1	1.3	1.5	1.5	1.0	1.0	1.0

2.4 Procedura di Verifica degli elementi.

2.4.1 Elementi in C.A. .

Le Verifiche relative alle strutture in C.A. si possono riassumere, in funzione degli elementi considerati, nei seguenti tipi:

- Architravi

Tali elementi vengono verificati utilizzando lo stato sollecitante completo nei riguardi di:

- Pressoflessione
- Taglio

- Travi di fondazione

Tali elementi vengono verificati utilizzando lo stato sollecitante completo nei riguardi di:

- PressoTensoFlessione
- Taglio
- Torsione
- Stato tensionale
- Fessurazione

Le singole verifiche vengono descritte qui di seguito:

- PressoTensoFlessione

Le sollecitazioni che vengono considerate in tale verifica sono: Momento Flettente.

La verifica di resistenza è soddisfatta se la sollecitazione determinata dalla condizione considerata cade all'interno del dominio di sicurezza determinato, attraverso la conoscenza:

- del comportamento meccanico della sezione in esame;
- delle caratteristiche dei materiali di cui è composta;
- dei coefficienti di sicurezza forniti dalla normativa seguita.

Il calcolo è condotto nelle ipotesi che:

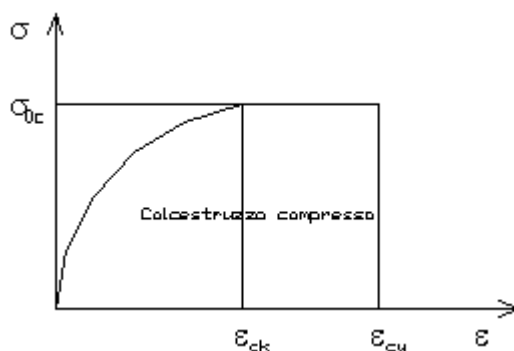
1. Le sezioni rimangano piane fino a rottura.
2. Ci sia perfetta aderenza fra acciaio e calcestruzzo.
3. La deformazione massima del calcestruzzo compresso è pari a 0.0035 nel caso di flessione semplice e composta

con

asse neutro reale mentre è pari a 0.002 nel caso di compressione semplice.

4. La deformazione massima per l'acciaio teso sia pari a 0.01.
5. Il calcestruzzo non abbia alcuna capacità di resistenza a trazione.

Il diagramma tensioni-deformazioni assunto per il calcestruzzo è di tipo parabola-rettangolo come indicato nella seguente figura:



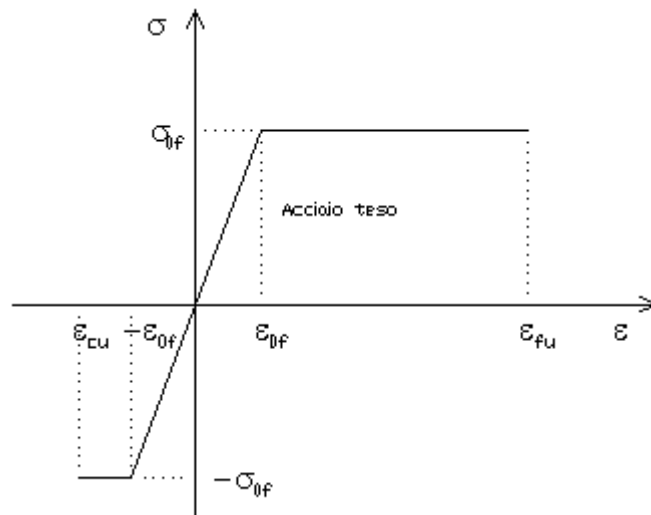
dove: $\epsilon_{ck} = 0.002$;
 $\epsilon_{cu} = 0.0035$;
 $\sigma_{0c} = 0.85 \cdot 0.83 \cdot R_{ck} / \gamma_c$;
 R_{ck} = resistenza caratteristica del calcestruzzo;
 γ_c = coefficiente di materiale del calcestruzzo (1.6);

Le equazioni che descrivono il diagramma sono:

$$\epsilon < \epsilon_{ck} : \sigma(\epsilon) = 1000 \cdot \sigma_{0c} \cdot \epsilon \cdot (1 - 250 \cdot \epsilon);$$

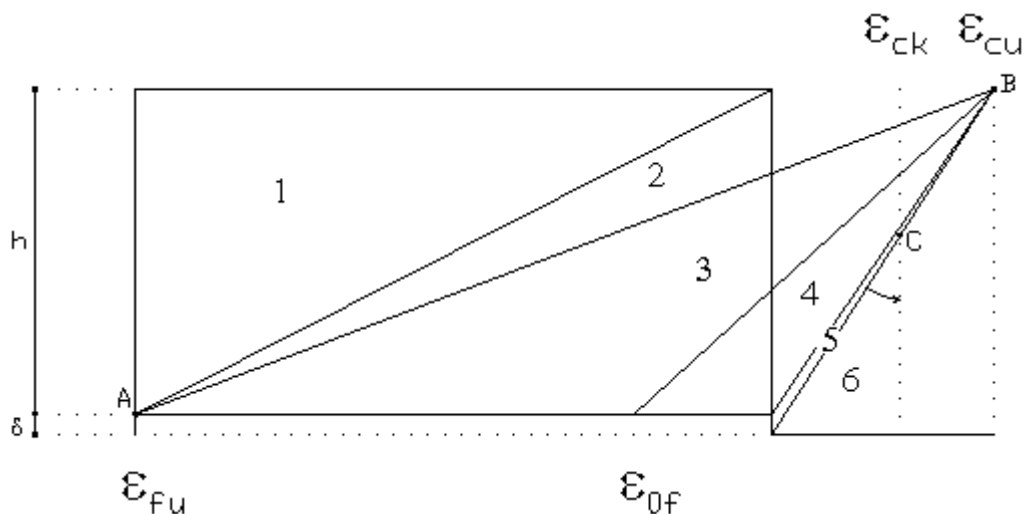
$$\epsilon_{ck} < \epsilon < \epsilon_{cu} : s(\sigma) = \sigma_{0c};$$

Il diagramma tensioni-deformazioni assunto per l'acciaio è indicato nella seguente figura:



dove: $\varepsilon_{0f} = \sigma_{0f} / E$;
 E = Modulo di elasticità dell'acciaio;
 $\sigma_{0f} = f_{ck} / \gamma_f$;
 f_{yk} = Resistenza caratteristica dell'acciaio
 $\gamma_f = 1.15$;
 $\varepsilon_{fu} = 0.01$;
 $\varepsilon_{cu} = 0.0035$;

Le limitazioni delle deformazioni unitarie per il conglomerato e per l'acciaio conducono a definire sei diversi campi (o regioni) nei quali potrà trovarsi la retta di deformazione specifica.



Campo 1 : è caratterizzato dall'allungamento massimo tollerabile per l'acciaio pari a ε_{fu} . Il diagramma delle deformazioni specifiche appartiene ad un fascio di rette passanti per il punto (A) mentre la distanza dall'asse neutro potrà variare da $-\infty$ a 0. E' il caso di trazione semplice o con piccola eccentricità; la sezione risulta interamente tesa. La crisi si ha per cedimento dell'acciaio teso.

Campo 2 : è caratterizzato dall'allungamento massimo tollerabile per l'acciaio pari a ε_{fu} e dalla rotazione del diagramma attorno al punto (A). La deformazione specifica del calcestruzzo varia da 0 al valore massimo del calcestruzzo compresso (ε_{cu}) mentre la distanza dell'asse neutro dal lembo compresso può variare da 0 a $0.259h$. La sezione risulterà in parte tesa ed in parte compressa e quindi sarà sollecitata a flessione semplice o composta.

Campo 3 : è caratterizzato dall'accorciamento massimo del conglomerato pari a ε_{cu} . Le rette di deformazione appartengono ad un fascio passante per (B). La massima tensione del calcestruzzo in questa regione è pari a quella di rottura di calcolo mentre l'armatura è ancora deformata in campo plastico. La sezione risulterà in parte tesa ed in parte compressa e quindi sarà sollecitata a flessione semplice o composta.

Campo 4 : è caratterizzato dall'accorciamento massimo del conglomerato pari a ε_{cu} . Le rette di deformazione appartengono ad un fascio passante per (B). La massima tensione del calcestruzzo in questa regione è pari a quella di rottura di calcolo mentre l'armatura è sollecitata con tensioni inferiori allo snervamento e può risultare anche scarica. La sezione risulterà in parte tesa ed in parte compressa e quindi sarà sollecitata a flessione semplice o composta.

Campo 5 : è caratterizzato dall'accorciamento massimo del conglomerato pari a ε_{cu} . Le rette di deformazione appartengono ad un fascio passante per (B) mentre la distanza dell'asse neutro varia da h ad $h+d$. L'armatura in tale regione è sollecitata a compressione e pertanto tutta la sezione è compressa; è questo il caso della flessione composta.

Campo 6 : è caratterizzato dall'accorciamento massimo del conglomerato compresso che varia fra ε_{cu} e ε_{ck} . Le rette di deformazione specifica appartengono ad un fascio passante per (C) e la distanza dell'asse neutro varia fra 0 e $-\infty$. La distanza di (C) dal lembo superiore vale $3h/7$. La sezione risulta sollecitata a compressione semplice o composta.

- Nel caso di sola flessione i campi possibili sono 4, 5 e 6.

- Taglio

Il calcolo del taglio degli elementi monodimensionali viene svolto secondo il metodo di Ritter-Morsch
Per gli elementi in cui è richiesta la verifica a taglio, e cioè quando:

$$V_{Sd} \leq V_{Rd1}$$

dove:

V_{Sd} : taglio sollecitante il calcolo;

$V_{Rd1} = [\tau_{Rd} k (1.2 + 40 \rho_1) + 0.15 \sigma_{cp}] b_w h$;

τ_{Rd} : resistenza unitaria a taglio di calcolo $(0.25 f_{ctk0.05}) / \gamma_c$;

$k = 1$;

$\rho_1 = A_{s1} / (b_w h) \leq 0.02$;

A_{s1} : area delle armature di trazione;

b_w : larghezza minima della sezione lungo l'altezza efficace;

$\sigma_{cp} = N_{Sd} / A_c$;

N_{Sd} : forza longitudinale nella sezione dovuta ai carichi o alla precompressione;

h : altezza utile della sezione;

In tale condizione bisogna inserire una quantità di armatura a taglio tale che:

$$V_{Sd} \leq V_{Rd3}$$

dove:

$V_{Rd3} = V_{cd} + V_{wd}$;

V_{cd} : contributo del calcestruzzo ed è uguale a V_{Rd1} ;

V_{wd} : contributo delle armature a taglio $(A_{sw} / s) 0.9 h f_{ywd} (1 + \cot \alpha) \sin \alpha$;

A_{sw} : area della sezione trasversale dell'armatura a taglio;

s : passo delle staffe;

f_{ywd} : snervamento di calcolo delle armature a taglio;

α : angolo di inclinazione delle armature a taglio rispetto all'orizzontale;

- Torsione

Il calcolo a torsione degli elementi monodimensionali viene svolto secondo il metodo di Ritter-Morsch (traliccio tridimensionale).

Come previsto dalle suddette norme, la resistenza a torsione della sezione è calcolata sulla base di una sezione chiusa a pareti sottili. Le sezioni piene sono sostituite da sezioni equivalenti a pareti sottili. Le sezioni di forma complessa, come quella a "T", sono suddivise in una serie di sottosezioni, ciascuna delle quali modellata come sezione equivalente a parete sottile. La resistenza totale della sezione si ottiene sommando i contributi delle singole sottosezioni.

L'armatura a torsione è costituita da staffe chiuse combinate con una serie di barre longitudinali uniformemente distribuite su tutto il perimetro della sezione.

Le barre longitudinali sono sempre disposte sugli angoli della sezione.

Il momento torcente di calcolo deve soddisfare le seguenti condizioni:

$$T_{Sd} \leq T_{Rd1}$$

$$T_{Sd} \leq T_{Rd2}$$

dove:

T_{Sd} : Momento Torcente sollecitante di calcolo;

$T_{Rd1} = 2 v f_{cd} t A_k / (\cot\theta + \tan\theta)$;

$T_{Rd2} = 2 A_k (f_{ywd} A_{sw} / s) \cot\theta$;

$v = 0.7 (0.7 - f_{ck} / 200) \geq 0.35$;

f_{ck} : resistenza cilindrica caratteristica del calcestruzzo;

f_{cd} : resistenza cilindrica di calcolo del calcestruzzo;

t : spessore equivalente della parete calcolato come A / u . Tale valore deve essere non minore di due volte il copriferro;

A : area totale della sezione racchiusa nel perimetro esterno, comprese le aree delle cavità interne;

A_k : area compresa all'interno della linea media della sezione trasversale a pareti sottili, comprese le cavità interne;

u : perimetro esterno;

θ : angolo tra le bielle di calcestruzzo e l'asse longitudinale della trave;

f_{ywd} : tensione di snervamento di calcolo delle staffe;

A_{sw} : area della sezione trasversale delle barre usate come staffe;

s : passo delle staffe;

L'area aggiuntiva di acciaio longitudinale per torsione è data dalla seguente equazione:

$$A_{s1} f_{y1d} = (T_{Rd2} u_k / 2A_k) \cot\theta$$

dove:

A_{s1} : area aggiuntiva di acciaio longitudinale richiesta per la torsione;

f_{y1d} : tensione di snervamento di calcolo dell'armatura longitudinale A_{s1} ;

u_k : perimetro dell'area A_k .

- Stato tensionale

Tale verifica rientra nell'ambito della verifica di esercizio contemplata nell'EC2. Il calcolo delle tensioni si ottiene sfruttando le ipotesi tradizionali per il calcolo del cemento armato ordinario, e cioè:

1. assunzione dei materiali elastico lineari;
2. conservazione delle sezioni piane al crescere dei carichi;
3. perfetta aderenza tra acciaio e calcestruzzo;
4. resistenza nulla a trazione del calcestruzzo;

Inoltre può essere stabilito un coefficiente di omogeneizzazione diverso dal valore ordinario.

Le tensioni di esercizio si possono calcolare considerando le combinazioni di carico frequente e quasi permanente.

La verifica consiste nel confrontare le tensioni di calcolo con quelle limite dei materiali.

- Fessurazione

Poiché la fessurazione in strutture in cemento armato ordinario è quasi inevitabile, bisogna limitare tali entità in modo da non pregiudicare il corretto funzionamento della struttura.

La fessurazione può essere limitata assicurando un minimo di area di armatura longitudinale che può essere calcolata dalla seguente espressione:

$$A_s = k_c k f_{ct,eff} (A_{ct} / \sigma_s)$$

dove:

A_s : area di armatura nella zona tesa;

k_c : coefficiente che tiene conto del tipo di distribuzione delle tensioni nella sezione subito prima la fessurazione. Assume pari a 0.4 per flessione senza compressione assiale, e 1 per trazione;
 k : coefficiente che tiene conto degli effetti di tensioni auto-equilibrate non uniformi;
 $f_{ct,eff}$: resistenza efficace a trazione della sezione al momento in cui si suppone insorgano le prime fessure. In mancanza di dati si utilizza il valore di 3 N/mm²;
 A_{ct} : area del calcestruzzo in zona tesa subito prima della fessurazione;
 σ_s : massima tensione ammessa nell'armatura subito dopo la formazione della fessura.

Il calcolo delle ampiezze delle fessure si effettua considerando anche la parte di calcestruzzo reagente a trazione utilizzando la seguente espressione:

$$W_k = \beta s_{rm} \epsilon_{sm}$$

W_k : ampiezza di calcolo delle fessure;
 β : coefficiente di correlazione tra l'ampiezza media delle fessure e il valore di calcolo;
 s_{rm} : distanza media finale tra le fessure;
 ϵ_{sm} : deformazione che tiene conto, nella combinazione di carico considerata, degli effetti "tension stiffening", del ritiro, ecc.;

La quantità ϵ_{sm} si ottiene dalla seguente espressione:

$$\epsilon_{sm} = (\sigma_s / E_s) [1 - \beta_1 \beta_2 (\sigma_{sr} / \sigma_s)^2]$$

σ_s : tensione dell'acciaio teso calcolata a sezione fessurata;
 E_s : modulo elastico dell'acciaio;
 σ_{sr} : tensione dell'acciaio teso calcolata nella sezione per una condizione di carico che induce alla prima fessurazione;
 β_1 : coefficiente di aderenza delle barre. Assume valore 0.5 per barre lisce e 1 per barre ad aderenza migliorata;
 β_2 : coefficiente di durata dei carichi. Assume valore 0.5 per carichi di lunga durata o per molti cicli ripetuti e 1 per un singolo carico di breve durata.

La quantità s_{rm} si ottiene dalla seguente espressione:

$$s_{rm} = 50 + 0.25 k_1 k_2 (\phi / \rho_t)$$

dove:

k_1 : coefficiente di aderenza delle barre. Assume valore 1.6 per barre lisce e 0.8 per barre ad aderenza migliorata;
 k_2 : coefficiente che tiene conto della forma del diagramma delle deformazioni. Assume valore 0.5 per flessione e 1 per trazione pura;
 ϕ : diametro delle barre in mm. Se si utilizzano più diametri si utilizza il diametro medio.

La fessurazione causata dalle azioni tangenziali si considera contenuta in limiti accettabili se si adotta un passo delle staffe come indicato nel prospetto 4.13 dell'EC2.

Tale verifica non è necessaria in elementi in cui non è richiesta l'armatura a taglio.

2.4.2 Elementi in Muratura.

Le verifiche relative agli elementi strutturali in muratura possono essere riassunte nei seguenti tipi:

- Pressoflessione nel piano;
- Taglio per scorrimento nel piano;
- Verifica locale agli appoggi per carichi verticali;
- Pressoflessione fuori piano;

Pressoflessione e Taglio nel piano dei maschi murari.

La resistenza degli elementi murari (analisi statica non lineare) è data dalla resistenza a pressoflessione e taglio nel piano in accordo con i punti 7.8.2.2.1 e 7.8.2.2.2 delle N.T.C.

Un elemento murario raggiunge lo stato di crisi quando si raggiunge la resistenza ultima a pressoflessione o a taglio.

$M_u = l^2 \cdot t \cdot \sigma_0 / 2 \cdot (1 - \sigma_0 / 0.85 \cdot f_d)$: momento corrispondente al collasso per pressoflessione;

dove:

l : lunghezza complessiva della parete;

t : spessore della parete;

$\sigma_0 = P / l \cdot t$: tensione normale media agente su tutta la sezione con forza assiale positiva di compressione;

f_d : resistenza di calcolo della muratura.

$M_u = 0$ se P è di trazione

$V_t = (l' \cdot t \cdot f_{vk}) / \gamma_m$: taglio resistente del pannello murario;

l' : lunghezza della parte di parete compressa;

t : spessore della parete;

$f_{vk} = f_{vk0} + 0.40 \cdot \sigma_N$

$\sigma_N = P / (l' \cdot t)$: tensione normale media sulla parte compressa.

Pressoflessione e Taglio nel piano delle fasce di piano.

La resistenza a pressoflessione e taglio delle fasce di piano si ottiene in accordo alle prescrizioni previste nel punto 7.8.2.2.4 delle N.T.C.

La resistenza a taglio in presenza di un elemento resistente a trazione (architrave, cordolo, tirante, ecc) si ottiene dalla seguente relazione:

$$V_t = h \cdot t \cdot f_{vd0}$$

dove:

h : altezza della parete;

t : spessore della parete;

f_{vd0} : è la resistenza di calcolo a taglio della muratura in assenza di compressione.

La resistenza a flessione in presenza di un elemento resistente a trazione (architrave, cordolo, tirante, ecc) si ottiene dalla seguente relazione:

$M_u = H_p \cdot h / 2 \cdot (1 - H_p / 0.85 \cdot f_{hd} \cdot h \cdot t)$: momento corrispondente al collasso per pressoflessione;

dove:

h : altezza della parete;

t : spessore della parete;

f_{hd} : è la resistenza di calcolo a compressione in direzione orizzontale della muratura.

La resistenza a taglio associato al meccanismo di rottura a flessione si ottiene dalla relazione seguente:

$$V_p = 2 \cdot M_u / l$$

dove:

l è la luce libera della trave in muratura

La resistenza a taglio è assunta pari al valore minimo tra V_t e V_p

Verifica locale agli appoggi per carichi verticali (Schiacciamento).

Tale verifica prevista dal D.M. 20/11/1987 serve a limitare le tensioni agli appoggi per i carichi trasmessi dai setti murari dei piani superiori e dagli impalcati che gravano sui setti murari stessi.

Lo Sforzo Normale sul setto ed il punto di applicazione di tale forza si ottengono dalla composizione di tutte le forze trasmesse dai solai e dai setti murari al piano superiore.

La tensione di calcolo raggiunta sul setto murario deve essere inferiore a quella limite di calcolo (f_d):

$$\sigma_n \leq f_d$$

Pressoflessione fuori piano.

La verifica deve essere effettuata prendendo in considerazione le forze sismiche descritte per gli elementi non strutturali (Punto 7.2.3 delle N.T.C.). L'azione sismica ortogonale alla parete può essere rappresentata da un carico orizzontale distribuito, pari a S_a/q_a volte il peso della parete. Inoltre possono essere considerate forze orizzontali concentrate pari a S_a/q_a volte il peso trasmesso dagli orizzontamenti poggianti sulla parete, qualora tali forze non siano efficacemente trasmesse a muri trasversali paralleli alla direzione del sisma. (Punto 7.8.1.5 delle N.T.C.). Nella computazione del momento ultimo la resistenza di calcolo è pari a $0.85 \cdot f_{cd}$. L'entità della forza sismica dovuta al peso del pannello viene calcolata secondo l'espressione:

$$F_a = (W_a \cdot S_a) / q_a$$

mentre quella dovuta agli orizzontamenti viene calcolata secondo l'espressione:

$$F_o = (W_o \cdot S_a) / q_a$$

dove:

W_a : peso dell'elemento;

W_o : peso dell'orizzontamento che grava sul muro;

q_a : fattore di comportamento dell'elemento (si assume pari a 3);

$S_a = \alpha \cdot S \cdot (1.5 (1 + (Z / H)) - 0.5)$: coefficiente di amplificazione;

α : rapporto tra l'accelerazione massima del terreno a_g su sottosuolo tipo A da considerare nello stato limite in esame e l'accelerazione di gravità g ;

Z : altezza del baricentro dell'elemento rispetto alla fondazione;

H : altezza della struttura;

3 Dati**3.1 Dati Generali**

Numero Impalcati : 4

Numero delle tipologie di sezioni trasversali usate : 4

Numero delle tipologie di solaio utilizzate : 4

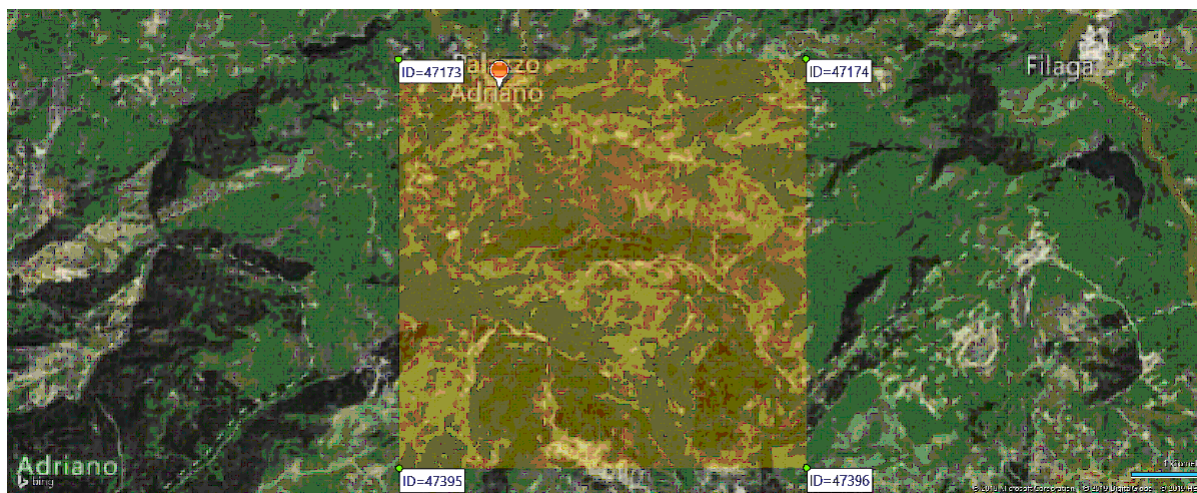
Impalcato	Quota assoluta min [cm]	Quota assoluta max [cm]	Quota relativa min [cm]	Quota relativa max [cm]	Numero Colonne	Numero Travi
Fondazioni	0.00	0.00	0.00	0.00	0	10
Primo piano	0.00	290.00	290.00	290.00	0	4
Sotto tetto	290.00	570.00	280.00	280.00	0	4
Copertura quota inf.	570.00	850.00	100.00	280.00	0	6
Copertura quota sup.	670.00	950.00	100.00	100.00	0	5

Coordinate (Datum WGS84) del sito

: Latitudine = 37.6799° - Longitudine = 13.3797°

Coordinate (Datum ED50) del sito

: Latitudine = 37.6810° - Longitudine = 13.3805°



Identificativi e coordinate (Datum ED50) dei punti che includono il sito		
Numero punto	Latitudine [°]	Longitudine [°]
47173	37.6849	13.3649
47174	37.6849	13.4279
47395	37.6349	13.3650
47396	37.6349	13.4280

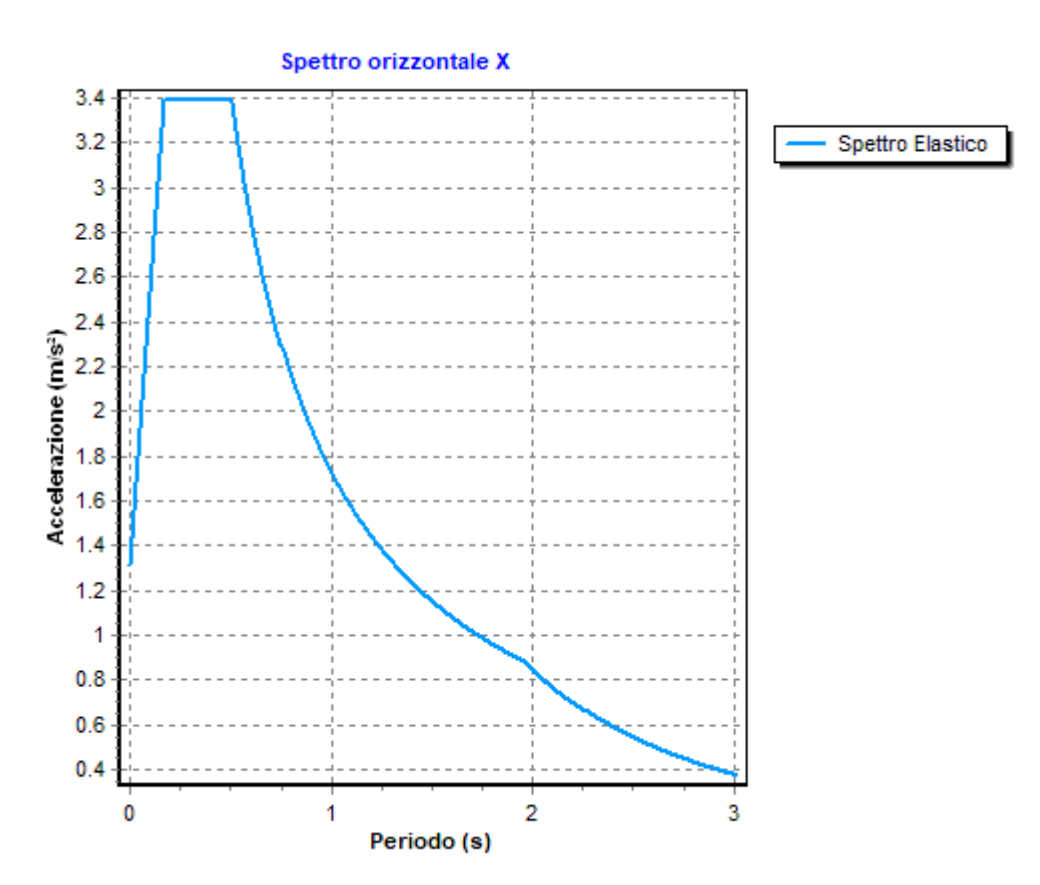
Zona sismica : SI
 Suolo di fondazione : C
 Vita nominale : 50
 Tipo di opera : Opere ordinarie
 Classe d'uso : II
 Coefficiente smorzamento viscoso : 0.05

Parametri dello spettro di risposta orizzontale SLU:

Accelerazione sismica : 0.089g
 Coefficiente Ss : 1.50
 Coefficiente di amplificazione topografica St : 1.00
 Periodo T_B : 0.17
 Periodo T_C : 0.51
 Periodo T_D : 1.96
 Coefficiente η : 1.00

Parametri dello spettro di risposta orizzontale SLD:

Accelerazione sismica : 0.038g
 Coefficiente S : 1.50
 Coefficiente di amplificazione topografica St : 1.00
 Periodo T_B : 0.14
 Periodo T_C : 0.41
 Periodo T_D : 1.75
 Coefficiente η : 1.00



Modulo di Winkler traslazionale	: 5.00 daN/cm ³
Modulo di Winkler tangenziale	: 2.50 daN/cm ³
Delta Termico aste di elevazione	: 15
Delta Termico aste di fondazione	: 10
Modulo di omogeneizzazione (per SLE)	: 15
Copriferro Travi di Fondazione	: 2.50 cm
Copriferro Travi Cordoli	: 2.50 cm
Copriferro Pilastrini in C.A.	: 2.50 cm
Copriferro Solai	: 2.00 cm
Copriferro Bicchieri Plinti	: 2.00 cm
Copriferro Pareti	: 2.00 cm
Copriferro Piastre di Fondazione	: 2.00 cm
Copriferro Architravi	: 2.50 cm

3.2 Elenco e Caratteristiche dei materiali.

Nell'ambito del progetto si è fatto uso dei seguenti materiali divisi per categoria di appartenenza:

a - Calcestruzzo

Nome	Classe	R _{ck} [daN/cm ²]	v	ρ _s [daN/m ³]	α _t [1/°C]	E _c [daN/cm ²]	FC	γ _{m,c}	E _{ct} /E _c	f _{ck} [daN/cm ²]	f _{cm} [daN/cm ²]	f _{cd} SLU [daN/cm ²]	f _{ctd} SLU [daN/cm ²]	f _{cd} SLD [daN/cm ²]	f _{ctd} SLD [daN/cm ²]	f _{ctk,0.05} [daN/cm ²]	f _{ctm} [daN/cm ²]	ε _{ct} [%]	ε _{cu2} [%]
Cls1	C25/30	300	0.15	2500	1.0E-005	314758.1	-	1.50	0.50	250.0	-	141.7	12.0	212.5	18.0	18.0	25.6	2.00	3.50

b - Acciaio per C.A.

Nome	Tipo	γ _m	FC	E _s [daN/cm ²]	f _{yk} [daN/cm ²]	f _{tk} [daN/cm ²]	f _d SLU [daN/cm ²]	f _d SLD [daN/cm ²]	f _d SLE [daN/cm ²]	k	ε _{ud} [%]
Barrel	B450C	1.15	-	2100000.0	4500.0	5400.0	3913.0	4500.0	3913.0	1.00	10.00

c - Acciaio per carpenteria.

Nome	Norm.	Tipo	v	ps [daN/m ³]	αt [1/°C]	E [daN/cm ²]	FC	γM0	γM1	γM2	fy [daN/cm ²]	fu [daN/cm ²]
Acciaio1	UNI EN 10025-2	S235	0.30	7850	1.2E-005	2100000.0	1.00	1.05	1.05	1.25	2350.0	3600.0

d - Legno.

Nome	Norm.	Classe	P. spec. [daN/m ³]	FC	E0,mean [daN/cm ²]	E0,05 [daN/cm ²]	G,mean [daN/cm ²]	f _{m,k} [daN/cm ²]	f _{t,0,k} [daN/cm ²]	f _{c,0,k} [daN/cm ²]	f _{v,k} [daN/cm ²]
Legno1 (Lamellare di conifera)	EN 1194	GL24h	380.00	-	116000.00	94000.00	7200.00	240.00	165.00	240.00	27.00

e - Muratura

Nome	Tipo	Malta	Lc	v	αt [1/°C]	Coeff. Corr.	FC	γ _m	E [daN/c m ²]	G [daN/c m ²]	f _{bk} [daN/c m ²]	f _{bk,Or} [daN/c m ²]	f _k - f _m [daN/c m ²]	f _{vk0} [daN/c m ²]	f _{vk,lim} [daN/c m ²]	τ ₀ [daN/c m ²]	ps [daN/m ³]
Muratura1	Conci sbazzati	-	LC1	0.30	1.0E-005	1.00	1.35	3.00	12300.00	4100.00	150.00	-	20.00	3.00	21.00	0.35	2000.00

3.3 Elenco e caratteristiche delle colonne stratigrafiche.

Nell'ambito del progetto si è fatto uso delle seguenti colonne stratigrafiche:

Caratteristiche delle colonne stratigrafiche:

Colonna : nome della colonna stratigrafica;
 Filo : filo fisso al quale appartiene la colonna stratigrafica;
 Impalcato : Impalcato al quale appartiene la colonna stratigrafica;
 Falda : Presenza della falda;
 Prof. Falda : Profondità della falda (se è presente);
 Spicc. Fond. : Quota dell'estradosso della fondazione rispetto al piano campagna;
 No. Strati : Numero degli strati della colonna stratigrafica.
 RQD : (Rock Quality Designation) grado di fratturazione dell'ammasso roccioso in [0-1]

Filo	Colonna	Impalcato	Falda	Prof. Falda [cm]	Spicc. Fond. [cm]	No. Strati	RQD
1	Colonna 1	Fondazioni	Non Presente	-	0.00	1	-
2	Colonna 1	Fondazioni	Non Presente	-	0.00	1	-
3	Colonna 1	Fondazioni	Non Presente	-	0.00	1	-
4	Colonna 1	Fondazioni	Non Presente	-	0.00	1	-
5	Colonna 1	Fondazioni	Non Presente	-	0.00	1	-
6	Colonna 1	Fondazioni	Non Presente	-	0.00	1	-
7	Colonna 1	Fondazioni	Non Presente	-	0.00	1	-
8	Colonna 1	Fondazioni	Non Presente	-	0.00	1	-
9	Colonna 1	Fondazioni	Non Presente	-	0.00	1	-

Caratteristiche degli strati appartenenti alle colonne stratigrafiche:

Colonna : nome della colonna stratigrafica;
 Strato : nome dello strato appartenente la colonna stratigrafica;
 Spess. : Spessore dello strato;
 Peso : Peso dell'unità di volume dello strato;
 Peso eff. : Peso dell'unità di volume efficace dello strato;
 NSPT : Numero di colpi medio misurato nello strato;
 Qc : Resistenza alla punta media misurata nello strato;

ϕ : Angolo di attrito del terreno;
 C : Coesione drenata del terreno;
 Cu : Coesione non drenata del terreno;
 E : Modulo elastico del terreno;
 G : Modulo di taglio del terreno;
 ν_t : Coefficiente di Poisson;
 E_{ed} : Modulo Edometrico;
 OCR : Grado di sovraconsolidazione del terreno.

Colonna	Strato	Spess. [cm]	Peso [daN/m ³]]	Peso eff. [daN/m ³]]	NSP T	Qc [daN/cm ²]]	ϕ [°]	C [daN/cm ²]]	Cu [daN/cm ²]]	E [daN/cm ²]]	G [daN/cm ²]]	ν_t	E _{ed} [daN/cm ²]]	OC R
Colonna 1	Argilla	500.0	1940.0	940.0	-	-	25.0	0.00	0.19	300.00	150.00	0.35	-	1.00

3.4 Elenco dei carichi.

3.4.1 Pesi propri unitari - G1.

Impalcato	Solai [daN/m ²]	Balconi [daN/m ²]	Scale [daN/m ²]
Fondazioni	-	-	-
Primo piano	114	114	400
Sottotetto	114	-	400
Copertura quota inf.	114	-	-
Copertura quota sup.	114	-	-

- Analisi dei Carichi -

Primo piano

Solai

Tipologia solaio prevalente: LEG_Legno(TRAVI IN LEGNO & TAVOLATO)

Altezza massetto	50 mm
Spessore tavolato	25 mm
Interasse travi	600 mm
Larghezza trave	160 mm
Altezza trave	240 mm
Peso dell'unità di volume massetto	1600 daN/m ³
Peso dell'unità di volume tavolato	380 daN/m ³
Peso dell'unità di volume travi	380 daN/m ³

Peso Proprio Solaio: 114 daN/m²

Tipologie solaio presenti:

- PET_IPE200(PUTRELLE & TAVELLONI)

Altezza massetto	40 mm
Altezza tavelloni	60 mm
Interasse putrelle	900 mm
Profilo acciaio	IPE200
Peso tavelloni per unità di superficie	32.0 mm
Peso proprio riempimento	2000.0 daN/m ²

Peso Proprio Solaio: 417 daN/m²

Balconi

Tipologia balcone prevalente: LEG_Legno(TRAVI IN LEGNO & TAVOLATO)

Altezza massetto	50 mm
Spessore tavolato	25 mm
Interasse travi	600 mm
Larghezza trave	160 mm
Altezza trave	240 mm

Peso dell'unità di volume massetto	1600 daN/m ³
Peso dell'unità di volume tavolato	380 daN/m ³
Peso dell'unità di volume travi	380 daN/m ³

Peso Proprio Solaio: 114 daN/m²

Tipologie balconi presenti:

- PET_Balcone(PUTRELLE & TAVELLONI)

Altezza massetto	40 mm
Altezza tavelloni	0 mm
Interasse putrelle	500 mm
Profilo acciaio	IPE 140
Peso tavelloni per unità di superficie	0.0 mm
Peso proprio riempimento	2000.0 daN/m ²

Peso Proprio Solaio: 386 daN/m²

Tipologia scala prevalente: Il carico permanente G1 deriva dall'analisi della tipologia di scala adottata in fase di progettazione e descritta nei relativi elaborati.

Sottotetto

Solai

Tipologia solaio prevalente: LEG_Legno(TRAVI IN LEGNO & TAVOLATO)

Altezza massetto	50 mm
Spessore tavolato	25 mm
Interasse travi	600 mm
Larghezza trave	160 mm
Altezza trave	240 mm
Peso dell'unità di volume massetto	1600 daN/m ³
Peso dell'unità di volume tavolato	380 daN/m ³
Peso dell'unità di volume travi	380 daN/m ³

Peso Proprio Solaio: 114 daN/m²

Tipologie solaio presenti:

- PET_IPE220(PUTRELLE & TAVELLONI)

Altezza massetto	40 mm
Altezza tavelloni	60 mm
Interasse putrelle	900 mm
Profilo acciaio	IPE220
Peso tavelloni per unità di superficie	32.0 mm
Peso proprio riempimento	2000.0 daN/m ²

Peso Proprio Solaio: 461 daN/m²

- PET_IPE200(PUTRELLE & TAVELLONI)

Altezza massetto	40 mm
Altezza tavelloni	60 mm
Interasse putrelle	900 mm
Profilo acciaio	IPE200
Peso tavelloni per unità di superficie	32.0 mm
Peso proprio riempimento	2000.0 daN/m ²

Peso Proprio Solaio: 417 daN/m²

Tipologia scala prevalente: Il carico permanente G1 deriva dall'analisi della tipologia di scala adottata in fase di progettazione e descritta nei relativi elaborati.

Copertura quota inf.

Solai

Tipologia solaio prevalente: LEG_Legno(TRAVI IN LEGNO & TAVOLATO)

Altezza massetto	50 mm
Spessore tavolato	25 mm
Interasse travi	600 mm
Larghezza trave	160 mm
Altezza trave	240 mm
Peso dell'unità di volume massetto	1600 daN/m ³
Peso dell'unità di volume tavolato	380 daN/m ³
Peso dell'unità di volume travi	380 daN/m ³

Peso Proprio Solaio: 114 daN/m²

Tipologie solaio presenti:

- LEG_Copertura(TRAVI IN LEGNO & TAVOLATO)

Altezza massetto	0 mm
Spessore tavolato	25 mm
Interasse travi	600 mm
Larghezza trave	160 mm
Altezza trave	240 mm
Peso dell'unità di volume massetto	0 daN/m ³
Peso dell'unità di volume tavolato	380 daN/m ³
Peso dell'unità di volume travi	380 daN/m ³

Peso Proprio Solaio: 34 daN/m²

Copertura quota sup.

Solai

Tipologia solaio prevalente: LEG_Legno(TRAVI IN LEGNO & TAVOLATO)

Altezza massetto	50 mm
Spessore tavolato	25 mm
Interasse travi	600 mm
Larghezza trave	160 mm
Altezza trave	240 mm
Peso dell'unità di volume massetto	1600 daN/m ³
Peso dell'unità di volume tavolato	380 daN/m ³
Peso dell'unità di volume travi	380 daN/m ³

Peso Proprio Solaio: 114 daN/m²

Tipologie solaio presenti:

- LEG_Copertura(TRAVI IN LEGNO & TAVOLATO)

Altezza massetto	0 mm
Spessore tavolato	25 mm
Interasse travi	600 mm
Larghezza trave	160 mm
Altezza trave	240 mm
Peso dell'unità di volume massetto	0 daN/m ³
Peso dell'unità di volume tavolato	380 daN/m ³
Peso dell'unità di volume travi	380 daN/m ³

Peso Proprio Solaio: 34 daN/m²

3.4.2 Carichi Permanenti unitari - G2.

Impalcato	Solai [daN/m ²]	Balconi [daN/m ²]	Scale [daN/m ²]	Influenza Tramezzi [daN/m ²]	Tamponature [daN/m]
Fondazioni	100	100	100	100	582
Primo piano	100	100	100	100	582
Sottotetto	100	100	100	100	582
Copertura quota inf.	100	100	100	0	0
Copertura quota sup.	100	100	100	0	0

- Analisi dei Carichi -

Fondazioni

Influenza Tramezzi

Il peso proprio degli elementi divisorii interni viene ragguagliato ad un carico permanente portato uniformemente distribuito come definito dal punto 3.1.3.1 - Elementi divisorii interni (D.M. 17/01/2018)

Primo piano

Solai

Tipologia solaio prevalente: Il carico permanente non strutturale G2 deriva dall'analisi della tipologia di solaio adottata in fase di progettazione e descritta nei relativi elaborati

Balconi

Tipologia balcone prevalente: Il carico permanente non strutturale G2 deriva dall'analisi della tipologia di balcone adottata in fase di progettazione e descritta nei relativi elaborati

Scale

Tipologia scala prevalente: Il carico permanente non strutturale G2 deriva dall'analisi della tipologia di scala adottata in fase di progettazione e descritta nei relativi elaborati

Influenza Tramezzi

Il peso proprio degli elementi divisorii interni viene ragguagliato ad un carico permanente portato uniformemente distribuito come definito dal punto 3.1.3.1 - Elementi divisorii interni (D.M. 17/01/2018)

Sottotetto

Solai

Tipologia solaio prevalente: Il carico permanente non strutturale G2 deriva dall'analisi della tipologia di solaio adottata in fase di progettazione e descritta nei relativi elaborati

Scale

Tipologia scala prevalente: Il carico permanente non strutturale G2 deriva dall'analisi della tipologia di scala adottata in fase di progettazione e descritta nei relativi elaborati

Influenza Tramezzi

Il peso proprio degli elementi divisorii interni viene ragguagliato ad un carico permanente portato uniformemente distribuito come definito dal punto 3.1.3.1 - Elementi divisorii interni (D.M. 17/01/2018)

Copertura quota inf.

Solai

Tipologia solaio prevalente: Il carico permanente non strutturale G2 deriva dall'analisi della tipologia di solaio adottata in fase di progettazione e descritta nei relativi elaborati

Copertura quota sup.

Solai

Tipologia solaio prevalente: Il carico permanente non strutturale G2 deriva dall'analisi della tipologia di solaio adottata in fase di progettazione e descritta nei relativi elaborati

3.4.3 Carichi Variabili unitari - Q.

Le intensità assunte per i carichi variabili verticali ripartiti sono riportate nella seguente tabella:

Impalcato	Carichi d'esercizio [daN/m²]		
	Solai	Balconi	Scale
Fondazioni	200	400	400
Primo piano	200	400	400
Sottotetto	200	400	400
Copertura quota inf.	200	400	400
Copertura quota sup.	200	400	400

3.4.4 Pesi Impalcati.

Ai fini della valutazione dei pesi "W" a livello dei vari impalcati, si tiene conto dei carichi di tipo G1 relativi agli elementi strutturali e dei carichi di tipo G2 relativi agli elementi non strutturali sommati ai sovraccarichi d'esercizio Qk moltiplicati per una aliquota Ψ_{2i} (determinata dalla destinazione d'uso dell'opera ai vari piani

$$W_i = G1_i + G2_i + \Psi_{2i} \cdot Q_{ki}$$

Dove il pedice "i" è il piano i-esimo della struttura.

Impalcato	Destinazione	Ψ_{2i}
Fondazioni	Categoria B: Uffici	0.3
Primo piano	Categoria B: Uffici	0.3
Sottotetto	Categoria E: Biblioteche, archivi, magazzini e ambienti ad uso industriale	0.8
Copertura quota inf.	Categoria H: Coperture	0.0
Copertura quota sup.	Categoria H: Coperture	0.0

Per balconi e scale verranno usati i coefficienti calcolati come i maggiori tra quelli relativi alla categoria di carico di piano ed i seguenti:

Cat.	Destinazione	Ψ_{2i}
C2	Balconi, ballatoi e scale	0.6

Imp. Reale	G [daN]	Q [daN]	W (SLV-SLD) [daN]
Fondazioni	42003.19	1787.37	42539.40
Primo piano	132417.94	15839.84	139798.32
Sottotetto	111629.10	14463.16	125128.40
Copertura quota inf.	55793.20	7497.32	55793.20
Copertura quota sup.	22761.91	5198.74	22761.91

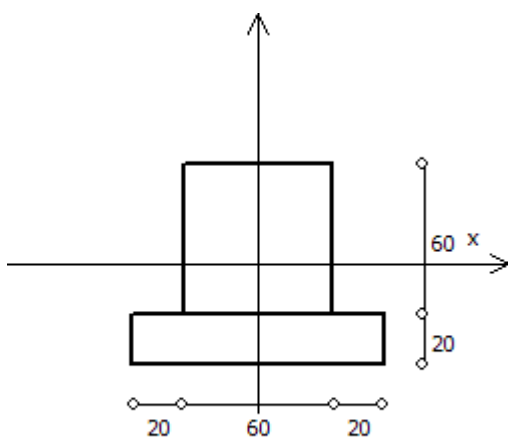
3.4.5 Carico del Vento.

Carico da vento su metro quadro di superficie che agisce sulle pareti perimetrali della struttura.

$$q_{\text{vento}} = 0.0 \text{ daN/m}^2$$

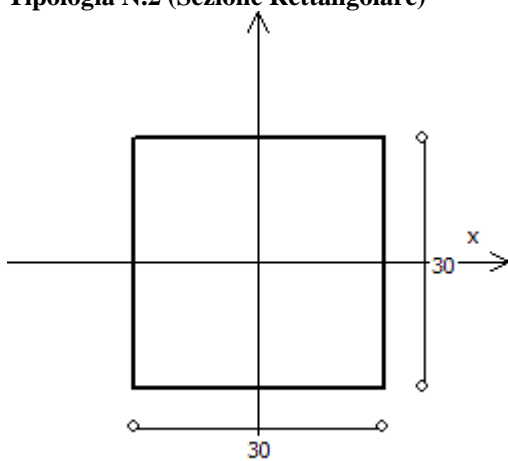
3.5 Elenco e Caratteristiche delle sezioni trasversali.

Tipologia N.1 (Sezione di Fondazione)



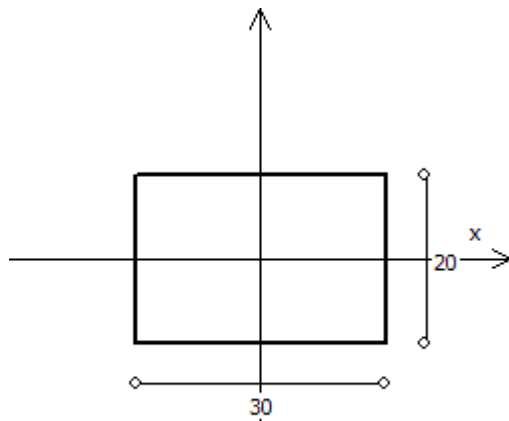
A	= 3600 cm ²
J _x	= 1080000 cm ⁴
J _y	= 1080000 cm ⁴
J _t	= 1611360 cm ⁴
Materiale	= Cls1
Peso	= 900 daN/ml

Tipologia N.2 (Sezione Rettangolare)



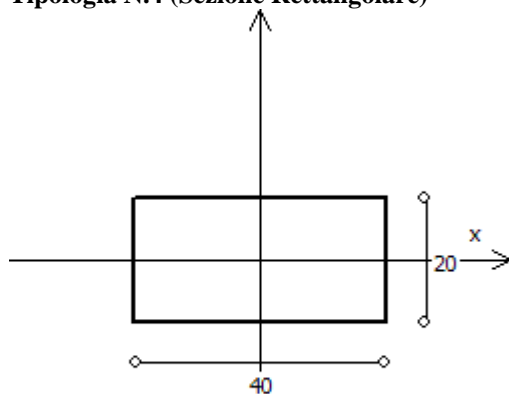
A	= 900 cm ²
J _x	= 67500 cm ⁴
J _y	= 67500 cm ⁴
J _t	= 113860 cm ⁴
Materiale	= Cls1
Peso	= 225 daN/m

Tipologia N.3 (Sezione Rettangolare)



A = 600 cm²
 J_x = 20000 cm⁴
 J_y = 45000 cm⁴
 J_t = 46560 cm⁴
 Materiale = Cls1
 Peso = 150 daN/m

Tipologia N.4 (Sezione Rettangolare)



A = 800 cm²
 J_x = 26667 cm⁴
 J_y = 106667 cm⁴
 J_t = 73227 cm⁴
 Materiale = Cls1
 Peso = 200 daN/m

3.6 Elenco dei vincoli interni degli elementi monodimensionali.

Piano : piano al quale appartiene l'elemento;
 Fili Fissi : fili fissi a cui è collegato l'elemento;
 Tipo elemento : Tipologia dell'elemento monodimensionale (Trave fondazione, Trave elevazione, Pilastro)
 NI : Nodo iniziale (I = Incastro; C = Cerniera)
 NF : Nodo finale (I = Incastro; C = Cerniera)

Piano	Fili Fissi	Tipo elemento	NI	NF
-------	------------	---------------	----	----

Fondazion i	7-1	Trave Fondazione	I	I
Fondazion i	1-9	Trave Fondazione	I	I
Fondazion i	2-3	Trave Fondazione	I	I
Fondazion i	6-2	Trave Fondazione	I	I
Fondazion i	9-2	Trave Fondazione	I	I
Fondazion i	3-4	Trave Fondazione	I	I
Fondazion i	4-5	Trave Fondazione	I	I
Fondazion i	5-6	Trave Fondazione	I	I
Fondazion i	8-6	Trave Fondazione	I	I
Fondazion i	7-8	Trave Fondazione	I	I
Primo piano	8-9	Trave Elevazione	I	I
Sottotetto	8-9	Trave Elevazione	I	I

3.7 Geometria Struttura.

3.7.1 Fili Fissi.

Numero : numerazione del filo fisso.

Ascissa : coordinata X del filo fisso.

Ordinata: coordinata Y del filo fisso.

Angolo : angolo del filo fisso (in gradi);

Tipo : tipo del filo fisso.

Numero	Ascissa [cm]	Ordinata [cm]	Quota [cm]	Angolo [°]	Tipo
1	0.00	0.00	0.00	0.00	7
2	690.00	23.00	0.00	0.00	8
3	1371.00	46.00	0.00	0.00	9
4	1376.00	668.00	0.00	0.00	3
5	690.00	590.00	0.00	0.00	2
6	690.00	522.00	0.00	0.00	5
7	0.00	527.00	0.00	0.00	1
8	405.00	516.00	0.00	0.00	5
9	406.00	13.50	0.00	0.00	8

3.7.2 Caratteristiche dei nodi.

I dati seguenti riportano tutte le caratteristiche relative ai nodi che definiscono la struttura ed in modo particolare:

Nodo : numerazione interna del nodo.

Coordinate : coordinate del nodo secondo il sistema di riferimento globale cartesiano.

Imp. : impalcato di appartenenza del nodo.

Slave : nodo dipendente da un nodo MASTER definito nella tabella specifica;

Vincoli : eventuali vincoli esterni del nodo in ognuna delle 6 direzioni:

x : direzione X rispetto al sistema di riferimento globale;

y : direzione Y rispetto al sistema di riferimento globale;

z : direzione Z rispetto al sistema di riferimento globale;

Rx : rotazione attorno all'asse X del sistema di riferimento globale;

Ry : rotazione attorno all'asse Y del sistema di riferimento globale;

Rz : rotazione attorno all'asse Z del sistema di riferimento globale;

Inoltre:

np : non presenza di vincoli;

p : valore infinito della rigidezza;

Kt : valore finito delle rigidezze traslazionali da leggere nella tabella specifica;

Kr : valore finito delle rigidezze rotazionali da leggere nella tabella specifica;

Masse Nodali:

M : valore della massa traslazionale

MIx : valore del momento d'inerzia della massa attorno all'asse X

MIy : valore del momento d'inerzia della massa attorno all'asse Y

MIz : valore del momento d'inerzia della massa attorno all'asse Z

Nodo	Coordinate [cm]			Impalcato	Slave	Vincoli						Masse Nodali			
	x	y	z			x	y	z	Rx	Ry	Rz	M [daNM]	MIx [daNM*cm ²]	MIy [daNM*cm ²]	MIz [daNM*cm ²]
1	0.0	0.0	0.0	Fondazioni	-	np	np	np	np	np	np	0.00	0.00	0.00	0.00
2	690.0	23.0	0.0	Fondazioni	-	np	np	np	np	np	np	0.00	0.00	0.00	0.00
3	1371.0	46.0	0.0	Fondazioni	-	np	np	np	np	np	np	0.00	0.00	0.00	0.00
4	1376.0	668.0	0.0	Fondazioni	-	np	np	np	np	np	np	0.00	0.00	0.00	0.00
5	690.0	590.0	0.0	Fondazioni	-	np	np	np	np	np	np	0.00	0.00	0.00	0.00
6	690.0	522.0	0.0	Fondazioni	-	np	np	np	np	np	np	0.00	0.00	0.00	0.00
7	0.0	527.0	0.0	Fondazioni	-	np	np	np	np	np	np	0.00	0.00	0.00	0.00
8	405.0	516.0	0.0	Fondazioni	-	np	np	np	np	np	np	0.00	0.00	0.00	0.00
9	406.0	13.5	0.0	Fondazioni	-	np	np	np	np	np	np	0.00	0.00	0.00	0.00
10	0.0	0.0	290.0	Primo piano	M1	np	np	np	np	np	np	0.00	0.00	0.00	0.00
11	690.0	23.0	290.0	Primo piano	M1	np	np	np	np	np	np	0.00	0.00	0.00	0.00
12	1371.0	46.0	290.0	Primo piano	M1	np	np	np	np	np	np	0.00	0.00	0.00	0.00
13	1376.0	668.0	290.0	Primo piano	M1	np	np	np	np	np	np	0.00	0.00	0.00	0.00
14	690.0	590.0	290.0	Primo piano	M1	np	np	np	np	np	np	0.00	0.00	0.00	0.00
15	690.0	522.0	290.0	Primo piano	M1	np	np	np	np	np	np	0.00	0.00	0.00	0.00
16	0.0	527.0	290.0	Primo piano	M1	np	np	np	np	np	np	0.00	0.00	0.00	0.00
17	405.0	516.0	290.0	Primo piano	M1	np	np	np	np	np	np	0.00	0.00	0.00	0.00
18	406.0	13.5	290.0	Primo piano	M1	np	np	np	np	np	np	0.00	0.00	0.00	0.00
19	0.0	0.0	570.0	Sottotetto	M2	np	np	np	np	np	np	0.00	0.00	0.00	0.00
20	690.0	23.0	570.0	Sottotetto	M2	np	np	np	np	np	np	0.00	0.00	0.00	0.00
21	1371.0	46.0	570.0	Sottotetto	M2	np	np	np	np	np	np	0.00	0.00	0.00	0.00
22	1376.0	668.0	570.0	Sottotetto	M2	np	np	np	np	np	np	0.00	0.00	0.00	0.00
23	690.0	590.0	570.0	Sottotetto	M2	np	np	np	np	np	np	0.00	0.00	0.00	0.00
24	690.0	522.0	570.0	Sottotetto	M2	np	np	np	np	np	np	0.00	0.00	0.00	0.00
25	0.0	527.0	570.0	Sottotetto	M2	np	np	np	np	np	np	0.00	0.00	0.00	0.00
26	405.0	516.0	570.0	Sottotetto	M2	np	np	np	np	np	np	0.00	0.00	0.00	0.00
27	406.0	13.5	570.0	Sottotetto	M2	np	np	np	np	np	np	0.00	0.00	0.00	0.00
28	0.0	0.0	670.0	Copertura quota inf.	M3	np	np	np	np	np	np	0.00	0.00	0.00	0.00
29	690.0	23.0	670.0	Copertura quota inf.	M3	np	np	np	np	np	np	0.00	0.00	0.00	0.00
30	1371.0	46.0	670.0	Copertura quota inf.	M3	np	np	np	np	np	np	0.00	0.00	0.00	0.00
31	1376.0	668.0	850.0	Copertura quota inf.	M3	np	np	np	np	np	np	0.00	0.00	0.00	0.00
32	690.0	590.0	850.0	Copertura quota inf.	M3	np	np	np	np	np	np	0.00	0.00	0.00	0.00
33	690.0	522.0	830.0	Copertura quota inf.	M3	np	np	np	np	np	np	0.00	0.00	0.00	0.00
34	0.0	527.0	830.0	Copertura quota inf.	M3	np	np	np	np	np	np	0.00	0.00	0.00	0.00
35	405.0	516.0	830.0	Copertura quota inf.	M3	np	np	np	np	np	np	0.00	0.00	0.00	0.00
36	406.0	13.5	670.0	Copertura quota inf.	M3	np	np	np	np	np	np	0.00	0.00	0.00	0.00
37	690.0	23.0	770.0	Copertura quota sup.	M4	np	np	np	np	np	np	0.00	0.00	0.00	0.00
38	1371.0	46.0	770.0	Copertura	M4	np	np	np	np	np	np	0.00	0.00	0.00	0.00

	0			quota sup.											
39	1376.0	668.0	950.0	Copertura quota sup.	M4	np	np	np	np	np	np	0.00	0.00	0.00	0.00
40	690.0	590.0	950.0	Copertura quota sup.	M4	np	np	np	np	np	np	0.00	0.00	0.00	0.00
41	690.0	522.0	930.0	Copertura quota sup.	M4	np	np	np	np	np	np	0.00	0.00	0.00	0.00
42	101.3	3.4	290.0	Primo piano	M1	np	np	np	np	np	np	0.00	0.00	0.00	0.00
43	101.3	3.4	0.0	Fondazioni	-	np	np	np	np	np	np	0.00	0.00	0.00	0.00
44	221.2	7.4	290.0	Primo piano	M1	np	np	np	np	np	np	0.00	0.00	0.00	0.00
45	221.2	7.4	0.0	Fondazioni	-	np	np	np	np	np	np	0.00	0.00	0.00	0.00
46	740.7	24.7	290.0	Primo piano	M1	np	np	np	np	np	np	0.00	0.00	0.00	0.00
47	740.7	24.7	0.0	Fondazioni	-	np	np	np	np	np	np	0.00	0.00	0.00	0.00
48	800.6	26.7	290.0	Primo piano	M1	np	np	np	np	np	np	0.00	0.00	0.00	0.00
49	920.6	30.8	290.0	Primo piano	M1	np	np	np	np	np	np	0.00	0.00	0.00	0.00
50	920.6	30.8	0.0	Fondazioni	-	np	np	np	np	np	np	0.00	0.00	0.00	0.00
51	800.6	26.7	0.0	Fondazioni	-	np	np	np	np	np	np	0.00	0.00	0.00	0.00
52	1040.5	34.8	290.0	Primo piano	M1	np	np	np	np	np	np	0.00	0.00	0.00	0.00
53	1160.4	38.9	290.0	Primo piano	M1	np	np	np	np	np	np	0.00	0.00	0.00	0.00
54	1160.4	38.9	0.0	Fondazioni	-	np	np	np	np	np	np	0.00	0.00	0.00	0.00
55	1040.5	34.8	0.0	Fondazioni	-	np	np	np	np	np	np	0.00	0.00	0.00	0.00
56	1280.4	42.9	290.0	Primo piano	M1	np	np	np	np	np	np	0.00	0.00	0.00	0.00
57	1280.4	42.9	0.0	Fondazioni	-	np	np	np	np	np	np	0.00	0.00	0.00	0.00
58	690.0	168.0	290.0	Primo piano	M1	np	np	np	np	np	np	0.00	0.00	0.00	0.00
59	690.0	168.0	0.0	Fondazioni	-	np	np	np	np	np	np	0.00	0.00	0.00	0.00
60	511.6	17.0	290.0	Primo piano	M1	np	np	np	np	np	np	0.00	0.00	0.00	0.00
61	511.6	17.0	0.0	Fondazioni	-	np	np	np	np	np	np	0.00	0.00	0.00	0.00
62	631.6	21.0	290.0	Primo piano	M1	np	np	np	np	np	np	0.00	0.00	0.00	0.00
63	631.6	21.0	0.0	Fondazioni	-	np	np	np	np	np	np	0.00	0.00	0.00	0.00
64	100.9	3.4	570.0	Sottotetto	M2	np	np	np	np	np	np	0.00	0.00	0.00	0.00
65	220.9	7.3	570.0	Sottotetto	M2	np	np	np	np	np	np	0.00	0.00	0.00	0.00
66	920.4	30.8	570.0	Sottotetto	M2	np	np	np	np	np	np	0.00	0.00	0.00	0.00
67	1040.3	34.8	570.0	Sottotetto	M2	np	np	np	np	np	np	0.00	0.00	0.00	0.00
68	1160.3	38.9	570.0	Sottotetto	M2	np	np	np	np	np	np	0.00	0.00	0.00	0.00
69	1280.2	42.9	570.0	Sottotetto	M2	np	np	np	np	np	np	0.00	0.00	0.00	0.00
70	690.0	203.0	570.0	Sottotetto	M2	np	np	np	np	np	np	0.00	0.00	0.00	0.00
71	690.0	203.0	290.0	Primo piano	M1	np	np	np	np	np	np	0.00	0.00	0.00	0.00
72	690.0	108.0	570.0	Sottotetto	M2	np	np	np	np	np	np	0.00	0.00	0.00	0.00
73	690.0	108.0	290.0	Primo piano	M1	np	np	np	np	np	np	0.00	0.00	0.00	0.00
74	511.5	17.0	570.0	Sottotetto	M2	np	np	np	np	np	np	0.00	0.00	0.00	0.00
75	631.4	21.0	570.0	Sottotetto	M2	np	np	np	np	np	np	0.00	0.00	0.00	0.00
76	690.0	223.0	734.1	Copertura quota inf.	M3	np	np	np	np	np	np	0.00	0.00	0.00	0.00
77	690.0	223.0	570.0	Sottotetto	M2	np	np	np	np	np	np	0.00	0.00	0.00	0.00
78	690.0	108.0	697.3	Copertura quota inf.	M3	np	np	np	np	np	np	0.00	0.00	0.00	0.00
79	0.0	439.2	290.0	Primo piano	M1	np	np	np	np	np	np	0.00	0.00	0.00	0.00
80	0.0	351.3	290.0	Primo piano	M1	np	np	np	np	np	np	0.00	0.00	0.00	0.00
81	0.0	263.5	290.0	Primo piano	M1	np	np	np	np	np	np	0.00	0.00	0.00	0.00
82	0.0	175.7	290.0	Primo piano	M1	np	np	np	np	np	np	0.00	0.00	0.00	0.00
83	0.0	87.8	290.0	Primo piano	M1	np	np	np	np	np	np	0.00	0.00	0.00	0.00
84	0.0	439.2	0.0	Fondazioni	-	np	np	np	np	np	np	0.00	0.00	0.00	0.00
85	0.0	351.3	0.0	Fondazioni	-	np	np	np	np	np	np	0.00	0.00	0.00	0.00
86	0.0	263.5	0.0	Fondazioni	-	np	np	np	np	np	np	0.00	0.00	0.00	0.00
87	0.0	175.7	0.0	Fondazioni	-	np	np	np	np	np	np	0.00	0.00	0.00	0.00
88	0.0	87.8	0.0	Fondazioni	-	np	np	np	np	np	np	0.00	0.00	0.00	0.00
89	0.0	527.0	193.3	Primo piano	-	np	np	np	np	np	np	0.00	0.00	0.00	0.00
90	0.0	527.0	96.7	Primo piano	-	np	np	np	np	np	np	0.00	0.00	0.00	0.00
91	0.0	0.0	193.3	Primo piano	-	np	np	np	np	np	np	0.00	0.00	0.00	0.00
92	0.0	0.0	96.7	Primo piano	-	np	np	np	np	np	np	0.00	0.00	0.00	0.00
93	50.5	1.7	290.0	Primo piano	M1	np	np	np	np	np	np	0.00	0.00	0.00	0.00
94	313.4	10.4	290.0	Primo piano	M1	np	np	np	np	np	np	0.00	0.00	0.00	0.00
95	50.6	1.7	0.0	Fondazioni	-	np	np	np	np	np	np	0.00	0.00	0.00	0.00
96	161.2	5.4	0.0	Fondazioni	-	np	np	np	np	np	np	0.00	0.00	0.00	0.00
97	313.6	10.4	0.0	Fondazioni	-	np	np	np	np	np	np	0.00	0.00	0.00	0.00

98	406.0	13.5	193.3	Primo piano	-	np	np	np	np	np	np	0.00	0.00	0.00	0.00
99	406.0	13.5	96.7	Primo piano	-	np	np	np	np	np	np	0.00	0.00	0.00	0.00
100	860.5	28.8	290.0	Primo piano	M1	np	np	np	np	np	np	0.00	0.00	0.00	0.00
101	1100.3	36.9	290.0	Primo piano	M1	np	np	np	np	np	np	0.00	0.00	0.00	0.00
102	860.6	28.8	0.0	Fondazioni	-	np	np	np	np	np	np	0.00	0.00	0.00	0.00
103	980.5	32.8	0.0	Fondazioni	-	np	np	np	np	np	np	0.00	0.00	0.00	0.00
104	1100.5	36.9	0.0	Fondazioni	-	np	np	np	np	np	np	0.00	0.00	0.00	0.00
105	1220.4	40.9	0.0	Fondazioni	-	np	np	np	np	np	np	0.00	0.00	0.00	0.00
106	690.0	23.0	193.3	Primo piano	-	np	np	np	np	np	np	0.00	0.00	0.00	0.00
107	690.0	23.0	96.7	Primo piano	-	np	np	np	np	np	np	0.00	0.00	0.00	0.00
108	1371.0	46.0	193.3	Primo piano	-	np	np	np	np	np	np	0.00	0.00	0.00	0.00
109	1371.0	46.0	96.7	Primo piano	-	np	np	np	np	np	np	0.00	0.00	0.00	0.00
110	690.0	442.3	290.0	Primo piano	M1	np	np	np	np	np	np	0.00	0.00	0.00	0.00
111	690.0	362.5	290.0	Primo piano	M1	np	np	np	np	np	np	0.00	0.00	0.00	0.00
112	690.0	282.8	290.0	Primo piano	M1	np	np	np	np	np	np	0.00	0.00	0.00	0.00
113	690.0	433.5	0.0	Fondazioni	-	np	np	np	np	np	np	0.00	0.00	0.00	0.00
114	690.0	345.0	0.0	Fondazioni	-	np	np	np	np	np	np	0.00	0.00	0.00	0.00
115	690.0	256.5	0.0	Fondazioni	-	np	np	np	np	np	np	0.00	0.00	0.00	0.00
116	690.0	95.5	0.0	Fondazioni	-	np	np	np	np	np	np	0.00	0.00	0.00	0.00
117	690.0	522.0	193.3	Primo piano	-	np	np	np	np	np	np	0.00	0.00	0.00	0.00
118	690.0	522.0	96.7	Primo piano	-	np	np	np	np	np	np	0.00	0.00	0.00	0.00
119	458.7	15.3	290.0	Primo piano	M1	np	np	np	np	np	np	0.00	0.00	0.00	0.00
120	571.4	19.0	290.0	Primo piano	M1	np	np	np	np	np	np	0.00	0.00	0.00	0.00
121	458.8	15.3	0.0	Fondazioni	-	np	np	np	np	np	np	0.00	0.00	0.00	0.00
122	571.6	19.0	0.0	Fondazioni	-	np	np	np	np	np	np	0.00	0.00	0.00	0.00
123	1371.7	134.9	290.0	Primo piano	M1	np	np	np	np	np	np	0.00	0.00	0.00	0.00
124	1372.4	223.7	290.0	Primo piano	M1	np	np	np	np	np	np	0.00	0.00	0.00	0.00
125	1373.1	312.6	290.0	Primo piano	M1	np	np	np	np	np	np	0.00	0.00	0.00	0.00
126	1373.9	401.4	290.0	Primo piano	M1	np	np	np	np	np	np	0.00	0.00	0.00	0.00
127	1374.6	490.3	290.0	Primo piano	M1	np	np	np	np	np	np	0.00	0.00	0.00	0.00
128	1375.3	579.1	290.0	Primo piano	M1	np	np	np	np	np	np	0.00	0.00	0.00	0.00
129	1371.7	134.9	0.0	Fondazioni	-	np	np	np	np	np	np	0.00	0.00	0.00	0.00
130	1372.4	223.7	0.0	Fondazioni	-	np	np	np	np	np	np	0.00	0.00	0.00	0.00
131	1373.1	312.6	0.0	Fondazioni	-	np	np	np	np	np	np	0.00	0.00	0.00	0.00
132	1373.9	401.4	0.0	Fondazioni	-	np	np	np	np	np	np	0.00	0.00	0.00	0.00
133	1374.6	490.3	0.0	Fondazioni	-	np	np	np	np	np	np	0.00	0.00	0.00	0.00
134	1375.3	579.1	0.0	Fondazioni	-	np	np	np	np	np	np	0.00	0.00	0.00	0.00
135	1376.0	668.0	193.3	Primo piano	-	np	np	np	np	np	np	0.00	0.00	0.00	0.00
136	1376.0	668.0	96.7	Primo piano	-	np	np	np	np	np	np	0.00	0.00	0.00	0.00
137	1278.0	656.9	290.0	Primo piano	M1	np	np	np	np	np	np	0.00	0.00	0.00	0.00
138	1180.0	645.7	290.0	Primo piano	M1	np	np	np	np	np	np	0.00	0.00	0.00	0.00
139	1082.0	634.6	290.0	Primo piano	M1	np	np	np	np	np	np	0.00	0.00	0.00	0.00
140	984.0	623.4	290.0	Primo piano	M1	np	np	np	np	np	np	0.00	0.00	0.00	0.00
141	886.0	612.3	290.0	Primo piano	M1	np	np	np	np	np	np	0.00	0.00	0.00	0.00
142	788.0	601.1	290.0	Primo piano	M1	np	np	np	np	np	np	0.00	0.00	0.00	0.00
143	1278.0	656.9	0.0	Fondazioni	-	np	np	np	np	np	np	0.00	0.00	0.00	0.00
144	1180.0	645.7	0.0	Fondazioni	-	np	np	np	np	np	np	0.00	0.00	0.00	0.00
145	1082.0	634.6	0.0	Fondazioni	-	np	np	np	np	np	np	0.00	0.00	0.00	0.00
146	984.0	623.4	0.0	Fondazioni	-	np	np	np	np	np	np	0.00	0.00	0.00	0.00

147	886.0	612.3	0.0	Fondazioni	-	np	np	np	np	np	np	0.00	0.00	0.00	0.00
148	788.0	601.1	0.0	Fondazioni	-	np	np	np	np	np	np	0.00	0.00	0.00	0.00
149	690.0	590.0	193.3	Primo piano	-	np	np	np	np	np	np	0.00	0.00	0.00	0.00
150	690.0	590.0	96.7	Primo piano	-	np	np	np	np	np	np	0.00	0.00	0.00	0.00
151	500.0	518.0	290.0	Primo piano	M1	np	np	np	np	np	np	0.00	0.00	0.00	0.00
152	595.0	520.0	290.0	Primo piano	M1	np	np	np	np	np	np	0.00	0.00	0.00	0.00
153	500.0	518.0	0.0	Fondazioni	-	np	np	np	np	np	np	0.00	0.00	0.00	0.00
154	595.0	520.0	0.0	Fondazioni	-	np	np	np	np	np	np	0.00	0.00	0.00	0.00
155	405.0	516.0	193.3	Primo piano	-	np	np	np	np	np	np	0.00	0.00	0.00	0.00
156	405.0	516.0	96.7	Primo piano	-	np	np	np	np	np	np	0.00	0.00	0.00	0.00
157	81.0	524.8	290.0	Primo piano	M1	np	np	np	np	np	np	0.00	0.00	0.00	0.00
158	162.0	522.6	290.0	Primo piano	M1	np	np	np	np	np	np	0.00	0.00	0.00	0.00
159	243.0	520.4	290.0	Primo piano	M1	np	np	np	np	np	np	0.00	0.00	0.00	0.00
160	324.0	518.2	290.0	Primo piano	M1	np	np	np	np	np	np	0.00	0.00	0.00	0.00
161	81.0	524.8	0.0	Fondazioni	-	np	np	np	np	np	np	0.00	0.00	0.00	0.00
162	162.0	522.6	0.0	Fondazioni	-	np	np	np	np	np	np	0.00	0.00	0.00	0.00
163	243.0	520.4	0.0	Fondazioni	-	np	np	np	np	np	np	0.00	0.00	0.00	0.00
164	324.0	518.2	0.0	Fondazioni	-	np	np	np	np	np	np	0.00	0.00	0.00	0.00
165	0.0	439.2	570.0	Sottotetto	M2	np	np	np	np	np	np	0.00	0.00	0.00	0.00
166	0.0	351.3	570.0	Sottotetto	M2	np	np	np	np	np	np	0.00	0.00	0.00	0.00
167	0.0	263.5	570.0	Sottotetto	M2	np	np	np	np	np	np	0.00	0.00	0.00	0.00
168	0.0	175.7	570.0	Sottotetto	M2	np	np	np	np	np	np	0.00	0.00	0.00	0.00
169	0.0	87.8	570.0	Sottotetto	M2	np	np	np	np	np	np	0.00	0.00	0.00	0.00
170	0.0	527.0	476.7	Sottotetto	-	np	np	np	np	np	np	0.00	0.00	0.00	0.00
171	0.0	527.0	383.3	Sottotetto	-	np	np	np	np	np	np	0.00	0.00	0.00	0.00
172	0.0	0.0	476.7	Sottotetto	-	np	np	np	np	np	np	0.00	0.00	0.00	0.00
173	0.0	0.0	383.3	Sottotetto	-	np	np	np	np	np	np	0.00	0.00	0.00	0.00
174	50.5	1.7	570.0	Sottotetto	M2	np	np	np	np	np	np	0.00	0.00	0.00	0.00
175	160.9	5.4	570.0	Sottotetto	M2	np	np	np	np	np	np	0.00	0.00	0.00	0.00
176	313.4	10.4	570.0	Sottotetto	M2	np	np	np	np	np	np	0.00	0.00	0.00	0.00
177	406.0	13.5	476.7	Sottotetto	-	np	np	np	np	np	np	0.00	0.00	0.00	0.00
178	406.0	13.5	383.3	Sottotetto	-	np	np	np	np	np	np	0.00	0.00	0.00	0.00
179	766.8	25.6	570.0	Sottotetto	M2	np	np	np	np	np	np	0.00	0.00	0.00	0.00
180	843.6	28.2	570.0	Sottotetto	M2	np	np	np	np	np	np	0.00	0.00	0.00	0.00
181	980.4	32.8	570.0	Sottotetto	M2	np	np	np	np	np	np	0.00	0.00	0.00	0.00
182	1100.3	36.9	570.0	Sottotetto	M2	np	np	np	np	np	np	0.00	0.00	0.00	0.00
183	1220.2	40.9	570.0	Sottotetto	M2	np	np	np	np	np	np	0.00	0.00	0.00	0.00
184	690.0	23.0	476.7	Sottotetto	-	np	np	np	np	np	np	0.00	0.00	0.00	0.00
185	690.0	23.0	383.3	Sottotetto	-	np	np	np	np	np	np	0.00	0.00	0.00	0.00
186	1371.0	46.0	476.7	Sottotetto	-	np	np	np	np	np	np	0.00	0.00	0.00	0.00
187	1371.0	46.0	383.3	Sottotetto	-	np	np	np	np	np	np	0.00	0.00	0.00	0.00
188	690.0	422.3	570.0	Sottotetto	M2	np	np	np	np	np	np	0.00	0.00	0.00	0.00
189	690.0	322.7	570.0	Sottotetto	M2	np	np	np	np	np	np	0.00	0.00	0.00	0.00
190	690.0	522.0	476.7	Sottotetto	-	np	np	np	np	np	np	0.00	0.00	0.00	0.00
191	690.0	522.0	383.3	Sottotetto	-	np	np	np	np	np	np	0.00	0.00	0.00	0.00
192	458.7	15.3	570.0	Sottotetto	M2	np	np	np	np	np	np	0.00	0.00	0.00	0.00
193	571.4	19.0	570.0	Sottotetto	M2	np	np	np	np	np	np	0.00	0.00	0.00	0.00
194	1371.7	134.9	570.0	Sottotetto	M2	np	np	np	np	np	np	0.00	0.00	0.00	0.00
195	1372.4	223.7	570.0	Sottotetto	M2	np	np	np	np	np	np	0.00	0.00	0.00	0.00
196	1373.1	312.6	570.0	Sottotetto	M2	np	np	np	np	np	np	0.00	0.00	0.00	0.00
197	1373.9	401.4	570.0	Sottotetto	M2	np	np	np	np	np	np	0.00	0.00	0.00	0.00
198	1374.6	490.3	570.0	Sottotetto	M2	np	np	np	np	np	np	0.00	0.00	0.00	0.00
199	1375.3	579.1	570.0	Sottotetto	M2	np	np	np	np	np	np	0.00	0.00	0.00	0.00
200	1376.0	668.0	476.7	Sottotetto	-	np	np	np	np	np	np	0.00	0.00	0.00	0.00
201	1376.0	668.0	383.3	Sottotetto	-	np	np	np	np	np	np	0.00	0.00	0.00	0.00
202	1278.0	656.9	570.0	Sottotetto	M2	np	np	np	np	np	np	0.00	0.00	0.00	0.00
203	1180.0	645.7	570.0	Sottotetto	M2	np	np	np	np	np	np	0.00	0.00	0.00	0.00
204	1082.0	634.6	570.0	Sottotetto	M2	np	np	np	np	np	np	0.00	0.00	0.00	0.00
205	984.0	623.4	570.0	Sottotetto	M2	np	np	np	np	np	np	0.00	0.00	0.00	0.00

206	886.0	612.3	570.0	Sottotetto	M2	np	np	np	np	np	np	0.00	0.00	0.00	0.00
207	788.0	601.1	570.0	Sottotetto	M2	np	np	np	np	np	np	0.00	0.00	0.00	0.00
208	690.0	590.0	476.7	Sottotetto	-	np	np	np	np	np	np	0.00	0.00	0.00	0.00
209	690.0	590.0	383.3	Sottotetto	-	np	np	np	np	np	np	0.00	0.00	0.00	0.00
210	500.0	518.0	570.0	Sottotetto	M2	np	np	np	np	np	np	0.00	0.00	0.00	0.00
211	595.0	520.0	570.0	Sottotetto	M2	np	np	np	np	np	np	0.00	0.00	0.00	0.00
212	405.0	516.0	476.7	Sottotetto	-	np	np	np	np	np	np	0.00	0.00	0.00	0.00
213	405.0	516.0	383.3	Sottotetto	-	np	np	np	np	np	np	0.00	0.00	0.00	0.00
214	81.0	524.8	570.0	Sottotetto	M2	np	np	np	np	np	np	0.00	0.00	0.00	0.00
215	162.0	522.6	570.0	Sottotetto	M2	np	np	np	np	np	np	0.00	0.00	0.00	0.00
216	243.0	520.4	570.0	Sottotetto	M2	np	np	np	np	np	np	0.00	0.00	0.00	0.00
217	324.0	518.2	570.0	Sottotetto	M2	np	np	np	np	np	np	0.00	0.00	0.00	0.00
218	0.0	87.8	696.7	Copertura quota inf.	M3	np	np	np	np	np	np	0.00	0.00	0.00	0.00
219	0.0	175.7	723.3	Copertura quota inf.	M3	np	np	np	np	np	np	0.00	0.00	0.00	0.00
220	0.0	263.5	750.0	Copertura quota inf.	M3	np	np	np	np	np	np	0.00	0.00	0.00	0.00
221	0.0	351.3	776.7	Copertura quota inf.	M3	np	np	np	np	np	np	0.00	0.00	0.00	0.00
222	0.0	439.2	803.3	Copertura quota inf.	M3	np	np	np	np	np	np	0.00	0.00	0.00	0.00
223	0.0	527.0	743.3	Copertura quota inf.	-	np	np	np	np	np	np	0.00	0.00	0.00	0.00
224	0.0	527.0	656.7	Copertura quota inf.	-	np	np	np	np	np	np	0.00	0.00	0.00	0.00
225	324.8	10.8	670.0	Copertura quota inf.	M3	np	np	np	np	np	np	0.00	0.00	0.00	0.00
226	243.6	8.1	670.0	Copertura quota inf.	M3	np	np	np	np	np	np	0.00	0.00	0.00	0.00
227	162.4	5.4	670.0	Copertura quota inf.	M3	np	np	np	np	np	np	0.00	0.00	0.00	0.00
228	81.2	2.7	670.0	Copertura quota inf.	M3	np	np	np	np	np	np	0.00	0.00	0.00	0.00
229	1273. 7	42.7	670.0	Copertura quota inf.	M3	np	np	np	np	np	np	0.00	0.00	0.00	0.00
230	1176. 4	39.4	670.0	Copertura quota inf.	M3	np	np	np	np	np	np	0.00	0.00	0.00	0.00
231	1079. 1	36.1	670.0	Copertura quota inf.	M3	np	np	np	np	np	np	0.00	0.00	0.00	0.00
232	981.9	32.9	670.0	Copertura quota inf.	M3	np	np	np	np	np	np	0.00	0.00	0.00	0.00
233	884.6	29.6	670.0	Copertura quota inf.	M3	np	np	np	np	np	np	0.00	0.00	0.00	0.00
234	787.3	26.3	670.0	Copertura quota inf.	M3	np	np	np	np	np	np	0.00	0.00	0.00	0.00
235	690.0	447.3	806.0	Copertura quota inf.	M3	np	np	np	np	np	np	0.00	0.00	0.00	0.00
236	690.0	372.5	782.1	Copertura quota inf.	M3	np	np	np	np	np	np	0.00	0.00	0.00	0.00
237	690.0	297.8	758.1	Copertura quota inf.	M3	np	np	np	np	np	np	0.00	0.00	0.00	0.00
238	690.0	165.5	715.7	Copertura quota inf.	M3	np	np	np	np	np	np	0.00	0.00	0.00	0.00
239	690.0	522.0	743.3	Copertura quota inf.	-	np	np	np	np	np	np	0.00	0.00	0.00	0.00
240	690.0	522.0	656.7	Copertura quota inf.	-	np	np	np	np	np	np	0.00	0.00	0.00	0.00
241	595.3	19.8	670.0	Copertura quota inf.	M3	np	np	np	np	np	np	0.00	0.00	0.00	0.00
242	500.7	16.7	670.0	Copertura quota inf.	M3	np	np	np	np	np	np	0.00	0.00	0.00	0.00
243	1375. 3	579.1	824.3	Copertura quota inf.	M3	np	np	np	np	np	np	0.00	0.00	0.00	0.00
244	1374. 6	490.3	798.6	Copertura quota inf.	M3	np	np	np	np	np	np	0.00	0.00	0.00	0.00
245	1373. 9	401.4	772.9	Copertura quota inf.	M3	np	np	np	np	np	np	0.00	0.00	0.00	0.00
246	1373. 1	312.6	747.1	Copertura quota inf.	M3	np	np	np	np	np	np	0.00	0.00	0.00	0.00
247	1372. 4	223.7	721.4	Copertura quota inf.	M3	np	np	np	np	np	np	0.00	0.00	0.00	0.00
248	1371. 7	134.9	695.7	Copertura quota inf.	M3	np	np	np	np	np	np	0.00	0.00	0.00	0.00
249	1376.	668.0	756.7	Copertura	-	np	np	np	np	np	np	0.00	0.00	0.00	0.00

	0			quota inf.											
250	1376.0	668.0	663.3	Copertura quota inf.	-	np	np	np	np	np	np	0.00	0.00	0.00	0.00
251	788.0	601.1	850.0	Copertura quota inf.	M3	np	np	np	np	np	np	0.00	0.00	0.00	0.00
252	886.0	612.3	850.0	Copertura quota inf.	M3	np	np	np	np	np	np	0.00	0.00	0.00	0.00
253	984.0	623.4	850.0	Copertura quota inf.	M3	np	np	np	np	np	np	0.00	0.00	0.00	0.00
254	1082.0	634.6	850.0	Copertura quota inf.	M3	np	np	np	np	np	np	0.00	0.00	0.00	0.00
255	1180.0	645.7	850.0	Copertura quota inf.	M3	np	np	np	np	np	np	0.00	0.00	0.00	0.00
256	1278.0	656.9	850.0	Copertura quota inf.	M3	np	np	np	np	np	np	0.00	0.00	0.00	0.00
257	690.0	590.0	756.7	Copertura quota inf.	-	np	np	np	np	np	np	0.00	0.00	0.00	0.00
258	690.0	590.0	663.3	Copertura quota inf.	-	np	np	np	np	np	np	0.00	0.00	0.00	0.00
259	500.0	518.0	830.0	Copertura quota inf.	M3	np	np	np	np	np	np	0.00	0.00	0.00	0.00
260	595.0	520.0	830.0	Copertura quota inf.	M3	np	np	np	np	np	np	0.00	0.00	0.00	0.00
261	405.0	516.0	743.3	Copertura quota inf.	-	np	np	np	np	np	np	0.00	0.00	0.00	0.00
262	405.0	516.0	656.7	Copertura quota inf.	-	np	np	np	np	np	np	0.00	0.00	0.00	0.00
263	81.0	524.8	830.0	Copertura quota inf.	M3	np	np	np	np	np	np	0.00	0.00	0.00	0.00
264	162.0	522.6	830.0	Copertura quota inf.	M3	np	np	np	np	np	np	0.00	0.00	0.00	0.00
265	243.0	520.4	830.0	Copertura quota inf.	M3	np	np	np	np	np	np	0.00	0.00	0.00	0.00
266	324.0	518.2	830.0	Copertura quota inf.	M3	np	np	np	np	np	np	0.00	0.00	0.00	0.00
267	787.3	26.3	770.0	Copertura quota sup.	M4	np	np	np	np	np	np	0.00	0.00	0.00	0.00
268	884.6	29.6	770.0	Copertura quota sup.	M4	np	np	np	np	np	np	0.00	0.00	0.00	0.00
269	981.9	32.9	770.0	Copertura quota sup.	M4	np	np	np	np	np	np	0.00	0.00	0.00	0.00
270	1079.1	36.1	770.0	Copertura quota sup.	M4	np	np	np	np	np	np	0.00	0.00	0.00	0.00
271	1176.4	39.4	770.0	Copertura quota sup.	M4	np	np	np	np	np	np	0.00	0.00	0.00	0.00
272	1273.7	42.7	770.0	Copertura quota sup.	M4	np	np	np	np	np	np	0.00	0.00	0.00	0.00
273	690.0	438.8	903.3	Copertura quota sup.	M4	np	np	np	np	np	np	0.00	0.00	0.00	0.00
274	690.0	355.7	876.7	Copertura quota sup.	M4	np	np	np	np	np	np	0.00	0.00	0.00	0.00
275	690.0	272.5	850.0	Copertura quota sup.	M4	np	np	np	np	np	np	0.00	0.00	0.00	0.00
276	690.0	189.3	823.3	Copertura quota sup.	M4	np	np	np	np	np	np	0.00	0.00	0.00	0.00
277	690.0	106.2	796.7	Copertura quota sup.	M4	np	np	np	np	np	np	0.00	0.00	0.00	0.00
278	1371.7	134.9	795.7	Copertura quota sup.	M4	np	np	np	np	np	np	0.00	0.00	0.00	0.00
279	1372.4	223.7	821.4	Copertura quota sup.	M4	np	np	np	np	np	np	0.00	0.00	0.00	0.00
280	1373.1	312.6	847.1	Copertura quota sup.	M4	np	np	np	np	np	np	0.00	0.00	0.00	0.00
281	1373.9	401.4	872.9	Copertura quota sup.	M4	np	np	np	np	np	np	0.00	0.00	0.00	0.00
282	1374.6	490.3	898.6	Copertura quota sup.	M4	np	np	np	np	np	np	0.00	0.00	0.00	0.00
283	1375.3	579.1	924.3	Copertura quota sup.	M4	np	np	np	np	np	np	0.00	0.00	0.00	0.00
284	1278.0	656.9	950.0	Copertura quota sup.	M4	np	np	np	np	np	np	0.00	0.00	0.00	0.00
285	1180.0	645.7	950.0	Copertura quota sup.	M4	np	np	np	np	np	np	0.00	0.00	0.00	0.00
286	1082.0	634.6	950.0	Copertura quota sup.	M4	np	np	np	np	np	np	0.00	0.00	0.00	0.00

287	984.0	623.4	950.0	Copertura quota sup.	M4	np	np	np	np	np	np	0.00	0.00	0.00	0.00
288	886.0	612.3	950.0	Copertura quota sup.	M4	np	np	np	np	np	np	0.00	0.00	0.00	0.00
289	788.0	601.1	950.0	Copertura quota sup.	M4	np	np	np	np	np	np	0.00	0.00	0.00	0.00
290	0.0	87.8	193.3	Primo piano	-	np	np	np	np	np	np	0.00	0.00	0.00	0.00
291	0.0	87.8	96.7	Primo piano	-	np	np	np	np	np	np	0.00	0.00	0.00	0.00
292	0.0	175.7	193.3	Primo piano	-	np	np	np	np	np	np	0.00	0.00	0.00	0.00
293	0.0	175.7	96.7	Primo piano	-	np	np	np	np	np	np	0.00	0.00	0.00	0.00
294	0.0	263.5	193.3	Primo piano	-	np	np	np	np	np	np	0.00	0.00	0.00	0.00
295	0.0	263.5	96.7	Primo piano	-	np	np	np	np	np	np	0.00	0.00	0.00	0.00
296	0.0	351.3	193.3	Primo piano	-	np	np	np	np	np	np	0.00	0.00	0.00	0.00
297	0.0	351.3	96.7	Primo piano	-	np	np	np	np	np	np	0.00	0.00	0.00	0.00
298	0.0	439.2	96.7	Primo piano	-	np	np	np	np	np	np	0.00	0.00	0.00	0.00
299	0.0	439.2	193.3	Primo piano	-	np	np	np	np	np	np	0.00	0.00	0.00	0.00
300	101.3	3.4	193.3	Primo piano	-	np	np	np	np	np	np	0.00	0.00	0.00	0.00
301	101.3	3.4	96.7	Primo piano	-	np	np	np	np	np	np	0.00	0.00	0.00	0.00
302	221.2	7.4	96.7	Primo piano	-	np	np	np	np	np	np	0.00	0.00	0.00	0.00
303	221.2	7.4	193.3	Primo piano	-	np	np	np	np	np	np	0.00	0.00	0.00	0.00
304	50.6	1.7	96.7	Primo piano	-	np	np	np	np	np	np	0.00	0.00	0.00	0.00
305	50.5	1.7	193.3	Primo piano	-	np	np	np	np	np	np	0.00	0.00	0.00	0.00
306	313.6	10.4	96.7	Primo piano	-	np	np	np	np	np	np	0.00	0.00	0.00	0.00
307	313.6	10.4	193.3	Primo piano	-	np	np	np	np	np	np	0.00	0.00	0.00	0.00
308	740.7	24.7	193.3	Primo piano	-	np	np	np	np	np	np	0.00	0.00	0.00	0.00
309	740.7	24.7	96.7	Primo piano	-	np	np	np	np	np	np	0.00	0.00	0.00	0.00
310	920.6	30.8	193.3	Primo piano	-	np	np	np	np	np	np	0.00	0.00	0.00	0.00
311	920.6	30.8	96.7	Primo piano	-	np	np	np	np	np	np	0.00	0.00	0.00	0.00
312	800.6	26.7	96.7	Primo piano	-	np	np	np	np	np	np	0.00	0.00	0.00	0.00
313	800.6	26.7	193.3	Primo piano	-	np	np	np	np	np	np	0.00	0.00	0.00	0.00
314	1160.4	38.9	193.3	Primo piano	-	np	np	np	np	np	np	0.00	0.00	0.00	0.00
315	1160.4	38.9	96.7	Primo piano	-	np	np	np	np	np	np	0.00	0.00	0.00	0.00
316	1040.5	34.8	96.7	Primo piano	-	np	np	np	np	np	np	0.00	0.00	0.00	0.00
317	1040.5	34.8	193.3	Primo piano	-	np	np	np	np	np	np	0.00	0.00	0.00	0.00
318	1280.4	42.9	96.7	Primo piano	-	np	np	np	np	np	np	0.00	0.00	0.00	0.00
319	1280.4	42.9	193.3	Primo piano	-	np	np	np	np	np	np	0.00	0.00	0.00	0.00
320	860.6	28.8	96.7	Primo piano	-	np	np	np	np	np	np	0.00	0.00	0.00	0.00
321	860.5	28.8	193.3	Primo piano	-	np	np	np	np	np	np	0.00	0.00	0.00	0.00
322	1100.4	36.9	96.7	Primo piano	-	np	np	np	np	np	np	0.00	0.00	0.00	0.00
323	1100.4	36.9	193.3	Primo piano	-	np	np	np	np	np	np	0.00	0.00	0.00	0.00
324	690.0	168.0	193.3	Primo piano	-	np	np	np	np	np	np	0.00	0.00	0.00	0.00
325	690.0	168.0	96.7	Primo piano	-	np	np	np	np	np	np	0.00	0.00	0.00	0.00
326	690.0	358.1	217.5	Primo piano	-	np	np	np	np	np	np	0.00	0.00	0.00	0.00
327	690.0	353.8	145.0	Primo piano	-	np	np	np	np	np	np	0.00	0.00	0.00	0.00
328	690.0	349.4	72.5	Primo piano	-	np	np	np	np	np	np	0.00	0.00	0.00	0.00
329	690.0	467.4	201.4	Primo piano	-	np	np	np	np	np	np	0.00	0.00	0.00	0.00
330	690.0	412.8	209.4	Primo piano	-	np	np	np	np	np	np	0.00	0.00	0.00	0.00
331	690.0	293.5	207.6	Primo piano	-	np	np	np	np	np	np	0.00	0.00	0.00	0.00
332	690.0	228.6	197.4	Primo piano	-	np	np	np	np	np	np	0.00	0.00	0.00	0.00
333	690.0	237.1	101.9	Primo piano	-	np	np	np	np	np	np	0.00	0.00	0.00	0.00
334	690.0	296.0	131.4	Primo piano	-	np	np	np	np	np	np	0.00	0.00	0.00	0.00
335	690.0	300.6	68.0	Primo piano	-	np	np	np	np	np	np	0.00	0.00	0.00	0.00
336	690.0	433.6	77.5	Primo piano	-	np	np	np	np	np	np	0.00	0.00	0.00	0.00
337	690.0	416.1	144.4	Primo piano	-	np	np	np	np	np	np	0.00	0.00	0.00	0.00
338	690.0	468.5	147.5	Primo piano	-	np	np	np	np	np	np	0.00	0.00	0.00	0.00
339	511.6	17.0	193.3	Primo piano	-	np	np	np	np	np	np	0.00	0.00	0.00	0.00
340	511.6	17.0	96.7	Primo piano	-	np	np	np	np	np	np	0.00	0.00	0.00	0.00
341	631.6	21.0	96.7	Primo piano	-	np	np	np	np	np	np	0.00	0.00	0.00	0.00
342	631.6	21.0	193.3	Primo piano	-	np	np	np	np	np	np	0.00	0.00	0.00	0.00
343	458.8	15.3	96.7	Primo piano	-	np	np	np	np	np	np	0.00	0.00	0.00	0.00
344	458.8	15.3	193.3	Primo piano	-	np	np	np	np	np	np	0.00	0.00	0.00	0.00
345	1375.3	579.1	193.3	Primo piano	-	np	np	np	np	np	np	0.00	0.00	0.00	0.00
346	1375.3	579.1	96.7	Primo piano	-	np	np	np	np	np	np	0.00	0.00	0.00	0.00
347	1374.	490.3	193.3	Primo piano	-	np	np	np	np	np	np	0.00	0.00	0.00	0.00

	6														
348	1374.6	490.3	96.7	Primo piano	-	np	np	np	np	np	np	0.00	0.00	0.00	0.00
349	1373.9	401.4	193.3	Primo piano	-	np	np	np	np	np	np	0.00	0.00	0.00	0.00
350	1373.9	401.4	96.7	Primo piano	-	np	np	np	np	np	np	0.00	0.00	0.00	0.00
351	1373.1	312.6	193.3	Primo piano	-	np	np	np	np	np	np	0.00	0.00	0.00	0.00
352	1373.1	312.6	96.7	Primo piano	-	np	np	np	np	np	np	0.00	0.00	0.00	0.00
353	1372.4	223.7	193.3	Primo piano	-	np	np	np	np	np	np	0.00	0.00	0.00	0.00
354	1372.4	223.7	96.7	Primo piano	-	np	np	np	np	np	np	0.00	0.00	0.00	0.00
355	1371.7	134.9	96.7	Primo piano	-	np	np	np	np	np	np	0.00	0.00	0.00	0.00
356	1371.7	134.9	193.3	Primo piano	-	np	np	np	np	np	np	0.00	0.00	0.00	0.00
357	788.0	601.1	193.3	Primo piano	-	np	np	np	np	np	np	0.00	0.00	0.00	0.00
358	788.0	601.1	96.7	Primo piano	-	np	np	np	np	np	np	0.00	0.00	0.00	0.00
359	886.0	612.3	193.3	Primo piano	-	np	np	np	np	np	np	0.00	0.00	0.00	0.00
360	886.0	612.3	96.7	Primo piano	-	np	np	np	np	np	np	0.00	0.00	0.00	0.00
361	984.0	623.4	193.3	Primo piano	-	np	np	np	np	np	np	0.00	0.00	0.00	0.00
362	984.0	623.4	96.7	Primo piano	-	np	np	np	np	np	np	0.00	0.00	0.00	0.00
363	1082.0	634.6	193.3	Primo piano	-	np	np	np	np	np	np	0.00	0.00	0.00	0.00
364	1082.0	634.6	96.7	Primo piano	-	np	np	np	np	np	np	0.00	0.00	0.00	0.00
365	1180.0	645.7	193.3	Primo piano	-	np	np	np	np	np	np	0.00	0.00	0.00	0.00
366	1180.0	645.7	96.7	Primo piano	-	np	np	np	np	np	np	0.00	0.00	0.00	0.00
367	1278.0	656.9	96.7	Primo piano	-	np	np	np	np	np	np	0.00	0.00	0.00	0.00
368	1278.0	656.9	193.3	Primo piano	-	np	np	np	np	np	np	0.00	0.00	0.00	0.00
369	595.0	520.0	193.3	Primo piano	-	np	np	np	np	np	np	0.00	0.00	0.00	0.00
370	595.0	520.0	96.7	Primo piano	-	np	np	np	np	np	np	0.00	0.00	0.00	0.00
371	500.0	518.0	96.7	Primo piano	-	np	np	np	np	np	np	0.00	0.00	0.00	0.00
372	500.0	518.0	193.3	Primo piano	-	np	np	np	np	np	np	0.00	0.00	0.00	0.00
373	324.0	518.2	193.3	Primo piano	-	np	np	np	np	np	np	0.00	0.00	0.00	0.00
374	324.0	518.2	96.7	Primo piano	-	np	np	np	np	np	np	0.00	0.00	0.00	0.00
375	243.0	520.4	193.3	Primo piano	-	np	np	np	np	np	np	0.00	0.00	0.00	0.00
376	243.0	520.4	96.7	Primo piano	-	np	np	np	np	np	np	0.00	0.00	0.00	0.00
377	162.0	522.6	193.3	Primo piano	-	np	np	np	np	np	np	0.00	0.00	0.00	0.00
378	162.0	522.6	96.7	Primo piano	-	np	np	np	np	np	np	0.00	0.00	0.00	0.00
379	81.0	524.8	96.7	Primo piano	-	np	np	np	np	np	np	0.00	0.00	0.00	0.00
380	81.0	524.8	193.3	Primo piano	-	np	np	np	np	np	np	0.00	0.00	0.00	0.00
381	0.0	87.8	476.7	Sottotetto	-	np	np	np	np	np	np	0.00	0.00	0.00	0.00
382	0.0	87.8	383.3	Sottotetto	-	np	np	np	np	np	np	0.00	0.00	0.00	0.00
383	0.0	175.7	476.7	Sottotetto	-	np	np	np	np	np	np	0.00	0.00	0.00	0.00
384	0.0	175.7	383.3	Sottotetto	-	np	np	np	np	np	np	0.00	0.00	0.00	0.00
385	0.0	263.5	476.7	Sottotetto	-	np	np	np	np	np	np	0.00	0.00	0.00	0.00
386	0.0	263.5	383.3	Sottotetto	-	np	np	np	np	np	np	0.00	0.00	0.00	0.00
387	0.0	351.3	476.7	Sottotetto	-	np	np	np	np	np	np	0.00	0.00	0.00	0.00
388	0.0	351.3	383.3	Sottotetto	-	np	np	np	np	np	np	0.00	0.00	0.00	0.00
389	0.0	439.2	383.3	Sottotetto	-	np	np	np	np	np	np	0.00	0.00	0.00	0.00
390	0.0	439.2	476.7	Sottotetto	-	np	np	np	np	np	np	0.00	0.00	0.00	0.00
391	100.9	3.4	476.7	Sottotetto	-	np	np	np	np	np	np	0.00	0.00	0.00	0.00
392	100.9	3.4	383.3	Sottotetto	-	np	np	np	np	np	np	0.00	0.00	0.00	0.00
393	220.9	7.3	383.3	Sottotetto	-	np	np	np	np	np	np	0.00	0.00	0.00	0.00
394	220.9	7.3	476.7	Sottotetto	-	np	np	np	np	np	np	0.00	0.00	0.00	0.00
395	50.5	1.7	383.3	Sottotetto	-	np	np	np	np	np	np	0.00	0.00	0.00	0.00
396	50.5	1.7	476.7	Sottotetto	-	np	np	np	np	np	np	0.00	0.00	0.00	0.00
397	313.5	10.4	383.3	Sottotetto	-	np	np	np	np	np	np	0.00	0.00	0.00	0.00
398	313.5	10.4	476.7	Sottotetto	-	np	np	np	np	np	np	0.00	0.00	0.00	0.00
399	920.4	30.8	476.7	Sottotetto	-	np	np	np	np	np	np	0.00	0.00	0.00	0.00
400	920.4	30.8	383.3	Sottotetto	-	np	np	np	np	np	np	0.00	0.00	0.00	0.00
401	1160.3	38.9	476.7	Sottotetto	-	np	np	np	np	np	np	0.00	0.00	0.00	0.00
402	1160.3	38.9	383.3	Sottotetto	-	np	np	np	np	np	np	0.00	0.00	0.00	0.00
403	1040.	34.8	383.3	Sottotetto	-	np	np	np	np	np	np	0.00	0.00	0.00	0.00

	3														
404	1040.3	34.8	476.7	Sottotetto	-	np	np	np	np	np	np	0.00	0.00	0.00	0.00
405	1280.2	42.9	383.3	Sottotetto	-	np	np	np	np	np	np	0.00	0.00	0.00	0.00
406	1280.2	42.9	476.7	Sottotetto	-	np	np	np	np	np	np	0.00	0.00	0.00	0.00
407	862.8	28.8	476.7	Sottotetto	-	np	np	np	np	np	np	0.00	0.00	0.00	0.00
408	805.2	26.9	476.7	Sottotetto	-	np	np	np	np	np	np	0.00	0.00	0.00	0.00
409	747.6	24.9	476.7	Sottotetto	-	np	np	np	np	np	np	0.00	0.00	0.00	0.00
410	757.2	25.3	523.3	Sottotetto	-	np	np	np	np	np	np	0.00	0.00	0.00	0.00
411	745.7	24.9	383.3	Sottotetto	-	np	np	np	np	np	np	0.00	0.00	0.00	0.00
412	803.4	26.8	383.3	Sottotetto	-	np	np	np	np	np	np	0.00	0.00	0.00	0.00
413	861.8	28.8	383.3	Sottotetto	-	np	np	np	np	np	np	0.00	0.00	0.00	0.00
414	818.0	27.3	522.9	Sottotetto	-	np	np	np	np	np	np	0.00	0.00	0.00	0.00
415	867.1	29.0	523.2	Sottotetto	-	np	np	np	np	np	np	0.00	0.00	0.00	0.00
416	1100.3	36.9	383.3	Sottotetto	-	np	np	np	np	np	np	0.00	0.00	0.00	0.00
417	1100.3	36.9	476.7	Sottotetto	-	np	np	np	np	np	np	0.00	0.00	0.00	0.00
418	690.0	203.0	476.7	Sottotetto	-	np	np	np	np	np	np	0.00	0.00	0.00	0.00
419	690.0	203.0	383.3	Sottotetto	-	np	np	np	np	np	np	0.00	0.00	0.00	0.00
420	690.0	108.0	383.3	Sottotetto	-	np	np	np	np	np	np	0.00	0.00	0.00	0.00
421	690.0	108.0	476.7	Sottotetto	-	np	np	np	np	np	np	0.00	0.00	0.00	0.00
422	690.0	260.6	476.7	Sottotetto	-	np	np	np	np	np	np	0.00	0.00	0.00	0.00
423	690.0	274.6	383.3	Sottotetto	-	np	np	np	np	np	np	0.00	0.00	0.00	0.00
424	690.0	341.8	476.7	Sottotetto	-	np	np	np	np	np	np	0.00	0.00	0.00	0.00
425	690.0	354.1	383.3	Sottotetto	-	np	np	np	np	np	np	0.00	0.00	0.00	0.00
426	690.0	437.3	383.3	Sottotetto	-	np	np	np	np	np	np	0.00	0.00	0.00	0.00
427	690.0	431.2	476.7	Sottotetto	-	np	np	np	np	np	np	0.00	0.00	0.00	0.00
428	511.5	17.0	476.7	Sottotetto	-	np	np	np	np	np	np	0.00	0.00	0.00	0.00
429	511.5	17.0	383.3	Sottotetto	-	np	np	np	np	np	np	0.00	0.00	0.00	0.00
430	631.4	21.0	383.3	Sottotetto	-	np	np	np	np	np	np	0.00	0.00	0.00	0.00
431	631.4	21.0	476.7	Sottotetto	-	np	np	np	np	np	np	0.00	0.00	0.00	0.00
432	458.7	15.3	383.3	Sottotetto	-	np	np	np	np	np	np	0.00	0.00	0.00	0.00
433	458.7	15.3	476.7	Sottotetto	-	np	np	np	np	np	np	0.00	0.00	0.00	0.00
434	1375.3	579.1	476.7	Sottotetto	-	np	np	np	np	np	np	0.00	0.00	0.00	0.00
435	1375.3	579.1	383.3	Sottotetto	-	np	np	np	np	np	np	0.00	0.00	0.00	0.00
436	1374.6	490.3	476.7	Sottotetto	-	np	np	np	np	np	np	0.00	0.00	0.00	0.00
437	1374.6	490.3	383.3	Sottotetto	-	np	np	np	np	np	np	0.00	0.00	0.00	0.00
438	1373.9	401.4	476.7	Sottotetto	-	np	np	np	np	np	np	0.00	0.00	0.00	0.00
439	1373.9	401.4	383.3	Sottotetto	-	np	np	np	np	np	np	0.00	0.00	0.00	0.00
440	1373.1	312.6	476.7	Sottotetto	-	np	np	np	np	np	np	0.00	0.00	0.00	0.00
441	1373.1	312.6	383.3	Sottotetto	-	np	np	np	np	np	np	0.00	0.00	0.00	0.00
442	1372.4	223.7	476.7	Sottotetto	-	np	np	np	np	np	np	0.00	0.00	0.00	0.00
443	1372.4	223.7	383.3	Sottotetto	-	np	np	np	np	np	np	0.00	0.00	0.00	0.00
444	1371.7	134.9	383.3	Sottotetto	-	np	np	np	np	np	np	0.00	0.00	0.00	0.00
445	1371.7	134.9	476.7	Sottotetto	-	np	np	np	np	np	np	0.00	0.00	0.00	0.00
446	788.0	601.1	476.7	Sottotetto	-	np	np	np	np	np	np	0.00	0.00	0.00	0.00
447	788.0	601.1	383.3	Sottotetto	-	np	np	np	np	np	np	0.00	0.00	0.00	0.00
448	886.0	612.3	476.7	Sottotetto	-	np	np	np	np	np	np	0.00	0.00	0.00	0.00
449	886.0	612.3	383.3	Sottotetto	-	np	np	np	np	np	np	0.00	0.00	0.00	0.00
450	984.0	623.4	476.7	Sottotetto	-	np	np	np	np	np	np	0.00	0.00	0.00	0.00
451	984.0	623.4	383.3	Sottotetto	-	np	np	np	np	np	np	0.00	0.00	0.00	0.00
452	1082.0	634.6	476.7	Sottotetto	-	np	np	np	np	np	np	0.00	0.00	0.00	0.00
453	1082.0	634.6	383.3	Sottotetto	-	np	np	np	np	np	np	0.00	0.00	0.00	0.00
454	1180.0	645.7	476.7	Sottotetto	-	np	np	np	np	np	np	0.00	0.00	0.00	0.00
455	1180.0	645.7	383.3	Sottotetto	-	np	np	np	np	np	np	0.00	0.00	0.00	0.00

456	1278.0	656.9	383.3	Sottotetto	-	np	np	np	np	np	np	0.00	0.00	0.00	0.00
457	1278.0	656.9	476.7	Sottotetto	-	np	np	np	np	np	np	0.00	0.00	0.00	0.00
458	595.0	520.0	476.7	Sottotetto	-	np	np	np	np	np	np	0.00	0.00	0.00	0.00
459	595.0	520.0	383.3	Sottotetto	-	np	np	np	np	np	np	0.00	0.00	0.00	0.00
460	500.0	518.0	383.3	Sottotetto	-	np	np	np	np	np	np	0.00	0.00	0.00	0.00
461	500.0	518.0	476.7	Sottotetto	-	np	np	np	np	np	np	0.00	0.00	0.00	0.00
462	324.0	518.2	476.7	Sottotetto	-	np	np	np	np	np	np	0.00	0.00	0.00	0.00
463	324.0	518.2	383.3	Sottotetto	-	np	np	np	np	np	np	0.00	0.00	0.00	0.00
464	243.0	520.4	476.7	Sottotetto	-	np	np	np	np	np	np	0.00	0.00	0.00	0.00
465	243.0	520.4	383.3	Sottotetto	-	np	np	np	np	np	np	0.00	0.00	0.00	0.00
466	162.0	522.6	476.7	Sottotetto	-	np	np	np	np	np	np	0.00	0.00	0.00	0.00
467	162.0	522.6	383.3	Sottotetto	-	np	np	np	np	np	np	0.00	0.00	0.00	0.00
468	81.0	524.8	383.3	Sottotetto	-	np	np	np	np	np	np	0.00	0.00	0.00	0.00
469	81.0	524.8	476.7	Sottotetto	-	np	np	np	np	np	np	0.00	0.00	0.00	0.00
470	0.0	439.2	725.6	Copertura quota inf.	-	np	np	np	np	np	np	0.00	0.00	0.00	0.00
471	0.0	439.2	647.8	Copertura quota inf.	-	np	np	np	np	np	np	0.00	0.00	0.00	0.00
472	0.0	351.3	707.8	Copertura quota inf.	-	np	np	np	np	np	np	0.00	0.00	0.00	0.00
473	0.0	351.3	638.9	Copertura quota inf.	-	np	np	np	np	np	np	0.00	0.00	0.00	0.00
474	0.0	263.5	690.0	Copertura quota inf.	-	np	np	np	np	np	np	0.00	0.00	0.00	0.00
475	0.0	263.5	630.0	Copertura quota inf.	-	np	np	np	np	np	np	0.00	0.00	0.00	0.00
476	0.0	185.4	675.7	Copertura quota inf.	-	np	np	np	np	np	np	0.00	0.00	0.00	0.00
477	0.0	176.9	628.0	Copertura quota inf.	-	np	np	np	np	np	np	0.00	0.00	0.00	0.00
478	0.0	90.9	631.8	Copertura quota inf.	-	np	np	np	np	np	np	0.00	0.00	0.00	0.00
479	0.0	121.4	668.1	Copertura quota inf.	-	np	np	np	np	np	np	0.00	0.00	0.00	0.00
480	161.7	5.4	620.0	Copertura quota inf.	-	np	np	np	np	np	np	0.00	0.00	0.00	0.00
481	319.1	10.6	620.0	Copertura quota inf.	-	np	np	np	np	np	np	0.00	0.00	0.00	0.00
482	99.4	3.3	619.8	Copertura quota inf.	-	np	np	np	np	np	np	0.00	0.00	0.00	0.00
483	50.0	1.7	619.9	Copertura quota inf.	-	np	np	np	np	np	np	0.00	0.00	0.00	0.00
484	237.7	7.9	620.0	Copertura quota inf.	-	np	np	np	np	np	np	0.00	0.00	0.00	0.00
485	981.1	32.8	620.0	Copertura quota inf.	-	np	np	np	np	np	np	0.00	0.00	0.00	0.00
486	1165.6	39.1	603.3	Copertura quota inf.	-	np	np	np	np	np	np	0.00	0.00	0.00	0.00
487	1171.0	39.2	636.7	Copertura quota inf.	-	np	np	np	np	np	np	0.00	0.00	0.00	0.00
488	1277.0	42.8	620.0	Copertura quota inf.	-	np	np	np	np	np	np	0.00	0.00	0.00	0.00
489	899.7	30.1	620.0	Copertura quota inf.	-	np	np	np	np	np	np	0.00	0.00	0.00	0.00
490	822.6	27.5	619.5	Copertura quota inf.	-	np	np	np	np	np	np	0.00	0.00	0.00	0.00
491	759.8	25.4	619.8	Copertura quota inf.	-	np	np	np	np	np	np	0.00	0.00	0.00	0.00
492	1099.4	36.8	602.7	Copertura quota inf.	-	np	np	np	np	np	np	0.00	0.00	0.00	0.00
493	1079.8	36.2	633.2	Copertura quota inf.	-	np	np	np	np	np	np	0.00	0.00	0.00	0.00
494	1040.3	34.8	597.6	Copertura quota inf.	-	np	np	np	np	np	np	0.00	0.00	0.00	0.00
495	1221.0	40.9	607.3	Copertura quota inf.	-	np	np	np	np	np	np	0.00	0.00	0.00	0.00
496	1221.9	41.0	638.0	Copertura quota inf.	-	np	np	np	np	np	np	0.00	0.00	0.00	0.00
497	690.0	223.0	652.1	Copertura quota inf.	-	np	np	np	np	np	np	0.00	0.00	0.00	0.00
498	690.0	108.0	633.6	Copertura quota inf.	-	np	np	np	np	np	np	0.00	0.00	0.00	0.00
499	690.0	310.2	664.0	Copertura	-	np	np	np	np	np	np	0.00	0.00	0.00	0.00

				quota inf.											
500	690.0	390.2	678.7	Copertura quota inf.	-	np	np	np	np	np	np	0.00	0.00	0.00	0.00
501	690.0	456.3	719.7	Copertura quota inf.	-	np	np	np	np	np	np	0.00	0.00	0.00	0.00
502	690.0	466.9	648.8	Copertura quota inf.	-	np	np	np	np	np	np	0.00	0.00	0.00	0.00
503	690.0	65.5	637.2	Copertura quota inf.	-	np	np	np	np	np	np	0.00	0.00	0.00	0.00
504	690.0	65.5	613.6	Copertura quota inf.	-	np	np	np	np	np	np	0.00	0.00	0.00	0.00
505	487.2	16.2	620.0	Copertura quota inf.	-	np	np	np	np	np	np	0.00	0.00	0.00	0.00
506	450.6	15.0	620.0	Copertura quota inf.	-	np	np	np	np	np	np	0.00	0.00	0.00	0.00
507	1375.3	581.9	699.1	Copertura quota inf.	-	np	np	np	np	np	np	0.00	0.00	0.00	0.00
508	1375.5	609.7	644.2	Copertura quota inf.	-	np	np	np	np	np	np	0.00	0.00	0.00	0.00
509	1278.0	656.9	756.7	Copertura quota inf.	-	np	np	np	np	np	np	0.00	0.00	0.00	0.00
510	1278.0	656.9	663.3	Copertura quota inf.	-	np	np	np	np	np	np	0.00	0.00	0.00	0.00
511	1180.0	645.7	756.7	Copertura quota inf.	-	np	np	np	np	np	np	0.00	0.00	0.00	0.00
512	1180.0	645.7	663.3	Copertura quota inf.	-	np	np	np	np	np	np	0.00	0.00	0.00	0.00
513	1082.0	634.6	756.7	Copertura quota inf.	-	np	np	np	np	np	np	0.00	0.00	0.00	0.00
514	1082.0	634.6	663.3	Copertura quota inf.	-	np	np	np	np	np	np	0.00	0.00	0.00	0.00
515	984.0	623.4	756.7	Copertura quota inf.	-	np	np	np	np	np	np	0.00	0.00	0.00	0.00
516	984.0	623.4	663.3	Copertura quota inf.	-	np	np	np	np	np	np	0.00	0.00	0.00	0.00
517	886.0	612.3	756.7	Copertura quota inf.	-	np	np	np	np	np	np	0.00	0.00	0.00	0.00
518	886.0	612.3	663.3	Copertura quota inf.	-	np	np	np	np	np	np	0.00	0.00	0.00	0.00
519	788.0	601.1	663.3	Copertura quota inf.	-	np	np	np	np	np	np	0.00	0.00	0.00	0.00
520	788.0	601.1	756.7	Copertura quota inf.	-	np	np	np	np	np	np	0.00	0.00	0.00	0.00
521	595.0	520.0	743.3	Copertura quota inf.	-	np	np	np	np	np	np	0.00	0.00	0.00	0.00
522	595.0	520.0	656.7	Copertura quota inf.	-	np	np	np	np	np	np	0.00	0.00	0.00	0.00
523	500.0	518.0	656.7	Copertura quota inf.	-	np	np	np	np	np	np	0.00	0.00	0.00	0.00
524	500.0	518.0	743.3	Copertura quota inf.	-	np	np	np	np	np	np	0.00	0.00	0.00	0.00
525	324.0	518.2	743.3	Copertura quota inf.	-	np	np	np	np	np	np	0.00	0.00	0.00	0.00
526	324.0	518.2	656.7	Copertura quota inf.	-	np	np	np	np	np	np	0.00	0.00	0.00	0.00
527	243.0	520.4	743.3	Copertura quota inf.	-	np	np	np	np	np	np	0.00	0.00	0.00	0.00
528	243.0	520.4	656.7	Copertura quota inf.	-	np	np	np	np	np	np	0.00	0.00	0.00	0.00
529	162.0	522.6	743.3	Copertura quota inf.	-	np	np	np	np	np	np	0.00	0.00	0.00	0.00
530	162.0	522.6	656.7	Copertura quota inf.	-	np	np	np	np	np	np	0.00	0.00	0.00	0.00
531	81.0	524.8	656.7	Copertura quota inf.	-	np	np	np	np	np	np	0.00	0.00	0.00	0.00
532	81.0	524.8	743.3	Copertura quota inf.	-	np	np	np	np	np	np	0.00	0.00	0.00	0.00
533	690.0	285.1	804.0	Copertura quota sup.	-	np	np	np	np	np	np	0.00	0.00	0.00	0.00
534	690.0	364.1	829.4	Copertura quota sup.	-	np	np	np	np	np	np	0.00	0.00	0.00	0.00
535	690.0	443.0	854.7	Copertura quota sup.	-	np	np	np	np	np	np	0.00	0.00	0.00	0.00
536	690.0	209.0	779.7	Copertura quota sup.	-	np	np	np	np	np	np	0.00	0.00	0.00	0.00

537	690.0	141.4	757.3	Copertura quota sup.	-	np	np	np	np	np	np	0.00	0.00	0.00	0.00
538	690.0	90.8	741.5	Copertura quota sup.	-	np	np	np	np	np	np	0.00	0.00	0.00	0.00

Tabella dei Nodi Master:

Nodo	Tipo Nodo	Coordinate [cm]		
		x	y	z
M1	Impalcato Rigido	705.22	300.65	290.00
M2	Impalcato Rigido	723.85	307.82	570.00
M3	Impalcato Rigido	726.78	309.16	757.26
M4	Impalcato Rigido	1045.19	326.53	858.23

3.7.3 Caratteristiche delle aste.

La tabella seguente riporta tutte le caratteristiche relative alle aste della struttura ed in modo particolare la colonna:

Asta : numerazione dell'asta
 Fili : fili fissi ai quali appartiene l'asta
 NI : nodo iniziale dell'asta
 NF : nodo finale dell'asta
 Tipo : funzione dell'asta
 Sez : sezione trasversale associata all'asta
 L : lunghezza teorica (nodo-nodo) dell'asta
 Imp. : impalcato di appartenenza dell'asta
 KwN : modulo di Winkler normale;
 KwT : modulo di Winkler tangenziale;

										Vincoli interni											
Asta	Fili	NI	NF	Tipo	Sez	L [cm]	Imp.	Kwn [daN/c m³]	Kwt [daN/c m³]	Estremo In.						Estremo Fin.					
										SpoX	SpoY	SpoZ	RotX	RotY	RotZ	SpoX	SpoY	SpoZ	RotX	RotY	RotZ
1	7, 1	7	84	Trave Fond.	1	87.83	Fondazioni	5.00	2.50	1.00	1.00	1.00	1.00	1.00	1.00	1.00	1.00	1.00	1.00	1.00	1.00
2	7, 1	84	85	Trave Fond.	1	87.83	Fondazioni	5.00	2.50	1.00	1.00	1.00	1.00	1.00	1.00	1.00	1.00	1.00	1.00	1.00	1.00
3	7, 1	85	86	Trave Fond.	1	87.83	Fondazioni	5.00	2.50	1.00	1.00	1.00	1.00	1.00	1.00	1.00	1.00	1.00	1.00	1.00	1.00
4	7, 1	86	87	Trave Fond.	1	87.83	Fondazioni	5.00	2.50	1.00	1.00	1.00	1.00	1.00	1.00	1.00	1.00	1.00	1.00	1.00	1.00
5	7, 1	87	88	Trave Fond.	1	87.83	Fondazioni	5.00	2.50	1.00	1.00	1.00	1.00	1.00	1.00	1.00	1.00	1.00	1.00	1.00	1.00
6	7, 1	88	1	Trave Fond.	1	87.83	Fondazioni	5.00	2.50	1.00	1.00	1.00	1.00	1.00	1.00	1.00	1.00	1.00	1.00	1.00	1.00
7	1, 9	1	95	Trave Fond.	1	50.66	Fondazioni	5.00	2.50	1.00	1.00	1.00	1.00	1.00	1.00	1.00	1.00	1.00	1.00	1.00	1.00
8	1, 9	95	43	Trave Fond.	1	50.66	Fondazioni	5.00	2.50	1.00	1.00	1.00	1.00	1.00	1.00	1.00	1.00	1.00	1.00	1.00	1.00
9	1, 9	43	96	Trave Fond.	1	60.00	Fondazioni	5.00	2.50	1.00	1.00	1.00	1.00	1.00	1.00	1.00	1.00	1.00	1.00	1.00	1.00
10	1, 9	96	45	Trave Fond.	1	60.00	Fondazioni	5.00	2.50	1.00	1.00	1.00	1.00	1.00	1.00	1.00	1.00	1.00	1.00	1.00	1.00
11	1, 9	45	97	Trave Fond.	1	92.45	Fondazioni	5.00	2.50	1.00	1.00	1.00	1.00	1.00	1.00	1.00	1.00	1.00	1.00	1.00	1.00
12	1, 9	97	9	Trave Fond.	1	92.45	Fondazioni	5.00	2.50	1.00	1.00	1.00	1.00	1.00	1.00	1.00	1.00	1.00	1.00	1.00	1.00
13	2, 3	2	47	Trave Fond.	1	50.70	Fondazioni	5.00	2.50	1.00	1.00	1.00	1.00	1.00	1.00	1.00	1.00	1.00	1.00	1.00	1.00
14	2, 3	47	51	Trave Fond.	1	60.00	Fondazioni	5.00	2.50	1.00	1.00	1.00	1.00	1.00	1.00	1.00	1.00	1.00	1.00	1.00	1.00
15	2, 3	51	102	Trave Fond.	1	60.00	Fondazioni	5.00	2.50	1.00	1.00	1.00	1.00	1.00	1.00	1.00	1.00	1.00	1.00	1.00	1.00
16	2, 3	102	50	Trave Fond.	1	60.00	Fondazioni	5.00	2.50	1.00	1.00	1.00	1.00	1.00	1.00	1.00	1.00	1.00	1.00	1.00	1.00
17	2, 3	50	103	Trave Fond.	1	60.00	Fondazioni	5.00	2.50	1.00	1.00	1.00	1.00	1.00	1.00	1.00	1.00	1.00	1.00	1.00	1.00
18	2, 3	103	55	Trave Fond.	1	60.00	Fondazioni	5.00	2.50	1.00	1.00	1.00	1.00	1.00	1.00	1.00	1.00	1.00	1.00	1.00	1.00
19	2, 3	55	104	Trave Fond.	1	60.00	Fondazioni	5.00	2.50	1.00	1.00	1.00	1.00	1.00	1.00	1.00	1.00	1.00	1.00	1.00	1.00
20	2, 3	104	54	Trave Fond.	1	60.00	Fondazioni	5.00	2.50	1.00	1.00	1.00	1.00	1.00	1.00	1.00	1.00	1.00	1.00	1.00	1.00
21	2, 3	54	105	Trave Fond.	1	60.00	Fondazioni	5.00	2.50	1.00	1.00	1.00	1.00	1.00	1.00	1.00	1.00	1.00	1.00	1.00	1.00
22	2, 3	105	57	Trave Fond.	1	60.00	Fondazioni	5.00	2.50	1.00	1.00	1.00	1.00	1.00	1.00	1.00	1.00	1.00	1.00	1.00	1.00
23	2, 3	57	3	Trave Fond.	1	90.69	Fondazioni	5.00	2.50	1.00	1.00	1.00	1.00	1.00	1.00	1.00	1.00	1.00	1.00	1.00	1.00
24	6, 2	6	113	Trave Fond.	1	88.50	Fondazioni	5.00	2.50	1.00	1.00	1.00	1.00	1.00	1.00	1.00	1.00	1.00	1.00	1.00	1.00
25	6, 2	113	114	Trave Fond.	1	88.50	Fondazioni	5.00	2.50	1.00	1.00	1.00	1.00	1.00	1.00	1.00	1.00	1.00	1.00	1.00	1.00
26	6, 2	114	115	Trave Fond.	1	88.50	Fondazioni	5.00	2.50	1.00	1.00	1.00	1.00	1.00	1.00	1.00	1.00	1.00	1.00	1.00	1.00
27	6, 2	115	59	Trave Fond.	1	88.50	Fondazioni	5.00	2.50	1.00	1.00	1.00	1.00	1.00	1.00	1.00	1.00	1.00	1.00	1.00	1.00
28	6, 2	59	116	Trave Fond.	1	72.50	Fondazioni	5.00	2.50	1.00	1.00	1.00	1.00	1.00	1.00	1.00	1.00	1.00	1.00	1.00	1.00
29	6, 2	116	2	Trave Fond.	1	72.50	Fondazioni	5.00	2.50	1.00	1.00	1.00	1.00	1.00	1.00	1.00	1.00	1.00	1.00	1.00	1.00
30	9, 2	9	121	Trave Fond.	1	52.84	Fondazioni	5.00	2.50	1.00	1.00	1.00	1.00	1.00	1.00	1.00	1.00	1.00	1.00	1.00	1.00
31	9, 2	121	61	Trave Fond.	1	52.84	Fondazioni	5.00	2.50	1.00	1.00	1.00	1.00	1.00	1.00	1.00	1.00	1.00	1.00	1.00	1.00
32	9, 2	61	122	Trave Fond.	1	60.00	Fondazioni	5.00	2.50	1.00	1.00	1.00	1.00	1.00	1.00	1.00	1.00	1.00	1.00	1.00	1.00
33	9, 2	122	63	Trave Fond.	1	60.00	Fondazioni	5.00	2.50	1.00	1.00	1.00	1.00	1.00	1.00	1.00	1.00	1.00	1.00	1.00	1.00
34	9, 2	63	2	Trave Fond.	1	58.47	Fondazioni	5.00	2.50	1.00	1.00	1.00	1.00	1.00	1.00	1.00	1.00	1.00	1.00	1.00	1.00
35	3, 4	3	129	Trave Fond.	1	88.86	Fondazioni	5.00	2.50	1.00	1.00	1.00	1.00	1.00	1.00	1.00	1.00	1.00	1.00	1.00	1.00
36	3, 4	129	130	Trave Fond.	1	88.86	Fondazioni	5.00	2.50	1.00	1.00	1.00	1.00	1.00	1.00	1.00	1.00	1.00	1.00	1.00	1.00
37	3, 4	130	131	Trave Fond.	1	88.86	Fondazioni	5.00	2.50	1.00	1.00	1.00	1.00	1.00	1.00	1.00	1.00	1.00	1.00	1.00	1.00
38	3, 4	131	132	Trave Fond.	1	88.86	Fondazioni	5.00	2.50	1.00	1.00	1.00	1.00	1.00	1.00	1.00	1.00	1.00	1.00	1.00	1.00
39	3, 4	132	133	Trave Fond.	1	88.86	Fondazioni	5.00	2.50	1.00	1.00	1.00	1.00	1.00	1.00	1.00	1.00	1.00	1.00	1.00	1.00

114	7, 8	263	264	Cordolo	3	81.03	quota inf.	-	-	1.00	1.00	1.00	1.00	1.00	1.00	1.00	1.00	1.00	1.00	1.00
115	7, 8	264	265	Cordolo	3	81.03	Copertura quota inf.	-	-	1.00	1.00	1.00	1.00	1.00	1.00	1.00	1.00	1.00	1.00	1.00
116	7, 8	265	266	Cordolo	3	81.03	Copertura quota inf.	-	-	1.00	1.00	1.00	1.00	1.00	1.00	1.00	1.00	1.00	1.00	1.00
117	7, 8	266	35	Cordolo	3	81.03	Copertura quota sup.	-	-	1.00	1.00	1.00	1.00	1.00	1.00	1.00	1.00	1.00	1.00	1.00
118	2, 3	37	267	Cordolo	3	97.34	Copertura quota sup.	-	-	1.00	1.00	1.00	1.00	1.00	1.00	1.00	1.00	1.00	1.00	1.00
119	2, 3	267	268	Cordolo	3	97.34	Copertura quota sup.	-	-	1.00	1.00	1.00	1.00	1.00	1.00	1.00	1.00	1.00	1.00	1.00
120	2, 3	268	269	Cordolo	3	97.34	Copertura quota sup.	-	-	1.00	1.00	1.00	1.00	1.00	1.00	1.00	1.00	1.00	1.00	1.00
121	2, 3	269	270	Cordolo	3	97.34	Copertura quota sup.	-	-	1.00	1.00	1.00	1.00	1.00	1.00	1.00	1.00	1.00	1.00	1.00
122	2, 3	270	271	Cordolo	3	97.34	Copertura quota sup.	-	-	1.00	1.00	1.00	1.00	1.00	1.00	1.00	1.00	1.00	1.00	1.00
123	2, 3	271	272	Cordolo	3	97.34	Copertura quota sup.	-	-	1.00	1.00	1.00	1.00	1.00	1.00	1.00	1.00	1.00	1.00	1.00
124	2, 3	272	38	Cordolo	3	97.34	Copertura quota sup.	-	-	1.00	1.00	1.00	1.00	1.00	1.00	1.00	1.00	1.00	1.00	1.00
125	6, 2	41	273	Cordolo	3	87.34	Copertura quota sup.	-	-	1.00	1.00	1.00	1.00	1.00	1.00	1.00	1.00	1.00	1.00	1.00
126	6, 2	273	274	Cordolo	3	87.34	Copertura quota sup.	-	-	1.00	1.00	1.00	1.00	1.00	1.00	1.00	1.00	1.00	1.00	1.00
127	6, 2	274	275	Cordolo	3	87.34	Copertura quota sup.	-	-	1.00	1.00	1.00	1.00	1.00	1.00	1.00	1.00	1.00	1.00	1.00
128	6, 2	275	276	Cordolo	3	87.34	Copertura quota sup.	-	-	1.00	1.00	1.00	1.00	1.00	1.00	1.00	1.00	1.00	1.00	1.00
129	6, 2	276	277	Cordolo	3	87.34	Copertura quota sup.	-	-	1.00	1.00	1.00	1.00	1.00	1.00	1.00	1.00	1.00	1.00	1.00
130	6, 2	277	37	Cordolo	3	87.34	Copertura quota sup.	-	-	1.00	1.00	1.00	1.00	1.00	1.00	1.00	1.00	1.00	1.00	1.00
131	3, 4	38	278	Cordolo	3	92.51	Copertura quota sup.	-	-	1.00	1.00	1.00	1.00	1.00	1.00	1.00	1.00	1.00	1.00	1.00
132	3, 4	278	279	Cordolo	3	92.51	Copertura quota sup.	-	-	1.00	1.00	1.00	1.00	1.00	1.00	1.00	1.00	1.00	1.00	1.00
133	3, 4	279	280	Cordolo	3	92.51	Copertura quota sup.	-	-	1.00	1.00	1.00	1.00	1.00	1.00	1.00	1.00	1.00	1.00	1.00
134	3, 4	280	281	Cordolo	3	92.51	Copertura quota sup.	-	-	1.00	1.00	1.00	1.00	1.00	1.00	1.00	1.00	1.00	1.00	1.00
135	3, 4	281	282	Cordolo	3	92.51	Copertura quota sup.	-	-	1.00	1.00	1.00	1.00	1.00	1.00	1.00	1.00	1.00	1.00	1.00
136	3, 4	282	283	Cordolo	3	92.51	Copertura quota sup.	-	-	1.00	1.00	1.00	1.00	1.00	1.00	1.00	1.00	1.00	1.00	1.00
137	3, 4	283	39	Cordolo	3	92.51	Copertura quota sup.	-	-	1.00	1.00	1.00	1.00	1.00	1.00	1.00	1.00	1.00	1.00	1.00
138	4, 5	39	284	Cordolo	3	98.63	Copertura quota sup.	-	-	1.00	1.00	1.00	1.00	1.00	1.00	1.00	1.00	1.00	1.00	1.00
139	4, 5	284	285	Cordolo	3	98.63	Copertura quota sup.	-	-	1.00	1.00	1.00	1.00	1.00	1.00	1.00	1.00	1.00	1.00	1.00
140	4, 5	285	286	Cordolo	3	98.63	Copertura quota sup.	-	-	1.00	1.00	1.00	1.00	1.00	1.00	1.00	1.00	1.00	1.00	1.00
141	4, 5	286	287	Cordolo	3	98.63	Copertura quota sup.	-	-	1.00	1.00	1.00	1.00	1.00	1.00	1.00	1.00	1.00	1.00	1.00
142	4, 5	287	288	Cordolo	3	98.63	Copertura quota sup.	-	-	1.00	1.00	1.00	1.00	1.00	1.00	1.00	1.00	1.00	1.00	1.00
143	4, 5	288	289	Cordolo	3	98.63	Copertura quota sup.	-	-	1.00	1.00	1.00	1.00	1.00	1.00	1.00	1.00	1.00	1.00	1.00
144	4, 5	289	40	Cordolo	3	98.63	Copertura quota sup.	-	-	1.00	1.00	1.00	1.00	1.00	1.00	1.00	1.00	1.00	1.00	1.00
145	5, 6	40	41	Cordolo	3	70.88	Copertura quota sup.	-	-	1.00	1.00	1.00	1.00	1.00	1.00	1.00	1.00	1.00	1.00	1.00

3.7.4 Caratteristiche delle Pareti in Muratura.

Parete : numero della parete;
 Imp. : numero dell'impalcato;
 Fili : numero dei fili fissi iniziale e finale;
 Maschio : numero identificativo dei maschi murari di ogni parete;
 x_g : coordinata x del baricentro del maschio;
 y_g : coordinata y del baricentro del maschio;
 L : lunghezza della parete;
 H : altezza della parete;
 t : spessore della parete;
 α : angolo di rotazione della parete;

Parete	Imp.	Fili	Maschio	x_g [cm]	y_g [cm]	L [cm]	H [cm]	t [cm]	α [°]
1	Primo piano	7-1	1	20.0	263.5	447.00	290.00	40.00	270.00
2	Primo piano	1-9	1	70.6	22.4	60.00	290.00	46.00	1.90
3	Primo piano	1-9	2	305.8	30.2	170.58	290.00	46.00	1.90
4	Primo piano	2-3	1	725.0	44.2	30.00	290.00	46.00	1.93
5	Primo piano	2-3	2	859.9	48.8	120.00	290.00	46.00	1.93
6	Primo piano	2-3	3	1099.8	56.9	120.00	290.00	46.00	1.93
7	Primo piano	2-3	4	1305.0	63.8	50.74	290.00	46.00	1.93

8	Primo piano	6-2	1	690.0	335.0	334.00	260.00	46.00	270.00
9	Primo piano	9-2	1	466.0	35.5	90.00	260.00	46.00	1.92
10	Primo piano	9-2	2	650.5	41.7	39.16	260.00	46.00	1.92
11	Primo piano	3-4	1	1353.5	357.0	541.70	290.00	40.00	89.54
12	Primo piano	4-5	1	1021.9	607.6	628.43	290.00	40.00	186.49
13	Primo piano	8-6	1	545.0	518.9	250.06	260.00	40.00	1.21
14	Primo piano	7-8	1	215.2	511.8	349.68	290.00	40.00	1.27
1	Sottotetto	7-1	1	15.0	263.5	467.00	280.00	30.00	270.00
2	Sottotetto	1-9	1	65.5	17.2	70.00	280.00	36.00	1.90
3	Sottotetto	1-9	2	305.7	25.2	170.74	280.00	36.00	1.90
4	Sottotetto	2-3	1	812.4	42.1	215.00	280.00	36.00	1.93
5	Sottotetto	2-3	2	1099.8	51.8	120.00	280.00	36.00	1.93
6	Sottotetto	2-3	3	1310.1	59.0	60.90	280.00	36.00	1.93
7	Sottotetto	6-2	1	690.0	355.0	304.00	250.00	36.00	270.00
8	Sottotetto	6-2	2	690.0	80.5	55.00	250.00	36.00	270.00
9	Sottotetto	9-2	1	466.0	30.5	90.00	250.00	36.00	1.92
10	Sottotetto	9-2	2	653.0	36.8	44.16	250.00	36.00	1.92
11	Sottotetto	3-4	1	1358.5	357.0	561.78	280.00	30.00	89.54
12	Sottotetto	4-5	1	1024.6	613.0	643.93	280.00	30.00	186.49
13	Sottotetto	5-6	1	690.0	548.5	23.00	280.00	30.00	270.00
14	Sottotetto	8-6	1	547.5	519.0	255.06	250.00	30.00	1.21
15	Sottotetto	7-8	1	210.1	514.1	359.87	280.00	30.00	0.57
1	Copertura quota inf.	1-7	1	15.0	263.5	467.00	160.00	30.00	90.00
2	Copertura quota inf.	9-1	1	218.0	22.3	375.23	80.00	36.00	181.90
3	Copertura quota inf.	3-2	1	1022.8	49.2	635.90	100.00	36.00	181.93
4	Copertura quota inf.	6-2	1	690.0	365.0	284.00	188.10	36.00	270.00
5	Copertura quota inf.	6-2	2	690.0	80.5	55.00	94.05	36.00	270.00
6	Copertura quota inf.	2-9	1	540.3	33.0	269.68	80.00	36.00	181.92
7	Copertura quota inf.	4-3	1	1358.5	357.0	561.78	190.00	30.00	269.54
8	Copertura quota inf.	5-4	1	1024.6	613.0	643.93	280.00	30.00	6.49
9	Copertura quota inf.	6-5	1	690.0	548.5	23.00	270.00	30.00	90.00
10	Copertura quota inf.	8-6	1	540.0	518.8	270.06	240.00	30.00	1.21
11	Copertura quota inf.	7-8	1	217.6	514.1	374.87	240.00	30.00	0.57
1	Copertura quota sup.	2-3	1	1022.8	49.2	635.90	80.00	36.00	1.93
2	Copertura quota sup.	6-2	1	690.0	287.5	469.00	80.00	36.00	270.00
3	Copertura quota sup.	3-4	1	1358.5	357.0	561.78	80.00	30.00	89.54
4	Copertura quota sup.	4-5	1	1024.6	613.0	643.93	80.00	30.00	186.49
5	Copertura quota sup.	5-6	1	690.0	541.0	38.00	80.00	30.00	270.00

3.7.5 Carichi distribuiti sugli elementi.

Nel seguente paragrafo sono riportati i carichi applicati sulle aste. Per i sovraccarichi d'esercizio è stato applicato il coefficiente α_A , definito al punto 3.1.4.1 del D.M. 17/01/2018.

Carichi Locali Aste

Asta : numero dell'asta come da paragrafo "Caratteristiche delle aste";
 Imp. : impalcato al quale appartiene l'asta;
 Fili : fili fissi ai quali appartiene l'asta;
 C.C. : condizione di carico come da paragrafo "Condizioni di carico valutate";
 DLoc : direzione dei carichi secondo il sistema di riferimento locale dell'asta;
 in : valore del carico distribuito relativo al nodo iniziale come da paragrafo "Caratteristiche delle aste";
 fin : valore del carico distribuito relativo al nodo finale come da paragrafo "Caratteristiche delle aste".

Asta	Imp.	Fili	C.C.	DLoc X [daN/m]		DLoc Y [daN/m]		DLoc Z [daN/m]		Mom. Torcente [daNm/m]	
				in.	fin.	in.	fin.	in.	fin.	in.	fin.
65	Prim o piano	9, 2	Car. Perm.	0.00	0.00	0.00	0.00	0.00	0.00	325.93	427.58
			Car. Eserc.	0.00	0.00	0.00	0.00	0.00	0.00	80.63	106.04
			Car. Eserc.	0.00	0.00	0.00	0.00	0.00	0.00	322.50	424.15
66	Prim o piano	9, 2	Car. Perm.	0.00	0.00	0.00	0.00	0.00	0.00	427.58	529.24
			Car. Eserc.	0.00	0.00	0.00	0.00	0.00	0.00	106.04	131.45
			Car. Eserc.	0.00	0.00	0.00	0.00	0.00	0.00	424.15	525.81
67	Prim o piano	9, 2	Car. Perm.	0.00	0.00	0.00	0.00	0.00	0.00	529.56	644.84
			Car. Eserc.	0.00	0.00	0.00	0.00	0.00	0.00	131.53	160.35
			Car. Eserc.	0.00	0.00	0.00	0.00	0.00	0.00	526.13	641.41
68	Prim o piano	9, 2	Car. Perm.	0.00	0.00	0.00	0.00	0.00	0.00	644.84	760.44
			Car. Eserc.	0.00	0.00	0.00	0.00	0.00	0.00	160.35	189.25
			Car. Eserc.	0.00	0.00	0.00	0.00	0.00	0.00	641.41	757.01
69	Prim o piano	9, 2	Car. Perm.	0.00	0.00	0.00	0.00	0.00	0.00	760.77	873.43
			Car. Eserc.	0.00	0.00	0.00	0.00	0.00	0.00	189.33	217.50
			Car. Eserc.	0.00	0.00	0.00	0.00	0.00	0.00	757.34	870.00
70	Prim o piano	8, 6	Car. Perm.	0.00	0.00	0.00	0.00	0.00	0.00	-200.00	-200.00
			Car. Eserc.	0.00	0.00	0.00	0.00	0.00	0.00	-50.00	-50.00
			Car. Eserc.	0.00	0.00	0.00	0.00	0.00	0.00	-200.00	-200.00
71	Prim o piano	8, 6	Car. Perm.	0.00	0.00	0.00	0.00	0.00	0.00	-200.00	-200.00
			Car. Eserc.	0.00	0.00	0.00	0.00	0.00	0.00	-50.00	-50.00
			Car. Eserc.	0.00	0.00	0.00	0.00	0.00	0.00	-200.00	-200.00
72	Prim o piano	8, 6	Car. Perm.	0.00	0.00	0.00	0.00	0.00	0.00	-200.00	-200.00
			Car. Eserc.	0.00	0.00	0.00	0.00	0.00	0.00	-50.00	-50.00
			Car. Eserc.	0.00	0.00	0.00	0.00	0.00	0.00	-200.00	-200.00
80	Sotto tetto	9, 2	Car. Perm.	0.00	0.00	0.00	0.00	0.00	0.00	420.50	522.15
			Car. Eserc.	0.00	0.00	0.00	0.00	0.00	0.00	105.13	130.54
			Car. Eserc.	0.00	0.00	0.00	0.00	0.00	0.00	420.50	522.15
81	Sotto tetto	9, 2	Car. Perm.	0.00	0.00	0.00	0.00	0.00	0.00	522.15	623.81
			Car. Eserc.	0.00	0.00	0.00	0.00	0.00	0.00	130.54	155.95
			Car. Eserc.	0.00	0.00	0.00	0.00	0.00	0.00	522.15	623.81
82	Sotto tetto	9, 2	Car. Perm.	0.00	0.00	0.00	0.00	0.00	0.00	623.81	739.41
			Car. Eserc.	0.00	0.00	0.00	0.00	0.00	0.00	155.95	184.85
			Car. Eserc.	0.00	0.00	0.00	0.00	0.00	0.00	623.81	739.41
83	Sotto tetto	9, 2	Car. Perm.	0.00	0.00	0.00	0.00	0.00	0.00	739.41	855.01
			Car. Eserc.	0.00	0.00	0.00	0.00	0.00	0.00	184.85	213.75
			Car. Eserc.	0.00	0.00	0.00	0.00	0.00	0.00	739.41	855.01
84	Sotto tetto	9, 2	Car. Perm.	0.00	0.00	0.00	0.00	0.00	0.00	855.01	968.00
			Car. Eserc.	0.00	0.00	0.00	0.00	0.00	0.00	213.75	242.00
			Car. Eserc.	0.00	0.00	0.00	0.00	0.00	0.00	855.01	968.00
85	Sotto tetto	8, 6	Car. Perm.	0.00	0.00	0.00	0.00	0.00	0.00	-200.00	-200.00
			Car. Eserc.	0.00	0.00	0.00	0.00	0.00	0.00	-50.00	-50.00
			Car. Eserc.	0.00	0.00	0.00	0.00	0.00	0.00	-200.00	-200.00
86	Sotto tetto	8, 6	Car. Perm.	0.00	0.00	0.00	0.00	0.00	0.00	-200.00	-200.00
			Car. Eserc.	0.00	0.00	0.00	0.00	0.00	0.00	-50.00	-50.00
			Car. Eserc.	0.00	0.00	0.00	0.00	0.00	0.00	-200.00	-200.00
87	Sotto tetto	8, 6	Car. Perm.	0.00	0.00	0.00	0.00	0.00	0.00	-200.00	-200.00

			Car. Eserc.	0.00	0.00	0.00	0.00	0.00	0.00	-50.00	-50.00
			Car. Eserc.	0.00	0.00	0.00	0.00	0.00	0.00	-200.00	-200.00

Carichi Globali Aste

Asta : numero dell'asta come da paragrafo "Caratteristiche delle aste";
 Imp. : impalcato al quale appartiene l'asta;
 Fili : fili fissi ai quali appartiene l'asta;
 C.C. : condizione di carico come da paragrafo "Condizioni di carico valutate";
 DGlob : direzione dei carichi secondo il sistema di riferimento globale dell'asta;
 in : valore del carico distribuito relativo al nodo iniziale come da paragrafo "Caratteristiche delle aste";
 fin : valore del carico distribuito relativo al nodo finale come da paragrafo "Caratteristiche delle aste".

Asta	Imp.	Fili	C.C.	DGlob X [daN/m]		DGlob Y [daN/m]		DGlob Z [daN/m]	
				in.	fin.	in.	fin.	in.	fin.
1	Fondazioni	7, 1	Car. Perm.	0.00	0.00	0.00	0.00	-900.00	-900.00
			Car. Eserc.	0.00	0.00	0.00	0.00	-40.00	-40.00
			Car. Eserc.	0.00	0.00	0.00	0.00	-40.00	-40.00
2	Fondazioni	7, 1	Car. Perm.	0.00	0.00	0.00	0.00	-900.00	-900.00
			Car. Eserc.	0.00	0.00	0.00	0.00	-40.00	-40.00
			Car. Eserc.	0.00	0.00	0.00	0.00	-40.00	-40.00
3	Fondazioni	7, 1	Car. Perm.	0.00	0.00	0.00	0.00	-900.00	-900.00
			Car. Eserc.	0.00	0.00	0.00	0.00	-40.00	-40.00
			Car. Eserc.	0.00	0.00	0.00	0.00	-40.00	-40.00
4	Fondazioni	7, 1	Car. Perm.	0.00	0.00	0.00	0.00	-900.00	-900.00
			Car. Eserc.	0.00	0.00	0.00	0.00	-40.00	-40.00
			Car. Eserc.	0.00	0.00	0.00	0.00	-40.00	-40.00
5	Fondazioni	7, 1	Car. Perm.	0.00	0.00	0.00	0.00	-900.00	-900.00
			Car. Eserc.	0.00	0.00	0.00	0.00	-40.00	-40.00
			Car. Eserc.	0.00	0.00	0.00	0.00	-40.00	-40.00
6	Fondazioni	7, 1	Car. Perm.	0.00	0.00	0.00	0.00	-900.00	-900.00
			Car. Eserc.	0.00	0.00	0.00	0.00	-40.00	-40.00
			Car. Eserc.	0.00	0.00	0.00	0.00	-40.00	-40.00
7	Fondazioni	1, 9	Car. Perm.	0.00	0.00	0.00	0.00	-900.00	-900.00
			Car. Eserc.	0.00	0.00	0.00	0.00	-40.00	-40.00
			Car. Eserc.	0.00	0.00	0.00	0.00	-40.00	-40.00
8	Fondazioni	1, 9	Car. Perm.	0.00	0.00	0.00	0.00	-900.00	-900.00
			Car. Eserc.	0.00	0.00	0.00	0.00	-40.00	-40.00
			Car. Eserc.	0.00	0.00	0.00	0.00	-40.00	-40.00
9	Fondazioni	1, 9	Car. Perm.	0.00	0.00	0.00	0.00	-900.00	-900.00
			Car. Eserc.	0.00	0.00	0.00	0.00	-40.00	-40.00
			Car. Eserc.	0.00	0.00	0.00	0.00	-40.00	-40.00
10	Fondazioni	1, 9	Car. Perm.	0.00	0.00	0.00	0.00	-900.00	-900.00
			Car. Eserc.	0.00	0.00	0.00	0.00	-40.00	-40.00
			Car. Eserc.	0.00	0.00	0.00	0.00	-40.00	-40.00
11	Fondazioni	1, 9	Car. Perm.	0.00	0.00	0.00	0.00	-900.00	-900.00
			Car. Eserc.	0.00	0.00	0.00	0.00	-40.00	-40.00
			Car. Eserc.	0.00	0.00	0.00	0.00	-40.00	-40.00
12	Fondazioni	1, 9	Car. Perm.	0.00	0.00	0.00	0.00	-900.00	-900.00
			Car. Eserc.	0.00	0.00	0.00	0.00	-40.00	-40.00
			Car. Eserc.	0.00	0.00	0.00	0.00	-40.00	-40.00
13	Fondazioni	2, 3	Car. Perm.	0.00	0.00	0.00	0.00	-900.00	-900.00
			Car. Eserc.	0.00	0.00	0.00	0.00	-40.00	-40.00
			Car. Eserc.	0.00	0.00	0.00	0.00	-40.00	-40.00
14	Fondazioni	2, 3	Car. Perm.	0.00	0.00	0.00	0.00	-900.00	-900.00
			Car. Eserc.	0.00	0.00	0.00	0.00	-40.00	-40.00
			Car. Eserc.	0.00	0.00	0.00	0.00	-40.00	-40.00
15	Fondazioni	2, 3	Car. Perm.	0.00	0.00	0.00	0.00	-900.00	-900.00
			Car. Eserc.	0.00	0.00	0.00	0.00	-40.00	-40.00
			Car. Eserc.	0.00	0.00	0.00	0.00	-40.00	-40.00
16	Fondazioni	2, 3	Car. Perm.	0.00	0.00	0.00	0.00	-900.00	-900.00
			Car. Eserc.	0.00	0.00	0.00	0.00	-40.00	-40.00
			Car. Eserc.	0.00	0.00	0.00	0.00	-40.00	-40.00
17	Fondazioni	2, 3	Car. Perm.	0.00	0.00	0.00	0.00	-900.00	-900.00
			Car. Eserc.	0.00	0.00	0.00	0.00	-40.00	-40.00
			Car. Eserc.	0.00	0.00	0.00	0.00	-40.00	-40.00
18	Fondazioni	2, 3	Car. Perm.	0.00	0.00	0.00	0.00	-900.00	-900.00
			Car. Eserc.	0.00	0.00	0.00	0.00	-40.00	-40.00
			Car. Eserc.	0.00	0.00	0.00	0.00	-40.00	-40.00
19	Fondazioni	2, 3	Car. Perm.	0.00	0.00	0.00	0.00	-900.00	-900.00
			Car. Eserc.	0.00	0.00	0.00	0.00	-40.00	-40.00

[illegible]

44	Fondazioni	4, 5	Car. Perm.	0.00	0.00	0.00	0.00	-900.00	-900.00
			Car. Eserc.	0.00	0.00	0.00	0.00	-40.00	-40.00
			Car. Eserc.	0.00	0.00	0.00	0.00	-40.00	-40.00
45	Fondazioni	4, 5	Car. Perm.	0.00	0.00	0.00	0.00	-900.00	-900.00
			Car. Eserc.	0.00	0.00	0.00	0.00	-40.00	-40.00
			Car. Eserc.	0.00	0.00	0.00	0.00	-40.00	-40.00
46	Fondazioni	4, 5	Car. Perm.	0.00	0.00	0.00	0.00	-900.00	-900.00
			Car. Eserc.	0.00	0.00	0.00	0.00	-40.00	-40.00
			Car. Eserc.	0.00	0.00	0.00	0.00	-40.00	-40.00
47	Fondazioni	4, 5	Car. Perm.	0.00	0.00	0.00	0.00	-900.00	-900.00
			Car. Eserc.	0.00	0.00	0.00	0.00	-40.00	-40.00
			Car. Eserc.	0.00	0.00	0.00	0.00	-40.00	-40.00
48	Fondazioni	4, 5	Car. Perm.	0.00	0.00	0.00	0.00	-900.00	-900.00
			Car. Eserc.	0.00	0.00	0.00	0.00	-40.00	-40.00
			Car. Eserc.	0.00	0.00	0.00	0.00	-40.00	-40.00
49	Fondazioni	5, 6	Car. Perm.	0.00	0.00	0.00	0.00	-900.00	-900.00
			Car. Eserc.	0.00	0.00	0.00	0.00	-40.00	-40.00
			Car. Eserc.	0.00	0.00	0.00	0.00	-40.00	-40.00
50	Fondazioni	8, 6	Car. Perm.	0.00	0.00	0.00	0.00	-900.00	-900.00
			Car. Eserc.	0.00	0.00	0.00	0.00	-40.00	-40.00
			Car. Eserc.	0.00	0.00	0.00	0.00	-40.00	-40.00
51	Fondazioni	8, 6	Car. Perm.	0.00	0.00	0.00	0.00	-900.00	-900.00
			Car. Eserc.	0.00	0.00	0.00	0.00	-40.00	-40.00
			Car. Eserc.	0.00	0.00	0.00	0.00	-40.00	-40.00
52	Fondazioni	8, 6	Car. Perm.	0.00	0.00	0.00	0.00	-900.00	-900.00
			Car. Eserc.	0.00	0.00	0.00	0.00	-40.00	-40.00
			Car. Eserc.	0.00	0.00	0.00	0.00	-40.00	-40.00
53	Fondazioni	7, 8	Car. Perm.	0.00	0.00	0.00	0.00	-900.00	-900.00
			Car. Eserc.	0.00	0.00	0.00	0.00	-40.00	-40.00
			Car. Eserc.	0.00	0.00	0.00	0.00	-40.00	-40.00
54	Fondazioni	7, 8	Car. Perm.	0.00	0.00	0.00	0.00	-900.00	-900.00
			Car. Eserc.	0.00	0.00	0.00	0.00	-40.00	-40.00
			Car. Eserc.	0.00	0.00	0.00	0.00	-40.00	-40.00
55	Fondazioni	7, 8	Car. Perm.	0.00	0.00	0.00	0.00	-900.00	-900.00
			Car. Eserc.	0.00	0.00	0.00	0.00	-40.00	-40.00
			Car. Eserc.	0.00	0.00	0.00	0.00	-40.00	-40.00
56	Fondazioni	7, 8	Car. Perm.	0.00	0.00	0.00	0.00	-900.00	-900.00
			Car. Eserc.	0.00	0.00	0.00	0.00	-40.00	-40.00
			Car. Eserc.	0.00	0.00	0.00	0.00	-40.00	-40.00
57	Fondazioni	7, 8	Car. Perm.	0.00	0.00	0.00	0.00	-900.00	-900.00
			Car. Eserc.	0.00	0.00	0.00	0.00	-40.00	-40.00
			Car. Eserc.	0.00	0.00	0.00	0.00	-40.00	-40.00
58	Primo piano	6, 2	Car. Perm.	0.00	0.00	0.00	0.00	-225.00	-225.00
59	Primo piano	6, 2	Car. Perm.	0.00	0.00	0.00	0.00	-225.00	-225.00
60	Primo piano	6, 2	Car. Perm.	0.00	0.00	0.00	0.00	-225.00	-225.00
61	Primo piano	6, 2	Car. Perm.	0.00	0.00	0.00	0.00	-225.00	-225.00
62	Primo piano	6, 2	Car. Perm.	0.00	0.00	0.00	0.00	-225.00	-225.00
63	Primo piano	6, 2	Car. Perm.	0.00	0.00	0.00	0.00	-225.00	-225.00
64	Primo piano	6, 2	Car. Perm.	0.00	0.00	0.00	0.00	-225.00	-225.00
65	Primo piano	9, 2	Car. Perm.	0.00	0.00	0.00	0.00	-1075.20	-1130.90
			Car. Eserc.	0.00	0.00	0.00	0.00	-215.00	-228.93
			Car. Eserc.	0.00	0.00	0.00	0.00	-860.00	-915.70
66	Primo piano	9, 2	Car. Perm.	0.00	0.00	0.00	0.00	-1130.90	-1186.60
			Car. Eserc.	0.00	0.00	0.00	0.00	-228.93	-242.85
			Car. Eserc.	0.00	0.00	0.00	0.00	-915.70	-971.40
67	Primo piano	9, 2	Car. Perm.	0.00	0.00	0.00	0.00	-1186.78	-1249.95
			Car. Eserc.	0.00	0.00	0.00	0.00	-242.89	-258.69
			Car. Eserc.	0.00	0.00	0.00	0.00	-971.58	-1034.75
68	Primo piano	9, 2	Car. Perm.	0.00	0.00	0.00	0.00	-1249.95	-1313.29
			Car. Eserc.	0.00	0.00	0.00	0.00	-258.69	-274.52
			Car. Eserc.	0.00	0.00	0.00	0.00	-1034.75	-1098.09
69	Primo piano	9, 2	Car. Perm.	0.00	0.00	0.00	0.00	-1313.47	-1375.20
			Car. Eserc.	0.00	0.00	0.00	0.00	-274.57	-290.00
			Car. Eserc.	0.00	0.00	0.00	0.00	-1098.27	-1160.00
70	Primo piano	8, 6	Car. Perm.	0.00	0.00	0.00	0.00	-625.00	-625.00
			Car. Eserc.	0.00	0.00	0.00	0.00	-100.00	-100.00
			Car. Eserc.	0.00	0.00	0.00	0.00	-400.00	-400.00
71	Primo piano	8, 6	Car. Perm.	0.00	0.00	0.00	0.00	-625.00	-625.00
			Car. Eserc.	0.00	0.00	0.00	0.00	-100.00	-100.00
			Car. Eserc.	0.00	0.00	0.00	0.00	-400.00	-400.00
72	Primo piano	8, 6	Car. Perm.	0.00	0.00	0.00	0.00	-625.00	-625.00
			Car. Eserc.	0.00	0.00	0.00	0.00	-100.00	-100.00
			Car. Eserc.	0.00	0.00	0.00	0.00	-400.00	-400.00

73	Primo piano	8, 9	Car. Perm.	0.00	0.00	0.00	0.00	-225.00	-225.00
			Car. Eserc.	0.00	0.00	0.00	0.00	-60.00	-60.00
			Car. Eserc.	0.00	0.00	0.00	0.00	-60.00	-60.00
74	Sottotetto	6, 2	Car. Perm.	0.00	0.00	0.00	0.00	-225.00	-225.00
75	Sottotetto	6, 2	Car. Perm.	0.00	0.00	0.00	0.00	-225.00	-225.00
76	Sottotetto	6, 2	Car. Perm.	0.00	0.00	0.00	0.00	-225.00	-225.00
77	Sottotetto	6, 2	Car. Perm.	0.00	0.00	0.00	0.00	-225.00	-225.00
78	Sottotetto	6, 2	Car. Perm.	0.00	0.00	0.00	0.00	-225.00	-225.00
79	Sottotetto	6, 2	Car. Perm.	0.00	0.00	0.00	0.00	-225.00	-225.00
80	Sottotetto	9, 2	Car. Perm.	0.00	0.00	0.00	0.00	-805.00	-860.70
			Car. Eserc.	0.00	0.00	0.00	0.00	-145.00	-158.93
			Car. Eserc.	0.00	0.00	0.00	0.00	-580.00	-635.70
81	Sottotetto	9, 2	Car. Perm.	0.00	0.00	0.00	0.00	-860.70	-916.40
			Car. Eserc.	0.00	0.00	0.00	0.00	-158.93	-172.85
			Car. Eserc.	0.00	0.00	0.00	0.00	-635.70	-691.40
82	Sottotetto	9, 2	Car. Perm.	0.00	0.00	0.00	0.00	-916.40	-979.75
			Car. Eserc.	0.00	0.00	0.00	0.00	-172.85	-188.69
			Car. Eserc.	0.00	0.00	0.00	0.00	-691.40	-754.75
83	Sottotetto	9, 2	Car. Perm.	0.00	0.00	0.00	0.00	-979.75	-1043.09
			Car. Eserc.	0.00	0.00	0.00	0.00	-188.69	-204.52
			Car. Eserc.	0.00	0.00	0.00	0.00	-754.75	-818.09
84	Sottotetto	9, 2	Car. Perm.	0.00	0.00	0.00	0.00	-1043.09	-1105.00
			Car. Eserc.	0.00	0.00	0.00	0.00	-204.52	-220.00
			Car. Eserc.	0.00	0.00	0.00	0.00	-818.09	-880.00
85	Sottotetto	8, 6	Car. Perm.	0.00	0.00	0.00	0.00	-625.00	-625.00
			Car. Eserc.	0.00	0.00	0.00	0.00	-100.00	-100.00
			Car. Eserc.	0.00	0.00	0.00	0.00	-400.00	-400.00
86	Sottotetto	8, 6	Car. Perm.	0.00	0.00	0.00	0.00	-625.00	-625.00
			Car. Eserc.	0.00	0.00	0.00	0.00	-100.00	-100.00
			Car. Eserc.	0.00	0.00	0.00	0.00	-400.00	-400.00
87	Sottotetto	8, 6	Car. Perm.	0.00	0.00	0.00	0.00	-625.00	-625.00
			Car. Eserc.	0.00	0.00	0.00	0.00	-100.00	-100.00
			Car. Eserc.	0.00	0.00	0.00	0.00	-400.00	-400.00
88	Sottotetto	8, 9	Car. Perm.	0.00	0.00	0.00	0.00	-225.00	-225.00
			Car. Eserc.	0.00	0.00	0.00	0.00	-60.00	-60.00
			Car. Eserc.	0.00	0.00	0.00	0.00	-60.00	-60.00
89	Copertura quota inf.	1, 7	Car. Perm.	0.00	0.00	0.00	0.00	-150.00	-150.00
			Car. Eserc.	0.00	0.00	0.00	0.00	-30.00	-30.00
			Car. Eserc.	0.00	0.00	0.00	0.00	-60.00	-60.00
90	Copertura quota inf.	1, 7	Car. Perm.	0.00	0.00	0.00	0.00	-150.00	-150.00
			Car. Eserc.	0.00	0.00	0.00	0.00	-30.00	-30.00
			Car. Eserc.	0.00	0.00	0.00	0.00	-60.00	-60.00
91	Copertura quota inf.	1, 7	Car. Perm.	0.00	0.00	0.00	0.00	-150.00	-150.00
			Car. Eserc.	0.00	0.00	0.00	0.00	-30.00	-30.00
			Car. Eserc.	0.00	0.00	0.00	0.00	-60.00	-60.00
92	Copertura quota inf.	1, 7	Car. Perm.	0.00	0.00	0.00	0.00	-150.00	-150.00
			Car. Eserc.	0.00	0.00	0.00	0.00	-30.00	-30.00
			Car. Eserc.	0.00	0.00	0.00	0.00	-60.00	-60.00
93	Copertura quota inf.	1, 7	Car. Perm.	0.00	0.00	0.00	0.00	-150.00	-150.00
			Car. Eserc.	0.00	0.00	0.00	0.00	-30.00	-30.00
			Car. Eserc.	0.00	0.00	0.00	0.00	-60.00	-60.00
94	Copertura quota inf.	1, 7	Car. Perm.	0.00	0.00	0.00	0.00	-150.00	-150.00
			Car. Eserc.	0.00	0.00	0.00	0.00	-30.00	-30.00
			Car. Eserc.	0.00	0.00	0.00	0.00	-60.00	-60.00
95	Copertura quota inf.	9, 1	Car. Perm.	0.00	0.00	0.00	0.00	-228.20	-228.34
			Car. Eserc.	0.00	0.00	0.00	0.00	-260.00	-260.40
			Car. Eserc.	0.00	0.00	0.00	0.00	-520.00	-520.80
96	Copertura quota inf.	9, 1	Car. Perm.	0.00	0.00	0.00	0.00	-228.34	-228.47
			Car. Eserc.	0.00	0.00	0.00	0.00	-260.40	-260.80
			Car. Eserc.	0.00	0.00	0.00	0.00	-520.80	-521.60
97	Copertura quota inf.	9, 1	Car. Perm.	0.00	0.00	0.00	0.00	-228.47	-228.61
			Car. Eserc.	0.00	0.00	0.00	0.00	-260.80	-261.20
			Car. Eserc.	0.00	0.00	0.00	0.00	-521.60	-522.40
98	Copertura quota inf.	9, 1	Car. Perm.	0.00	0.00	0.00	0.00	-228.61	-228.74

			Car. Eserc.	0.00	0.00	0.00	0.00	-261.20	-261.60
			Car. Eserc.	0.00	0.00	0.00	0.00	-522.40	-523.20
99	Copertura quota inf.	9, 1	Car. Perm.	0.00	0.00	0.00	0.00	-228.74	-228.88
			Car. Eserc.	0.00	0.00	0.00	0.00	-261.60	-262.00
			Car. Eserc.	0.00	0.00	0.00	0.00	-523.20	-524.00
100	Copertura quota inf.	6, 2	Car. Perm.	0.00	0.00	0.00	0.00	-150.00	-150.00
101	Copertura quota inf.	6, 2	Car. Perm.	0.00	0.00	0.00	0.00	-150.00	-150.00
102	Copertura quota inf.	6, 2	Car. Perm.	0.00	0.00	0.00	0.00	-150.00	-150.00
103	Copertura quota inf.	6, 2	Car. Perm.	0.00	0.00	0.00	0.00	-150.00	-150.00
104	Copertura quota inf.	6, 2	Car. Perm.	0.00	0.00	0.00	0.00	-150.00	-150.00
105	Copertura quota inf.	6, 2	Car. Perm.	0.00	0.00	0.00	0.00	-150.00	-150.00
106	Copertura quota inf.	6, 2	Car. Perm.	0.00	0.00	0.00	0.00	-150.00	-150.00
107	Copertura quota inf.	2, 9	Car. Perm.	0.00	0.00	0.00	0.00	-227.18	-227.29
			Car. Eserc.	0.00	0.00	0.00	0.00	-257.00	-257.33
			Car. Eserc.	0.00	0.00	0.00	0.00	-514.00	-514.67
108	Copertura quota inf.	2, 9	Car. Perm.	0.00	0.00	0.00	0.00	-227.29	-227.41
			Car. Eserc.	0.00	0.00	0.00	0.00	-257.33	-257.67
			Car. Eserc.	0.00	0.00	0.00	0.00	-514.67	-515.33
109	Copertura quota inf.	2, 9	Car. Perm.	0.00	0.00	0.00	0.00	-227.41	-227.52
			Car. Eserc.	0.00	0.00	0.00	0.00	-257.67	-258.00
			Car. Eserc.	0.00	0.00	0.00	0.00	-515.33	-516.00
110	Copertura quota inf.	8, 6	Car. Perm.	0.00	0.00	0.00	0.00	-227.52	-227.41
			Car. Eserc.	0.00	0.00	0.00	0.00	-258.00	-257.67
			Car. Eserc.	0.00	0.00	0.00	0.00	-516.00	-515.33
111	Copertura quota inf.	8, 6	Car. Perm.	0.00	0.00	0.00	0.00	-227.41	-227.29
			Car. Eserc.	0.00	0.00	0.00	0.00	-257.67	-257.33
			Car. Eserc.	0.00	0.00	0.00	0.00	-515.33	-514.67
112	Copertura quota inf.	8, 6	Car. Perm.	0.00	0.00	0.00	0.00	-227.29	-227.18
			Car. Eserc.	0.00	0.00	0.00	0.00	-257.33	-257.00
			Car. Eserc.	0.00	0.00	0.00	0.00	-514.67	-514.00
113	Copertura quota inf.	7, 8	Car. Perm.	0.00	0.00	0.00	0.00	-228.88	-228.74
			Car. Eserc.	0.00	0.00	0.00	0.00	-262.00	-261.60
			Car. Eserc.	0.00	0.00	0.00	0.00	-524.00	-523.20
114	Copertura quota inf.	7, 8	Car. Perm.	0.00	0.00	0.00	0.00	-228.74	-228.61
			Car. Eserc.	0.00	0.00	0.00	0.00	-261.60	-261.20
			Car. Eserc.	0.00	0.00	0.00	0.00	-523.20	-522.40
115	Copertura quota inf.	7, 8	Car. Perm.	0.00	0.00	0.00	0.00	-228.61	-228.47
			Car. Eserc.	0.00	0.00	0.00	0.00	-261.20	-260.80
			Car. Eserc.	0.00	0.00	0.00	0.00	-522.40	-521.60
116	Copertura quota inf.	7, 8	Car. Perm.	0.00	0.00	0.00	0.00	-228.47	-228.34
			Car. Eserc.	0.00	0.00	0.00	0.00	-260.80	-260.40
			Car. Eserc.	0.00	0.00	0.00	0.00	-521.60	-520.80
117	Copertura quota inf.	7, 8	Car. Perm.	0.00	0.00	0.00	0.00	-228.34	-228.20
			Car. Eserc.	0.00	0.00	0.00	0.00	-260.40	-260.00
			Car. Eserc.	0.00	0.00	0.00	0.00	-520.80	-520.00
118	Copertura quota sup.	2, 3	Car. Perm.	0.00	0.00	0.00	0.00	-238.40	-239.03
			Car. Eserc.	0.00	0.00	0.00	0.00	-290.00	-291.86
			Car. Eserc.	0.00	0.00	0.00	0.00	-319.40	-321.45
119	Copertura quota sup.	2, 3	Car. Perm.	0.00	0.00	0.00	0.00	-239.03	-239.66
			Car. Eserc.	0.00	0.00	0.00	0.00	-291.86	-293.71
			Car. Eserc.	0.00	0.00	0.00	0.00	-321.45	-323.49
120	Copertura quota sup.	2, 3	Car. Perm.	0.00	0.00	0.00	0.00	-239.66	-240.29

			Car. Eserc.	0.00	0.00	0.00	0.00	-293.71	-295.57
			Car. Eserc.	0.00	0.00	0.00	0.00	-323.49	-325.54
121	Copertura quota sup.	2, 3	Car. Perm.	0.00	0.00	0.00	0.00	-240.29	-240.93
			Car. Eserc.	0.00	0.00	0.00	0.00	-295.57	-297.43
			Car. Eserc.	0.00	0.00	0.00	0.00	-325.54	-327.58
122	Copertura quota sup.	2, 3	Car. Perm.	0.00	0.00	0.00	0.00	-240.93	-241.56
			Car. Eserc.	0.00	0.00	0.00	0.00	-297.43	-299.29
			Car. Eserc.	0.00	0.00	0.00	0.00	-327.58	-329.63
123	Copertura quota sup.	2, 3	Car. Perm.	0.00	0.00	0.00	0.00	-241.56	-242.19
			Car. Eserc.	0.00	0.00	0.00	0.00	-299.29	-301.14
			Car. Eserc.	0.00	0.00	0.00	0.00	-329.63	-331.67
124	Copertura quota sup.	2, 3	Car. Perm.	0.00	0.00	0.00	0.00	-242.19	-242.82
			Car. Eserc.	0.00	0.00	0.00	0.00	-301.14	-303.00
			Car. Eserc.	0.00	0.00	0.00	0.00	-331.67	-333.72
125	Copertura quota sup.	6, 2	Car. Perm.	0.00	0.00	0.00	0.00	-150.00	-150.00
			Car. Eserc.	0.00	0.00	0.00	0.00	-30.00	-30.00
			Car. Eserc.	0.00	0.00	0.00	0.00	-60.00	-60.00
126	Copertura quota sup.	6, 2	Car. Perm.	0.00	0.00	0.00	0.00	-150.00	-150.00
			Car. Eserc.	0.00	0.00	0.00	0.00	-30.00	-30.00
			Car. Eserc.	0.00	0.00	0.00	0.00	-60.00	-60.00
127	Copertura quota sup.	6, 2	Car. Perm.	0.00	0.00	0.00	0.00	-150.00	-150.00
			Car. Eserc.	0.00	0.00	0.00	0.00	-30.00	-30.00
			Car. Eserc.	0.00	0.00	0.00	0.00	-60.00	-60.00
128	Copertura quota sup.	6, 2	Car. Perm.	0.00	0.00	0.00	0.00	-150.00	-150.00
			Car. Eserc.	0.00	0.00	0.00	0.00	-30.00	-30.00
			Car. Eserc.	0.00	0.00	0.00	0.00	-60.00	-60.00
129	Copertura quota sup.	6, 2	Car. Perm.	0.00	0.00	0.00	0.00	-150.00	-150.00
			Car. Eserc.	0.00	0.00	0.00	0.00	-30.00	-30.00
			Car. Eserc.	0.00	0.00	0.00	0.00	-60.00	-60.00
130	Copertura quota sup.	6, 2	Car. Perm.	0.00	0.00	0.00	0.00	-150.00	-150.00
			Car. Eserc.	0.00	0.00	0.00	0.00	-30.00	-30.00
			Car. Eserc.	0.00	0.00	0.00	0.00	-60.00	-60.00
131	Copertura quota sup.	3, 4	Car. Perm.	0.00	0.00	0.00	0.00	-150.00	-150.00
			Car. Eserc.	0.00	0.00	0.00	0.00	-30.00	-30.00
			Car. Eserc.	0.00	0.00	0.00	0.00	-60.00	-60.00
132	Copertura quota sup.	3, 4	Car. Perm.	0.00	0.00	0.00	0.00	-150.00	-150.00
			Car. Eserc.	0.00	0.00	0.00	0.00	-30.00	-30.00
			Car. Eserc.	0.00	0.00	0.00	0.00	-60.00	-60.00
133	Copertura quota sup.	3, 4	Car. Perm.	0.00	0.00	0.00	0.00	-150.00	-150.00
			Car. Eserc.	0.00	0.00	0.00	0.00	-30.00	-30.00
			Car. Eserc.	0.00	0.00	0.00	0.00	-60.00	-60.00
134	Copertura quota sup.	3, 4	Car. Perm.	0.00	0.00	0.00	0.00	-150.00	-150.00
			Car. Eserc.	0.00	0.00	0.00	0.00	-30.00	-30.00
			Car. Eserc.	0.00	0.00	0.00	0.00	-60.00	-60.00
135	Copertura quota sup.	3, 4	Car. Perm.	0.00	0.00	0.00	0.00	-150.00	-150.00
			Car. Eserc.	0.00	0.00	0.00	0.00	-30.00	-30.00
			Car. Eserc.	0.00	0.00	0.00	0.00	-60.00	-60.00
136	Copertura quota sup.	3, 4	Car. Perm.	0.00	0.00	0.00	0.00	-150.00	-150.00
			Car. Eserc.	0.00	0.00	0.00	0.00	-30.00	-30.00
			Car. Eserc.	0.00	0.00	0.00	0.00	-60.00	-60.00
137	Copertura quota sup.	3, 4	Car. Perm.	0.00	0.00	0.00	0.00	-150.00	-150.00
			Car. Eserc.	0.00	0.00	0.00	0.00	-30.00	-30.00
			Car. Eserc.	0.00	0.00	0.00	0.00	-60.00	-60.00
138	Copertura quota sup.	4, 5	Car. Perm.	0.00	0.00	0.00	0.00	-240.10	-239.91
			Car. Eserc.	0.00	0.00	0.00	0.00	-295.00	-294.43
			Car. Eserc.	0.00	0.00	0.00	0.00	-324.92	-324.30

139	Copertura quota sup.	4, 5	Car. Perm.	0.00	0.00	0.00	0.00	-239.91	-239.71
			Car. Eserc.	0.00	0.00	0.00	0.00	-294.43	-293.86
			Car. Eserc.	0.00	0.00	0.00	0.00	-324.30	-323.67
140	Copertura quota sup.	4, 5	Car. Perm.	0.00	0.00	0.00	0.00	-239.71	-239.52
			Car. Eserc.	0.00	0.00	0.00	0.00	-293.86	-293.29
			Car. Eserc.	0.00	0.00	0.00	0.00	-323.67	-323.04
141	Copertura quota sup.	4, 5	Car. Perm.	0.00	0.00	0.00	0.00	-239.52	-239.32
			Car. Eserc.	0.00	0.00	0.00	0.00	-293.29	-292.71
			Car. Eserc.	0.00	0.00	0.00	0.00	-323.04	-322.41
142	Copertura quota sup.	4, 5	Car. Perm.	0.00	0.00	0.00	0.00	-239.32	-239.13
			Car. Eserc.	0.00	0.00	0.00	0.00	-292.71	-292.14
			Car. Eserc.	0.00	0.00	0.00	0.00	-322.41	-321.78
143	Copertura quota sup.	4, 5	Car. Perm.	0.00	0.00	0.00	0.00	-239.13	-238.93
			Car. Eserc.	0.00	0.00	0.00	0.00	-292.14	-291.57
			Car. Eserc.	0.00	0.00	0.00	0.00	-321.78	-321.15
144	Copertura quota sup.	4, 5	Car. Perm.	0.00	0.00	0.00	0.00	-238.93	-238.74
			Car. Eserc.	0.00	0.00	0.00	0.00	-291.57	-291.00
			Car. Eserc.	0.00	0.00	0.00	0.00	-321.15	-320.52
145	Copertura quota sup.	5, 6	Car. Perm.	0.00	0.00	0.00	0.00	-150.00	-150.00
			Car. Eserc.	0.00	0.00	0.00	0.00	-30.00	-30.00
			Car. Eserc.	0.00	0.00	0.00	0.00	-60.00	-60.00

Carichi Locali lineari in testa alle Pareti

Parete : numero della piastra come da paragrafo "Caratteristiche delle pareti";
 Imp. : impalcato al quale appartiene la parete;
 Fili : fili fissi ai quali appartiene la parete;
 C.C. : condizione di carico come da paragrafo "Condizioni di carico valutate";
 DLoc : direzione dei carichi secondo il sistema di riferimento locale della parete;

Parete	Imp.	Fili	C.C.	DLoc X [daN/m]		DLoc Y [daN/m]		DLoc Z [daN/m]	
				in.	fin.	in.	fin.	in.	fin.
1	Primo piano	7-1	Car. perm. G1 in Testa	0.00	0.00	0.00	0.00	0.00	0.00
			Car. perm. G2 in Testa	0.00	0.00	0.00	0.00	0.00	0.00
			Car. eserc. in Testa	0.00	0.00	0.00	0.00	0.00	0.00
2	Primo piano	1-9	Car. perm. G1 in Testa	0.00	0.00	0.00	0.00	0.00	0.00
			Car. perm. G2 in Testa	0.00	0.00	0.00	0.00	0.00	0.00
			Car. eserc. in Testa	0.00	0.00	0.00	0.00	0.00	0.00
3	Primo piano	1-9	Car. perm. G1 in Testa	0.00	0.00	0.00	0.00	0.00	0.00
			Car. perm. G2 in Testa	0.00	0.00	0.00	0.00	0.00	0.00
			Car. eserc. in Testa	0.00	0.00	0.00	0.00	0.00	0.00
4	Primo piano	2-3	Car. perm. G1 in Testa	0.00	0.00	0.00	0.00	0.00	0.00
			Car. perm. G2 in Testa	0.00	0.00	0.00	0.00	0.00	0.00
			Car. eserc. in Testa	0.00	0.00	0.00	0.00	0.00	0.00
5	Primo piano	2-3	Car. perm. G1 in Testa	0.00	0.00	0.00	0.00	0.00	0.00
			Car. perm. G2 in Testa	0.00	0.00	0.00	0.00	0.00	0.00
			Car. eserc. in Testa	0.00	0.00	0.00	0.00	0.00	0.00
6	Primo piano	2-3	Car. perm. G1 in Testa	0.00	0.00	0.00	0.00	0.00	0.00
			Car. perm. G2 in Testa	0.00	0.00	0.00	0.00	0.00	0.00
			Car. eserc. in Testa	0.00	0.00	0.00	0.00	0.00	0.00
7	Primo piano	2-3	Car. perm. G1 in Testa	0.00	0.00	0.00	0.00	0.00	0.00
			Car. perm. G2 in Testa	0.00	0.00	0.00	0.00	0.00	0.00
			Car. eserc. in Testa	0.00	0.00	0.00	0.00	0.00	0.00
8	Primo piano	6-2	Car. perm. G1 in Testa	0.00	0.00	0.00	0.00	0.00	0.00

			Car. perm. G2 in Testa	0.00	0.00	0.00	0.00	0.00	0.00
			Car. eserc. in Testa	0.00	0.00	0.00	0.00	0.00	0.00
31	Copertura quota inf.	9-1	Car. perm. G1 in Testa	0.00	0.00	0.00	0.00	0.00	0.00
			Car. perm. G2 in Testa	0.00	0.00	0.00	0.00	0.00	0.00
			Car. eserc. in Testa	0.00	0.00	0.00	0.00	0.00	0.00
32	Copertura quota inf.	3-2	Car. perm. G1 in Testa	0.00	0.00	0.00	0.00	0.00	0.00
			Car. perm. G2 in Testa	0.00	0.00	0.00	0.00	0.00	0.00
			Car. eserc. in Testa	0.00	0.00	0.00	0.00	0.00	0.00
33	Copertura quota inf.	6-2	Car. perm. G1 in Testa	0.00	0.00	0.00	0.00	0.00	0.00
			Car. perm. G2 in Testa	0.00	0.00	0.00	0.00	0.00	0.00
			Car. eserc. in Testa	0.00	0.00	0.00	0.00	0.00	0.00
34	Copertura quota inf.	6-2	Car. perm. G1 in Testa	0.00	0.00	0.00	0.00	0.00	0.00
			Car. perm. G2 in Testa	0.00	0.00	0.00	0.00	0.00	0.00
			Car. eserc. in Testa	0.00	0.00	0.00	0.00	0.00	0.00
35	Copertura quota inf.	2-9	Car. perm. G1 in Testa	0.00	0.00	0.00	0.00	0.00	0.00
			Car. perm. G2 in Testa	0.00	0.00	0.00	0.00	0.00	0.00
			Car. eserc. in Testa	0.00	0.00	0.00	0.00	0.00	0.00
36	Copertura quota inf.	4-3	Car. perm. G1 in Testa	0.00	0.00	0.00	0.00	0.00	0.00
			Car. perm. G2 in Testa	0.00	0.00	0.00	0.00	0.00	0.00
			Car. eserc. in Testa	0.00	0.00	0.00	0.00	0.00	0.00
37	Copertura quota inf.	5-4	Car. perm. G1 in Testa	0.00	0.00	0.00	0.00	0.00	0.00
			Car. perm. G2 in Testa	0.00	0.00	0.00	0.00	0.00	0.00
			Car. eserc. in Testa	0.00	0.00	0.00	0.00	0.00	0.00
38	Copertura quota inf.	6-5	Car. perm. G1 in Testa	0.00	0.00	0.00	0.00	0.00	0.00
			Car. perm. G2 in Testa	0.00	0.00	0.00	0.00	0.00	0.00
			Car. eserc. in Testa	0.00	0.00	0.00	0.00	0.00	0.00
39	Copertura quota inf.	8-6	Car. perm. G1 in Testa	0.00	0.00	0.00	0.00	0.00	0.00
			Car. perm. G2 in Testa	0.00	0.00	0.00	0.00	0.00	0.00
			Car. eserc. in Testa	0.00	0.00	0.00	0.00	0.00	0.00
40	Copertura quota inf.	7-8	Car. perm. G1 in Testa	0.00	0.00	0.00	0.00	0.00	0.00
			Car. perm. G2 in Testa	0.00	0.00	0.00	0.00	0.00	0.00
			Car. eserc. in Testa	0.00	0.00	0.00	0.00	0.00	0.00
41	Copertura quota sup.	2-3	Car. perm. G1 in Testa	0.00	0.00	0.00	0.00	0.00	0.00
			Car. perm. G2 in Testa	0.00	0.00	0.00	0.00	0.00	0.00
			Car. eserc. in Testa	0.00	0.00	0.00	0.00	0.00	0.00
42	Copertura quota sup.	6-2	Car. perm. G1 in Testa	0.00	0.00	0.00	0.00	0.00	0.00
			Car. perm. G2 in Testa	0.00	0.00	0.00	0.00	0.00	0.00
			Car. eserc. in Testa	0.00	0.00	0.00	0.00	0.00	0.00
43	Copertura quota sup.	3-4	Car. perm. G1 in Testa	0.00	0.00	0.00	0.00	0.00	0.00
			Car. perm. G2 in Testa	0.00	0.00	0.00	0.00	0.00	0.00
			Car. eserc. in Testa	0.00	0.00	0.00	0.00	0.00	0.00
44	Copertura quota sup.	4-5	Car. perm. G1 in Testa	0.00	0.00	0.00	0.00	0.00	0.00
			Car. perm. G2 in Testa	0.00	0.00	0.00	0.00	0.00	0.00
			Car. eserc. in Testa	0.00	0.00	0.00	0.00	0.00	0.00
45	Copertura quota sup.	5-6	Car. perm. G1 in Testa	0.00	0.00	0.00	0.00	0.00	0.00
			Car. perm. G2 in Testa	0.00	0.00	0.00	0.00	0.00	0.00
			Car. eserc. in Testa	0.00	0.00	0.00	0.00	0.00	0.00

Carichi Locali distribuiti sulle Pareti

Parete : numero della piastra come da paragrafo "Caratteristiche delle pareti";
 Imp. : impalcato al quale appartiene la parete;
 Fili : fili fissi ai quali appartiene la parete;
 C.C. : condizione di carico come da paragrafo "Condizioni di carico valutate";
 DLoc : direzione dei carichi secondo il sistema di riferimento locale della parete;

Parete	Imp.	Fili	C.C.	DLoc X [daN/m ²]	DLoc Y [daN/m ²]	DLoc Z [daN/m ²]
--------	------	------	------	------------------------------	------------------------------	------------------------------

1	Primo piano	7-1	Car. Perm. G1	0.00	0.00	0.00
			Car. Perm. G2	0.00	0.00	0.00
			Car. Eserc.	0.00	0.00	0.00
2	Primo piano	1-9	Car. Perm. G1	0.00	0.00	0.00
			Car. Perm. G2	0.00	0.00	0.00
			Car. Eserc.	0.00	0.00	0.00
3	Primo piano	1-9	Car. Perm. G1	0.00	0.00	0.00
			Car. Perm. G2	0.00	0.00	0.00
			Car. Eserc.	0.00	0.00	0.00
4	Primo piano	2-3	Car. Perm. G1	0.00	0.00	0.00
			Car. Perm. G2	0.00	0.00	0.00
			Car. Eserc.	0.00	0.00	0.00
5	Primo piano	2-3	Car. Perm. G1	0.00	0.00	0.00
			Car. Perm. G2	0.00	0.00	0.00
			Car. Eserc.	0.00	0.00	0.00
6	Primo piano	2-3	Car. Perm. G1	0.00	0.00	0.00
			Car. Perm. G2	0.00	0.00	0.00
			Car. Eserc.	0.00	0.00	0.00
7	Primo piano	2-3	Car. Perm. G1	0.00	0.00	0.00
			Car. Perm. G2	0.00	0.00	0.00
			Car. Eserc.	0.00	0.00	0.00
8	Primo piano	6-2	Car. Perm. G1	0.00	0.00	0.00
			Car. Perm. G2	0.00	0.00	0.00
			Car. Eserc.	0.00	0.00	0.00
9	Primo piano	9-2	Car. Perm. G1	0.00	0.00	0.00
			Car. Perm. G2	0.00	0.00	0.00
			Car. Eserc.	0.00	0.00	0.00
10	Primo piano	9-2	Car. Perm. G1	0.00	0.00	0.00
			Car. Perm. G2	0.00	0.00	0.00
			Car. Eserc.	0.00	0.00	0.00
11	Primo piano	3-4	Car. Perm. G1	0.00	0.00	0.00
			Car. Perm. G2	0.00	0.00	0.00
			Car. Eserc.	0.00	0.00	0.00
12	Primo piano	4-5	Car. Perm. G1	0.00	0.00	0.00
			Car. Perm. G2	0.00	0.00	0.00
			Car. Eserc.	0.00	0.00	0.00
13	Primo piano	8-6	Car. Perm. G1	0.00	0.00	0.00
			Car. Perm. G2	0.00	0.00	0.00
			Car. Eserc.	0.00	0.00	0.00
14	Primo piano	7-8	Car. Perm. G1	0.00	0.00	0.00
			Car. Perm. G2	0.00	0.00	0.00
			Car. Eserc.	0.00	0.00	0.00
15	Sottotetto	7-1	Car. Perm. G1	0.00	0.00	0.00
			Car. Perm. G2	0.00	0.00	0.00
			Car. Eserc.	0.00	0.00	0.00
16	Sottotetto	1-9	Car. Perm. G1	0.00	0.00	0.00
			Car. Perm. G2	0.00	0.00	0.00
			Car. Eserc.	0.00	0.00	0.00
17	Sottotetto	1-9	Car. Perm. G1	0.00	0.00	0.00
			Car. Perm. G2	0.00	0.00	0.00
			Car. Eserc.	0.00	0.00	0.00
18	Sottotetto	2-3	Car. Perm. G1	0.00	0.00	0.00
			Car. Perm. G2	0.00	0.00	0.00
			Car. Eserc.	0.00	0.00	0.00
19	Sottotetto	2-3	Car. Perm. G1	0.00	0.00	0.00
			Car. Perm. G2	0.00	0.00	0.00
			Car. Eserc.	0.00	0.00	0.00
20	Sottotetto	2-3	Car. Perm. G1	0.00	0.00	0.00
			Car. Perm. G2	0.00	0.00	0.00
			Car. Eserc.	0.00	0.00	0.00

21	Sottotetto	6-2	Car. Perm. G1	0.00	0.00	0.00
			Car. Perm. G2	0.00	0.00	0.00
			Car. Eserc.	0.00	0.00	0.00
22	Sottotetto	6-2	Car. Perm. G1	0.00	0.00	0.00
			Car. Perm. G2	0.00	0.00	0.00
			Car. Eserc.	0.00	0.00	0.00
23	Sottotetto	9-2	Car. Perm. G1	0.00	0.00	0.00
			Car. Perm. G2	0.00	0.00	0.00
			Car. Eserc.	0.00	0.00	0.00
24	Sottotetto	9-2	Car. Perm. G1	0.00	0.00	0.00
			Car. Perm. G2	0.00	0.00	0.00
			Car. Eserc.	0.00	0.00	0.00
25	Sottotetto	3-4	Car. Perm. G1	0.00	0.00	0.00
			Car. Perm. G2	0.00	0.00	0.00
			Car. Eserc.	0.00	0.00	0.00
26	Sottotetto	4-5	Car. Perm. G1	0.00	0.00	0.00
			Car. Perm. G2	0.00	0.00	0.00
			Car. Eserc.	0.00	0.00	0.00
27	Sottotetto	5-6	Car. Perm. G1	0.00	0.00	0.00
			Car. Perm. G2	0.00	0.00	0.00
			Car. Eserc.	0.00	0.00	0.00
28	Sottotetto	8-6	Car. Perm. G1	0.00	0.00	0.00
			Car. Perm. G2	0.00	0.00	0.00
			Car. Eserc.	0.00	0.00	0.00
29	Sottotetto	7-8	Car. Perm. G1	0.00	0.00	0.00
			Car. Perm. G2	0.00	0.00	0.00
			Car. Eserc.	0.00	0.00	0.00
30	Copertura quota inf.	1-7	Car. Perm. G1	0.00	0.00	0.00
			Car. Perm. G2	0.00	0.00	0.00
			Car. Eserc.	0.00	0.00	0.00
31	Copertura quota inf.	9-1	Car. Perm. G1	0.00	0.00	0.00
			Car. Perm. G2	0.00	0.00	0.00
			Car. Eserc.	0.00	0.00	0.00
32	Copertura quota inf.	3-2	Car. Perm. G1	0.00	0.00	0.00
			Car. Perm. G2	0.00	0.00	0.00
			Car. Eserc.	0.00	0.00	0.00
33	Copertura quota inf.	6-2	Car. Perm. G1	0.00	0.00	0.00
			Car. Perm. G2	0.00	0.00	0.00
			Car. Eserc.	0.00	0.00	0.00
34	Copertura quota inf.	6-2	Car. Perm. G1	0.00	0.00	0.00
			Car. Perm. G2	0.00	0.00	0.00
			Car. Eserc.	0.00	0.00	0.00
35	Copertura quota inf.	2-9	Car. Perm. G1	0.00	0.00	0.00
			Car. Perm. G2	0.00	0.00	0.00
			Car. Eserc.	0.00	0.00	0.00
36	Copertura quota inf.	4-3	Car. Perm. G1	0.00	0.00	0.00
			Car. Perm. G2	0.00	0.00	0.00
			Car. Eserc.	0.00	0.00	0.00
37	Copertura quota inf.	5-4	Car. Perm. G1	0.00	0.00	0.00
			Car. Perm. G2	0.00	0.00	0.00
			Car. Eserc.	0.00	0.00	0.00
38	Copertura quota inf.	6-5	Car. Perm. G1	0.00	0.00	0.00
			Car. Perm. G2	0.00	0.00	0.00
			Car. Eserc.	0.00	0.00	0.00
39	Copertura quota inf.	8-6	Car. Perm. G1	0.00	0.00	0.00
			Car. Perm. G2	0.00	0.00	0.00
			Car. Eserc.	0.00	0.00	0.00
40	Copertura quota inf.	7-8	Car. Perm. G1	0.00	0.00	0.00
			Car. Perm. G2	0.00	0.00	0.00
			Car. Eserc.	0.00	0.00	0.00
41	Copertura quota sup.	2-3	Car. Perm. G1	0.00	0.00	0.00
			Car. Perm. G2	0.00	0.00	0.00

			Car. Eserc.	0.00	0.00	0.00
42	Copertura quota sup.	6-2	Car. Perm. G1	0.00	0.00	0.00
			Car. Perm. G2	0.00	0.00	0.00
			Car. Eserc.	0.00	0.00	0.00
43	Copertura quota sup.	3-4	Car. Perm. G1	0.00	0.00	0.00
			Car. Perm. G2	0.00	0.00	0.00
			Car. Eserc.	0.00	0.00	0.00
44	Copertura quota sup.	4-5	Car. Perm. G1	0.00	0.00	0.00
			Car. Perm. G2	0.00	0.00	0.00
			Car. Eserc.	0.00	0.00	0.00
45	Copertura quota sup.	5-6	Car. Perm. G1	0.00	0.00	0.00
			Car. Perm. G2	0.00	0.00	0.00
			Car. Eserc.	0.00	0.00	0.00

Carichi Globali lineari in testa alle Pareti

Parete : numero della piastra come da paragrafo "Caratteristiche delle pareti";
 Imp. : impalcato al quale appartiene la parete;
 Fili : fili fissi ai quali appartiene la parete;
 C.C. : condizione di carico come da paragrafo "Condizioni di carico valutate";
 DGlob : direzione dei carichi secondo il sistema di riferimento globali della parete;

Parete	Imp.	Fili	C.C.	DGlob X [daN/m]		DGlob Y [daN/m]		DGlob Z [daN/m]	
				in.	fin.	in.	fin.	in.	fin.
1	Primo piano	7-1	Car. perm. G1 in Testa	0.00	0.00	0.00	0.00	0.00	0.00
			Car. perm. G2 in Testa	0.00	0.00	0.00	0.00	-20.00	0.00
			Car. eserc. in Testa	0.00	0.00	0.00	0.00	-20.00	0.00
2	Primo piano	1-9	Car. perm. G1 in Testa	0.00	0.00	0.00	0.00	-1290.99	0.00
			Car. perm. G2 in Testa	0.00	0.00	0.00	0.00	-647.60	0.00
			Car. eserc. in Testa	0.00	0.00	0.00	0.00	-647.60	0.00
3	Primo piano	1-9	Car. perm. G1 in Testa	0.00	0.00	0.00	0.00	-1288.72	0.00
			Car. perm. G2 in Testa	0.00	0.00	0.00	0.00	-646.51	0.00
			Car. eserc. in Testa	0.00	0.00	0.00	0.00	-646.51	0.00
4	Primo piano	2-3	Car. perm. G1 in Testa	0.00	0.00	0.00	0.00	-1977.82	0.00
			Car. perm. G2 in Testa	0.00	0.00	0.00	0.00	-959.14	0.00
			Car. eserc. in Testa	0.00	0.00	0.00	0.00	-1048.01	0.00
5	Primo piano	2-3	Car. perm. G1 in Testa	0.00	0.00	0.00	0.00	-1979.88	0.00
			Car. perm. G2 in Testa	0.00	0.00	0.00	0.00	-961.62	0.00
			Car. eserc. in Testa	0.00	0.00	0.00	0.00	-1045.24	0.00
6	Primo piano	2-3	Car. perm. G1 in Testa	0.00	0.00	0.00	0.00	-1984.34	0.00
			Car. perm. G2 in Testa	0.00	0.00	0.00	0.00	-966.98	0.00
			Car. eserc. in Testa	0.00	0.00	0.00	0.00	-1039.23	0.00
7	Primo piano	2-3	Car. perm. G1 in Testa	0.00	0.00	0.00	0.00	-1988.80	0.00
			Car. perm. G2 in Testa	0.00	0.00	0.00	0.00	-972.35	0.00
			Car. eserc. in Testa	0.00	0.00	0.00	0.00	-1033.22	0.00
8	Primo piano	6-2	Car. perm. G1 in Testa	0.00	0.00	0.00	0.00	0.00	0.00
			Car. perm. G2 in Testa	0.00	0.00	0.00	0.00	0.00	0.00
			Car. eserc. in Testa	0.00	0.00	0.00	0.00	0.00	0.00
9	Primo piano	9-2	Car. perm. G1 in Testa	0.00	0.00	0.00	0.00	0.00	0.00
			Car. perm. G2 in Testa	0.00	0.00	0.00	0.00	0.00	0.00
			Car. eserc. in Testa	0.00	0.00	0.00	0.00	0.00	0.00
10	Primo piano	9-2	Car. perm. G1 in Testa	0.00	0.00	0.00	0.00	0.00	0.00
			Car. perm. G2 in Testa	0.00	0.00	0.00	0.00	0.00	0.00
			Car. eserc. in Testa	0.00	0.00	0.00	0.00	0.00	0.00
11	Primo piano	3-4	Car. perm. G1 in Testa	0.00	0.00	0.00	0.00	0.00	0.00
			Car. perm. G2 in Testa	0.00	0.00	0.00	0.00	-20.00	0.00
			Car. eserc. in Testa	0.00	0.00	0.00	0.00	-20.00	0.00

12	Primo piano	4-5	Car. perm. G1 in Testa	0.00	0.00	0.00	0.00	-1063.35	0.00
			Car. perm. G2 in Testa	0.00	0.00	0.00	0.00	-530.00	0.00
			Car. eserc. in Testa	0.00	0.00	0.00	0.00	-530.00	0.00
13	Primo piano	8-6	Car. perm. G1 in Testa	0.00	0.00	0.00	0.00	0.00	0.00
			Car. perm. G2 in Testa	0.00	0.00	0.00	0.00	0.00	0.00
			Car. eserc. in Testa	0.00	0.00	0.00	0.00	0.00	0.00
14	Primo piano	7-8	Car. perm. G1 in Testa	0.00	0.00	0.00	0.00	-913.23	0.00
			Car. perm. G2 in Testa	0.00	0.00	0.00	0.00	-458.00	0.00
			Car. eserc. in Testa	0.00	0.00	0.00	0.00	-458.00	0.00
15	Sottotetto	7-1	Car. perm. G1 in Testa	0.00	0.00	0.00	0.00	0.00	0.00
			Car. perm. G2 in Testa	0.00	0.00	0.00	0.00	0.00	0.00
			Car. eserc. in Testa	0.00	0.00	0.00	0.00	0.00	0.00
16	Sottotetto	1-9	Car. perm. G1 in Testa	0.00	0.00	0.00	0.00	-1347.98	0.00
			Car. perm. G2 in Testa	0.00	0.00	0.00	0.00	-646.51	0.00
			Car. eserc. in Testa	0.00	0.00	0.00	0.00	-646.51	0.00
17	Sottotetto	1-9	Car. perm. G1 in Testa	0.00	0.00	0.00	0.00	-1343.44	0.00
			Car. perm. G2 in Testa	0.00	0.00	0.00	0.00	-644.34	0.00
			Car. eserc. in Testa	0.00	0.00	0.00	0.00	-644.34	0.00
18	Sottotetto	2-3	Car. perm. G1 in Testa	0.00	0.00	0.00	0.00	-1874.01	0.00
			Car. perm. G2 in Testa	0.00	0.00	0.00	0.00	-811.26	0.00
			Car. eserc. in Testa	0.00	0.00	0.00	0.00	-811.26	0.00
19	Sottotetto	2-3	Car. perm. G1 in Testa	0.00	0.00	0.00	0.00	-1904.91	0.00
			Car. perm. G2 in Testa	0.00	0.00	0.00	0.00	-824.64	0.00
			Car. eserc. in Testa	0.00	0.00	0.00	0.00	-824.64	0.00
20	Sottotetto	2-3	Car. perm. G1 in Testa	0.00	0.00	0.00	0.00	-1926.06	0.00
			Car. perm. G2 in Testa	0.00	0.00	0.00	0.00	-833.79	0.00
			Car. eserc. in Testa	0.00	0.00	0.00	0.00	-833.79	0.00
21	Sottotetto	6-2	Car. perm. G1 in Testa	0.00	0.00	0.00	0.00	0.00	0.00
			Car. perm. G2 in Testa	0.00	0.00	0.00	0.00	0.00	0.00
			Car. eserc. in Testa	0.00	0.00	0.00	0.00	0.00	0.00
22	Sottotetto	6-2	Car. perm. G1 in Testa	0.00	0.00	0.00	0.00	0.00	0.00
			Car. perm. G2 in Testa	0.00	0.00	0.00	0.00	0.00	0.00
			Car. eserc. in Testa	0.00	0.00	0.00	0.00	0.00	0.00
23	Sottotetto	9-2	Car. perm. G1 in Testa	0.00	0.00	0.00	0.00	0.00	0.00
			Car. perm. G2 in Testa	0.00	0.00	0.00	0.00	0.00	0.00
			Car. eserc. in Testa	0.00	0.00	0.00	0.00	0.00	0.00
24	Sottotetto	9-2	Car. perm. G1 in Testa	0.00	0.00	0.00	0.00	0.00	0.00
			Car. perm. G2 in Testa	0.00	0.00	0.00	0.00	0.00	0.00
			Car. eserc. in Testa	0.00	0.00	0.00	0.00	0.00	0.00
25	Sottotetto	3-4	Car. perm. G1 in Testa	0.00	0.00	0.00	0.00	0.00	0.00
			Car. perm. G2 in Testa	0.00	0.00	0.00	0.00	0.00	0.00
			Car. eserc. in Testa	0.00	0.00	0.00	0.00	0.00	0.00
26	Sottotetto	4-5	Car. perm. G1 in Testa	0.00	0.00	0.00	0.00	-1224.30	0.00
			Car. perm. G2 in Testa	0.00	0.00	0.00	0.00	-530.00	0.00
			Car. eserc. in Testa	0.00	0.00	0.00	0.00	-530.00	0.00
27	Sottotetto	5-6	Car. perm. G1 in Testa	0.00	0.00	0.00	0.00	0.00	0.00
			Car. perm. G2 in Testa	0.00	0.00	0.00	0.00	0.00	0.00
			Car. eserc. in Testa	0.00	0.00	0.00	0.00	0.00	0.00
28	Sottotetto	8-6	Car. perm. G1 in Testa	0.00	0.00	0.00	0.00	0.00	0.00
			Car. perm. G2 in Testa	0.00	0.00	0.00	0.00	0.00	0.00
			Car. eserc. in Testa	0.00	0.00	0.00	0.00	0.00	0.00
29	Sottotetto	7-8	Car. perm. G1 in Testa	0.00	0.00	0.00	0.00	-950.76	0.00
			Car. perm. G2 in Testa	0.00	0.00	0.00	0.00	-456.00	0.00
			Car. eserc. in Testa	0.00	0.00	0.00	0.00	-456.00	0.00
30	Copertura quota inf.	1-7	Car. perm. G1 in Testa	0.00	0.00	0.00	0.00	0.00	0.00
			Car. perm. G2 in Testa	0.00	0.00	0.00	0.00	0.00	0.00
			Car. eserc. in Testa	0.00	0.00	0.00	0.00	0.00	0.00
31	Copertura quota inf.	9-1	Car. perm. G1 in Testa	0.00	0.00	0.00	0.00	0.00	0.00
			Car. perm. G2 in Testa	0.00	0.00	0.00	0.00	0.00	0.00
			Car. eserc. in Testa	0.00	0.00	0.00	0.00	0.00	0.00
32	Copertura quota inf.	3-2	Car. perm. G1 in Testa	0.00	0.00	0.00	0.00	0.00	0.00
			Car. perm. G2 in Testa	0.00	0.00	0.00	0.00	0.00	0.00
			Car. eserc. in Testa	0.00	0.00	0.00	0.00	0.00	0.00
33	Copertura quota inf.	6-2	Car. perm. G1 in Testa	0.00	0.00	0.00	0.00	0.00	0.00
			Car. perm. G2 in Testa	0.00	0.00	0.00	0.00	0.00	0.00
			Car. eserc. in Testa	0.00	0.00	0.00	0.00	0.00	0.00

34	Copertura quota inf.	6-2	Car. perm. G1 in Testa	0.00	0.00	0.00	0.00	0.00	0.00
			Car. perm. G2 in Testa	0.00	0.00	0.00	0.00	0.00	0.00
			Car. eserc. in Testa	0.00	0.00	0.00	0.00	0.00	0.00
35	Copertura quota inf.	2-9	Car. perm. G1 in Testa	0.00	0.00	0.00	0.00	0.00	0.00
			Car. perm. G2 in Testa	0.00	0.00	0.00	0.00	0.00	0.00
			Car. eserc. in Testa	0.00	0.00	0.00	0.00	0.00	0.00
36	Copertura quota inf.	4-3	Car. perm. G1 in Testa	0.00	0.00	0.00	0.00	0.00	0.00
			Car. perm. G2 in Testa	0.00	0.00	0.00	0.00	0.00	0.00
			Car. eserc. in Testa	0.00	0.00	0.00	0.00	0.00	0.00
37	Copertura quota inf.	5-4	Car. perm. G1 in Testa	0.00	0.00	0.00	0.00	0.00	0.00
			Car. perm. G2 in Testa	0.00	0.00	0.00	0.00	0.00	0.00
			Car. eserc. in Testa	0.00	0.00	0.00	0.00	0.00	0.00
38	Copertura quota inf.	6-5	Car. perm. G1 in Testa	0.00	0.00	0.00	0.00	0.00	0.00
			Car. perm. G2 in Testa	0.00	0.00	0.00	0.00	0.00	0.00
			Car. eserc. in Testa	0.00	0.00	0.00	0.00	0.00	0.00
39	Copertura quota inf.	8-6	Car. perm. G1 in Testa	0.00	0.00	0.00	0.00	0.00	0.00
			Car. perm. G2 in Testa	0.00	0.00	0.00	0.00	0.00	0.00
			Car. eserc. in Testa	0.00	0.00	0.00	0.00	0.00	0.00
40	Copertura quota inf.	7-8	Car. perm. G1 in Testa	0.00	0.00	0.00	0.00	0.00	0.00
			Car. perm. G2 in Testa	0.00	0.00	0.00	0.00	0.00	0.00
			Car. eserc. in Testa	0.00	0.00	0.00	0.00	0.00	0.00
41	Copertura quota sup.	2-3	Car. perm. G1 in Testa	0.00	0.00	0.00	0.00	0.00	0.00
			Car. perm. G2 in Testa	0.00	0.00	0.00	0.00	0.00	0.00
			Car. eserc. in Testa	0.00	0.00	0.00	0.00	0.00	0.00
42	Copertura quota sup.	6-2	Car. perm. G1 in Testa	0.00	0.00	0.00	0.00	0.00	0.00
			Car. perm. G2 in Testa	0.00	0.00	0.00	0.00	0.00	0.00
			Car. eserc. in Testa	0.00	0.00	0.00	0.00	0.00	0.00
43	Copertura quota sup.	3-4	Car. perm. G1 in Testa	0.00	0.00	0.00	0.00	0.00	0.00
			Car. perm. G2 in Testa	0.00	0.00	0.00	0.00	0.00	0.00
			Car. eserc. in Testa	0.00	0.00	0.00	0.00	0.00	0.00
44	Copertura quota sup.	4-5	Car. perm. G1 in Testa	0.00	0.00	0.00	0.00	0.00	0.00
			Car. perm. G2 in Testa	0.00	0.00	0.00	0.00	0.00	0.00
			Car. eserc. in Testa	0.00	0.00	0.00	0.00	0.00	0.00
45	Copertura quota sup.	5-6	Car. perm. G1 in Testa	0.00	0.00	0.00	0.00	0.00	0.00
			Car. perm. G2 in Testa	0.00	0.00	0.00	0.00	0.00	0.00
			Car. eserc. in Testa	0.00	0.00	0.00	0.00	0.00	0.00

Carichi Globali distribuiti sulle Pareti

Parete : numero della piastra come da paragrafo "Caratteristiche delle pareti";
 Imp. : impalcato al quale appartiene la parete;
 Fili : fili fissi ai quali appartiene la parete;
 C.C. : condizione di carico come da paragrafo "Condizioni di carico valutate";
 DGlob : direzione dei carichi secondo il sistema di riferimento globale della parete;

Parete	Imp.	Fili	C.C.	DGlob X [daN/m ²]	DGlob Y [daN/m ²]	DGlob Z [daN/m ²]
1	Primo piano	7-1	Car. Perm. G1	0.00	0.00	-800.00
			Car. Perm. G2	0.00	0.00	0.00
			Car. Eserc.	0.00	0.00	0.00
2	Primo piano	1-9	Car. Perm. G1	0.00	0.00	-946.54
			Car. Perm. G2	0.00	0.00	0.00
			Car. Eserc.	0.00	0.00	0.00
3	Primo piano	1-9	Car. Perm. G1	0.00	0.00	-946.54
			Car. Perm. G2	0.00	0.00	0.00
			Car. Eserc.	0.00	0.00	0.00
4	Primo piano	2-3	Car. Perm. G1	0.00	0.00	-946.54

			Car. Perm. G2	0.00	0.00	0.00
			Car. Eserc.	0.00	0.00	0.00
5	Primo piano	2-3	Car. Perm. G1	0.00	0.00	-946.54
			Car. Perm. G2	0.00	0.00	0.00
			Car. Eserc.	0.00	0.00	0.00
6	Primo piano	2-3	Car. Perm. G1	0.00	0.00	-946.54
			Car. Perm. G2	0.00	0.00	0.00
			Car. Eserc.	0.00	0.00	0.00
7	Primo piano	2-3	Car. Perm. G1	0.00	0.00	-946.54
			Car. Perm. G2	0.00	0.00	0.00
			Car. Eserc.	0.00	0.00	0.00
8	Primo piano	6-2	Car. Perm. G1	0.00	0.00	-946.54
			Car. Perm. G2	0.00	0.00	0.00
			Car. Eserc.	0.00	0.00	0.00
9	Primo piano	9-2	Car. Perm. G1	0.00	0.00	-946.54
			Car. Perm. G2	0.00	0.00	0.00
			Car. Eserc.	0.00	0.00	0.00
10	Primo piano	9-2	Car. Perm. G1	0.00	0.00	-946.54
			Car. Perm. G2	0.00	0.00	0.00
			Car. Eserc.	0.00	0.00	0.00
11	Primo piano	3-4	Car. Perm. G1	0.00	0.00	-800.00
			Car. Perm. G2	0.00	0.00	0.00
			Car. Eserc.	0.00	0.00	0.00
12	Primo piano	4-5	Car. Perm. G1	0.00	0.00	-800.00
			Car. Perm. G2	0.00	0.00	0.00
			Car. Eserc.	0.00	0.00	0.00
13	Primo piano	8-6	Car. Perm. G1	0.00	0.00	-800.00
			Car. Perm. G2	0.00	0.00	0.00
			Car. Eserc.	0.00	0.00	0.00
14	Primo piano	7-8	Car. Perm. G1	0.00	0.00	-800.00
			Car. Perm. G2	0.00	0.00	0.00
			Car. Eserc.	0.00	0.00	0.00
15	Sottotetto	7-1	Car. Perm. G1	0.00	0.00	-600.00
			Car. Perm. G2	0.00	0.00	0.00
			Car. Eserc.	0.00	0.00	0.00
16	Sottotetto	1-9	Car. Perm. G1	0.00	0.00	-745.71
			Car. Perm. G2	0.00	0.00	0.00
			Car. Eserc.	0.00	0.00	0.00
17	Sottotetto	1-9	Car. Perm. G1	0.00	0.00	-745.71
			Car. Perm. G2	0.00	0.00	0.00
			Car. Eserc.	0.00	0.00	0.00
18	Sottotetto	2-3	Car. Perm. G1	0.00	0.00	-745.71
			Car. Perm. G2	0.00	0.00	0.00
			Car. Eserc.	0.00	0.00	0.00
19	Sottotetto	2-3	Car. Perm. G1	0.00	0.00	-745.71
			Car. Perm. G2	0.00	0.00	0.00
			Car. Eserc.	0.00	0.00	0.00
20	Sottotetto	2-3	Car. Perm. G1	0.00	0.00	-745.71
			Car. Perm. G2	0.00	0.00	0.00
			Car. Eserc.	0.00	0.00	0.00
21	Sottotetto	6-2	Car. Perm. G1	0.00	0.00	-745.71
			Car. Perm. G2	0.00	0.00	0.00
			Car. Eserc.	0.00	0.00	0.00
22	Sottotetto	6-2	Car. Perm. G1	0.00	0.00	-745.71
			Car. Perm. G2	0.00	0.00	0.00
			Car. Eserc.	0.00	0.00	0.00
23	Sottotetto	9-2	Car. Perm. G1	0.00	0.00	-745.71
			Car. Perm. G2	0.00	0.00	0.00
			Car. Eserc.	0.00	0.00	0.00
24	Sottotetto	9-2	Car. Perm. G1	0.00	0.00	-745.71
			Car. Perm. G2	0.00	0.00	0.00
			Car. Eserc.	0.00	0.00	0.00
25	Sottotetto	3-4	Car. Perm. G1	0.00	0.00	-600.00
			Car. Perm. G2	0.00	0.00	0.00

			Car. Eserc.	0.00	0.00	0.00
26	Sottotetto	4-5	Car. Perm. G1	0.00	0.00	-600.00
			Car. Perm. G2	0.00	0.00	0.00
			Car. Eserc.	0.00	0.00	0.00
27	Sottotetto	5-6	Car. Perm. G1	0.00	0.00	-600.00
			Car. Perm. G2	0.00	0.00	0.00
			Car. Eserc.	0.00	0.00	0.00
28	Sottotetto	8-6	Car. Perm. G1	0.00	0.00	-600.00
			Car. Perm. G2	0.00	0.00	0.00
			Car. Eserc.	0.00	0.00	0.00
29	Sottotetto	7-8	Car. Perm. G1	0.00	0.00	-600.00
			Car. Perm. G2	0.00	0.00	0.00
			Car. Eserc.	0.00	0.00	0.00
30	Copertura quota inf.	1-7	Car. Perm. G1	0.00	0.00	-600.00
			Car. Perm. G2	0.00	0.00	0.00
			Car. Eserc.	0.00	0.00	0.00
31	Copertura quota inf.	9-1	Car. Perm. G1	0.00	0.00	-745.71
			Car. Perm. G2	0.00	0.00	0.00
			Car. Eserc.	0.00	0.00	0.00
32	Copertura quota inf.	3-2	Car. Perm. G1	0.00	0.00	-745.71
			Car. Perm. G2	0.00	0.00	0.00
			Car. Eserc.	0.00	0.00	0.00
33	Copertura quota inf.	6-2	Car. Perm. G1	0.00	0.00	-745.71
			Car. Perm. G2	0.00	0.00	0.00
			Car. Eserc.	0.00	0.00	0.00
34	Copertura quota inf.	6-2	Car. Perm. G1	0.00	0.00	-745.71
			Car. Perm. G2	0.00	0.00	0.00
			Car. Eserc.	0.00	0.00	0.00
35	Copertura quota inf.	2-9	Car. Perm. G1	0.00	0.00	-745.71
			Car. Perm. G2	0.00	0.00	0.00
			Car. Eserc.	0.00	0.00	0.00
36	Copertura quota inf.	4-3	Car. Perm. G1	0.00	0.00	-600.00
			Car. Perm. G2	0.00	0.00	0.00
			Car. Eserc.	0.00	0.00	0.00
37	Copertura quota inf.	5-4	Car. Perm. G1	0.00	0.00	-600.00
			Car. Perm. G2	0.00	0.00	0.00
			Car. Eserc.	0.00	0.00	0.00
38	Copertura quota inf.	6-5	Car. Perm. G1	0.00	0.00	-600.00
			Car. Perm. G2	0.00	0.00	0.00
			Car. Eserc.	0.00	0.00	0.00
39	Copertura quota inf.	8-6	Car. Perm. G1	0.00	0.00	-600.00
			Car. Perm. G2	0.00	0.00	0.00
			Car. Eserc.	0.00	0.00	0.00
40	Copertura quota inf.	7-8	Car. Perm. G1	0.00	0.00	-600.00
			Car. Perm. G2	0.00	0.00	0.00
			Car. Eserc.	0.00	0.00	0.00
41	Copertura quota sup.	2-3	Car. Perm. G1	0.00	0.00	-745.71
			Car. Perm. G2	0.00	0.00	0.00
			Car. Eserc.	0.00	0.00	0.00
42	Copertura quota sup.	6-2	Car. Perm. G1	0.00	0.00	-745.71
			Car. Perm. G2	0.00	0.00	0.00
			Car. Eserc.	0.00	0.00	0.00
43	Copertura quota sup.	3-4	Car. Perm. G1	0.00	0.00	-600.00
			Car. Perm. G2	0.00	0.00	0.00
			Car. Eserc.	0.00	0.00	0.00
44	Copertura quota sup.	4-5	Car. Perm. G1	0.00	0.00	-600.00
			Car. Perm. G2	0.00	0.00	0.00
			Car. Eserc.	0.00	0.00	0.00
45	Copertura	5-6	Car. Perm. G1	0.00	0.00	-600.00

	quota sup.					
			Car. Perm. G2	0.00	0.00	0.00
			Car. Eserc.	0.00	0.00	0.00

3.7.6 Carichi termici sugli elementi.

Aste

Asta : numero dell'asta come da 3.5.2

Imp. : impalcato al quale appartiene l'asta

Fili : fili fissi ai quali appartiene l'asta

Δt : delta termico costante applicato all'elemento.

Δt_{XY} : delta termico a farfalla nel piano XY applicato all'elemento.

h_{XY} : altezza di riferimento del delta termico nel piano XY applicato all'elemento.

Δt_{XZ} : delta termico a farfalla nel piano XZ applicato all'elemento.

h_{XZ} : altezza di riferimento del delta termico nel piano XZ applicato all'elemento.

Asta	Imp.	Fili	Δt [°C]	Δt_{XY} [°C]	h_{XY} [cm]	Δt_{XZ} [°C]	h_{XZ} [cm]
1	Fondazioni	7, 1	10.0	0.0	60.0	0.0	80.0
2	Fondazioni	7, 1	10.0	0.0	60.0	0.0	80.0
3	Fondazioni	7, 1	10.0	0.0	60.0	0.0	80.0
4	Fondazioni	7, 1	10.0	0.0	60.0	0.0	80.0
5	Fondazioni	7, 1	10.0	0.0	60.0	0.0	80.0
6	Fondazioni	7, 1	10.0	0.0	60.0	0.0	80.0
7	Fondazioni	1, 9	10.0	0.0	60.0	0.0	80.0
8	Fondazioni	1, 9	10.0	0.0	60.0	0.0	80.0
9	Fondazioni	1, 9	10.0	0.0	60.0	0.0	80.0
10	Fondazioni	1, 9	10.0	0.0	60.0	0.0	80.0
11	Fondazioni	1, 9	10.0	0.0	60.0	0.0	80.0
12	Fondazioni	1, 9	10.0	0.0	60.0	0.0	80.0
13	Fondazioni	2, 3	10.0	0.0	60.0	0.0	80.0
14	Fondazioni	2, 3	10.0	0.0	60.0	0.0	80.0
15	Fondazioni	2, 3	10.0	0.0	60.0	0.0	80.0
16	Fondazioni	2, 3	10.0	0.0	60.0	0.0	80.0
17	Fondazioni	2, 3	10.0	0.0	60.0	0.0	80.0
18	Fondazioni	2, 3	10.0	0.0	60.0	0.0	80.0
19	Fondazioni	2, 3	10.0	0.0	60.0	0.0	80.0
20	Fondazioni	2, 3	10.0	0.0	60.0	0.0	80.0
21	Fondazioni	2, 3	10.0	0.0	60.0	0.0	80.0
22	Fondazioni	2, 3	10.0	0.0	60.0	0.0	80.0
23	Fondazioni	2, 3	10.0	0.0	60.0	0.0	80.0
24	Fondazioni	6, 2	10.0	0.0	60.0	0.0	80.0
25	Fondazioni	6, 2	10.0	0.0	60.0	0.0	80.0
26	Fondazioni	6, 2	10.0	0.0	60.0	0.0	80.0
27	Fondazioni	6, 2	10.0	0.0	60.0	0.0	80.0
28	Fondazioni	6, 2	10.0	0.0	60.0	0.0	80.0
29	Fondazioni	6, 2	10.0	0.0	60.0	0.0	80.0
30	Fondazioni	9, 2	10.0	0.0	60.0	0.0	80.0
31	Fondazioni	9, 2	10.0	0.0	60.0	0.0	80.0
32	Fondazioni	9, 2	10.0	0.0	60.0	0.0	80.0
33	Fondazioni	9, 2	10.0	0.0	60.0	0.0	80.0
34	Fondazioni	9, 2	10.0	0.0	60.0	0.0	80.0
35	Fondazioni	3, 4	10.0	0.0	60.0	0.0	80.0
36	Fondazioni	3, 4	10.0	0.0	60.0	0.0	80.0
37	Fondazioni	3, 4	10.0	0.0	60.0	0.0	80.0
38	Fondazioni	3, 4	10.0	0.0	60.0	0.0	80.0
39	Fondazioni	3, 4	10.0	0.0	60.0	0.0	80.0
40	Fondazioni	3, 4	10.0	0.0	60.0	0.0	80.0
41	Fondazioni	3, 4	10.0	0.0	60.0	0.0	80.0
42	Fondazioni	4, 5	10.0	0.0	60.0	0.0	80.0
43	Fondazioni	4, 5	10.0	0.0	60.0	0.0	80.0
44	Fondazioni	4, 5	10.0	0.0	60.0	0.0	80.0
45	Fondazioni	4, 5	10.0	0.0	60.0	0.0	80.0
46	Fondazioni	4, 5	10.0	0.0	60.0	0.0	80.0
47	Fondazioni	4, 5	10.0	0.0	60.0	0.0	80.0
48	Fondazioni	4, 5	10.0	0.0	60.0	0.0	80.0
49	Fondazioni	5, 6	10.0	0.0	60.0	0.0	80.0
50	Fondazioni	8, 6	10.0	0.0	60.0	0.0	80.0
51	Fondazioni	8, 6	10.0	0.0	60.0	0.0	80.0

52	Fondazioni	8, 6	10.0	0.0	60.0	0.0	80.0
53	Fondazioni	7, 8	10.0	0.0	60.0	0.0	80.0
54	Fondazioni	7, 8	10.0	0.0	60.0	0.0	80.0
55	Fondazioni	7, 8	10.0	0.0	60.0	0.0	80.0
56	Fondazioni	7, 8	10.0	0.0	60.0	0.0	80.0
57	Fondazioni	7, 8	10.0	0.0	60.0	0.0	80.0
58	Primo piano	6, 2	15.0	0.0	30.0	0.0	30.0
59	Primo piano	6, 2	15.0	0.0	30.0	0.0	30.0
60	Primo piano	6, 2	15.0	0.0	30.0	0.0	30.0
61	Primo piano	6, 2	15.0	0.0	30.0	0.0	30.0
62	Primo piano	6, 2	15.0	0.0	30.0	0.0	30.0
63	Primo piano	6, 2	15.0	0.0	30.0	0.0	30.0
64	Primo piano	6, 2	15.0	0.0	30.0	0.0	30.0
65	Primo piano	9, 2	15.0	0.0	30.0	0.0	30.0
66	Primo piano	9, 2	15.0	0.0	30.0	0.0	30.0
67	Primo piano	9, 2	15.0	0.0	30.0	0.0	30.0
68	Primo piano	9, 2	15.0	0.0	30.0	0.0	30.0
69	Primo piano	9, 2	15.0	0.0	30.0	0.0	30.0
70	Primo piano	8, 6	15.0	0.0	30.0	0.0	30.0
71	Primo piano	8, 6	15.0	0.0	30.0	0.0	30.0
72	Primo piano	8, 6	15.0	0.0	30.0	0.0	30.0
73	Primo piano	8, 9	15.0	0.0	30.0	0.0	30.0
74	Sottotetto	6, 2	15.0	0.0	30.0	0.0	30.0
75	Sottotetto	6, 2	15.0	0.0	30.0	0.0	30.0
76	Sottotetto	6, 2	15.0	0.0	30.0	0.0	30.0
77	Sottotetto	6, 2	15.0	0.0	30.0	0.0	30.0
78	Sottotetto	6, 2	15.0	0.0	30.0	0.0	30.0
79	Sottotetto	6, 2	15.0	0.0	30.0	0.0	30.0
80	Sottotetto	9, 2	15.0	0.0	30.0	0.0	30.0
81	Sottotetto	9, 2	15.0	0.0	30.0	0.0	30.0
82	Sottotetto	9, 2	15.0	0.0	30.0	0.0	30.0
83	Sottotetto	9, 2	15.0	0.0	30.0	0.0	30.0
84	Sottotetto	9, 2	15.0	0.0	30.0	0.0	30.0
85	Sottotetto	8, 6	15.0	0.0	30.0	0.0	30.0
86	Sottotetto	8, 6	15.0	0.0	30.0	0.0	30.0
87	Sottotetto	8, 6	15.0	0.0	30.0	0.0	30.0
88	Sottotetto	8, 9	15.0	0.0	30.0	0.0	30.0
89	Copertura quota inf.	1, 7	15.0	0.0	30.0	0.0	20.0
90	Copertura quota inf.	1, 7	15.0	0.0	30.0	0.0	20.0
91	Copertura quota inf.	1, 7	15.0	0.0	30.0	0.0	20.0
92	Copertura quota inf.	1, 7	15.0	0.0	30.0	0.0	20.0
93	Copertura quota inf.	1, 7	15.0	0.0	30.0	0.0	20.0
94	Copertura quota inf.	1, 7	15.0	0.0	30.0	0.0	20.0
95	Copertura quota inf.	9, 1	15.0	0.0	30.0	0.0	20.0
96	Copertura quota inf.	9, 1	15.0	0.0	30.0	0.0	20.0
97	Copertura quota inf.	9, 1	15.0	0.0	30.0	0.0	20.0
98	Copertura quota inf.	9, 1	15.0	0.0	30.0	0.0	20.0
99	Copertura quota inf.	9, 1	15.0	0.0	30.0	0.0	20.0
100	Copertura quota inf.	6, 2	15.0	0.0	30.0	0.0	20.0
101	Copertura quota inf.	6, 2	15.0	0.0	30.0	0.0	20.0
102	Copertura quota inf.	6, 2	15.0	0.0	30.0	0.0	20.0
103	Copertura quota inf.	6, 2	15.0	0.0	30.0	0.0	20.0
104	Copertura quota inf.	6, 2	15.0	0.0	30.0	0.0	20.0
105	Copertura quota inf.	6, 2	15.0	0.0	30.0	0.0	20.0
106	Copertura quota inf.	6, 2	15.0	0.0	30.0	0.0	20.0
107	Copertura	2, 9	15.0	0.0	30.0	0.0	20.0

	quota inf.						
108	Copertura quota inf.	2, 9	15.0	0.0	30.0	0.0	20.0
109	Copertura quota inf.	2, 9	15.0	0.0	30.0	0.0	20.0
110	Copertura quota inf.	8, 6	15.0	0.0	30.0	0.0	20.0
111	Copertura quota inf.	8, 6	15.0	0.0	30.0	0.0	20.0
112	Copertura quota inf.	8, 6	15.0	0.0	30.0	0.0	20.0
113	Copertura quota inf.	7, 8	15.0	0.0	30.0	0.0	20.0
114	Copertura quota inf.	7, 8	15.0	0.0	30.0	0.0	20.0
115	Copertura quota inf.	7, 8	15.0	0.0	30.0	0.0	20.0
116	Copertura quota inf.	7, 8	15.0	0.0	30.0	0.0	20.0
117	Copertura quota inf.	7, 8	15.0	0.0	30.0	0.0	20.0
118	Copertura quota sup.	2, 3	15.0	0.0	30.0	0.0	20.0
119	Copertura quota sup.	2, 3	15.0	0.0	30.0	0.0	20.0
120	Copertura quota sup.	2, 3	15.0	0.0	30.0	0.0	20.0
121	Copertura quota sup.	2, 3	15.0	0.0	30.0	0.0	20.0
122	Copertura quota sup.	2, 3	15.0	0.0	30.0	0.0	20.0
123	Copertura quota sup.	2, 3	15.0	0.0	30.0	0.0	20.0
124	Copertura quota sup.	2, 3	15.0	0.0	30.0	0.0	20.0
125	Copertura quota sup.	6, 2	15.0	0.0	30.0	0.0	20.0
126	Copertura quota sup.	6, 2	15.0	0.0	30.0	0.0	20.0
127	Copertura quota sup.	6, 2	15.0	0.0	30.0	0.0	20.0
128	Copertura quota sup.	6, 2	15.0	0.0	30.0	0.0	20.0
129	Copertura quota sup.	6, 2	15.0	0.0	30.0	0.0	20.0
130	Copertura quota sup.	6, 2	15.0	0.0	30.0	0.0	20.0
131	Copertura quota sup.	3, 4	15.0	0.0	30.0	0.0	20.0
132	Copertura quota sup.	3, 4	15.0	0.0	30.0	0.0	20.0
133	Copertura quota sup.	3, 4	15.0	0.0	30.0	0.0	20.0
134	Copertura quota sup.	3, 4	15.0	0.0	30.0	0.0	20.0
135	Copertura quota sup.	3, 4	15.0	0.0	30.0	0.0	20.0
136	Copertura quota sup.	3, 4	15.0	0.0	30.0	0.0	20.0
137	Copertura quota sup.	3, 4	15.0	0.0	30.0	0.0	20.0
138	Copertura quota sup.	4, 5	15.0	0.0	30.0	0.0	20.0
139	Copertura quota sup.	4, 5	15.0	0.0	30.0	0.0	20.0
140	Copertura quota sup.	4, 5	15.0	0.0	30.0	0.0	20.0
141	Copertura quota sup.	4, 5	15.0	0.0	30.0	0.0	20.0
142	Copertura quota sup.	4, 5	15.0	0.0	30.0	0.0	20.0
143	Copertura quota sup.	4, 5	15.0	0.0	30.0	0.0	20.0
144	Copertura quota sup.	4, 5	15.0	0.0	30.0	0.0	20.0

145	Copertura quota sup.	5, 6	15.0	0.0	30.0	0.0	20.0
-----	-------------------------	------	------	-----	------	-----	------

Pareti

Parete : numero della parete
 Imp. : impalcato al quale appartiene la parete
 Fili : fili fissi ai quali appartiene la parete
 Δt : salto termico applicato all'elemento.

Parete	Imp.	Fili	Δt [°C]
1	Primo piano	7-1	15.0
2	Primo piano	1-9	15.0
3	Primo piano	1-9	15.0
4	Primo piano	2-3	15.0
5	Primo piano	2-3	15.0
6	Primo piano	2-3	15.0
7	Primo piano	2-3	15.0
8	Primo piano	6-2	15.0
9	Primo piano	9-2	15.0
10	Primo piano	9-2	15.0
11	Primo piano	3-4	15.0
12	Primo piano	4-5	15.0
13	Primo piano	8-6	15.0
14	Primo piano	7-8	15.0
15	Sottotetto	7-1	15.0
16	Sottotetto	1-9	15.0
17	Sottotetto	1-9	15.0
18	Sottotetto	2-3	15.0
19	Sottotetto	2-3	15.0
20	Sottotetto	2-3	15.0
21	Sottotetto	6-2	15.0
22	Sottotetto	6-2	15.0
23	Sottotetto	9-2	15.0
24	Sottotetto	9-2	15.0
25	Sottotetto	3-4	15.0
26	Sottotetto	4-5	15.0
27	Sottotetto	5-6	15.0
28	Sottotetto	8-6	15.0
29	Sottotetto	7-8	15.0
30	Copertura quota inf.	1-7	15.0
31	Copertura quota inf.	9-1	15.0
32	Copertura quota inf.	3-2	15.0
33	Copertura quota inf.	6-2	15.0
34	Copertura quota inf.	6-2	15.0
35	Copertura quota inf.	2-9	15.0
36	Copertura quota inf.	4-3	15.0
37	Copertura quota inf.	5-4	15.0
38	Copertura quota inf.	6-5	15.0
39	Copertura quota inf.	8-6	15.0
40	Copertura quota inf.	7-8	15.0
41	Copertura quota sup.	2-3	15.0
42	Copertura quota sup.	6-2	15.0
43	Copertura quota sup.	3-4	15.0
44	Copertura quota sup.	4-5	15.0
45	Copertura	5-6	15.0

	quota sup.		
--	------------	--	--

3.8 Caratteristiche meccaniche della muratura.

Parete	: numero della parete;
Imp.	: numero dell'impalcato;
Fili	: numero dei fili fissi iniziale e finale;
f_c	: fattore di confidenza;
Coeff. Corr.	: coefficiente correttivo;
Coeff. Sic.	: Coefficiente di sicurezza;
E	: Modulo elastico normale
G	: Modulo elastico tangenziale
$f_k - f_m$: Resistenza caratteristica a compressione o resistenza media a compressione
f_{vk0}	: Resistenza caratteristica a taglio in assenza di carichi verticali
τ_0	: Resistenza media a taglio di riferimento
γ	: Peso specifico

Parete	Imp.	Fili	f_c	Coeff. Corr.	Coeff. Sic.	E [daN/cm ²]	G [daN/cm ²]	$f_k - f_m$ [daN/cm ²]	τ_0 [daN/cm ²]	γ [daN/cm ³]
1	Primo piano	7 - 1	1.35	1.00	3.00	12300.00	4100.00	14.81	0.26	2000.00
2	Primo piano	1 - 9	1.35	1.00	3.00	24600.00	8200.00	29.63	0.52	2000.00
3	Primo piano	2 - 3	1.35	1.00	3.00	24600.00	8200.00	29.63	0.52	2000.00
4	Primo piano	6 - 2	1.35	1.00	3.00	24600.00	8200.00	29.63	0.52	2000.00
5	Primo piano	9 - 2	1.35	1.00	3.00	24600.00	8200.00	29.63	0.52	2000.00
6	Primo piano	3 - 4	1.35	1.00	3.00	12300.00	4100.00	14.81	0.26	2000.00
7	Primo piano	4 - 5	1.35	1.00	3.00	12300.00	4100.00	14.81	0.26	2000.00
8	Primo piano	8 - 6	1.35	1.00	3.00	12300.00	4100.00	14.81	0.26	2000.00
9	Primo piano	7 - 8	1.35	1.00	3.00	12300.00	4100.00	14.81	0.26	2000.00
10	Sottotetto	7 - 1	1.35	1.00	3.00	12300.00	4100.00	14.81	0.26	2000.00
11	Sottotetto	1 - 9	1.35	1.00	3.00	24600.00	8200.00	29.63	0.52	2000.00
12	Sottotetto	2 - 3	1.35	1.00	3.00	24600.00	8200.00	29.63	0.52	2000.00
13	Sottotetto	6 - 2	1.35	1.00	3.00	24600.00	8200.00	29.63	0.52	2000.00
14	Sottotetto	9 - 2	1.35	1.00	3.00	24600.00	8200.00	29.63	0.52	2000.00
15	Sottotetto	3 - 4	1.35	1.00	3.00	12300.00	4100.00	14.81	0.26	2000.00
16	Sottotetto	4 - 5	1.35	1.00	3.00	12300.00	4100.00	14.81	0.26	2000.00
17	Sottotetto	5 - 6	1.35	1.00	3.00	12300.00	4100.00	14.81	0.26	2000.00
18	Sottotetto	8 - 6	1.35	1.00	3.00	12300.00	4100.00	14.81	0.26	2000.00
19	Sottotetto	7 - 8	1.35	1.00	3.00	12300.00	4100.00	14.81	0.26	2000.00
20	Copertura quota inf.	1 - 7	1.35	1.00	3.00	12300.00	4100.00	14.81	0.26	2000.00
21	Copertura quota inf.	9 - 1	1.35	1.00	3.00	24600.00	8200.00	29.63	0.52	2000.00
22	Copertura quota inf.	3 - 2	1.35	1.00	3.00	24600.00	8200.00	29.63	0.52	2000.00
23	Copertura quota inf.	6 - 2	1.35	1.00	3.00	24600.00	8200.00	29.63	0.52	2000.00
24	Copertura quota inf.	2 - 9	1.35	1.00	3.00	24600.00	8200.00	29.63	0.52	2000.00
25	Copertura quota inf.	4 - 3	1.35	1.00	3.00	12300.00	4100.00	14.81	0.26	2000.00
26	Copertura quota inf.	5 - 4	1.35	1.00	3.00	12300.00	4100.00	14.81	0.26	2000.00
27	Copertura quota inf.	6 - 5	1.35	1.00	3.00	12300.00	4100.00	14.81	0.26	2000.00
28	Copertura quota inf.	8 - 6	1.35	1.00	3.00	12300.00	4100.00	14.81	0.26	2000.00
29	Copertura quota inf.	7 - 8	1.35	1.00	3.00	12300.00	4100.00	14.81	0.26	2000.00
30	Copertura quota sup.	2 - 3	1.35	1.00	3.00	24600.00	8200.00	29.63	0.52	2000.00
31	Copertura	6 - 2	1.35	1.00	3.00	24600.00	8200.00	29.63	0.52	2000.00

	quota sup.									
32	Copertura quota sup.	3 - 4	1.35	1.00	3.00	12300.00	4100.00	14.81	0.26	2000.00
33	Copertura quota sup.	4 - 5	1.35	1.00	3.00	12300.00	4100.00	14.81	0.26	2000.00
34	Copertura quota sup.	5 - 6	1.35	1.00	3.00	12300.00	4100.00	14.81	0.26	2000.00

3.9 Consolidamenti.

3.9.1 Intonaco Armato.

Parete : numero della parete;
 Imp. : numero dell'impalcato;
 Fili : numero dei fili fissi iniziale e finale;
 n_Lastre: numero di lastre di cemento su ogni parete;
 Spessore: spessore delle lastre di calcestruzzo;
 n_Conn : numero di connettori trasversali per metro quadro;
 ϕ _Conn : diametro dei connettori trasversali;
 L : lunghezza della maglia della rete elettrosaldata;
 ϕ _Rete : diametro della rete elettrosaldata;

Parete	Imp.	Fili	n_Lastre	Spessore [cm]	n_Conn [n/m²]	ϕ _Conn [mm]	L [cm]	ϕ _Rete [mm]
2	Primo piano	1 - 9	2	3	4	8	15	8
3	Primo piano	2 - 3	2	3	4	8	15	8
4	Primo piano	6 - 2	2	3	4	8	15	8
5	Primo piano	9 - 2	2	3	4	8	15	8
2	Sottotetto	1 - 9	2	3	4	8	15	8
3	Sottotetto	2 - 3	2	3	4	8	15	8
4	Sottotetto	6 - 2	2	3	4	8	15	8
5	Sottotetto	9 - 2	2	3	4	8	15	8
2	Copertura quota inf.	9 - 1	2	3	4	8	15	8
3	Copertura quota inf.	3 - 2	2	3	4	8	15	8
4	Copertura quota inf.	6 - 2	2	3	4	8	15	8
5	Copertura quota inf.	2 - 9	2	3	4	8	15	8
1	Copertura quota sup.	2 - 3	2	3	4	8	15	8
2	Copertura quota sup.	6 - 2	2	3	4	8	15	8

4 Risultati di Calcolo.

4.1 Tensioni sul Terreno.

I dati seguenti riportano i valori delle tensioni esercitate dalla fondazione sul terreno.

Asta/Piastra : numerazione interna dell'asta/piastra.
 X : distanza dal nodo iniziale misurata lungo l'asse dell'asta/piastra.
 Comb : combinazione di appartenenza del valore considerato nell'involuppo.
 Tensioni (σ_T) : valore della tensione dovuta alla pressione dell'asta/piastra di fondazione:

Tabella 1.I

Tensioni Terreno							
				SLV	SLE		
				A1	Caratt.	Freq.	Q. Perm.
Asta	Imp.	Fili	X [cm]	σ_t [daN/cm²]	σ_t [daN/cm²]	σ_t [daN/cm²]	σ_t [daN/cm²]
1	Fondazioni	7-1	0.00	1.33(2)	0.99(1)	0.89(3)	0.87(1)
			43.92	1.29(2)	0.96(1)	0.86(3)	0.85(1)
			87.83	1.24(2)	0.93(1)	0.84(3)	0.82(1)
2	Fondazioni	7-1	0.00	1.24(2)	0.93(1)	0.84(3)	0.82(1)
			43.92	1.21(2)	0.90(1)	0.81(3)	0.80(1)

			87.83	1.17(2)	0.88(1)	0.79(3)	0.78(1)
3	Fondazioni	7-1	0.00	1.17(2)	0.88(1)	0.79(3)	0.78(1)
			43.92	1.14(2)	0.86(1)	0.77(3)	0.76(1)
			87.83	1.12(2)	0.84(1)	0.75(3)	0.75(1)
4	Fondazioni	7-1	0.00	1.12(2)	0.84(1)	0.75(3)	0.75(1)
			43.92	1.10(2)	0.82(1)	0.74(3)	0.73(1)
			87.83	1.08(2)	0.81(1)	0.72(3)	0.72(1)
5	Fondazioni	7-1	0.00	1.08(2)	0.81(1)	0.72(3)	0.72(1)
			43.92	1.07(2)	0.80(1)	0.71(3)	0.71(1)
			87.83	1.07(2)	0.80(1)	0.71(3)	0.70(1)
6	Fondazioni	7-1	0.00	1.07(2)	0.80(1)	0.71(3)	0.70(1)
			43.92	1.06(2)	0.79(1)	0.70(3)	0.70(1)
			87.83	1.07(2)	0.80(1)	0.70(3)	0.69(1)
7	Fondazioni	1-9	0.00	1.07(2)	0.80(1)	0.70(3)	0.69(1)
			25.33	1.07(2)	0.80(1)	0.71(3)	0.70(1)
			50.66	1.08(2)	0.81(1)	0.71(3)	0.70(1)
8	Fondazioni	1-9	0.00	1.08(2)	0.81(1)	0.71(3)	0.70(1)
			25.33	1.09(2)	0.81(1)	0.71(3)	0.71(1)
			50.66	1.11(2)	0.82(1)	0.72(3)	0.71(1)
9	Fondazioni	1-9	0.00	1.11(2)	0.82(1)	0.72(3)	0.71(1)
			30.00	1.12(2)	0.84(1)	0.73(3)	0.72(1)
			60.00	1.15(2)	0.85(1)	0.74(3)	0.73(1)
10	Fondazioni	1-9	0.00	1.15(2)	0.85(1)	0.74(3)	0.73(1)
			30.00	1.17(2)	0.87(1)	0.75(3)	0.74(1)
			60.00	1.19(2)	0.88(1)	0.76(3)	0.76(1)
11	Fondazioni	1-9	0.00	1.19(3)	0.88(2)	0.76(4)	0.76(1)
			46.22	1.22(3)	0.91(2)	0.78(4)	0.77(1)
			92.45	1.25(3)	0.93(2)	0.79(4)	0.79(1)
12	Fondazioni	1-9	0.00	1.25(3)	0.93(2)	0.79(4)	0.79(1)
			46.22	1.27(3)	0.94(2)	0.80(4)	0.80(1)
			92.45	1.28(3)	0.95(2)	0.81(4)	0.80(1)
13	Fondazioni	2-3	0.00	1.22(3)	0.91(2)	0.78(4)	0.78(1)
			25.35	1.23(3)	0.91(2)	0.78(4)	0.78(1)
			50.70	1.23(3)	0.91(2)	0.79(4)	0.79(1)
14	Fondazioni	2-3	0.00	1.23(3)	0.91(2)	0.79(4)	0.79(1)
			30.00	1.23(3)	0.92(2)	0.79(4)	0.79(1)
			60.00	1.24(3)	0.92(2)	0.79(4)	0.79(1)
15	Fondazioni	2-3	0.00	1.24(3)	0.92(2)	0.79(4)	0.79(1)
			30.00	1.24(3)	0.92(2)	0.80(4)	0.80(1)
			60.00	1.24(3)	0.92(2)	0.80(4)	0.80(1)
16	Fondazioni	2-3	0.00	1.24(2)	0.92(1)	0.80(3)	0.80(1)
			30.00	1.24(2)	0.92(1)	0.80(3)	0.80(1)
			60.00	1.23(2)	0.91(1)	0.79(3)	0.79(1)
17	Fondazioni	2-3	0.00	1.23(2)	0.91(1)	0.79(3)	0.79(1)
			30.00	1.22(2)	0.91(1)	0.79(3)	0.79(1)
			60.00	1.21(2)	0.90(1)	0.79(3)	0.79(1)
18	Fondazioni	2-3	0.00	1.21(2)	0.90(1)	0.79(3)	0.79(1)
			30.00	1.21(2)	0.90(1)	0.78(3)	0.78(1)
			60.00	1.20(2)	0.89(1)	0.78(3)	0.78(1)
19	Fondazioni	2-3	0.00	1.20(2)	0.89(1)	0.78(3)	0.78(1)
			30.00	1.19(2)	0.89(1)	0.78(3)	0.78(1)
			60.00	1.18(2)	0.88(1)	0.78(3)	0.78(1)
20	Fondazioni	2-3	0.00	1.18(2)	0.88(1)	0.78(3)	0.78(1)
			30.00	1.18(2)	0.88(1)	0.77(3)	0.77(1)
			60.00	1.16(2)	0.87(1)	0.77(3)	0.77(1)
21	Fondazioni	2-3	0.00	1.16(2)	0.87(1)	0.77(3)	0.77(1)
			30.00	1.15(2)	0.86(1)	0.77(3)	0.76(1)
			60.00	1.15(2)	0.86(1)	0.76(3)	0.76(1)
22	Fondazioni	2-3	0.00	1.15(2)	0.86(1)	0.76(3)	0.76(1)
			30.00	1.14(2)	0.85(1)	0.76(3)	0.76(1)
			60.00	1.14(2)	0.85(1)	0.77(3)	0.76(1)
23	Fondazioni	2-3	0.00	1.14(2)	0.85(1)	0.77(3)	0.76(1)
			45.35	1.15(2)	0.86(1)	0.78(3)	0.77(1)
			90.69	1.16(2)	0.87(1)	0.79(3)	0.78(1)
24	Fondazioni	6-2	0.00	1.41(3)	1.05(2)	0.95(4)	0.94(1)
			44.25	1.41(3)	1.05(2)	0.95(4)	0.94(1)
			88.50	1.41(3)	1.05(2)	0.94(4)	0.93(1)
25	Fondazioni	6-2	0.00	1.41(3)	1.05(2)	0.94(4)	0.93(1)
			44.25	1.40(3)	1.04(2)	0.94(4)	0.92(1)
			88.50	1.38(3)	1.03(2)	0.92(4)	0.91(1)
26	Fondazioni	6-2	0.00	1.38(3)	1.03(2)	0.92(4)	0.91(1)
			44.25	1.36(3)	1.01(2)	0.90(4)	0.89(1)
			88.50	1.33(3)	0.99(2)	0.88(4)	0.87(1)

27	Fondazioni	6-2	0.00	1.33(3)	0.99(2)	0.88(4)	0.87(1)
			44.25	1.30(3)	0.97(2)	0.86(4)	0.85(1)
			88.50	1.27(3)	0.94(2)	0.83(4)	0.82(1)
28	Fondazioni	6-2	0.00	1.27(3)	0.94(2)	0.83(4)	0.82(1)
			36.25	1.25(3)	0.93(2)	0.81(4)	0.81(1)
			72.50	1.23(3)	0.92(2)	0.80(4)	0.79(1)
29	Fondazioni	6-2	0.00	1.23(3)	0.92(2)	0.80(4)	0.79(1)
			36.25	1.23(3)	0.91(2)	0.79(4)	0.78(1)
			72.50	1.22(3)	0.91(2)	0.78(4)	0.78(1)
30	Fondazioni	9-2	0.00	1.28(3)	0.95(2)	0.81(4)	0.80(1)
			26.42	1.28(3)	0.95(2)	0.81(4)	0.80(1)
			52.84	1.27(3)	0.94(2)	0.80(4)	0.80(1)
31	Fondazioni	9-2	0.00	1.27(3)	0.94(2)	0.80(4)	0.80(1)
			26.42	1.27(3)	0.94(2)	0.80(4)	0.79(1)
			52.84	1.26(3)	0.93(2)	0.79(4)	0.79(1)
32	Fondazioni	9-2	0.00	1.26(3)	0.93(2)	0.79(4)	0.79(1)
			30.00	1.24(3)	0.92(2)	0.79(4)	0.78(1)
			60.00	1.23(3)	0.91(2)	0.78(4)	0.78(1)
33	Fondazioni	9-2	0.00	1.23(3)	0.91(2)	0.78(4)	0.78(1)
			30.00	1.23(3)	0.91(2)	0.78(4)	0.78(1)
			60.00	1.22(3)	0.91(2)	0.78(4)	0.78(1)
34	Fondazioni	9-2	0.00	1.22(3)	0.91(2)	0.78(4)	0.78(1)
			29.24	1.22(3)	0.91(2)	0.78(4)	0.78(1)
			58.47	1.22(3)	0.91(2)	0.78(4)	0.78(1)
35	Fondazioni	3-4	0.00	1.16(2)	0.87(1)	0.79(3)	0.78(1)
			44.43	1.16(2)	0.87(1)	0.79(3)	0.78(1)
			88.86	1.16(2)	0.87(1)	0.79(3)	0.78(1)
36	Fondazioni	3-4	0.00	1.16(2)	0.87(1)	0.79(3)	0.78(1)
			44.43	1.16(2)	0.87(1)	0.79(3)	0.79(1)
			88.86	1.16(2)	0.87(1)	0.80(3)	0.80(1)
37	Fondazioni	3-4	0.00	1.16(2)	0.87(1)	0.80(3)	0.80(1)
			44.43	1.18(2)	0.88(1)	0.81(3)	0.81(1)
			88.86	1.19(2)	0.89(1)	0.82(3)	0.82(1)
38	Fondazioni	3-4	0.00	1.19(2)	0.89(1)	0.82(3)	0.82(1)
			44.43	1.21(2)	0.91(1)	0.84(3)	0.84(1)
			88.86	1.24(2)	0.93(1)	0.85(3)	0.85(1)
39	Fondazioni	3-4	0.00	1.24(2)	0.93(1)	0.85(3)	0.85(1)
			44.43	1.27(2)	0.95(1)	0.87(3)	0.87(1)
			88.86	1.30(2)	0.98(1)	0.90(3)	0.89(1)
40	Fondazioni	3-4	0.00	1.30(2)	0.98(1)	0.90(3)	0.89(1)
			44.43	1.34(2)	1.00(1)	0.92(3)	0.91(1)
			88.86	1.38(2)	1.04(1)	0.95(3)	0.94(1)
41	Fondazioni	3-4	0.00	1.38(2)	1.04(1)	0.95(3)	0.94(1)
			44.43	1.43(2)	1.07(1)	0.98(3)	0.97(1)
			88.86	1.48(2) *	1.11(1) *	1.02(3) *	1.00(1) *
42	Fondazioni	4-5	0.00	1.48(2) *	1.11(1) *	1.02(3) *	1.00(1) *
			49.32	1.45(2)	1.09(1)	1.00(3)	0.98(1)
			98.63	1.43(2)	1.08(1)	0.99(3)	0.98(1)
43	Fondazioni	4-5	0.00	1.43(2)	1.08(1)	0.99(3)	0.98(1)
			49.32	1.42(2)	1.06(1)	0.97(3)	0.97(1)
			98.63	1.41(2)	1.06(1)	0.97(3)	0.97(1)
44	Fondazioni	4-5	0.00	1.41(3)	1.06(2)	0.97(4)	0.97(1)
			49.32	1.41(3)	1.06(2)	0.96(4)	0.96(1)
			98.63	1.42(3)	1.06(2)	0.97(4)	0.96(1)
45	Fondazioni	4-5	0.00	1.42(3)	1.06(2)	0.97(4)	0.96(1)
			49.32	1.42(3)	1.06(2)	0.97(4)	0.96(1)
			98.63	1.42(3)	1.06(2)	0.97(4)	0.96(1)
46	Fondazioni	4-5	0.00	1.42(3)	1.06(2)	0.97(4)	0.96(1)
			49.32	1.42(3)	1.07(2)	0.97(4)	0.96(1)
			98.63	1.42(3)	1.07(2)	0.96(4)	0.96(1)
47	Fondazioni	4-5	0.00	1.42(3)	1.07(2)	0.96(4)	0.96(1)
			49.32	1.42(3)	1.06(2)	0.96(4)	0.95(1)
			98.63	1.42(3)	1.06(2)	0.96(4)	0.95(1)
48	Fondazioni	4-5	0.00	1.42(3)	1.06(2)	0.96(4)	0.95(1)
			49.32	1.41(3)	1.06(2)	0.96(4)	0.95(1)
			98.63	1.41(3)	1.05(2)	0.95(4)	0.95(1)
49	Fondazioni	5-6	0.00	1.41(3)	1.05(2)	0.95(4)	0.95(1)
			34.00	1.41(3)	1.05(2)	0.95(4)	0.94(1)
			68.00	1.41(3)	1.05(2)	0.95(4)	0.94(1)
50	Fondazioni	8-6	0.00	1.34(3)	1.00(2)	0.90(4)	0.89(1)
			47.51	1.34(3)	1.01(2)	0.90(4)	0.89(1)
			95.02	1.36(3)	1.01(2)	0.91(4)	0.90(1)
51	Fondazioni	8-6	0.00	1.36(3)	1.01(2)	0.91(4)	0.90(1)

			47.51	1.37(3)	1.02(2)	0.92(4)	0.91(1)
			95.02	1.38(3)	1.03(2)	0.93(4)	0.92(1)
52	Fondazioni	8-6	0.00	1.38(3)	1.03(2)	0.93(4)	0.92(1)
			47.51	1.39(3)	1.04(2)	0.94(4)	0.93(1)
			95.02	1.41(3)	1.05(2)	0.95(4)	0.94(1)
53	Fondazioni	7-8	0.00	1.33(2)	0.99(1)	0.89(3)	0.87(1)
			40.51	1.32(2)	0.99(1)	0.89(3)	0.87(1)
			81.03	1.31(2)	0.98(1)	0.88(3)	0.87(1)
54	Fondazioni	7-8	0.00	1.31(2)	0.98(1)	0.88(3)	0.87(1)
			40.51	1.30(2)	0.97(1)	0.88(3)	0.87(1)
			81.03	1.30(2)	0.97(1)	0.87(3)	0.87(1)
55	Fondazioni	7-8	0.00	1.30(3)	0.97(2)	0.87(4)	0.87(1)
			40.51	1.30(3)	0.97(2)	0.87(4)	0.87(1)
			81.03	1.30(3)	0.98(2)	0.88(4)	0.87(1)
56	Fondazioni	7-8	0.00	1.30(3)	0.98(2)	0.88(4)	0.87(1)
			40.51	1.31(3)	0.98(2)	0.88(4)	0.88(1)
			81.03	1.32(3)	0.99(2)	0.89(4)	0.88(1)
57	Fondazioni	7-8	0.00	1.32(3)	0.99(2)	0.89(4)	0.88(1)
			40.51	1.33(3)	0.99(2)	0.89(4)	0.88(1)
			81.03	1.34(3)	1.00(2)	0.90(4)	0.89(1)

* valore massimo.

4.2 Percentuale di forza sismica assorbita dagli elementi in muratura.

Impalcato	Direzione	
	X [%]	Y [%]
Primo piano	100.0	100.0
Sottotetto	100.0	100.0
Copertura quota inf.	100.0	100.0
Copertura quota sup.	100.0	100.0

4.3 Risultati del calcolo non lineare.

4.3.1 Stato degli elementi maschio al collasso della struttura.

Imp. : numero dell'impalcato
 Fili : numero dei fili fissi iniziale e finale
 Stato : stato al quale si trova l'elemento al collasso della struttura (E = elastico; P = plastico; C = collassato)
 N : sforzo normale raggiunto dalla parete al collasso della struttura
 k_L : rigidezza nel piano dell'elemento
 δ_L : spostamento nel piano dell'elemento al collasso della struttura
 $\delta_{L,0}$: spostamento elastico nel piano dell'elemento al collasso della struttura
 $\delta_{L,u}$: spostamento ultimo nel piano dell'elemento al collasso della struttura
 V_L : taglio nel piano raggiunto dalla parete al collasso della struttura
 $V_{L,e}$: taglio massimo nel piano raggiunto dalla parete in fase elastica
 $V_{L,u}$: taglio ultimo nel piano dell'elemento al collasso della struttura
 $\%_{\delta_{L,0}}$: percentuale dello spostamento elastico nel piano dell'elemento al collasso della struttura
 $\%_{\delta_{L,u}}$: percentuale dello spostamento plastico nel piano dell'elemento al collasso della struttura
 k_t : rigidezza fuori piano dell'elemento
 δ_t : spostamento fuori piano dell'elemento al collasso della struttura
 $\delta_{t,0}$: spostamento elastico fuori piano dell'elemento al collasso della struttura
 $\delta_{t,u}$: spostamento ultimo fuori piano dell'elemento al collasso della struttura
 V_t : taglio fuori piano raggiunto dalla parete al collasso della struttura
 $V_{t,e}$: taglio massimo fuori piano raggiunto dalla parete in fase elastica
 $V_{t,u}$: taglio ultimo fuori piano dell'elemento al collasso della struttura
 $\%_{\delta_{t,0}}$: percentuale dello spostamento elastico fuori piano dell'elemento al collasso della struttura
 $\%_{\delta_{t,u}}$: percentuale dello spostamento plastico fuori piano dell'elemento al collasso della struttura

Cond_X_1(+); E(+); S2(+) : **Sisma X (+);** **Distribuzione forze: Proporzionale masse;** **Eccentricità accidentale (+ 0.05*Ly);** **Sisma seconda direzione (+)**

Imp.	Fili	Stato	N [daN]	k _L [daN/cm]	δ _L [cm]	δ _{L,0} [cm]	δ _{L,u} [cm]	V _L [daN]	V _{L,e} [daN]	V _{L,u} [daN]	% δ _{L,0}	% δ _{L,u}	k _t [daN/cm]	δ _t [cm]	δ _{t,0} [cm]	δ _{t,u} [cm]	V _t [daN]	V _{t,e} [daN]	V _{t,u} [daN]	% δ _{t,0}	% δ _{t,u}
Primo piano	7 - 1	P	-2029 3	18860 4	0.02	0.07	1.74	3689	0	13892	26.6	0.0	13503	0.39	0.19	1.74	2604	0	2604	100.0	12.6
Primo piano	1 - 9	P	-4038	8684	0.39	0.10	1.74	902	902	902	100.0	17.6	5401	0.01	0.13	1.74	39	109	692	5.7	0.0
Primo piano	1 - 9	P	-1542 9	10255 2	0.39	0.08	1.16	7871	7833	7871	100.0	28.7	15356	0.01	0.17	1.16	159	497	2575	6.2	0.0
Primo piano	2 - 3	P	-3952	1206	0.39	0.30	1.74	363	375	363	100.0	6.3	2701	0.02	0.21	1.74	46	93	556	8.2	0.0
Primo piano	2 - 3	P	-1740 5	49601	0.39	0.13	1.74	6320	6301	6320	100.0	16.4	10803	0.02	0.22	1.74	204	525	2422	8.4	0.0
Primo piano	2 - 3	P	-2024 2	49601	0.39	0.14	1.16	6820	6802	6820	100.0	24.9	10803	0.02	0.25	1.16	243	583	2725	8.9	0.0
Primo piano	2 - 3	P	-9585	5458	0.39	0.26	1.74	1399	1403	1399	100.0	9.2	4567	0.03	0.28	1.74	117	218	1268	9.2	0.0
Primo piano	6 - 2	P	-5975 9	34562 0	0.03	0.08	1.56	10219	0	29266	34.9	0.0	40894	0.39	0.22	1.56	8936	0	8936	100.0	12.6
Primo piano	9 - 2	P	-9561	32791	0.39	0.10	1.56	3188	2712	3188	100.0	20.2	11019	0.01	0.15	1.56	145	273	1629	8.9	0.0
Primo piano	9 - 2	P	-4872	3576	0.39	0.18	1.56	661	545	661	100.0	15.1	4795	0.02	0.16	1.56	76	125	776	9.8	0.0
Primo piano	3 - 4	P	-5752 3	23646 0	0.04	0.10	1.74	10070	9385	23574	42.7	0.0	16364	0.39	0.38	1.74	6262	6473	6262	100.0	0.3
Primo piano	4 - 5	P	-7020 5	27961 7	0.38	0.10	1.16	27619	0	27619	100.0	26.9	18984	0.01	0.39	1.16	170	0	7383	2.3	0.0
Primo piano	8 - 6	C	-2145 9	10108 8	1.04	0.09	1.04	9533	8999	9533	100.0	100.0	10321	0.02	0.26	1.04	199	378	2729	7.3	0.0
Primo piano	7 - 8	P	-2517 0	13835 6	0.38	0.09	1.16	13014	12987	13014	100.0	27.3	10563	0.01	0.29	1.16	147	473	3027	4.9	0.0
Sottotetto	7 - 1	E	-1385 4	15543	0.01	0.07	1.12	1770	0	10256	17.3	0.0	6785	0.06	0.20	1.68	436	0	1368	31.9	0.0
Sottotetto	1 - 9	E	-3049	11296	0.07	0.06	1.68	726	646	726	100.0	0.2	3454	0.01	0.11	1.68	34	60	373	9.0	0.0
Sottotetto	1 - 9	E	-9090	85866	0.07	0.06	1.68	5218	4361	5218	100.0	0.4	8426	0.01	0.13	1.68	105	254	1100	9.5	0.0
Sottotetto	2 - 3	E	-1584 2	12840 0	0.07	0.07	1.12	8656	8571	8809	98.3	0.0	10610	0.02	0.18	1.68	193	514	1871	10.3	0.0
Sottotetto	2 - 3	E	-1023 5	41964	0.07	0.09	1.68	2829	2798	3974	71.2	0.0	5922	0.02	0.20	1.68	127	236	1192	10.7	0.0
Sottotetto	2 - 3	E	-5711	7786	0.07	0.14	1.68	525	520	1114	47.1	0.0	3005	0.02	0.22	1.68	72	96	658	10.9	0.0
Sottotetto	6 - 2	E	-3243 4	25182 8	0.02	0.07	1.00	4802	0	18669	25.7	0.0	20779	0.06	0.20	1.50	1313	0	4121	31.9	0.0
Sottotetto	6 - 2	E	-4061	8031	0.02	0.10	1.50	153	0	820	18.7	0.0	3759	0.07	0.14	1.50	249	0	537	46.4	0.0
Sottotetto	9 - 2	P	-5373	28174	0.07	0.07	1.50	1753	1480	1753	100.0	0.0	6152	0.01	0.12	1.50	85	129	722	11.8	0.0
Sottotetto	9 - 2	E	-2970	4388	0.07	0.11	1.50	296	240	486	60.9	0.0	3018	0.02	0.13	1.50	50	53	396	12.5	0.0
Sottotetto	3 - 4	E	-3071 6	19237 7	0.03	0.08	1.12	5230	5133	15629	33.5	0.0	8162	0.06	0.34	1.68	514	568	2814	18.3	0.0
Sottotetto	4 - 5	E	-4017 4	22396 1	0.06	0.08	1.12	13990	0	18927	73.9	0.0	9355	0.02	0.38	1.68	149	0	3593	4.1	0.0
Sottotetto	5 - 6	E	-1244	200	0.02	0.44	1.68	4	0	88	4.3	0.0	334	0.06	0.34	1.68	20	0	114	17.8	0.0
Sottotetto	8 - 6	E	-1287 5	82547	0.06	0.08	1.00	5092	4805	6868	74.1	0.0	5154	0.02	0.26	1.50	83	176	1338	6.2	0.0
Sottotetto	7 - 8	E	-1623 9	11277 6	0.06	0.08	1.12	6938	6923	9263	74.9	0.0	5228	0.01	0.29	1.68	68	140	1532	4.4	0.0
Copertura quota inf.	1 - 7	E	-7190	28972 5	0.00	0.03	0.64	1101	1088	8298	13.3	0.0	33610	0.01	0.04	0.96	188	158	1293	14.6	0.0
Copertura quota inf.	9 - 1	P	-1499	11394 39	0.01	0.01	0.48	5951	0	10012	59.4	0.0	48648 9	0.00	0.00	0.48	961	0	961	100.0	0.3
Copertura quota inf.	3 - 2	E	-1515 6	15536 40	0.01	0.02	0.40	8117	0	24225	33.5	0.0	49765 8	0.00	0.01	0.60	782	0	5310	14.7	0.0
Copertura quota inf.	6 - 2	E	-1384 7	33107 8	0.00	0.04	0.75	806	0	13166	6.1	0.0	43272	0.01	0.06	1.13	252	0	2508	10.0	0.0
Copertura quota inf.	6 - 2	E	-1220	79382	0.00	0.01	0.56	192	0	696	27.7	0.0	49678	0.01	0.01	0.56	260	0	456	57.1	0.0
Copertura quota inf.	2 - 9	E	-3215	80946 9	0.01	0.01	0.32	4228	0	9016	46.9	0.0	34964 0	0.00	0.00	0.48	892	0	1427	62.5	0.0
Copertura quota inf.	4 - 3	E	-1341 4	29373 3	0.00	0.04	0.76	330	0	11440	2.9	0.0	24960	0.01	0.08	1.14	144	0	1983	7.3	0.0
Copertura quota inf.	5 - 4	E	-1668 0	22396 1	0.01	0.06	1.12	1451	1413	13481	10.8	0.0	9355	0.00	0.18	1.68	10	249	1664	0.6	0.0
Copertura quota	6 - 5	E	-540	222	0.00	0.19	1.62	1	1	43	1.3	0.0	372	0.01	0.15	1.62	2	2	56	4.1	0.0

inf.	8 - 6	E	-6119	94589	0.01	0.06	0.96	585	561	5404	10.8	0.0	6142	0.00	0.12	1.44	16	27	719	2.2	0.0
Coper tura quota inf.	7 - 8	E	-8114	14373 8	0.01	0.05	0.96	884	863	7390	12.0	0.0	8526	0.00	0.11	1.44	28	34	956	3.0	0.0
Coper tura quota sup.	2 - 3	E	-8076	19468 31	0.00	0.01	0.32	3971	3931	21467	18.5	0.0	82445 3	0.00	0.00	0.48	406	548	3580	11.3	0.0
Coper tura quota sup.	6 - 2	E	-5588	14306 12	0.00	0.01	0.32	1182	0	15679	7.5	0.0	60806 6	0.00	0.00	0.48	1345	0	2481	54.2	0.0
Coper tura quota sup.	3 - 4	E	-6739	71575 0	0.00	0.01	0.32	223	204	9334	2.4	0.0	24191 8	0.00	0.01	0.48	548	407	2447	22.4	0.0
Coper tura quota sup.	4 - 5	E	-7640	82151 0	0.00	0.01	0.32	2070	0	10669	19.4	0.0	27729 3	0.00	0.01	0.48	77	0	2772	2.8	0.0
Coper tura quota sup.	5 - 6	E	-301	21822	0.00	0.01	0.48	18	0	140	12.9	0.0	16364	0.00	0.01	0.48	40	0	110	35.8	0.0

**Cond_X_1(+); E(+); S2(-) : Sisma X (+); Distribuzione forze: Proporzionale masse; Eccentricità
accidentale (+ 0.05*Ly); Sisma seconda direzione (-)**

Imp.	Fili	Stato	N [daN]	k _L [daN/cm]	δ _L [cm]	δ _{L,0} [cm]	δ _{L,u} [cm]	V _L [daN]	V _{L,e} [daN]	V _{L,u} [daN]	%_δ _{L,0}	%_δ _{L,u}	k _t [daN/cm]	δ _t [cm]	δ _{t,0} [cm]	δ _{t,u} [cm]	V _t [daN]	V _{t,e} [daN]	V _{t,u} [daN]	%_δ _{t,0}	%_δ _{t,u}
Primo piano	7 - 1	P	-1899 9	18860 4	0.04	0.07	1.74	7057	0	13612	51.8	0.0	13503	0.51	0.18	1.74	2479	0	2479	100.0	21.0
Primo piano	1 - 9	P	-6681	8684	0.51	0.15	1.74	1271	1269	1271	100.0	23.1	5401	0.02	0.18	1.74	107	229	975	11.0	0.0
Primo piano	1 - 9	P	-2340 6	10255 2	0.51	0.09	1.16	8954	8883	8954	100.0	39.8	15356	0.02	0.21	1.16	269	729	3279	8.2	0.0
Primo piano	2 - 3	P	-5499	1206	0.51	0.40	1.74	479	622	479	100.0	8.7	2701	0.01	0.27	1.74	35	103	734	4.8	0.0
Primo piano	2 - 3	P	-2377 7	49601	0.51	0.15	1.16	7246	7250	7246	100.0	36.3	10803	0.01	0.28	1.16	127	528	3068	4.1	0.0
Primo piano	2 - 3	P	-2694 2	49601	0.51	0.15	1.16	7631	7624	7631	100.0	35.8	10803	0.01	0.31	1.16	101	516	3376	3.0	0.0
Primo piano	2 - 3	P	-1253 6	5458	0.51	0.31	1.74	1719	1737	1719	100.0	13.9	4567	0.01	0.34	1.74	33	169	1558	2.1	0.0
Primo piano	6 - 2	P	-5671 6	34562 0	0.03	0.08	1.56	10627	0	28664	37.1	0.0	40894	0.51	0.21	1.56	8575	0	8575	100.0	22.3
Primo piano	9 - 2	P	-1393 5	32791	0.51	0.13	1.56	4138	3527	4138	100.0	27.1	11019	0.02	0.19	1.56	174	385	2115	8.2	0.0
Primo piano	9 - 2	P	-6858	3576	0.51	0.24	1.56	873	715	873	100.0	20.5	4795	0.01	0.21	1.56	67	142	1025	6.5	0.0
Primo piano	3 - 4	P	-5717 8	23646 0	0.03	0.10	1.74	6678	5733	23508	28.4	0.0	16364	0.51	0.38	1.74	6232	6401	6232	100.0	9.5
Primo piano	4 - 5	P	-5400 4	27961 7	0.51	0.09	1.16	25098	0	25098	100.0	39.0	18984	0.03	0.33	1.16	571	0	6235	9.2	0.0
Primo piano	8 - 6	C	-1605 0	10108 8	1.04	0.09	1.04	8698	8198	8698	100.0	100.0	10321	0.02	0.22	1.04	222	397	2278	9.7	0.0
Primo piano	7 - 8	P	-1691 1	13835 6	0.51	0.08	1.16	11668	11610	11668	100.0	39.5	10563	0.02	0.23	1.16	255	591	2402	10.6	0.0
Sottot etto	7 - 1	E	-1334 2	15543 4	0.03	0.07	1.12	4067	0	10118	40.2	0.0	6785	0.06	0.19	1.68	425	0	1321	32.1	0.0
Sottot etto	1 - 9	E	-3913	11296	0.07	0.08	1.68	741	734	918	80.7	0.0	3454	0.02	0.14	1.68	81	113	472	17.2	0.0
Sottot etto	1 - 9	E	-1132 1	85866	0.07	0.07	1.12	5621	4943	5849	96.1	0.0	8426	0.02	0.16	1.68	180	354	1350	13.4	0.0
Sottot etto	2 - 3	E	-1897 7	12840 0	0.07	0.07	1.12	8368	8289	9419	88.8	0.0	10610	0.02	0.21	1.68	179	489	2202	8.1	0.0
Sottot etto	2 - 3	E	-1208 7	41964	0.06	0.11	1.68	2728	2706	4605	59.2	0.0	5922	0.01	0.23	1.68	85	190	1383	6.1	0.0
Sottot etto	2 - 3	E	-6689	7786	0.06	0.16	1.68	505	502	1279	39.5	0.0	3005	0.01	0.25	1.68	37	61	756	4.9	0.0
Sottot etto	6 - 2	E	-3099 4	25182 8	0.02	0.07	1.00	5070	0	18338	27.6	0.0	20779	0.06	0.19	1.50	1284	0	3961	32.4	0.0
Sottot etto	6 - 2	E	-4703	8031	0.02	0.12	1.50	162	0	937	17.3	0.0	3759	0.06	0.16	1.50	241	0	613	39.4	0.0
Sottot etto	9 - 2	E	-6592	28174	0.07	0.08	1.50	1842	1554	2181	84.4	0.0	6152	0.02	0.14	1.50	123	163	873	14.1	0.0
Sottot etto	9 - 2	E	-3592	4388	0.07	0.13	1.50	286	232	578	49.6	0.0	3018	0.02	0.16	1.50	55	58	471	11.7	0.0
Sottot etto	3 - 4	E	-3036 1	19237 7	0.01	0.08	1.12	2819	2727	15555	18.1	0.0	8162	0.06	0.34	1.68	503	537	2787	18.0	0.0
Sottot etto	4 - 5	E	-3521 3	22396 1	0.06	0.08	1.12	13666	0	17916	76.3	0.0	9355	0.01	0.34	1.68	96	0	3225	3.0	0.0
Sottot etto	5 - 6	E	-1088	200	0.02	0.39	1.68	4	0	78	5.1	0.0	334	0.06	0.31	1.68	20	0	102	19.7	0.0
Sottot etto	8 - 6	E	-1125 4	82547	0.06	0.08	1.00	5014	4724	6507	77.1	0.0	5154	0.02	0.23	1.50	104	191	1192	8.7	0.0
Sottot etto	7 - 8	E	-1374 3	11277 6	0.06	0.08	1.12	6833	6806	8679	78.7	0.0	5228	0.02	0.25	1.68	125	197	1324	9.4	0.0
Coper tura quota inf.	1 - 7	E	-6907	28972 5	0.00	0.03	0.64	249	246	8205	3.0	0.0	33610	0.01	0.04	0.96	181	152	1244	14.6	0.0

Copertura quota inf.	9 - 1	E	-2246	1139439	0.00	0.01	0.48	4879	0	10459	46.6	0.0	486489	0.00	0.00	0.48	31	0	1001	3.1	0.0
Copertura quota inf.	3 - 2	E	-16510	1553640	0.00	0.02	0.40	7040	0	24718	28.5	0.0	497658	0.00	0.01	0.60	1809	0	5775	31.3	0.0
Copertura quota inf.	6 - 2	E	-13324	331078	0.00	0.04	0.75	745	0	13007	5.7	0.0	43272	0.01	0.06	1.13	254	0	2418	10.5	0.0
Copertura quota inf.	6 - 2	E	-1279	79382	0.00	0.01	0.56	179	0	729	24.5	0.0	49678	0.00	0.01	0.56	226	0	477	47.4	0.0
Copertura quota inf.	2 - 9	E	-3767	809469	0.00	0.01	0.32	3546	0	9245	38.4	0.0	349640	0.00	0.00	0.48	496	0	1670	29.7	0.0
Copertura quota inf.	4 - 3	E	-13026	293733	0.01	0.04	0.76	1579	0	11328	13.9	0.0	24960	0.01	0.08	1.14	144	0	1930	7.5	0.0
Copertura quota inf.	5 - 4	E	-15900	223961	0.01	0.06	1.12	1656	1579	13262	12.5	0.0	9355	0.00	0.17	1.68	28	373	1603	1.7	0.0
Copertura quota inf.	6 - 5	E	-514	222	0.00	0.19	1.62	0	1	41	1.2	0.0	372	0.01	0.14	1.62	2	3	54	4.6	0.0
Copertura quota inf.	8 - 6	E	-5824	94589	0.01	0.06	0.96	625	602	5318	11.8	0.0	6142	0.00	0.11	1.44	9	21	685	1.3	0.0
Copertura quota inf.	7 - 8	E	-7695	143738	0.01	0.05	0.96	942	924	7265	13.0	0.0	8526	0.00	0.11	1.44	0	10	909	0.0	0.0
Copertura quota sup.	2 - 3	E	-8394	1946831	0.00	0.01	0.32	3838	3792	21598	17.8	0.0	824453	0.00	0.00	0.48	506	645	3727	13.6	0.0
Copertura quota sup.	6 - 2	E	-5581	1430612	0.00	0.01	0.32	414	0	15676	2.6	0.0	608066	0.00	0.00	0.48	1355	0	2479	54.7	0.0
Copertura quota sup.	3 - 4	E	-6669	715750	0.00	0.01	0.32	782	772	9309	8.4	0.0	241918	0.00	0.01	0.48	557	419	2422	23.0	0.0
Copertura quota sup.	4 - 5	E	-7409	821510	0.00	0.01	0.32	2195	0	10588	20.7	0.0	277293	0.00	0.01	0.48	106	0	2706	3.9	0.0
Copertura quota sup.	5 - 6	E	-291	21822	0.00	0.01	0.48	6	0	135	4.7	0.0	16364	0.00	0.01	0.48	41	0	107	38.7	0.0

Cond_X_1(+); E(-); S2(+) : **Sisma X (+); Distribuzione forze: Proporzionale masse; Eccentricità accidentale (- 0.05*Ly); Sisma seconda direzione (+)**

Imp.	Fili	Stato	N [daN]	k _L [daN/cm]	δ _L [cm]	δ _{L,0} [cm]	δ _{L,u} [cm]	V _L [daN]	V _{L,e} [daN]	V _{L,u} [daN]	%_δ _{L,0}	%_δ _{L,u}	k _t [daN/cm]	δ _t [cm]	δ _{t,0} [cm]	δ _{t,u} [cm]	V _t [daN]	V _{t,e} [daN]	V _{t,u} [daN]	%_δ _{t,0}	%_δ _{t,u}
Primo piano	7 - 1	P	-20333	188604	0.02	0.07	1.74	3002	0	13902	21.6	0.0	13503	0.39	0.19	1.74	2609	0	2609	100.0	12.7
Primo piano	1 - 9	P	-4048	8684	0.40	0.10	1.74	908	907	908	100.0	17.8	5401	0.00	0.13	1.74	20	94	696	2.9	0.0
Primo piano	1 - 9	P	-15446	102552	0.40	0.08	1.16	7836	7797	7836	100.0	28.9	15356	0.01	0.18	1.16	124	470	2578	4.8	0.0
Primo piano	2 - 3	P	-3951	1206	0.40	0.30	1.74	363	368	363	100.0	6.6	2701	0.02	0.21	1.74	45	92	556	8.1	0.0
Primo piano	2 - 3	P	-17396	49601	0.40	0.13	1.74	6317	6313	6317	100.0	16.6	10803	0.02	0.22	1.74	209	531	2422	8.6	0.0
Primo piano	2 - 3	P	-20224	49601	0.40	0.14	1.16	6817	6813	6817	100.0	25.2	10803	0.02	0.25	1.16	261	601	2723	9.6	0.0
Primo piano	2 - 3	P	-9574	5458	0.40	0.26	1.74	1398	1417	1398	100.0	9.4	4567	0.03	0.28	1.74	129	231	1267	10.2	0.0
Primo piano	6 - 2	P	-59761	345620	0.03	0.08	1.56	10131	0	29267	34.6	0.0	40894	0.39	0.22	1.56	8936	0	8936	100.0	12.7
Primo piano	9 - 2	P	-9565	32791	0.40	0.10	1.56	3196	2724	3196	100.0	20.4	11019	0.01	0.15	1.56	128	261	1634	7.8	0.0
Primo piano	9 - 2	P	-4872	3576	0.40	0.18	1.56	661	546	661	100.0	15.3	4795	0.02	0.16	1.56	73	123	776	9.5	0.0
Primo piano	3 - 4	P	-57476	236460	0.05	0.10	1.74	10806	10118	23565	45.9	0.0	16364	0.39	0.38	1.74	6258	6506	6258	100.0	0.4
Primo piano	4 - 5	P	-70185	279617	0.38	0.10	1.16	27620	0	27620	100.0	27.0	18984	0.01	0.39	1.16	144	0	7384	2.0	0.0
Primo piano	8 - 6	C	-21466	101088	1.04	0.09	1.04	9534	8998	9534	100.0	100.0	10321	0.02	0.26	1.04	189	372	2730	6.9	0.0
Primo piano	7 - 8	P	-25196	138356	0.39	0.09	1.16	13018	12989	13018	100.0	27.3	10563	0.01	0.29	1.16	119	449	3029	3.9	0.0
Sottotetto	7 - 1	E	-13895	155434	0.01	0.07	1.12	1375	0	10266	13.4	0.0	6785	0.06	0.20	1.68	439	0	1372	32.0	0.0
Sottotetto	1 - 9	E	-3060	11296	0.07	0.06	1.68	728	643	728	100.0	0.3	3454	0.01	0.11	1.68	25	52	374	6.8	0.0

Sottotetto	1 - 9	E	-9106	85866	0.07	0.06	1.68	5226	4348	5226	100.0	0.5	8426	0.01	0.13	1.68	92	241	1102	8.3	0.0
Sottotetto	2 - 3	E	-15831	128400	0.07	0.07	1.12	8807	8736	8807	100.0	0.0	10610	0.02	0.18	1.68	195	522	1870	10.4	0.0
Sottotetto	2 - 3	E	-10218	41964	0.07	0.09	1.68	2883	2851	3968	72.7	0.0	5922	0.02	0.20	1.68	134	245	1190	11.3	0.0
Sottotetto	2 - 3	E	-5699	7786	0.07	0.14	1.68	535	530	1112	48.1	0.0	3005	0.03	0.22	1.68	77	102	657	11.8	0.0
Sottotetto	6 - 2	E	-32437	251828	0.02	0.07	1.00	4754	0	18670	25.5	0.0	20779	0.06	0.20	1.50	1317	0	4121	32.0	0.0
Sottotetto	6 - 2	E	-4060	8031	0.02	0.10	1.50	152	0	820	18.5	0.0	3759	0.07	0.14	1.50	254	0	537	47.2	0.0
Sottotetto	9 - 2	P	-5378	28174	0.07	0.07	1.50	1740	1470	1740	100.0	0.1	6152	0.01	0.12	1.50	79	123	723	10.9	0.0
Sottotetto	9 - 2	E	-2969	4388	0.07	0.11	1.50	301	245	486	62.1	0.0	3018	0.02	0.13	1.50	48	53	396	12.2	0.0
Sottotetto	3 - 4	E	-30671	192377	0.03	0.08	1.12	5640	5543	15620	36.1	0.0	8162	0.06	0.34	1.68	515	573	2811	18.3	0.0
Sottotetto	4 - 5	E	-40155	223961	0.06	0.08	1.12	13858	0	18924	73.2	0.0	9355	0.02	0.38	1.68	159	0	3592	4.4	0.0
Sottotetto	5 - 6	E	-1245	200	0.02	0.44	1.68	4	0	88	4.3	0.0	334	0.06	0.34	1.68	20	0	114	17.7	0.0
Sottotetto	8 - 6	E	-12882	82547	0.06	0.08	1.00	5060	4776	6869	73.7	0.0	5154	0.02	0.26	1.50	80	172	1339	6.0	0.0
Sottotetto	7 - 8	E	-16264	112776	0.06	0.08	1.12	6896	6883	9269	74.4	0.0	5228	0.01	0.29	1.68	58	130	1534	3.8	0.0
Copertura quota inf.	1 - 7	E	-7214	289725	0.00	0.03	0.64	980	969	8306	11.8	0.0	33610	0.01	0.04	0.96	183	154	1297	14.1	0.0
Copertura quota inf.	9 - 1	P	-1553	1139439	0.01	0.01	0.48	5927	0	9824	60.3	0.0	486489	0.00	0.00	0.48	943	0	943	100.0	0.2
Copertura quota inf.	3 - 2	E	-15086	1553640	0.01	0.02	0.40	8083	0	24200	33.4	0.0	497658	0.00	0.01	0.60	874	0	5286	16.5	0.0
Copertura quota inf.	6 - 2	E	-13848	331078	0.00	0.04	0.75	801	0	13166	6.1	0.0	43272	0.01	0.06	1.13	242	0	2508	9.7	0.0
Copertura quota inf.	6 - 2	E	-1220	79382	0.00	0.01	0.56	191	0	696	27.5	0.0	49678	0.01	0.01	0.56	258	0	455	56.6	0.0
Copertura quota inf.	2 - 9	E	-3226	809469	0.01	0.01	0.32	4211	0	9021	46.7	0.0	349640	0.00	0.00	0.48	857	0	1432	59.8	0.0
Copertura quota inf.	4 - 3	E	-13389	293733	0.00	0.04	0.76	442	0	11433	3.9	0.0	24960	0.01	0.08	1.14	139	0	1980	7.0	0.0
Copertura quota inf.	5 - 4	E	-16671	223961	0.01	0.06	1.12	1374	1333	13479	10.2	0.0	9355	0.00	0.18	1.68	12	250	1663	0.7	0.0
Copertura quota inf.	6 - 5	E	-540	222	0.00	0.19	1.62	1	1	43	1.3	0.0	372	0.01	0.15	1.62	2	2	56	3.9	0.0
Copertura quota inf.	8 - 6	E	-6121	94589	0.01	0.06	0.96	555	533	5405	10.3	0.0	6142	0.00	0.12	1.44	15	25	719	2.2	0.0
Copertura quota inf.	7 - 8	E	-8124	143738	0.01	0.05	0.96	840	820	7393	11.4	0.0	8526	0.00	0.11	1.44	26	31	957	2.7	0.0
Copertura quota sup.	2 - 3	E	-8062	1946831	0.00	0.01	0.32	4144	4102	21461	19.3	0.0	824453	0.00	0.00	0.48	430	578	3574	12.0	0.0
Copertura quota sup.	6 - 2	E	-5636	1430612	0.00	0.01	0.32	1004	0	15699	6.4	0.0	608066	0.00	0.00	0.48	1330	0	2502	53.2	0.0
Copertura quota sup.	3 - 4	E	-6707	715750	0.00	0.01	0.32	359	340	9323	3.9	0.0	241918	0.00	0.01	0.48	534	398	2435	21.9	0.0
Copertura quota sup.	4 - 5	E	-7637	821510	0.00	0.01	0.32	1927	0	10668	18.1	0.0	277293	0.00	0.01	0.48	92	0	2770	3.3	0.0
Copertura quota sup.	5 - 6	E	-302	21822	0.00	0.01	0.48	15	0	141	10.9	0.0	16364	0.00	0.01	0.48	37	0	111	33.5	0.0

Cond X 1(+); E(-); S2(-): Sisma X (+); Distribuzione forze: Proporzionale masse; Eccentricità accidentale (-0.05*Ly); Sisma seconda direzione (-)

Imp.	Fili	Stato	N	k _L	δ _L	δ _{L,0}	δ _{L,u}	V _L	V _{L,e}	V _{L,u}	%_δ _{L,0}	%_δ _{L,u}	k _t	δ _t	δ _{t,0}	δ _{t,u}	V _t	V _{t,e}	V _{t,u}	%_δ _{t,0}	%_δ _{t,u}
			[daN]	[daN/cm]	[cm]	[cm]	[cm]	[daN]	[daN]	[daN]			[daN/cm]	[cm]	[cm]	[cm]	[daN]	[daN]	[daN]		
Primo piano	7 - 1	P	-19036	188604	0.04	0.07	1.74	7748	0	13621	56.9	0.0	13503	0.51	0.18	1.74	2483	0	2483	100.0	21.0

Relazione di calcolo - Comune di Palazzo Adriano

Primo piano	1 - 9	P	-6690	8684	0.52	0.15	1.74	1272	1273	1272	100.0	23.2	5401	0.02	0.18	1.74	125	246	976	12.8	0.0
Primo piano	1 - 9	P	-23420	102552	0.52	0.09	1.16	8956	9013	8956	100.0	39.9	15356	0.02	0.21	1.16	302	757	3281	9.2	0.0
Primo piano	2 - 3	P	-5498	1206	0.51	0.40	1.74	479	623	479	100.0	8.8	2701	0.01	0.27	1.74	35	103	734	4.8	0.0
Primo piano	2 - 3	P	-23769	49601	0.51	0.15	1.16	7243	7221	7243	100.0	36.4	10803	0.01	0.28	1.16	120	520	3066	3.9	0.0
Primo piano	2 - 3	P	-26925	49601	0.51	0.15	1.16	7629	7656	7629	100.0	35.8	10803	0.01	0.31	1.16	81	499	3374	2.4	0.0
Primo piano	2 - 3	P	-12526	5458	0.51	0.31	1.74	1718	1741	1718	100.0	14.0	4567	0.00	0.34	1.74	20	156	1557	1.3	0.0
Primo piano	6 - 2	P	-56718	345620	0.03	0.08	1.56	10715	0	28664	37.4	0.0	40894	0.51	0.21	1.56	8575	0	8575	100.0	22.2
Primo piano	9 - 2	P	-13938	32791	0.52	0.13	1.56	4138	3514	4138	100.0	27.1	11019	0.02	0.19	1.56	189	395	2115	8.9	0.0
Primo piano	9 - 2	P	-6858	3576	0.51	0.24	1.56	873	718	873	100.0	20.6	4795	0.01	0.21	1.56	69	144	1025	6.7	0.0
Primo piano	3 - 4	P	-57136	236460	0.03	0.10	1.74	5940	4997	23501	25.3	0.0	16364	0.51	0.38	1.74	6229	6382	6229	100.0	9.5
Primo piano	4 - 5	P	-53988	279617	0.51	0.09	1.16	25093	0	25093	100.0	38.8	18984	0.03	0.33	1.16	594	0	6233	9.5	0.0
Primo piano	8 - 6	C	-16057	101088	1.04	0.09	1.04	8698	8189	8698	100.0	100.0	10321	0.02	0.22	1.04	232	404	2278	10.2	0.0
Primo piano	7 - 8	P	-16935	138356	0.51	0.08	1.16	11667	11602	11667	100.0	39.4	10563	0.03	0.23	1.16	284	613	2402	11.8	0.0
Sottotetto	7 - 1	E	-13378	155434	0.03	0.07	1.12	4446	0	10128	43.9	0.0	6785	0.06	0.20	1.68	427	0	1325	32.3	0.0
Sottotetto	1 - 9	E	-3923	11296	0.07	0.08	1.68	756	748	920	82.1	0.0	3454	0.03	0.14	1.68	89	122	473	18.8	0.0
Sottotetto	1 - 9	E	-11335	85866	0.07	0.07	1.12	5728	4944	5852	97.9	0.0	8426	0.02	0.16	1.68	192	364	1351	14.2	0.0
Sottotetto	2 - 3	E	-18966	128400	0.07	0.07	1.12	8513	8434	9417	90.4	0.0	10610	0.02	0.21	1.68	176	492	2201	8.0	0.0
Sottotetto	2 - 3	E	-12071	41964	0.07	0.11	1.68	2772	2752	4599	60.3	0.0	5922	0.01	0.23	1.68	77	184	1373	5.6	0.0
Sottotetto	2 - 3	E	-6678	7786	0.07	0.16	1.68	513	511	1277	40.2	0.0	3005	0.01	0.25	1.68	32	55	755	4.2	0.0
Sottotetto	6 - 2	E	-30996	251828	0.02	0.07	1.00	5117	0	18338	27.9	0.0	20779	0.06	0.19	1.50	1285	0	3961	32.4	0.0
Sottotetto	6 - 2	E	-4702	8031	0.02	0.12	1.50	163	0	937	17.4	0.0	3759	0.07	0.16	1.50	245	0	613	40.0	0.0
Sottotetto	9 - 2	E	-6596	28174	0.07	0.08	1.50	1876	1583	2183	85.9	0.0	6152	0.02	0.14	1.50	128	168	873	14.7	0.0
Sottotetto	9 - 2	E	-3592	4388	0.07	0.13	1.50	291	236	578	50.5	0.0	3018	0.02	0.16	1.50	56	59	471	11.9	0.0
Sottotetto	3 - 4	E	-30320	192377	0.01	0.08	1.12	2427	2335	15546	15.6	0.0	8162	0.06	0.34	1.68	504	534	2784	18.1	0.0
Sottotetto	4 - 5	E	-35197	223961	0.06	0.08	1.12	13472	0	17912	75.2	0.0	9355	0.01	0.34	1.68	89	0	3224	2.8	0.0
Sottotetto	5 - 6	E	-1088	200	0.02	0.39	1.68	4	0	78	5.2	0.0	334	0.06	0.31	1.68	20	0	102	19.5	0.0
Sottotetto	8 - 6	E	-11260	82547	0.06	0.08	1.00	4978	4689	6509	76.5	0.0	5154	0.02	0.23	1.50	107	193	1191	9.0	0.0
Sottotetto	7 - 8	E	-13765	112776	0.06	0.08	1.12	6785	6756	8685	78.1	0.0	5228	0.03	0.25	1.68	134	206	1326	10.1	0.0
Coperatura quota inf.	1 - 7	E	-6930	289725	0.00	0.03	0.64	131	128	8212	1.6	0.0	33610	0.01	0.04	0.96	178	150	1248	14.3	0.0
Coperatura quota inf.	9 - 1	E	-2296	1139439	0.00	0.01	0.48	4947	0	10690	46.3	0.0	486489	0.00	0.00	0.48	109	0	1005	10.9	0.0
Coperatura quota inf.	3 - 2	E	-16443	1553640	0.00	0.02	0.40	7084	0	24694	28.7	0.0	497658	0.00	0.01	0.60	1719	0	5753	29.9	0.0
Coperatura quota inf.	6 - 2	E	-13325	331078	0.00	0.04	0.75	749	0	13008	5.8	0.0	43272	0.01	0.06	1.13	247	0	2418	10.2	0.0
Coperatura quota inf.	6 - 2	E	-1279	79382	0.00	0.01	0.56	180	0	729	24.7	0.0	49678	0.00	0.01	0.56	227	0	477	47.6	0.0
Coperatura quota inf.	2 - 9	E	-3777	809469	0.00	0.01	0.32	3585	0	9249	38.8	0.0	349640	0.00	0.00	0.48	531	0	1675	31.7	0.0
Coperatura quota inf.	4 - 3	E	-13004	293733	0.00	0.04	0.76	1468	0	11322	13.0	0.0	24960	0.01	0.08	1.14	141	0	1926	7.3	0.0
Coperatura quota inf.	5 - 4	E	-15893	223961	0.01	0.06	1.12	1586	1512	13260	12.0	0.0	9355	0.00	0.17	1.68	26	357	1603	1.6	0.0
Coperatura quota inf.	6 - 5	E	-514	222	0.00	0.19	1.62	1	1	41	1.2	0.0	372	0.01	0.14	1.62	2	2	54	4.5	0.0
Coperatura quota inf.	8 - 6	E	-5827	94589	0.01	0.06	0.96	602	580	5319	11.3	0.0	6142	0.00	0.11	1.44	9	21	685	1.4	0.0
Coperatura quota inf.	7 - 8	E	-7705	143738	0.01	0.05	0.96	908	891	7268	12.5	0.0	8526	0.00	0.11	1.44	3	12	909	0.3	0.0

Copertura quota sup.	2 - 3	E	-8380	19468 31	0.00	0.01	0.32	4006	3961	21592	18.6	0.0	82445 3	0.00	0.00	0.48	477	626	3721	12.8	0.0
Copertura quota sup.	6 - 2	E	-5629	14306 12	0.00	0.01	0.32	592	0	15696	3.8	0.0	60806 6	0.00	0.00	0.48	1340	0	2499	53.6	0.0
Copertura quota sup.	3 - 4	E	-6636	71575 0	0.00	0.01	0.32	645	636	9298	6.9	0.0	24191 8	0.00	0.01	0.48	543	408	2411	22.5	0.0
Copertura quota sup.	4 - 5	E	-7406	82151 0	0.00	0.01	0.32	2046	0	10587	19.3	0.0	27729 3	0.00	0.01	0.48	102	0	2705	3.8	0.0
Copertura quota sup.	5 - 6	E	-292	21822	0.00	0.01	0.48	9	0	136	6.6	0.0	16364	0.00	0.01	0.48	39	0	107	36.3	0.0

Cond_X 1(-); E(+); S2(+) : Sisma X (-); **Distribuzione forze: Proporzionale masse;** **Eccentricità accidentale (+ 0.05*Ly); Sisma seconda direzione (+)**

Imp.	Fili	Stato	N [daN]	k _L [daN/cm]	δ _L [cm]	δ _{L,0} [cm]	δ _{L,u} [cm]	V _L [daN]	V _{L,e} [daN]	V _{L,u} [daN]	%_δ _{L,0}	%_δ _{L,u}	k _t [daN/cm]	δ _t [cm]	δ _{t,0} [cm]	δ _{t,u} [cm]	V _t [daN]	V _{t,e} [daN]	V _{t,u} [daN]	%_δ _{t,0}	%_δ _{t,u}
Primo piano	7 - 1	P	-4208 2	18860 4	0.04	0.10	1.74	8184	0	18465	44.3	0.0	13503	0.36	0.35	1.74	4720	0	4720	100.0	0.5
Primo piano	1 - 9	P	-9340	8684	0.36	0.19	1.74	1663	1671	1663	100.0	11.0	5401	0.03	0.24	1.74	164	274	1275	12.9	0.0
Primo piano	1 - 9	P	-2380 3	10255 2	0.36	0.09	1.16	8999	9088	8999	100.0	25.5	15356	0.03	0.22	1.16	401	746	3314	12.1	0.0
Primo piano	2 - 3	P	-3324	1206	0.36	0.26	1.74	312	315	312	100.0	6.9	2701	0.02	0.18	1.74	49	91	479	10.3	0.0
Primo piano	2 - 3	P	-1218 9	49601	0.36	0.10	1.74	4940	4914	4940	100.0	15.9	10803	0.02	0.18	1.74	170	415	1893	9.0	0.0
Primo piano	2 - 3	P	-1021 8	49601	0.36	0.09	1.74	4558	4544	4558	100.0	16.3	10803	0.01	0.16	1.74	122	352	1746	7.0	0.0
Primo piano	2 - 3	P	-3607	5458	0.36	0.12	1.74	664	664	664	100.0	14.7	4567	0.01	0.13	1.74	34	99	602	5.7	0.0
Primo piano	6 - 2	P	-6085 8	34562 0	0.03	0.09	1.56	10724	0	29486	36.4	0.0	40894	0.35	0.22	1.56	9068	0	9068	100.0	9.9
Primo piano	9 - 2	P	-1157 0	32791	0.36	0.11	1.56	3603	3059	3603	100.0	17.3	11019	0.02	0.17	1.56	255	381	1841	13.8	0.0
Primo piano	9 - 2	P	-4540	3576	0.36	0.17	1.56	624	512	624	100.0	13.5	4795	0.02	0.15	1.56	94	134	733	12.9	0.0
Primo piano	3 - 4	P	-3219 2	23646 0	0.02	0.08	1.74	5115	4427	18549	27.6	0.0	16364	0.35	0.24	1.74	3939	4048	3939	100.0	7.6
Primo piano	4 - 5	P	-6045 5	27961 7	0.35	0.09	1.16	26104	0	26104	100.0	24.1	18984	0.01	0.35	1.16	280	0	6701	4.2	0.0
Primo piano	8 - 6	C	-2574 2	10108 8	1.04	0.10	1.04	10212	9631	10212	100.0	100.0	10321	0.03	0.30	1.04	271	455	3090	8.8	0.0
Primo piano	7 - 8	P	-3957 1	13835 6	0.35	0.11	1.16	15434	15396	15434	100.0	23.0	10563	0.03	0.39	1.16	338	739	4137	8.2	0.0
Sottotetto	7 - 1	E	-2095 5	15543 4	0.03	0.08	1.12	4072	0	11994	33.9	0.0	6785	0.06	0.29	1.68	425	0	1979	21.5	0.0
Sottotetto	1 - 9	E	-5110	11296	0.07	0.10	1.68	741	734	1175	63.1	0.0	3454	0.02	0.17	1.68	81	113	604	13.5	0.0
Sottotetto	1 - 9	E	-1192 8	85866	0.07	0.07	1.12	5623	5096	5958	94.4	0.0	8426	0.02	0.17	1.68	180	362	1414	12.7	0.0
Sottotetto	2 - 3	P	-1359 6	12840 0	0.07	0.06	1.12	8193	8123	8193	100.0	0.0	10610	0.02	0.15	1.12	176	479	1626	10.8	0.0
Sottotetto	2 - 3	E	-7139	41964	0.07	0.07	1.68	2728	2506	2859	95.4	0.0	5922	0.01	0.14	1.68	84	179	857	9.8	0.0
Sottotetto	2 - 3	E	-3456	7786	0.06	0.09	1.68	505	502	705	71.7	0.0	3005	0.01	0.14	1.68	37	60	416	8.8	0.0
Sottotetto	6 - 2	E	-3293 1	25182 8	0.02	0.07	1.00	5053	0	18782	26.9	0.0	20779	0.06	0.20	1.50	1283	0	4176	30.7	0.0
Sottotetto	6 - 2	E	-3886	8031	0.02	0.10	1.50	161	0	788	20.4	0.0	3759	0.06	0.14	1.50	241	0	516	46.8	0.0
Sottotetto	9 - 2	E	-6098	28174	0.07	0.07	1.50	1842	1555	2031	90.7	0.0	6152	0.02	0.13	1.50	123	162	812	15.1	0.0
Sottotetto	9 - 2	E	-2884	4388	0.07	0.11	1.50	286	232	473	60.6	0.0	3018	0.02	0.13	1.50	55	57	385	14.3	0.0
Sottotetto	3 - 4	E	-2265 7	19237 7	0.01	0.07	1.12	2788	2692	13837	20.1	0.0	8162	0.06	0.27	1.68	503	536	2169	23.2	0.0
Sottotetto	4 - 5	E	-3697 5	22396 1	0.06	0.08	1.12	13649	0	18281	74.7	0.0	9355	0.01	0.36	1.68	95	0	3359	2.8	0.0
Sottotetto	5 - 6	E	-1293	200	0.02	0.45	1.68	4	0	90	4.4	0.0	334	0.06	0.35	1.68	20	0	118	17.0	0.0
Sottotetto	8 - 6	E	-1417 2	82547	0.06	0.09	1.00	5010	4721	7143	70.1	0.0	5154	0.02	0.28	1.50	104	191	1452	7.1	0.0
Sottotetto	7 - 8	E	-2078 7	11277 6	0.06	0.09	1.12	6827	6800	10242	66.7	0.0	5228	0.02	0.36	1.68	125	196	1886	6.6	0.0
Copertura quota inf.	1 - 7	E	-8336	28972 5	0.00	0.03	0.64	240	245	8666	2.8	0.0	33610	0.01	0.04	0.96	180	152	1489	12.1	0.0
Copertura quota inf.	9 - 1	E	-3960	11394 39	0.00	0.01	0.32	4852	0	12328	39.4	0.0	48648 9	0.00	0.00	0.48	24	0	1766	1.4	0.0
Copertura quota inf.	3 - 2	E	-1178 5	15536 40	0.00	0.01	0.40	7002	0	22953	30.5	0.0	49765 8	0.00	0.01	0.60	1807	0	4155	43.5	0.0
Copertura quota inf.	6 - 2	E	-1393	33107	0.00	0.04	0.75	751	0	13194	5.7	0.0	43272	0.01	0.06	1.13	252	0	2523	10.0	0.0

tura quota inf.			9	8																	
Coper tura quota inf.	6 - 2	E	-1208	79382	0.00	0.01	0.56	179	0	689	26.0	0.0	49678	0.00	0.01	0.56	225	0	451	49.8	0.0
Coper tura quota inf.	2 - 9	E	-3703	80946 9	0.00	0.01	0.32	3527	0	9218	38.3	0.0	34964 0	0.00	0.00	0.48	498	0	1640	30.4	0.0
Coper tura quota inf.	4 - 3	E	-1229 5	29373 3	0.01	0.04	0.76	1580	0	11115	14.2	0.0	24960	0.01	0.07	1.14	144	0	1830	7.8	0.0
Coper tura quota inf.	5 - 4	E	-1634 8	22396 1	0.01	0.06	1.12	1647	1571	13389	12.3	0.0	9355	0.00	0.17	1.68	28	372	1626	1.7	0.0
Coper tura quota inf.	6 - 5	E	-544	222	0.00	0.20	1.62	1	1	43	1.2	0.0	372	0.01	0.15	1.62	2	2	57	4.4	0.0
Coper tura quota inf.	8 - 6	E	-6267	94589	0.01	0.06	0.96	621	599	5447	11.4	0.0	6142	0.00	0.12	1.44	9	21	737	1.2	0.0
Coper tura quota inf.	7 - 8	E	-8606	14373 8	0.01	0.05	0.96	937	919	7534	12.4	0.0	8526	0.00	0.12	1.44	0	10	1012	0.0	0.0
Coper tura quota sup.	2 - 3	E	-7735	19468 31	0.00	0.01	0.32	3815	3773	21325	17.9	0.0	82445 3	0.00	0.00	0.48	518	641	3432	15.1	0.0
Coper tura quota sup.	6 - 2	E	-6819	14306 12	0.00	0.01	0.32	437	0	16187	2.7	0.0	60806 6	0.00	0.00	0.48	1347	0	3020	44.6	0.0
Coper tura quota sup.	3 - 4	E	-5907	71575 0	0.00	0.01	0.32	790	768	9037	8.7	0.0	24191 8	0.00	0.01	0.48	553	417	2154	25.7	0.0
Coper tura quota sup.	4 - 5	E	-7539	82151 0	0.00	0.01	0.32	2183	0	10634	20.5	0.0	27729 3	0.00	0.01	0.48	111	0	2731	4.0	0.0
Coper tura quota sup.	5 - 6	E	-343	21822	0.00	0.01	0.48	7	0	159	4.2	0.0	16364	0.00	0.01	0.48	41	0	126	32.7	0.0

Cond X 1(-); E(+); S2(-): Sisma X (-); Distribuzione forze: Proporzionale masse; Eccentricità accidentale (+ 0.05*Ly); Sisma seconda direzione (-)

Imp.	Fili	Stato	N [daN]	k _L [daN/cm]	δ _L [cm]	δ _{L,0} [cm]	δ _{L,u} [cm]	V _L [daN]	V _{L,e} [daN]	V _{L,u} [daN]	%_δ _L _o	%_δ _L _u	k _t [daN/cm]	δ _t [cm]	δ _{t,0} [cm]	δ _{t,u} [cm]	V _t [daN]	V _{t,e} [daN]	V _{t,u} [daN]	%_δ _t _o	%_δ _t _u
Primo piano	7 - 1	P	-4086 9	18860 4	0.02	0.10	1.74	4467	0	18232	24.5	0.0	13503	0.47	0.34	1.74	4612	0	4612	100.0	9.2
Primo piano	1 - 9	P	-1199 9	8684	0.47	0.24	1.74	2043	2065	2043	100.0	15.8	5401	0.01	0.29	1.74	46	194	1566	2.9	0.0
Primo piano	1 - 9	P	-3179 8	10255 2	0.47	0.10	1.16	9915	9864	9915	100.0	35.4	15356	0.01	0.26	1.16	163	619	4052	4.0	0.0
Primo piano	2 - 3	P	-4867	1206	0.47	0.36	1.74	433	573	433	100.0	8.3	2701	0.01	0.25	1.74	39	101	664	5.8	0.0
Primo piano	2 - 3	P	-1853 3	49601	0.47	0.13	1.16	6591	6579	6591	100.0	33.1	10803	0.02	0.24	1.16	168	532	2541	6.6	0.0
Primo piano	2 - 3	P	-1687 2	49601	0.47	0.12	1.74	6196	6182	6196	100.0	21.5	10803	0.02	0.22	1.74	192	543	2375	8.1	0.0
Primo piano	2 - 3	P	-6533	5458	0.47	0.19	1.74	1027	1033	1027	100.0	18.4	4567	0.02	0.20	1.74	90	192	931	9.7	0.0
Primo piano	6 - 2	P	-5782 3	34562 0	0.03	0.08	1.56	10344	0	28881	35.8	0.0	40894	0.47	0.21	1.56	8705	0	8705	100.0	19.0
Primo piano	9 - 2	P	-1594 5	32791	0.47	0.14	1.56	4602	3927	4602	100.0	23.4	11019	0.01	0.21	1.56	133	354	2352	5.6	0.0
Primo piano	9 - 2	P	-6522	3576	0.47	0.23	1.56	839	696	839	100.0	18.0	4795	0.01	0.21	1.56	66	137	986	6.7	0.0
Primo piano	3 - 4	P	-3175 7	23646 0	0.04	0.08	1.74	9431	8487	18456	51.1	0.0	16364	0.47	0.24	1.74	3896	4025	3896	100.0	15.4
Primo piano	4 - 5	P	-4424 4	27961 7	0.47	0.08	1.16	23637	0	23637	100.0	35.6	18984	0.02	0.29	1.16	379	0	5557	6.8	0.0
Primo piano	8 - 6	C	-2035 6	10108 8	1.04	0.09	1.04	9361	8851	9361	100.0	100.0	10321	0.02	0.26	1.04	193	375	2637	7.3	0.0
Primo piano	7 - 8	P	-3137 6	13835 6	0.47	0.10	1.16	14058	14055	14058	100.0	34.6	10563	0.02	0.33	1.16	159	520	3514	4.5	0.0
Sottotetto	7 - 1	E	-2045 6	15543 4	0.01	0.08	1.12	1870	0	11880	15.7	0.0	6785	0.06	0.29	1.68	423	0	1938	21.8	0.0
Sottotetto	1 - 9	E	-5976	11296	0.07	0.12	1.68	737	733	1353	54.5	0.0	3454	0.01	0.20	1.68	36	68	696	5.2	0.0
Sottotetto	1 - 9	E	-1415 7	85866	0.07	0.07	1.12	5604	5495	6343	88.3	0.0	8426	0.01	0.20	1.68	109	312	1654	6.6	0.0
Sottotetto	2 - 3	E	-1671 8	12840 0	0.07	0.07	1.12	8381	8296	8984	93.3	0.0	10610	0.02	0.19	1.68	193	505	1965	9.8	0.0
Sottotetto	2 - 3	E	-8981	41964	0.07	0.08	1.68	2739	2709	3531	77.6	0.0	5922	0.02	0.18	1.68	126	232	1059	11.9	0.0
Sottotetto	2 - 3	E	-4428	7786	0.07	0.11	1.68	508	504	886	57.4	0.0	3005	0.02	0.17	1.68	71	94	524	13.5	0.0

Sottotetto	6 - 2	E	-3149 6	25182 8	0.02	0.07	1.00	4818	0	18454	26.1	0.0	20779	0.06	0.19	1.50	1274	0	4017	31.7	0.0
Sottotetto	6 - 2	E	-4527	8031	0.02	0.11	1.50	154	0	906	17.0	0.0	3759	0.06	0.16	1.50	241	0	593	40.7	0.0
Sottotetto	9 - 2	E	-7315	28174	0.07	0.09	1.50	1839	1555	2397	76.7	0.0	6152	0.01	0.16	1.50	90	136	959	9.4	0.0
Sottotetto	9 - 2	E	-3505	4388	0.07	0.13	1.50	286	232	565	50.7	0.0	3018	0.02	0.15	1.50	50	53	461	10.9	0.0
Sottotetto	3 - 4	E	-2228 9	19237 7	0.03	0.07	1.12	5128	5038	13749	37.3	0.0	8162	0.06	0.26	1.68	499	552	2137	23.3	0.0
Sottotetto	4 - 5	E	-3202 2	22396 1	0.06	0.08	1.12	13616	0	17234	79.0	0.0	9355	0.02	0.32	1.68	149	0	2979	5.0	0.0
Sottotetto	5 - 6	E	-1137	200	0.02	0.41	1.68	4	0	81	4.7	0.0	334	0.06	0.32	1.68	20	0	106	18.7	0.0
Sottotetto	8 - 6	E	-1255 7	82547	0.06	0.08	1.00	4949	4669	6799	72.8	0.0	5154	0.02	0.25	1.50	84	174	1310	6.4	0.0
Sottotetto	7 - 8	E	-1830 6	11277 6	0.06	0.09	1.12	6743	6727	9720	69.4	0.0	5228	0.01	0.32	1.68	71	141	1697	4.2	0.0
Copertura quota inf.	1 - 7	E	-8054	28972 5	0.00	0.03	0.64	1121	1115	8577	13.1	0.0	33610	0.01	0.04	0.96	169	142	1441	11.7	0.0
Copertura quota inf.	9 - 1	E	-4697	11394 39	0.00	0.01	0.32	5271	0	12639	41.7	0.0	48648 9	0.00	0.00	0.48	1597	0	2085	76.6	0.0
Copertura quota inf.	3 - 2	E	-1313 1	15536 40	0.00	0.02	0.40	7190	0	23469	30.6	0.0	49765 8	0.00	0.01	0.60	771	0	4621	16.7	0.0
Copertura quota inf.	6 - 2	E	-1342 1	33107 8	0.00	0.04	0.75	799	0	13037	6.1	0.0	43272	0.01	0.06	1.13	227	0	2435	9.3	0.0
Copertura quota inf.	6 - 2	E	-1267	79382	0.00	0.01	0.56	192	0	722	26.6	0.0	49678	0.00	0.01	0.56	231	0	473	48.8	0.0
Copertura quota inf.	2 - 9	E	-4249	80946 9	0.00	0.01	0.32	3745	0	9440	39.7	0.0	34964 0	0.00	0.01	0.48	905	0	1879	48.2	0.0
Copertura quota inf.	4 - 3	E	-1191 2	29373 3	0.00	0.04	0.76	299	0	11001	2.7	0.0	24960	0.01	0.07	1.14	131	0	1776	7.3	0.0
Copertura quota inf.	5 - 4	E	-1557 6	22396 1	0.01	0.06	1.12	1331	1296	13170	10.1	0.0	9355	0.00	0.17	1.68	10	234	1563	0.6	0.0
Copertura quota inf.	6 - 5	E	-519	222	0.00	0.19	1.62	1	1	42	1.3	0.0	372	0.01	0.15	1.62	2	2	54	3.9	0.0
Copertura quota inf.	8 - 6	E	-5975	94589	0.01	0.06	0.96	534	512	5362	10.0	0.0	6142	0.00	0.11	1.44	16	26	703	2.3	0.0
Copertura quota inf.	7 - 8	E	-8191	14373 8	0.01	0.05	0.96	806	787	7413	10.9	0.0	8526	0.00	0.11	1.44	29	33	965	3.0	0.0
Copertura quota sup.	2 - 3	E	-8051	19468 31	0.00	0.01	0.32	3980	3945	21457	18.5	0.0	82445 3	0.00	0.00	0.48	393	550	3574	11.0	0.0
Copertura quota sup.	6 - 2	E	-6818	14306 12	0.00	0.01	0.32	1161	0	16186	7.2	0.0	60806 6	0.00	0.00	0.48	1349	0	3019	44.7	0.0
Copertura quota sup.	3 - 4	E	-5833	71575 0	0.00	0.01	0.32	211	205	9010	2.3	0.0	24191 8	0.00	0.01	0.48	549	409	2127	25.8	0.0
Copertura quota sup.	4 - 5	E	-7308	82151 0	0.00	0.01	0.32	2073	0	10552	19.7	0.0	27729 3	0.00	0.01	0.48	72	0	2660	2.7	0.0
Copertura quota sup.	5 - 6	E	-334	21822	0.00	0.01	0.48	18	0	155	11.4	0.0	16364	0.00	0.01	0.48	40	0	122	32.4	0.0

Cond_X_1(-); E(-); S2(+): Sisma X (-); Distribuzione forze: Proporzionale masse; Eccentricità accidentale (-0.05*Ly); Sisma seconda direzione (+)

Imp.	Fili	Stato	N [daN]	k _t [daN/cm]	δ _t [cm]	δ _{t,0} [cm]	δ _{t,u} [cm]	V _t [daN]	V _{t,e} [daN]	V _{t,u} [daN]	%_δ _{t,0}	%_δ _{t,u}	k _t [daN/cm]	δ _t [cm]	δ _{t,0} [cm]	δ _{t,u} [cm]	V _t [daN]	V _{t,e} [daN]	V _{t,u} [daN]	%_δ _{t,0}	%_δ _{t,u}
Primo piano	7 - 1	P	-4206 5	18860 4	0.05	0.10	1.74	8841	0	18462	47.9	0.0	13503	0.36	0.35	1.74	4718	0	4718	100.0	0.7
Primo piano	1 - 9	P	-9334	8684	0.37	0.19	1.74	1662	1672	1662	100.0	11.3	5401	0.03	0.24	1.74	181	291	1274	14.2	0.0
Primo piano	1 - 9	P	-2378 9	10255 2	0.37	0.09	1.16	8997	9010	8997	100.0	26.0	15356	0.03	0.22	1.16	431	756	3313	13.0	0.0
Primo piano	2 - 3	P	-3323	1206	0.37	0.26	1.74	312	321	312	100.0	7.2	2701	0.02	0.18	1.74	49	92	479	10.3	0.0
Primo piano	2 - 3	P	-1218 8	49601	0.37	0.10	1.74	4959	4930	4959	100.0	16.2	10803	0.02	0.18	1.74	163	408	1900	8.6	0.0

Relazione di calcolo - Comune di Palazzo Adriano

Primo piano	2 - 3	P	-1022 1	49601	0.36	0.09	1.74	4583	4568	4583	100.0	16.5	10803	0.01	0.16	1.74	103	337	1755	5.8	0.0
Primo piano	2 - 3	P	-3610	5458	0.36	0.12	1.74	665	674	665	100.0	15.0	4567	0.00	0.13	1.74	22	87	602	3.6	0.0
Primo piano	6 - 2	P	-6085 9	34562 0	0.03	0.09	1.56	10825	0	29486	36.7	0.0	40894	0.36	0.22	1.56	9067	0	9067	100.0	10.2
Primo piano	9 - 2	P	-1156 5	32791	0.37	0.11	1.56	3604	3070	3604	100.0	17.7	11019	0.02	0.17	1.56	268	391	1842	14.5	0.0
Primo piano	9 - 2	P	-4538	3576	0.37	0.17	1.56	624	511	624	100.0	13.8	4795	0.02	0.15	1.56	96	136	733	13.1	0.0
Primo piano	3 - 4	P	-3221 4	23646 0	0.02	0.08	1.74	4442	3743	18554	23.9	0.0	16364	0.36	0.24	1.74	3941	4096	3941	100.0	7.8
Primo piano	4 - 5	P	-6047 7	27961 7	0.35	0.09	1.16	26110	0	26110	100.0	24.2	18984	0.02	0.35	1.16	309	0	6703	4.6	0.0
Primo piano	8 - 6	C	-2574 3	10108 8	1.04	0.10	1.04	10213	9611	10213	100.0	100.0	10321	0.03	0.30	1.04	281	462	3091	9.1	0.0
Primo piano	7 - 8	P	-3956 6	13835 6	0.35	0.11	1.16	15433	15371	15433	100.0	23.2	10563	0.03	0.39	1.16	364	765	4137	8.8	0.0
Sottotetto	7 - 1	E	-2092 6	15543 4	0.03	0.08	1.12	4494	0	11987	37.5	0.0	6785	0.06	0.29	1.68	432	0	1976	21.8	0.0
Sottotetto	1 - 9	E	-5101	11296	0.07	0.10	1.68	764	756	1173	65.2	0.0	3454	0.03	0.17	1.68	90	123	603	14.9	0.0
Sottotetto	1 - 9	E	-1191 4	85866	0.07	0.07	1.12	5792	5149	5956	97.2	0.0	8426	0.02	0.17	1.68	194	375	1413	13.7	0.0
Sottotetto	2 - 3	P	-1360 3	12840 0	0.07	0.07	1.12	8099	8036	8099	100.0	0.2	10610	0.02	0.16	1.12	172	469	1632	10.5	0.0
Sottotetto	2 - 3	E	-7151	41964	0.07	0.07	1.68	2803	2532	2863	97.9	0.0	5922	0.01	0.14	1.68	76	172	848	9.0	0.0
Sottotetto	2 - 3	E	-3465	7786	0.07	0.09	1.68	519	516	706	73.4	0.0	3005	0.01	0.14	1.68	31	55	417	7.3	0.0
Sottotetto	6 - 2	E	-3293 1	25182 8	0.02	0.07	1.00	5115	0	18782	27.2	0.0	20779	0.06	0.20	1.50	1298	0	4175	31.1	0.0
Sottotetto	6 - 2	E	-3887	8031	0.02	0.10	1.50	163	0	788	20.7	0.0	3759	0.07	0.14	1.50	248	0	516	48.0	0.0
Sottotetto	9 - 2	E	-6094	28174	0.07	0.07	1.50	1897	1600	2030	93.4	0.0	6152	0.02	0.13	1.50	129	169	812	15.9	0.0
Sottotetto	9 - 2	E	-2884	4388	0.07	0.11	1.50	295	239	473	62.3	0.0	3018	0.02	0.13	1.50	56	59	385	14.5	0.0
Sottotetto	3 - 4	E	-2269 1	19237 7	0.01	0.07	1.12	2365	2268	13845	17.1	0.0	8162	0.06	0.27	1.68	509	539	2171	23.4	0.0
Sottotetto	4 - 5	E	-3699 3	22396 1	0.06	0.08	1.12	13571	0	18285	74.2	0.0	9355	0.01	0.36	1.68	87	0	3361	2.6	0.0
Sottotetto	5 - 6	E	-1293	200	0.02	0.45	1.68	4	0	90	4.5	0.0	334	0.06	0.35	1.68	20	0	118	17.0	0.0
Sottotetto	8 - 6	E	-1416 7	82547	0.06	0.09	1.00	5020	4729	7142	70.3	0.0	5154	0.02	0.28	1.50	107	194	1452	7.4	0.0
Sottotetto	7 - 8	E	-2077 0	11277 6	0.06	0.09	1.12	6843	6814	10239	66.8	0.0	5228	0.03	0.36	1.68	135	207	1885	7.2	0.0
Copertura quota inf.	1 - 7	E	-8314	28972 5	0.00	0.03	0.64	122	128	8659	1.4	0.0	33610	0.01	0.04	0.96	178	149	1485	12.0	0.0
Copertura quota inf.	9 - 1	E	-3912	11394 39	0.00	0.01	0.32	4929	0	12308	40.0	0.0	48648 9	0.00	0.00	0.48	115	0	1774	6.5	0.0
Copertura quota inf.	3 - 2	E	-1184 8	15536 40	0.00	0.01	0.40	7058	0	22978	30.7	0.0	49765 8	0.00	0.01	0.60	1719	0	4176	41.2	0.0
Copertura quota inf.	6 - 2	E	-1393 8	33107 8	0.00	0.04	0.75	757	0	13194	5.7	0.0	43272	0.01	0.06	1.13	246	0	2523	9.8	0.0
Copertura quota inf.	6 - 2	E	-1208	79382	0.00	0.01	0.56	181	0	689	26.2	0.0	49678	0.00	0.01	0.56	226	0	451	50.1	0.0
Copertura quota inf.	2 - 9	E	-3693	80946 9	0.00	0.01	0.32	3571	0	9214	38.8	0.0	34964 0	0.00	0.00	0.48	533	0	1636	32.6	0.0
Copertura quota inf.	4 - 3	E	-1231 7	29373 3	0.01	0.04	0.76	1471	0	11121	13.2	0.0	24960	0.01	0.07	1.14	140	0	1833	7.7	0.0
Copertura quota inf.	5 - 4	E	-1635 6	22396 1	0.01	0.06	1.12	1580	1507	13391	11.8	0.0	9355	0.00	0.17	1.68	27	356	1626	1.6	0.0
Copertura quota inf.	6 - 5	E	-544	222	0.00	0.20	1.62	1	1	43	1.2	0.0	372	0.01	0.15	1.62	2	2	57	4.2	0.0
Copertura quota inf.	8 - 6	E	-6264	94589	0.01	0.06	0.96	600	578	5447	11.0	0.0	6142	0.00	0.12	1.44	10	21	737	1.3	0.0
Copertura quota inf.	7 - 8	E	-8597	14373 8	0.01	0.05	0.96	905	888	7532	12.0	0.0	8526	0.00	0.12	1.44	3	12	1011	0.3	0.0
Copertura quota sup.	2 - 3	E	-7749	19468 31	0.00	0.01	0.32	3990	3948	21331	18.7	0.0	82445 3	0.00	0.00	0.48	489	624	3437	14.2	0.0
Copertura quota sup.	6 - 2	E	-6773	14306 12	0.00	0.01	0.32	615	0	16168	3.8	0.0	60806 6	0.00	0.00	0.48	1334	0	2999	44.5	0.0

Copertura quota sup.	3 - 4	E	-5938	71575 0	0.00	0.01	0.32	655	634	9049	7.2	0.0	24191 8	0.00	0.01	0.48	541	406	2165	25.0	0.0
Copertura quota sup.	4 - 5	E	-7542	82151 0	0.00	0.01	0.32	2038	0	10635	19.2	0.0	27729 3	0.00	0.01	0.48	107	0	2732	3.9	0.0
Copertura quota sup.	5 - 6	E	-342	21822	0.00	0.01	0.48	9	0	158	5.9	0.0	16364	0.00	0.01	0.48	39	0	125	31.0	0.0

Cond_X_1(-); E(-); S2(-) : Sisma X (-); Distribuzione forze: Proporzionale masse; Eccentricità accidentale (-0.05*Ly); Sisma seconda direzione (-)

Imp.	Fili	Stato	N [daN]	k _L [daN/cm]	δ _L [cm]	δ _{L,0} [cm]	δ _{L,u} [cm]	V _L [daN]	V _{L,e} [daN]	V _{L,u} [daN]	% δ _{L,0}	% δ _{L,u}	k _t [daN/cm]	δ _t [cm]	δ _{t,0} [cm]	δ _{t,u} [cm]	V _t [daN]	V _{t,e} [daN]	V _{t,u} [daN]	% δ _{t,0}	% δ _{t,u}
Primo piano	7 - 1	P	-4083 2	18860 4	0.02	0.10	1.74	3779	0	18225	20.7	0.0	13503	0.47	0.34	1.74	4609	0	4609	100.0	9.4
Primo piano	1 - 9	P	-1199 0	8684	0.48	0.24	1.74	2041	2051	2041	100.0	16.0	5401	0.00	0.29	1.74	27	176	1565	1.7	0.0
Primo piano	1 - 9	P	-3178 4	10255 2	0.48	0.10	1.16	9908	9878	9908	100.0	35.7	15356	0.01	0.26	1.16	128	590	4046	3.2	0.0
Primo piano	2 - 3	P	-4868	1206	0.48	0.36	1.74	433	577	433	100.0	8.5	2701	0.01	0.25	1.74	38	101	664	5.7	0.0
Primo piano	2 - 3	P	-1854 2	49601	0.48	0.13	1.16	6592	6565	6592	100.0	33.4	10803	0.02	0.24	1.16	173	537	2542	6.8	0.0
Primo piano	2 - 3	P	-1688 9	49601	0.48	0.13	1.74	6201	6166	6201	100.0	21.7	10803	0.02	0.22	1.74	211	560	2377	8.9	0.0
Primo piano	2 - 3	P	-6543	5458	0.48	0.19	1.74	1028	1032	1028	100.0	18.5	4567	0.02	0.20	1.74	103	204	932	11.0	0.0
Primo piano	6 - 2	P	-5782 1	34562 0	0.03	0.08	1.56	10256	0	28881	35.5	0.0	40894	0.47	0.21	1.56	8705	0	8705	100.0	19.2
Primo piano	9 - 2	P	-1594 2	32791	0.48	0.14	1.56	4600	3920	4600	100.0	23.7	11019	0.01	0.21	1.56	116	342	2351	4.9	0.0
Primo piano	9 - 2	P	-6522	3576	0.48	0.23	1.56	839	691	839	100.0	18.2	4795	0.01	0.21	1.56	63	135	986	6.4	0.0
Primo piano	3 - 4	P	-3179 9	23646 0	0.04	0.08	1.74	10168	9211	18466	55.1	0.0	16364	0.47	0.24	1.74	3900	4058	3900	100.0	15.5
Primo piano	4 - 5	P	-4426 0	27961 7	0.47	0.08	1.16	23621	0	23621	100.0	35.7	18984	0.02	0.29	1.16	352	0	5549	6.4	0.0
Primo piano	8 - 6	C	-2034 9	10108 8	1.04	0.09	1.04	9359	8846	9359	100.0	100.0	10321	0.02	0.26	1.04	183	369	2636	6.9	0.0
Primo piano	7 - 8	P	-3135 2	13835 6	0.47	0.10	1.16	14056	14047	14056	100.0	34.7	10563	0.01	0.33	1.16	131	497	3513	3.7	0.0
Sottotetto	7 - 1	E	-2042 0	15543 4	0.01	0.08	1.12	1490	0	11872	12.6	0.0	6785	0.06	0.29	1.68	425	0	1935	22.0	0.0
Sottotetto	1 - 9	E	-5965	11296	0.07	0.12	1.68	750	747	1351	55.5	0.0	3454	0.01	0.20	1.68	28	60	695	4.0	0.0
Sottotetto	1 - 9	E	-1414 3	85866	0.07	0.07	1.12	5701	5506	6341	89.9	0.0	8426	0.01	0.20	1.68	96	298	1652	5.8	0.0
Sottotetto	2 - 3	E	-1673 0	12840 0	0.07	0.07	1.12	8526	8441	8986	94.9	0.0	10610	0.02	0.19	1.68	195	512	1966	9.9	0.0
Sottotetto	2 - 3	E	-8997	41964	0.07	0.08	1.68	2787	2755	3537	78.8	0.0	5922	0.02	0.18	1.68	133	240	1061	12.5	0.0
Sottotetto	2 - 3	E	-4439	7786	0.07	0.11	1.68	517	512	888	58.2	0.0	3005	0.03	0.17	1.68	76	100	525	14.5	0.0
Sottotetto	6 - 2	E	-3149 3	25182 8	0.02	0.07	1.00	4771	0	18453	25.9	0.0	20779	0.06	0.19	1.50	1276	0	4017	31.8	0.0
Sottotetto	6 - 2	E	-4527	8031	0.02	0.11	1.50	152	0	906	16.8	0.0	3759	0.07	0.16	1.50	245	0	593	41.4	0.0
Sottotetto	9 - 2	E	-7312	28174	0.07	0.09	1.50	1871	1583	2396	78.1	0.0	6152	0.01	0.16	1.50	84	132	959	8.7	0.0
Sottotetto	9 - 2	E	-3506	4388	0.07	0.13	1.50	291	236	565	51.6	0.0	3018	0.02	0.15	1.50	49	53	461	10.6	0.0
Sottotetto	3 - 4	E	-2232 9	19237 7	0.03	0.07	1.12	5523	5433	13759	40.1	0.0	8162	0.06	0.26	1.68	499	555	2141	23.3	0.0
Sottotetto	4 - 5	E	-3203 8	22396 1	0.06	0.08	1.12	13465	0	17237	78.1	0.0	9355	0.02	0.32	1.68	158	0	2981	5.3	0.0
Sottotetto	5 - 6	E	-1137	200	0.02	0.41	1.68	4	0	81	4.7	0.0	334	0.06	0.32	1.68	20	0	106	18.5	0.0
Sottotetto	8 - 6	E	-1255 0	82547	0.06	0.08	1.00	4910	4632	6797	72.2	0.0	5154	0.02	0.25	1.50	81	170	1310	6.2	0.0
Sottotetto	7 - 8	E	-1828 3	11277 6	0.06	0.09	1.12	6690	6676	9715	68.9	0.0	5228	0.01	0.32	1.68	61	131	1696	3.6	0.0
Copertura quota inf.	1 - 7	E	-8031	28972 5	0.00	0.03	0.64	1001	997	8570	11.7	0.0	33610	0.00	0.04	0.96	166	140	1437	11.6	0.0
Copertura quota inf.	9 - 1	E	-4647	11394 39	0.00	0.01	0.32	5318	0	12618	42.1	0.0	48648 9	0.00	0.00	0.48	1455	0	2063	70.5	0.0
Copertura quota inf.	3 - 2	E	-1319 8	15536 40	0.00	0.02	0.40	7253	0	23495	30.9	0.0	49765 8	0.00	0.01	0.60	861	0	4644	18.5	0.0
Copertura quota inf.	6 - 2	E	-1341 9	33107 8	0.00	0.04	0.75	794	0	13036	6.1	0.0	43272	0.01	0.06	1.13	221	0	2434	9.1	0.0
Copertura quota inf.	6 - 2	E	-1267	79382	0.00	0.01	0.56	191	0	722	26.4	0.0	49678	0.00	0.01	0.56	231	0	473	49.0	0.0
Copertura quota inf.	2 - 9	E	-4239	80946	0.00	0.01	0.32	3778	0	9435	40.0	0.0	34964	0.00	0.01	0.48	869	0	1875	46.3	0.0

tura quota inf.				9									0								
Coper tura quota inf.	4 - 3	E	-1193 5	29373 3	0.00	0.04	0.76	410	0	11008	3.7	0.0	24960	0.01	0.07	1.14	127	0	1779	7.1	0.0
Coper tura quota inf.	5 - 4	E	-1558 4	22396 1	0.01	0.06	1.12	1269	1231	13172	9.6	0.0	9355	0.00	0.17	1.68	12	236	1563	0.7	0.0
Coper tura quota inf.	6 - 5	E	-519	222	0.00	0.19	1.62	1	1	42	1.3	0.0	372	0.01	0.15	1.62	2	2	54	3.7	0.0
Coper tura quota inf.	8 - 6	E	-5972	94589	0.01	0.06	0.96	511	490	5361	9.5	0.0	6142	0.00	0.11	1.44	15	25	703	2.2	0.0
Coper tura quota inf.	7 - 8	E	-8181	14373 8	0.01	0.05	0.96	772	753	7410	10.4	0.0	8526	0.00	0.11	1.44	26	31	964	2.7	0.0
Coper tura quota sup.	2 - 3	E	-8066	19468 31	0.00	0.01	0.32	4153	4116	21462	19.3	0.0	82445 3	0.00	0.00	0.48	417	580	3581	11.7	0.0
Coper tura quota sup.	6 - 2	E	-6770	14306 12	0.00	0.01	0.32	982	0	16167	6.1	0.0	60806 6	0.00	0.00	0.48	1333	0	2998	44.5	0.0
Coper tura quota sup.	3 - 4	E	-5865	71575 0	0.00	0.01	0.32	348	341	9022	3.9	0.0	24191 8	0.00	0.01	0.48	535	399	2139	25.0	0.0
Coper tura quota sup.	4 - 5	E	-7311	82151 0	0.00	0.01	0.32	1930	0	10553	18.3	0.0	27729 3	0.00	0.01	0.48	87	0	2661	3.3	0.0
Coper tura quota sup.	5 - 6	E	-332	21822	0.00	0.01	0.48	15	0	154	9.7	0.0	16364	0.00	0.01	0.48	37	0	122	30.6	0.0

Cond_X_2(+); E(+); S2(+) : **Sisma X (+); Distribuzione forze: Proporzionale altezze; Eccentricità accidentale (+ 0.05*Ly); Sisma seconda direzione (+)**

Imp.	Fili	Stato	N [daN]	k _L [daN/cm]	δ _L [cm]	δ _{L,0} [cm]	δ _{L,u} [cm]	V _L [daN]	V _{L,e} [daN]	V _{L,u} [daN]	% δ _{L,0}	% δ _{L,u}	k _t [daN/cm]	δ _t [cm]	δ _{t,0} [cm]	δ _{t,u} [cm]	V _t [daN]	V _{t,e} [daN]	V _{t,u} [daN]	% δ _{t,0}	% δ _{t,u}
Primo piano	7 - 1	P	-1782 4	18860 4	0.01	0.07	1.74	2662	0	13313	20.0	0.0	13503	0.35	0.17	1.74	2346	0	2346	100.0	10.9
Primo piano	1 - 9	P	-3087	8684	0.35	0.09	1.74	825	824	825	100.0	15.5	5401	0.00	0.12	1.74	19	75	632	3.1	0.0
Primo piano	1 - 9	P	-1347 6	10255 2	0.35	0.08	1.16	7692	7666	7692	100.0	25.0	15356	0.01	0.17	1.16	129	437	2436	5.3	0.0
Primo piano	2 - 3	P	-3845	1206	0.35	0.29	1.74	354	357	354	100.0	3.9	2701	0.02	0.20	1.74	48	91	543	8.8	0.0
Primo piano	2 - 3	P	-1727 8	49601	0.35	0.13	1.74	6283	6259	6283	100.0	13.9	10803	0.02	0.22	1.74	224	531	2408	9.3	0.0
Primo piano	2 - 3	P	-2065 4	49601	0.35	0.14	1.16	6874	6881	6874	100.0	20.8	10803	0.03	0.26	1.16	281	611	2769	10.2	0.0
Primo piano	2 - 3	P	-9954	5458	0.35	0.26	1.74	1443	1464	1443	100.0	5.9	4567	0.03	0.29	1.74	140	239	1308	10.7	0.0
Primo piano	6 - 2	P	-5998 7	34562 0	0.03	0.08	1.56	9970	0	29313	34.0	0.0	40894	0.34	0.22	1.56	8964	0	8964	100.0	9.3
Primo piano	9 - 2	P	-8800	32791	0.35	0.09	1.56	3065	2609	3065	100.0	17.5	11019	0.01	0.14	1.56	134	240	1567	8.6	0.0
Primo piano	9 - 2	P	-4677	3576	0.35	0.18	1.56	639	524	639	100.0	12.5	4795	0.02	0.16	1.56	78	121	750	10.4	0.0
Primo piano	3 - 4	E	-6061 3	23646 0	0.05	0.10	1.16	10923	10315	24120	45.3	0.0	16364	0.34	0.40	1.74	5608	5758	6503	86.2	0.0
Primo piano	4 - 5	P	-7329 8	27961 7	0.34	0.10	1.16	28127	0	28127	100.0	22.5	18984	0.00	0.40	1.16	42	0	7607	0.6	0.0
Primo piano	8 - 6	P	-2158 4	10108 8	0.34	0.09	1.04	9553	9025	9553	100.0	26.0	10321	0.02	0.27	1.04	191	366	2740	7.0	0.0
Primo piano	7 - 8	P	-2441 5	13835 6	0.34	0.09	1.16	12881	12873	12881	100.0	23.1	10563	0.01	0.28	1.16	115	426	2965	3.9	0.0
Sottotetto	7 - 1	P	-1222 4	15543 4	0.01	0.06	1.68	1458	0	9856	14.8	0.0	6785	0.37	0.18	1.68	1234	0	1234	100.0	12.5
Sottotetto	1 - 9	P	-2326	11296	0.37	0.07	1.68	655	655	655	100.0	19.0	3454	0.00	0.11	1.68	6	54	358	1.7	0.0
Sottotetto	1 - 9	P	-7841	85866	0.37	0.07	1.68	4394	4371	4394	100.0	19.1	8426	0.00	0.15	1.68	29	244	1069	2.7	0.0
Sottotetto	2 - 3	P	-1563 0	12840 0	0.37	0.07	1.12	8802	8731	8802	100.0	29.1	10610	0.02	0.18	1.12	169	522	1867	9.1	0.0
Sottotetto	2 - 3	P	-1054 7	41964	0.37	0.10	1.68	4053	4018	4053	100.0	17.6	5922	0.02	0.21	1.68	136	331	1216	11.2	0.0
Sottotetto	2 - 3	P	-6030	7786	0.37	0.15	1.68	1160	1167	1160	100.0	14.8	3005	0.03	0.23	1.68	84	155	686	12.3	0.0
Sottotetto	6 - 2	P	-3266 4	25182 8	0.03	0.07	1.50	6463	0	18718	34.5	0.0	20779	0.37	0.20	1.50	4144	0	4144	100.0	12.9
Sottotetto	6 - 2	P	-3946	8031	0.03	0.10	1.50	206	0	803	25.7	0.0	3759	0.37	0.14	1.50	526	0	526	100.0	17.2
Sottotetto	9 - 2	P	-4895	28174	0.37	0.07	1.50	1735	1467	1735	100.0	21.5	6152	0.01	0.12	1.50	46	123	715	6.5	0.0
Sottotetto	9 - 2	P	-2838	4388	0.37	0.11	1.50	471	387	471	100.0	19.2	3018	0.01	0.13	1.50	37	68	384	9.6	0.0

Sottotetto	3 - 4	P	-3279 8	19237 7	0.04	0.08	1.68	8607	8061	16060	53.6	0.0	8162	0.37	0.36	1.68	2971	3121	2971	100.0	0.2
Sottotetto	4 - 5	P	-4218 3	22396 1	0.36	0.09	1.12	19218	0	19218	100.0	26.7	9355	0.01	0.40	1.12	67	0	3698	1.8	0.0
Sottotetto	5 - 6	P	-1271	200	0.03	0.45	1.68	5	0	89	5.8	0.0	334	0.36	0.35	1.68	116	0	116	100.0	1.1
Sottotetto	8 - 6	C	-1295 2	82547	1.00	0.08	1.00	6880	6504	6880	100.0	100.0	5154	0.01	0.26	1.00	75	222	1343	5.6	0.0
Sottotetto	7 - 8	P	-1572 5	11277 6	0.36	0.08	1.12	9185	9187	9185	100.0	27.1	5228	0.01	0.29	1.12	55	156	1504	3.7	0.0
Copertura quota inf.	1 - 7	E	-6870	28972 5	0.01	0.03	0.64	1806	1789	8192	22.0	0.0	33610	0.01	0.04	0.96	349	293	1238	28.2	0.0
Copertura quota inf.	9 - 1	P	-299	11394 39	0.01	0.01	0.48	9936	0	9936	100.0	0.2	48648 9	0.01	0.00	0.48	953	0	953	100.0	0.7
Copertura quota inf.	3 - 2	E	-1589 8	15536 40	0.01	0.02	0.40	15185	0	24497	62.0	0.0	49765 8	0.00	0.01	0.60	1312	0	5564	23.6	0.0
Copertura quota inf.	6 - 2	E	-1401 1	33107 8	0.00	0.04	0.75	1342	0	13215	10.2	0.0	43272	0.01	0.06	1.13	463	0	2536	18.3	0.0
Copertura quota inf.	6 - 2	P	-1202	79382	0.00	0.01	0.56	321	0	687	46.7	0.0	49678	0.01	0.01	0.56	450	0	450	100.0	0.1
Copertura quota inf.	2 - 9	P	-2824	80946 9	0.01	0.01	0.48	7911	0	8899	88.9	0.0	34964 0	0.00	0.00	0.48	1306	0	1306	100.0	0.1
Copertura quota inf.	4 - 3	E	-1397 8	29373 3	0.00	0.04	0.76	581	0	11600	5.0	0.0	24960	0.01	0.08	1.14	266	0	2061	12.9	0.0
Copertura quota inf.	5 - 4	E	-1709 9	22396 1	0.01	0.06	1.12	2637	2574	13597	19.4	0.0	9355	0.00	0.18	1.68	16	444	1703	0.9	0.0
Copertura quota inf.	6 - 5	E	-548	222	0.00	0.20	1.62	1	1	44	2.1	0.0	372	0.01	0.15	1.62	4	4	57	7.4	0.0
Copertura quota inf.	8 - 6	E	-6175	94589	0.01	0.06	0.96	1069	1027	5421	19.7	0.0	6142	0.00	0.12	1.44	26	46	725	3.7	0.0
Copertura quota inf.	7 - 8	E	-8089	14373 8	0.01	0.05	0.96	1616	1579	7383	21.9	0.0	8526	0.01	0.11	1.44	47	57	953	4.9	0.0
Copertura quota sup.	2 - 3	E	-8093	19468 31	0.00	0.01	0.32	7333	7264	21474	34.1	0.0	82445 3	0.00	0.00	0.48	731	1002	3589	20.4	0.0
Copertura quota sup.	6 - 2	P	-5065	14306 12	0.00	0.01	0.48	2154	0	15496	13.9	0.0	60806 6	0.00	0.00	0.48	2291	0	2291	100.0	0.1
Copertura quota sup.	3 - 4	E	-7123	71575 0	0.00	0.01	0.32	394	366	9468	4.2	0.0	24191 8	0.00	0.01	0.48	1013	753	2581	39.2	0.0
Copertura quota sup.	4 - 5	E	-7777	82151 0	0.00	0.01	0.32	3823	0	10717	35.7	0.0	27729 3	0.00	0.01	0.48	135	0	2821	4.8	0.0
Copertura quota sup.	5 - 6	E	-286	21822	0.00	0.01	0.48	33	0	133	24.6	0.0	16364	0.00	0.01	0.48	73	0	105	69.4	0.0

Cond_X_2(+); E(+); S2(-) : Sisma X (+); Distribuzione forze: Proporzionale altezze; Eccentricità accidentale (+ 0.05*L_y); Sisma seconda direzione (-)

Imp.	Fili	Stato	N [daN]	k _L [daN/cm]	δ _L [cm]	δ _{L,0} [cm]	δ _{L,u} [cm]	V _L [daN]	V _{L,e} [daN]	V _{L,u} [daN]	%_δ _{L,0}	%_δ _{L,u}	k _t [daN/cm]	δ _t [cm]	δ _{t,0} [cm]	δ _{t,u} [cm]	V _t [daN]	V _{t,e} [daN]	V _{t,u} [daN]	%_δ _{t,0}	%_δ _{t,u}
Primo piano	7 - 1	P	-1612 6	18860 4	0.04	0.07	1.74	7531	0	12972	58.1	0.0	13503	0.53	0.16	1.74	2197	0	2197	100.0	23.3
Primo piano	1 - 9	P	-6347	8684	0.53	0.14	1.74	1225	1227	1225	100.0	24.6	5401	0.02	0.17	1.74	116	236	939	12.4	0.0
Primo piano	1 - 9	P	-2334 7	10255 2	0.53	0.09	1.16	8948	8861	8948	100.0	41.7	15356	0.02	0.21	1.16	281	748	3274	8.6	0.0
Primo piano	2 - 3	P	-5768	1206	0.53	0.41	1.74	498	646	498	100.0	9.1	2701	0.01	0.28	1.74	33	104	763	4.4	0.0
Primo piano	2 - 3	P	-2521 3	49601	0.53	0.15	1.16	7414	7406	7414	100.0	38.0	10803	0.01	0.30	1.16	114	528	3203	3.5	0.0
Primo piano	2 - 3	P	-2901 7	49601	0.53	0.16	1.16	7866	7842	7866	100.0	37.4	10803	0.01	0.33	1.16	78	513	3560	2.2	0.0
Primo piano	2 - 3	P	-1364 5	5458	0.53	0.33	1.74	1825	1832	1825	100.0	14.2	4567	0.00	0.36	1.74	20	162	1654	1.2	0.0
Primo piano	6 - 2	P	-5620 4	34562 0	0.03	0.08	1.56	10655	0	28564	37.3	0.0	40894	0.53	0.21	1.56	8515	0	8515	100.0	23.7
Primo piano	9 - 2	P	-1422 4	32791	0.53	0.13	1.56	4200	3585	4200	100.0	28.3	11019	0.02	0.19	1.56	177	394	2147	8.2	0.0

Relazione di calcolo - Comune di Palazzo Adriano

Primo piano	9 - 2	P	-7145	3576	0.53	0.25	1.56	901	749	901	100.0	21.5	4795	0.01	0.22	1.56	65	144	1059	6.1	0.0
Primo piano	3 - 4	P	-6029 0	23646 0	0.03	0.10	1.74	6164	5176	24058	25.6	0.0	16364	0.53	0.40	1.74	6476	6673	6476	100.0	9.9
Primo piano	4 - 5	P	-5322 0	27961 7	0.53	0.09	1.16	24977	0	24977	100.0	40.7	18984	0.03	0.33	1.16	630	0	6179	10.2	0.0
Primo piano	8 - 6	C	-1484 9	10108 8	1.04	0.08	1.04	8520	8030	8520	100.0	100.0	10321	0.02	0.21	1.04	224	397	2181	10.3	0.0
Primo piano	7 - 8	P	-1409 8	13835 6	0.53	0.08	1.16	11235	11152	11235	100.0	41.4	10563	0.03	0.21	1.16	270	596	2204	12.2	0.0
Sottotetto	7 - 1	P	-1143 1	15543 4	0.04	0.06	1.68	5857	0	9621	60.9	0.0	6785	0.27	0.17	1.68	1156	0	1156	100.0	6.5
Sottotetto	1 - 9	P	-3611	11296	0.27	0.08	1.68	883	876	883	100.0	12.2	3454	0.03	0.13	1.68	96	138	454	21.2	0.0
Sottotetto	1 - 9	P	-1116 5	85866	0.27	0.07	1.12	5608	5552	5608	100.0	19.0	8426	0.02	0.17	1.12	194	401	1336	14.5	0.0
Sottotetto	2 - 3	P	-2032 5	12840 0	0.27	0.07	1.12	9532	9443	9532	100.0	18.9	10610	0.02	0.21	1.12	181	554	2264	8.0	0.0
Sottotetto	2 - 3	P	-1332 7	41964	0.27	0.12	1.68	4941	4923	4941	100.0	9.9	5922	0.01	0.25	1.68	76	289	1482	5.1	0.0
Sottotetto	2 - 3	P	-7500	7786	0.27	0.18	1.68	1404	1422	1404	100.0	6.1	3005	0.01	0.28	1.68	30	104	830	3.6	0.0
Sottotetto	6 - 2	P	-3050 9	25182 8	0.03	0.07	1.50	7042	0	18228	38.6	0.0	20779	0.27	0.19	1.50	3909	0	3909	100.0	6.0
Sottotetto	6 - 2	P	-4907	8031	0.03	0.12	1.50	225	0	971	23.1	0.0	3759	0.27	0.17	1.50	635	0	635	100.0	7.7
Sottotetto	9 - 2	P	-6715	28174	0.27	0.08	1.50	2201	1861	2201	100.0	13.7	6152	0.02	0.14	1.50	136	194	881	15.4	0.0
Sottotetto	9 - 2	P	-3769	4388	0.27	0.14	1.50	600	490	600	100.0	10.0	3018	0.02	0.16	1.50	59	83	489	12.0	0.0
Sottotetto	3 - 4	E	-3229 6	19237 7	0.02	0.08	1.12	3940	3545	15957	24.7	0.0	8162	0.27	0.36	1.68	2178	2255	2934	74.2	0.0
Sottotetto	4 - 5	P	-3477 7	22396 1	0.26	0.08	1.12	17852	0	17852	100.0	17.7	9355	0.01	0.34	1.12	63	0	3202	2.0	0.0
Sottotetto	5 - 6	E	-1037	200	0.03	0.38	1.68	6	0	75	7.4	0.0	334	0.26	0.29	1.68	88	0	98	90.2	0.0
Sottotetto	8 - 6	P	-1052 3	82547	0.27	0.08	1.00	6396	6048	6396	100.0	20.4	5154	0.02	0.22	1.00	126	243	1147	11.0	0.0
Sottotetto	7 - 8	P	-1197 6	11277 6	0.27	0.07	1.12	8416	8401	8416	100.0	18.2	5228	0.03	0.24	1.12	169	247	1231	13.7	0.0
Copertura quota inf.	1 - 7	E	-6369	28972 5	0.00	0.03	0.64	509	506	8024	6.3	0.0	33610	0.01	0.03	0.96	312	263	1151	27.1	0.0
Copertura quota inf.	9 - 1	P	-1600	11394 39	0.01	0.01	0.48	7812	0	7812	100.0	0.1	48648 9	0.00	0.00	0.48	76	0	749	10.1	0.0
Copertura quota inf.	3 - 2	E	-1828 8	15536 40	0.01	0.02	0.40	12033	0	25350	47.5	0.0	49765 8	0.01	0.01	0.60	3121	0	6376	49.0	0.0
Copertura quota inf.	6 - 2	E	-1309 2	33107 8	0.00	0.04	0.75	1255	0	12936	9.7	0.0	43272	0.01	0.05	1.13	438	0	2378	18.4	0.0
Copertura quota inf.	6 - 2	E	-1305	79382	0.00	0.01	0.56	301	0	744	40.5	0.0	49678	0.01	0.01	0.56	387	0	487	79.5	0.0
Copertura quota inf.	2 - 9	E	-3791	80946 9	0.01	0.01	0.32	6052	0	9254	65.4	0.0	34964 0	0.00	0.00	0.48	809	0	1680	48.1	0.0
Copertura quota inf.	4 - 3	E	-1330 2	29373 3	0.01	0.04	0.76	2752	0	11408	24.1	0.0	24960	0.01	0.08	1.14	249	0	1968	12.7	0.0
Copertura quota inf.	5 - 4	E	-1573 2	22396 1	0.01	0.06	1.12	2874	2742	13215	21.8	0.0	9355	0.01	0.17	1.68	48	646	1584	3.0	0.0
Copertura quota inf.	6 - 5	E	-502	222	0.00	0.18	1.62	1	1	40	2.1	0.0	372	0.01	0.14	1.62	4	4	53	8.2	0.0
Copertura quota inf.	8 - 6	E	-5658	94589	0.01	0.06	0.96	1083	1044	5268	20.6	0.0	6142	0.00	0.11	1.44	14	36	667	2.1	0.0
Copertura quota inf.	7 - 8	E	-7353	14373 8	0.01	0.05	0.96	1633	1602	7161	22.8	0.0	8526	0.00	0.10	1.44	0	17	871	0.0	0.0
Copertura quota sup.	2 - 3	E	-8672	19468 31	0.00	0.01	0.32	7118	7039	21712	32.8	0.0	82445 3	0.00	0.00	0.48	945	1199	3846	24.6	0.0
Copertura quota sup.	6 - 2	P	-5054	14306 12	0.00	0.01	0.48	698	0	15495	4.5	0.0	60806 6	0.00	0.00	0.48	2290	0	2290	100.0	0.1
Copertura quota sup.	3 - 4	E	-6994	71575 0	0.00	0.01	0.32	1497	1476	9423	15.9	0.0	24191 8	0.00	0.01	0.48	1045	788	2536	41.2	0.0
Copertura quota sup.	4 - 5	E	-7357	82151 0	0.01	0.01	0.32	4150	0	10569	39.3	0.0	27729 3	0.00	0.01	0.48	196	0	2683	7.3	0.0

Copertura quota sup.	5 - 6	E	-268	21822	0.00	0.01	0.48	11	0	125	8.5	0.0	16364	0.00	0.01	0.48	78	0	99	79.0	0.0
----------------------------	-------	---	------	-------	------	------	------	----	---	-----	-----	-----	-------	------	------	------	----	---	----	------	-----

Cond X 2(+); E(-); S2(+) : **Sisma X (+); Distribuzione forze: Proporzionale altezze; Eccentricità accidentale (- 0.05*Ly); Sisma seconda direzione (+)**

Imp.	Fili	Stato	N [daN]	k _L [daN/cm]	δ _L [cm]	δ _{L,0} [cm]	δ _{L,u} [cm]	V _L [daN]	V _{L,e} [daN]	V _{L,u} [daN]	% δ _{L,0}	% δ _{L,u}	k _t [daN/cm]	δ _t [cm]	δ _{t,0} [cm]	δ _{t,u} [cm]	V _t [daN]	V _{t,e} [daN]	V _{t,u} [daN]	% δ _{t,0}	% δ _{t,u}
Primo piano	7 - 1	P	-17920	188604	0.01	0.07	1.74	1962	0	13331	14.7	0.0	13503	0.34	0.17	1.74	2354	0	2354	100.0	10.4
Primo piano	1 - 9	P	-3114	8684	0.34	0.10	1.74	832	832	832	100.0	15.1	5401	0.00	0.12	1.74	2	60	638	0.3	0.0
Primo piano	1 - 9	P	-13524	102552	0.34	0.08	1.16	7660	7637	7660	100.0	24.3	15356	0.01	0.17	1.16	98	411	2441	4.0	0.0
Primo piano	2 - 3	P	-3844	1206	0.34	0.29	1.74	354	360	354	100.0	3.5	2701	0.02	0.20	1.74	48	91	543	8.9	0.0
Primo piano	2 - 3	P	-17262	49601	0.34	0.13	1.74	6279	6247	6279	100.0	13.4	10803	0.02	0.22	1.74	233	537	2407	9.7	0.0
Primo piano	2 - 3	P	-20617	49601	0.34	0.14	1.16	6870	6867	6870	100.0	20.1	10803	0.03	0.26	1.16	303	629	2765	11.0	0.0
Primo piano	2 - 3	P	-9931	5458	0.34	0.26	1.74	1441	1475	1441	100.0	5.4	4567	0.03	0.29	1.74	154	253	1306	11.8	0.0
Primo piano	6 - 2	P	-5998	345620	0.03	0.08	1.56	9864	0	29314	33.7	0.0	40894	0.33	0.22	1.56	8964	0	8964	100.0	8.6
Primo piano	9 - 2	P	-8815	32791	0.34	0.09	1.56	3076	2621	3076	100.0	17.0	11019	0.01	0.14	1.56	121	229	1572	7.7	0.0
Primo piano	9 - 2	P	-4678	3576	0.34	0.18	1.56	639	523	639	100.0	11.9	4795	0.02	0.16	1.56	77	119	750	10.2	0.0
Primo piano	3 - 4	E	-6049	236460	0.05	0.10	1.16	11631	11039	24100	48.3	0.0	16364	0.33	0.40	1.74	5464	5619	6494	84.1	0.0
Primo piano	4 - 5	P	-73235	279617	0.33	0.10	1.16	28132	0	28132	100.0	21.6	18984	0.00	0.40	1.16	5	0	7609	0.1	0.0
Primo piano	8 - 6	P	-21597	10108	0.33	0.09	1.04	9556	9022	9556	100.0	24.9	10321	0.02	0.27	1.04	182	359	2741	6.7	0.0
Primo piano	7 - 8	P	-24470	138356	0.33	0.09	1.16	12888	12873	12888	100.0	22.2	10563	0.01	0.28	1.16	88	402	2968	3.0	0.0
Sottotetto	7 - 1	P	-12304	155434	0.01	0.06	1.68	868	0	9875	8.8	0.0	6785	0.37	0.18	1.68	1240	0	1240	100.0	12.3
Sottotetto	1 - 9	P	-2351	11296	0.37	0.07	1.68	653	653	653	100.0	18.9	3454	0.01	0.11	1.68	17	46	360	4.8	0.0
Sottotetto	1 - 9	P	-7877	85866	0.37	0.07	1.68	4355	4339	4355	100.0	19.0	8426	0.00	0.15	1.68	12	230	1072	1.1	0.0
Sottotetto	2 - 3	P	-15610	128400	0.37	0.07	1.12	8800	8737	8800	100.0	29.0	10610	0.02	0.18	1.12	173	521	1867	9.3	0.0
Sottotetto	2 - 3	P	-10515	41964	0.37	0.10	1.68	4040	3999	4040	100.0	17.5	5922	0.02	0.20	1.68	146	337	1212	12.1	0.0
Sottotetto	2 - 3	P	-6006	7786	0.37	0.15	1.68	1156	1168	1156	100.0	14.7	3005	0.03	0.23	1.68	93	164	683	13.6	0.0
Sottotetto	6 - 2	P	-32667	251828	0.03	0.07	1.50	6379	0	18719	34.1	0.0	20779	0.36	0.20	1.50	4145	0	4145	100.0	12.6
Sottotetto	6 - 2	P	-3945	8031	0.03	0.10	1.50	203	0	803	25.3	0.0	3759	0.37	0.14	1.50	526	0	526	100.0	17.1
Sottotetto	9 - 2	P	-4905	28174	0.37	0.07	1.50	1723	1458	1723	100.0	21.4	6152	0.01	0.12	1.50	37	117	716	5.2	0.0
Sottotetto	9 - 2	P	-2838	4388	0.37	0.11	1.50	471	388	471	100.0	19.1	3018	0.01	0.13	1.50	35	67	384	9.3	0.0
Sottotetto	3 - 4	P	-32706	192377	0.05	0.08	1.68	9198	8656	16041	57.3	0.0	8162	0.36	0.36	1.68	2964	3103	2964	100.0	0.0
Sottotetto	4 - 5	P	-42137	223961	0.36	0.09	1.12	19212	0	19212	100.0	26.3	9355	0.01	0.40	1.12	50	0	3696	1.4	0.0
Sottotetto	5 - 6	P	-1271	200	0.03	0.45	1.68	5	0	89	5.7	0.0	334	0.36	0.35	1.68	116	0	116	100.0	0.8
Sottotetto	8 - 6	C	-12964	82547	1.00	0.08	1.00	6882	6503	6882	100.0	100.0	5154	0.01	0.26	1.00	70	218	1344	5.2	0.0
Sottotetto	7 - 8	P	-15772	112776	0.36	0.08	1.12	9193	9184	9193	100.0	26.8	5228	0.01	0.29	1.12	40	143	1507	2.7	0.0
Copertura quota inf.	1 - 7	E	-6915	289725	0.01	0.03	0.64	1593	1577	8207	19.4	0.0	33610	0.01	0.04	0.96	337	284	1246	27.1	0.0
Copertura quota inf.	9 - 1	P	-402	1139439	0.01	0.01	0.48	9736	0	9736	100.0	0.2	486489	0.00	0.00	0.48	934	0	934	100.0	0.6
Copertura quota inf.	3 - 2	E	-15770	1553640	0.01	0.02	0.40	15021	0	24450	61.4	0.0	497658	0.00	0.01	0.60	1472	0	5520	26.7	0.0
Copertura quota inf.	6 - 2	E	-14012	331078	0.00	0.04	0.75	1332	0	13216	10.1	0.0	43272	0.01	0.06	1.13	444	0	2536	17.5	0.0
Copertura quota inf.	6 - 2	P	-1202	79382	0.00	0.01	0.56	319	0	687	46.4	0.0	49678	0.01	0.01	0.56	450	0	450	100.0	0.1
Copertura quota inf.	2 - 9	P	-2847	809469	0.01	0.01	0.32	7825	0	8894	88.0	0.0	349640	0.00	0.00	0.32	1187	0	1187	100.0	0.2
Copertura quota inf.	4 - 3	E	-13931	293733	0.00	0.04	0.76	776	0	11587	6.7	0.0	24960	0.01	0.08	1.14	255	0	2055	12.4	0.0
Coper	5 - 4	E	-1708	22396	0.01	0.06	1.12	2488	2419	13593	18.3	0.0	9355	0.00	0.18	1.68	19	442	1701	1.1	0.0

tura quota inf.			1	1																	
Coper tura quota inf.	6 - 5	E	-548	222	0.00	0.20	1.62	1	1	44	2.1	0.0	372	0.01	0.15	1.62	4	4	57	7.0	0.0
Coper tura quota inf.	8 - 6	E	-6179	94589	0.01	0.06	0.96	1011	971	5422	18.6	0.0	6142	0.00	0.12	1.44	25	44	726	3.5	0.0
Coper tura quota inf.	7 - 8	E	-8107	14373 8	0.01	0.05	0.96	1529	1494	7388	20.7	0.0	8526	0.00	0.11	1.44	42	52	955	4.4	0.0
Coper tura quota sup.	2 - 3	E	-8064	19468 31	0.00	0.01	0.32	7609	7538	21462	35.5	0.0	82445 3	0.00	0.00	0.48	776	1056	3576	21.7	0.0
Coper tura quota sup.	6 - 2	P	-5162	14306 12	0.00	0.01	0.48	1813	0	15521	11.7	0.0	60806 6	0.00	0.00	0.48	2317	0	2317	100.0	0.0
Coper tura quota sup.	3 - 4	E	-7058	71575 0	0.00	0.01	0.32	651	623	9445	6.9	0.0	24191 8	0.00	0.01	0.48	979	730	2559	38.3	0.0
Coper tura quota sup.	4 - 5	E	-7770	82151 0	0.00	0.01	0.32	3531	0	10715	33.0	0.0	27729 3	0.00	0.01	0.48	164	0	2818	5.8	0.0
Coper tura quota sup.	5 - 6	E	-290	21822	0.00	0.01	0.48	28	0	135	20.5	0.0	16364	0.00	0.01	0.48	68	0	106	63.9	0.0

Cond_X_2(+); E(-); S2(-): Sisma X (+); Distribuzione forze: Proporzionale altezze; Eccentricità accidentale (-0.05*Ly); Sisma seconda direzione (-)

Imp.	Fili	Stato	N [daN]	k _L [daN/cm]	δ _L [cm]	δ _{L,0} [cm]	δ _{L,u} [cm]	V _L [daN]	V _{L,e} [daN]	V _{L,u} [daN]	%_δ _{L,0}	%_δ _{L,u}	k _t [daN/cm]	δ _t [cm]	δ _{t,0} [cm]	δ _{t,u} [cm]	V _t [daN]	V _{t,e} [daN]	V _{t,u} [daN]	%_δ _{t,0}	%_δ _{t,u}
Primo piano	7 - 1	P	-1619 5	18860 4	0.04	0.07	1.74	8243	0	12988	63.5	0.0	13503	0.53	0.16	1.74	2204	0	2204	100.0	23.2
Primo piano	1 - 9	P	-6364	8684	0.54	0.14	1.74	1228	1225	1228	100.0	24.6	5401	0.02	0.17	1.74	135	254	941	14.3	0.0
Primo piano	1 - 9	P	-2337 3	10255 2	0.54	0.09	1.16	8951	8998	8951	100.0	41.7	15356	0.02	0.21	1.16	316	778	3277	9.6	0.0
Primo piano	2 - 3	P	-5766	1206	0.53	0.41	1.74	498	647	498	100.0	9.2	2701	0.01	0.28	1.74	33	104	763	4.4	0.0
Primo piano	2 - 3	P	-2519 6	49601	0.53	0.15	1.16	7411	7383	7411	100.0	38.1	10803	0.01	0.30	1.16	107	521	3200	3.3	0.0
Primo piano	2 - 3	P	-2898 5	49601	0.53	0.16	1.16	7863	7881	7863	100.0	37.5	10803	0.01	0.33	1.16	58	495	3557	1.6	0.0
Primo piano	2 - 3	P	-1362 6	5458	0.53	0.33	1.74	1823	1835	1823	100.0	14.2	4567	0.00	0.36	1.74	7	149	1653	0.4	0.0
Primo piano	6 - 2	P	-5620 7	34562 0	0.03	0.08	1.56	10746	0	28565	37.6	0.0	40894	0.53	0.21	1.56	8515	0	8515	100.0	23.7
Primo piano	9 - 2	P	-1423 0	32791	0.53	0.13	1.56	4201	3575	4201	100.0	28.4	11019	0.02	0.19	1.56	192	405	2147	8.9	0.0
Primo piano	9 - 2	P	-7144	3576	0.53	0.25	1.56	901	751	901	100.0	21.6	4795	0.01	0.22	1.56	67	146	1058	6.3	0.0
Primo piano	3 - 4	P	-6021 0	23646 0	0.02	0.10	1.74	5402	4417	24044	22.5	0.0	16364	0.53	0.40	1.74	6470	6652	6470	100.0	9.8
Primo piano	4 - 5	P	-5319 0	27961 7	0.52	0.09	1.16	24969	0	24969	100.0	40.5	18984	0.03	0.33	1.16	654	0	6175	10.6	0.0
Primo piano	8 - 6	C	-1486 3	10108 8	1.04	0.08	1.04	8519	8019	8519	100.0	100.0	10321	0.02	0.21	1.04	235	405	2181	10.8	0.0
Primo piano	7 - 8	P	-1414 4	13835 6	0.53	0.08	1.16	11236	11141	11236	100.0	41.2	10563	0.03	0.21	1.16	299	620	2204	13.6	0.0
Sottotetto	7 - 1	P	-1149 7	15543 4	0.04	0.06	1.68	6465	0	9640	67.1	0.0	6785	0.27	0.17	1.68	1162	0	1162	100.0	6.5
Sottotetto	1 - 9	P	-3630	11296	0.27	0.08	1.68	889	880	889	100.0	12.2	3454	0.03	0.13	1.68	109	146	457	23.8	0.0
Sottotetto	1 - 9	P	-1119 2	85866	0.27	0.07	1.12	5578	5520	5578	100.0	19.1	8426	0.03	0.17	1.12	210	410	1337	15.7	0.0
Sottotetto	2 - 3	P	-2030 3	12840 0	0.27	0.07	1.12	9519	9437	9519	100.0	19.1	10610	0.02	0.21	1.12	176	547	2257	7.8	0.0
Sottotetto	2 - 3	P	-1329 8	41964	0.27	0.12	1.68	4932	4936	4932	100.0	10.0	5922	0.01	0.25	1.68	65	279	1479	4.4	0.0
Sottotetto	2 - 3	P	-7479	7786	0.27	0.18	1.68	1400	1398	1400	100.0	6.2	3005	0.01	0.28	1.68	20	94	842	2.4	0.0
Sottotetto	6 - 2	P	-3051 4	25182 8	0.03	0.07	1.50	7118	0	18230	39.0	0.0	20779	0.27	0.19	1.50	3909	0	3909	100.0	6.0
Sottotetto	6 - 2	P	-4905	8031	0.03	0.12	1.50	227	0	971	23.4	0.0	3759	0.27	0.17	1.50	635	0	635	100.0	7.8
Sottotetto	9 - 2	P	-6721	28174	0.27	0.08	1.50	2201	1862	2201	100.0	13.8	6152	0.02	0.14	1.50	145	198	881	16.4	0.0
Sottotetto	9 - 2	P	-3769	4388	0.27	0.14	1.50	600	492	600	100.0	10.1	3018	0.02	0.16	1.50	60	84	489	12.3	0.0
Sottotetto	3 - 4	E	-3222 1	19237 7	0.02	0.08	1.12	3311	2915	15942	20.8	0.0	8162	0.27	0.36	1.68	2177	2248	2928	74.3	0.0
Sottotetto	4 - 5	P	-3474 8	22396 1	0.26	0.08	1.12	17846	0	17846	100.0	17.6	9355	0.01	0.34	1.12	75	0	3200	2.4	0.0
Sottotetto	5 - 6	E	-1038	200	0.03	0.38	1.68	6	0	75	7.5	0.0	334	0.26	0.29	1.68	88	0	98	89.8	0.0
Sottotetto	8 - 6	P	-1053 5	82547	0.26	0.08	1.00	6399	6045	6399	100.0	20.2	5154	0.03	0.22	1.00	132	246	1148	11.5	0.0

Sottotetto	7 - 8	P	-12019	112776	0.26	0.07	1.12	8424	8398	8424	100.0	18.1	5228	0.04	0.24	1.12	184	260	1234	14.9	0.0
Copertura quota inf.	1 - 7	E	-6411	289725	0.00	0.03	0.64	294	291	8038	3.7	0.0	33610	0.01	0.03	0.96	305	257	1158	26.4	0.0
Copertura quota inf.	9 - 1	P	-1691	1139439	0.01	0.01	0.48	8077	0	8077	100.0	0.1	486489	0.00	0.00	0.48	96	0	772	12.4	0.0
Copertura quota inf.	3 - 2	E	-18166	1553640	0.01	0.02	0.40	12042	0	25308	47.6	0.0	497658	0.01	0.01	0.60	2957	0	6335	46.7	0.0
Copertura quota inf.	6 - 2	E	-13095	331078	0.00	0.04	0.75	1263	0	12937	9.8	0.0	43272	0.01	0.05	1.13	425	0	2379	17.8	0.0
Copertura quota inf.	6 - 2	E	-1305	79382	0.00	0.01	0.56	303	0	743	40.8	0.0	49678	0.01	0.01	0.56	386	0	486	79.4	0.0
Copertura quota inf.	2 - 9	E	-3809	809469	0.01	0.01	0.32	6085	0	9262	65.7	0.0	349640	0.00	0.00	0.48	873	0	1688	51.7	0.0
Copertura quota inf.	4 - 3	E	-13260	293733	0.01	0.04	0.76	2549	0	11396	22.4	0.0	24960	0.01	0.08	1.14	242	0	1962	12.3	0.0
Copertura quota inf.	5 - 4	E	-15719	223961	0.01	0.06	1.12	2736	2610	13211	20.7	0.0	9355	0.00	0.17	1.68	45	614	1583	2.9	0.0
Copertura quota inf.	6 - 5	E	-503	222	0.00	0.18	1.62	1	1	40	2.1	0.0	372	0.01	0.14	1.62	4	4	53	7.9	0.0
Copertura quota inf.	8 - 6	E	-5663	94589	0.01	0.06	0.96	1038	1000	5270	19.7	0.0	6142	0.00	0.11	1.44	15	36	668	2.3	0.0
Copertura quota inf.	7 - 8	E	-7370	143738	0.01	0.05	0.96	1565	1535	7167	21.8	0.0	8526	0.00	0.10	1.44	3	18	873	0.3	0.0
Copertura quota sup.	2 - 3	E	-8645	1946831	0.00	0.01	0.32	7424	7346	21701	34.2	0.0	824453	0.00	0.00	0.48	887	1160	3835	23.1	0.0
Copertura quota sup.	6 - 2	P	-5146	1430612	0.00	0.01	0.48	1058	0	15520	6.8	0.0	608066	0.00	0.00	0.48	2316	0	2316	100.0	0.1
Copertura quota sup.	3 - 4	E	-6931	715750	0.00	0.01	0.32	1221	1201	9401	13.0	0.0	241918	0.00	0.01	0.48	1014	762	2514	40.3	0.0
Copertura quota sup.	4 - 5	E	-7350	821510	0.00	0.01	0.32	3836	0	10567	36.3	0.0	277293	0.00	0.01	0.48	189	0	2680	7.1	0.0
Copertura quota sup.	5 - 6	E	-272	21822	0.00	0.01	0.48	16	0	127	12.7	0.0	16364	0.00	0.01	0.48	73	0	100	73.0	0.0

Cond_X_2(-); E(+); S2(+) : Sisma X (-); Distribuzione forze: Proporzionale altezze; Eccentricità accidentale (+ 0.05*Ly); Sisma seconda direzione (+)

Imp.	Fili	Stato	N [daN]	k _L [daN/cm]	δ _L [cm]	δ _{L,0} [cm]	δ _{L,u} [cm]	V _L [daN]	V _{L,e} [daN]	V _{L,u} [daN]	%_δ _{L,0}	%_δ _{L,u}	k _t [daN/cm]	δ _t [cm]	δ _{t,0} [cm]	δ _{t,u} [cm]	V _t [daN]	V _{t,e} [daN]	V _{t,u} [daN]	%_δ _{t,0}	%_δ _{t,u}
Primo piano	7 - 1	P	-44942	188604	0.05	0.10	1.74	8751	0	18996	46.1	0.0	13503	0.37	0.37	1.74	4962	0	4962	100.0	0.4
Primo piano	1 - 9	P	-9670	8684	0.38	0.20	1.74	1711	1718	1711	100.0	11.8	5401	0.03	0.24	1.74	176	291	1312	13.5	0.0
Primo piano	1 - 9	P	-23854	102552	0.38	0.09	1.16	9005	8932	9005	100.0	27.2	15356	0.03	0.22	1.16	420	754	3319	12.6	0.0
Primo piano	2 - 3	P	-3055	1206	0.38	0.24	1.74	291	296	291	100.0	9.2	2701	0.02	0.16	1.74	48	90	446	10.7	0.0
Primo piano	2 - 3	P	-10754	49601	0.38	0.09	1.74	4669	4643	4669	100.0	17.3	10803	0.01	0.17	1.74	158	384	1789	8.8	0.0
Primo piano	2 - 3	P	-8147	49601	0.38	0.09	1.74	4230	4259	4230	100.0	17.7	10803	0.01	0.15	1.74	99	312	1619	6.1	0.0
Primo piano	2 - 3	P	-2502	5458	0.38	0.10	1.74	564	564	564	100.0	16.7	4567	0.00	0.11	1.74	21	78	511	4.0	0.0
Primo piano	6 - 2	P	-61370	345620	0.03	0.09	1.56	10780	0	29588	36.4	0.0	40894	0.37	0.22	1.56	9129	0	9129	100.0	11.0
Primo piano	9 - 2	P	-11278	32791	0.38	0.11	1.56	3542	3011	3542	100.0	18.6	11019	0.02	0.16	1.56	260	386	1810	14.4	0.0
Primo piano	9 - 2	P	-4253	3576	0.38	0.17	1.56	593	489	593	100.0	15.2	4795	0.02	0.15	1.56	93	134	696	13.4	0.0
Primo piano	3 - 4	P	-29097	236460	0.02	0.08	1.74	4518	3733	17869	25.3	0.0	16364	0.37	0.22	1.74	3626	3701	3626	100.0	9.8
Primo piano	4 - 5	P	-61252	279617	0.37	0.09	1.16	26229	0	26229	100.0	25.4	18984	0.02	0.36	1.16	336	0	6757	5.0	0.0
Primo piano	8 - 6	C	-26941	101088	1.04	0.10	1.04	10396	9792	10396	100.0	100.0	10321	0.03	0.31	1.04	276	466	3186	8.7	0.0

Primo piano	7 - 8	P	-4237 7	13835 6	0.37	0.11	1.16	15877	15773	15877	100.0	24.2	10563	0.03	0.41	1.16	357	775	4331	8.2	0.0
Sottotetto	7 - 1	E	-2285 3	15543 4	0.04	0.08	1.12	6551	0	12418	52.8	0.0	6785	0.25	0.31	1.68	1693	0	2131	79.5	0.0
Sottotetto	1 - 9	P	-5409	11296	0.26	0.11	1.68	1225	1223	1225	100.0	9.4	3454	0.03	0.18	1.68	113	174	630	17.9	0.0
Sottotetto	1 - 9	P	-1207 8	85866	0.26	0.07	1.12	5794	5734	5794	100.0	17.4	8426	0.03	0.18	1.12	223	409	1415	15.7	0.0
Sottotetto	2 - 3	P	-1225 3	12840 0	0.25	0.06	1.12	8152	8207	8152	100.0	18.0	10610	0.02	0.15	1.12	180	482	1604	11.2	0.0
Sottotetto	2 - 3	P	-5905	41964	0.25	0.07	1.68	2649	2634	2649	100.0	11.6	5922	0.01	0.14	1.68	64	183	821	7.8	0.0
Sottotetto	2 - 3	P	-2650	7786	0.25	0.08	1.68	627	626	627	100.0	10.9	3005	0.01	0.12	1.68	21	64	371	5.6	0.0
Sottotetto	6 - 2	P	-3341 5	25182 8	0.03	0.08	1.50	7112	0	18888	37.7	0.0	20779	0.25	0.20	1.50	4227	0	4227	100.0	3.4
Sottotetto	6 - 2	P	-3683	8031	0.03	0.09	1.50	227	0	756	30.0	0.0	3759	0.25	0.13	1.50	495	0	495	100.0	8.9
Sottotetto	9 - 2	P	-5975	28174	0.26	0.07	1.50	2020	1706	2020	100.0	12.9	6152	0.02	0.13	1.50	150	178	808	18.5	0.0
Sottotetto	9 - 2	P	-2708	4388	0.26	0.10	1.50	451	367	451	100.0	10.9	3018	0.02	0.12	1.50	62	78	368	16.8	0.0
Sottotetto	3 - 4	E	-2073 7	19237 7	0.02	0.07	1.12	3167	2796	13374	23.7	0.0	8162	0.25	0.25	1.68	2005	2088	2005	100.0	0.1
Sottotetto	4 - 5	P	-3741 6	22396 1	0.24	0.08	1.12	18344	0	18344	100.0	15.5	9355	0.01	0.36	1.12	58	0	3382	1.7	0.0
Sottotetto	5 - 6	E	-1344	200	0.03	0.47	1.68	6	0	93	6.0	0.0	334	0.24	0.36	1.68	81	0	122	66.9	0.0
Sottotetto	8 - 6	P	-1490 0	82547	0.24	0.09	1.00	7257	6860	7257	100.0	17.2	5154	0.03	0.29	1.00	134	267	1497	9.0	0.0
Sottotetto	7 - 8	P	-2254 4	11277 6	0.24	0.09	1.12	10526	10553	10526	100.0	14.8	5228	0.04	0.38	1.12	187	293	1989	9.4	0.0
Copertura quota inf.	1 - 7	E	-8869	28972 5	0.00	0.03	0.64	477	481	8832	5.4	0.0	33610	0.01	0.05	0.96	307	258	1579	19.4	0.0
Copertura quota inf.	9 - 1	E	-4597	11394 39	0.01	0.01	0.32	8168	0	12597	64.8	0.0	48648 9	0.00	0.00	0.48	107	0	2043	5.2	0.0
Copertura quota inf.	3 - 2	E	-1002 2	15536 40	0.01	0.01	0.40	11815	0	22259	53.1	0.0	49765 8	0.01	0.01	0.60	3101	0	3545	87.5	0.0
Copertura quota inf.	6 - 2	E	-1417 0	33107 8	0.00	0.04	0.75	1262	0	13263	9.5	0.0	43272	0.01	0.06	1.13	430	0	2563	16.8	0.0
Copertura quota inf.	6 - 2	E	-1182	79382	0.00	0.01	0.56	302	0	675	44.7	0.0	49678	0.01	0.01	0.56	380	0	442	86.0	0.0
Copertura quota inf.	2 - 9	E	-3678	80946 9	0.01	0.01	0.32	5942	0	9208	64.5	0.0	34964 0	0.00	0.00	0.48	819	0	1629	50.3	0.0
Copertura quota inf.	4 - 3	E	-1202 4	29373 3	0.01	0.04	0.76	2729	0	11035	24.7	0.0	24960	0.01	0.07	1.14	245	0	1792	13.7	0.0
Copertura quota inf.	5 - 4	E	-1651 7	22396 1	0.01	0.06	1.12	2825	2694	13436	21.0	0.0	9355	0.01	0.18	1.68	48	638	1645	2.9	0.0
Copertura quota inf.	6 - 5	E	-555	222	0.00	0.20	1.62	1	1	44	1.9	0.0	372	0.01	0.16	1.62	4	4	58	7.4	0.0
Copertura quota inf.	8 - 6	E	-6432	94589	0.01	0.06	0.96	1063	1026	5495	19.4	0.0	6142	0.00	0.12	1.44	15	36	754	1.9	0.0
Copertura quota inf.	7 - 8	E	-8946	14373 8	0.01	0.05	0.96	1603	1574	7633	21.0	0.0	8526	0.00	0.12	1.44	1	16	1048	0.1	0.0
Copertura quota sup.	2 - 3	E	-7458	19468 31	0.00	0.01	0.32	7033	6958	21209	33.2	0.0	82445 3	0.00	0.00	0.48	946	1183	3312	28.6	0.0
Copertura quota sup.	6 - 2	E	-7341	14306 12	0.00	0.01	0.32	791	0	16397	4.8	0.0	60806 6	0.00	0.01	0.48	2484	0	3246	76.5	0.0
Copertura quota sup.	3 - 4	E	-5587	71575 0	0.00	0.01	0.32	1450	1417	8920	16.3	0.0	24191 8	0.00	0.01	0.48	1020	769	2040	50.0	0.0
Copertura quota sup.	4 - 5	E	-7593	82151 0	0.00	0.01	0.32	4024	0	10653	37.8	0.0	27729 3	0.00	0.01	0.48	201	0	2755	7.3	0.0
Copertura quota sup.	5 - 6	E	-366	21822	0.00	0.01	0.48	12	0	169	7.1	0.0	16364	0.00	0.01	0.48	76	0	134	56.7	0.0

Cond_X_2(-); E(+); S2(-): Sisma X (-); Distribuzione forze: Proporzionale altezze; Eccentricità accidentale (+ 0.05*Ly); Sisma seconda direzione (-)

Imp.	Fili	Stato	N [daN]	k _L [daN/cm]	δ _L [cm]	δ _{L,0} [cm]	δ _{L,u} [cm]	V _L [daN]	V _{L,e} [daN]	V _{L,u} [daN]	%_δ _{L,0}	%_δ _{L,u}	k _t [daN/cm]	δ _t [cm]	δ _{t,0} [cm]	δ _{t,u} [cm]	V _t [daN]	V _{t,e} [daN]	V _{t,u} [daN]	%_δ _{t,0}	%_δ _{t,u}
Primo piano	7 - 1	E	-4340 0	18860 4	0.02	0.10	1.16	3425	0	18712	18.3	0.0	13503	0.36	0.36	1.74	4814	0	4832	99.6	0.0
Primo piano	1 - 9	P	-1297 6	8684	0.36	0.25	1.74	2172	2225	2172	100.0	7.4	5401	0.01	0.31	1.74	38	173	1666	2.3	0.0
Primo piano	1 - 9	P	-3380 4	10255 2	0.36	0.10	1.16	10130	10101	10130	100.0	24.7	15356	0.01	0.28	1.16	168	571	4225	4.0	0.0
Primo piano	2 - 3	E	-4978	1206	0.36	0.37	1.74	435	438	441	98.7	0.0	2701	0.02	0.25	1.74	48	96	677	7.1	0.0
Primo piano	2 - 3	P	-1866 7	49601	0.36	0.13	1.16	6608	6614	6608	100.0	22.2	10803	0.02	0.24	1.16	217	540	2555	8.5	0.0
Primo piano	2 - 3	P	-1645 3	49601	0.36	0.12	1.74	6083	6069	6083	100.0	14.7	10803	0.02	0.22	1.74	260	566	2332	11.2	0.0
Primo piano	2 - 3	P	-6156	5458	0.36	0.18	1.74	980	987	980	100.0	11.6	4567	0.03	0.19	1.74	126	208	888	14.2	0.0
Primo piano	6 - 2	P	-5758 7	34562 0	0.03	0.08	1.56	10161	0	28833	35.2	0.0	40894	0.36	0.21	1.56	8677	0	8677	100.0	10.6
Primo piano	9 - 2	P	-1672 7	32791	0.36	0.15	1.56	4776	4071	4776	100.0	15.2	11019	0.01	0.22	1.56	150	342	2441	6.1	0.0
Primo piano	9 - 2	P	-6723	3576	0.36	0.24	1.56	860	711	860	100.0	9.1	4795	0.02	0.21	1.56	80	134	1011	7.9	0.0
Primo piano	3 - 4	P	-2858 8	23646 0	0.04	0.08	1.74	10258	9516	17759	57.8	0.0	16364	0.35	0.22	1.74	3575	3707	3575	100.0	8.9
Primo piano	4 - 5	P	-4106 3	27961 7	0.35	0.08	1.16	23131	0	23131	100.0	25.0	18984	0.00	0.28	1.16	93	0	5320	1.7	0.0
Primo piano	8 - 6	P	-2022 5	10108 8	0.35	0.09	1.04	9340	8811	9340	100.0	27.5	10321	0.02	0.25	1.04	202	361	2625	7.7	0.0
Primo piano	7 - 8	P	-3214 5	13835 6	0.35	0.10	1.16	14191	14204	14191	100.0	23.7	10563	0.01	0.34	1.16	144	482	3575	4.0	0.0
Sottotetto	7 - 1	P	-2209 5	15543 4	0.01	0.08	1.68	1871	0	12250	15.3	0.0	6785	0.32	0.31	1.68	2071	0	2071	100.0	1.1
Sottotetto	1 - 9	P	-6703	11296	0.33	0.13	1.68	1474	1475	1474	100.0	12.6	3454	0.00	0.22	1.68	8	91	758	1.0	0.0
Sottotetto	1 - 9	P	-1541 6	85866	0.33	0.08	1.12	6410	6376	6410	100.0	23.9	8426	0.01	0.20	1.12	61	343	1711	3.6	0.0
Sottotetto	2 - 3	P	-1693 6	12840 0	0.33	0.07	1.12	8996	8939	8996	100.0	24.3	10610	0.02	0.19	1.12	187	542	1972	9.5	0.0
Sottotetto	2 - 3	P	-8670	41964	0.33	0.08	1.68	3464	3435	3464	100.0	15.2	5922	0.02	0.18	1.68	140	295	1039	13.5	0.0
Sottotetto	2 - 3	P	-4109	7786	0.33	0.11	1.68	840	840	840	100.0	13.8	3005	0.03	0.17	1.68	84	138	497	16.9	0.0
Sottotetto	6 - 2	P	-3126 3	25182 8	0.03	0.07	1.50	6565	0	18403	35.7	0.0	20779	0.32	0.19	1.50	3993	0	3993	100.0	9.6
Sottotetto	6 - 2	P	-4642	8031	0.03	0.12	1.50	209	0	924	22.7	0.0	3759	0.32	0.16	1.50	605	0	605	100.0	12.2
Sottotetto	9 - 2	P	-7798	28174	0.33	0.09	1.50	2492	2115	2492	100.0	16.8	6152	0.01	0.16	1.50	65	165	997	6.5	0.0
Sottotetto	9 - 2	P	-3638	4388	0.33	0.13	1.50	581	477	581	100.0	14.1	3018	0.01	0.16	1.50	44	74	474	9.2	0.0
Sottotetto	3 - 4	P	-2019 5	19237 7	0.04	0.07	1.68	8181	7666	13254	61.7	0.0	8162	0.32	0.24	1.68	1963	2076	1963	100.0	5.4
Sottotetto	4 - 5	P	-2999 7	22396 1	0.31	0.08	1.12	16966	0	16966	100.0	22.8	9355	0.00	0.00	1.12	0	0	0	100.0	0.2
Sottotetto	5 - 6	P	-1110	200	0.03	0.40	1.68	5	0	80	6.5	0.0	334	0.31	0.31	1.68	104	0	104	100.0	0.2
Sottotetto	8 - 6	C	-1247 8	82547	1.00	0.08	1.00	6786	6417	6786	100.0	100.0	5154	0.02	0.25	1.00	85	224	1306	6.5	0.0
Sottotetto	7 - 8	P	-1881 9	11277 6	0.31	0.09	1.12	9803	9811	9803	100.0	22.1	5228	0.01	0.33	1.12	68	173	1727	3.9	0.0
Coperatura quota inf.	1 - 7	E	-8374	28972 5	0.01	0.03	0.64	1902	1891	8678	21.9	0.0	33610	0.01	0.04	0.96	292	246	1496	19.5	0.0
Coperatura quota inf.	9 - 1	P	-5886	11394 39	0.01	0.01	0.48	9104	0	13035	69.8	0.0	48648 9	0.01	0.01	0.48	2508	0	2508	100.0	0.1
Coperatura quota inf.	3 - 2	E	-1238 2	15536 40	0.01	0.01	0.40	12417	0	23184	53.6	0.0	49765 8	0.00	0.01	0.60	1286	0	4363	29.5	0.0
Coperatura quota inf.	6 - 2	E	-1326 2	33107 8	0.00	0.04	0.75	1349	0	12988	10.4	0.0	43272	0.01	0.06	1.13	392	0	2407	16.3	0.0
Coperatura quota inf.	6 - 2	E	-1284	79382	0.00	0.01	0.56	324	0	732	44.2	0.0	49678	0.01	0.01	0.56	398	0	479	83.2	0.0
Coperatura quota inf.	2 - 9	E	-4635	80946 9	0.01	0.01	0.32	6468	0	9592	67.4	0.0	34964 0	0.00	0.01	0.48	1527	0	2046	74.6	0.0
Coperatura quota inf.	4 - 3	E	-1135 4	29373 3	0.00	0.04	0.76	494	0	10834	4.6	0.0	24960	0.01	0.07	1.14	225	0	1697	13.3	0.0
Coperatura quota inf.	5 - 4	E	-1516 5	22396 1	0.01	0.06	1.12	2294	2235	13052	17.6	0.0	9355	0.00	0.16	1.68	16	400	1524	1.0	0.0
Coperatura quota inf.	6 - 5	E	-511	222	0.00	0.18	1.62	1	1	41	2.2	0.0	372	0.01	0.14	1.62	4	4	53	6.8	0.0
Coperatura	8 - 6	E	-5921	94589	0.01	0.06	0.96	921	883	5346	17.2	0.0	6142	0.00	0.11	1.44	27	44	697	3.9	0.0

quota inf.																					
Copertura quota inf.	7 - 8	E	-8219	143738	0.01	0.05	0.96	1391	1358	7421	18.7	0.0	8526	0.01	0.11	1.44	49	57	968	5.0	0.0
Copertura quota sup.	2 - 3	E	-8041	1946831	0.00	0.01	0.32	7313	7249	21452	34.1	0.0	824453	0.00	0.00	0.48	727	1011	3569	20.4	0.0
Copertura quota sup.	6 - 2	E	-7335	1430612	0.00	0.01	0.32	2143	0	16394	13.1	0.0	608066	0.00	0.01	0.48	2478	0	3244	76.4	0.0
Copertura quota sup.	3 - 4	E	-5452	715750	0.00	0.01	0.32	391	376	8871	4.4	0.0	241918	0.00	0.01	0.48	1010	751	1992	50.7	0.0
Copertura quota sup.	4 - 5	E	-7169	821510	0.00	0.01	0.32	3811	0	10502	36.3	0.0	277293	0.00	0.01	0.48	134	0	2610	5.1	0.0
Copertura quota sup.	5 - 6	E	-348	21822	0.00	0.01	0.48	33	0	161	20.3	0.0	16364	0.00	0.01	0.48	73	0	127	57.2	0.0

Cond X 2(-); E(-); S2(+): Sisma X (-); Distribuzione forze: Proporzionale altezze; Eccentricità accidentale (-0.05*Ly); Sisma seconda direzione (+)

Imp.	Fili	Stato	N [daN]	k _L [daN/cm]	δ _L [cm]	δ _{L,0} [cm]	δ _{L,u} [cm]	V _L [daN]	V _{L,e} [daN]	V _{L,u} [daN]	% δ _{L,0}	% δ _{L,u}	k _t [daN/cm]	δ _t [cm]	δ _{t,0} [cm]	δ _{t,u} [cm]	V _t [daN]	V _{t,e} [daN]	V _{t,u} [daN]	% δ _{t,0}	% δ _{t,u}
Primo piano	7 - 1	P	-44903	188604	0.05	0.10	1.74	9445	0	18989	49.7	0.0	13503	0.37	0.37	1.74	4958	0	4958	100.0	0.3
Primo piano	1 - 9	P	-9658	8684	0.38	0.20	1.74	1709	1705	1709	100.0	11.9	5401	0.04	0.24	1.74	195	308	1310	14.9	0.0
Primo piano	1 - 9	P	-23830	102552	0.38	0.09	1.16	9002	8910	9002	100.0	27.2	15356	0.03	0.22	1.16	454	769	3317	13.7	0.0
Primo piano	2 - 3	P	-3055	1206	0.38	0.24	1.74	291	295	291	100.0	9.2	2701	0.02	0.16	1.74	48	91	446	10.8	0.0
Primo piano	2 - 3	P	-10757	49601	0.38	0.09	1.74	4690	4672	4690	100.0	17.2	10803	0.01	0.17	1.74	151	378	1797	8.4	0.0
Primo piano	2 - 3	P	-8159	49601	0.38	0.09	1.74	4256	4236	4256	100.0	17.7	10803	0.01	0.15	1.74	80	294	1626	4.9	0.0
Primo piano	2 - 3	P	-2509	5458	0.38	0.10	1.74	569	571	569	100.0	16.7	4567	0.00	0.11	1.74	8	67	516	1.5	0.0
Primo piano	6 - 2	P	-61371	345620	0.03	0.09	1.56	10886	0	29589	36.8	0.0	40894	0.37	0.22	1.56	9129	0	9129	100.0	11.0
Primo piano	9 - 2	P	-11270	32791	0.38	0.11	1.56	3543	3013	3543	100.0	18.7	11019	0.03	0.16	1.56	276	395	1811	15.2	0.0
Primo piano	9 - 2	P	-4251	3576	0.38	0.17	1.56	593	491	593	100.0	15.3	4795	0.02	0.15	1.56	96	136	696	13.7	0.0
Primo piano	3 - 4	P	-29144	236460	0.02	0.08	1.74	3798	3043	17874	21.2	0.0	16364	0.37	0.22	1.74	3628	3724	3628	100.0	9.7
Primo piano	4 - 5	P	-61287	279617	0.36	0.09	1.16	26238	0	26238	100.0	25.2	18984	0.02	0.36	1.16	356	0	6761	5.3	0.0
Primo piano	8 - 6	C	-26939	101088	1.04	0.10	1.04	10397	9822	10397	100.0	100.0	10321	0.03	0.31	1.04	287	475	3187	9.0	0.0
Primo piano	7 - 8	P	-42359	138356	0.37	0.11	1.16	15879	15821	15879	100.0	24.0	10563	0.04	0.41	1.16	386	804	4332	8.9	0.0
Sottotetto	7 - 1	E	-22801	155434	0.05	0.08	1.12	7133	0	12406	57.5	0.0	6785	0.28	0.31	1.68	1933	0	2127	90.9	0.0
Sottotetto	1 - 9	P	-5392	11296	0.29	0.11	1.68	1221	1218	1221	100.0	11.7	3454	0.03	0.18	1.68	121	185	628	19.2	0.0
Sottotetto	1 - 9	P	-12054	85866	0.29	0.07	1.12	5753	5686	5753	100.0	20.8	8426	0.03	0.18	1.12	229	416	1411	16.2	0.0
Sottotetto	2 - 3	P	-12266	128400	0.29	0.06	1.12	8061	8083	8061	100.0	21.5	10610	0.02	0.15	1.12	163	469	1611	10.1	0.0
Sottotetto	2 - 3	P	-5926	41964	0.29	0.07	1.68	2643	2625	2643	100.0	13.8	5922	0.01	0.15	1.68	47	173	830	5.6	0.0
Sottotetto	2 - 3	P	-2665	7786	0.29	0.08	1.68	634	633	634	100.0	13.1	3005	0.00	0.12	1.68	9	56	375	2.3	0.0
Sottotetto	6 - 2	P	-33413	251828	0.03	0.07	1.50	7197	0	18886	38.1	0.0	20779	0.28	0.20	1.50	4226	0	4226	100.0	6.1
Sottotetto	6 - 2	P	-3683	8031	0.03	0.09	1.50	230	0	756	30.3	0.0	3759	0.29	0.13	1.50	495	0	495	100.0	11.5
Sottotetto	9 - 2	P	-5968	28174	0.29	0.07	1.50	2020	1707	2020	100.0	15.4	6152	0.02	0.13	1.50	151	180	808	18.7	0.0
Sottotetto	9 - 2	P	-2707	4388	0.29	0.10	1.50	452	368	452	100.0	13.5	3018	0.02	0.12	1.50	60	79	368	16.2	0.0
Sottotetto	3 - 4	P	-20797	192377	0.01	0.07	1.68	2637	2200	13394	19.7	0.0	8162	0.28	0.25	1.68	2012	2120	2012	100.0	2.5
Sottotetto	4 - 5	P	-37446	223961	0.28	0.08	1.12	18349	0	18349	100.0	18.7	9355	0.01	0.36	1.12	106	0	3384	3.1	0.0
Sottotetto	5 - 6	E	-1343	200	0.03	0.47	1.68	6	0	93	6.1	0.0	334	0.28	0.36	1.68	93	0	122	76.2	0.0
Sottotetto	8 - 6	P	-14892	82547	0.28	0.09	1.00	7254	6870	7254	100.0	21.0	5154	0.03	0.29	1.00	136	271	1496	9.1	0.0
Sottotetto	7 - 8	P	-22514	112776	0.28	0.09	1.12	10517	10497	10517	100.0	18.1	5228	0.04	0.38	1.12	199	306	1986	10.0	0.0
Copertura quota inf.	1 - 7	E	-8831	289725	0.00	0.03	0.64	273	278	8820	3.1	0.0	33610	0.01	0.05	0.96	302	254	1573	19.2	0.0
Copertura quota	9 - 1	E	-4513	1139439	0.01	0.01	0.32	8299	0	12562	66.1	0.0	486489	0.00	0.00	0.48	117	0	2011	5.8	0.0

inf.																					
Coper tura quota inf.	3 - 2	E	-1013 0	15536 40	0.01	0.01	0.40	11912	0	22302	53.4	0.0	49765 8	0.01	0.01	0.60	2950	0	3582	82.4	0.0
Coper tura quota inf.	6 - 2	E	-1416 8	33107 8	0.00	0.04	0.75	1272	0	13263	9.6	0.0	43272	0.01	0.06	1.13	420	0	2562	16.4	0.0
Coper tura quota inf.	6 - 2	E	-1182	79382	0.00	0.01	0.56	304	0	675	45.1	0.0	49678	0.01	0.01	0.56	382	0	442	86.4	0.0
Coper tura quota inf.	2 - 9	E	-3660	80946 9	0.01	0.01	0.32	6019	0	9201	65.4	0.0	34964 0	0.00	0.00	0.48	880	0	1622	54.3	0.0
Coper tura quota inf.	4 - 3	E	-1206 2	29373 3	0.01	0.04	0.76	2542	0	11046	23.0	0.0	24960	0.01	0.07	1.14	239	0	1797	13.3	0.0
Coper tura quota inf.	5 - 4	E	-1653 0	22396 1	0.01	0.06	1.12	2708	2583	13439	20.2	0.0	9355	0.00	0.18	1.68	46	610	1646	2.8	0.0
Coper tura quota inf.	6 - 5	E	-555	222	0.00	0.20	1.62	1	1	44	1.9	0.0	372	0.01	0.16	1.62	4	4	58	7.1	0.0
Coper tura quota inf.	8 - 6	E	-6428	94589	0.01	0.06	0.96	1026	989	5494	18.7	0.0	6142	0.00	0.12	1.44	16	36	754	2.1	0.0
Coper tura quota inf.	7 - 8	E	-8931	14373 8	0.01	0.05	0.96	1547	1518	7628	20.3	0.0	8526	0.00	0.12	1.44	3	18	1047	0.3	0.0
Coper tura quota sup.	2 - 3	E	-7483	19468 31	0.00	0.01	0.32	7354	7281	21219	34.7	0.0	82445 3	0.00	0.00	0.48	894	1150	3322	26.9	0.0
Coper tura quota sup.	6 - 2	E	-7255	14306 12	0.00	0.01	0.32	1120	0	16362	6.8	0.0	60806 6	0.00	0.01	0.48	2460	0	3209	76.7	0.0
Coper tura quota sup.	3 - 4	E	-5644	71575 0	0.00	0.01	0.32	1201	1169	8941	13.4	0.0	24191 8	0.00	0.01	0.48	997	749	2060	48.4	0.0
Coper tura quota sup.	4 - 5	E	-7599	82151 0	0.00	0.01	0.32	3757	0	10655	35.3	0.0	27729 3	0.00	0.01	0.48	195	0	2757	7.1	0.0
Coper tura quota sup.	5 - 6	E	-363	21822	0.00	0.01	0.48	17	0	168	10.2	0.0	16364	0.00	0.01	0.48	72	0	133	54.0	0.0

Cond X 2(-); E(-); S2(-) : Sisma X (-); Distribuzione forze: Proporzionale altezze; Eccentricità accidentale (- 0.05*Ly); Sisma seconda direzione (-)

Imp.	Fili	Stato	N [daN]	k _L [daN/cm]	δ _L [cm]	δ _{L,0} [cm]	δ _{L,u} [cm]	V _L [daN]	V _{L,e} [daN]	V _{L,u} [daN]	%_δ _{L,0}	%_δ _{L,u}	k _t [daN/cm]	δ _t [cm]	δ _{t,0} [cm]	δ _{t,u} [cm]	V _t [daN]	V _{t,e} [daN]	V _{t,u} [daN]	%_δ _{t,0}	%_δ _{t,u}
Primo piano	7 - 1	E	-4328 5	18860 4	0.01	0.10	1.16	2672	0	18690	14.3	0.0	13503	0.34	0.36	1.74	4639	0	4823	96.2	0.0
Primo piano	1 - 9	P	-1294 1	8684	0.35	0.25	1.74	2169	2215	2169	100.0	6.7	5401	0.00	0.31	1.74	20	153	1663	1.2	0.0
Primo piano	1 - 9	P	-3374 1	10255 2	0.35	0.10	1.16	10116	10074	10116	100.0	23.6	15356	0.01	0.27	1.16	137	538	4214	3.2	0.0
Primo piano	2 - 3	E	-4978	1206	0.35	0.37	1.74	421	423	441	95.5	0.0	2701	0.02	0.25	1.74	49	95	677	7.2	0.0
Primo piano	2 - 3	P	-1868 0	49601	0.35	0.13	1.16	6610	6592	6610	100.0	21.0	10803	0.02	0.24	1.16	227	545	2556	8.9	0.0
Primo piano	2 - 3	P	-1649 2	49601	0.35	0.12	1.74	6093	6046	6093	100.0	14.0	10803	0.03	0.22	1.74	285	583	2336	12.2	0.0
Primo piano	2 - 3	P	-6181	5458	0.35	0.18	1.74	983	982	983	100.0	10.8	4567	0.03	0.20	1.74	141	220	891	15.8	0.0
Primo piano	6 - 2	P	-5758 8	34562 0	0.03	0.08	1.56	10031	0	28833	34.8	0.0	40894	0.34	0.21	1.56	8676	0	8676	100.0	9.6
Primo piano	9 - 2	P	-1670 6	32791	0.35	0.15	1.56	4773	4101	4773	100.0	14.4	11019	0.01	0.22	1.56	137	330	2440	5.6	0.0
Primo piano	9 - 2	P	-6720	3576	0.35	0.24	1.56	860	708	860	100.0	8.2	4795	0.02	0.21	1.56	79	132	1010	7.8	0.0
Primo piano	3 - 4	P	-2872 6	23646 0	0.05	0.08	1.74	10990	10271	17778	61.8	0.0	16364	0.34	0.22	1.74	3584	3765	3584	100.0	8.0
Primo piano	4 - 5	P	-4115 3	27961 7	0.34	0.08	1.16	23118	0	23118	100.0	23.7	18984	0.00	0.28	1.16	34	0	5314	0.6	0.0
Primo piano	8 - 6	P	-2021 4	10108 8	0.34	0.09	1.04	9338	8826	9338	100.0	26.0	10321	0.02	0.25	1.04	193	355	2624	7.4	0.0
Primo piano	7 - 8	P	-3208 6	13835 6	0.34	0.10	1.16	14185	14162	14185	100.0	22.3	10563	0.01	0.34	1.16	116	456	3572	3.2	0.0
Sottot etto	7 - 1	P	-2201 1	15543 4	0.01	0.08	1.68	1282	0	12230	10.5	0.0	6785	0.63	0.30	1.68	2063	0	2063	100.0	23.5
Sottot etto	1 - 9	P	-6675	11296	0.63	0.13	1.68	1468	1481	1468	100.0	32.5	3454	0.01	0.22	1.68	40	80	755	5.3	0.0
Sottot etto	1 - 9	P	-1537 5	85866	0.63	0.08	1.12	6367	6334	6367	100.0	53.4	8426	0.01	0.21	1.12	44	324	1704	2.6	0.0

Sottotetto	2 - 3	P	-1695 3	12840 0	0.63	0.07	1.12	8997	9097	8997	100.0	53.6	10610	0.01	0.19	1.12	80	551	1973	4.0	0.0
Sottotetto	2 - 3	P	-8701	41964	0.63	0.08	1.68	3477	3445	3477	100.0	34.5	5922	0.01	0.18	1.68	88	302	1043	8.5	0.0
Sottotetto	2 - 3	P	-4133	7786	0.63	0.11	1.68	845	843	845	100.0	33.4	3005	0.02	0.17	1.68	61	145	499	12.3	0.0
Sottotetto	6 - 2	P	-3126 1	25182 8	0.03	0.07	1.50	6472	0	18403	35.2	0.0	20779	0.62	0.19	1.50	3993	0	3993	100.0	33.1
Sottotetto	6 - 2	P	-4642	8031	0.03	0.12	1.50	206	0	924	22.3	0.0	3759	0.63	0.16	1.50	605	0	605	100.0	35.2
Sottotetto	9 - 2	P	-7785	28174	0.63	0.09	1.50	2486	2115	2486	100.0	38.6	6152	0.00	0.16	1.50	8	158	994	0.8	0.0
Sottotetto	9 - 2	P	-3638	4388	0.63	0.13	1.50	581	479	581	100.0	36.6	3018	0.00	0.16	1.50	11	73	474	2.3	0.0
Sottotetto	3 - 4	P	-2029 4	19237 7	0.05	0.07	1.68	9234	8225	13278	69.5	0.0	8162	0.62	0.24	1.68	1971	2127	1971	100.0	26.6
Sottotetto	4 - 5	P	-3005 1	22396 1	0.62	0.08	1.12	16983	0	16983	100.0	51.9	9355	0.04	0.00	1.12	0	0	0	100.0	3.2
Sottotetto	5 - 6	P	-1110	200	0.03	0.40	1.12	5	0	80	6.5	0.0	334	0.62	0.00	1.12	0	0	0	100.0	55.3
Sottotetto	8 - 6	C	-1246 7	82547	1.00	0.08	1.00	6784	6439	6784	100.0	100.0	5154	0.01	0.25	1.00	46	220	1305	3.5	0.0
Sottotetto	7 - 8	P	-1877 2	11277 6	0.62	0.09	1.12	9794	9844	9794	100.0	51.7	5228	0.01	0.33	1.12	37	160	1724	2.2	0.0
Copertura quota inf.	1 - 7	E	-8331	28972 5	0.01	0.03	0.64	1699	1690	8665	19.6	0.0	33610	0.01	0.04	0.96	279	235	1488	18.8	0.0
Copertura quota inf.	9 - 1	E	-5784	11394 39	0.01	0.01	0.32	8926	0	13083	68.2	0.0	48648 9	0.01	0.01	0.48	2463	0	2559	96.2	0.0
Copertura quota inf.	3 - 2	E	-1250 5	15536 40	0.01	0.01	0.40	12174	0	23231	52.4	0.0	49765 8	0.00	0.01	0.60	1434	0	4405	32.5	0.0
Copertura quota inf.	6 - 2	E	-1326 2	33107 8	0.00	0.04	0.75	1337	0	12988	10.3	0.0	43272	0.01	0.06	1.13	372	0	2407	15.4	0.0
Copertura quota inf.	6 - 2	E	-1284	79382	0.00	0.01	0.56	321	0	732	43.9	0.0	49678	0.01	0.01	0.56	388	0	479	81.1	0.0
Copertura quota inf.	2 - 9	E	-4612	80946 9	0.01	0.01	0.32	6342	0	9583	66.2	0.0	34964 0	0.00	0.01	0.48	1465	0	2036	71.9	0.0
Copertura quota inf.	4 - 3	E	-1140 1	29373 3	0.00	0.04	0.76	676	0	10848	6.2	0.0	24960	0.01	0.07	1.14	213	0	1704	12.5	0.0
Copertura quota inf.	5 - 4	E	-1518 3	22396 1	0.01	0.06	1.12	2141	2077	13058	16.4	0.0	9355	0.00	0.16	1.68	19	397	1526	1.3	0.0
Copertura quota inf.	6 - 5	E	-511	222	0.00	0.18	1.62	1	1	41	2.2	0.0	372	0.01	0.14	1.62	3	3	53	6.3	0.0
Copertura quota inf.	8 - 6	E	-5917	94589	0.01	0.06	0.96	861	826	5345	16.1	0.0	6142	0.00	0.11	1.44	26	42	697	3.7	0.0
Copertura quota inf.	7 - 8	E	-8202	14373 8	0.01	0.05	0.96	1301	1270	7416	17.5	0.0	8526	0.01	0.11	1.44	45	52	966	4.6	0.0
Copertura quota sup.	2 - 3	E	-8067	19468 31	0.00	0.01	0.32	7605	7539	21463	35.4	0.0	82445 3	0.00	0.00	0.48	769	1063	3580	21.5	0.0
Copertura quota sup.	6 - 2	E	-7243	14306 12	0.00	0.01	0.32	1807	0	16357	11.0	0.0	60806 6	0.00	0.01	0.48	2442	0	3204	76.2	0.0
Copertura quota sup.	3 - 4	E	-5514	71575 0	0.00	0.01	0.32	641	625	8894	7.2	0.0	24191 8	0.00	0.01	0.48	980	731	2014	48.6	0.0
Copertura quota sup.	4 - 5	E	-7176	82151 0	0.00	0.01	0.32	3535	0	10505	33.7	0.0	27729 3	0.00	0.01	0.48	161	0	2612	6.2	0.0
Copertura quota sup.	5 - 6	E	-344	21822	0.00	0.01	0.48	28	0	160	17.3	0.0	16364	0.00	0.01	0.48	68	0	126	54.1	0.0

Cond_Y_1(+); E(+); S2(+) : Sisma Y (+); Distribuzione forze: Proporzionale masse; Eccentricità accidentale (+ 0.05*L_y); Sisma seconda direzione (+)

Imp.	Fili	Stato	N [daN]	k _L [daN/cm]	δ _L [cm]	δ _{L,0} [cm]	δ _{L,u} [cm]	V _L [daN]	V _{L,e} [daN]	V _{L,u} [daN]	%_δ _{L,0}	%_δ _{L,u}	k _t [daN/cm]	δ _t [cm]	δ _{t,0} [cm]	δ _{t,u} [cm]	V _t [daN]	V _{t,e} [daN]	V _{t,u} [daN]	%_δ _{t,0}	%_δ _{t,u}
Primo piano	7 - 1	P	-2984 8	18860 4	0.39	0.08	1.16	16011	0	16011	100.0	28.8	13503	0.04	0.26	1.16	515	0	3578	14.4	0.0
Primo piano	1 - 9	P	-2841	8684	0.07	0.07	1.74	579	383	647	89.6	0.0	5401	0.40	0.09	1.74	496	518	496	100.0	18.4

Primo piano	1 - 9	P	-9012	10255 2	0.07	0.06	1.16	5774	4338	5774	100.0	0.9	15356	0.41	0.00	1.16	0	1645	0	100.0	35.4
Primo piano	2 - 3	P	-1879	1206	0.07	0.17	1.74	81	61	204	39.6	0.0	2701	0.44	0.12	1.74	313	319	313	100.0	19.8
Primo piano	2 - 3	P	-7898	49601	0.07	0.07	1.16	3321	2085	3401	97.6	0.0	10803	0.45	0.00	1.16	0	1407	0	100.0	38.4
Primo piano	2 - 3	P	-8576	49601	0.07	0.07	1.74	3321	2070	3649	91.0	0.0	10803	0.46	0.13	1.74	1399	1493	1399	100.0	20.6
Primo piano	2 - 3	P	-3871	5458	0.07	0.13	1.74	365	243	689	53.1	0.0	4567	0.47	0.14	1.74	624	644	624	100.0	21.1
Primo piano	6 - 2	C	-6378 7	34562 0	1.04	0.09	1.04	29921	0	29921	100.0	100.0	40894	0.03	0.23	1.04	1372	0	9328	14.7	0.0
Primo piano	9 - 2	P	-5092	32791	0.07	0.06	1.56	1975	1073	1975	100.0	0.4	11019	0.42	0.09	1.56	1009	876	1009	100.0	22.4
Primo piano	9 - 2	P	-2385	3576	0.07	0.11	1.56	239	121	396	60.3	0.0	4795	0.43	0.10	1.56	465	391	465	100.0	22.9
Primo piano	3 - 4	P	-4861 7	23646 0	0.48	0.09	1.16	21774	21730	21774	100.0	36.3	16364	0.03	0.33	1.16	463	586	5441	8.5	0.0
Primo piano	4 - 5	P	-8590 9	27961 7	0.07	0.11	1.16	18963	0	30369	62.4	0.0	18984	0.45	0.00	1.16	0	0	0	100.0	39.1
Primo piano	8 - 6	P	-2947 5	10108 8	0.03	0.11	1.56	3114	2364	10941	28.5	0.0	10321	0.43	0.34	1.56	3466	2955	3466	100.0	7.5
Primo piano	7 - 8	P	-4030 2	13835 6	0.03	0.11	1.74	4331	3446	15774	27.5	0.0	10563	0.41	0.41	1.74	4287	4514	4287	100.0	0.0
Sottotetto	7 - 1	E	-1709 5	15543 4	0.06	0.07	1.12	8600	0	11083	77.6	0.0	6785	0.02	0.24	1.68	119	0	1654	7.2	0.0
Sottotetto	1 - 9	E	-2766	11296	0.02	0.06	1.68	259	244	661	39.2	0.0	3454	0.06	0.10	1.68	191	202	340	56.2	0.0
Sottotetto	1 - 9	E	-7443	85866	0.02	0.05	1.68	1968	1815	4320	45.6	0.0	8426	0.06	0.11	1.68	495	571	911	54.3	0.0
Sottotetto	2 - 3	E	-1122 7	12840 0	0.02	0.06	1.12	2947	2682	7824	37.7	0.0	10610	0.07	0.13	1.68	700	823	1360	51.4	0.0
Sottotetto	2 - 3	E	-6855	41964	0.02	0.07	1.68	963	877	2753	35.0	0.0	5922	0.07	0.14	1.68	415	452	826	50.2	0.0
Sottotetto	2 - 3	E	-3698	7786	0.02	0.10	1.68	179	167	750	23.8	0.0	3005	0.07	0.15	1.68	220	227	444	49.5	0.0
Sottotetto	6 - 2	E	-3435 7	25182 8	0.06	0.08	1.00	16356	0	19102	85.6	0.0	20779	0.02	0.21	1.50	338	0	4331	7.8	0.0
Sottotetto	6 - 2	E	-3221	8031	0.06	0.08	1.50	522	0	663	78.7	0.0	3759	0.02	0.12	1.50	76	0	434	17.5	0.0
Sottotetto	9 - 2	E	-4168	28174	0.02	0.05	1.50	646	511	1424	45.4	0.0	6152	0.06	0.09	1.50	375	325	570	65.9	0.0
Sottotetto	9 - 2	E	-2186	4388	0.02	0.08	1.50	101	79	365	27.6	0.0	3018	0.06	0.10	1.50	192	160	298	64.6	0.0
Sottotetto	3 - 4	E	-2817 2	19237 7	0.07	0.08	1.12	14352	14320	15086	95.1	0.0	8162	0.02	0.32	1.68	128	250	2617	4.9	0.0
Sottotetto	4 - 5	E	-4498 6	22396 1	0.02	0.09	1.12	4564	0	19859	23.0	0.0	9355	0.07	0.42	1.68	635	0	3928	16.2	0.0
Sottotetto	5 - 6	E	-1451	200	0.06	0.50	1.68	13	0	99	13.1	0.0	334	0.01	0.39	1.68	5	0	130	3.5	0.0
Sottotetto	8 - 6	E	-1531 2	82547	0.02	0.09	1.00	1258	1096	7377	17.1	0.0	5154	0.06	0.30	1.50	323	292	1545	20.9	0.0
Sottotetto	7 - 8	E	-2093 2	11277 6	0.01	0.09	1.12	1642	1581	10272	16.0	0.0	5228	0.06	0.36	1.68	303	323	1897	16.0	0.0
Copertura quota inf.	1 - 7	E	-7947	28972 5	0.01	0.03	0.64	2624	2596	8543	30.7	0.0	33610	0.00	0.04	0.96	26	22	1423	1.8	0.0
Copertura quota inf.	9 - 1	P	-1486	11394 39	0.00	0.01	0.48	2095	0	11619	18.0	0.0	48648 9	0.01	0.00	0.48	1116	0	1116	100.0	1.5
Copertura quota inf.	3 - 2	P	-1229 6	15536 40	0.00	0.02	0.40	2866	0	23315	12.3	0.0	49765 8	0.01	0.00	0.40	0	0	0	100.0	3.0
Copertura quota inf.	6 - 2	E	-1451 3	33107 8	0.01	0.04	0.75	3686	0	13366	27.6	0.0	43272	0.00	0.06	1.13	20	0	2621	0.8	0.0
Copertura quota inf.	6 - 2	P	-1144	79382	0.01	0.01	0.56	557	0	557	100.0	0.3	49678	0.00	0.01	0.56	57	0	429	13.2	0.0
Copertura quota inf.	2 - 9	P	-2724	80946 9	0.00	0.01	0.48	1490	0	9015	16.5	0.0	34964 0	0.01	0.00	0.48	1426	0	1426	100.0	1.4
Copertura quota inf.	4 - 3	E	-1347 8	29373 3	0.01	0.04	0.76	3872	0	11458	33.8	0.0	24960	0.00	0.08	1.14	10	0	1989	0.5	0.0
Copertura quota inf.	5 - 4	E	-1750 3	22396 1	0.00	0.06	1.12	373	137	13709	2.7	0.0	9355	0.01	0.19	1.68	113	635	1740	6.5	0.0
Copertura quota inf.	6 - 5	E	-572	222	0.01	0.20	1.62	2	2	46	5.4	0.0	372	0.00	0.16	1.62	0	0	59	0.1	0.0
Copertura quota inf.	8 - 6	E	-6529	94589	0.00	0.06	0.96	22	19	5522	0.4	0.0	6142	0.01	0.12	1.44	66	58	764	8.6	0.0
Copertura quota inf.	7 - 8	E	-8799	14373 8	0.00	0.05	0.96	15	28	7590	0.2	0.0	8526	0.01	0.12	1.44	83	72	1031	8.0	0.0
Copertura	2 - 3	E	-7591	19468 31	0.00	0.01	0.32	1495	1407	21264	7.0	0.0	82445 3	0.00	0.00	0.48	1665	1577	3370	49.4	0.0

quota sup.																					
Copertura quota sup.	6 - 2	E	-6036	14306 12	0.00	0.01	0.32	2593	0	15866	16.3	0.0	60806 6	0.00	0.00	0.48	324	0	2677	12.1	0.0
Copertura quota sup.	3 - 4	E	-6523	71575 0	0.00	0.01	0.32	1634	1612	9258	17.7	0.0	24191 8	0.00	0.01	0.48	113	100	2370	4.8	0.0
Copertura quota sup.	4 - 5	E	-7867	82151 0	0.00	0.01	0.32	440	0	10749	4.1	0.0	27729 3	0.00	0.01	0.48	554	0	2853	19.4	0.0
Copertura quota sup.	5 - 6	E	-327	21822	0.00	0.01	0.48	40	0	152	26.0	0.0	16364	0.00	0.01	0.48	6	0	120	4.9	0.0

Cond_Y_1(+); E(+); S2(-) : Sisma Y (+); Distribuzione forze: Proporzionale masse; Eccentricità accidentale (+ 0.05*L_y); Sisma seconda direzione (-)

Imp.	Fili	Stato	N [daN]	k _L [daN/cm]	δ _L [cm]	δ _{L,0} [cm]	δ _{L,u} [cm]	V _L [daN]	V _{L,e} [daN]	V _{L,u} [daN]	%_δ _{L,0}	%_δ _{L,u}	k _t [daN/cm]	δ _t [cm]	δ _{t,0} [cm]	δ _{t,u} [cm]	V _t [daN]	V _{t,e} [daN]	V _{t,u} [daN]	%_δ _{t,0}	%_δ _{t,u}
Primo piano	7 - 1	P	-3591 1	18860 4	0.42	0.09	1.16	17139	0	17139	100.0	31.1	13503	0.02	0.30	1.16	309	0	4105	7.5	0.0
Primo piano	1 - 9	P	-4200	8684	0.02	0.10	1.74	190	200	871	21.9	0.0	5401	0.43	0.12	1.74	668	681	668	100.0	18.7
Primo piano	1 - 9	P	-1100 9	10255 2	0.02	0.07	1.74	2349	2248	6717	35.0	0.0	15356	0.44	0.12	1.74	1811	1918	1811	100.0	19.9
Primo piano	2 - 3	P	-1645	1206	0.02	0.16	1.74	30	34	194	15.5	0.0	2701	0.47	0.11	1.74	297	300	297	100.0	21.9
Primo piano	2 - 3	P	-6209	49601	0.03	0.06	1.74	1264	1105	3040	41.6	0.0	10803	0.48	0.11	1.74	1166	1218	1166	100.0	22.5
Primo piano	2 - 3	P	-5547	49601	0.03	0.06	1.74	1314	1109	2946	44.6	0.0	10803	0.49	0.10	1.74	1129	1182	1129	100.0	23.6
Primo piano	2 - 3	P	-2106	5458	0.03	0.09	1.74	149	132	512	29.2	0.0	4567	0.50	0.10	1.74	464	474	464	100.0	24.5
Primo piano	6 - 2	C	-6420 9	34562 0	1.04	0.09	1.04	29972	0	29972	100.0	100.0	40894	0.03	0.23	1.04	1119	0	9358	12.0	0.0
Primo piano	9 - 2	P	-5474	32791	0.02	0.06	1.56	776	628	2098	37.0	0.0	11019	0.45	0.10	1.56	1072	908	1072	100.0	24.2
Primo piano	9 - 2	P	-2215	3576	0.02	0.11	1.56	87	74	388	22.5	0.0	4795	0.46	0.10	1.56	456	382	456	100.0	25.1
Primo piano	3 - 4	P	-4164 1	23646 0	0.51	0.09	1.16	20671	20645	20671	100.0	39.2	16364	0.02	0.30	1.16	404	566	4931	8.2	0.0
Primo piano	4 - 5	P	-8385 6	27961 7	0.10	0.11	1.16	27734	0	30057	92.3	0.0	18984	0.48	0.00	1.16	0	0	0	100.0	41.3
Primo piano	8 - 6	P	-3086 9	10108 8	0.05	0.11	1.56	4906	3658	11163	43.9	0.0	10321	0.46	0.35	1.56	3575	3105	3575	100.0	9.0
Primo piano	7 - 8	P	-4460 0	13835 6	0.05	0.12	1.74	6663	5427	16498	40.4	0.0	10563	0.44	0.43	1.74	4594	4883	4594	100.0	0.0
Sottotetto	7 - 1	E	-1910 7	15543 4	0.06	0.07	1.12	9154	0	11567	79.1	0.0	6785	0.02	0.27	1.68	108	0	1825	5.9	0.0
Sottotetto	1 - 9	E	-3307	11296	0.02	0.07	1.68	170	155	784	21.7	0.0	3454	0.06	0.12	1.68	204	211	403	50.6	0.0
Sottotetto	1 - 9	E	-8144	85866	0.02	0.05	1.68	1310	1149	4705	27.8	0.0	8426	0.06	0.12	1.68	520	573	992	52.4	0.0
Sottotetto	2 - 3	E	-1046 4	12840 0	0.02	0.06	1.68	2012	1742	7604	26.5	0.0	10610	0.07	0.12	1.68	716	805	1273	56.2	0.0
Sottotetto	2 - 3	E	-5909	41964	0.02	0.06	1.68	667	580	2395	27.8	0.0	5922	0.07	0.12	1.68	419	445	718	58.3	0.0
Sottotetto	2 - 3	E	-3024	7786	0.02	0.08	1.68	125	113	622	20.1	0.0	3005	0.07	0.12	1.68	220	225	368	59.8	0.0
Sottotetto	6 - 2	E	-3455 8	25182 8	0.07	0.08	1.00	16766	0	19147	87.6	0.0	20779	0.02	0.21	1.50	352	0	4352	8.1	0.0
Sottotetto	6 - 2	E	-3145	8031	0.07	0.08	1.50	535	0	648	82.5	0.0	3759	0.01	0.11	1.50	52	0	424	12.2	0.0
Sottotetto	9 - 2	E	-4320	28174	0.02	0.05	1.50	434	328	1473	29.4	0.0	6152	0.06	0.10	1.50	391	330	589	66.4	0.0
Sottotetto	9 - 2	E	-2135	4388	0.02	0.08	1.50	68	53	357	19.1	0.0	3018	0.07	0.10	1.50	198	163	291	68.1	0.0
Sottotetto	3 - 4	E	-2592 8	19237 7	0.07	0.08	1.12	14298	14265	14591	98.0	0.0	8162	0.02	0.30	1.68	134	256	2445	5.5	0.0
Sottotetto	4 - 5	E	-4430 0	22396 1	0.03	0.09	1.12	6206	0	19729	31.5	0.0	9355	0.07	0.41	1.68	633	0	3882	16.3	0.0
Sottotetto	5 - 6	E	-1471	200	0.07	0.50	1.68	13	0	100	13.2	0.0	334	0.02	0.39	1.68	6	0	131	4.9	0.0
Sottotetto	8 - 6	E	-1574 4	82547	0.02	0.09	1.00	1666	1479	7464	22.3	0.0	5154	0.06	0.31	1.50	333	309	1581	21.0	0.0
Sottotetto	7 - 8	E	-2231 3	11277 6	0.02	0.09	1.12	2184	2118	10550	20.7	0.0	5228	0.06	0.38	1.68	319	344	1998	15.9	0.0
Copertura quota inf.	1 - 7	E	-8302	28972 5	0.01	0.03	0.64	1895	1873	8655	21.9	0.0	33610	0.00	0.04	0.96	81	68	1483	5.5	0.0
Copertura quota inf.	9 - 1	P	-2191	11394 39	0.00	0.01	0.48	1047	0	11765	8.9	0.0	48648 9	0.01	0.00	0.48	1191	0	1191	100.0	1.2
Copertura quota inf.	3 - 2	P	-1123 0	15536 40	0.00	0.01	0.40	2049	0	23103	8.9	0.0	49765 8	0.01	0.00	0.40	0	0	0	100.0	3.5
Copertura quota	6 - 2	E	-1456 3	33107 8	0.01	0.04	0.75	3802	0	13381	28.4	0.0	43272	0.00	0.06	1.13	137	0	2630	5.2	0.0

inf.																					
Copertura quota inf.	6 - 2	P	-1138	79382	0.01	0.01	0.56	557	0	557	100.0	0.3	49678	0.00	0.01	0.56	46	0	428	10.7	0.0
Copertura quota inf.	2 - 9	P	-2846	809469	0.00	0.01	0.48	872	0	9029	9.7	0.0	349640	0.01	0.00	0.48	1441	0	1441	100.0	1.3
Copertura quota inf.	4 - 3	E	-13160	293733	0.02	0.04	0.76	4814	0	11367	42.4	0.0	24960	0.00	0.08	1.14	74	0	1953	3.8	0.0
Copertura quota inf.	5 - 4	E	-17437	223961	0.01	0.06	1.12	1459	1187	13691	10.7	0.0	9355	0.01	0.19	1.68	124	845	1734	7.2	0.0
Copertura quota inf.	6 - 5	E	-575	222	0.01	0.21	1.62	3	3	46	5.6	0.0	372	0.00	0.16	1.62	2	2	60	2.8	0.0
Copertura quota inf.	8 - 6	E	-6585	94589	0.00	0.06	0.96	426	394	5539	7.7	0.0	6142	0.01	0.13	1.44	63	65	770	8.2	0.0
Copertura quota inf.	7 - 8	E	-8964	143738	0.00	0.05	0.96	622	600	7638	8.1	0.0	8526	0.01	0.12	1.44	68	65	1049	6.5	0.0
Copertura quota sup.	2 - 3	E	-7492	1946831	0.00	0.01	0.32	876	787	21223	4.1	0.0	824453	0.00	0.00	0.48	1734	1610	3327	52.1	0.0
Copertura quota sup.	6 - 2	E	-6350	1430612	0.00	0.01	0.32	2505	0	15995	15.7	0.0	608066	0.00	0.00	0.48	390	0	2815	13.8	0.0
Copertura quota sup.	3 - 4	E	-6313	715750	0.00	0.01	0.32	1784	1760	9183	19.4	0.0	241918	0.00	0.01	0.48	169	142	2298	7.3	0.0
Copertura quota sup.	4 - 5	E	-7850	821510	0.00	0.01	0.32	1012	0	10743	9.4	0.0	277293	0.00	0.01	0.48	553	0	2847	19.4	0.0
Copertura quota sup.	5 - 6	E	-339	21822	0.00	0.01	0.48	38	0	157	24.3	0.0	16364	0.00	0.01	0.48	15	0	124	12.1	0.0

Cond_Y_1(+); E(-); S2(+) : Sisma Y (+); Distribuzione forze: Proporzionale masse; Eccentricità accidentale (- 0.05*Ly); Sisma seconda direzione (+)

Imp.	Fili	Stato	N [daN]	k _L [daN/cm]	δ _L [cm]	δ _{L,0} [cm]	δ _{L,u} [cm]	V _L [daN]	V _{L,e} [daN]	V _{L,u} [daN]	%_δ _{L,0}	%_δ _{L,u}	k _t [daN/cm]	δ _t [cm]	δ _{t,0} [cm]	δ _{t,u} [cm]	V _t [daN]	V _{t,e} [daN]	V _{t,u} [daN]	%_δ _{t,0}	%_δ _{t,u}
Primo piano	7 - 1	P	-29850	188604	0.42	0.09	1.16	16035	0	16035	100.0	31.5	13503	0.02	0.27	1.16	315	0	3589	8.8	0.0
Primo piano	1 - 9	P	-2855	8684	0.02	0.08	1.74	212	185	730	29.0	0.0	5401	0.42	0.10	1.74	559	572	559	100.0	19.4
Primo piano	1 - 9	P	-9053	102552	0.02	0.06	1.74	2499	2055	6233	40.1	0.0	15356	0.41	0.11	1.74	1681	1765	1681	100.0	18.3
Primo piano	2 - 3	P	-1886	1206	0.02	0.17	1.74	30	31	209	14.2	0.0	2701	0.39	0.12	1.74	321	322	321	100.0	16.4
Primo piano	2 - 3	P	-7926	49601	0.02	0.07	1.74	1219	1010	3408	35.8	0.0	10803	0.38	0.12	1.74	1306	1348	1306	100.0	15.9
Primo piano	2 - 3	P	-8604	49601	0.02	0.07	1.74	1219	1013	3569	34.2	0.0	10803	0.37	0.13	1.74	1368	1401	1368	100.0	14.8
Primo piano	2 - 3	P	-3883	5458	0.02	0.12	1.74	134	120	662	20.3	0.0	4567	0.35	0.13	1.74	600	609	600	100.0	13.8
Primo piano	6 - 2	C	-63773	345620	1.04	0.09	1.04	29899	0	29899	100.0	100.0	40894	0.03	0.23	1.04	1110	0	9315	11.9	0.0
Primo piano	9 - 2	P	-5113	32791	0.02	0.06	1.56	802	576	2075	38.6	0.0	11019	0.40	0.10	1.56	1061	901	1061	100.0	20.7
Primo piano	9 - 2	P	-2394	3576	0.02	0.11	1.56	87	68	407	21.5	0.0	4795	0.39	0.10	1.56	479	397	479	100.0	19.8
Primo piano	3 - 4	P	-48606	236460	0.35	0.09	1.16	21854	21858	21854	100.0	24.3	16364	0.03	0.33	1.16	417	600	5477	7.6	0.0
Primo piano	4 - 5	P	-85830	279617	0.08	0.11	1.16	23287	0	30410	76.6	0.0	18984	0.36	0.00	1.16	0	0	0	100.0	31.3
Primo piano	8 - 6	P	-29451	101088	0.05	0.11	1.56	4581	3695	10943	41.9	0.0	10321	0.39	0.34	1.56	3466	2960	3466	100.0	4.8
Primo piano	7 - 8	P	-40269	138356	0.05	0.11	1.74	6337	5274	15768	40.2	0.0	10563	0.41	0.41	1.74	4284	4627	4284	100.0	0.5
Sottotetto	7 - 1	E	-17097	155434	0.07	0.07	1.12	10587	0	11083	95.5	0.0	6785	0.02	0.24	1.68	109	0	1654	6.6	0.0
Sottotetto	1 - 9	E	-2772	11296	0.02	0.06	1.68	198	180	663	29.9	0.0	3454	0.07	0.10	1.68	233	241	341	68.3	0.0
Sottotetto	1 - 9	E	-7456	85866	0.02	0.05	1.68	1506	1333	4328	34.8	0.0	8426	0.07	0.11	1.68	561	621	912	61.5	0.0
Sottotetto	2 - 3	E	-11242	128400	0.02	0.06	1.12	2257	1997	7827	28.8	0.0	10610	0.06	0.13	1.68	688	785	1362	50.5	0.0
Sottotetto	2 - 3	E	-6863	41964	0.02	0.07	1.68	738	659	2756	26.8	0.0	5922	0.06	0.14	1.68	378	407	827	45.7	0.0
Sottotetto	2 - 3	E	-3701	7786	0.02	0.10	1.68	137	127	751	18.2	0.0	3005	0.06	0.15	1.68	190	196	444	42.7	0.0
Sottotetto	6 - 2	E	-34350	251828	0.07	0.08	1.00	16570	0	19101	86.7	0.0	20779	0.02	0.21	1.50	342	0	4330	7.9	0.0

Sottotetto	6 - 2	E	-3224	8031	0.07	0.08	1.50	528	0	663	79.7	0.0	3759	0.02	0.12	1.50	58	0	434	13.4	0.0
Sottotetto	9 - 2	E	-4175	28174	0.02	0.05	1.50	495	379	1426	34.7	0.0	6152	0.07	0.09	1.50	406	345	570	71.2	0.0
Sottotetto	9 - 2	E	-2189	4388	0.02	0.08	1.50	77	60	365	21.1	0.0	3018	0.07	0.10	1.50	197	163	298	66.2	0.0
Sottotetto	3 - 4	E	-28165	192377	0.06	0.08	1.12	12243	12211	15085	81.2	0.0	8162	0.02	0.32	1.68	130	235	2616	5.0	0.0
Sottotetto	4 - 5	E	-44959	223961	0.02	0.09	1.12	5493	0	19854	27.7	0.0	9355	0.06	0.42	1.68	583	0	3926	14.8	0.0
Sottotetto	5 - 6	E	-1450	200	0.07	0.50	1.68	13	0	99	13.2	0.0	334	0.02	0.39	1.68	6	0	129	4.4	0.0
Sottotetto	8 - 6	E	-15304	82547	0.02	0.09	1.00	1519	1338	7375	20.6	0.0	5154	0.07	0.30	1.50	340	311	1545	22.0	0.0
Sottotetto	7 - 8	E	-20922	112776	0.02	0.09	1.12	1992	1920	10270	19.4	0.0	5228	0.07	0.36	1.68	352	376	1897	18.5	0.0
Copertura quota inf.	1 - 7	E	-7965	289725	0.01	0.03	0.64	3290	3258	8549	38.5	0.0	33610	0.00	0.04	0.96	43	36	1426	3.0	0.0
Copertura quota inf.	9 - 1	P	-1529	1139439	0.00	0.01	0.48	1830	0	11733	15.6	0.0	486489	0.01	0.00	0.48	1159	0	1159	100.0	1.9
Copertura quota inf.	3 - 2	P	-12248	1553640	0.00	0.01	0.40	2504	0	23274	10.8	0.0	497658	0.01	0.00	0.40	0	0	0	100.0	2.8
Copertura quota inf.	6 - 2	E	-14513	331078	0.01	0.04	0.75	3708	0	13366	27.7	0.0	43272	0.00	0.06	1.13	57	0	2621	2.2	0.0
Copertura quota inf.	6 - 2	P	-1145	79382	0.01	0.01	0.56	554	0	554	100.0	0.3	49678	0.00	0.01	0.56	52	0	429	12.2	0.0
Copertura quota inf.	2 - 9	P	-2734	809469	0.00	0.01	0.48	1302	0	9031	14.4	0.0	349640	0.01	0.00	0.48	1443	0	1443	100.0	1.5
Copertura quota inf.	4 - 3	E	-13458	293733	0.01	0.04	0.76	3244	0	11453	28.3	0.0	24960	0.00	0.08	1.14	31	0	1988	1.5	0.0
Copertura quota inf.	5 - 4	E	-17494	223961	0.00	0.06	1.12	588	371	13706	4.3	0.0	9355	0.01	0.19	1.68	102	608	1739	5.9	0.0
Copertura quota inf.	6 - 5	E	-572	222	0.01	0.20	1.62	2	2	46	5.5	0.0	372	0.00	0.16	1.62	1	1	59	0.9	0.0
Copertura quota inf.	8 - 6	E	-6530	94589	0.00	0.06	0.96	150	125	5523	2.7	0.0	6142	0.01	0.12	1.44	69	64	764	9.0	0.0
Copertura quota inf.	7 - 8	E	-8805	143738	0.00	0.05	0.96	210	191	7592	2.8	0.0	8526	0.01	0.12	1.44	96	86	1032	9.3	0.0
Copertura quota sup.	2 - 3	E	-7576	1946831	0.00	0.01	0.32	1286	1200	21258	6.0	0.0	824453	0.00	0.00	0.48	1633	1538	3364	48.6	0.0
Copertura quota sup.	6 - 2	E	-6085	1430612	0.00	0.01	0.32	2802	0	15886	17.6	0.0	608066	0.00	0.00	0.48	342	0	2699	12.7	0.0
Copertura quota sup.	3 - 4	E	-6490	715750	0.00	0.01	0.32	1468	1446	9246	15.9	0.0	241918	0.00	0.01	0.48	130	110	2358	5.5	0.0
Copertura quota sup.	4 - 5	E	-7864	821510	0.00	0.01	0.32	610	0	10748	5.7	0.0	277293	0.00	0.01	0.48	536	0	2852	18.8	0.0
Copertura quota sup.	5 - 6	E	-329	21822	0.00	0.01	0.48	43	0	153	28.0	0.0	16364	0.00	0.01	0.48	9	0	121	7.2	0.0

Cond_Y_1(+); E(-); S2(-): Sisma Y (+); Distribuzione forze: Proporzionale masse; Eccentricità accidentale (-0.05*Ly); Sisma seconda direzione (-)

Imp.	Fili	Stato	N [daN]	k _L [daN/cm]	δ _L [cm]	δ _{L,0} [cm]	δ _{L,u} [cm]	V _L [daN]	V _{L,e} [daN]	V _{L,u} [daN]	%_δ _{L,0}	%_δ _{L,u}	k _t [daN/cm]	δ _t [cm]	δ _{t,0} [cm]	δ _{t,u} [cm]	V _t [daN]	V _{t,e} [daN]	V _{t,u} [daN]	%_δ _{t,0}	%_δ _{t,u}
Primo piano	7 - 1	P	-35860	188604	0.46	0.09	1.16	16982	0	16982	100.0	34.6	13503	0.04	0.30	1.16	519	0	4032	12.9	0.0
Primo piano	1 - 9	P	-4234	8684	0.07	0.11	1.74	599	385	924	64.8	0.0	5401	0.46	0.13	1.74	708	732	708	100.0	20.2
Primo piano	1 - 9	P	-11123	102552	0.07	0.07	1.74	6970	4383	7095	98.2	0.0	15356	0.44	0.12	1.74	1913	2110	1913	100.0	19.6
Primo piano	2 - 3	P	-1670	1206	0.07	0.16	1.74	80	64	197	40.6	0.0	2701	0.41	0.11	1.74	303	310	303	100.0	18.5
Primo piano	2 - 3	P	-6316	49601	0.07	0.06	1.74	3034	2264	3034	100.0	0.3	10803	0.41	0.11	1.74	1163	1268	1163	100.0	18.2
Primo piano	2 - 3	P	-5667	49601	0.06	0.06	1.74	2789	2374	2789	100.0	0.5	10803	0.39	0.10	1.74	1069	1180	1069	100.0	17.7

Relazione di calcolo - Comune di Palazzo Adriano

Primo piano	2 - 3	P	-2161	5458	0.06	0.08	1.74	349	279	461	75.7	0.0	4567	0.38	0.09	1.74	418	437	418	100.0	17.3
Primo piano	6 - 2	C	-6416 0	34562 0	1.04	0.09	1.04	29943	0	29943	100.0	100.0	40894	0.03	0.23	1.04	1388	0	9341	14.9	0.0
Primo piano	9 - 2	P	-5540	32791	0.07	0.07	1.56	2203	1062	2203	100.0	0.0	11019	0.43	0.10	1.56	1126	973	1126	100.0	22.5
Primo piano	9 - 2	P	-2247	3576	0.07	0.11	1.56	238	122	400	59.5	0.0	4795	0.42	0.10	1.56	470	396	470	100.0	21.9
Primo piano	3 - 4	P	-4167 1	23646 0	0.38	0.09	1.16	20610	20637	20610	100.0	26.9	16364	0.03	0.30	1.16	483	653	4902	9.9	0.0
Primo piano	4 - 5	P	-8361 4	27961 7	0.06	0.11	1.16	17158	0	30067	57.1	0.0	18984	0.39	0.00	1.16	0	0	0	100.0	33.8
Primo piano	8 - 6	P	-3077 8	10108 8	0.03	0.11	1.56	3158	2109	11154	28.3	0.0	10321	0.43	0.35	1.56	3571	3074	3571	100.0	6.6
Primo piano	7 - 8	P	-4445 0	13835 6	0.03	0.12	1.74	4519	3249	16473	27.4	0.0	10563	0.45	0.43	1.74	4584	4968	4584	100.0	1.0
Sottotetto	7 - 1	E	-1908 6	15543 4	0.07	0.07	1.12	11132	0	11562	96.3	0.0	6785	0.02	0.27	1.68	117	0	1824	6.4	0.0
Sottotetto	1 - 9	E	-3319	11296	0.02	0.07	1.68	240	221	786	30.5	0.0	3454	0.07	0.12	1.68	244	254	404	60.3	0.0
Sottotetto	1 - 9	E	-8180	85866	0.02	0.06	1.68	1815	1635	4724	38.4	0.0	8426	0.07	0.12	1.68	581	653	996	58.3	0.0
Sottotetto	2 - 3	E	-1052 6	12840 0	0.02	0.06	1.68	2689	2425	7646	35.2	0.0	10610	0.07	0.12	1.68	695	808	1280	54.3	0.0
Sottotetto	2 - 3	E	-5948	41964	0.02	0.06	1.68	873	795	2410	36.2	0.0	5922	0.06	0.12	1.68	376	410	723	52.0	0.0
Sottotetto	2 - 3	E	-3046	7786	0.02	0.08	1.68	161	151	626	25.8	0.0	3005	0.06	0.12	1.68	186	193	370	50.4	0.0
Sottotetto	6 - 2	E	-3453 1	25182 8	0.07	0.08	1.00	16866	0	19141	88.1	0.0	20779	0.02	0.21	1.50	344	0	4349	7.9	0.0
Sottotetto	6 - 2	E	-3157	8031	0.07	0.08	1.50	538	0	650	82.7	0.0	3759	0.02	0.11	1.50	69	0	426	16.3	0.0
Sottotetto	9 - 2	E	-4341	28174	0.02	0.05	1.50	594	462	1480	40.1	0.0	6152	0.07	0.10	1.50	417	357	592	70.5	0.0
Sottotetto	9 - 2	E	-2147	4388	0.02	0.08	1.50	92	72	359	25.7	0.0	3018	0.07	0.10	1.50	201	166	293	68.7	0.0
Sottotetto	3 - 4	E	-2593 6	19237 7	0.06	0.08	1.12	12025	11992	14592	82.4	0.0	8162	0.02	0.30	1.68	131	234	2443	5.4	0.0
Sottotetto	4 - 5	E	-4421 4	22396 1	0.02	0.09	1.12	4927	0	19713	25.0	0.0	9355	0.06	0.41	1.68	585	0	3876	15.1	0.0
Sottotetto	5 - 6	E	-1468	200	0.07	0.50	1.68	13	0	100	13.3	0.0	334	0.02	0.39	1.68	5	0	131	3.9	0.0
Sottotetto	8 - 6	E	-1571 2	82547	0.02	0.09	1.00	1392	1215	7457	18.7	0.0	5154	0.07	0.31	1.50	348	316	1578	22.1	0.0
Sottotetto	7 - 8	E	-2225 9	11277 6	0.02	0.09	1.12	1823	1748	10540	17.3	0.0	5228	0.07	0.38	1.68	367	389	1994	18.4	0.0
Coper tura quota inf.	1 - 7	E	-8311	28972 5	0.01	0.03	0.64	2581	2553	8658	29.8	0.0	33610	0.00	0.04	0.96	62	52	1485	4.2	0.0
Coper tura quota inf.	9 - 1	P	-2233	11394 39	0.00	0.01	0.48	1448	0	11804	12.3	0.0	48648 9	0.01	0.00	0.48	1229	0	1229	100.0	1.5
Coper tura quota inf.	3 - 2	P	-1121 4	15536 40	0.00	0.01	0.40	2295	0	23054	10.0	0.0	49765 8	0.01	0.00	0.40	0	0	0	100.0	3.1
Coper tura quota inf.	6 - 2	E	-1455 5	33107 8	0.01	0.04	0.75	3783	0	13378	28.3	0.0	43272	0.00	0.06	1.13	96	0	2628	3.7	0.0
Coper tura quota inf.	6 - 2	P	-1139	79382	0.01	0.01	0.56	554	0	554	100.0	0.3	49678	0.00	0.01	0.56	49	0	428	11.5	0.0
Coper tura quota inf.	2 - 9	P	-2861	80946 9	0.00	0.01	0.48	1095	0	9045	12.1	0.0	34964 0	0.01	0.00	0.48	1457	0	1457	100.0	1.4
Coper tura quota inf.	4 - 3	E	-1314 0	29373 3	0.01	0.04	0.76	4091	0	11361	36.0	0.0	24960	0.00	0.08	1.14	52	0	1954	2.7	0.0
Coper tura quota inf.	5 - 4	E	-1742 0	22396 1	0.00	0.06	1.12	1022	774	13686	7.5	0.0	9355	0.01	0.19	1.68	115	734	1732	6.6	0.0
Coper tura quota inf.	6 - 5	E	-574	222	0.01	0.21	1.62	3	3	46	5.6	0.0	372	0.00	0.16	1.62	1	1	60	1.8	0.0
Coper tura quota inf.	8 - 6	E	-6582	94589	0.00	0.06	0.96	286	258	5538	5.2	0.0	6142	0.01	0.13	1.44	66	64	770	8.6	0.0
Coper tura quota inf.	7 - 8	E	-8962	14373 8	0.00	0.05	0.96	414	393	7637	5.4	0.0	8526	0.01	0.12	1.44	82	75	1049	7.8	0.0
Coper tura quota sup.	2 - 3	E	-7482	19468 31	0.00	0.01	0.32	1073	985	21219	5.1	0.0	82445 3	0.00	0.00	0.48	1683	1573	3322	50.7	0.0
Coper tura quota sup.	6 - 2	E	-6398	14306 12	0.00	0.01	0.32	2699	0	16014	16.9	0.0	60806 6	0.00	0.00	0.48	368	0	2836	13.0	0.0
Coper tura	3 - 4	E	-6280	71575 0	0.00	0.01	0.32	1602	1578	9172	17.5	0.0	24191 8	0.00	0.01	0.48	151	127	2287	6.6	0.0

quota sup.																					
Copertura quota sup.	4 - 5	E	-7844	821510	0.00	0.01	0.32	822	0	10741	7.7	0.0	277293	0.00	0.01	0.48	543	0	2845	19.1	0.0
Copertura quota sup.	5 - 6	E	-340	21822	0.00	0.01	0.48	41	0	158	26.1	0.0	16364	0.00	0.01	0.48	12	0	125	9.7	0.0

Cond. Y 1(-); E(+); S2(+) : **Sisma Y (-); Distribuzione forze: Proporzionale masse; Eccentricità accidentale (+ 0.05*Ly); Sisma seconda direzione (+)**

Imp.	Fili	Stato	N [daN]	k _L [daN/cm]	δ _L [cm]	δ _{L,0} [cm]	δ _{L,u} [cm]	V _L [daN]	V _{L,e} [daN]	V _{L,u} [daN]	%_δ _{L,0}	%_δ _{L,u}	k _t [daN/cm]	δ _t [cm]	δ _{t,0} [cm]	δ _{t,u} [cm]	V _t [daN]	V _{t,e} [daN]	V _{t,u} [daN]	%_δ _{t,0}	%_δ _{t,u}
Primo piano	7 - 1	P	-25310	188604	0.34	0.08	1.16	15198	0	15198	100.0	24.4	13503	0.03	0.24	1.16	376	0	3200	11.7	0.0
Primo piano	1 - 9	P	-11788	8684	0.03	0.23	1.74	294	226	2017	14.6	0.0	5401	0.34	0.29	1.74	1547	1569	1547	100.0	4.0
Primo piano	1 - 9	P	-36059	102552	0.03	0.10	1.74	3513	2418	10678	32.9	0.0	15356	0.35	0.30	1.74	4664	4848	4664	100.0	3.2
Primo piano	2 - 3	P	-7140	1206	0.04	0.49	1.74	42	57	586	7.2	0.0	2701	0.36	0.33	1.74	899	913	899	100.0	1.8
Primo piano	2 - 3	P	-29585	49601	0.04	0.16	1.74	1749	1244	8037	21.8	0.0	10803	0.36	0.34	1.74	3692	3825	3692	100.0	1.4
Primo piano	2 - 3	P	-31409	49601	0.04	0.17	1.74	1767	1285	8254	21.4	0.0	10803	0.37	0.36	1.74	3856	4033	3856	100.0	0.7
Primo piano	2 - 3	P	-13940	5458	0.04	0.34	1.74	196	185	1860	10.5	0.0	4567	0.37	0.37	1.74	1687	1704	1687	100.0	0.1
Primo piano	6 - 2	C	-53439	345620	1.04	0.08	1.04	28189	0	28189	100.0	100.0	40894	0.03	0.20	1.04	1202	0	8290	14.5	0.0
Primo piano	9 - 2	P	-19941	32791	0.03	0.17	1.56	1133	675	5521	20.5	0.0	11019	0.35	0.26	1.56	2822	2350	2822	100.0	7.4
Primo piano	9 - 2	P	-9136	3576	0.03	0.30	1.56	125	95	1088	11.4	0.0	4795	0.36	0.27	1.56	1278	1057	1278	100.0	7.0
Primo piano	3 - 4	P	-47609	236460	0.37	0.09	1.16	21629	21651	21629	100.0	26.4	16364	0.03	0.33	1.16	440	589	5375	8.2	0.0
Primo piano	4 - 5	P	-30925	279617	0.08	0.08	1.16	21065	0	21065	100.0	0.1	18984	0.36	0.00	1.16	0	0	0	100.0	31.0
Primo piano	8 - 6	P	-11068	101088	0.04	0.08	1.56	4141	2880	7588	54.6	0.0	10321	0.35	0.16	1.56	1684	1463	1684	100.0	13.7
Primo piano	7 - 8	P	-12144	138356	0.04	0.07	1.74	5681	4196	10212	55.6	0.0	10563	0.35	0.17	1.74	1747	1910	1747	100.0	11.6
Sottotetto	7 - 1	E	-15269	155434	0.06	0.07	1.12	9306	0	10624	87.6	0.0	6785	0.02	0.22	1.68	108	0	1494	7.2	0.0
Sottotetto	1 - 9	E	-5698	11296	0.02	0.11	1.68	176	160	1297	13.5	0.0	3454	0.06	0.19	1.68	207	214	667	31.0	0.0
Sottotetto	1 - 9	E	-15038	85866	0.02	0.08	1.12	1348	1186	6489	20.8	0.0	8426	0.06	0.21	1.68	524	579	1746	30.0	0.0
Sottotetto	2 - 3	E	-21965	128400	0.02	0.08	1.12	2063	1793	9966	20.7	0.0	10610	0.07	0.24	1.68	712	804	2506	28.4	0.0
Sottotetto	2 - 3	E	-13218	41964	0.02	0.12	1.68	682	596	4976	13.7	0.0	5922	0.07	0.25	1.68	414	441	1493	27.7	0.0
Sottotetto	2 - 3	E	-7064	7786	0.02	0.17	1.68	128	116	1340	9.5	0.0	3005	0.07	0.26	1.68	216	222	792	27.3	0.0
Sottotetto	6 - 2	E	-29429	251828	0.07	0.07	1.00	16736	0	17971	93.1	0.0	20779	0.02	0.18	1.50	350	0	3785	9.2	0.0
Sottotetto	6 - 2	E	-5417	8031	0.07	0.13	1.50	534	0	1062	50.2	0.0	3759	0.01	0.18	1.50	53	0	695	7.7	0.0
Sottotetto	9 - 2	E	-8328	28174	0.02	0.10	1.50	446	339	2692	16.6	0.0	6152	0.06	0.18	1.50	392	332	1077	36.4	0.0
Sottotetto	9 - 2	E	-4316	4388	0.02	0.15	1.50	70	54	680	10.3	0.0	3018	0.07	0.18	1.50	198	163	554	35.7	0.0
Sottotetto	3 - 4	E	-27039	192377	0.07	0.08	1.12	14065	14036	14838	94.8	0.0	8162	0.02	0.31	1.68	133	253	2528	5.3	0.0
Sottotetto	4 - 5	P	-28062	223961	0.03	0.07	1.12	6071	0	16397	37.0	0.0	9355	0.07	0.00	1.12	0	0	0	100.0	6.0
Sottotetto	5 - 6	E	-916	200	0.07	0.34	1.68	13	0	67	19.7	0.0	334	0.02	0.26	1.68	6	0	88	7.1	0.0
Sottotetto	8 - 6	E	-9757	82547	0.02	0.07	1.00	1635	1450	6155	26.6	0.0	5154	0.06	0.20	1.50	333	308	1052	31.7	0.0
Sottotetto	7 - 8	E	-12354	112776	0.02	0.07	1.12	2143	2077	8337	25.7	0.0	5228	0.06	0.23	1.68	322	348	1203	26.8	0.0
Copertura quota inf.	1 - 7	E	-6973	289725	0.01	0.03	0.64	1475	1463	8226	17.9	0.0	33610	0.00	0.04	0.96	72	60	1256	5.7	0.0
Copertura quota inf.	9 - 1	P	-4025	1139439	0.00	0.01	0.48	1150	0	12225	9.4	0.0	486489	0.01	0.00	0.48	1655	0	1655	100.0	0.6
Copertura quota inf.	3 - 2	P	-16947	1553640	0.00	0.02	0.40	2035	0	24849	8.2	0.0	497658	0.01	0.00	0.40	0	0	0	100.0	2.6
Copertura quota inf.	6 - 2	E	-12724	331078	0.01	0.04	0.75	2915	0	12823	22.7	0.0	43272	0.00	0.05	1.13	116	0	2315	5.0	0.0
Copertura quota inf.	6 - 2	E	-1346	79382	0.01	0.01	0.56	699	0	766	91.2	0.0	49678	0.00	0.01	0.56	56	0	501	11.1	0.0
Copertura quota	2 - 9	P	-4608	809469	0.00	0.01	0.48	913	0	9500	9.6	0.0	349640	0.01	0.01	0.48	1946	0	1946	100.0	0.5

inf.	4 - 3	E	-1215 9	29373 3	0.01	0.04	0.76	3671	0	11075	33.1	0.0	24960	0.00	0.07	1.14	64	0	1807	3.5	0.0
Coper tura quota inf.	5 - 4	E	-1484 0	22396 1	0.01	0.06	1.12	1172	963	12959	9.0	0.0	9355	0.01	0.16	1.68	95	653	1493	6.3	0.0
Coper tura quota inf.	6 - 5	E	-484	222	0.01	0.18	1.62	2	2	39	5.0	0.0	372	0.00	0.14	1.62	1	1	51	2.7	0.0
Coper tura quota inf.	8 - 6	E	-5521	94589	0.00	0.06	0.96	350	325	5227	6.7	0.0	6142	0.01	0.11	1.44	49	50	653	7.4	0.0
Coper tura quota inf.	7 - 8	E	-7365	14373 8	0.00	0.05	0.96	514	495	7165	7.2	0.0	8526	0.01	0.10	1.44	53	51	873	6.0	0.0
Coper tura quota sup.	2 - 3	E	-8633	19468 31	0.00	0.01	0.32	874	782	21696	4.0	0.0	82445 3	0.00	0.00	0.48	1710	1602	3827	44.7	0.0
Coper tura quota sup.	6 - 2	E	-6054	14306 12	0.00	0.01	0.32	2466	0	15873	15.5	0.0	60806 6	0.00	0.00	0.48	389	0	2686	14.5	0.0
Coper tura quota sup.	3 - 4	E	-6261	71575 0	0.00	0.01	0.32	1762	1750	9165	19.2	0.0	24191 8	0.00	0.01	0.48	168	142	2278	7.4	0.0
Coper tura quota sup.	4 - 5	E	-7100	82151 0	0.00	0.01	0.32	1007	0	10478	9.6	0.0	27729 3	0.00	0.01	0.48	545	0	2586	21.1	0.0
Coper tura quota sup.	5 - 6	E	-296	21822	0.00	0.01	0.48	38	0	138	27.3	0.0	16364	0.00	0.01	0.48	15	0	109	13.8	0.0

Cond_Y_1(-); E(+); S2(-): Sisma Y (-); Distribuzione forze: Proporzionale masse; Eccentricità accidentale (+ 0.05*Ly); Sisma seconda direzione (-)

Imp.	Fili	Stato	N [daN]	k _L [daN/cm]	δ _L [cm]	δ _{L,0} [cm]	δ _{L,u} [cm]	V _L [daN]	V _{L,e} [daN]	V _{L,u} [daN]	% δ _{L,0}	% δ _{L,u}	k _t [daN/cm]	δ _t [cm]	δ _{t,0} [cm]	δ _{t,u} [cm]	V _t [daN]	V _{t,e} [daN]	V _{t,u} [daN]	% δ _{t,0}	% δ _{t,u}
Primo piano	7 - 1	P	-3128 9	18860 4	0.32	0.09	1.16	16284	0	16284	100.0	21.6	13503	0.04	0.27	1.16	607	0	3706	16.4	0.0
Primo piano	1 - 9	P	-1320 7	8684	0.08	0.25	1.74	727	691	2213	32.8	0.0	5401	0.32	0.31	1.74	1697	1771	1697	100.0	0.5
Primo piano	1 - 9	P	-3825 5	10255 2	0.08	0.11	1.74	8582	7493	10965	78.3	0.0	15356	0.35	0.32	1.74	4891	5244	4891	100.0	2.1
Primo piano	2 - 3	P	-6949	1206	0.08	0.48	1.74	101	111	574	17.6	0.0	2701	0.40	0.33	1.74	879	888	879	100.0	5.1
Primo piano	2 - 3	P	-2808 1	49601	0.08	0.16	1.74	4161	3398	7845	53.0	0.0	10803	0.41	0.33	1.74	3543	3742	3543	100.0	6.0
Primo piano	2 - 3	P	-2858 5	49601	0.08	0.16	1.74	4161	3278	7897	52.7	0.0	10803	0.44	0.33	1.74	3583	3768	3583	100.0	7.8
Primo piano	2 - 3	P	-1226 8	5458	0.08	0.31	1.74	458	389	1686	27.2	0.0	4567	0.46	0.33	1.74	1528	1559	1528	100.0	9.3
Primo piano	6 - 2	C	-5377 7	34562 0	1.04	0.08	1.04	28269	0	28269	100.0	100.0	40894	0.04	0.20	1.04	1499	0	8338	18.0	0.0
Primo piano	9 - 2	P	-2043 8	32791	0.08	0.17	1.56	2746	1909	5650	48.6	0.0	11019	0.37	0.26	1.56	2888	2463	2888	100.0	8.1
Primo piano	9 - 2	P	-9021	3576	0.08	0.30	1.56	299	221	1079	27.8	0.0	4795	0.39	0.26	1.56	1267	1060	1267	100.0	9.6
Primo piano	3 - 4	P	-4068 1	23646 0	0.47	0.09	1.16	20551	20561	20551	100.0	36.0	16364	0.03	0.30	1.16	496	549	4872	10.2	0.0
Primo piano	4 - 5	P	-2845 3	27961 7	0.05	0.08	1.16	15116	0	21613	69.9	0.0	18984	0.43	0.00	1.16	0	0	0	100.0	37.2
Primo piano	8 - 6	P	-1230 5	10108 8	0.02	0.08	1.56	2354	1989	7829	30.1	0.0	10321	0.38	0.18	1.56	1811	1541	1811	100.0	14.7
Primo piano	7 - 8	P	-1618 4	13835 6	0.02	0.08	1.74	3281	2893	11003	29.8	0.0	10563	0.34	0.20	1.74	2098	2241	2098	100.0	9.2
Sottotetto	7 - 1	E	-1720 9	15543 4	0.06	0.07	1.12	8570	0	11110	77.1	0.0	6785	0.02	0.25	1.68	124	0	1664	7.5	0.0
Sottotetto	1 - 9	E	-6251	11296	0.03	0.12	1.68	287	272	1409	20.4	0.0	3454	0.06	0.21	1.68	191	203	724	26.4	0.0
Sottotetto	1 - 9	E	-1578 8	85866	0.03	0.08	1.12	2181	2023	6611	33.0	0.0	8426	0.06	0.22	1.68	510	595	1823	28.0	0.0
Sottotetto	2 - 3	E	-2132 0	12840 0	0.03	0.08	1.12	3266	2979	9851	33.2	0.0	10610	0.07	0.23	1.68	757	894	2441	31.0	0.0
Sottotetto	2 - 3	E	-1235 5	41964	0.03	0.11	1.68	1067	972	4694	22.7	0.0	5922	0.08	0.24	1.68	459	501	1408	32.6	0.0
Sottotetto	2 - 3	E	-6439	7786	0.03	0.16	1.68	198	185	1237	16.0	0.0	3005	0.08	0.24	1.68	247	255	731	33.7	0.0
Sottotetto	6 - 2	E	-2958 0	25182 8	0.07	0.07	1.00	17523	0	18007	97.3	0.0	20779	0.02	0.18	1.50	339	0	3802	8.9	0.0
Sottotetto	6 - 2	E	-5363	8031	0.07	0.13	1.50	559	0	1053	53.1	0.0	3759	0.02	0.18	1.50	83	0	689	12.1	0.0
Sottotetto	9 - 2	E	-8513	28174	0.03	0.10	1.50	716	569	2745	26.1	0.0	6152	0.06	0.18	1.50	394	342	1098	35.8	0.0
Sottotetto	9 - 2	E	-4286	4388	0.03	0.15	1.50	111	88	676	16.5	0.0	3018	0.07	0.18	1.50	205	171	551	37.2	0.0
Sottotetto	3 - 4	P	-2484 7	19237 7	0.08	0.07	1.12	14363	14339	14363	100.0	0.9	8162	0.02	0.29	1.12	127	246	2356	5.4	0.0

Sottotetto	4 - 5	P	-2724 2	22396 1	0.02	0.07	1.12	4344	0	16600	26.2	0.0	9355	0.08	0.00	1.12	0	0	0	100.0	6.7
Sottotetto	5 - 6	E	-931	200	0.07	0.34	1.68	14	0	68	20.3	0.0	334	0.01	0.27	1.68	4	0	89	4.6	0.0
Sottotetto	8 - 6	E	-1012 7	82547	0.01	0.08	1.00	1172	1032	6244	18.8	0.0	5154	0.07	0.21	1.50	341	305	1088	31.4	0.0
Sottotetto	7 - 8	E	-1362 0	11277 6	0.01	0.08	1.12	1522	1489	8649	17.6	0.0	5228	0.06	0.25	1.68	309	329	1313	23.6	0.0
Copertura quota inf.	1 - 7	E	-7288	28972 5	0.01	0.03	0.64	1976	1961	8330	23.7	0.0	33610	0.00	0.04	0.96	25	21	1310	1.9	0.0
Copertura quota inf.	9 - 1	P	-4679	11394 39	0.00	0.01	0.48	2050	0	12388	16.5	0.0	48648 9	0.01	0.00	0.48	1824	0	1824	100.0	0.8
Copertura quota inf.	3 - 2	P	-1601 1	15536 40	0.00	0.02	0.40	2802	0	24511	11.4	0.0	49765 8	0.01	0.00	0.40	0	0	0	100.0	2.5
Copertura quota inf.	6 - 2	E	-1275 8	33107 8	0.01	0.04	0.75	3003	0	12833	23.4	0.0	43272	0.00	0.05	1.13	18	0	2321	0.8	0.0
Copertura quota inf.	6 - 2	E	-1342	79382	0.01	0.01	0.56	720	0	764	94.3	0.0	49678	0.00	0.01	0.56	67	0	500	13.5	0.0
Copertura quota inf.	2 - 9	P	-4731	80946 9	0.00	0.01	0.48	1457	0	9531	15.3	0.0	34964 0	0.01	0.01	0.48	1979	0	1979	100.0	0.6
Copertura quota inf.	4 - 3	E	-1186 3	29373 3	0.01	0.04	0.76	3319	0	10987	30.2	0.0	24960	0.00	0.07	1.14	9	0	1771	0.5	0.0
Copertura quota inf.	5 - 4	E	-1476 3	22396 1	0.00	0.06	1.12	351	169	12936	2.7	0.0	9355	0.01	0.16	1.68	94	537	1486	6.3	0.0
Copertura quota inf.	6 - 5	E	-486	222	0.01	0.18	1.62	2	2	39	5.2	0.0	372	0.00	0.14	1.62	0	0	51	0.1	0.0
Copertura quota inf.	8 - 6	E	-5566	94589	0.00	0.06	0.96	27	31	5241	0.5	0.0	6142	0.01	0.11	1.44	53	47	658	8.0	0.0
Copertura quota inf.	7 - 8	E	-7505	14373 8	0.00	0.05	0.96	24	45	7208	0.3	0.0	8526	0.01	0.10	1.44	64	56	889	7.2	0.0
Copertura quota sup.	2 - 3	E	-8542	19468 31	0.00	0.01	0.32	1504	1421	21659	6.9	0.0	82445 3	0.00	0.00	0.48	1666	1592	3788	44.0	0.0
Copertura quota sup.	6 - 2	E	-6369	14306 12	0.00	0.01	0.32	2592	0	16003	16.2	0.0	60806 6	0.00	0.00	0.48	326	0	2823	11.5	0.0
Copertura quota sup.	3 - 4	E	-6049	71575 0	0.00	0.01	0.32	1637	1627	9089	18.0	0.0	24191 8	0.00	0.01	0.48	113	100	2204	5.1	0.0
Copertura quota sup.	4 - 5	E	-7077	82151 0	0.00	0.01	0.32	440	0	10469	4.2	0.0	27729 3	0.00	0.01	0.48	554	0	2578	21.5	0.0
Copertura quota sup.	5 - 6	E	-307	21822	0.00	0.01	0.48	40	0	143	27.7	0.0	16364	0.00	0.01	0.48	6	0	113	5.2	0.0

Cond_Y_1(-); E(-); S2(+): Sisma Y (-); Distribuzione forze: Proporzionale masse; Eccentricità accidentale (-0.05*Ly); Sisma seconda direzione (+)

Imp.	Fili	Stato	N [daN]	k _L [daN/cm]	δ _L [cm]	δ _{L,0} [cm]	δ _{L,u} [cm]	V _L [daN]	V _{L,e} [daN]	V _{L,u} [daN]	% δ _L 0	% δ _L u	k _t [daN/cm]	δ _t [cm]	δ _{t,0} [cm]	δ _{t,u} [cm]	V _t [daN]	V _{t,e} [daN]	V _{t,u} [daN]	% δ _t 0	% δ _t u
Primo piano	7 - 1	P	-2533 3	18860 4	0.51	0.08	1.16	15368	0	15368	100.0	39.5	13503	0.04	0.24	1.16	587	0	3279	17.9	0.0
Primo piano	1 - 9	P	-1177 8	8684	0.09	0.23	1.74	739	559	1997	37.0	0.0	5401	0.50	0.28	1.74	1531	1566	1531	100.0	14.8
Primo piano	1 - 9	P	-3602 3	10255 2	0.08	0.10	1.74	8564	6244	10637	80.5	0.0	15356	0.48	0.30	1.74	4631	4929	4631	100.0	12.1
Primo piano	2 - 3	P	-7131	1206	0.08	0.48	1.74	98	106	584	16.7	0.0	2701	0.43	0.33	1.74	896	906	896	100.0	7.1
Primo piano	2 - 3	P	-2954 8	49601	0.08	0.16	1.74	3963	3273	8025	49.4	0.0	10803	0.42	0.34	1.74	3682	3841	3682	100.0	5.5
Primo piano	2 - 3	P	-3136 6	49601	0.08	0.17	1.74	3879	3326	8246	47.0	0.0	10803	0.39	0.36	1.74	3851	4026	3851	100.0	2.7
Primo piano	2 - 3	P	-1391 9	5458	0.08	0.34	1.74	419	408	1859	22.5	0.0	4567	0.37	0.37	1.74	1685	1721	1685	100.0	0.2
Primo piano	6 - 2	C	-5345 6	34562 0	1.04	0.08	1.04	28247	0	28247	100.0	100.0	40894	0.04	0.20	1.04	1474	0	8324	17.7	0.0
Primo piano	9 - 2	P	-1991 9	32791	0.08	0.17	1.56	2705	1690	5501	49.2	0.0	11019	0.46	0.26	1.56	2811	2391	2811	100.0	15.6
Primo piano	9 - 2	P	-9125	3576	0.08	0.30	1.56	290	206	1087	26.7	0.0	4795	0.44	0.27	1.56	1277	1072	1277	100.0	13.4

Relazione di calcolo - Comune di Palazzo Adriano

Primo piano	3 - 4	P	-4759 2	23646 0	0.37	0.09	1.16	21662	21639	21662	100.0	26.0	16364	0.03	0.33	1.16	504	662	5390	9.4	0.0
Primo piano	4 - 5	P	-3100 3	27961 7	0.05	0.08	1.16	14912	0	21283	70.1	0.0	18984	0.40	0.00	1.16	0	0	0	100.0	34.5
Primo piano	8 - 6	P	-1110 0	10108 8	0.03	0.08	1.56	2680	1870	7598	35.3	0.0	10321	0.45	0.16	1.56	1689	1457	1689	100.0	20.7
Primo piano	7 - 8	P	-1219 8	13835 6	0.03	0.07	1.74	3950	2731	10347	38.2	0.0	10563	0.49	0.17	1.74	1806	1934	1806	100.0	20.1
Sottotetto	7 - 1	P	-1527 8	15543 4	0.08	0.07	1.12	10652	0	10652	100.0	0.8	6785	0.02	0.22	1.12	119	0	1504	7.9	0.0
Sottotetto	1 - 9	E	-5693	11296	0.02	0.11	1.68	258	238	1296	19.9	0.0	3454	0.08	0.19	1.68	260	271	666	39.0	0.0
Sottotetto	1 - 9	E	-1502 3	85866	0.02	0.08	1.12	1943	1753	6487	30.0	0.0	8426	0.07	0.21	1.68	612	689	1744	35.1	0.0
Sottotetto	2 - 3	E	-2193 9	12840 0	0.02	0.08	1.12	2861	2591	9962	28.7	0.0	10610	0.07	0.24	1.68	710	830	2503	28.4	0.0
Sottotetto	2 - 3	E	-1320 1	41964	0.02	0.12	1.68	926	847	4971	18.6	0.0	5922	0.06	0.25	1.68	377	413	1491	25.3	0.0
Sottotetto	2 - 3	E	-7055	7786	0.02	0.17	1.68	171	160	1338	12.7	0.0	3005	0.06	0.26	1.68	184	192	791	23.3	0.0
Sottotetto	6 - 2	E	-2944 1	25182 8	0.07	0.07	1.00	17374	0	17974	96.7	0.0	20779	0.02	0.18	1.50	342	0	3787	9.0	0.0
Sottotetto	6 - 2	E	-5412	8031	0.07	0.13	1.50	554	0	1061	52.2	0.0	3759	0.02	0.18	1.50	74	0	695	10.6	0.0
Sottotetto	9 - 2	E	-8319	28174	0.02	0.10	1.50	634	495	2689	23.6	0.0	6152	0.07	0.17	1.50	436	374	1076	40.5	0.0
Sottotetto	9 - 2	E	-4311	4388	0.02	0.15	1.50	98	77	679	14.5	0.0	3018	0.07	0.18	1.50	207	172	554	37.4	0.0
Sottotetto	3 - 4	E	-2703 5	19237 7	0.06	0.08	1.12	11848	11820	14837	79.8	0.0	8162	0.02	0.31	1.68	130	232	2528	5.2	0.0
Sottotetto	4 - 5	P	-2809 7	22396 1	0.02	0.07	1.12	4671	0	16363	28.5	0.0	9355	0.06	0.00	1.12	0	0	0	100.0	5.6
Sottotetto	5 - 6	E	-918	200	0.07	0.34	1.68	14	0	67	20.4	0.0	334	0.01	0.26	1.68	5	0	88	5.4	0.0
Sottotetto	8 - 6	E	-9770	82547	0.02	0.07	1.00	1330	1152	6159	21.6	0.0	5154	0.07	0.20	1.50	362	326	1054	34.4	0.0
Sottotetto	7 - 8	E	-1237 7	11277 6	0.02	0.07	1.12	1739	1660	8342	20.8	0.0	5228	0.07	0.23	1.68	388	410	1205	32.2	0.0
Copertura quota inf.	1 - 7	E	-6959	28972 5	0.01	0.03	0.64	2181	2164	8222	26.5	0.0	33610	0.00	0.04	0.96	55	46	1253	4.4	0.0
Copertura quota inf.	9 - 1	P	-3991	11394 39	0.00	0.01	0.48	1526	0	12157	12.5	0.0	48648 9	0.01	0.00	0.48	1586	0	1586	100.0	1.0
Copertura quota inf.	3 - 2	E	-1698 5	15536 40	0.00	0.02	0.40	2278	0	24889	9.2	0.0	49765 8	0.01	0.01	0.60	4862	0	5935	81.9	0.0
Copertura quota inf.	6 - 2	E	-1272 5	33107 8	0.01	0.04	0.75	3000	0	12823	23.4	0.0	43272	0.00	0.05	1.13	80	0	2315	3.5	0.0
Copertura quota inf.	6 - 2	E	-1346	79382	0.01	0.01	0.56	719	0	766	93.9	0.0	49678	0.00	0.01	0.56	60	0	501	12.0	0.0
Copertura quota inf.	2 - 9	P	-4600	80946 9	0.00	0.01	0.48	1125	0	9472	11.9	0.0	34964 0	0.01	0.01	0.48	1914	0	1914	100.0	0.7
Copertura quota inf.	4 - 3	E	-1217 5	29373 3	0.01	0.04	0.76	3112	0	11079	28.1	0.0	24960	0.00	0.07	1.14	44	0	1806	2.4	0.0
Copertura quota inf.	5 - 4	E	-1484 7	22396 1	0.00	0.06	1.12	787	594	12961	6.1	0.0	9355	0.01	0.16	1.68	89	569	1494	5.9	0.0
Copertura quota inf.	6 - 5	E	-484	222	0.01	0.18	1.62	2	2	39	5.2	0.0	372	0.00	0.14	1.62	1	1	51	1.7	0.0
Copertura quota inf.	8 - 6	E	-5521	94589	0.00	0.06	0.96	226	203	5227	4.3	0.0	6142	0.01	0.11	1.44	53	52	653	8.2	0.0
Copertura quota inf.	7 - 8	E	-7360	14373 8	0.00	0.05	0.96	327	310	7164	4.6	0.0	8526	0.01	0.10	1.44	68	62	872	7.8	0.0
Copertura quota sup.	2 - 3	E	-8645	19468 31	0.00	0.01	0.32	1073	983	21701	4.9	0.0	82445 3	0.00	0.00	0.48	1666	1570	3833	43.5	0.0
Copertura quota sup.	6 - 2	E	-6007	14306 12	0.00	0.01	0.32	2669	0	15853	16.8	0.0	60806 6	0.00	0.00	0.48	368	0	2665	13.8	0.0
Copertura quota sup.	3 - 4	E	-6293	71575 0	0.00	0.01	0.32	1586	1575	9176	17.3	0.0	24191 8	0.00	0.01	0.48	151	127	2289	6.6	0.0
Copertura quota sup.	4 - 5	E	-7105	82151 0	0.00	0.01	0.32	821	0	10479	7.8	0.0	27729 3	0.00	0.01	0.48	537	0	2588	20.8	0.0
Copertura	5 - 6	E	-294	21822	0.00	0.01	0.48	41	0	137	29.7	0.0	16364	0.00	0.01	0.48	12	0	108	11.2	0.0

quota sup.																						
---------------	--	--	--	--	--	--	--	--	--	--	--	--	--	--	--	--	--	--	--	--	--	--

Cond_Y_1(-); E(-); S2(-) : Sisma Y (-); Distribuzione forze: Proporzionale masse; Eccentricità accidentale (-0.05*Ly); Sisma seconda direzione (-)

Imp.	Fili	Stato	N [daN]	k _L [daN/cm]	δ _L [cm]	δ _{L,0} [cm]	δ _{L,u} [cm]	V _L [daN]	V _{L,e} [daN]	V _{L,u} [daN]	%_δ _{L,0}	%_δ _{L,u}	k _L [daN/cm]	δ _t [cm]	δ _{t,0} [cm]	δ _{t,u} [cm]	V _t [daN]	V _{t,e} [daN]	V _{t,u} [daN]	%_δ _{t,0}	%_δ _{t,u}
Primo piano	7 - 1	P	-3128 5	18860 4	0.36	0.09	1.16	16272	0	16272	100.0	25.4	13503	0.03	0.27	1.16	390	0	3700	10.5	0.0
Primo piano	1 - 9	P	-1318 5	8684	0.04	0.25	1.74	330	293	2203	15.0	0.0	5401	0.36	0.31	1.74	1689	1703	1689	100.0	3.1
Primo piano	1 - 9	P	-3819 2	10255 2	0.04	0.11	1.74	3903	2974	10947	35.7	0.0	15356	0.35	0.32	1.74	4876	5064	4876	100.0	2.6
Primo piano	2 - 3	P	-6939	1206	0.04	0.48	1.74	46	63	574	8.0	0.0	2701	0.35	0.33	1.74	880	890	880	100.0	1.7
Primo piano	2 - 3	P	-2803 9	49601	0.04	0.16	1.74	1897	1481	7852	24.2	0.0	10803	0.35	0.33	1.74	3549	3690	3549	100.0	1.4
Primo piano	2 - 3	P	-2854 3	49601	0.04	0.16	1.74	1897	1483	7916	24.0	0.0	10803	0.35	0.33	1.74	3598	3809	3598	100.0	0.9
Primo piano	2 - 3	P	-1225 1	5458	0.04	0.31	1.74	209	199	1697	12.3	0.0	4567	0.34	0.34	1.74	1538	1577	1538	100.0	0.5
Primo piano	6 - 2	C	-5379 4	34562 0	1.04	0.08	1.04	28260	0	28260	100.0	100.0	40894	0.03	0.20	1.04	1213	0	8333	14.6	0.0
Primo piano	9 - 2	P	-2040 6	32791	0.04	0.17	1.56	1250	797	5617	22.3	0.0	11019	0.35	0.26	1.56	2871	2394	2871	100.0	7.1
Primo piano	9 - 2	P	-9007	3576	0.04	0.30	1.56	136	111	1077	12.7	0.0	4795	0.35	0.26	1.56	1264	1048	1264	100.0	6.7
Primo piano	3 - 4	P	-4069 8	23646 0	0.34	0.09	1.16	20478	20470	20478	100.0	24.0	16364	0.03	0.30	1.16	444	569	4838	9.2	0.0
Primo piano	4 - 5	P	-2857 2	27961 7	0.07	0.08	1.16	20063	0	21469	93.5	0.0	18984	0.34	0.00	1.16	0	0	0	100.0	29.4
Primo piano	8 - 6	P	-1234 1	10108 8	0.04	0.08	1.56	3956	2873	7840	50.5	0.0	10321	0.35	0.18	1.56	1817	1589	1817	100.0	12.7
Primo piano	7 - 8	P	-1623 4	13835 6	0.04	0.08	1.74	5473	4164	11105	49.3	0.0	10563	0.36	0.20	1.74	2144	2318	2144	100.0	9.9
Sottotetto	7 - 1	E	-1720 7	15543 4	0.07	0.07	1.12	10593	0	11110	95.4	0.0	6785	0.02	0.25	1.68	111	0	1664	6.7	0.0
Sottotetto	1 - 9	E	-6243	11296	0.02	0.12	1.68	207	189	1407	14.7	0.0	3454	0.07	0.21	1.68	233	242	724	32.2	0.0
Sottotetto	1 - 9	E	-1577 0	85866	0.02	0.08	1.12	1576	1401	6608	23.8	0.0	8426	0.07	0.22	1.68	566	629	1821	31.1	0.0
Sottotetto	2 - 3	E	-2129 9	12840 0	0.02	0.08	1.12	2361	2095	9847	24.0	0.0	10610	0.07	0.23	1.68	706	808	2439	28.9	0.0
Sottotetto	2 - 3	E	-1234 4	41964	0.02	0.11	1.68	772	690	4690	16.5	0.0	5922	0.07	0.24	1.68	392	422	1407	27.8	0.0
Sottotetto	2 - 3	E	-6434	7786	0.02	0.16	1.68	143	132	1236	11.6	0.0	3005	0.07	0.24	1.68	198	204	731	27.1	0.0
Sottotetto	6 - 2	E	-2959 0	25182 8	0.07	0.07	1.00	16940	0	18009	94.1	0.0	20779	0.02	0.18	1.50	344	0	3804	9.0	0.0
Sottotetto	6 - 2	E	-5359	8031	0.07	0.13	1.50	540	0	1052	51.3	0.0	3759	0.02	0.18	1.50	61	0	689	8.8	0.0
Sottotetto	9 - 2	E	-8503	28174	0.02	0.10	1.50	517	398	2742	18.9	0.0	6152	0.07	0.18	1.50	412	351	1097	37.6	0.0
Sottotetto	9 - 2	E	-4281	4388	0.02	0.15	1.50	81	63	675	11.9	0.0	3018	0.07	0.18	1.50	201	166	551	36.6	0.0
Sottotetto	3 - 4	E	-2485 5	19237 7	0.07	0.07	1.12	12797	12769	14348	89.2	0.0	8162	0.02	0.29	1.68	131	241	2351	5.6	0.0
Sottotetto	4 - 5	P	-2728 1	22396 1	0.02	0.07	1.12	5447	0	16553	32.9	0.0	9355	0.06	0.00	1.12	0	0	0	100.0	5.8
Sottotetto	5 - 6	E	-932	200	0.07	0.34	1.68	13	0	68	19.6	0.0	334	0.02	0.27	1.68	6	0	89	6.3	0.0
Sottotetto	8 - 6	E	-1013 8	82547	0.02	0.08	1.00	1500	1319	6247	24.0	0.0	5154	0.07	0.21	1.50	346	316	1089	31.8	0.0
Sottotetto	7 - 8	E	-1363 4	11277 6	0.02	0.08	1.12	1965	1893	8653	22.7	0.0	5228	0.07	0.25	1.68	354	378	1314	26.9	0.0
Copertura quota inf.	1 - 7	E	-7271	28972 5	0.01	0.03	0.64	2678	2658	8324	32.2	0.0	33610	0.00	0.04	0.96	42	36	1307	3.2	0.0
Copertura quota inf.	9 - 1	P	-4638	11394 39	0.00	0.01	0.48	1787	0	12288	14.5	0.0	48648 9	0.01	0.00	0.48	1720	0	1720	100.0	1.2
Copertura quota inf.	3 - 2	E	-1606 0	15536 40	0.00	0.02	0.40	2444	0	24556	10.0	0.0	49765 8	0.01	0.01	0.60	4592	0	5621	81.7	0.0
Copertura quota inf.	6 - 2	E	-1275 8	33107 8	0.01	0.04	0.75	3068	0	12833	23.9	0.0	43272	0.00	0.05	1.13	54	0	2321	2.3	0.0
Copertura quota inf.	6 - 2	E	-1342	79382	0.01	0.01	0.56	735	0	764	96.3	0.0	49678	0.00	0.01	0.56	63	0	500	12.5	0.0
Copertura quota inf.	2 - 9	P	-4722	80946 9	0.00	0.01	0.48	1271	0	9498	13.4	0.0	34964 0	0.01	0.01	0.48	1943	0	1943	100.0	0.8
Copertura quota inf.	4 - 3	E	-1188 2	29373 3	0.01	0.04	0.76	2731	0	10992	24.8	0.0	24960	0.00	0.07	1.14	29	0	1773	1.7	0.0
Copertura quota	5 - 4	E	-1477 1	22396 1	0.00	0.06	1.12	511	331	12938	3.9	0.0	9355	0.01	0.16	1.68	85	511	1487	5.7	0.0

inf.	6 - 5	E	-486	222	0.01	0.18	1.62	2	2	39	5.3	0.0	372	0.00	0.14	1.62	0	0	51	0.9	0.0
Coper tura quota inf.	8 - 6	E	-5565	94589	0.00	0.06	0.96	136	115	5240	2.6	0.0	6142	0.01	0.11	1.44	57	53	658	8.6	0.0
Coper tura quota inf.	7 - 8	E	-7498	14373 8	0.00	0.05	0.96	192	177	7206	2.7	0.0	8526	0.01	0.10	1.44	79	70	888	8.9	0.0
Coper tura quota sup.	2 - 3	E	-8555	19468 31	0.00	0.01	0.32	1290	1210	21665	6.0	0.0	82445 3	0.00	0.00	0.48	1631	1550	3794	43.0	0.0
Coper tura quota sup.	6 - 2	E	-6320	14306 12	0.00	0.01	0.32	2797	0	15983	17.5	0.0	60806 6	0.00	0.00	0.48	343	0	2802	12.2	0.0
Coper tura quota sup.	3 - 4	E	-6082	71575 0	0.00	0.01	0.32	1466	1457	9100	16.1	0.0	24191 8	0.00	0.01	0.48	130	111	2216	5.9	0.0
Coper tura quota sup.	4 - 5	E	-7081	82151 0	0.00	0.01	0.32	611	0	10471	5.8	0.0	27729 3	0.00	0.01	0.48	535	0	2579	20.7	0.0
Coper tura quota sup.	5 - 6	E	-305	21822	0.00	0.01	0.48	43	0	142	30.1	0.0	16364	0.00	0.01	0.48	9	0	112	7.7	0.0

Cond_Y_2(+); E(+); S2(+) : Sisma Y (+); Distribuzione forze: Proporzionale altezze; Eccentricità
accidentale (+ 0.05*Ly); Sisma seconda direzione (+)

Imp.	Fili	Stato	N [daN]	k _L [daN/cm]	δ _L [cm]	δ _{L,0} [cm]	δ _{L,u} [cm]	V _L [daN]	V _{L,e} [daN]	V _{L,u} [daN]	%_δ _{L,0}	%_δ _{L,u}	k _t [daN/cm]	δ _t [cm]	δ _{t,0} [cm]	δ _{t,u} [cm]	V _t [daN]	V _{t,e} [daN]	V _{t,u} [daN]	%_δ _{t,0}	%_δ _{t,u}
Primo piano	7 - 1	E	-2972 4	18860 4	0.08	0.08	1.16	15847	0	15970	99.2	0.0	13503	0.03	0.26	1.74	448	0	3559	12.6	0.0
Primo piano	1 - 9	P	-2116	8684	0.05	0.06	1.16	414	319	502	82.5	0.0	5401	0.08	0.00	1.16	0	399	0	100.0	7.3
Primo piano	1 - 9	P	-6975	10255 2	0.05	0.05	1.16	4646	3563	4646	100.0	0.2	15356	0.10	0.00	1.16	0	1312	0	100.0	8.3
Primo piano	2 - 3	P	-1528	1206	0.05	0.14	1.74	58	52	165	34.9	0.0	2701	0.12	0.09	1.74	253	258	253	100.0	1.4
Primo piano	2 - 3	P	-6505	49601	0.05	0.06	1.16	2368	1826	2788	84.9	0.0	10803	0.12	0.00	1.16	0	1138	0	100.0	10.6
Primo piano	2 - 3	P	-7200	49601	0.05	0.06	1.16	2368	1841	3027	78.2	0.0	10803	0.13	0.00	1.16	0	1238	0	100.0	11.6
Primo piano	2 - 3	P	-3296	5458	0.05	0.11	1.74	261	217	578	45.1	0.0	4567	0.14	0.11	1.74	524	537	524	100.0	1.8
Primo piano	6 - 2	P	-6447 9	34562 0	0.12	0.09	1.04	30140	0	30140	100.0	3.1	40894	0.03	0.23	1.04	1217	0	9458	12.9	0.0
Primo piano	9 - 2	P	-4025	32791	0.05	0.05	1.56	1564	927	1635	95.6	0.0	11019	0.10	0.08	1.56	836	729	836	100.0	1.9
Primo piano	9 - 2	P	-1925	3576	0.05	0.09	1.56	171	106	330	51.7	0.0	4795	0.11	0.08	1.56	387	326	387	100.0	2.2
Primo piano	3 - 4	P	-4919 6	23646 0	0.15	0.09	1.16	21927	21910	21927	100.0	5.2	16364	0.03	0.34	1.16	450	582	5511	8.2	0.0
Primo piano	4 - 5	E	-8990 4	27961 7	0.03	0.11	1.16	8798	0	31216	28.2	0.0	18984	0.13	0.47	1.74	2460	0	8878	27.7	0.0
Primo piano	8 - 6	E	-3066 0	10108 8	0.02	0.11	1.04	2344	2117	11150	21.0	0.0	10321	0.11	0.35	1.56	1124	977	3569	31.5	0.0
Primo piano	7 - 8	E	-4195 8	13835 6	0.02	0.12	1.16	3225	3087	16057	20.1	0.0	10563	0.09	0.42	1.74	982	1086	4408	22.3	0.0
Sottotetto	7 - 1	P	-1705 0	15543 4	0.92	0.07	1.12	11072	0	11072	100.0	81.4	6785	0.03	0.24	1.12	174	0	1650	10.6	0.0
Sottotetto	1 - 9	P	-2087	11296	0.07	0.05	1.12	531	395	531	100.0	2.4	3454	0.93	0.00	1.12	0	285	0	100.0	82.7
Sottotetto	1 - 9	P	-5823	85866	0.07	0.04	1.12	3600	2826	3600	100.0	2.8	8426	0.94	0.00	1.12	0	798	0	100.0	84.1
Sottotetto	2 - 3	P	-9287	12840 0	0.07	0.06	1.12	7073	4099	7073	100.0	1.7	10610	0.97	0.00	1.12	0	1255	0	100.0	87.0
Sottotetto	2 - 3	P	-5805	41964	0.07	0.06	1.12	2425	1395	2425	100.0	1.4	5922	0.99	0.00	1.12	0	794	0	100.0	88.7
Sottotetto	2 - 3	P	-3177	7786	0.07	0.09	1.68	568	265	669	85.0	0.0	3005	1.01	0.13	1.68	395	413	395	100.0	56.5
Sottotetto	6 - 2	C	-3527 7	25182 8	1.00	0.08	1.00	19226	0	19226	100.0	100.0	20779	0.02	0.21	1.00	410	0	4390	9.3	0.0
Sottotetto	6 - 2	P	-2808	8031	0.97	0.08	1.50	614	0	614	100.0	62.7	3759	0.04	0.11	1.50	141	0	402	35.1	0.0
Sottotetto	9 - 2	P	-3328	28174	0.07	0.04	1.50	1224	729	1224	100.0	2.0	6152	0.95	0.08	1.50	489	429	489	100.0	61.4
Sottotetto	9 - 2	P	-1781	4388	0.07	0.07	1.50	318	113	318	100.0	0.0	3018	0.96	0.09	1.50	259	217	259	100.0	62.1
Sottotetto	3 - 4	P	-2884 1	19237 7	1.01	0.08	1.12	15139	15110	15139	100.0	89.6	8162	0.01	0.32	1.12	94	261	2636	3.6	0.0
Sottotetto	4 - 5	P	-4842 0	22396 1	0.11	0.09	1.12	20300	0	20300	100.0	2.4	9355	0.98	0.00	1.12	0	0	0	100.0	87.8
Sottotetto	5 - 6	P	-1551	200	0.97	0.52	1.68	105	0	105	100.0	38.4	334	0.01	0.41	1.68	2	0	137	1.8	0.0
Sottotetto	8 - 6	P	-1630 8	82547	0.03	0.09	1.50	2418	1104	7567	32.0	0.0	5154	0.96	0.31	1.50	1623	1410	1623	100.0	54.3
Sottotetto	7 - 8	P	-2232 7	11277 6	0.02	0.09	1.68	2108	1595	10551	20.0	0.0	5228	0.94	0.38	1.68	1999	2108	1999	100.0	42.8

Copertura quota inf.	1 - 7	E	-8111	289725	0.02	0.03	0.64	4945	4901	8595	57.5	0.0	33610	0.00	0.04	0.96	36	30	1451	2.5	0.0
Copertura quota inf.	9 - 1	P	-452	1139439	0.00	0.01	0.48	3401	0	11495	29.6	0.0	486489	0.02	0.00	0.48	1104	0	1104	100.0	3.3
Copertura quota inf.	3 - 2	P	-11282	1553640	0.00	0.01	0.40	4653	0	23301	20.0	0.0	497658	0.02	0.00	0.40	0	0	0	100.0	5.6
Copertura quota inf.	6 - 2	E	-15038	331078	0.02	0.04	0.75	6867	0	13521	50.8	0.0	43272	0.00	0.06	1.13	23	0	2710	0.8	0.0
Copertura quota inf.	6 - 2	P	-1086	79382	0.02	0.01	0.56	555	0	555	100.0	2.0	49678	0.00	0.01	0.56	87	0	428	20.4	0.0
Copertura quota inf.	2 - 9	P	-2105	809469	0.00	0.01	0.48	2419	0	9007	26.9	0.0	349640	0.02	0.00	0.48	1418	0	1418	100.0	3.3
Copertura quota inf.	4 - 3	E	-13998	293733	0.02	0.04	0.76	7159	0	11606	61.7	0.0	24960	0.00	0.08	1.14	9	0	2062	0.4	0.0
Copertura quota inf.	5 - 4	E	-18337	223961	0.00	0.06	1.12	754	316	13935	5.4	0.0	9355	0.02	0.19	1.68	209	1187	1816	11.5	0.0
Copertura quota inf.	6 - 5	E	-598	222	0.02	0.21	1.62	5	5	47	9.7	0.0	372	0.00	0.17	1.62	0	0	62	0.3	0.0
Copertura quota inf.	8 - 6	E	-6813	94589	0.00	0.06	0.96	69	31	5603	1.2	0.0	6142	0.02	0.13	1.44	122	109	795	15.4	0.0
Copertura quota inf.	7 - 8	E	-9173	143738	0.00	0.05	0.96	67	42	7697	0.9	0.0	8526	0.02	0.13	1.44	155	135	1072	14.5	0.0
Copertura quota sup.	2 - 3	E	-7275	1946831	0.00	0.01	0.32	2489	2345	21132	11.8	0.0	824453	0.00	0.00	0.48	2766	2628	3232	85.6	0.0
Copertura quota sup.	6 - 2	E	-5926	1430612	0.00	0.01	0.32	4304	0	15820	27.2	0.0	608066	0.00	0.00	0.48	540	0	2629	20.5	0.0
Copertura quota sup.	3 - 4	E	-6680	715750	0.00	0.01	0.32	2715	2686	9313	29.2	0.0	241918	0.00	0.01	0.48	188	166	2425	7.7	0.0
Copertura quota sup.	4 - 5	E	-8129	821510	0.00	0.01	0.32	731	0	10840	6.7	0.0	277293	0.00	0.01	0.48	920	0	2946	31.2	0.0
Copertura quota sup.	5 - 6	E	-334	21822	0.00	0.01	0.48	66	0	155	42.4	0.0	16364	0.00	0.01	0.48	10	0	122	7.9	0.0

Cond_Y_2(+); E(+); S2(-) : Sisma Y (+); Distribuzione forze: Proporzionale altezze; Eccentricità accidentale (+ 0.05*Ly); Sisma seconda direzione (-)

Imp.	Fili	Stato	N [daN]	k _L [daN/cm]	δ _L [cm]	δ _{L,0} [cm]	δ _{L,u} [cm]	V _L [daN]	V _{L,e} [daN]	V _{L,u} [daN]	%_δ _{L,0}	%_δ _{L,u}	k _t [daN/cm]	δ _t [cm]	δ _{t,0} [cm]	δ _{t,u} [cm]	V _t [daN]	V _{t,e} [daN]	V _{t,u} [daN]	%_δ _{t,0}	%_δ _{t,u}
Primo piano	7 - 1	P	-36702	188604	0.10	0.09	1.16	17410	0	17410	100.0	1.0	13503	0.02	0.31	1.16	290	0	4231	6.8	0.0
Primo piano	1 - 9	P	-3660	8684	0.01	0.08	1.74	110	176	719	15.3	0.0	5401	0.10	0.10	1.74	551	560	551	100.0	0.2
Primo piano	1 - 9	P	-9215	102552	0.01	0.05	1.74	1378	1982	5489	25.1	0.0	15356	0.12	0.10	1.74	1480	1564	1480	100.0	1.2
Primo piano	2 - 3	P	-1249	1206	0.01	0.13	1.74	18	30	156	11.6	0.0	2701	0.14	0.09	1.74	239	241	239	100.0	3.0
Primo piano	2 - 3	P	-4518	49601	0.02	0.05	1.74	764	981	2445	31.2	0.0	10803	0.15	0.09	1.74	937	982	937	100.0	3.5
Primo piano	2 - 3	P	-3672	49601	0.02	0.05	1.74	805	987	2374	33.9	0.0	10803	0.16	0.08	1.74	910	955	910	100.0	4.4
Primo piano	2 - 3	P	-1246	5458	0.02	0.08	1.74	92	116	419	22.0	0.0	4567	0.17	0.08	1.74	380	387	380	100.0	5.1
Primo piano	6 - 2	P	-64987	345620	0.14	0.09	1.04	30192	0	30192	100.0	5.2	40894	0.03	0.23	1.04	1027	0	9489	10.8	0.0
Primo piano	9 - 2	P	-4435	32791	0.01	0.05	1.56	459	556	1757	26.1	0.0	11019	0.13	0.08	1.56	898	763	898	100.0	3.0
Primo piano	9 - 2	P	-1716	3576	0.01	0.09	1.56	52	66	326	16.0	0.0	4795	0.13	0.08	1.56	383	320	383	100.0	3.7
Primo piano	3 - 4	P	-41179	236460	0.17	0.09	1.16	20560	20532	20560	100.0	7.8	16364	0.02	0.30	1.16	407	547	4880	8.3	0.0
Primo piano	4 - 5	E	-87656	279617	0.06	0.11	1.16	15707	0	30862	50.9	0.0	18984	0.15	0.46	1.74	2819	0	8742	32.2	0.0
Primo piano	8 - 6	E	-32301	101088	0.04	0.11	1.04	3763	3324	11411	33.0	0.0	10321	0.13	0.36	1.56	1329	1178	3695	36.0	0.0
Primo piano	7 - 8	E	-46956	138356	0.04	0.12	1.16	5070	4750	16882	30.0	0.0	10563	0.11	0.45	1.74	1182	1336	4750	24.9	0.0

Sottotetto	7 - 1	P	-1988 8	15543 4	0.95	0.08	1.12	11715	0	11715	100.0	83.7	6785	0.02	0.28	1.12	103	0	1879	5.5	0.0
Sottotetto	1 - 9	P	-2843	11296	0.03	0.06	1.12	393	142	696	56.5	0.0	3454	0.95	0.00	1.12	0	383	0	100.0	85.1
Sottotetto	1 - 9	P	-6795	85866	0.03	0.05	1.68	2989	1059	4091	73.1	0.0	8426	0.97	0.10	1.68	863	917	863	100.0	55.0
Sottotetto	2 - 3	P	-8191	12840 0	0.04	0.05	1.68	4537	1614	6435	70.5	0.0	10610	1.01	0.10	1.68	1078	1161	1078	100.0	57.5
Sottotetto	2 - 3	P	-4458	41964	0.04	0.05	1.68	1483	540	2028	73.1	0.0	5922	1.03	0.10	1.68	608	633	608	100.0	58.8
Sottotetto	2 - 3	P	-2221	7786	0.04	0.07	1.68	275	106	527	52.2	0.0	3005	1.05	0.10	1.68	311	317	311	100.0	59.8
Sottotetto	6 - 2	C	-3557 0	25182 8	1.00	0.08	1.00	19258	0	19258	100.0	100.0	20779	0.02	0.21	1.00	459	0	4406	10.4	0.0
Sottotetto	6 - 2	P	-2696	8031	1.00	0.08	1.50	607	0	607	100.0	64.9	3759	0.00	0.11	1.50	6	0	397	1.5	0.0
Sottotetto	9 - 2	P	-3533	28174	0.04	0.05	1.50	986	304	1297	76.1	0.0	6152	0.98	0.08	1.50	519	431	519	100.0	63.5
Sottotetto	9 - 2	P	-1706	4388	0.04	0.07	1.50	154	49	315	48.8	0.0	3018	1.00	0.09	1.50	257	210	257	100.0	64.4
Sottotetto	3 - 4	P	-2568 1	19237 7	1.05	0.08	1.12	14577	14582	14577	100.0	93.3	8162	0.01	0.30	1.12	113	259	2441	4.6	0.0
Sottotetto	4 - 5	P	-4748 8	22396 1	0.16	0.09	1.12	20178	0	20178	100.0	6.5	9355	1.01	0.00	1.12	0	0	0	100.0	90.5
Sottotetto	5 - 6	P	-1581	200	1.00	0.53	1.68	106	0	106	100.0	40.8	334	0.04	0.41	1.68	12	0	139	8.8	0.0
Sottotetto	8 - 6	P	-1692 8	82547	0.06	0.09	1.50	4551	2594	7686	59.2	0.0	5154	0.99	0.32	1.50	1670	1478	1670	100.0	56.5
Sottotetto	7 - 8	P	-2429 1	11277 6	0.04	0.10	1.68	4903	3840	10934	44.8	0.0	5228	0.96	0.41	1.68	2137	2278	2137	100.0	43.7
Copertura quota inf.	1 - 7	E	-8727	28972 5	0.01	0.03	0.64	3413	3378	8788	38.8	0.0	33610	0.00	0.05	0.96	140	117	1555	9.0	0.0
Copertura quota inf.	9 - 1	P	-1674	11394 39	0.00	0.01	0.48	1412	0	11754	12.0	0.0	48648 9	0.01	0.00	0.48	1180	0	1180	100.0	2.5
Copertura quota inf.	3 - 2	P	-9431	15536 40	0.00	0.01	0.40	3121	0	23085	13.5	0.0	49765 8	0.03	0.00	0.40	0	0	0	100.0	6.5
Copertura quota inf.	6 - 2	E	-1512 5	33107 8	0.02	0.04	0.75	7050	0	13547	52.0	0.0	43272	0.01	0.06	1.13	242	0	2725	8.9	0.0
Copertura quota inf.	6 - 2	P	-1075	79382	0.02	0.01	0.56	555	0	555	100.0	2.1	49678	0.00	0.01	0.56	67	0	427	15.6	0.0
Copertura quota inf.	2 - 9	P	-2317	80946 9	0.00	0.01	0.48	1250	0	9020	13.9	0.0	34964 0	0.02	0.00	0.48	1432	0	1432	100.0	3.2
Copertura quota inf.	4 - 3	E	-1344 6	29373 3	0.03	0.04	0.76	9031	0	11449	78.9	0.0	24960	0.01	0.08	1.14	130	0	1991	6.5	0.0
Copertura quota inf.	5 - 4	E	-1822 3	22396 1	0.01	0.06	1.12	2678	2170	13905	19.3	0.0	9355	0.02	0.19	1.68	232	1573	1806	12.9	0.0
Copertura quota inf.	6 - 5	E	-602	222	0.02	0.21	1.62	5	5	48	9.9	0.0	372	0.01	0.17	1.62	3	3	62	4.9	0.0
Copertura quota inf.	8 - 6	E	-6912	94589	0.01	0.06	0.96	771	712	5631	13.7	0.0	6142	0.02	0.13	1.44	117	119	805	14.5	0.0
Copertura quota inf.	7 - 8	E	-9460	14373 8	0.01	0.05	0.96	1125	1086	7778	14.5	0.0	8526	0.01	0.13	1.44	124	119	1103	11.3	0.0
Copertura quota sup.	2 - 3	E	-7107	19468 31	0.00	0.01	0.32	1465	1317	21061	7.0	0.0	82445 3	0.00	0.00	0.48	2892	2695	3158	91.6	0.0
Copertura quota sup.	6 - 2	E	-6450	14306 12	0.00	0.01	0.32	4175	0	16036	26.0	0.0	60806 6	0.00	0.00	0.48	652	0	2859	22.8	0.0
Copertura quota sup.	3 - 4	E	-6331	71575 0	0.00	0.01	0.32	2977	2945	9190	32.4	0.0	24191 8	0.00	0.01	0.48	282	238	2304	12.3	0.0
Copertura quota sup.	4 - 5	E	-8103	82151 0	0.00	0.01	0.32	1693	0	10831	15.6	0.0	27729 3	0.00	0.01	0.48	922	0	2937	31.4	0.0
Copertura quota sup.	5 - 6	E	-353	21822	0.00	0.01	0.48	64	0	164	38.9	0.0	16364	0.00	0.01	0.48	25	0	129	19.5	0.0

Cond_Y_2(+); E(-); S2(+) : Sisma Y (+); Distribuzione forze: Proporzionale altezze; Eccentricità accidentale (- 0.05*Ly); Sisma seconda direzione (+)

Imp.	Fili	Stato	N	k _L	δ _L [cm]	δ _{L,0}	δ _{L,u}	V _L	V _{L,e}	V _{L,u}	%_δ _{L,0}	%_δ _{L,u}	k _t [daN/	δ _t	δ _{t,0}	δ _{t,u}	V _t	V _{t,e}	V _{t,u}	%_δ _{t,0}	%_δ _{t,u}
------	------	-------	---	----------------	------------------------	------------------	------------------	----------------	------------------	------------------	--------------------	--------------------	-------------------------	----------------	------------------	------------------	----------------	------------------	------------------	--------------------	--------------------

			[daN]	[daN/ cm]		[cm]	[cm]	[daN]	[daN]	[daN]			[cm]	[cm]	[cm]	[cm]	[daN]	[daN]	[daN]		
Primo piano	7 - 1	P	-2972 1	18860 4	0.15	0.08	1.16	15988	0	15988	100.0	6.4	13503	0.02	0.26	1.16	299	0	3567	8.4	0.0
Primo piano	1 - 9	P	-2127	8684	0.02	0.07	1.74	153	208	575	26.6	0.0	5401	0.15	0.08	1.74	440	452	440	100.0	4.2
Primo piano	1 - 9	P	-7006	10255 2	0.02	0.05	1.16	1805	2389	4908	36.8	0.0	15356	0.14	0.00	1.16	0	1391	0	100.0	12.3
Primo piano	2 - 3	P	-1534	1206	0.02	0.14	1.74	21	36	166	12.8	0.0	2701	0.13	0.09	1.74	254	257	254	100.0	1.9
Primo piano	2 - 3	P	-6528	49601	0.02	0.06	1.74	876	1168	2739	32.0	0.0	10803	0.12	0.10	1.74	1050	1104	1050	100.0	1.4
Primo piano	2 - 3	P	-7224	49601	0.02	0.06	1.74	876	1169	2871	30.5	0.0	10803	0.11	0.10	1.74	1100	1153	1100	100.0	0.5
Primo piano	2 - 3	E	-3306	5458	0.02	0.10	1.74	96	138	546	17.7	0.0	4567	0.10	0.11	1.74	468	472	495	94.5	0.0
Primo piano	6 - 2	P	-6446 8	34562 0	0.13	0.09	1.04	30137	0	30137	100.0	4.2	40894	0.02	0.23	1.04	1022	0	9457	10.8	0.0
Primo piano	9 - 2	P	-4042	32791	0.02	0.05	1.56	578	644	1716	33.7	0.0	11019	0.14	0.08	1.56	877	751	877	100.0	3.8
Primo piano	9 - 2	P	-1932	3576	0.02	0.09	1.56	63	78	333	18.9	0.0	4795	0.13	0.08	1.56	391	327	391	100.0	3.2
Primo piano	3 - 4	P	-4919 2	23646 0	0.10	0.09	1.16	22025	21987	22025	100.0	0.8	16364	0.03	0.34	1.16	410	602	5556	7.4	0.0
Primo piano	4 - 5	E	-8984 2	27961 7	0.05	0.11	1.16	13567	0	31206	43.5	0.0	18984	0.11	0.47	1.74	2077	0	8874	23.4	0.0
Primo piano	8 - 6	E	-3064 0	10108 8	0.04	0.11	1.04	3550	3116	11147	31.8	0.0	10321	0.13	0.35	1.56	1367	1204	3567	38.3	0.0
Primo piano	7 - 8	E	-4192 8	13835 6	0.04	0.12	1.16	4881	4466	16052	30.4	0.0	10563	0.15	0.42	1.74	1537	1697	4406	34.9	0.0
Sottotetto	7 - 1	P	-1704 9	15543 4	0.93	0.07	1.12	11076	0	11076	100.0	81.9	6785	0.02	0.24	1.12	138	0	1652	8.4	0.0
Sottotetto	1 - 9	P	-2092	11296	0.05	0.05	1.68	558	203	558	100.0	0.1	3454	0.93	0.08	1.68	287	297	287	100.0	52.9
Sottotetto	1 - 9	P	-5837	85866	0.05	0.04	1.12	3665	1499	3665	100.0	0.7	8426	0.93	0.00	1.12	0	813	0	100.0	82.8
Sottotetto	2 - 3	P	-9305	12840 0	0.05	0.05	1.12	6558	2240	7030	93.3	0.0	10610	0.93	0.00	1.12	0	1270	0	100.0	82.7
Sottotetto	2 - 3	P	-5815	41964	0.05	0.06	1.68	2143	738	2418	88.7	0.0	5922	0.93	0.12	1.68	725	760	725	100.0	51.6
Sottotetto	2 - 3	P	-3182	7786	0.05	0.09	1.12	398	141	665	59.8	0.0	3005	0.93	0.00	1.12	0	422	0	100.0	82.6
Sottotetto	6 - 2	C	-3526 9	25182 8	1.00	0.08	1.00	19229	0	19229	100.0	100.0	20779	0.02	0.21	1.00	428	0	4392	9.8	0.0
Sottotetto	6 - 2	P	-2812	8031	0.93	0.08	1.50	613	0	613	100.0	59.8	3759	0.02	0.11	1.50	75	0	401	18.6	0.0
Sottotetto	9 - 2	P	-3335	28174	0.05	0.04	1.50	1241	425	1241	100.0	0.5	6152	0.93	0.08	1.50	497	421	497	100.0	59.7
Sottotetto	9 - 2	P	-1785	4388	0.05	0.07	1.50	223	67	317	70.2	0.0	3018	0.93	0.09	1.50	259	214	259	100.0	59.5
Sottotetto	3 - 4	P	-2883 6	19237 7	0.93	0.08	1.12	15198	15218	15198	100.0	81.4	8162	0.01	0.33	1.12	108	285	2657	4.0	0.0
Sottotetto	4 - 5	P	-4839 0	22396 1	0.13	0.09	1.12	20364	0	20364	100.0	3.4	9355	0.92	0.00	1.12	0	0	0	100.0	82.0
Sottotetto	5 - 6	P	-1550	200	0.93	0.52	1.68	105	0	105	100.0	35.0	334	0.02	0.41	1.68	7	0	136	5.2	0.0
Sottotetto	8 - 6	P	-1629 8	82547	0.04	0.09	1.50	3351	1769	7567	44.3	0.0	5154	0.93	0.31	1.50	1622	1397	1622	100.0	51.7
Sottotetto	7 - 8	P	-2231 4	11277 6	0.03	0.09	1.68	3408	2528	10548	32.3	0.0	5228	0.93	0.38	1.68	1998	2079	1998	100.0	42.1
Copertura quota inf.	1 - 7	E	-8137	28972 5	0.02	0.03	0.64	6037	5985	8603	70.2	0.0	33610	0.00	0.04	0.96	64	54	1455	4.4	0.0
Copertura quota inf.	9 - 1	P	-515	11394 39	0.00	0.01	0.48	2981	0	11722	25.4	0.0	48648 9	0.02	0.00	0.48	1149	0	1149	100.0	3.9
Copertura quota inf.	3 - 2	P	-1120 8	15536 40	0.00	0.01	0.40	4081	0	23261	17.5	0.0	49765 8	0.02	0.00	0.40	0	0	0	100.0	5.2
Copertura quota inf.	6 - 2	E	-1503 8	33107 8	0.02	0.04	0.75	6925	0	13521	51.2	0.0	43272	0.00	0.06	1.13	82	0	2710	3.0	0.0
Copertura quota inf.	6 - 2	P	-1086	79382	0.02	0.01	0.56	552	0	552	100.0	2.0	49678	0.00	0.01	0.56	80	0	428	18.8	0.0
Copertura quota inf.	2 - 9	P	-2120	80946 9	0.00	0.01	0.48	2121	0	9024	23.5	0.0	34964 0	0.02	0.00	0.48	1435	0	1435	100.0	3.5
Copertura quota inf.	4 - 3	E	-1396 9	29373 3	0.02	0.04	0.76	6168	0	11598	53.2	0.0	24960	0.00	0.08	1.14	43	0	2059	2.1	0.0
Copertura quota inf.	5 - 4	E	-1832 5	22396 1	0.00	0.06	1.12	945	537	13932	6.8	0.0	9355	0.02	0.19	1.68	193	1130	1815	10.6	0.0
Copertura quota inf.	6 - 5	E	-598	222	0.02	0.21	1.62	5	5	47	9.8	0.0	372	0.00	0.17	1.62	1	1	62	1.1	0.0
Copertura quota inf.	8 - 6	E	-6815	94589	0.00	0.06	0.96	219	174	5604	3.9	0.0	6142	0.02	0.13	1.44	128	117	795	16.1	0.0

Copertura quota inf.	7 - 8	E	-9182	143738	0.00	0.05	0.96	299	266	7700	3.9	0.0	8526	0.02	0.13	1.44	178	157	1073	16.6	0.0
Copertura quota sup.	2 - 3	E	-7250	1946831	0.00	0.01	0.32	2145	2004	21121	10.2	0.0	824453	0.00	0.00	0.48	2717	2567	3221	84.4	0.0
Copertura quota sup.	6 - 2	E	-6006	1430612	0.00	0.01	0.32	4661	0	15853	29.4	0.0	608066	0.00	0.00	0.48	570	0	2664	21.4	0.0
Copertura quota sup.	3 - 4	E	-6626	715750	0.00	0.01	0.32	2442	2414	9294	26.3	0.0	241918	0.00	0.01	0.48	216	184	2407	9.0	0.0
Copertura quota sup.	4 - 5	E	-8125	821510	0.00	0.01	0.32	1016	0	10839	9.4	0.0	277293	0.00	0.01	0.48	891	0	2944	30.3	0.0
Copertura quota sup.	5 - 6	E	-337	21822	0.00	0.01	0.48	71	0	156	45.5	0.0	16364	0.00	0.01	0.48	14	0	123	11.7	0.0

Cond_Y_2(+); E(-); S2(-): Sisma Y (+); Distribuzione forze: Proporzionale altezze; Eccentricità accidentale (-0.05*Ly); Sisma seconda direzione (-)

Imp.	Fili	Stato	N [daN]	k _L [daN/cm]	δ _L [cm]	δ _{L,0} [cm]	δ _{L,u} [cm]	V _L [daN]	V _{L,e} [daN]	V _{L,u} [daN]	%_δ _{L,0}	%_δ _{L,u}	k _t [daN/cm]	δ _t [cm]	δ _{t,0} [cm]	δ _{t,u} [cm]	V _t [daN]	V _{t,e} [daN]	V _{t,u} [daN]	%_δ _{t,0}	%_δ _{t,u}
Primo piano	7 - 1	P	-36650	188604	0.18	0.09	1.16	17281	0	17281	100.0	8.1	13503	0.03	0.31	1.16	445	0	4171	10.7	0.0
Primo piano	1 - 9	P	-3695	8684	0.05	0.09	1.74	424	317	772	55.0	0.0	5401	0.17	0.11	1.74	591	613	591	100.0	4.0
Primo piano	1 - 9	P	-9332	102552	0.05	0.06	1.74	4944	3428	5725	86.4	0.0	15356	0.16	0.10	1.74	1544	1707	1544	100.0	3.9
Primo piano	2 - 3	P	-1274	1206	0.05	0.13	1.74	57	45	152	37.5	0.0	2701	0.15	0.09	1.74	233	238	233	100.0	3.7
Primo piano	2 - 3	P	-4628	49601	0.05	0.05	1.74	2318	1485	2336	99.2	0.0	10803	0.14	0.08	1.74	895	961	895	100.0	3.5
Primo piano	2 - 3	P	-3794	49601	0.05	0.04	1.74	2184	1437	2184	100.0	0.1	10803	0.13	0.08	1.74	837	903	837	100.0	3.2
Primo piano	2 - 3	P	-1302	5458	0.05	0.07	1.74	248	164	369	67.3	0.0	4567	0.12	0.07	1.74	334	347	334	100.0	3.0
Primo piano	6 - 2	P	-64936	345620	0.15	0.09	1.04	30208	0	30208	100.0	6.6	40894	0.03	0.23	1.04	1224	0	9499	12.9	0.0
Primo piano	9 - 2	P	-4503	32791	0.05	0.06	1.56	1567	822	1810	86.6	0.0	11019	0.16	0.08	1.56	925	799	925	100.0	5.0
Primo piano	9 - 2	P	-1749	3576	0.05	0.09	1.56	169	92	329	51.4	0.0	4795	0.15	0.08	1.56	386	324	386	100.0	4.7
Primo piano	3 - 4	P	-41210	236460	0.12	0.09	1.16	20479	20457	20479	100.0	3.3	16364	0.03	0.30	1.16	459	621	4841	9.5	0.0
Primo piano	4 - 5	E	-87409	279617	0.03	0.11	1.16	9437	0	30823	30.6	0.0	18984	0.13	0.46	1.74	2528	0	8727	29.0	0.0
Primo piano	8 - 6	E	-32207	101088	0.03	0.11	1.04	2577	2285	11397	22.6	0.0	10321	0.16	0.36	1.56	1606	1380	3688	43.6	0.0
Primo piano	7 - 8	E	-46802	138356	0.03	0.12	1.16	3637	3316	16857	21.6	0.0	10563	0.17	0.45	1.74	1790	1926	4740	37.8	0.0
Sottotetto	7 - 1	P	-19862	155434	0.97	0.07	1.12	11653	0	11653	100.0	85.3	6785	0.02	0.27	1.12	138	0	1856	7.4	0.0
Sottotetto	1 - 9	P	-2859	11296	0.05	0.06	1.68	572	272	705	81.1	0.0	3454	0.97	0.10	1.68	362	378	362	100.0	54.7
Sottotetto	1 - 9	P	-6841	85866	0.05	0.05	1.68	4139	2006	4139	100.0	0.2	8426	0.97	0.10	1.68	873	974	873	100.0	54.8
Sottotetto	2 - 3	P	-8268	128400	0.05	0.05	1.68	6387	2982	6387	100.0	0.1	10610	0.97	0.10	1.68	1070	1219	1070	100.0	55.1
Sottotetto	2 - 3	P	-4507	41964	0.05	0.05	1.68	1957	982	1957	100.0	0.3	5922	0.97	0.10	1.68	587	633	587	100.0	55.3
Sottotetto	2 - 3	P	-2248	7786	0.05	0.06	1.68	403	189	497	81.0	0.0	3005	0.98	0.10	1.68	294	307	294	100.0	55.5
Sottotetto	6 - 2	C	-35536	251828	1.00	0.08	1.00	19277	0	19277	100.0	100.0	20779	0.02	0.21	1.00	438	0	4415	9.9	0.0
Sottotetto	6 - 2	P	-2711	8031	0.97	0.07	1.50	602	0	602	100.0	62.9	3759	0.02	0.10	1.50	71	0	394	18.1	0.0
Sottotetto	9 - 2	P	-3559	28174	0.05	0.05	1.50	1305	545	1305	100.0	0.3	6152	0.97	0.08	1.50	522	448	522	100.0	62.5
Sottotetto	9 - 2	P	-1720	4388	0.05	0.07	1.50	224	86	312	72.0	0.0	3018	0.97	0.08	1.50	254	211	254	100.0	62.6
Sottotetto	3 - 4	P	-25689	192377	0.98	0.08	1.12	14554	14534	14554	100.0	86.3	8162	0.01	0.30	1.12	108	275	2430	4.4	0.0
Sottotetto	4 - 5	P	-47380	223961	0.13	0.09	1.12	20209	0	20209	100.0	4.1	9355	0.97	0.00	1.12	0	0	0	100.0	86.2
Sottotetto	5 - 6	P	-1577	200	0.97	0.53	1.68	106	0	106	100.0	38.4	334	0.02	0.41	1.68	8	0	138	5.4	0.0
Sottotetto	8 - 6	P	-16888	82547	0.04	0.09	1.50	3527	1691	7680	45.9	0.0	5154	0.97	0.32	1.50	1668	1478	1668	100.0	54.9
Sottotetto	7 - 8	P	-24224	112776	0.03	0.10	1.68	3589	2523	10921	32.9	0.0	5228	0.97	0.41	1.68	2132	2286	2132	100.0	44.0
Copertura quota inf.	1 - 7	E	-8741	289725	0.02	0.03	0.64	4511	4469	8793	51.3	0.0	33610	0.00	0.05	0.96	109	92	1558	7.0	0.0
Copertura quota inf.	9 - 1	P	-1744	1139439	0.00	0.01	0.48	2052	0	11794	17.4	0.0	486489	0.02	0.00	0.48	1220	0	1220	100.0	3.1
Copertura quota inf.	3 - 2	P	-9402	15536	0.00	0.01	0.40	3518	0	23035	15.3	0.0	49765	0.02	0.00	0.40	0	0	0	100.0	6.0

tura quota inf.				40								8									
Coper tura quota inf.	6 - 2	E	-1511 2	33107 8	0.02	0.04	0.75	7032	0	13543	51.9	0.0	43272	0.00	0.06	1.13	178	0	2723	6.5	0.0
Coper tura quota inf.	6 - 2	P	-1077	79382	0.02	0.01	0.56	552	0	552	100.0	2.1	49678	0.00	0.01	0.56	72	0	427	16.9	0.0
Coper tura quota inf.	2 - 9	P	-2343	80946 9	0.00	0.01	0.48	1607	0	9037	17.8	0.0	34964 0	0.02	0.00	0.48	1449	0	1449	100.0	3.3
Coper tura quota inf.	4 - 3	E	-1341 3	29373 3	0.03	0.04	0.76	7894	0	11440	69.0	0.0	24960	0.00	0.08	1.14	95	0	1989	4.8	0.0
Coper tura quota inf.	5 - 4	E	-1819 4	22396 1	0.01	0.06	1.12	1985	1516	13897	14.3	0.0	9355	0.02	0.19	1.68	217	1399	1803	12.0	0.0
Coper tura quota inf.	6 - 5	E	-602	222	0.02	0.21	1.62	5	5	48	9.9	0.0	372	0.01	0.17	1.62	2	2	62	3.4	0.0
Coper tura quota inf.	8 - 6	E	-6907	94589	0.01	0.06	0.96	550	497	5629	9.8	0.0	6142	0.02	0.13	1.44	122	119	805	15.2	0.0
Coper tura quota inf.	7 - 8	E	-9458	14373 8	0.01	0.05	0.96	795	757	7778	10.2	0.0	8526	0.02	0.13	1.44	147	135	1103	13.3	0.0
Coper tura quota sup.	2 - 3	E	-7088	19468 31	0.00	0.01	0.32	1796	1650	21053	8.5	0.0	82445 3	0.00	0.00	0.48	2810	2635	3150	89.2	0.0
Coper tura quota sup.	6 - 2	E	-6530	14306 12	0.00	0.01	0.32	4505	0	16069	28.0	0.0	60806 6	0.00	0.00	0.48	616	0	2893	21.3	0.0
Coper tura quota sup.	3 - 4	E	-6276	71575 0	0.00	0.01	0.32	2675	2644	9170	29.2	0.0	24191 8	0.00	0.01	0.48	252	213	2285	11.0	0.0
Coper tura quota sup.	4 - 5	E	-8094	82151 0	0.00	0.01	0.32	1376	0	10828	12.7	0.0	27729 3	0.00	0.01	0.48	907	0	2933	30.9	0.0
Coper tura quota sup.	5 - 6	E	-356	21822	0.00	0.01	0.48	69	0	165	41.7	0.0	16364	0.00	0.01	0.48	20	0	130	15.5	0.0

Cond_Y_2(-); E(+); S2(+) : **Sisma Y (-); Distribuzione forze: Proporzionale altezze; Eccentricità
accidentale (+ 0.05*Ly); Sisma seconda direzione (+)**

Imp.	Fili	Stato	N [daN]	k _L [daN/ cm]	δ _L [cm]	δ _{L,0} [cm]	δ _{L,u} [cm]	V _L [daN]	V _{L,e} [daN]	V _{L,u} [daN]	%_δ _{L,0}	%_δ _{L,u}	k _t [daN/ cm]	δ _t [cm]	δ _{t,0} [cm]	δ _{t,u} [cm]	V _t [daN]	V _{t,e} [daN]	V _{t,u} [daN]	%_δ _{t,0}	%_δ _{t,u}
Primo piano	7 - 1	P	-2450 1	18860 4	0.19	0.08	1.16	14940	0	14940	100.0	10.2	13503	0.02	0.23	1.16	327	0	3081	10.6	0.0
Primo piano	1 - 9	E	-1232 8	8684	0.02	0.24	1.74	203	196	2098	9.7	0.0	5401	0.19	0.30	1.74	1029	1037	1609	63.9	0.0
Primo piano	1 - 9	E	-3785 9	10255 2	0.02	0.11	1.16	2450	2196	10920	22.4	0.0	15356	0.20	0.32	1.74	3030	3137	4855	62.4	0.0
Primo piano	2 - 3	E	-7539	1206	0.02	0.51	1.74	30	41	611	4.9	0.0	2701	0.21	0.35	1.74	566	568	936	60.5	0.0
Primo piano	2 - 3	E	-3128 9	49601	0.03	0.17	1.16	1244	1083	8240	15.1	0.0	10803	0.21	0.36	1.74	2308	2358	3846	60.0	0.0
Primo piano	2 - 3	E	-3330 1	49601	0.03	0.17	1.16	1268	1088	8470	15.0	0.0	10803	0.22	0.37	1.74	2384	2435	4017	59.3	0.0
Primo piano	2 - 3	E	-1480 8	5458	0.03	0.36	1.74	142	135	1938	7.3	0.0	4567	0.23	0.38	1.74	1035	1042	1757	58.9	0.0
Primo piano	6 - 2	P	-5265 7	34562 0	0.21	0.08	1.04	27965	0	27965	100.0	13.4	40894	0.03	0.20	1.04	1075	0	8156	13.2	0.0
Primo piano	9 - 2	E	-2098 5	32791	0.02	0.18	1.56	795	615	5802	13.7	0.0	11019	0.20	0.27	1.56	2226	1853	2965	75.1	0.0
Primo piano	9 - 2	E	-9638	3576	0.02	0.32	1.56	88	79	1143	7.7	0.0	4795	0.21	0.28	1.56	995	820	1343	74.1	0.0
Primo piano	3 - 4	P	-4808 9	23646 0	0.23	0.09	1.16	21747	21764	21747	100.0	12.8	16364	0.03	0.33	1.16	411	580	5430	7.6	0.0
Primo piano	4 - 5	P	-2710 8	27961 7	0.06	0.07	1.16	16453	0	20270	81.2	0.0	18984	0.21	0.00	1.16	0	0	0	100.0	18.4
Primo piano	8 - 6	P	-9625	10108 8	0.04	0.07	1.56	3640	2852	7115	51.2	0.0	10321	0.20	0.14	1.56	1439	1266	1439	100.0	4.6
Primo piano	7 - 8	P	-9765	13835 6	0.04	0.07	1.74	4957	4097	9362	52.9	0.0	10563	0.19	0.13	1.74	1383	1548	1383	100.0	4.0
Sottot etto	7 - 1	P	-1448 3	15543 4	0.80	0.07	1.12	10521	0	10521	100.0	69.6	6785	0.02	0.22	1.12	117	0	1459	8.0	0.0
Sottot etto	1 - 9	P	-6160	11296	0.03	0.12	1.68	361	151	1387	26.0	0.0	3454	0.80	0.21	1.68	713	723	713	100.0	40.4
Sottot etto	1 - 9	P	-1638 4	85866	0.03	0.08	1.68	2811	1121	6700	42.0	0.0	8426	0.81	0.22	1.68	1879	1945	1879	100.0	40.5
Sottot etto	2 - 3	P	-2423 9	12840 0	0.03	0.08	1.68	4471	1705	10358	43.2	0.0	10610	0.84	0.26	1.68	2726	2908	2726	100.0	40.9

Sottotetto	2 - 3	P	-14670	41964	0.04	0.12	1.68	1501	569	5186	28.9	0.0	5922	0.85	0.28	1.68	1630	1661	1630	100.0	41.1
Sottotetto	2 - 3	P	-7869	7786	0.04	0.19	1.68	284	111	1467	19.4	0.0	3005	0.86	0.29	1.68	867	971	867	100.0	41.3
Sottotetto	6 - 2	C	-28417	251828	1.00	0.07	1.00	17882	0	17882	100.0	100.0	20779	0.02	0.18	1.00	452	0	3743	12.1	0.0
Sottotetto	6 - 2	P	-5866	8031	0.83	0.14	1.50	1115	0	1115	100.0	51.0	3759	0.01	0.19	1.50	31	0	730	4.3	0.0
Sottotetto	9 - 2	P	-9114	28174	0.03	0.10	1.50	942	321	2885	32.6	0.0	6152	0.82	0.19	1.50	1154	945	1154	100.0	48.3
Sottotetto	9 - 2	P	-4745	4388	0.03	0.17	1.50	149	52	732	20.4	0.0	3018	0.83	0.20	1.50	596	488	596	100.0	48.6
Sottotetto	3 - 4	P	-27292	192377	0.87	0.08	1.12	14856	14840	14856	100.0	75.6	8162	0.01	0.31	1.12	122	264	2535	4.8	0.0
Sottotetto	4 - 5	P	-24878	223961	0.13	0.07	1.12	16277	0	16277	100.0	5.5	9355	0.84	0.00	1.12	0	0	0	100.0	75.0
Sottotetto	5 - 6	P	-807	200	0.83	0.30	1.68	60	0	60	100.0	38.6	334	0.03	0.23	1.68	10	0	78	13.3	0.0
Sottotetto	8 - 6	P	-8573	82547	0.05	0.07	1.50	3891	2237	5906	65.9	0.0	5154	0.83	0.19	1.50	954	846	954	100.0	48.7
Sottotetto	7 - 8	P	-10374	112776	0.04	0.07	1.68	4230	3298	7857	53.8	0.0	5228	0.81	0.20	1.68	1039	1100	1039	100.0	41.2
Copertura quota inf.	1 - 7	E	-6543	289725	0.01	0.03	0.64	2967	2943	8083	36.7	0.0	33610	0.00	0.04	0.96	130	109	1181	11.0	0.0
Copertura quota inf.	9 - 1	P	-4549	1139439	0.00	0.01	0.48	1518	0	12244	12.4	0.0	486489	0.01	0.00	0.48	1675	0	1675	100.0	1.9
Copertura quota inf.	3 - 2	P	-18766	1553640	0.00	0.02	0.40	3113	0	24886	12.5	0.0	497658	0.02	0.00	0.40	0	0	0	100.0	5.6
Copertura quota inf.	6 - 2	E	-12156	331078	0.02	0.04	0.75	6134	0	12645	48.5	0.0	43272	0.01	0.05	1.13	222	0	2217	10.0	0.0
Copertura quota inf.	6 - 2	P	-1410	79382	0.02	0.01	0.56	707	0	707	100.0	1.4	49678	0.00	0.01	0.56	74	0	505	14.6	0.0
Copertura quota inf.	2 - 9	P	-5143	809469	0.00	0.01	0.48	1294	0	9515	13.6	0.0	349640	0.02	0.01	0.48	1961	0	1961	100.0	2.3
Copertura quota inf.	4 - 3	E	-11869	293733	0.03	0.04	0.76	7863	0	10989	71.6	0.0	24960	0.00	0.07	1.14	120	0	1768	6.8	0.0
Copertura quota inf.	5 - 4	E	-14045	223961	0.01	0.06	1.12	2390	1947	12726	18.8	0.0	9355	0.02	0.15	1.68	202	1377	1418	14.2	0.0
Copertura quota inf.	6 - 5	E	-456	222	0.02	0.17	1.62	4	4	37	11.2	0.0	372	0.01	0.13	1.62	3	3	48	5.7	0.0
Copertura quota inf.	8 - 6	E	-5191	94589	0.01	0.05	0.96	696	644	5127	13.6	0.0	6142	0.02	0.10	1.44	102	104	616	16.5	0.0
Copertura quota inf.	7 - 8	E	-6863	143738	0.01	0.05	0.96	1017	982	7010	14.5	0.0	8526	0.01	0.10	1.44	108	104	816	13.2	0.0
Copertura quota sup.	2 - 3	E	-9021	1946831	0.00	0.01	0.32	1467	1316	21855	6.7	0.0	824453	0.00	0.00	0.48	2878	2695	3996	72.0	0.0
Copertura quota sup.	6 - 2	E	-5954	1430612	0.00	0.01	0.32	4150	0	15831	26.2	0.0	608066	0.00	0.00	0.48	653	0	2642	24.7	0.0
Copertura quota sup.	3 - 4	E	-6243	715750	0.00	0.01	0.32	2964	2945	9158	32.4	0.0	241918	0.00	0.01	0.48	283	238	2272	12.5	0.0
Copertura quota sup.	4 - 5	E	-6845	821510	0.00	0.01	0.32	1693	0	10386	16.3	0.0	277293	0.00	0.01	0.48	917	0	2495	36.7	0.0
Copertura quota sup.	5 - 6	E	-281	21822	0.00	0.01	0.48	63	0	131	48.3	0.0	16364	0.00	0.01	0.48	25	0	103	24.4	0.0

Cond_Y_2(-); E(+); S2(-): Sisma Y (-); Distribuzione forze: Proporzionale altezze; Eccentricità accidentale (+ 0.05*Ly); Sisma seconda direzione (-)

Imp.	Fili	Stato	N [daN]	k _L [daN/cm]	δ _L [cm]	δ _{L,0} [cm]	δ _{L,u} [cm]	V _L [daN]	V _{L,e} [daN]	V _{L,u} [daN]	% δ _{L,0}	% δ _{L,u}	k _t [daN/cm]	δ _t [cm]	δ _{t,0} [cm]	δ _{t,u} [cm]	V _t [daN]	V _{t,e} [daN]	V _{t,u} [daN]	% δ _{t,0}	% δ _{t,u}
Primo piano	7 - 1	P	-31438	188604	0.14	0.09	1.16	16326	0	16326	100.0	5.3	13503	0.04	0.28	1.16	531	0	3725	14.3	0.0
Primo piano	1 - 9	E	-13977	8684	0.07	0.27	1.74	579	562	2310	25.0	0.0	5401	0.15	0.33	1.74	791	820	1771	44.6	0.0
Primo piano	1 - 9	E	-40413	102552	0.07	0.11	1.16	6833	6338	11233	60.8	0.0	15356	0.17	0.33	1.74	2583	2856	5099	50.7	0.0

Relazione di calcolo - Comune di Palazzo Adriano

Primo piano	2 - 3	E	-7319	1206	0.07	0.50	1.74	80	91	598	13.5	0.0	2701	0.21	0.34	1.74	559	567	916	61.0	0.0
Primo piano	2 - 3	E	-2954 8	49601	0.07	0.16	1.16	3310	3018	8036	41.2	0.0	10803	0.22	0.34	1.74	2373	2508	3691	64.3	0.0
Primo piano	2 - 3	E	-3003 0	49601	0.07	0.16	1.16	3310	2989	8093	40.9	0.0	10803	0.24	0.35	1.74	2613	2748	3734	70.0	0.0
Primo piano	2 - 3	E	-1287 1	5458	0.07	0.32	1.74	364	356	1759	20.7	0.0	4567	0.26	0.35	1.74	1192	1212	1595	74.7	0.0
Primo piano	6 - 2	P	-5304 6	34562 0	0.21	0.08	1.04	28081	0	28081	100.0	13.0	40894	0.03	0.20	1.04	1338	0	8226	16.3	0.0
Primo piano	9 - 2	E	-2156 6	32791	0.07	0.18	1.56	2186	1749	5921	36.9	0.0	11019	0.18	0.27	1.56	2017	1734	3026	66.7	0.0
Primo piano	9 - 2	E	-9506	3576	0.07	0.32	1.56	238	201	1132	21.1	0.0	4795	0.20	0.28	1.56	960	801	1329	72.2	0.0
Primo piano	3 - 4	P	-4004 9	23646 0	0.27	0.09	1.16	20428	20401	20428	100.0	16.9	16364	0.03	0.29	1.16	467	532	4814	9.7	0.0
Primo piano	4 - 5	P	-2422 5	27961 7	0.03	0.07	1.16	9547	0	20961	45.5	0.0	18984	0.23	0.00	1.16	0	0	0	100.0	20.2
Primo piano	8 - 6	P	-1105 6	10108 8	0.02	0.07	1.56	1993	1850	7415	26.9	0.0	10321	0.19	0.15	1.56	1594	1363	1594	100.0	2.7
Primo piano	7 - 8	E	-1444 7	13835 6	0.02	0.08	1.16	2757	2699	10400	26.5	0.0	10563	0.16	0.17	1.74	1706	1820	1829	93.3	0.0
Sottotetto	7 - 1	P	-1726 3	15543 4	0.79	0.07	1.12	11118	0	11118	100.0	68.4	6785	0.03	0.25	1.12	185	0	1667	11.1	0.0
Sottotetto	1 - 9	P	-6953	11296	0.07	0.14	1.68	825	556	1547	53.4	0.0	3454	0.79	0.23	1.68	795	886	795	100.0	38.6
Sottotetto	1 - 9	P	-1746 0	85866	0.07	0.08	1.68	6275	3983	6871	91.3	0.0	8426	0.81	0.24	1.68	1989	2185	1989	100.0	39.7
Sottotetto	2 - 3	P	-2331 6	12840 0	0.07	0.08	1.68	9438	5655	10189	92.6	0.0	10610	0.85	0.25	1.68	2631	2959	2631	100.0	42.0
Sottotetto	2 - 3	P	-1343 4	41964	0.07	0.12	1.68	3085	1809	4996	61.7	0.0	5922	0.87	0.25	1.68	1506	1597	1506	100.0	43.3
Sottotetto	2 - 3	P	-6974	7786	0.07	0.17	1.68	572	345	1317	43.5	0.0	3005	0.89	0.26	1.68	779	800	779	100.0	44.3
Sottotetto	6 - 2	C	-2863 2	25182 8	1.00	0.07	1.00	17951	0	17951	100.0	100.0	20779	0.02	0.18	1.00	415	0	3776	11.0	0.0
Sottotetto	6 - 2	P	-5788	8031	0.84	0.14	1.50	1102	0	1102	100.0	51.7	3759	0.04	0.19	1.50	157	0	721	21.8	0.0
Sottotetto	9 - 2	P	-9379	28174	0.07	0.11	1.50	2063	1059	2962	69.7	0.0	6152	0.82	0.19	1.50	1185	1010	1185	100.0	48.1
Sottotetto	9 - 2	P	-4703	4388	0.07	0.17	1.50	321	165	725	44.3	0.0	3018	0.84	0.20	1.50	591	490	591	100.0	49.1
Sottotetto	3 - 4	P	-2415 0	19237 7	0.89	0.07	1.12	14333	14346	14333	100.0	78.5	8162	0.01	0.29	1.12	103	244	2346	4.4	0.0
Sottotetto	4 - 5	P	-2370 0	22396 1	0.10	0.07	1.12	16498	0	16498	100.0	2.4	9355	0.86	0.00	1.12	0	0	0	100.0	77.0
Sottotetto	5 - 6	P	-828	200	0.84	0.31	1.68	62	0	62	100.0	38.9	334	0.00	0.24	1.68	2	0	80	1.9	0.0
Sottotetto	8 - 6	P	-9102	82547	0.02	0.07	1.50	2019	983	6026	33.5	0.0	5154	0.83	0.19	1.50	1001	850	1001	100.0	48.7
Sottotetto	7 - 8	P	-1218 6	11277 6	0.02	0.07	1.68	1727	1421	8299	20.8	0.0	5228	0.80	0.23	1.68	1190	1233	1190	100.0	39.7
Copertura quota inf.	1 - 7	E	-7117	28972 5	0.02	0.03	0.64	4346	4314	8274	52.5	0.0	33610	0.00	0.04	0.96	35	30	1281	2.8	0.0
Copertura quota inf.	9 - 1	P	-5756	11394 39	0.00	0.01	0.48	3405	0	12418	27.4	0.0	48648 9	0.02	0.00	0.48	1855	0	1855	100.0	2.6
Copertura quota inf.	3 - 2	P	-1707 0	15536 40	0.00	0.02	0.40	4657	0	24534	19.0	0.0	49765 8	0.02	0.00	0.40	0	0	0	100.0	5.2
Copertura quota inf.	6 - 2	E	-1221 1	33107 8	0.02	0.04	0.75	6266	0	12662	49.5	0.0	43272	0.00	0.05	1.13	20	0	2226	0.9	0.0
Copertura quota inf.	6 - 2	P	-1403	79382	0.02	0.01	0.56	700	0	700	100.0	1.5	49678	0.00	0.01	0.56	96	0	503	19.0	0.0
Copertura quota inf.	2 - 9	P	-5375	80946 9	0.00	0.01	0.48	2422	0	9547	25.4	0.0	34964 0	0.02	0.01	0.48	1996	0	1996	100.0	2.6
Copertura quota inf.	4 - 3	E	-1132 2	29373 3	0.02	0.04	0.76	6700	0	10824	61.9	0.0	24960	0.00	0.07	1.14	8	0	1694	0.5	0.0
Copertura quota inf.	5 - 4	E	-1389 5	22396 1	0.00	0.06	1.12	746	340	12682	5.9	0.0	9355	0.02	0.15	1.68	193	1104	1404	13.7	0.0
Copertura quota inf.	6 - 5	E	-459	222	0.02	0.17	1.62	4	4	37	11.4	0.0	372	0.00	0.13	1.62	0	0	48	0.5	0.0
Copertura quota inf.	8 - 6	E	-5270	94589	0.00	0.05	0.96	77	42	5151	1.5	0.0	6142	0.02	0.10	1.44	111	99	625	17.7	0.0
Copertura quota inf.	7 - 8	E	-7115	14373 8	0.00	0.05	0.96	81	58	7088	1.1	0.0	8526	0.02	0.10	1.44	138	121	845	16.3	0.0
Copertura quota sup.	2 - 3	E	-8869	19468 31	0.00	0.01	0.32	2535	2394	21793	11.6	0.0	82445 3	0.00	0.00	0.48	2808	2682	3930	71.4	0.0

Copertura quota sup.	6 - 2	E	-6484	14306 12	0.00	0.01	0.32	4367	0	16050	27.2	0.0	60806 6	0.00	0.00	0.48	549	0	2873	19.1	0.0
Copertura quota sup.	3 - 4	E	-5886	71575 0	0.00	0.01	0.32	2758	2741	9030	30.5	0.0	24191 8	0.00	0.01	0.48	191	169	2146	8.9	0.0
Copertura quota sup.	4 - 5	E	-6806	82151 0	0.00	0.01	0.32	742	0	10371	7.2	0.0	27729 3	0.00	0.01	0.48	934	0	2481	37.7	0.0
Copertura quota sup.	5 - 6	E	-300	21822	0.00	0.01	0.48	67	0	140	47.7	0.0	16364	0.00	0.01	0.48	10	0	110	8.9	0.0

Cond_Y 2(-); E(-); S2(+): Sisma Y (-); Distribuzione forze: Proporzionale altezze; Eccentricità accidentale (-0.05*Ly); Sisma seconda direzione (+)

Imp.	Fili	Stato	N [daN]	k _L [daN/cm]	δ _L [cm]	δ _{L,0} [cm]	δ _{L,u} [cm]	V _L [daN]	V _{L,e} [daN]	V _{L,u} [daN]	%_δ _{L,0}	%_δ _{L,u}	k _t [daN/cm]	δ _t [cm]	δ _{t,0} [cm]	δ _{t,u} [cm]	V _t [daN]	V _{t,e} [daN]	V _{t,u} [daN]	%_δ _{t,0}	%_δ _{t,u}
Primo piano	7 - 1	P	-2452 5	18860 4	0.24	0.08	1.16	15131	0	15131	100.0	14.9	13503	0.04	0.23	1.16	476	0	3169	15.0	0.0
Primo piano	1 - 9	E	-1232 0	8684	0.06	0.24	1.74	499	473	2097	23.8	0.0	5401	0.24	0.30	1.74	1278	1302	1608	79.5	0.0
Primo piano	1 - 9	E	-3782 8	10255 2	0.06	0.11	1.16	5795	5158	10916	53.1	0.0	15356	0.22	0.32	1.74	3419	3656	4852	70.5	0.0
Primo piano	2 - 3	E	-7531	1206	0.05	0.51	1.74	66	76	610	10.9	0.0	2701	0.20	0.35	1.74	534	540	936	57.1	0.0
Primo piano	2 - 3	E	-3125 4	49601	0.05	0.17	1.16	2699	2452	8236	32.8	0.0	10803	0.19	0.36	1.74	2050	2161	3843	53.4	0.0
Primo piano	2 - 3	E	-3326 2	49601	0.05	0.17	1.16	2651	2422	8465	31.3	0.0	10803	0.18	0.37	1.74	1897	2005	4014	47.3	0.0
Primo piano	2 - 3	E	-1478 9	5458	0.05	0.35	1.74	287	282	1936	14.8	0.0	4567	0.16	0.38	1.74	746	762	1756	42.5	0.0
Primo piano	6 - 2	P	-5267 2	34562 0	0.20	0.08	1.04	28019	0	28019	100.0	12.6	40894	0.03	0.20	1.04	1267	0	8188	15.5	0.0
Primo piano	9 - 2	E	-2096 6	32791	0.06	0.18	1.56	1834	1432	5798	31.6	0.0	11019	0.21	0.27	1.56	2349	1992	2963	79.3	0.0
Primo piano	9 - 2	E	-9628	3576	0.06	0.32	1.56	197	168	1143	17.3	0.0	4795	0.20	0.28	1.56	970	806	1342	72.3	0.0
Primo piano	3 - 4	P	-4807 0	23646 0	0.16	0.09	1.16	21785	21817	21785	100.0	6.6	16364	0.03	0.33	1.16	464	644	5448	8.5	0.0
Primo piano	4 - 5	P	-2717 7	27961 7	0.04	0.07	1.16	9858	0	20241	48.7	0.0	18984	0.18	0.00	1.16	0	0	0	100.0	15.4
Primo piano	8 - 6	P	-9654	10108	0.02	0.07	1.56	2475	1991	7132	34.7	0.0	10321	0.21	0.14	1.56	1448	1246	1448	100.0	4.9
Primo piano	7 - 8	P	-9816	13835 6	0.03	0.07	1.74	3541	2897	9554	37.1	0.0	10563	0.23	0.14	1.74	1464	1592	1464	100.0	5.7
Sottotetto	7 - 1	P	-1449 7	15543 4	0.34	0.07	1.12	10594	0	10594	100.0	26.1	6785	0.02	0.22	1.12	154	0	1484	10.4	0.0
Sottotetto	1 - 9	P	-6155	11296	0.04	0.12	1.68	442	305	1379	32.0	0.0	3454	0.34	0.21	1.68	709	733	709	100.0	9.2
Sottotetto	1 - 9	P	-1636 7	85866	0.04	0.08	1.68	3330	2237	6687	49.8	0.0	8426	0.34	0.22	1.68	1871	2022	1871	100.0	7.8
Sottotetto	2 - 3	P	-2420 7	12840 0	0.04	0.08	1.68	4912	3487	10349	47.5	0.0	10610	0.33	0.26	1.68	2721	3004	2721	100.0	4.8
Sottotetto	2 - 3	P	-1464 9	41964	0.04	0.12	1.68	1588	1179	5184	30.6	0.0	5922	0.32	0.28	1.68	1629	1740	1629	100.0	3.1
Sottotetto	2 - 3	P	-7857	7786	0.04	0.19	1.68	292	241	1466	20.0	0.0	3005	0.31	0.29	1.68	866	958	866	100.0	1.9
Sottotetto	6 - 2	C	-2843 1	25182 8	1.00	0.07	1.00	17899	0	17899	100.0	100.0	20779	0.02	0.18	1.00	432	0	3751	11.5	0.0
Sottotetto	6 - 2	P	-5859	8031	0.33	0.14	1.50	1115	0	1115	100.0	13.9	3759	0.03	0.19	1.50	99	0	730	13.6	0.0
Sottotetto	9 - 2	P	-9104	28174	0.04	0.10	1.50	1088	631	2878	37.8	0.0	6152	0.33	0.19	1.50	1151	966	1151	100.0	11.0
Sottotetto	9 - 2	P	-4739	4388	0.04	0.17	1.50	168	104	731	23.0	0.0	3018	0.33	0.20	1.50	596	493	596	100.0	10.0
Sottotetto	3 - 4	P	-2728 4	19237 7	0.32	0.08	1.12	14867	14854	14867	100.0	22.8	8162	0.02	0.31	1.12	149	270	2539	5.9	0.0
Sottotetto	4 - 5	P	-2491 9	22396 1	0.05	0.07	1.12	11579	0	16220	71.4	0.0	9355	0.32	0.00	1.12	0	0	0	100.0	28.4
Sottotetto	5 - 6	P	-808	200	0.33	0.30	1.68	60	0	60	100.0	2.0	334	0.02	0.24	1.68	6	0	79	7.1	0.0
Sottotetto	8 - 6	P	-8589	82547	0.02	0.07	1.50	2012	1398	5911	34.0	0.0	5154	0.33	0.19	1.50	956	833	956	100.0	11.1
Sottotetto	7 - 8	P	-1040 3	11277 6	0.02	0.07	1.68	2350	2040	7894	29.8	0.0	5228	0.34	0.20	1.68	1051	1099	1051	100.0	9.3
Copertura quota inf.	1 - 7	E	-6523	28972 5	0.01	0.03	0.64	4071	4040	8076	50.4	0.0	33610	0.00	0.04	0.96	101	85	1178	8.5	0.0
Copertura quota inf.	9 - 1	P	-4491	11394 39	0.00	0.01	0.48	2161	0	12172	17.8	0.0	48648 9	0.02	0.00	0.48	1601	0	1601	100.0	2.5
Copertura quota inf.	3 - 2	P	-1882 0	15536 40	0.00	0.02	0.40	3520	0	24970	14.1	0.0	49765 8	0.02	0.00	0.40	0	0	0	100.0	5.2
Copertura quota inf.	6 - 2	E	-1215 9	33107 8	0.02	0.04	0.75	6142	0	12646	48.6	0.0	43272	0.00	0.05	1.13	159	0	2217	7.2	0.0
Copertura quota inf.	6 - 2	P	-1410	79382	0.02	0.01	0.56	703	0	703	100.0	1.4	49678	0.00	0.01	0.56	80	0	506	15.9	0.0

tura quota inf.																					
Coper tura quota inf.	2 - 9	P	-5128	80946 9	0.00	0.01	0.48	1654	0	9485	17.4	0.0	34964 0	0.02	0.01	0.48	1929	0	1929	100.0	2.5
Coper tura quota inf.	4 - 3	E	-1189 6	29373 3	0.02	0.04	0.76	6766	0	10997	61.5	0.0	24960	0.00	0.07	1.14	86	0	1770	4.8	0.0
Coper tura quota inf.	5 - 4	E	-1406 0	22396 1	0.01	0.06	1.12	1712	1305	12730	13.4	0.0	9355	0.02	0.15	1.68	188	1210	1420	13.2	0.0
Coper tura quota inf.	6 - 5	E	-457	222	0.02	0.17	1.62	4	4	37	11.2	0.0	372	0.00	0.13	1.62	2	2	48	3.8	0.0
Coper tura quota inf.	8 - 6	E	-5191	94589	0.01	0.05	0.96	479	432	5127	9.4	0.0	6142	0.02	0.10	1.44	107	105	616	17.4	0.0
Coper tura quota inf.	7 - 8	E	-6858	14373 8	0.00	0.05	0.96	693	659	7009	9.9	0.0	8526	0.02	0.10	1.44	131	121	816	16.1	0.0
Coper tura quota sup.	2 - 3	E	-9043	19468 31	0.00	0.01	0.32	1805	1657	21864	8.3	0.0	82445 3	0.00	0.00	0.48	2807	2646	4006	70.1	0.0
Coper tura quota sup.	6 - 2	E	-5873	14306 12	0.00	0.01	0.32	4498	0	15798	28.5	0.0	60806 6	0.00	0.00	0.48	620	0	2606	23.8	0.0
Coper tura quota sup.	3 - 4	E	-6298	71575 0	0.00	0.01	0.32	2672	2654	9178	29.1	0.0	24191 8	0.00	0.01	0.48	254	214	2291	11.1	0.0
Coper tura quota sup.	4 - 5	E	-6852	82151 0	0.00	0.01	0.32	1382	0	10388	13.3	0.0	27729 3	0.00	0.01	0.48	906	0	2498	36.3	0.0
Coper tura quota sup.	5 - 6	E	-279	21822	0.00	0.01	0.48	69	0	130	52.9	0.0	16364	0.00	0.01	0.48	20	0	102	19.8	0.0

Cond_Y_2(-); E(-); S2(-) : Sisma Y (-); Distribuzione forze: Proporzionale altezze; Eccentricità accidentale (-0.05*Ly); Sisma seconda direzione (-)

Imp.	Fili	Stato	N [daN]	k _L [daN/cm]	δ _L [cm]	δ _{L,0} [cm]	δ _{L,u} [cm]	V _L [daN]	V _{L,e} [daN]	V _{L,u} [daN]	%_δ _{L,0}	%_δ _{L,u}	k _t [daN/cm]	δ _t [cm]	δ _{t,0} [cm]	δ _{t,u} [cm]	V _t [daN]	V _{t,e} [daN]	V _{t,u} [daN]	%_δ _{t,0}	%_δ _{t,u}
Primo piano	7 - 1	P	-3143 3	18860 4	0.19	0.09	1.16	16314	0	16314	100.0	10.1	13503	0.03	0.28	1.16	388	0	3719	10.4	0.0
Primo piano	1 - 9	E	-1394 8	8684	0.04	0.27	1.74	325	304	2307	14.1	0.0	5401	0.19	0.33	1.74	1049	1064	1768	59.3	0.0
Primo piano	1 - 9	E	-4033 1	10255 2	0.04	0.11	1.16	3837	3265	11223	34.2	0.0	15356	0.20	0.33	1.74	3015	3175	5092	59.2	0.0
Primo piano	2 - 3	E	-7305	1206	0.04	0.49	1.74	45	55	597	7.6	0.0	2701	0.20	0.34	1.74	541	544	915	59.1	0.0
Primo piano	2 - 3	E	-2949 2	49601	0.04	0.16	1.16	1861	1595	8029	23.2	0.0	10803	0.20	0.34	1.74	2176	2251	3686	59.0	0.0
Primo piano	2 - 3	E	-2997 5	49601	0.04	0.16	1.16	1861	1592	8086	23.0	0.0	10803	0.20	0.35	1.74	2199	2275	3729	59.0	0.0
Primo piano	2 - 3	E	-1284 8	5458	0.04	0.32	1.74	205	199	1756	11.7	0.0	4567	0.21	0.35	1.74	938	949	1592	58.9	0.0
Primo piano	6 - 2	P	-5307 4	34562 0	0.20	0.08	1.04	28047	0	28047	100.0	12.5	40894	0.03	0.20	1.04	1149	0	8205	14.0	0.0
Primo piano	9 - 2	E	-2152 3	32791	0.04	0.18	1.56	1228	923	5912	20.8	0.0	11019	0.20	0.27	1.56	2180	1831	3022	72.1	0.0
Primo piano	9 - 2	E	-9488	3576	0.04	0.32	1.56	134	116	1130	11.8	0.0	4795	0.20	0.28	1.56	957	791	1328	72.1	0.0
Primo piano	3 - 4	P	-4007 2	23646 0	0.21	0.09	1.16	20318	20350	20318	100.0	11.3	16364	0.03	0.29	1.16	429	570	4763	9.0	0.0
Primo piano	4 - 5	P	-2438 6	27961 7	0.05	0.07	1.16	13559	0	20822	65.1	0.0	18984	0.20	0.00	1.16	0	0	0	100.0	17.2
Primo piano	8 - 6	P	-1110 4	10108 8	0.03	0.07	1.56	3094	2526	7433	41.6	0.0	10321	0.20	0.16	1.56	1603	1394	1603	100.0	3.1
Primo piano	7 - 8	P	-1451 4	13835 6	0.03	0.08	1.16	4268	3689	10471	40.8	0.0	10563	0.20	0.00	1.16	0	2031	0	100.0	16.9
Sottotetto	7 - 1	P	-1726 1	15543 4	0.80	0.07	1.12	11116	0	11116	100.0	69.2	6785	0.02	0.25	1.12	148	0	1666	8.9	0.0
Sottotetto	1 - 9	P	-6939	11296	0.05	0.14	1.68	577	306	1541	37.4	0.0	3454	0.80	0.23	1.68	792	812	792	100.0	39.1
Sottotetto	1 - 9	P	-1742 8	85866	0.05	0.08	1.68	4384	2185	6864	63.9	0.0	8426	0.80	0.24	1.68	1985	2126	1985	100.0	39.0
Sottotetto	2 - 3	P	-2327 8	12840 0	0.05	0.08	1.68	6610	3229	10192	64.9	0.0	10610	0.81	0.25	1.68	2633	2869	2633	100.0	38.9
Sottotetto	2 - 3	P	-1341 4	41964	0.05	0.12	1.68	2160	1071	5004	43.2	0.0	5922	0.81	0.26	1.68	1511	1638	1511	100.0	38.8
Sottotetto	2 - 3	P	-6964	7786	0.05	0.17	1.68	401	214	1323	30.3	0.0	3005	0.81	0.26	1.68	782	820	782	100.0	38.8
Sottotetto	6 - 2	C	-2865 0	25182 8	1.00	0.07	1.00	17920	0	17920	100.0	100.0	20779	0.02	0.18	1.00	432	0	3761	11.5	0.0
Sottotetto	6 - 2	P	-5780	8031	0.80	0.14	1.50	1101	0	1101	100.0	49.0	3759	0.02	0.19	1.50	90	0	721	12.4	0.0

Sottotetto	9 - 2	P	-9363	28174	0.05	0.10	1.50	1443	589	2950	48.9	0.0	6152	0.80	0.19	1.50	1180	982	1180	100.0	46.6
Sottotetto	9 - 2	P	-4695	4388	0.05	0.17	1.50	225	99	725	31.0	0.0	3018	0.80	0.20	1.50	591	484	591	100.0	46.6
Sottotetto	3 - 4	P	-2416 4	19237 7	0.81	0.07	1.12	14276	14308	14276	100.0	70.6	8162	0.01	0.28	1.12	116	263	2325	5.0	0.0
Sottotetto	4 - 5	P	-2376 8	22396 1	0.11	0.07	1.12	16449	0	16449	100.0	3.4	9355	0.80	0.00	1.12	0	0	0	100.0	71.6
Sottotetto	5 - 6	P	-830	200	0.80	0.31	1.68	62	0	62	100.0	36.2	334	0.02	0.24	1.68	6	0	80	7.7	0.0
Sottotetto	8 - 6	P	-9122	82547	0.04	0.07	1.50	2958	1457	6033	49.0	0.0	5154	0.80	0.19	1.50	1004	869	1004	100.0	46.6
Sottotetto	7 - 8	P	-1221 3	11277 6	0.03	0.07	1.68	3032	2111	8315	36.5	0.0	5228	0.80	0.23	1.68	1196	1239	1196	100.0	39.3
Copertura quota inf.	1 - 7	E	-7091	28972 5	0.02	0.03	0.64	5438	5398	8265	65.8	0.0	33610	0.00	0.04	0.96	63	53	1276	5.0	0.0
Copertura quota inf.	9 - 1	P	-5681	11394 39	0.00	0.01	0.48	2963	0	12312	24.1	0.0	48648 9	0.02	0.00	0.48	1744	0	1744	100.0	3.2
Copertura quota inf.	3 - 2	P	-1714 0	15536 40	0.00	0.02	0.40	4056	0	24592	16.5	0.0	49765 8	0.02	0.00	0.40	0	0	0	100.0	4.8
Copertura quota inf.	6 - 2	E	-1221 6	33107 8	0.02	0.04	0.75	6297	0	12664	49.7	0.0	43272	0.00	0.05	1.13	80	0	2227	3.6	0.0
Copertura quota inf.	6 - 2	P	-1403	79382	0.02	0.01	0.56	697	0	697	100.0	1.5	49678	0.00	0.01	0.56	88	0	503	17.5	0.0
Copertura quota inf.	2 - 9	P	-5355	80946 9	0.00	0.01	0.48	2108	0	9513	22.2	0.0	34964 0	0.02	0.01	0.48	1959	0	1959	100.0	2.8
Copertura quota inf.	4 - 3	E	-1135 6	29373 3	0.02	0.04	0.76	5663	0	10835	52.3	0.0	24960	0.00	0.07	1.14	42	0	1698	2.5	0.0
Copertura quota inf.	5 - 4	E	-1391 4	22396 1	0.00	0.06	1.12	875	504	12687	6.9	0.0	9355	0.02	0.15	1.68	176	1035	1406	12.5	0.0
Copertura quota inf.	6 - 5	E	-459	222	0.02	0.17	1.62	4	4	37	11.4	0.0	372	0.00	0.13	1.62	1	1	48	1.4	0.0
Copertura quota inf.	8 - 6	E	-5270	94589	0.00	0.05	0.96	207	167	5151	4.0	0.0	6142	0.02	0.10	1.44	116	107	625	18.6	0.0
Copertura quota inf.	7 - 8	E	-7108	14373 8	0.00	0.05	0.96	284	255	7086	4.0	0.0	8526	0.02	0.10	1.44	161	142	844	19.0	0.0
Copertura quota sup.	2 - 3	E	-8892	19468 31	0.00	0.01	0.32	2175	2037	21802	10.0	0.0	82445 3	0.00	0.00	0.48	2747	2610	3940	69.7	0.0
Copertura quota sup.	6 - 2	E	-6401	14306 12	0.00	0.01	0.32	4712	0	16016	29.4	0.0	60806 6	0.00	0.00	0.48	578	0	2837	20.4	0.0
Copertura quota sup.	3 - 4	E	-5942	71575 0	0.00	0.01	0.32	2469	2453	9050	27.3	0.0	24191 8	0.00	0.01	0.48	220	187	2166	10.1	0.0
Copertura quota sup.	4 - 5	E	-6812	82151 0	0.00	0.01	0.32	1029	0	10374	9.9	0.0	27729 3	0.00	0.01	0.48	900	0	2484	36.3	0.0
Copertura quota sup.	5 - 6	E	-297	21822	0.00	0.01	0.48	72	0	138	52.0	0.0	16364	0.00	0.01	0.48	15	0	109	13.4	0.0

4.3.2 Spostamenti degli elementi maschio per SLD.

Imp. : numero dell'impalcato
 Fili : numero dei fili fissi iniziale e finale
 H : altezza dell'elemento
 μ : frazione per valore limite SLD
 δ_{SLD} : spostamento raggiunto dagli elementi per SLD
 $\delta_{SLD \text{ lim}}$: spostamento limite per SLD

Cond_X_1(+); E(+); S2(+): Sisma X (+); Distribuzione forze: Proporzionale masse; Eccentricità
accidentale (+ 0.05*Ly); Sisma seconda direzione (+)

Imp.	Fili	H [cm]	μ	δ_{SLD} [cm]	$\delta_{SLD\ lim}$ [cm]
Primo piano	7 - 1	290.00	0.0030	0.79	0.87
Primo piano	1 - 9	290.00	0.0030	0.79	0.87
Primo piano	1 - 9	290.00	0.0030	0.79	0.87
Primo piano	2 - 3	290.00	0.0030	0.79	0.87
Primo piano	2 - 3	290.00	0.0030	0.79	0.87
Primo piano	2 - 3	290.00	0.0030	0.79	0.87
Primo piano	2 - 3	290.00	0.0030	0.79	0.87
Primo piano	2 - 3	290.00	0.0030	0.79	0.87
Primo piano	6 - 2	260.00	0.0030	0.78	0.78
Primo piano	9 - 2	260.00	0.0030	0.78	0.78
Primo piano	9 - 2	260.00	0.0030	0.78	0.78
Primo piano	3 - 4	290.00	0.0030	0.79	0.87
Primo piano	4 - 5	290.00	0.0030	0.78	0.87
Primo piano	8 - 6	260.00	0.0030	0.78	0.78
Primo piano	7 - 8	290.00	0.0030	0.79	0.87
Sottotetto	7 - 1	280.00	0.0030	0.06	0.84
Sottotetto	1 - 9	280.00	0.0030	0.07	0.84
Sottotetto	1 - 9	280.00	0.0030	0.07	0.84
Sottotetto	2 - 3	280.00	0.0030	0.07	0.84
Sottotetto	2 - 3	280.00	0.0030	0.07	0.84
Sottotetto	2 - 3	280.00	0.0030	0.07	0.84
Sottotetto	6 - 2	250.00	0.0030	0.06	0.75
Sottotetto	6 - 2	250.00	0.0030	0.07	0.75
Sottotetto	9 - 2	250.00	0.0030	0.07	0.75
Sottotetto	9 - 2	250.00	0.0030	0.07	0.75
Sottotetto	3 - 4	280.00	0.0030	0.06	0.84
Sottotetto	4 - 5	280.00	0.0030	0.06	0.84
Sottotetto	5 - 6	280.00	0.0030	0.06	0.84
Sottotetto	8 - 6	250.00	0.0030	0.06	0.75
Sottotetto	7 - 8	280.00	0.0030	0.06	0.84
Copertura quota inf.	1 - 7	160.00	0.0030	0.01	0.48
Copertura quota inf.	9 - 1	80.00	0.0030	0.01	0.24
Copertura quota inf.	3 - 2	100.00	0.0030	0.01	0.30
Copertura quota inf.	6 - 2	188.10	0.0030	0.01	0.56
Copertura quota inf.	6 - 2	94.05	0.0030	0.01	0.28
Copertura quota inf.	2 - 9	80.00	0.0030	0.01	0.24
Copertura quota inf.	4 - 3	190.00	0.0030	0.01	0.57
Copertura quota inf.	5 - 4	280.00	0.0030	0.01	0.84
Copertura quota inf.	6 - 5	270.00	0.0030	0.01	0.81
Copertura quota inf.	8 - 6	240.00	0.0030	0.01	0.72
Copertura quota inf.	7 - 8	240.00	0.0030	0.01	0.72
Copertura quota sup.	2 - 3	80.00	0.0030	0.00	0.24
Copertura quota sup.	6 - 2	80.00	0.0030	0.00	0.24
Copertura quota sup.	3 - 4	80.00	0.0030	0.00	0.24
Copertura quota sup.	4 - 5	80.00	0.0030	0.00	0.24
Copertura quota sup.	5 - 6	80.00	0.0030	0.00	0.24

Cond_X_1(+); E(+); S2(-): Sisma X (+); Distribuzione forze: Proporzionale masse; Eccentricità
accidentale (+ 0.05*Ly); Sisma seconda direzione (-)

Imp.	Fili	H [cm]	μ	δ_{SLD} [cm]	$\delta_{SLD\ lim}$ [cm]
Primo piano	7 - 1	290.00	0.0030	0.87	0.87
Primo piano	1 - 9	290.00	0.0030	0.87	0.87
Primo piano	1 - 9	290.00	0.0030	0.87	0.87
Primo piano	2 - 3	290.00	0.0030	0.87	0.87
Primo piano	2 - 3	290.00	0.0030	0.87	0.87
Primo piano	2 - 3	290.00	0.0030	0.87	0.87
Primo piano	2 - 3	290.00	0.0030	0.87	0.87
Primo piano	2 - 3	290.00	0.0030	0.87	0.87
Primo piano	6 - 2	260.00	0.0030	0.78	0.78
Primo piano	9 - 2	260.00	0.0030	0.78	0.78
Primo piano	9 - 2	260.00	0.0030	0.78	0.78
Primo piano	3 - 4	290.00	0.0030	0.87	0.87
Primo piano	4 - 5	290.00	0.0030	0.87	0.87
Primo piano	8 - 6	260.00	0.0030	0.78	0.78
Primo piano	7 - 8	290.00	0.0030	0.87	0.87
Sottotetto	7 - 1	280.00	0.0030	0.06	0.84
Sottotetto	1 - 9	280.00	0.0030	0.06	0.84
Sottotetto	1 - 9	280.00	0.0030	0.06	0.84
Sottotetto	2 - 3	280.00	0.0030	0.06	0.84
Sottotetto	2 - 3	280.00	0.0030	0.06	0.84
Sottotetto	2 - 3	280.00	0.0030	0.06	0.84
Sottotetto	2 - 3	280.00	0.0030	0.06	0.84
Sottotetto	6 - 2	250.00	0.0030	0.06	0.75
Sottotetto	6 - 2	250.00	0.0030	0.06	0.75
Sottotetto	9 - 2	250.00	0.0030	0.06	0.75
Sottotetto	9 - 2	250.00	0.0030	0.06	0.75
Sottotetto	3 - 4	280.00	0.0030	0.06	0.84
Sottotetto	4 - 5	280.00	0.0030	0.06	0.84
Sottotetto	5 - 6	280.00	0.0030	0.06	0.84
Sottotetto	8 - 6	250.00	0.0030	0.06	0.75
Sottotetto	7 - 8	280.00	0.0030	0.06	0.84
Copertura quota inf.	1 - 7	160.00	0.0030	0.01	0.48
Copertura quota inf.	9 - 1	80.00	0.0030	0.00	0.24
Copertura quota inf.	3 - 2	100.00	0.0030	0.00	0.30
Copertura quota inf.	6 - 2	188.10	0.0030	0.01	0.56
Copertura quota inf.	6 - 2	94.05	0.0030	0.00	0.28
Copertura quota inf.	2 - 9	80.00	0.0030	0.00	0.24
Copertura quota inf.	4 - 3	190.00	0.0030	0.01	0.57
Copertura quota inf.	5 - 4	280.00	0.0030	0.01	0.84
Copertura quota inf.	6 - 5	270.00	0.0030	0.01	0.81
Copertura quota inf.	8 - 6	240.00	0.0030	0.01	0.72
Copertura quota inf.	7 - 8	240.00	0.0030	0.01	0.72
Copertura quota sup.	2 - 3	80.00	0.0030	0.00	0.24

Copertura quota sup.	6 - 2	80.00	0.0030	0.00	0.24
Copertura quota sup.	3 - 4	80.00	0.0030	0.00	0.24
Copertura quota sup.	4 - 5	80.00	0.0030	0.00	0.24
Copertura quota sup.	5 - 6	80.00	0.0030	0.00	0.24

Cond_X_1(+); E(-); S2(+) : Sisma X (+); Distribuzione forze: Proporzionale masse; Eccentricità accidentale (- 0.05*Ly); Sisma seconda direzione (+)

Imp.	Fili	H [cm]	μ	δ_{SLD} [cm]	$\delta_{SLD\ lim}$ [cm]
Primo piano	7 - 1	290.00	0.0030	0.79	0.87
Primo piano	1 - 9	290.00	0.0030	0.79	0.87
Primo piano	1 - 9	290.00	0.0030	0.79	0.87
Primo piano	2 - 3	290.00	0.0030	0.79	0.87
Primo piano	2 - 3	290.00	0.0030	0.79	0.87
Primo piano	2 - 3	290.00	0.0030	0.79	0.87
Primo piano	2 - 3	290.00	0.0030	0.79	0.87
Primo piano	6 - 2	260.00	0.0030	0.78	0.78
Primo piano	9 - 2	260.00	0.0030	0.78	0.78
Primo piano	9 - 2	260.00	0.0030	0.78	0.78
Primo piano	3 - 4	290.00	0.0030	0.79	0.87
Primo piano	4 - 5	290.00	0.0030	0.78	0.87
Primo piano	8 - 6	260.00	0.0030	0.78	0.78
Primo piano	7 - 8	290.00	0.0030	0.78	0.87
Sottotetto	7 - 1	280.00	0.0030	0.06	0.84
Sottotetto	1 - 9	280.00	0.0030	0.07	0.84
Sottotetto	1 - 9	280.00	0.0030	0.07	0.84
Sottotetto	2 - 3	280.00	0.0030	0.07	0.84
Sottotetto	2 - 3	280.00	0.0030	0.07	0.84
Sottotetto	2 - 3	280.00	0.0030	0.07	0.84
Sottotetto	6 - 2	250.00	0.0030	0.06	0.75
Sottotetto	6 - 2	250.00	0.0030	0.07	0.75
Sottotetto	9 - 2	250.00	0.0030	0.07	0.75
Sottotetto	9 - 2	250.00	0.0030	0.07	0.75
Sottotetto	3 - 4	280.00	0.0030	0.06	0.84
Sottotetto	4 - 5	280.00	0.0030	0.06	0.84
Sottotetto	5 - 6	280.00	0.0030	0.06	0.84
Sottotetto	8 - 6	250.00	0.0030	0.06	0.75
Sottotetto	7 - 8	280.00	0.0030	0.06	0.84
Copertura quota inf.	1 - 7	160.00	0.0030	0.01	0.48
Copertura quota inf.	9 - 1	80.00	0.0030	0.01	0.24
Copertura quota inf.	3 - 2	100.00	0.0030	0.01	0.30
Copertura quota inf.	6 - 2	188.10	0.0030	0.01	0.56
Copertura quota inf.	6 - 2	94.05	0.0030	0.01	0.28
Copertura quota inf.	2 - 9	80.00	0.0030	0.01	0.24
Copertura quota inf.	4 - 3	190.00	0.0030	0.01	0.57
Copertura quota inf.	5 - 4	280.00	0.0030	0.01	0.84
Copertura quota inf.	6 - 5	270.00	0.0030	0.01	0.81
Copertura quota inf.	8 - 6	240.00	0.0030	0.01	0.72
Copertura quota inf.	7 - 8	240.00	0.0030	0.01	0.72
Copertura quota sup.	2 - 3	80.00	0.0030	0.00	0.24
Copertura quota sup.	6 - 2	80.00	0.0030	0.00	0.24
Copertura quota sup.	3 - 4	80.00	0.0030	0.00	0.24
Copertura quota sup.	4 - 5	80.00	0.0030	0.00	0.24
Copertura quota sup.	5 - 6	80.00	0.0030	0.00	0.24

Cond_X_1(+); E(-); S2(-): Sisma X (+); Distribuzione forze: Proporzionale masse; Eccentricità accidentale (- 0.05*Ly); Sisma seconda direzione (-)

Imp.	Fili	H [cm]	μ	δ_{SLD} [cm]	$\delta_{SLD\ lim}$ [cm]
Primo piano	7 - 1	290.00	0.0030	0.87	0.87
Primo piano	1 - 9	290.00	0.0030	0.87	0.87
Primo piano	1 - 9	290.00	0.0030	0.87	0.87
Primo piano	2 - 3	290.00	0.0030	0.87	0.87
Primo piano	2 - 3	290.00	0.0030	0.87	0.87
Primo piano	2 - 3	290.00	0.0030	0.87	0.87
Primo piano	2 - 3	290.00	0.0030	0.87	0.87
Primo piano	6 - 2	260.00	0.0030	0.78	0.78
Primo piano	9 - 2	260.00	0.0030	0.78	0.78
Primo piano	9 - 2	260.00	0.0030	0.78	0.78
Primo piano	3 - 4	290.00	0.0030	0.87	0.87
Primo piano	4 - 5	290.00	0.0030	0.87	0.87
Primo piano	8 - 6	260.00	0.0030	0.78	0.78
Primo piano	7 - 8	290.00	0.0030	0.87	0.87
Sottotetto	7 - 1	280.00	0.0030	0.06	0.84
Sottotetto	1 - 9	280.00	0.0030	0.07	0.84
Sottotetto	1 - 9	280.00	0.0030	0.07	0.84
Sottotetto	2 - 3	280.00	0.0030	0.07	0.84
Sottotetto	2 - 3	280.00	0.0030	0.07	0.84
Sottotetto	2 - 3	280.00	0.0030	0.07	0.84
Sottotetto	6 - 2	250.00	0.0030	0.06	0.75
Sottotetto	6 - 2	250.00	0.0030	0.07	0.75
Sottotetto	9 - 2	250.00	0.0030	0.07	0.75
Sottotetto	9 - 2	250.00	0.0030	0.07	0.75
Sottotetto	3 - 4	280.00	0.0030	0.06	0.84
Sottotetto	4 - 5	280.00	0.0030	0.06	0.84
Sottotetto	5 - 6	280.00	0.0030	0.06	0.84
Sottotetto	8 - 6	250.00	0.0030	0.06	0.75
Sottotetto	7 - 8	280.00	0.0030	0.06	0.84
Copertura quota inf.	1 - 7	160.00	0.0030	0.01	0.48
Copertura quota inf.	9 - 1	80.00	0.0030	0.00	0.24
Copertura quota inf.	3 - 2	100.00	0.0030	0.00	0.30
Copertura quota inf.	6 - 2	188.10	0.0030	0.01	0.56
Copertura quota inf.	6 - 2	94.05	0.0030	0.00	0.28
Copertura quota inf.	2 - 9	80.00	0.0030	0.00	0.24

Copertura quota inf.	4 - 3	190.00	0.0030	0.01	0.57
Copertura quota inf.	5 - 4	280.00	0.0030	0.01	0.84
Copertura quota inf.	6 - 5	270.00	0.0030	0.01	0.81
Copertura quota inf.	8 - 6	240.00	0.0030	0.01	0.72
Copertura quota inf.	7 - 8	240.00	0.0030	0.01	0.72
Copertura quota sup.	2 - 3	80.00	0.0030	0.00	0.24
Copertura quota sup.	6 - 2	80.00	0.0030	0.00	0.24
Copertura quota sup.	3 - 4	80.00	0.0030	0.00	0.24
Copertura quota sup.	4 - 5	80.00	0.0030	0.00	0.24
Copertura quota sup.	5 - 6	80.00	0.0030	0.00	0.24

Cond_X_1(-); E(+); S2(+) : Sisma X (-); **Distribuzione forze: Proporzionale masse; Eccentricità accidentale (+ 0.05*Ly); Sisma seconda direzione (+)**

Imp.	Fili	H [cm]	μ	δ_{SLD} [cm]	δ_{SLD} lim [cm]
Primo piano	7 - 1	290.00	0.0030	0.79	0.87
Primo piano	1 - 9	290.00	0.0030	0.80	0.87
Primo piano	1 - 9	290.00	0.0030	0.80	0.87
Primo piano	2 - 3	290.00	0.0030	0.80	0.87
Primo piano	2 - 3	290.00	0.0030	0.80	0.87
Primo piano	2 - 3	290.00	0.0030	0.80	0.87
Primo piano	2 - 3	290.00	0.0030	0.79	0.87
Primo piano	6 - 2	260.00	0.0030	0.78	0.78
Primo piano	9 - 2	260.00	0.0030	0.78	0.78
Primo piano	9 - 2	260.00	0.0030	0.78	0.78
Primo piano	3 - 4	290.00	0.0030	0.79	0.87
Primo piano	4 - 5	290.00	0.0030	0.78	0.87
Primo piano	8 - 6	260.00	0.0030	0.78	0.78
Primo piano	7 - 8	290.00	0.0030	0.79	0.87
Sottotetto	7 - 1	280.00	0.0030	0.06	0.84
Sottotetto	1 - 9	280.00	0.0030	0.06	0.84
Sottotetto	1 - 9	280.00	0.0030	0.06	0.84
Sottotetto	2 - 3	280.00	0.0030	0.06	0.84
Sottotetto	2 - 3	280.00	0.0030	0.06	0.84
Sottotetto	2 - 3	280.00	0.0030	0.06	0.84
Sottotetto	6 - 2	250.00	0.0030	0.06	0.75
Sottotetto	6 - 2	250.00	0.0030	0.06	0.75
Sottotetto	9 - 2	250.00	0.0030	0.06	0.75
Sottotetto	9 - 2	250.00	0.0030	0.06	0.75
Sottotetto	3 - 4	280.00	0.0030	0.06	0.84
Sottotetto	4 - 5	280.00	0.0030	0.06	0.84
Sottotetto	5 - 6	280.00	0.0030	0.06	0.84
Sottotetto	8 - 6	250.00	0.0030	0.06	0.75
Sottotetto	7 - 8	280.00	0.0030	0.06	0.84
Copertura quota inf.	1 - 7	160.00	0.0030	0.01	0.48
Copertura quota inf.	9 - 1	80.00	0.0030	0.00	0.24
Copertura quota inf.	3 - 2	100.00	0.0030	0.00	0.30
Copertura quota inf.	6 - 2	188.10	0.0030	0.01	0.56
Copertura quota inf.	6 - 2	94.05	0.0030	0.00	0.28
Copertura quota inf.	2 - 9	80.00	0.0030	0.00	0.24
Copertura quota inf.	4 - 3	190.00	0.0030	0.01	0.57
Copertura quota inf.	5 - 4	280.00	0.0030	0.01	0.84
Copertura quota inf.	6 - 5	270.00	0.0030	0.01	0.81
Copertura quota inf.	8 - 6	240.00	0.0030	0.01	0.72
Copertura quota inf.	7 - 8	240.00	0.0030	0.01	0.72
Copertura quota sup.	2 - 3	80.00	0.0030	0.00	0.24
Copertura quota sup.	6 - 2	80.00	0.0030	0.00	0.24
Copertura quota sup.	3 - 4	80.00	0.0030	0.00	0.24
Copertura quota sup.	4 - 5	80.00	0.0030	0.00	0.24
Copertura quota sup.	5 - 6	80.00	0.0030	0.00	0.24

Cond_X_1(-); E(+); S2(-): Sisma X (-); Distribuzione forze: Proporzionale masse; Eccentricità accidentale (+ 0.05*Ly); Sisma seconda direzione (-)

Imp.	Fili	H [cm]	μ	δ_{SLD} [cm]	δ_{SLD} lim [cm]
Primo piano	7 - 1	290.00	0.0030	0.87	0.87
Primo piano	1 - 9	290.00	0.0030	0.87	0.87
Primo piano	1 - 9	290.00	0.0030	0.87	0.87
Primo piano	2 - 3	290.00	0.0030	0.87	0.87
Primo piano	2 - 3	290.00	0.0030	0.87	0.87
Primo piano	2 - 3	290.00	0.0030	0.87	0.87
Primo piano	2 - 3	290.00	0.0030	0.87	0.87
Primo piano	6 - 2	260.00	0.0030	0.78	0.78
Primo piano	9 - 2	260.00	0.0030	0.78	0.78
Primo piano	9 - 2	260.00	0.0030	0.78	0.78
Primo piano	3 - 4	290.00	0.0030	0.87	0.87
Primo piano	4 - 5	290.00	0.0030	0.87	0.87
Primo piano	8 - 6	260.00	0.0030	0.78	0.78
Primo piano	7 - 8	290.00	0.0030	0.87	0.87
Sottotetto	7 - 1	280.00	0.0030	0.06	0.84
Sottotetto	1 - 9	280.00	0.0030	0.06	0.84
Sottotetto	1 - 9	280.00	0.0030	0.06	0.84
Sottotetto	2 - 3	280.00	0.0030	0.06	0.84
Sottotetto	2 - 3	280.00	0.0030	0.06	0.84
Sottotetto	2 - 3	280.00	0.0030	0.06	0.84
Sottotetto	6 - 2	250.00	0.0030	0.06	0.75
Sottotetto	6 - 2	250.00	0.0030	0.06	0.75
Sottotetto	9 - 2	250.00	0.0030	0.06	0.75
Sottotetto	9 - 2	250.00	0.0030	0.06	0.75
Sottotetto	3 - 4	280.00	0.0030	0.06	0.84
Sottotetto	4 - 5	280.00	0.0030	0.06	0.84
Sottotetto	5 - 6	280.00	0.0030	0.06	0.84
Sottotetto	8 - 6	250.00	0.0030	0.06	0.75
Sottotetto	7 - 8	280.00	0.0030	0.06	0.84

Copertura quota inf.	1 - 7	160.00	0.0030	0.01	0.48
Copertura quota inf.	9 - 1	80.00	0.0030	0.00	0.24
Copertura quota inf.	3 - 2	100.00	0.0030	0.00	0.30
Copertura quota inf.	6 - 2	188.10	0.0030	0.01	0.56
Copertura quota inf.	6 - 2	94.05	0.0030	0.00	0.28
Copertura quota inf.	2 - 9	80.00	0.0030	0.00	0.24
Copertura quota inf.	4 - 3	190.00	0.0030	0.01	0.57
Copertura quota inf.	5 - 4	280.00	0.0030	0.01	0.84
Copertura quota inf.	6 - 5	270.00	0.0030	0.01	0.81
Copertura quota inf.	8 - 6	240.00	0.0030	0.01	0.72
Copertura quota inf.	7 - 8	240.00	0.0030	0.01	0.72
Copertura quota sup.	2 - 3	80.00	0.0030	0.00	0.24
Copertura quota sup.	6 - 2	80.00	0.0030	0.00	0.24
Copertura quota sup.	3 - 4	80.00	0.0030	0.00	0.24
Copertura quota sup.	4 - 5	80.00	0.0030	0.00	0.24
Copertura quota sup.	5 - 6	80.00	0.0030	0.00	0.24

Cond_X_1(-); E(-); S2(+): Sisma X (-); Distribuzione forze: Proporzionale masse; Eccentricità accidentale (-0.05*Ly); Sisma seconda direzione (+)

Imp.	Fili	H [cm]	μ	δ_{SLD} [cm]	$\delta_{SLD\ lim}$ [cm]
Primo piano	7 - 1	290.00	0.0030	0.79	0.87
Primo piano	1 - 9	290.00	0.0030	0.80	0.87
Primo piano	1 - 9	290.00	0.0030	0.80	0.87
Primo piano	2 - 3	290.00	0.0030	0.80	0.87
Primo piano	2 - 3	290.00	0.0030	0.80	0.87
Primo piano	2 - 3	290.00	0.0030	0.80	0.87
Primo piano	2 - 3	290.00	0.0030	0.80	0.87
Primo piano	2 - 3	290.00	0.0030	0.80	0.87
Primo piano	6 - 2	260.00	0.0030	0.78	0.78
Primo piano	9 - 2	260.00	0.0030	0.78	0.78
Primo piano	9 - 2	260.00	0.0030	0.78	0.78
Primo piano	3 - 4	290.00	0.0030	0.79	0.87
Primo piano	4 - 5	290.00	0.0030	0.78	0.87
Primo piano	8 - 6	260.00	0.0030	0.78	0.78
Primo piano	7 - 8	290.00	0.0030	0.79	0.87
Sottotetto	7 - 1	280.00	0.0030	0.06	0.84
Sottotetto	1 - 9	280.00	0.0030	0.07	0.84
Sottotetto	1 - 9	280.00	0.0030	0.07	0.84
Sottotetto	2 - 3	280.00	0.0030	0.07	0.84
Sottotetto	2 - 3	280.00	0.0030	0.07	0.84
Sottotetto	2 - 3	280.00	0.0030	0.07	0.84
Sottotetto	6 - 2	250.00	0.0030	0.06	0.75
Sottotetto	6 - 2	250.00	0.0030	0.07	0.75
Sottotetto	9 - 2	250.00	0.0030	0.07	0.75
Sottotetto	9 - 2	250.00	0.0030	0.07	0.75
Sottotetto	3 - 4	280.00	0.0030	0.06	0.84
Sottotetto	4 - 5	280.00	0.0030	0.06	0.84
Sottotetto	5 - 6	280.00	0.0030	0.06	0.84
Sottotetto	8 - 6	250.00	0.0030	0.06	0.75
Sottotetto	7 - 8	280.00	0.0030	0.06	0.84
Copertura quota inf.	1 - 7	160.00	0.0030	0.01	0.48
Copertura quota inf.	9 - 1	80.00	0.0030	0.00	0.24
Copertura quota inf.	3 - 2	100.00	0.0030	0.00	0.30
Copertura quota inf.	6 - 2	188.10	0.0030	0.01	0.56
Copertura quota inf.	6 - 2	94.05	0.0030	0.00	0.28
Copertura quota inf.	2 - 9	80.00	0.0030	0.00	0.24
Copertura quota inf.	4 - 3	190.00	0.0030	0.01	0.57
Copertura quota inf.	5 - 4	280.00	0.0030	0.01	0.84
Copertura quota inf.	6 - 5	270.00	0.0030	0.01	0.81
Copertura quota inf.	8 - 6	240.00	0.0030	0.01	0.72
Copertura quota inf.	7 - 8	240.00	0.0030	0.01	0.72
Copertura quota sup.	2 - 3	80.00	0.0030	0.00	0.24
Copertura quota sup.	6 - 2	80.00	0.0030	0.00	0.24
Copertura quota sup.	3 - 4	80.00	0.0030	0.00	0.24
Copertura quota sup.	4 - 5	80.00	0.0030	0.00	0.24
Copertura quota sup.	5 - 6	80.00	0.0030	0.00	0.24

Cond_X_1(-); E(-); S2(-) : Sisma X (-); Distribuzione forze: Proporzionale masse; Eccentricità accidentale (-0.05*Ly); Sisma seconda direzione (-)

Imp.	Fili	H [cm]	μ	δ_{SLD} [cm]	$\delta_{SLD\ lim}$ [cm]
Primo piano	7 - 1	290.00	0.0030	0.87	0.87
Primo piano	1 - 9	290.00	0.0030	0.87	0.87
Primo piano	1 - 9	290.00	0.0030	0.87	0.87
Primo piano	2 - 3	290.00	0.0030	0.87	0.87
Primo piano	2 - 3	290.00	0.0030	0.87	0.87
Primo piano	2 - 3	290.00	0.0030	0.87	0.87
Primo piano	2 - 3	290.00	0.0030	0.87	0.87
Primo piano	2 - 3	290.00	0.0030	0.87	0.87
Primo piano	6 - 2	260.00	0.0030	0.78	0.78
Primo piano	9 - 2	260.00	0.0030	0.78	0.78
Primo piano	9 - 2	260.00	0.0030	0.78	0.78
Primo piano	3 - 4	290.00	0.0030	0.87	0.87
Primo piano	4 - 5	290.00	0.0030	0.87	0.87
Primo piano	8 - 6	260.00	0.0030	0.78	0.78
Primo piano	7 - 8	290.00	0.0030	0.87	0.87
Sottotetto	7 - 1	280.00	0.0030	0.06	0.84
Sottotetto	1 - 9	280.00	0.0030	0.07	0.84
Sottotetto	1 - 9	280.00	0.0030	0.07	0.84
Sottotetto	2 - 3	280.00	0.0030	0.07	0.84
Sottotetto	2 - 3	280.00	0.0030	0.07	0.84
Sottotetto	2 - 3	280.00	0.0030	0.07	0.84
Sottotetto	6 - 2	250.00	0.0030	0.06	0.75
Sottotetto	6 - 2	250.00	0.0030	0.07	0.75
Sottotetto	9 - 2	250.00	0.0030	0.07	0.75

Sottotetto	9 - 2	250.00	0.0030	0.07	0.75
Sottotetto	3 - 4	280.00	0.0030	0.06	0.84
Sottotetto	4 - 5	280.00	0.0030	0.06	0.84
Sottotetto	5 - 6	280.00	0.0030	0.06	0.84
Sottotetto	8 - 6	250.00	0.0030	0.06	0.75
Sottotetto	7 - 8	280.00	0.0030	0.06	0.84
Copertura quota inf.	1 - 7	160.00	0.0030	0.00	0.48
Copertura quota inf.	9 - 1	80.00	0.0030	0.00	0.24
Copertura quota inf.	3 - 2	100.00	0.0030	0.00	0.30
Copertura quota inf.	6 - 2	188.10	0.0030	0.01	0.56
Copertura quota inf.	6 - 2	94.05	0.0030	0.00	0.28
Copertura quota inf.	2 - 9	80.00	0.0030	0.00	0.24
Copertura quota inf.	4 - 3	190.00	0.0030	0.01	0.57
Copertura quota inf.	5 - 4	280.00	0.0030	0.01	0.84
Copertura quota inf.	6 - 5	270.00	0.0030	0.01	0.81
Copertura quota inf.	8 - 6	240.00	0.0030	0.01	0.72
Copertura quota inf.	7 - 8	240.00	0.0030	0.01	0.72
Copertura quota sup.	2 - 3	80.00	0.0030	0.00	0.24
Copertura quota sup.	6 - 2	80.00	0.0030	0.00	0.24
Copertura quota sup.	3 - 4	80.00	0.0030	0.00	0.24
Copertura quota sup.	4 - 5	80.00	0.0030	0.00	0.24
Copertura quota sup.	5 - 6	80.00	0.0030	0.00	0.24

Cond_X_2(+); E(+); S2(+): Sisma X (+); Distribuzione forze: Proporzionale altezze; Eccentricità accidentale (+ 0.05*Ly); Sisma seconda direzione (+)

Imp.	Fili	H [cm]	μ	δ_{SLD} [cm]	$\delta_{SLD\ lim}$ [cm]
Primo piano	7 - 1	290.00	0.0030	0.35	0.87
Primo piano	1 - 9	290.00	0.0030	0.35	0.87
Primo piano	1 - 9	290.00	0.0030	0.35	0.87
Primo piano	2 - 3	290.00	0.0030	0.35	0.87
Primo piano	2 - 3	290.00	0.0030	0.35	0.87
Primo piano	2 - 3	290.00	0.0030	0.35	0.87
Primo piano	2 - 3	290.00	0.0030	0.35	0.87
Primo piano	6 - 2	260.00	0.0030	0.34	0.78
Primo piano	9 - 2	260.00	0.0030	0.35	0.78
Primo piano	9 - 2	260.00	0.0030	0.35	0.78
Primo piano	3 - 4	290.00	0.0030	0.34	0.87
Primo piano	4 - 5	290.00	0.0030	0.34	0.87
Primo piano	8 - 6	260.00	0.0030	0.34	0.78
Primo piano	7 - 8	290.00	0.0030	0.34	0.87
Sottotetto	7 - 1	280.00	0.0030	0.43	0.84
Sottotetto	1 - 9	280.00	0.0030	0.43	0.84
Sottotetto	1 - 9	280.00	0.0030	0.43	0.84
Sottotetto	2 - 3	280.00	0.0030	0.43	0.84
Sottotetto	2 - 3	280.00	0.0030	0.43	0.84
Sottotetto	2 - 3	280.00	0.0030	0.43	0.84
Sottotetto	6 - 2	250.00	0.0030	0.43	0.75
Sottotetto	6 - 2	250.00	0.0030	0.43	0.75
Sottotetto	9 - 2	250.00	0.0030	0.43	0.75
Sottotetto	9 - 2	250.00	0.0030	0.43	0.75
Sottotetto	3 - 4	280.00	0.0030	0.43	0.84
Sottotetto	4 - 5	280.00	0.0030	0.42	0.84
Sottotetto	5 - 6	280.00	0.0030	0.42	0.84
Sottotetto	8 - 6	250.00	0.0030	0.42	0.75
Sottotetto	7 - 8	280.00	0.0030	0.42	0.84
Copertura quota inf.	1 - 7	160.00	0.0030	0.01	0.48
Copertura quota inf.	9 - 1	80.00	0.0030	0.01	0.24
Copertura quota inf.	3 - 2	100.00	0.0030	0.01	0.30
Copertura quota inf.	6 - 2	188.10	0.0030	0.01	0.56
Copertura quota inf.	6 - 2	94.05	0.0030	0.01	0.28
Copertura quota inf.	2 - 9	80.00	0.0030	0.01	0.24
Copertura quota inf.	4 - 3	190.00	0.0030	0.01	0.57
Copertura quota inf.	5 - 4	280.00	0.0030	0.01	0.84
Copertura quota inf.	6 - 5	270.00	0.0030	0.01	0.81
Copertura quota inf.	8 - 6	240.00	0.0030	0.01	0.72
Copertura quota inf.	7 - 8	240.00	0.0030	0.01	0.72
Copertura quota sup.	2 - 3	80.00	0.0030	0.00	0.24
Copertura quota sup.	6 - 2	80.00	0.0030	0.00	0.24
Copertura quota sup.	3 - 4	80.00	0.0030	0.00	0.24
Copertura quota sup.	4 - 5	80.00	0.0030	0.00	0.24
Copertura quota sup.	5 - 6	80.00	0.0030	0.00	0.24

Cond_X_2(+); E(+); S2(-): Sisma X (+); Distribuzione forze: Proporzionale altezze; Eccentricità accidentale (+ 0.05*Ly); Sisma seconda direzione (-)

Imp.	Fili	H [cm]	μ	δ_{SLD} [cm]	$\delta_{SLD\ lim}$ [cm]
Primo piano	7 - 1	290.00	0.0030	0.87	0.87
Primo piano	1 - 9	290.00	0.0030	0.87	0.87
Primo piano	1 - 9	290.00	0.0030	0.87	0.87
Primo piano	2 - 3	290.00	0.0030	0.87	0.87
Primo piano	2 - 3	290.00	0.0030	0.87	0.87
Primo piano	2 - 3	290.00	0.0030	0.87	0.87
Primo piano	2 - 3	290.00	0.0030	0.87	0.87
Primo piano	6 - 2	260.00	0.0030	0.78	0.78
Primo piano	9 - 2	260.00	0.0030	0.78	0.78
Primo piano	9 - 2	260.00	0.0030	0.78	0.78
Primo piano	3 - 4	290.00	0.0030	0.87	0.87
Primo piano	4 - 5	290.00	0.0030	0.87	0.87
Primo piano	8 - 6	260.00	0.0030	0.78	0.78
Primo piano	7 - 8	290.00	0.0030	0.87	0.87
Sottotetto	7 - 1	280.00	0.0030	0.27	0.84
Sottotetto	1 - 9	280.00	0.0030	0.27	0.84
Sottotetto	1 - 9	280.00	0.0030	0.27	0.84

Sottotetto	2 - 3	280.00	0.0030	0.27	0.84
Sottotetto	2 - 3	280.00	0.0030	0.27	0.84
Sottotetto	2 - 3	280.00	0.0030	0.27	0.84
Sottotetto	6 - 2	250.00	0.0030	0.27	0.75
Sottotetto	6 - 2	250.00	0.0030	0.27	0.75
Sottotetto	9 - 2	250.00	0.0030	0.27	0.75
Sottotetto	9 - 2	250.00	0.0030	0.27	0.75
Sottotetto	3 - 4	280.00	0.0030	0.27	0.84
Sottotetto	4 - 5	280.00	0.0030	0.26	0.84
Sottotetto	5 - 6	280.00	0.0030	0.26	0.84
Sottotetto	8 - 6	250.00	0.0030	0.26	0.75
Sottotetto	7 - 8	280.00	0.0030	0.26	0.84
Copertura quota inf.	1 - 7	160.00	0.0030	0.01	0.48
Copertura quota inf.	9 - 1	80.00	0.0030	0.01	0.24
Copertura quota inf.	3 - 2	100.00	0.0030	0.01	0.30
Copertura quota inf.	6 - 2	188.10	0.0030	0.01	0.56
Copertura quota inf.	6 - 2	94.05	0.0030	0.01	0.28
Copertura quota inf.	2 - 9	80.00	0.0030	0.01	0.24
Copertura quota inf.	4 - 3	190.00	0.0030	0.01	0.57
Copertura quota inf.	5 - 4	280.00	0.0030	0.01	0.84
Copertura quota inf.	6 - 5	270.00	0.0030	0.01	0.81
Copertura quota inf.	8 - 6	240.00	0.0030	0.01	0.72
Copertura quota inf.	7 - 8	240.00	0.0030	0.01	0.72
Copertura quota sup.	2 - 3	80.00	0.0030	0.00	0.24
Copertura quota sup.	6 - 2	80.00	0.0030	0.00	0.24
Copertura quota sup.	3 - 4	80.00	0.0030	0.00	0.24
Copertura quota sup.	4 - 5	80.00	0.0030	0.00	0.24
Copertura quota sup.	5 - 6	80.00	0.0030	0.00	0.24

Cond_X_2(+); E(-); S2(+) : Sisma X (+); Distribuzione forze: Proporzionale altezze; Eccentricità
accidentale (- 0.05*Ly); Sisma seconda direzione (+)

Imp.	Fili	H [cm]	μ	δ_{SLD} [cm]	$\delta_{SLD\ lim}$ [cm]
Primo piano	7 - 1	290.00	0.0030	0.34	0.87
Primo piano	1 - 9	290.00	0.0030	0.34	0.87
Primo piano	1 - 9	290.00	0.0030	0.34	0.87
Primo piano	2 - 3	290.00	0.0030	0.34	0.87
Primo piano	2 - 3	290.00	0.0030	0.34	0.87
Primo piano	2 - 3	290.00	0.0030	0.34	0.87
Primo piano	2 - 3	290.00	0.0030	0.34	0.87
Primo piano	6 - 2	260.00	0.0030	0.33	0.78
Primo piano	9 - 2	260.00	0.0030	0.34	0.78
Primo piano	9 - 2	260.00	0.0030	0.34	0.78
Primo piano	3 - 4	290.00	0.0030	0.33	0.87
Primo piano	4 - 5	290.00	0.0030	0.33	0.87
Primo piano	8 - 6	260.00	0.0030	0.33	0.78
Primo piano	7 - 8	290.00	0.0030	0.33	0.87
Sottotetto	7 - 1	280.00	0.0030	0.42	0.84
Sottotetto	1 - 9	280.00	0.0030	0.42	0.84
Sottotetto	1 - 9	280.00	0.0030	0.42	0.84
Sottotetto	2 - 3	280.00	0.0030	0.42	0.84
Sottotetto	2 - 3	280.00	0.0030	0.42	0.84
Sottotetto	2 - 3	280.00	0.0030	0.42	0.84
Sottotetto	6 - 2	250.00	0.0030	0.41	0.75
Sottotetto	6 - 2	250.00	0.0030	0.42	0.75
Sottotetto	9 - 2	250.00	0.0030	0.42	0.75
Sottotetto	9 - 2	250.00	0.0030	0.42	0.75
Sottotetto	3 - 4	280.00	0.0030	0.41	0.84
Sottotetto	4 - 5	280.00	0.0030	0.41	0.84
Sottotetto	5 - 6	280.00	0.0030	0.41	0.84
Sottotetto	8 - 6	250.00	0.0030	0.41	0.75
Sottotetto	7 - 8	280.00	0.0030	0.41	0.84
Copertura quota inf.	1 - 7	160.00	0.0030	0.01	0.48
Copertura quota inf.	9 - 1	80.00	0.0030	0.01	0.24
Copertura quota inf.	3 - 2	100.00	0.0030	0.01	0.30
Copertura quota inf.	6 - 2	188.10	0.0030	0.01	0.56
Copertura quota inf.	6 - 2	94.05	0.0030	0.01	0.28
Copertura quota inf.	2 - 9	80.00	0.0030	0.01	0.24
Copertura quota inf.	4 - 3	190.00	0.0030	0.01	0.57
Copertura quota inf.	5 - 4	280.00	0.0030	0.01	0.84
Copertura quota inf.	6 - 5	270.00	0.0030	0.01	0.81
Copertura quota inf.	8 - 6	240.00	0.0030	0.01	0.72
Copertura quota inf.	7 - 8	240.00	0.0030	0.01	0.72
Copertura quota sup.	2 - 3	80.00	0.0030	0.00	0.24
Copertura quota sup.	6 - 2	80.00	0.0030	0.00	0.24
Copertura quota sup.	3 - 4	80.00	0.0030	0.00	0.24
Copertura quota sup.	4 - 5	80.00	0.0030	0.00	0.24
Copertura quota sup.	5 - 6	80.00	0.0030	0.00	0.24

Cond_X_2(+); E(-); S2(-): Sisma X (+); Distribuzione forze: Proporzionale altezze; Eccentricità accidentale (-
0.05*Ly); Sisma seconda direzione (-)

Imp.	Fili	H [cm]	μ	δ_{SLD} [cm]	$\delta_{SLD\ lim}$ [cm]
Primo piano	7 - 1	290.00	0.0030	0.87	0.87
Primo piano	1 - 9	290.00	0.0030	0.87	0.87
Primo piano	1 - 9	290.00	0.0030	0.87	0.87
Primo piano	2 - 3	290.00	0.0030	0.87	0.87
Primo piano	2 - 3	290.00	0.0030	0.87	0.87
Primo piano	2 - 3	290.00	0.0030	0.87	0.87
Primo piano	2 - 3	290.00	0.0030	0.87	0.87
Primo piano	6 - 2	260.00	0.0030	0.78	0.78
Primo piano	9 - 2	260.00	0.0030	0.78	0.78
Primo piano	9 - 2	260.00	0.0030	0.78	0.78
Primo piano	3 - 4	290.00	0.0030	0.87	0.87

Primo piano	4 - 5	290.00	0.0030	0.87	0.87
Primo piano	8 - 6	260.00	0.0030	0.78	0.78
Primo piano	7 - 8	290.00	0.0030	0.87	0.87
Sottotetto	7 - 1	280.00	0.0030	0.27	0.84
Sottotetto	1 - 9	280.00	0.0030	0.27	0.84
Sottotetto	1 - 9	280.00	0.0030	0.27	0.84
Sottotetto	2 - 3	280.00	0.0030	0.27	0.84
Sottotetto	2 - 3	280.00	0.0030	0.27	0.84
Sottotetto	2 - 3	280.00	0.0030	0.27	0.84
Sottotetto	6 - 2	250.00	0.0030	0.27	0.75
Sottotetto	6 - 2	250.00	0.0030	0.27	0.75
Sottotetto	9 - 2	250.00	0.0030	0.27	0.75
Sottotetto	9 - 2	250.00	0.0030	0.27	0.75
Sottotetto	3 - 4	280.00	0.0030	0.27	0.84
Sottotetto	4 - 5	280.00	0.0030	0.26	0.84
Sottotetto	5 - 6	280.00	0.0030	0.26	0.84
Sottotetto	8 - 6	250.00	0.0030	0.26	0.75
Sottotetto	7 - 8	280.00	0.0030	0.26	0.84
Copertura quota inf.	1 - 7	160.00	0.0030	0.01	0.48
Copertura quota inf.	9 - 1	80.00	0.0030	0.01	0.24
Copertura quota inf.	3 - 2	100.00	0.0030	0.01	0.30
Copertura quota inf.	6 - 2	188.10	0.0030	0.01	0.56
Copertura quota inf.	6 - 2	94.05	0.0030	0.01	0.28
Copertura quota inf.	2 - 9	80.00	0.0030	0.01	0.24
Copertura quota inf.	4 - 3	190.00	0.0030	0.01	0.57
Copertura quota inf.	5 - 4	280.00	0.0030	0.01	0.84
Copertura quota inf.	6 - 5	270.00	0.0030	0.01	0.81
Copertura quota inf.	8 - 6	240.00	0.0030	0.01	0.72
Copertura quota inf.	7 - 8	240.00	0.0030	0.01	0.72
Copertura quota sup.	2 - 3	80.00	0.0030	0.00	0.24
Copertura quota sup.	6 - 2	80.00	0.0030	0.00	0.24
Copertura quota sup.	3 - 4	80.00	0.0030	0.00	0.24
Copertura quota sup.	4 - 5	80.00	0.0030	0.00	0.24
Copertura quota sup.	5 - 6	80.00	0.0030	0.00	0.24

Cond_X_2(-); E(+); S2(+) : Sisma X (-); Distribuzione forze: Proporzionale altezze; Eccentricità accidentale (+ 0.05*Ly); Sisma seconda direzione (+)

Imp.	Fili	H [cm]	μ	δ_{SLD} [cm]	$\delta_{SLD\ lim}$ [cm]
Primo piano	7 - 1	290.00	0.0030	0.79	0.87
Primo piano	1 - 9	290.00	0.0030	0.80	0.87
Primo piano	1 - 9	290.00	0.0030	0.80	0.87
Primo piano	2 - 3	290.00	0.0030	0.80	0.87
Primo piano	2 - 3	290.00	0.0030	0.80	0.87
Primo piano	2 - 3	290.00	0.0030	0.80	0.87
Primo piano	2 - 3	290.00	0.0030	0.80	0.87
Primo piano	6 - 2	260.00	0.0030	0.78	0.78
Primo piano	9 - 2	260.00	0.0030	0.78	0.78
Primo piano	9 - 2	260.00	0.0030	0.78	0.78
Primo piano	3 - 4	290.00	0.0030	0.79	0.87
Primo piano	4 - 5	290.00	0.0030	0.78	0.87
Primo piano	8 - 6	260.00	0.0030	0.78	0.78
Primo piano	7 - 8	290.00	0.0030	0.79	0.87
Sottotetto	7 - 1	280.00	0.0030	0.25	0.84
Sottotetto	1 - 9	280.00	0.0030	0.25	0.84
Sottotetto	1 - 9	280.00	0.0030	0.25	0.84
Sottotetto	2 - 3	280.00	0.0030	0.25	0.84
Sottotetto	2 - 3	280.00	0.0030	0.25	0.84
Sottotetto	6 - 2	250.00	0.0030	0.25	0.75
Sottotetto	6 - 2	250.00	0.0030	0.25	0.75
Sottotetto	9 - 2	250.00	0.0030	0.25	0.75
Sottotetto	9 - 2	250.00	0.0030	0.25	0.75
Sottotetto	3 - 4	280.00	0.0030	0.25	0.84
Sottotetto	4 - 5	280.00	0.0030	0.24	0.84
Sottotetto	5 - 6	280.00	0.0030	0.24	0.84
Sottotetto	8 - 6	250.00	0.0030	0.24	0.75
Sottotetto	7 - 8	280.00	0.0030	0.24	0.84
Copertura quota inf.	1 - 7	160.00	0.0030	0.01	0.48
Copertura quota inf.	9 - 1	80.00	0.0030	0.01	0.24
Copertura quota inf.	3 - 2	100.00	0.0030	0.01	0.30
Copertura quota inf.	6 - 2	188.10	0.0030	0.01	0.56
Copertura quota inf.	6 - 2	94.05	0.0030	0.01	0.28
Copertura quota inf.	2 - 9	80.00	0.0030	0.01	0.24
Copertura quota inf.	4 - 3	190.00	0.0030	0.01	0.57
Copertura quota inf.	5 - 4	280.00	0.0030	0.01	0.84
Copertura quota inf.	6 - 5	270.00	0.0030	0.01	0.81
Copertura quota inf.	8 - 6	240.00	0.0030	0.01	0.72
Copertura quota inf.	7 - 8	240.00	0.0030	0.01	0.72
Copertura quota sup.	2 - 3	80.00	0.0030	0.00	0.24
Copertura quota sup.	6 - 2	80.00	0.0030	0.00	0.24
Copertura quota sup.	3 - 4	80.00	0.0030	0.00	0.24
Copertura quota sup.	4 - 5	80.00	0.0030	0.00	0.24
Copertura quota sup.	5 - 6	80.00	0.0030	0.00	0.24

Cond_X_2(-); E(+); S2(-): Sisma X (-); Distribuzione forze: Proporzionale altezze; Eccentricità accidentale (+ 0.05*Ly); Sisma seconda direzione (-)

Imp.	Fili	H [cm]	μ	δ_{SLD} [cm]	$\delta_{SLD\ lim}$ [cm]
Primo piano	7 - 1	290.00	0.0030	0.36	0.87
Primo piano	1 - 9	290.00	0.0030	0.36	0.87
Primo piano	1 - 9	290.00	0.0030	0.36	0.87
Primo piano	2 - 3	290.00	0.0030	0.36	0.87
Primo piano	2 - 3	290.00	0.0030	0.36	0.87

Primo piano	2 - 3	290.00	0.0030	0.36	0.87
Primo piano	2 - 3	290.00	0.0030	0.36	0.87
Primo piano	6 - 2	260.00	0.0030	0.36	0.78
Primo piano	9 - 2	260.00	0.0030	0.36	0.78
Primo piano	9 - 2	260.00	0.0030	0.36	0.78
Primo piano	3 - 4	290.00	0.0030	0.35	0.87
Primo piano	4 - 5	290.00	0.0030	0.35	0.87
Primo piano	8 - 6	260.00	0.0030	0.35	0.78
Primo piano	7 - 8	290.00	0.0030	0.35	0.87
Sottotetto	7 - 1	280.00	0.0030	0.39	0.84
Sottotetto	1 - 9	280.00	0.0030	0.40	0.84
Sottotetto	1 - 9	280.00	0.0030	0.40	0.84
Sottotetto	2 - 3	280.00	0.0030	0.40	0.84
Sottotetto	2 - 3	280.00	0.0030	0.40	0.84
Sottotetto	2 - 3	280.00	0.0030	0.40	0.84
Sottotetto	6 - 2	250.00	0.0030	0.39	0.75
Sottotetto	6 - 2	250.00	0.0030	0.40	0.75
Sottotetto	9 - 2	250.00	0.0030	0.40	0.75
Sottotetto	9 - 2	250.00	0.0030	0.40	0.75
Sottotetto	3 - 4	280.00	0.0030	0.39	0.84
Sottotetto	4 - 5	280.00	0.0030	0.39	0.84
Sottotetto	5 - 6	280.00	0.0030	0.39	0.84
Sottotetto	8 - 6	250.00	0.0030	0.39	0.75
Sottotetto	7 - 8	280.00	0.0030	0.39	0.84
Copertura quota inf.	1 - 7	160.00	0.0030	0.01	0.48
Copertura quota inf.	9 - 1	80.00	0.0030	0.01	0.24
Copertura quota inf.	3 - 2	100.00	0.0030	0.01	0.30
Copertura quota inf.	6 - 2	188.10	0.0030	0.01	0.56
Copertura quota inf.	6 - 2	94.05	0.0030	0.01	0.28
Copertura quota inf.	2 - 9	80.00	0.0030	0.01	0.24
Copertura quota inf.	4 - 3	190.00	0.0030	0.01	0.57
Copertura quota inf.	5 - 4	280.00	0.0030	0.01	0.84
Copertura quota inf.	6 - 5	270.00	0.0030	0.01	0.81
Copertura quota inf.	8 - 6	240.00	0.0030	0.01	0.72
Copertura quota inf.	7 - 8	240.00	0.0030	0.01	0.72
Copertura quota sup.	2 - 3	80.00	0.0030	0.00	0.24
Copertura quota sup.	6 - 2	80.00	0.0030	0.00	0.24
Copertura quota sup.	3 - 4	80.00	0.0030	0.00	0.24
Copertura quota sup.	4 - 5	80.00	0.0030	0.00	0.24
Copertura quota sup.	5 - 6	80.00	0.0030	0.00	0.24

Cond_X_2(-); E(-); S2(+): Sisma X (-); Distribuzione forze: Proporzionale altezze; Eccentricità accidentale (-0.05*Ly); Sisma seconda direzione (+)

Imp.	Fili	H [cm]	μ	δ_{SLD} [cm]	$\delta_{SLD\ lim}$ [cm]
Primo piano	7 - 1	290.00	0.0030	0.79	0.87
Primo piano	1 - 9	290.00	0.0030	0.80	0.87
Primo piano	1 - 9	290.00	0.0030	0.80	0.87
Primo piano	2 - 3	290.00	0.0030	0.80	0.87
Primo piano	2 - 3	290.00	0.0030	0.80	0.87
Primo piano	2 - 3	290.00	0.0030	0.80	0.87
Primo piano	2 - 3	290.00	0.0030	0.80	0.87
Primo piano	6 - 2	260.00	0.0030	0.78	0.78
Primo piano	9 - 2	260.00	0.0030	0.78	0.78
Primo piano	9 - 2	260.00	0.0030	0.78	0.78
Primo piano	3 - 4	290.00	0.0030	0.79	0.87
Primo piano	4 - 5	290.00	0.0030	0.78	0.87
Primo piano	8 - 6	260.00	0.0030	0.78	0.78
Primo piano	7 - 8	290.00	0.0030	0.79	0.87
Sottotetto	7 - 1	280.00	0.0030	0.28	0.84
Sottotetto	1 - 9	280.00	0.0030	0.29	0.84
Sottotetto	1 - 9	280.00	0.0030	0.29	0.84
Sottotetto	2 - 3	280.00	0.0030	0.29	0.84
Sottotetto	2 - 3	280.00	0.0030	0.29	0.84
Sottotetto	2 - 3	280.00	0.0030	0.29	0.84
Sottotetto	6 - 2	250.00	0.0030	0.28	0.75
Sottotetto	6 - 2	250.00	0.0030	0.29	0.75
Sottotetto	9 - 2	250.00	0.0030	0.29	0.75
Sottotetto	9 - 2	250.00	0.0030	0.29	0.75
Sottotetto	3 - 4	280.00	0.0030	0.28	0.84
Sottotetto	4 - 5	280.00	0.0030	0.28	0.84
Sottotetto	5 - 6	280.00	0.0030	0.28	0.84
Sottotetto	8 - 6	250.00	0.0030	0.28	0.75
Sottotetto	7 - 8	280.00	0.0030	0.28	0.84
Copertura quota inf.	1 - 7	160.00	0.0030	0.01	0.48
Copertura quota inf.	9 - 1	80.00	0.0030	0.01	0.24
Copertura quota inf.	3 - 2	100.00	0.0030	0.01	0.30
Copertura quota inf.	6 - 2	188.10	0.0030	0.01	0.56
Copertura quota inf.	6 - 2	94.05	0.0030	0.01	0.28
Copertura quota inf.	2 - 9	80.00	0.0030	0.01	0.24
Copertura quota inf.	4 - 3	190.00	0.0030	0.01	0.57
Copertura quota inf.	5 - 4	280.00	0.0030	0.01	0.84
Copertura quota inf.	6 - 5	270.00	0.0030	0.01	0.81
Copertura quota inf.	8 - 6	240.00	0.0030	0.01	0.72
Copertura quota inf.	7 - 8	240.00	0.0030	0.01	0.72
Copertura quota sup.	2 - 3	80.00	0.0030	0.00	0.24
Copertura quota sup.	6 - 2	80.00	0.0030	0.00	0.24
Copertura quota sup.	3 - 4	80.00	0.0030	0.00	0.24
Copertura quota sup.	4 - 5	80.00	0.0030	0.00	0.24
Copertura quota sup.	5 - 6	80.00	0.0030	0.00	0.24

Cond_X_2(-); E(-); S2(-) : Sisma X (-); Distribuzione forze: Proporzionale altezze; Eccentricità accidentale (-0.05*Ly); Sisma seconda direzione (-)

Imp.	Fili	H [cm]	μ	δ_{SLD} [cm]	$\delta_{SLD\ lim}$ [cm]
Primo piano	7 - 1	290.00	0.0030	0.34	0.87
Primo piano	1 - 9	290.00	0.0030	0.35	0.87
Primo piano	1 - 9	290.00	0.0030	0.35	0.87
Primo piano	2 - 3	290.00	0.0030	0.35	0.87
Primo piano	2 - 3	290.00	0.0030	0.35	0.87
Primo piano	2 - 3	290.00	0.0030	0.35	0.87
Primo piano	2 - 3	290.00	0.0030	0.35	0.87
Primo piano	6 - 2	260.00	0.0030	0.34	0.78
Primo piano	9 - 2	260.00	0.0030	0.35	0.78
Primo piano	9 - 2	260.00	0.0030	0.35	0.78
Primo piano	3 - 4	290.00	0.0030	0.34	0.87
Primo piano	4 - 5	290.00	0.0030	0.34	0.87
Primo piano	8 - 6	260.00	0.0030	0.34	0.78
Primo piano	7 - 8	290.00	0.0030	0.34	0.87
Sottotetto	7 - 1	280.00	0.0030	0.73	0.84
Sottotetto	1 - 9	280.00	0.0030	0.74	0.84
Sottotetto	1 - 9	280.00	0.0030	0.74	0.84
Sottotetto	2 - 3	280.00	0.0030	0.74	0.84
Sottotetto	2 - 3	280.00	0.0030	0.74	0.84
Sottotetto	2 - 3	280.00	0.0030	0.74	0.84
Sottotetto	6 - 2	250.00	0.0030	0.73	0.75
Sottotetto	6 - 2	250.00	0.0030	0.74	0.75
Sottotetto	9 - 2	250.00	0.0030	0.74	0.75
Sottotetto	9 - 2	250.00	0.0030	0.74	0.75
Sottotetto	3 - 4	280.00	0.0030	0.73	0.84
Sottotetto	4 - 5	280.00	0.0030	0.73	0.84
Sottotetto	5 - 6	280.00	0.0030	0.73	0.84
Sottotetto	8 - 6	250.00	0.0030	0.73	0.75
Sottotetto	7 - 8	280.00	0.0030	0.73	0.84
Copertura quota inf.	1 - 7	160.00	0.0030	0.01	0.48
Copertura quota inf.	9 - 1	80.00	0.0030	0.01	0.24
Copertura quota inf.	3 - 2	100.00	0.0030	0.01	0.30
Copertura quota inf.	6 - 2	188.10	0.0030	0.01	0.56
Copertura quota inf.	6 - 2	94.05	0.0030	0.01	0.28
Copertura quota inf.	2 - 9	80.00	0.0030	0.01	0.24
Copertura quota inf.	4 - 3	190.00	0.0030	0.01	0.57
Copertura quota inf.	5 - 4	280.00	0.0030	0.01	0.84
Copertura quota inf.	6 - 5	270.00	0.0030	0.01	0.81
Copertura quota inf.	8 - 6	240.00	0.0030	0.01	0.72
Copertura quota inf.	7 - 8	240.00	0.0030	0.01	0.72
Copertura quota sup.	2 - 3	80.00	0.0030	0.00	0.24
Copertura quota sup.	6 - 2	80.00	0.0030	0.00	0.24
Copertura quota sup.	3 - 4	80.00	0.0030	0.00	0.24
Copertura quota sup.	4 - 5	80.00	0.0030	0.00	0.24
Copertura quota sup.	5 - 6	80.00	0.0030	0.00	0.24

Cond_Y 1(+); E(+); S2(+) : Sisma Y (+); Distribuzione forze: Proporzionale masse; Eccentricità
accidentale (+ 0.05*Ly); Sisma seconda direzione (+)

Imp.	Fili	H [cm]	μ	δ_{SLD} [cm]	$\delta_{SLD\ lim}$ [cm]
Primo piano	7 - 1	290.00	0.0030	0.75	0.87
Primo piano	1 - 9	290.00	0.0030	0.75	0.87
Primo piano	1 - 9	290.00	0.0030	0.77	0.87
Primo piano	2 - 3	290.00	0.0030	0.79	0.87
Primo piano	2 - 3	290.00	0.0030	0.80	0.87
Primo piano	2 - 3	290.00	0.0030	0.82	0.87
Primo piano	2 - 3	290.00	0.0030	0.83	0.87
Primo piano	6 - 2	260.00	0.0030	0.78	0.78
Primo piano	9 - 2	260.00	0.0030	0.78	0.78
Primo piano	9 - 2	260.00	0.0030	0.78	0.78
Primo piano	3 - 4	290.00	0.0030	0.84	0.87
Primo piano	4 - 5	290.00	0.0030	0.81	0.87
Primo piano	8 - 6	260.00	0.0030	0.78	0.78
Primo piano	7 - 8	290.00	0.0030	0.76	0.87
Sottotetto	7 - 1	280.00	0.0030	0.06	0.84
Sottotetto	1 - 9	280.00	0.0030	0.06	0.84
Sottotetto	1 - 9	280.00	0.0030	0.06	0.84
Sottotetto	2 - 3	280.00	0.0030	0.07	0.84
Sottotetto	2 - 3	280.00	0.0030	0.07	0.84
Sottotetto	2 - 3	280.00	0.0030	0.07	0.84
Sottotetto	6 - 2	250.00	0.0030	0.06	0.75
Sottotetto	6 - 2	250.00	0.0030	0.06	0.75
Sottotetto	9 - 2	250.00	0.0030	0.06	0.75
Sottotetto	9 - 2	250.00	0.0030	0.06	0.75
Sottotetto	3 - 4	280.00	0.0030	0.07	0.84
Sottotetto	4 - 5	280.00	0.0030	0.07	0.84
Sottotetto	5 - 6	280.00	0.0030	0.06	0.84
Sottotetto	8 - 6	250.00	0.0030	0.06	0.75
Sottotetto	7 - 8	280.00	0.0030	0.06	0.84
Copertura quota inf.	1 - 7	160.00	0.0030	0.01	0.48
Copertura quota inf.	9 - 1	80.00	0.0030	0.01	0.24
Copertura quota inf.	3 - 2	100.00	0.0030	0.01	0.30
Copertura quota inf.	6 - 2	188.10	0.0030	0.01	0.56
Copertura quota inf.	6 - 2	94.05	0.0030	0.01	0.28
Copertura quota inf.	2 - 9	80.00	0.0030	0.01	0.24
Copertura quota inf.	4 - 3	190.00	0.0030	0.01	0.57
Copertura quota inf.	5 - 4	280.00	0.0030	0.01	0.84
Copertura quota inf.	6 - 5	270.00	0.0030	0.01	0.81
Copertura quota inf.	8 - 6	240.00	0.0030	0.01	0.72
Copertura quota inf.	7 - 8	240.00	0.0030	0.01	0.72
Copertura quota sup.	2 - 3	80.00	0.0030	0.00	0.24
Copertura quota sup.	6 - 2	80.00	0.0030	0.00	0.24
Copertura quota sup.	3 - 4	80.00	0.0030	0.00	0.24
Copertura quota sup.	4 - 5	80.00	0.0030	0.00	0.24

Copertura quota sup.	5 - 6	80.00	0.0030	0.00	0.24
----------------------	-------	-------	--------	------	------

Cond_Y_1(+); E(+); S2(-) : Sisma Y (+); Distribuzione forze: Proporzionale masse; Eccentricità accidentale (+ 0.05*Ly); Sisma seconda direzione (-)

Imp.	Fili	H [cm]	μ	δ_{SLD} [cm]	$\delta_{SLD\ lim}$ [cm]
Primo piano	7 - 1	290.00	0.0030	0.75	0.87
Primo piano	1 - 9	290.00	0.0030	0.75	0.87
Primo piano	1 - 9	290.00	0.0030	0.77	0.87
Primo piano	2 - 3	290.00	0.0030	0.80	0.87
Primo piano	2 - 3	290.00	0.0030	0.80	0.87
Primo piano	2 - 3	290.00	0.0030	0.82	0.87
Primo piano	2 - 3	290.00	0.0030	0.83	0.87
Primo piano	6 - 2	260.00	0.0030	0.78	0.78
Primo piano	9 - 2	260.00	0.0030	0.78	0.78
Primo piano	9 - 2	260.00	0.0030	0.78	0.78
Primo piano	3 - 4	290.00	0.0030	0.83	0.87
Primo piano	4 - 5	290.00	0.0030	0.81	0.87
Primo piano	8 - 6	260.00	0.0030	0.78	0.78
Primo piano	7 - 8	290.00	0.0030	0.76	0.87
Sottotetto	7 - 1	280.00	0.0030	0.06	0.84
Sottotetto	1 - 9	280.00	0.0030	0.06	0.84
Sottotetto	1 - 9	280.00	0.0030	0.06	0.84
Sottotetto	2 - 3	280.00	0.0030	0.07	0.84
Sottotetto	2 - 3	280.00	0.0030	0.07	0.84
Sottotetto	2 - 3	280.00	0.0030	0.07	0.84
Sottotetto	6 - 2	250.00	0.0030	0.07	0.75
Sottotetto	6 - 2	250.00	0.0030	0.07	0.75
Sottotetto	9 - 2	250.00	0.0030	0.06	0.75
Sottotetto	9 - 2	250.00	0.0030	0.07	0.75
Sottotetto	3 - 4	280.00	0.0030	0.07	0.84
Sottotetto	4 - 5	280.00	0.0030	0.07	0.84
Sottotetto	5 - 6	280.00	0.0030	0.07	0.84
Sottotetto	8 - 6	250.00	0.0030	0.06	0.75
Sottotetto	7 - 8	280.00	0.0030	0.06	0.84
Copertura quota inf.	1 - 7	160.00	0.0030	0.01	0.48
Copertura quota inf.	9 - 1	80.00	0.0030	0.01	0.24
Copertura quota inf.	3 - 2	100.00	0.0030	0.01	0.30
Copertura quota inf.	6 - 2	188.10	0.0030	0.01	0.56
Copertura quota inf.	6 - 2	94.05	0.0030	0.01	0.28
Copertura quota inf.	2 - 9	80.00	0.0030	0.01	0.24
Copertura quota inf.	4 - 3	190.00	0.0030	0.02	0.57
Copertura quota inf.	5 - 4	280.00	0.0030	0.01	0.84
Copertura quota inf.	6 - 5	270.00	0.0030	0.01	0.81
Copertura quota inf.	8 - 6	240.00	0.0030	0.01	0.72
Copertura quota inf.	7 - 8	240.00	0.0030	0.01	0.72
Copertura quota sup.	2 - 3	80.00	0.0030	0.00	0.24
Copertura quota sup.	6 - 2	80.00	0.0030	0.00	0.24
Copertura quota sup.	3 - 4	80.00	0.0030	0.00	0.24
Copertura quota sup.	4 - 5	80.00	0.0030	0.00	0.24
Copertura quota sup.	5 - 6	80.00	0.0030	0.00	0.24

Cond_Y_1(+); E(-); S2(+) : Sisma Y (+); Distribuzione forze: Proporzionale masse; Eccentricità accidentale (- 0.05*Ly); Sisma seconda direzione (+)

Imp.	Fili	H [cm]	μ	δ_{SLD} [cm]	$\delta_{SLD\ lim}$ [cm]
Primo piano	7 - 1	290.00	0.0030	0.83	0.87
Primo piano	1 - 9	290.00	0.0030	0.83	0.87
Primo piano	1 - 9	290.00	0.0030	0.81	0.87
Primo piano	2 - 3	290.00	0.0030	0.79	0.87
Primo piano	2 - 3	290.00	0.0030	0.79	0.87
Primo piano	2 - 3	290.00	0.0030	0.77	0.87
Primo piano	2 - 3	290.00	0.0030	0.76	0.87
Primo piano	6 - 2	260.00	0.0030	0.78	0.78
Primo piano	9 - 2	260.00	0.0030	0.78	0.78
Primo piano	9 - 2	260.00	0.0030	0.78	0.78
Primo piano	3 - 4	290.00	0.0030	0.76	0.87
Primo piano	4 - 5	290.00	0.0030	0.78	0.87
Primo piano	8 - 6	260.00	0.0030	0.78	0.78
Primo piano	7 - 8	290.00	0.0030	0.82	0.87
Sottotetto	7 - 1	280.00	0.0030	0.07	0.84
Sottotetto	1 - 9	280.00	0.0030	0.07	0.84
Sottotetto	1 - 9	280.00	0.0030	0.07	0.84
Sottotetto	2 - 3	280.00	0.0030	0.07	0.84
Sottotetto	2 - 3	280.00	0.0030	0.06	0.84
Sottotetto	2 - 3	280.00	0.0030	0.06	0.84
Sottotetto	6 - 2	250.00	0.0030	0.07	0.75
Sottotetto	6 - 2	250.00	0.0030	0.07	0.75
Sottotetto	9 - 2	250.00	0.0030	0.07	0.75
Sottotetto	9 - 2	250.00	0.0030	0.07	0.75
Sottotetto	3 - 4	280.00	0.0030	0.06	0.84
Sottotetto	4 - 5	280.00	0.0030	0.06	0.84
Sottotetto	5 - 6	280.00	0.0030	0.07	0.84
Sottotetto	8 - 6	250.00	0.0030	0.07	0.75
Sottotetto	7 - 8	280.00	0.0030	0.07	0.84
Copertura quota inf.	1 - 7	160.00	0.0030	0.01	0.48
Copertura quota inf.	9 - 1	80.00	0.0030	0.01	0.24
Copertura quota inf.	3 - 2	100.00	0.0030	0.01	0.30
Copertura quota inf.	6 - 2	188.10	0.0030	0.01	0.56
Copertura quota inf.	6 - 2	94.05	0.0030	0.01	0.28
Copertura quota inf.	2 - 9	80.00	0.0030	0.01	0.24
Copertura quota inf.	4 - 3	190.00	0.0030	0.01	0.57
Copertura quota inf.	5 - 4	280.00	0.0030	0.01	0.84
Copertura quota inf.	6 - 5	270.00	0.0030	0.01	0.81

Copertura quota inf.	8 - 6	240.00	0.0030	0.01	0.72
Copertura quota inf.	7 - 8	240.00	0.0030	0.01	0.72
Copertura quota sup.	2 - 3	80.00	0.0030	0.00	0.24
Copertura quota sup.	6 - 2	80.00	0.0030	0.00	0.24
Copertura quota sup.	3 - 4	80.00	0.0030	0.00	0.24
Copertura quota sup.	4 - 5	80.00	0.0030	0.00	0.24
Copertura quota sup.	5 - 6	80.00	0.0030	0.00	0.24

Cond_Y 1(+); E(-); S2(-): Sisma Y (+); Distribuzione forze: Proporzionale masse; Eccentricità accidentale (-0.05*Ly); Sisma seconda direzione (-)

Imp.	Fili	H [cm]	μ	δ_{SLD} [cm]	$\delta_{SLD\ lim}$ [cm]
Primo piano	7 - 1	290.00	0.0030	0.84	0.87
Primo piano	1 - 9	290.00	0.0030	0.83	0.87
Primo piano	1 - 9	290.00	0.0030	0.82	0.87
Primo piano	2 - 3	290.00	0.0030	0.79	0.87
Primo piano	2 - 3	290.00	0.0030	0.78	0.87
Primo piano	2 - 3	290.00	0.0030	0.77	0.87
Primo piano	2 - 3	290.00	0.0030	0.76	0.87
Primo piano	6 - 2	260.00	0.0030	0.78	0.78
Primo piano	9 - 2	260.00	0.0030	0.78	0.78
Primo piano	9 - 2	260.00	0.0030	0.78	0.78
Primo piano	3 - 4	290.00	0.0030	0.75	0.87
Primo piano	4 - 5	290.00	0.0030	0.77	0.87
Primo piano	8 - 6	260.00	0.0030	0.78	0.78
Primo piano	7 - 8	290.00	0.0030	0.82	0.87
Sottotetto	7 - 1	280.00	0.0030	0.07	0.84
Sottotetto	1 - 9	280.00	0.0030	0.07	0.84
Sottotetto	1 - 9	280.00	0.0030	0.07	0.84
Sottotetto	2 - 3	280.00	0.0030	0.07	0.84
Sottotetto	2 - 3	280.00	0.0030	0.06	0.84
Sottotetto	2 - 3	280.00	0.0030	0.06	0.84
Sottotetto	6 - 2	250.00	0.0030	0.07	0.75
Sottotetto	6 - 2	250.00	0.0030	0.07	0.75
Sottotetto	9 - 2	250.00	0.0030	0.07	0.75
Sottotetto	9 - 2	250.00	0.0030	0.07	0.75
Sottotetto	3 - 4	280.00	0.0030	0.06	0.84
Sottotetto	4 - 5	280.00	0.0030	0.06	0.84
Sottotetto	5 - 6	280.00	0.0030	0.07	0.84
Sottotetto	8 - 6	250.00	0.0030	0.07	0.75
Sottotetto	7 - 8	280.00	0.0030	0.07	0.84
Copertura quota inf.	1 - 7	160.00	0.0030	0.01	0.48
Copertura quota inf.	9 - 1	80.00	0.0030	0.01	0.24
Copertura quota inf.	3 - 2	100.00	0.0030	0.01	0.30
Copertura quota inf.	6 - 2	188.10	0.0030	0.01	0.56
Copertura quota inf.	6 - 2	94.05	0.0030	0.01	0.28
Copertura quota inf.	2 - 9	80.00	0.0030	0.01	0.24
Copertura quota inf.	4 - 3	190.00	0.0030	0.01	0.57
Copertura quota inf.	5 - 4	280.00	0.0030	0.01	0.84
Copertura quota inf.	6 - 5	270.00	0.0030	0.01	0.81
Copertura quota inf.	8 - 6	240.00	0.0030	0.01	0.72
Copertura quota inf.	7 - 8	240.00	0.0030	0.01	0.72
Copertura quota sup.	2 - 3	80.00	0.0030	0.00	0.24
Copertura quota sup.	6 - 2	80.00	0.0030	0.00	0.24
Copertura quota sup.	3 - 4	80.00	0.0030	0.00	0.24
Copertura quota sup.	4 - 5	80.00	0.0030	0.00	0.24
Copertura quota sup.	5 - 6	80.00	0.0030	0.00	0.24

Cond_Y 1(-); E(+); S2(+): Sisma Y (-); Distribuzione forze: Proporzionale masse; Eccentricità accidentale (+ 0.05*Ly); Sisma seconda direzione (+)

Imp.	Fili	H [cm]	μ	δ_{SLD} [cm]	$\delta_{SLD\ lim}$ [cm]
Primo piano	7 - 1	290.00	0.0030	0.76	0.87
Primo piano	1 - 9	290.00	0.0030	0.76	0.87
Primo piano	1 - 9	290.00	0.0030	0.77	0.87
Primo piano	2 - 3	290.00	0.0030	0.78	0.87
Primo piano	2 - 3	290.00	0.0030	0.78	0.87
Primo piano	2 - 3	290.00	0.0030	0.79	0.87
Primo piano	2 - 3	290.00	0.0030	0.79	0.87
Primo piano	6 - 2	260.00	0.0030	0.78	0.78
Primo piano	9 - 2	260.00	0.0030	0.77	0.78
Primo piano	9 - 2	260.00	0.0030	0.78	0.78
Primo piano	3 - 4	290.00	0.0030	0.79	0.87
Primo piano	4 - 5	290.00	0.0030	0.79	0.87
Primo piano	8 - 6	260.00	0.0030	0.78	0.78
Primo piano	7 - 8	290.00	0.0030	0.77	0.87
Sottotetto	7 - 1	280.00	0.0030	0.06	0.84
Sottotetto	1 - 9	280.00	0.0030	0.06	0.84
Sottotetto	1 - 9	280.00	0.0030	0.06	0.84
Sottotetto	2 - 3	280.00	0.0030	0.07	0.84
Sottotetto	2 - 3	280.00	0.0030	0.07	0.84
Sottotetto	2 - 3	280.00	0.0030	0.07	0.84
Sottotetto	6 - 2	250.00	0.0030	0.07	0.75
Sottotetto	6 - 2	250.00	0.0030	0.07	0.75
Sottotetto	9 - 2	250.00	0.0030	0.06	0.75
Sottotetto	9 - 2	250.00	0.0030	0.07	0.75
Sottotetto	3 - 4	280.00	0.0030	0.07	0.84
Sottotetto	4 - 5	280.00	0.0030	0.07	0.84
Sottotetto	5 - 6	280.00	0.0030	0.07	0.84
Sottotetto	8 - 6	250.00	0.0030	0.07	0.75
Sottotetto	7 - 8	280.00	0.0030	0.06	0.84
Copertura quota inf.	1 - 7	160.00	0.0030	0.01	0.48
Copertura quota inf.	9 - 1	80.00	0.0030	0.01	0.24
Copertura quota inf.	3 - 2	100.00	0.0030	0.01	0.30

Copertura quota inf.	6 - 2	188.10	0.0030	0.01	0.56
Copertura quota inf.	6 - 2	94.05	0.0030	0.01	0.28
Copertura quota inf.	2 - 9	80.00	0.0030	0.01	0.24
Copertura quota inf.	4 - 3	190.00	0.0030	0.01	0.57
Copertura quota inf.	5 - 4	280.00	0.0030	0.01	0.84
Copertura quota inf.	6 - 5	270.00	0.0030	0.01	0.81
Copertura quota inf.	8 - 6	240.00	0.0030	0.01	0.72
Copertura quota inf.	7 - 8	240.00	0.0030	0.01	0.72
Copertura quota sup.	2 - 3	80.00	0.0030	0.00	0.24
Copertura quota sup.	6 - 2	80.00	0.0030	0.00	0.24
Copertura quota sup.	3 - 4	80.00	0.0030	0.00	0.24
Copertura quota sup.	4 - 5	80.00	0.0030	0.00	0.24
Copertura quota sup.	5 - 6	80.00	0.0030	0.00	0.24

Cond_Y_1(-); E(+); S2(-): Sisma Y (-); Distribuzione forze: Proporzionale masse; Eccentricità accidentale (+ 0.05*Ly); Sisma seconda direzione (-)

Imp.	Fili	H [cm]	μ	δ_{SLD} [cm]	$\delta_{SLD\ lim}$ [cm]
Primo piano	7 - 1	290.00	0.0030	0.73	0.87
Primo piano	1 - 9	290.00	0.0030	0.74	0.87
Primo piano	1 - 9	290.00	0.0030	0.76	0.87
Primo piano	2 - 3	290.00	0.0030	0.81	0.87
Primo piano	2 - 3	290.00	0.0030	0.83	0.87
Primo piano	2 - 3	290.00	0.0030	0.85	0.87
Primo piano	2 - 3	290.00	0.0030	0.87	0.87
Primo piano	6 - 2	260.00	0.0030	0.78	0.78
Primo piano	9 - 2	260.00	0.0030	0.78	0.78
Primo piano	9 - 2	260.00	0.0030	0.78	0.78
Primo piano	3 - 4	290.00	0.0030	0.87	0.87
Primo piano	4 - 5	290.00	0.0030	0.85	0.87
Primo piano	8 - 6	260.00	0.0030	0.78	0.78
Primo piano	7 - 8	290.00	0.0030	0.75	0.87
Sottotetto	7 - 1	280.00	0.0030	0.06	0.84
Sottotetto	1 - 9	280.00	0.0030	0.06	0.84
Sottotetto	1 - 9	280.00	0.0030	0.06	0.84
Sottotetto	2 - 3	280.00	0.0030	0.07	0.84
Sottotetto	2 - 3	280.00	0.0030	0.08	0.84
Sottotetto	2 - 3	280.00	0.0030	0.08	0.84
Sottotetto	6 - 2	250.00	0.0030	0.07	0.75
Sottotetto	6 - 2	250.00	0.0030	0.07	0.75
Sottotetto	9 - 2	250.00	0.0030	0.06	0.75
Sottotetto	9 - 2	250.00	0.0030	0.07	0.75
Sottotetto	3 - 4	280.00	0.0030	0.08	0.84
Sottotetto	4 - 5	280.00	0.0030	0.08	0.84
Sottotetto	5 - 6	280.00	0.0030	0.07	0.84
Sottotetto	8 - 6	250.00	0.0030	0.07	0.75
Sottotetto	7 - 8	280.00	0.0030	0.06	0.84
Copertura quota inf.	1 - 7	160.00	0.0030	0.01	0.48
Copertura quota inf.	9 - 1	80.00	0.0030	0.01	0.24
Copertura quota inf.	3 - 2	100.00	0.0030	0.01	0.30
Copertura quota inf.	6 - 2	188.10	0.0030	0.01	0.56
Copertura quota inf.	6 - 2	94.05	0.0030	0.01	0.28
Copertura quota inf.	2 - 9	80.00	0.0030	0.01	0.24
Copertura quota inf.	4 - 3	190.00	0.0030	0.01	0.57
Copertura quota inf.	5 - 4	280.00	0.0030	0.01	0.84
Copertura quota inf.	6 - 5	270.00	0.0030	0.01	0.81
Copertura quota inf.	8 - 6	240.00	0.0030	0.01	0.72
Copertura quota inf.	7 - 8	240.00	0.0030	0.01	0.72
Copertura quota sup.	2 - 3	80.00	0.0030	0.00	0.24
Copertura quota sup.	6 - 2	80.00	0.0030	0.00	0.24
Copertura quota sup.	3 - 4	80.00	0.0030	0.00	0.24
Copertura quota sup.	4 - 5	80.00	0.0030	0.00	0.24
Copertura quota sup.	5 - 6	80.00	0.0030	0.00	0.24

Cond_Y_1(-); E(-); S2(+): Sisma Y (-); Distribuzione forze: Proporzionale masse; Eccentricità accidentale (- 0.05*Ly); Sisma seconda direzione (+)

Imp.	Fili	H [cm]	μ	δ_{SLD} [cm]	$\delta_{SLD\ lim}$ [cm]
Primo piano	7 - 1	290.00	0.0030	0.87	0.87
Primo piano	1 - 9	290.00	0.0030	0.87	0.87
Primo piano	1 - 9	290.00	0.0030	0.85	0.87
Primo piano	2 - 3	290.00	0.0030	0.81	0.87
Primo piano	2 - 3	290.00	0.0030	0.80	0.87
Primo piano	2 - 3	290.00	0.0030	0.77	0.87
Primo piano	2 - 3	290.00	0.0030	0.75	0.87
Primo piano	6 - 2	260.00	0.0030	0.78	0.78
Primo piano	9 - 2	260.00	0.0030	0.78	0.78
Primo piano	9 - 2	260.00	0.0030	0.78	0.78
Primo piano	3 - 4	290.00	0.0030	0.75	0.87
Primo piano	4 - 5	290.00	0.0030	0.78	0.87
Primo piano	8 - 6	260.00	0.0030	0.78	0.78
Primo piano	7 - 8	290.00	0.0030	0.86	0.87
Sottotetto	7 - 1	280.00	0.0030	0.08	0.84
Sottotetto	1 - 9	280.00	0.0030	0.08	0.84
Sottotetto	1 - 9	280.00	0.0030	0.07	0.84
Sottotetto	2 - 3	280.00	0.0030	0.07	0.84
Sottotetto	2 - 3	280.00	0.0030	0.06	0.84
Sottotetto	2 - 3	280.00	0.0030	0.06	0.84
Sottotetto	6 - 2	250.00	0.0030	0.07	0.75
Sottotetto	6 - 2	250.00	0.0030	0.07	0.75
Sottotetto	9 - 2	250.00	0.0030	0.07	0.75
Sottotetto	9 - 2	250.00	0.0030	0.07	0.75
Sottotetto	3 - 4	280.00	0.0030	0.06	0.84
Sottotetto	4 - 5	280.00	0.0030	0.07	0.84

Sottotetto	5 - 6	280.00	0.0030	0.07	0.84
Sottotetto	8 - 6	250.00	0.0030	0.07	0.75
Sottotetto	7 - 8	280.00	0.0030	0.07	0.84
Copertura quota inf.	1 - 7	160.00	0.0030	0.01	0.48
Copertura quota inf.	9 - 1	80.00	0.0030	0.01	0.24
Copertura quota inf.	3 - 2	100.00	0.0030	0.01	0.30
Copertura quota inf.	6 - 2	188.10	0.0030	0.01	0.56
Copertura quota inf.	6 - 2	94.05	0.0030	0.01	0.28
Copertura quota inf.	2 - 9	80.00	0.0030	0.01	0.24
Copertura quota inf.	4 - 3	190.00	0.0030	0.01	0.57
Copertura quota inf.	5 - 4	280.00	0.0030	0.01	0.84
Copertura quota inf.	6 - 5	270.00	0.0030	0.01	0.81
Copertura quota inf.	8 - 6	240.00	0.0030	0.01	0.72
Copertura quota inf.	7 - 8	240.00	0.0030	0.01	0.72
Copertura quota sup.	2 - 3	80.00	0.0030	0.00	0.24
Copertura quota sup.	6 - 2	80.00	0.0030	0.00	0.24
Copertura quota sup.	3 - 4	80.00	0.0030	0.00	0.24
Copertura quota sup.	4 - 5	80.00	0.0030	0.00	0.24
Copertura quota sup.	5 - 6	80.00	0.0030	0.00	0.24

Cond_Y_1(-); E(-); S2(-) : Sisma Y (-); Distribuzione forze: Proporzionale masse; Eccentricità accidentale (-0.05*Ly); Sisma seconda direzione (-)

Imp.	Fili	H [cm]	μ	δ_{SLD} [cm]	$\delta_{SLD\ lim}$ [cm]
Primo piano	7 - 1	290.00	0.0030	0.79	0.87
Primo piano	1 - 9	290.00	0.0030	0.79	0.87
Primo piano	1 - 9	290.00	0.0030	0.78	0.87
Primo piano	2 - 3	290.00	0.0030	0.78	0.87
Primo piano	2 - 3	290.00	0.0030	0.78	0.87
Primo piano	2 - 3	290.00	0.0030	0.77	0.87
Primo piano	2 - 3	290.00	0.0030	0.77	0.87
Primo piano	6 - 2	260.00	0.0030	0.78	0.78
Primo piano	9 - 2	260.00	0.0030	0.78	0.78
Primo piano	9 - 2	260.00	0.0030	0.78	0.78
Primo piano	3 - 4	290.00	0.0030	0.77	0.87
Primo piano	4 - 5	290.00	0.0030	0.78	0.87
Primo piano	8 - 6	260.00	0.0030	0.78	0.78
Primo piano	7 - 8	290.00	0.0030	0.78	0.87
Sottotetto	7 - 1	280.00	0.0030	0.07	0.84
Sottotetto	1 - 9	280.00	0.0030	0.07	0.84
Sottotetto	1 - 9	280.00	0.0030	0.07	0.84
Sottotetto	2 - 3	280.00	0.0030	0.07	0.84
Sottotetto	2 - 3	280.00	0.0030	0.07	0.84
Sottotetto	2 - 3	280.00	0.0030	0.07	0.84
Sottotetto	6 - 2	250.00	0.0030	0.07	0.75
Sottotetto	6 - 2	250.00	0.0030	0.07	0.75
Sottotetto	9 - 2	250.00	0.0030	0.07	0.75
Sottotetto	9 - 2	250.00	0.0030	0.07	0.75
Sottotetto	3 - 4	280.00	0.0030	0.07	0.84
Sottotetto	4 - 5	280.00	0.0030	0.07	0.84
Sottotetto	5 - 6	280.00	0.0030	0.07	0.84
Sottotetto	8 - 6	250.00	0.0030	0.07	0.75
Sottotetto	7 - 8	280.00	0.0030	0.07	0.84
Copertura quota inf.	1 - 7	160.00	0.0030	0.01	0.48
Copertura quota inf.	9 - 1	80.00	0.0030	0.01	0.24
Copertura quota inf.	3 - 2	100.00	0.0030	0.01	0.30
Copertura quota inf.	6 - 2	188.10	0.0030	0.01	0.56
Copertura quota inf.	6 - 2	94.05	0.0030	0.01	0.28
Copertura quota inf.	2 - 9	80.00	0.0030	0.01	0.24
Copertura quota inf.	4 - 3	190.00	0.0030	0.01	0.57
Copertura quota inf.	5 - 4	280.00	0.0030	0.01	0.84
Copertura quota inf.	6 - 5	270.00	0.0030	0.01	0.81
Copertura quota inf.	8 - 6	240.00	0.0030	0.01	0.72
Copertura quota inf.	7 - 8	240.00	0.0030	0.01	0.72
Copertura quota sup.	2 - 3	80.00	0.0030	0.00	0.24
Copertura quota sup.	6 - 2	80.00	0.0030	0.00	0.24
Copertura quota sup.	3 - 4	80.00	0.0030	0.00	0.24
Copertura quota sup.	4 - 5	80.00	0.0030	0.00	0.24
Copertura quota sup.	5 - 6	80.00	0.0030	0.00	0.24

Cond_Y_2(+); E(+); S2(+): Sisma Y (+); Distribuzione forze: Proporzionale altezze; Eccentricità accidentale (+ 0.05*Ly); Sisma seconda direzione (+)

Imp.	Fili	H [cm]	μ	δ_{SLD} [cm]	$\delta_{SLD\ lim}$ [cm]
Primo piano	7 - 1	290.00	0.0030	0.08	0.87
Primo piano	1 - 9	290.00	0.0030	0.09	0.87
Primo piano	1 - 9	290.00	0.0030	0.10	0.87
Primo piano	2 - 3	290.00	0.0030	0.12	0.87
Primo piano	2 - 3	290.00	0.0030	0.12	0.87
Primo piano	2 - 3	290.00	0.0030	0.14	0.87
Primo piano	2 - 3	290.00	0.0030	0.15	0.87
Primo piano	6 - 2	260.00	0.0030	0.12	0.78
Primo piano	9 - 2	260.00	0.0030	0.11	0.78
Primo piano	9 - 2	260.00	0.0030	0.11	0.78
Primo piano	3 - 4	290.00	0.0030	0.15	0.87
Primo piano	4 - 5	290.00	0.0030	0.13	0.87
Primo piano	8 - 6	260.00	0.0030	0.11	0.78
Primo piano	7 - 8	290.00	0.0030	0.09	0.87
Sottotetto	7 - 1	280.00	0.0030	0.84	0.84
Sottotetto	1 - 9	280.00	0.0030	0.84	0.84
Sottotetto	1 - 9	280.00	0.0030	0.84	0.84
Sottotetto	2 - 3	280.00	0.0030	0.84	0.84
Sottotetto	2 - 3	280.00	0.0030	0.84	0.84
Sottotetto	2 - 3	280.00	0.0030	0.84	0.84

Sottotetto	6 - 2	250.00	0.0030	0.75	0.75
Sottotetto	6 - 2	250.00	0.0030	0.75	0.75
Sottotetto	9 - 2	250.00	0.0030	0.75	0.75
Sottotetto	9 - 2	250.00	0.0030	0.75	0.75
Sottotetto	3 - 4	280.00	0.0030	0.84	0.84
Sottotetto	4 - 5	280.00	0.0030	0.84	0.84
Sottotetto	5 - 6	280.00	0.0030	0.84	0.84
Sottotetto	8 - 6	250.00	0.0030	0.75	0.75
Sottotetto	7 - 8	280.00	0.0030	0.84	0.84
Copertura quota inf.	1 - 7	160.00	0.0030	0.02	0.48
Copertura quota inf.	9 - 1	80.00	0.0030	0.02	0.24
Copertura quota inf.	3 - 2	100.00	0.0030	0.02	0.30
Copertura quota inf.	6 - 2	188.10	0.0030	0.02	0.56
Copertura quota inf.	6 - 2	94.05	0.0030	0.02	0.28
Copertura quota inf.	2 - 9	80.00	0.0030	0.02	0.24
Copertura quota inf.	4 - 3	190.00	0.0030	0.02	0.57
Copertura quota inf.	5 - 4	280.00	0.0030	0.02	0.84
Copertura quota inf.	6 - 5	270.00	0.0030	0.02	0.81
Copertura quota inf.	8 - 6	240.00	0.0030	0.02	0.72
Copertura quota inf.	7 - 8	240.00	0.0030	0.02	0.72
Copertura quota sup.	2 - 3	80.00	0.0030	0.00	0.24
Copertura quota sup.	6 - 2	80.00	0.0030	0.00	0.24
Copertura quota sup.	3 - 4	80.00	0.0030	0.00	0.24
Copertura quota sup.	4 - 5	80.00	0.0030	0.00	0.24
Copertura quota sup.	5 - 6	80.00	0.0030	0.00	0.24

Cond_Y_2(+); E(+); S2(-) : Sisma Y (+); Distribuzione forze: Proporzionale altezze; Eccentricità
accidentale (+ 0.05*Ly); Sisma seconda direzione (-)

Imp.	Fili	H [cm]	μ	δ_{SLD} [cm]	$\delta_{SLD\ lim}$ [cm]
Primo piano	7 - 1	290.00	0.0030	0.10	0.87
Primo piano	1 - 9	290.00	0.0030	0.11	0.87
Primo piano	1 - 9	290.00	0.0030	0.12	0.87
Primo piano	2 - 3	290.00	0.0030	0.14	0.87
Primo piano	2 - 3	290.00	0.0030	0.15	0.87
Primo piano	2 - 3	290.00	0.0030	0.16	0.87
Primo piano	2 - 3	290.00	0.0030	0.17	0.87
Primo piano	6 - 2	260.00	0.0030	0.14	0.78
Primo piano	9 - 2	260.00	0.0030	0.13	0.78
Primo piano	9 - 2	260.00	0.0030	0.13	0.78
Primo piano	3 - 4	290.00	0.0030	0.17	0.87
Primo piano	4 - 5	290.00	0.0030	0.15	0.87
Primo piano	8 - 6	260.00	0.0030	0.13	0.78
Primo piano	7 - 8	290.00	0.0030	0.11	0.87
Sottotetto	7 - 1	280.00	0.0030	0.84	0.84
Sottotetto	1 - 9	280.00	0.0030	0.84	0.84
Sottotetto	1 - 9	280.00	0.0030	0.84	0.84
Sottotetto	2 - 3	280.00	0.0030	0.84	0.84
Sottotetto	2 - 3	280.00	0.0030	0.84	0.84
Sottotetto	2 - 3	280.00	0.0030	0.84	0.84
Sottotetto	6 - 2	250.00	0.0030	0.75	0.75
Sottotetto	6 - 2	250.00	0.0030	0.75	0.75
Sottotetto	9 - 2	250.00	0.0030	0.75	0.75
Sottotetto	9 - 2	250.00	0.0030	0.75	0.75
Sottotetto	3 - 4	280.00	0.0030	0.84	0.84
Sottotetto	4 - 5	280.00	0.0030	0.84	0.84
Sottotetto	5 - 6	280.00	0.0030	0.84	0.84
Sottotetto	8 - 6	250.00	0.0030	0.75	0.75
Sottotetto	7 - 8	280.00	0.0030	0.84	0.84
Copertura quota inf.	1 - 7	160.00	0.0030	0.01	0.48
Copertura quota inf.	9 - 1	80.00	0.0030	0.01	0.24
Copertura quota inf.	3 - 2	100.00	0.0030	0.03	0.30
Copertura quota inf.	6 - 2	188.10	0.0030	0.02	0.56
Copertura quota inf.	6 - 2	94.05	0.0030	0.02	0.28
Copertura quota inf.	2 - 9	80.00	0.0030	0.02	0.24
Copertura quota inf.	4 - 3	190.00	0.0030	0.03	0.57
Copertura quota inf.	5 - 4	280.00	0.0030	0.03	0.84
Copertura quota inf.	6 - 5	270.00	0.0030	0.02	0.81
Copertura quota inf.	8 - 6	240.00	0.0030	0.02	0.72
Copertura quota inf.	7 - 8	240.00	0.0030	0.01	0.72
Copertura quota sup.	2 - 3	80.00	0.0030	0.00	0.24
Copertura quota sup.	6 - 2	80.00	0.0030	0.00	0.24
Copertura quota sup.	3 - 4	80.00	0.0030	0.00	0.24
Copertura quota sup.	4 - 5	80.00	0.0030	0.00	0.24
Copertura quota sup.	5 - 6	80.00	0.0030	0.00	0.24

Cond_Y_2(+); E(-); S2(+) : Sisma Y (+); Distribuzione forze: Proporzionale altezze; Eccentricità
accidentale (- 0.05*Ly); Sisma seconda direzione (+)

Imp.	Fili	H [cm]	μ	δ_{SLD} [cm]	$\delta_{SLD\ lim}$ [cm]
Primo piano	7 - 1	290.00	0.0030	0.15	0.87
Primo piano	1 - 9	290.00	0.0030	0.15	0.87
Primo piano	1 - 9	290.00	0.0030	0.14	0.87
Primo piano	2 - 3	290.00	0.0030	0.13	0.87
Primo piano	2 - 3	290.00	0.0030	0.12	0.87
Primo piano	2 - 3	290.00	0.0030	0.11	0.87
Primo piano	2 - 3	290.00	0.0030	0.10	0.87
Primo piano	6 - 2	260.00	0.0030	0.13	0.78
Primo piano	9 - 2	260.00	0.0030	0.14	0.78
Primo piano	9 - 2	260.00	0.0030	0.13	0.78
Primo piano	3 - 4	290.00	0.0030	0.10	0.87
Primo piano	4 - 5	290.00	0.0030	0.11	0.87
Primo piano	8 - 6	260.00	0.0030	0.13	0.78
Primo piano	7 - 8	290.00	0.0030	0.15	0.87

Sottotetto	7 - 1	280.00	0.0030	0.84	0.84
Sottotetto	1 - 9	280.00	0.0030	0.84	0.84
Sottotetto	1 - 9	280.00	0.0030	0.84	0.84
Sottotetto	2 - 3	280.00	0.0030	0.84	0.84
Sottotetto	2 - 3	280.00	0.0030	0.84	0.84
Sottotetto	2 - 3	280.00	0.0030	0.84	0.84
Sottotetto	6 - 2	250.00	0.0030	0.75	0.75
Sottotetto	6 - 2	250.00	0.0030	0.75	0.75
Sottotetto	9 - 2	250.00	0.0030	0.75	0.75
Sottotetto	9 - 2	250.00	0.0030	0.75	0.75
Sottotetto	3 - 4	280.00	0.0030	0.84	0.84
Sottotetto	4 - 5	280.00	0.0030	0.84	0.84
Sottotetto	5 - 6	280.00	0.0030	0.84	0.84
Sottotetto	8 - 6	250.00	0.0030	0.75	0.75
Sottotetto	7 - 8	280.00	0.0030	0.84	0.84
Copertura quota inf.	1 - 7	160.00	0.0030	0.02	0.48
Copertura quota inf.	9 - 1	80.00	0.0030	0.02	0.24
Copertura quota inf.	3 - 2	100.00	0.0030	0.02	0.30
Copertura quota inf.	6 - 2	188.10	0.0030	0.02	0.56
Copertura quota inf.	6 - 2	94.05	0.0030	0.02	0.28
Copertura quota inf.	2 - 9	80.00	0.0030	0.02	0.24
Copertura quota inf.	4 - 3	190.00	0.0030	0.02	0.57
Copertura quota inf.	5 - 4	280.00	0.0030	0.02	0.84
Copertura quota inf.	6 - 5	270.00	0.0030	0.02	0.81
Copertura quota inf.	8 - 6	240.00	0.0030	0.02	0.72
Copertura quota inf.	7 - 8	240.00	0.0030	0.02	0.72
Copertura quota sup.	2 - 3	80.00	0.0030	0.00	0.24
Copertura quota sup.	6 - 2	80.00	0.0030	0.00	0.24
Copertura quota sup.	3 - 4	80.00	0.0030	0.00	0.24
Copertura quota sup.	4 - 5	80.00	0.0030	0.00	0.24
Copertura quota sup.	5 - 6	80.00	0.0030	0.00	0.24

Cond_Y_2(+); E(-); S2(-): Sisma Y (+); Distribuzione forze: Proporzionale altezze; Eccentricità accidentale (-0.05*Ly); Sisma seconda direzione (-)

Imp.	Fili	H [cm]	μ	δ_{SLD} [cm]	$\delta_{SLD\ lim}$ [cm]
Primo piano	7 - 1	290.00	0.0030	0.18	0.87
Primo piano	1 - 9	290.00	0.0030	0.18	0.87
Primo piano	1 - 9	290.00	0.0030	0.17	0.87
Primo piano	2 - 3	290.00	0.0030	0.15	0.87
Primo piano	2 - 3	290.00	0.0030	0.14	0.87
Primo piano	2 - 3	290.00	0.0030	0.13	0.87
Primo piano	2 - 3	290.00	0.0030	0.12	0.87
Primo piano	6 - 2	260.00	0.0030	0.15	0.78
Primo piano	9 - 2	260.00	0.0030	0.16	0.78
Primo piano	9 - 2	260.00	0.0030	0.15	0.78
Primo piano	3 - 4	290.00	0.0030	0.12	0.87
Primo piano	4 - 5	290.00	0.0030	0.14	0.87
Primo piano	8 - 6	260.00	0.0030	0.16	0.78
Primo piano	7 - 8	290.00	0.0030	0.17	0.87
Sottotetto	7 - 1	280.00	0.0030	0.84	0.84
Sottotetto	1 - 9	280.00	0.0030	0.84	0.84
Sottotetto	1 - 9	280.00	0.0030	0.84	0.84
Sottotetto	2 - 3	280.00	0.0030	0.84	0.84
Sottotetto	2 - 3	280.00	0.0030	0.84	0.84
Sottotetto	2 - 3	280.00	0.0030	0.84	0.84
Sottotetto	6 - 2	250.00	0.0030	0.75	0.75
Sottotetto	6 - 2	250.00	0.0030	0.75	0.75
Sottotetto	9 - 2	250.00	0.0030	0.75	0.75
Sottotetto	9 - 2	250.00	0.0030	0.75	0.75
Sottotetto	3 - 4	280.00	0.0030	0.84	0.84
Sottotetto	4 - 5	280.00	0.0030	0.84	0.84
Sottotetto	5 - 6	280.00	0.0030	0.84	0.84
Sottotetto	8 - 6	250.00	0.0030	0.75	0.75
Sottotetto	7 - 8	280.00	0.0030	0.84	0.84
Copertura quota inf.	1 - 7	160.00	0.0030	0.02	0.48
Copertura quota inf.	9 - 1	80.00	0.0030	0.02	0.24
Copertura quota inf.	3 - 2	100.00	0.0030	0.02	0.30
Copertura quota inf.	6 - 2	188.10	0.0030	0.02	0.56
Copertura quota inf.	6 - 2	94.05	0.0030	0.02	0.28
Copertura quota inf.	2 - 9	80.00	0.0030	0.02	0.24
Copertura quota inf.	4 - 3	190.00	0.0030	0.03	0.57
Copertura quota inf.	5 - 4	280.00	0.0030	0.02	0.84
Copertura quota inf.	6 - 5	270.00	0.0030	0.02	0.81
Copertura quota inf.	8 - 6	240.00	0.0030	0.02	0.72
Copertura quota inf.	7 - 8	240.00	0.0030	0.02	0.72
Copertura quota sup.	2 - 3	80.00	0.0030	0.00	0.24
Copertura quota sup.	6 - 2	80.00	0.0030	0.00	0.24
Copertura quota sup.	3 - 4	80.00	0.0030	0.00	0.24
Copertura quota sup.	4 - 5	80.00	0.0030	0.00	0.24
Copertura quota sup.	5 - 6	80.00	0.0030	0.00	0.24

Cond_Y_2(-); E(+); S2(+): Sisma Y (-); Distribuzione forze: Proporzionale altezze; Eccentricità accidentale (+ 0.05*Ly); Sisma seconda direzione (+)

Imp.	Fili	H [cm]	μ	δ_{SLD} [cm]	$\delta_{SLD\ lim}$ [cm]
Primo piano	7 - 1	290.00	0.0030	0.19	0.87
Primo piano	1 - 9	290.00	0.0030	0.19	0.87
Primo piano	1 - 9	290.00	0.0030	0.20	0.87
Primo piano	2 - 3	290.00	0.0030	0.21	0.87
Primo piano	2 - 3	290.00	0.0030	0.21	0.87
Primo piano	2 - 3	290.00	0.0030	0.22	0.87
Primo piano	2 - 3	290.00	0.0030	0.23	0.87
Primo piano	6 - 2	260.00	0.0030	0.21	0.78

Primo piano	9 - 2	260.00	0.0030	0.20	0.78
Primo piano	9 - 2	260.00	0.0030	0.21	0.78
Primo piano	3 - 4	290.00	0.0030	0.23	0.87
Primo piano	4 - 5	290.00	0.0030	0.22	0.87
Primo piano	8 - 6	260.00	0.0030	0.21	0.78
Primo piano	7 - 8	290.00	0.0030	0.20	0.87
Sottotetto	7 - 1	280.00	0.0030	0.80	0.84
Sottotetto	1 - 9	280.00	0.0030	0.80	0.84
Sottotetto	1 - 9	280.00	0.0030	0.81	0.84
Sottotetto	2 - 3	280.00	0.0030	0.84	0.84
Sottotetto	2 - 3	280.00	0.0030	0.84	0.84
Sottotetto	2 - 3	280.00	0.0030	0.84	0.84
Sottotetto	6 - 2	250.00	0.0030	0.75	0.75
Sottotetto	6 - 2	250.00	0.0030	0.75	0.75
Sottotetto	9 - 2	250.00	0.0030	0.75	0.75
Sottotetto	9 - 2	250.00	0.0030	0.75	0.75
Sottotetto	3 - 4	280.00	0.0030	0.84	0.84
Sottotetto	4 - 5	280.00	0.0030	0.84	0.84
Sottotetto	5 - 6	280.00	0.0030	0.83	0.84
Sottotetto	8 - 6	250.00	0.0030	0.75	0.75
Sottotetto	7 - 8	280.00	0.0030	0.81	0.84
Copertura quota inf.	1 - 7	160.00	0.0030	0.01	0.48
Copertura quota inf.	9 - 1	80.00	0.0030	0.01	0.24
Copertura quota inf.	3 - 2	100.00	0.0030	0.02	0.30
Copertura quota inf.	6 - 2	188.10	0.0030	0.02	0.56
Copertura quota inf.	6 - 2	94.05	0.0030	0.02	0.28
Copertura quota inf.	2 - 9	80.00	0.0030	0.02	0.24
Copertura quota inf.	4 - 3	190.00	0.0030	0.03	0.57
Copertura quota inf.	5 - 4	280.00	0.0030	0.02	0.84
Copertura quota inf.	6 - 5	270.00	0.0030	0.02	0.81
Copertura quota inf.	8 - 6	240.00	0.0030	0.02	0.72
Copertura quota inf.	7 - 8	240.00	0.0030	0.01	0.72
Copertura quota sup.	2 - 3	80.00	0.0030	0.00	0.24
Copertura quota sup.	6 - 2	80.00	0.0030	0.00	0.24
Copertura quota sup.	3 - 4	80.00	0.0030	0.00	0.24
Copertura quota sup.	4 - 5	80.00	0.0030	0.00	0.24
Copertura quota sup.	5 - 6	80.00	0.0030	0.00	0.24

Cond_Y_2(-); E(+); S2(-): Sisma Y (-); Distribuzione forze: Proporzionale altezze; Eccentricità accidentale (+ 0.05*Ly); Sisma seconda direzione (-)

Imp.	Fili	H [cm]	μ	δ_{SLD} [cm]	$\delta_{SLD\ lim}$ [cm]
Primo piano	7 - 1	290.00	0.0030	0.14	0.87
Primo piano	1 - 9	290.00	0.0030	0.15	0.87
Primo piano	1 - 9	290.00	0.0030	0.17	0.87
Primo piano	2 - 3	290.00	0.0030	0.21	0.87
Primo piano	2 - 3	290.00	0.0030	0.22	0.87
Primo piano	2 - 3	290.00	0.0030	0.24	0.87
Primo piano	2 - 3	290.00	0.0030	0.26	0.87
Primo piano	6 - 2	260.00	0.0030	0.21	0.78
Primo piano	9 - 2	260.00	0.0030	0.19	0.78
Primo piano	9 - 2	260.00	0.0030	0.20	0.78
Primo piano	3 - 4	290.00	0.0030	0.27	0.87
Primo piano	4 - 5	290.00	0.0030	0.24	0.87
Primo piano	8 - 6	260.00	0.0030	0.19	0.78
Primo piano	7 - 8	290.00	0.0030	0.16	0.87
Sottotetto	7 - 1	280.00	0.0030	0.79	0.84
Sottotetto	1 - 9	280.00	0.0030	0.79	0.84
Sottotetto	1 - 9	280.00	0.0030	0.81	0.84
Sottotetto	2 - 3	280.00	0.0030	0.84	0.84
Sottotetto	2 - 3	280.00	0.0030	0.84	0.84
Sottotetto	2 - 3	280.00	0.0030	0.84	0.84
Sottotetto	6 - 2	250.00	0.0030	0.75	0.75
Sottotetto	6 - 2	250.00	0.0030	0.75	0.75
Sottotetto	9 - 2	250.00	0.0030	0.75	0.75
Sottotetto	9 - 2	250.00	0.0030	0.75	0.75
Sottotetto	3 - 4	280.00	0.0030	0.84	0.84
Sottotetto	4 - 5	280.00	0.0030	0.84	0.84
Sottotetto	5 - 6	280.00	0.0030	0.84	0.84
Sottotetto	8 - 6	250.00	0.0030	0.75	0.75
Sottotetto	7 - 8	280.00	0.0030	0.80	0.84
Copertura quota inf.	1 - 7	160.00	0.0030	0.02	0.48
Copertura quota inf.	9 - 1	80.00	0.0030	0.02	0.24
Copertura quota inf.	3 - 2	100.00	0.0030	0.02	0.30
Copertura quota inf.	6 - 2	188.10	0.0030	0.02	0.56
Copertura quota inf.	6 - 2	94.05	0.0030	0.02	0.28
Copertura quota inf.	2 - 9	80.00	0.0030	0.02	0.24
Copertura quota inf.	4 - 3	190.00	0.0030	0.02	0.57
Copertura quota inf.	5 - 4	280.00	0.0030	0.02	0.84
Copertura quota inf.	6 - 5	270.00	0.0030	0.02	0.81
Copertura quota inf.	8 - 6	240.00	0.0030	0.02	0.72
Copertura quota inf.	7 - 8	240.00	0.0030	0.02	0.72
Copertura quota sup.	2 - 3	80.00	0.0030	0.00	0.24
Copertura quota sup.	6 - 2	80.00	0.0030	0.00	0.24
Copertura quota sup.	3 - 4	80.00	0.0030	0.00	0.24
Copertura quota sup.	4 - 5	80.00	0.0030	0.00	0.24
Copertura quota sup.	5 - 6	80.00	0.0030	0.00	0.24

Cond_Y_2(-); E(-); S2(+): Sisma Y (-); Distribuzione forze: Proporzionale altezze; Eccentricità accidentale (- 0.05*Ly); Sisma seconda direzione (+)

Imp.	Fili	H [cm]	μ	δ_{SLD} [cm]	$\delta_{SLD\ lim}$ [cm]
Primo piano	7 - 1	290.00	0.0030	0.24	0.87
Primo piano	1 - 9	290.00	0.0030	0.24	0.87

Primo piano	1 - 9	290.00	0.0030	0.22	0.87
Primo piano	2 - 3	290.00	0.0030	0.20	0.87
Primo piano	2 - 3	290.00	0.0030	0.19	0.87
Primo piano	2 - 3	290.00	0.0030	0.18	0.87
Primo piano	2 - 3	290.00	0.0030	0.17	0.87
Primo piano	6 - 2	260.00	0.0030	0.20	0.78
Primo piano	9 - 2	260.00	0.0030	0.21	0.78
Primo piano	9 - 2	260.00	0.0030	0.20	0.78
Primo piano	3 - 4	290.00	0.0030	0.16	0.87
Primo piano	4 - 5	290.00	0.0030	0.18	0.87
Primo piano	8 - 6	260.00	0.0030	0.21	0.78
Primo piano	7 - 8	290.00	0.0030	0.23	0.87
Sottotetto	7 - 1	280.00	0.0030	0.56	0.84
Sottotetto	1 - 9	280.00	0.0030	0.56	0.84
Sottotetto	1 - 9	280.00	0.0030	0.56	0.84
Sottotetto	2 - 3	280.00	0.0030	0.54	0.84
Sottotetto	2 - 3	280.00	0.0030	0.54	0.84
Sottotetto	2 - 3	280.00	0.0030	0.53	0.84
Sottotetto	6 - 2	250.00	0.0030	0.55	0.75
Sottotetto	6 - 2	250.00	0.0030	0.55	0.75
Sottotetto	9 - 2	250.00	0.0030	0.55	0.75
Sottotetto	9 - 2	250.00	0.0030	0.55	0.75
Sottotetto	3 - 4	280.00	0.0030	0.53	0.84
Sottotetto	4 - 5	280.00	0.0030	0.54	0.84
Sottotetto	5 - 6	280.00	0.0030	0.55	0.84
Sottotetto	8 - 6	250.00	0.0030	0.55	0.75
Sottotetto	7 - 8	280.00	0.0030	0.56	0.84
Copertura quota inf.	1 - 7	160.00	0.0030	0.01	0.48
Copertura quota inf.	9 - 1	80.00	0.0030	0.02	0.24
Copertura quota inf.	3 - 2	100.00	0.0030	0.02	0.30
Copertura quota inf.	6 - 2	188.10	0.0030	0.02	0.56
Copertura quota inf.	6 - 2	94.05	0.0030	0.02	0.28
Copertura quota inf.	2 - 9	80.00	0.0030	0.02	0.24
Copertura quota inf.	4 - 3	190.00	0.0030	0.02	0.57
Copertura quota inf.	5 - 4	280.00	0.0030	0.02	0.84
Copertura quota inf.	6 - 5	270.00	0.0030	0.02	0.81
Copertura quota inf.	8 - 6	240.00	0.0030	0.02	0.72
Copertura quota inf.	7 - 8	240.00	0.0030	0.02	0.72
Copertura quota sup.	2 - 3	80.00	0.0030	0.00	0.24
Copertura quota sup.	6 - 2	80.00	0.0030	0.00	0.24
Copertura quota sup.	3 - 4	80.00	0.0030	0.00	0.24
Copertura quota sup.	4 - 5	80.00	0.0030	0.00	0.24
Copertura quota sup.	5 - 6	80.00	0.0030	0.00	0.24

Cond_Y_2(-); E(-); S2(-) : Sisma Y (-); Distribuzione forze: Proporzionale altezze; Eccentricità accidentale (-0.05*Ly); Sisma seconda direzione (-)

Imp.	Fili	H [cm]	μ	$\delta_{S.D.}$ [cm]	$\delta_{S.D. lim}$ [cm]
Primo piano	7 - 1	290.00	0.0030	0.19	0.87
Primo piano	1 - 9	290.00	0.0030	0.20	0.87
Primo piano	1 - 9	290.00	0.0030	0.20	0.87
Primo piano	2 - 3	290.00	0.0030	0.20	0.87
Primo piano	2 - 3	290.00	0.0030	0.20	0.87
Primo piano	2 - 3	290.00	0.0030	0.20	0.87
Primo piano	2 - 3	290.00	0.0030	0.21	0.87
Primo piano	6 - 2	260.00	0.0030	0.20	0.78
Primo piano	9 - 2	260.00	0.0030	0.20	0.78
Primo piano	9 - 2	260.00	0.0030	0.20	0.78
Primo piano	3 - 4	290.00	0.0030	0.21	0.87
Primo piano	4 - 5	290.00	0.0030	0.20	0.87
Primo piano	8 - 6	260.00	0.0030	0.20	0.78
Primo piano	7 - 8	290.00	0.0030	0.20	0.87
Sottotetto	7 - 1	280.00	0.0030	0.80	0.84
Sottotetto	1 - 9	280.00	0.0030	0.80	0.84
Sottotetto	1 - 9	280.00	0.0030	0.80	0.84
Sottotetto	2 - 3	280.00	0.0030	0.81	0.84
Sottotetto	2 - 3	280.00	0.0030	0.81	0.84
Sottotetto	2 - 3	280.00	0.0030	0.81	0.84
Sottotetto	6 - 2	250.00	0.0030	0.75	0.75
Sottotetto	6 - 2	250.00	0.0030	0.75	0.75
Sottotetto	9 - 2	250.00	0.0030	0.75	0.75
Sottotetto	9 - 2	250.00	0.0030	0.75	0.75
Sottotetto	3 - 4	280.00	0.0030	0.81	0.84
Sottotetto	4 - 5	280.00	0.0030	0.81	0.84
Sottotetto	5 - 6	280.00	0.0030	0.80	0.84
Sottotetto	8 - 6	250.00	0.0030	0.75	0.75
Sottotetto	7 - 8	280.00	0.0030	0.80	0.84
Copertura quota inf.	1 - 7	160.00	0.0030	0.02	0.48
Copertura quota inf.	9 - 1	80.00	0.0030	0.02	0.24
Copertura quota inf.	3 - 2	100.00	0.0030	0.02	0.30
Copertura quota inf.	6 - 2	188.10	0.0030	0.02	0.56
Copertura quota inf.	6 - 2	94.05	0.0030	0.02	0.28
Copertura quota inf.	2 - 9	80.00	0.0030	0.02	0.24
Copertura quota inf.	4 - 3	190.00	0.0030	0.02	0.57
Copertura quota inf.	5 - 4	280.00	0.0030	0.02	0.84
Copertura quota inf.	6 - 5	270.00	0.0030	0.02	0.81
Copertura quota inf.	8 - 6	240.00	0.0030	0.02	0.72
Copertura quota inf.	7 - 8	240.00	0.0030	0.02	0.72
Copertura quota sup.	2 - 3	80.00	0.0030	0.00	0.24
Copertura quota sup.	6 - 2	80.00	0.0030	0.00	0.24
Copertura quota sup.	3 - 4	80.00	0.0030	0.00	0.24
Copertura quota sup.	4 - 5	80.00	0.0030	0.00	0.24
Copertura quota sup.	5 - 6	80.00	0.0030	0.00	0.24

4.3.3 Calcolo della curva di capacità della struttura.

Num. Prog.	: numero progressivo della parete che si plasticizza
Tipo Elem.	: Tipo di elemento che si plasticizza (parete in muratura, pilastro in c.a.)
Imp.	: numero dell'impalcato
Fili	: numero dei fili fissi iniziale e finale
L	: lunghezza della parete
H	: altezza della parete
t	: spessore della parete
Vu	: resistenza a taglio dell'elemento
Mu	: momento resistente degli elementi in c.a.
k	: rigidezza dell'elemento
δ_0	: spostamento al limite elastico dell'elemento
δ_u	: spostamento ultimo dell'elemento
Tipo Rottura	: rottura degli elementi in muratura (Flessione, Taglio, Deformazione)
τ	: capacità di rotazione degli elementi in c.a.
F	: forza orizzontale totale applicata (taglio alla base)
u	: spostamento del punto di controllo (copertura della struttura)
S	: moltiplicatore di collasso

Coordinate del punto di controllo:

$$x_g = 1020.4 \text{ cm}$$

$$y_g = 321.3 \text{ cm}$$

$$z_g = 856.7 \text{ cm}$$

Cond_X_1(+); E(+); S2(+) : **Sisma X (+); Distribuzione forze: Proporzionale masse; Eccentricità accidentale (+ 0.05*Ly); Sisma seconda direzione (+)**

Num. Prog.	Tipo Elem.	Imp.	Fili	L [cm]	H [cm]	t [cm]	Vu [daN]	Mu [daNcm]	k [daN/cm]	δ_0 [cm]	δ_u [cm]	Tipo Rottura	θ [rad]	F [daN]	u [cm]	S
1	Maschio (P)	Copertura quota inf.	9 - 1	375.2	80.0	36.0	961	-	486489	0.0020	0.48 = 0.0060*H	Flessione	-	52925.73	0.1172	176.50
2	Maschio (P)	Primo piano	1 - 9	170.6	290.0	46.0	7871	-	94890	0.0830	1.16 = 0.0040*H	Taglio	-	61022.01	0.1352	203.50
3	Maschio (P)	Primo piano	9 - 2	90.0	260.0	46.0	3188	-	32791	0.0972	1.56 = 0.0060*H	Flessione	-	70017.89	0.1570	233.50
4	Maschio (P)	Primo piano	7 - 8	349.7	290.0	40.0	13014	-	138356	0.0941	1.16 = 0.0040*H	Taglio	-	72866.58	0.1641	243.00
5	Maschio (P)	Primo piano	8 - 6	250.1	260.0	40.0	9533	-	101088	0.0943	1.04 = 0.0040*H	Taglio	-	73016.51	0.1645	243.50
6	Maschio (P)	Primo piano	1 - 9	60.0	290.0	46.0	902	-	8684	0.1039	1.74 = 0.0060*H	Flessione	-	73766.17	0.1669	246.00
7	Maschio (P)	Primo piano	4 - 5	628.4	290.0	40.0	27619	-	279617	0.0988	1.16 = 0.0040*H	Taglio	-	74665.76	0.1698	249.00
8	Maschio (P)	Primo piano	2 - 3	120.0	290.0	46.0	6320	-	49601	0.1274	1.74 = 0.0060*H	Flessione	-	78264.11	0.1942	261.00
9	Maschio (P)	Primo piano	2 - 3	120.0	290.0	46.0	6820	-	49601	0.1375	1.16 = 0.0040*H	Taglio	-	79463.56	0.2052	265.00
10	Maschio (P)	Primo piano	9 - 2	39.2	260.0	46.0	661	-	3576	0.1848	1.56 = 0.0060*H	Flessione	-	82762.04	0.2552	276.00
11	Maschio (P)	Primo piano	7 - 1	447.0	290.0	40.0	2604	-	13503	0.1929	1.74 = 0.0060*H	Flessione	-	83511.70	0.2671	278.50
12	Maschio (P)	Primo piano	6 - 2	334.0	260.0	46.0	8936	-	40894	0.218	1.56 =	Flessione	-	84861	0.293	283.0

		piano								5	0.006 0*H	one		.08	5	0
13	Maschio (P)	Primo piano	2 - 3	50.7	290.0	46.0	1399	-	5458	0.256 3	1.74 = 0.006 0*H	Flessi one	-	85610 .74	0.327 4	285.5 0
14	Maschio (P)	Primo piano	2 - 3	30.0	290.0	46.0	363	-	1206	0.300 9	1.74 = 0.006 0*H	Flessi one	-	86510 .32	0.379 5	288.5 0
15	Maschio (P)	Sottot etto	9 - 2	90.0	250.0	36.0	1753	-	26253	0.066 8	1.50 = 0.006 0*H	Flessi one	-	87110 .05	0.416 5	290.5 0
16	Maschio (P)	Primo piano	3 - 4	541.7	290.0	40.0	6262	-	16364	0.382 6	1.74 = 0.006 0*H	Flessi one	-	87859 .70	0.453 5	293.0 0
17	Maschio (C)	Primo piano	8 - 6	250.1	260.0	40.0	9533	-	10108 8	0.094 3	1.04 = 0.004 0*H	Taglio	-	87859 .70	1.114 5	293.0 0

Cond_X_1(+); E(+); S2(-) : Sisma X (+); Distribuzione forze: Proporzionale masse; Eccentricità
accidentale (+ 0.05*Ly); Sisma seconda direzione (-)

Num. Prog.	Tipo Elem.	Imp.	Fili	L [cm]	H [cm]	t [cm]	Vu [daN]	Mu [daNc m]	k [daN/cm]	δ_0 [cm]	δ_u [cm]	Tipo Rottura	θ [rad]	F [daN]	u [cm]	S
1	Maschio (P)	Primo piano	1 - 9	170.6	290.0	46.0	8954	-	10255 2	0.087 3	1.16 = 0.004 0*H	Taglio	-	64470 .43	0.138 6	215.0 0
2	Maschio (P)	Primo piano	7 - 8	349.7	290.0	40.0	11668	-	13835 6	0.084 3	1.16 = 0.004 0*H	Taglio	-	67019 .26	0.144 6	223.5 0
3	Maschio (P)	Primo piano	8 - 6	250.1	260.0	40.0	8698	-	10108 8	0.086 0	1.04 = 0.004 0*H	Taglio	-	68068 .78	0.147 4	227.0 0
4	Maschio (P)	Primo piano	4 - 5	628.4	290.0	40.0	25098	-	27961 7	0.089 8	1.16 = 0.004 0*H	Taglio	-	69867 .96	0.152 8	233.0 0
5	Maschio (P)	Primo piano	9 - 2	90.0	260.0	46.0	4138	-	32791	0.126 2	1.56 = 0.006 0*H	Flessi one	-	75715 .27	0.187 3	252.5 0
6	Maschio (P)	Primo piano	1 - 9	60.0	290.0	46.0	1271	-	8684	0.146 4	1.74 = 0.006 0*H	Flessi one	-	79163 .69	0.210 1	264.0 0
7	Maschio (P)	Primo piano	2 - 3	120.0	290.0	46.0	7246	-	49601	0.146 1	1.16 = 0.004 0*H	Taglio	-	79313 .62	0.211 2	264.5 0
8	Maschio (P)	Primo piano	2 - 3	120.0	290.0	46.0	7631	-	49601	0.153 9	1.16 = 0.004 0*H	Taglio	-	80213 .21	0.219 5	267.5 0
9	Maschio (P)	Primo piano	7 - 1	447.0	290.0	40.0	2479	-	13503	0.183 6	1.74 = 0.006 0*H	Flessi one	-	82462 .18	0.253 9	275.0 0
10	Maschio (P)	Primo piano	6 - 2	334.0	260.0	46.0	8575	-	40894	0.209 7	1.56 = 0.006 0*H	Flessi one	-	83961 .49	0.282 0	280.0 0
11	Maschio (P)	Primo piano	9 - 2	39.2	260.0	46.0	873	-	3576	0.244 1	1.56 = 0.006 0*H	Flessi one	-	84711 .15	0.312 3	282.5 0
12	Maschio (P)	Primo piano	2 - 3	50.7	290.0	46.0	1719	-	5458	0.314 8	1.74 = 0.006 0*H	Flessi one	-	86360 .39	0.387 3	288.0 0
13	Maschio (P)	Primo piano	3 - 4	541.7	290.0	40.0	6232	-	16364	0.380 9	1.74 = 0.006 0*H	Flessi one	-	87559 .84	0.457 1	292.0 0
14	Maschio (P)	Primo piano	2 - 3	30.0	290.0	46.0	479	-	1206	0.397 0	1.74 = 0.006 0*H	Flessi one	-	87709 .77	0.457 1	292.5 0
15	Maschio (C)	Primo piano	8 - 6	250.1	260.0	40.0	8698	-	10108 8	0.086 0	1.04 = 0.004 0*H	Taglio	-	87709 .77	1.111 5	292.5 0

Cond_X_1(+); E(-); S2(+) : Sisma X (+); Distribuzione forze: Proporzionale masse; Eccentricità
accidentale (- 0.05*Ly); Sisma seconda direzione (+)

Num. Prog.	Tipo Elem.	Imp.	Fili	L [cm]	H [cm]	t [cm]	Vu [daN]	Mu [daNc m]	k [daN/cm]	δ_0 [cm]	δ_u [cm]	Tipo Rottura	θ [rad]	F [daN]	u [cm]	S
------------	------------	------	------	--------	--------	--------	----------	-------------	------------	-----------------	-----------------	--------------	----------------	---------	--------	---

1	Maschio (P)	Copertura quota inf.	9 - 1	375.2	80.0	36.0	943	-	486489	0.0019	0.48 = 0.0060*H	Flessione	-	56973.87	0.1271	190.00
2	Maschio (P)	Primo piano	1 - 9	170.6	290.0	46.0	7836	-	93340	0.0840	1.16 = 0.0040*H	Taglio	-	60722.15	0.1355	202.50
3	Maschio (P)	Primo piano	9 - 2	90.0	260.0	46.0	3196	-	32791	0.0975	1.56 = 0.0060*H	Flessione	-	69268.23	0.1564	231.00
4	Maschio (P)	Primo piano	7 - 8	349.7	290.0	40.0	13018	-	138356	0.0941	1.16 = 0.0040*H	Taglio	-	73016.51	0.1658	243.50
5	Maschio (P)	Primo piano	8 - 6	250.1	260.0	40.0	9534	-	101088	0.0943	1.04 = 0.0040*H	Taglio	-	73166.44	0.1662	244.00
6	Maschio (P)	Primo piano	1 - 9	60.0	290.0	46.0	908	-	8684	0.1045	1.74 = 0.0060*H	Flessione	-	73316.37	0.1667	244.50
7	Maschio (P)	Primo piano	4 - 5	628.4	290.0	40.0	27620	-	279617	0.0988	1.16 = 0.0040*H	Taglio	-	74815.69	0.1715	249.50
8	Maschio (P)	Primo piano	2 - 3	120.0	290.0	46.0	6317	-	49601	0.1274	1.74 = 0.0060*H	Flessione	-	78114.17	0.1938	260.50
9	Maschio (P)	Primo piano	2 - 3	120.0	290.0	46.0	6817	-	49601	0.1374	1.16 = 0.0040*H	Taglio	-	79313.62	0.2048	264.50
10	Maschio (P)	Primo piano	9 - 2	39.2	260.0	46.0	661	-	3576	0.1848	1.56 = 0.0060*H	Flessione	-	82612.11	0.2548	275.50
11	Maschio (P)	Primo piano	7 - 1	447.0	290.0	40.0	2609	-	13503	0.1932	1.74 = 0.0060*H	Flessione	-	83511.70	0.2689	278.50
12	Maschio (P)	Primo piano	6 - 2	334.0	260.0	46.0	8936	-	40894	0.2185	1.56 = 0.0060*H	Flessione	-	84861.08	0.2954	283.00
13	Maschio (P)	Primo piano	2 - 3	50.7	290.0	46.0	1398	-	5458	0.2560	1.74 = 0.0060*H	Flessione	-	85610.74	0.3292	285.50
14	Maschio (P)	Primo piano	2 - 3	30.0	290.0	46.0	363	-	1206	0.3009	1.74 = 0.0060*H	Flessione	-	86360.39	0.3725	288.00
15	Maschio (P)	Sottotetto	9 - 2	90.0	250.0	36.0	1740	-	25722	0.0676	1.50 = 0.0060*H	Flessione	-	86660.25	0.3910	289.00
16	Maschio (P)	Primo piano	3 - 4	541.7	290.0	40.0	6258	-	16364	0.3824	1.74 = 0.0060*H	Flessione	-	87859.70	0.4558	293.00
17	Maschio (C)	Primo piano	8 - 6	250.1	260.0	40.0	9534	-	101088	0.0943	1.04 = 0.0040*H	Taglio	-	87859.70	1.1151	293.00

Cond_X_1(+); E(-); S2(-): Sisma X (+); Distribuzione forze: Proporzionale masse; Eccentricità accidentale (-0.05*Ly); Sisma seconda direzione (-)

Num. Prog.	Tipo Elem.	Imp.	Fili	L [cm]	H [cm]	t [cm]	Vu [daN]	Mu [daN/cm]	k [daN/cm]	δ_0 [cm]	δ_u [cm]	Tipo Rottura	θ [rad]	F [daN]	u [cm]	S
1	Maschio (P)	Primo piano	1 - 9	170.6	290.0	46.0	8956	-	102552	0.0873	1.16 = 0.0040*H	Taglio	-	63570.84	0.1365	212.00
2	Maschio (P)	Primo piano	7 - 8	349.7	290.0	40.0	11667	-	138356	0.0843	1.16 = 0.0040*H	Taglio	-	67169.19	0.1450	224.00
3	Maschio (P)	Primo piano	8 - 6	250.1	260.0	40.0	8698	-	101088	0.0860	1.04 = 0.0040*H	Taglio	-	68218.71	0.1478	227.50
4	Maschio (P)	Primo piano	4 - 5	628.4	290.0	40.0	25093	-	279617	0.0897	1.16 = 0.0040*H	Taglio	-	70317.75	0.1541	234.50
5	Maschio (P)	Primo piano	9 - 2	90.0	260.0	46.0	4138	-	32791	0.1262	1.56 = 0.0060*H	Flessione	-	75565.34	0.1851	252.00
6	Maschio (P)	Primo piano	1 - 9	60.0	290.0	46.0	1272	-	8684	0.1465	1.74 = 0.0060*H	Flessione	-	79163.69	0.2088	264.00

											0*H					
7	Maschio (P)	Primo piano	2 - 3	120.0	290.0	46.0	7243	-	49601	0.1460	1.16 = 0.0040*H	Taglio	-	79163.69	0.2088	264.00
8	Maschio (P)	Primo piano	2 - 3	120.0	290.0	46.0	7629	-	49601	0.1538	1.16 = 0.0040*H	Taglio	-	80213.21	0.2186	267.50
9	Maschio (P)	Primo piano	7 - 1	447.0	290.0	40.0	2483	-	13503	0.1839	1.74 = 0.0060*H	Flessione	-	82462.18	0.2530	275.00
10	Maschio (P)	Primo piano	6 - 2	334.0	260.0	46.0	8575	-	40894	0.2097	1.56 = 0.0060*H	Flessione	-	83961.49	0.2812	280.00
11	Maschio (P)	Primo piano	9 - 2	39.2	260.0	46.0	873	-	3576	0.2441	1.56 = 0.0060*H	Flessione	-	84711.15	0.3114	282.50
12	Maschio (P)	Primo piano	2 - 3	50.7	290.0	46.0	1718	-	5458	0.3147	1.74 = 0.0060*H	Flessione	-	86360.39	0.3865	288.00
13	Maschio (P)	Primo piano	3 - 4	541.7	290.0	40.0	6229	-	16364	0.3807	1.74 = 0.0060*H	Flessione	-	87559.84	0.4563	292.00
14	Maschio (P)	Primo piano	2 - 3	30.0	290.0	46.0	479	-	1206	0.3969	1.74 = 0.0060*H	Flessione	-	87709.77	0.4563	292.50
15	Maschio (C)	Primo piano	8 - 6	250.1	260.0	40.0	8698	-	101088	0.0860	1.04 = 0.0040*H	Taglio	-	87709.77	1.1114	292.50

Cond_X 1(-); E(+); S2(+) : **Sisma X (-); Distribuzione forze: Proporzionale masse; Eccentricità accidentale (+ 0.05*Ly); Sisma seconda direzione (+)**

Num. Prog.	Tipo Elem.	Imp.	Fili	L [cm]	H [cm]	t [cm]	Vu [daN]	Mu [daNc m]	k [daN/cm]	δ_0 [cm]	δ_u [cm]	Tipo Rottura	θ [rad]	F [daN]	u [cm]	S
1	Maschio (P)	Primo piano	1 - 9	170.6	290.0	46.0	8999	-	102552	0.0878	1.16 = 0.0040*H	Taglio	-	-64770.29	0.1395	216.00
2	Maschio (P)	Primo piano	2 - 3	120.0	290.0	46.0	4558	-	49601	0.0919	1.74 = 0.0060*H	Flessione	-	-67918.85	0.1469	226.50
3	Maschio (P)	Primo piano	2 - 3	120.0	290.0	46.0	4940	-	49601	0.0996	1.74 = 0.0060*H	Flessione	-	-72116.92	0.1572	240.50
4	Maschio (P)	Primo piano	4 - 5	628.4	290.0	40.0	26104	-	279617	0.0934	1.16 = 0.0040*H	Taglio	-	-73166.44	0.1600	244.00
5	Maschio (P)	Primo piano	9 - 2	90.0	260.0	46.0	3603	-	32791	0.1099	1.56 = 0.0060*H	Flessione	-	-75565.34	0.1694	252.00
6	Maschio (P)	Primo piano	8 - 6	250.1	260.0	40.0	10212	-	101088	0.1010	1.04 = 0.0040*H	Taglio	-	-75565.34	0.1694	252.00
7	Maschio (P)	Primo piano	7 - 8	349.7	290.0	40.0	15434	-	138356	0.1115	1.16 = 0.0040*H	Taglio	-	-77814.31	0.1818	259.50
8	Maschio (P)	Primo piano	2 - 3	50.7	290.0	46.0	664	-	5458	0.1217	1.74 = 0.0060*H	Flessione	-	-77964.24	0.1839	260.00
9	Maschio (P)	Primo piano	9 - 2	39.2	260.0	46.0	624	-	3576	0.1746	1.56 = 0.0060*H	Flessione	-	-81712.52	0.2386	272.50
10	Maschio (P)	Primo piano	1 - 9	60.0	290.0	46.0	1663	-	8684	0.1915	1.74 = 0.0060*H	Flessione	-	-82911.97	0.2568	276.50
11	Maschio (P)	Primo piano	6 - 2	334.0	260.0	46.0	9068	-	40894	0.2217	1.56 = 0.0060*H	Flessione	-	-85160.94	0.2955	284.00
12	Maschio (P)	Primo piano	3 - 4	541.7	290.0	40.0	3939	-	16364	0.2407	1.74 = 0.0060*H	Flessione	-	-85760.67	0.3153	286.00
13	Maschio (P)	Primo piano	2 - 3	30.0	290.0	46.0	312	-	1206	0.2590	1.74 = 0.0060*H	Flessione	-	-85910.60	0.3258	286.50
14	Maschio (P)	Sottotetto	2 - 3	215.0	280.0	36.0	8193	-	126065	0.0650	1.12 = 0.0040*H	Taglio	-	-87110.05	0.4162	290.50

										0*H						
15	Maschio (P)	Primo piano	7 - 1	447.0	290.0	40.0	4720	-	13503	0.3495	1.74 = 0.0060*H	Flessione	-	-87259.98	0.4162	291.00
16	Maschio (C)	Primo piano	8 - 6	250.1	260.0	40.0	10212	-	101088	0.1010	1.04 = 0.0040*H	Taglio	-	-87259.98	1.1114	291.00

Cond_X_1(-); E(+); S2(-): Sisma X (-); Distribuzione forze: Proporzionale masse; Eccentricità accidentale (+ 0.05*Ly); Sisma seconda direzione (-)

Num. Prog.	Tipo Elem.	Imp.	Fili	L [cm]	H [cm]	t [cm]	Vu [daN]	Mu [daNc m]	k [daN/cm]	δ_0 [cm]	δ_u [cm]	Tipo Rottura	θ [rad]	F [daN]	u [cm]	S
1	Maschio (P)	Primo piano	4 - 5	628.4	290.0	40.0	23637	-	279617	0.0845	1.16 = 0.0040*H	Taglio	-	-66869.33	0.1456	223.00
2	Maschio (P)	Primo piano	1 - 9	170.6	290.0	46.0	9915	-	102552	0.0967	1.16 = 0.0040*H	Taglio	-	-70317.75	0.1551	234.50
3	Maschio (P)	Primo piano	8 - 6	250.1	260.0	40.0	9361	-	101088	0.0926	1.04 = 0.0040*H	Taglio	-	-71367.27	0.1585	238.00
4	Maschio (P)	Primo piano	7 - 8	349.7	290.0	40.0	14058	-	138356	0.1016	1.16 = 0.0040*H	Taglio	-	-74365.89	0.1699	248.00
5	Maschio (P)	Primo piano	2 - 3	120.0	290.0	46.0	6196	-	49601	0.1249	1.74 = 0.0060*H	Flessione	-	-77814.31	0.1899	259.50
6	Maschio (P)	Primo piano	2 - 3	120.0	290.0	46.0	6591	-	49601	0.1329	1.16 = 0.0040*H	Taglio	-	-79013.76	0.1987	263.50
7	Maschio (P)	Primo piano	9 - 2	90.0	260.0	46.0	4602	-	32791	0.1403	1.56 = 0.0060*H	Flessione	-	-79763.42	0.2066	266.00
8	Maschio (P)	Primo piano	2 - 3	50.7	290.0	46.0	1027	-	5458	0.1881	1.74 = 0.0060*H	Flessione	-	-83511.70	0.2574	278.50
9	Maschio (P)	Primo piano	6 - 2	334.0	260.0	46.0	8705	-	40894	0.2129	1.56 = 0.0060*H	Flessione	-	-85460.81	0.2858	285.00
10	Maschio (P)	Primo piano	1 - 9	60.0	290.0	46.0	2043	-	8684	0.2353	1.74 = 0.0060*H	Flessione	-	-86360.39	0.3077	288.00
11	Maschio (P)	Primo piano	9 - 2	39.2	260.0	46.0	839	-	3576	0.2348	1.56 = 0.0060*H	Flessione	-	-86360.39	0.3077	288.00
12	Maschio (P)	Primo piano	3 - 4	541.7	290.0	40.0	3896	-	16364	0.2381	1.74 = 0.0060*H	Flessione	-	-86510.32	0.3126	288.50
13	Maschio (P)	Primo piano	7 - 1	447.0	290.0	40.0	4612	-	13503	0.3416	1.74 = 0.0060*H	Flessione	-	-88009.64	0.4166	293.50
14	Maschio (P)	Primo piano	2 - 3	30.0	290.0	46.0	433	-	1206	0.3589	1.74 = 0.0060*H	Flessione	-	-88159.57	0.4166	294.00
15	Maschio (C)	Primo piano	8 - 6	250.1	260.0	40.0	9361	-	101088	0.0926	1.04 = 0.0040*H	Taglio	-	-88159.57	1.1119	294.00

Cond_X_1(-); E(-); S2(+): Sisma X (-); Distribuzione forze: Proporzionale masse; Eccentricità accidentale (- 0.05*Ly); Sisma seconda direzione (+)

Num. Prog.	Tipo Elem.	Imp.	Fili	L [cm]	H [cm]	t [cm]	Vu [daN]	Mu [daNc m]	k [daN/cm]	δ_0 [cm]	δ_u [cm]	Tipo Rottura	θ [rad]	F [daN]	u [cm]	S
1	Maschio (P)	Primo piano	1 - 9	170.6	290.0	46.0	8997	-	102552	0.0877	1.16 = 0.0040*H	Taglio	-	-63870.71	0.1375	213.00
2	Maschio (P)	Primo piano	2 - 3	120.0	290.0	46.0	4583	-	49601	0.0924	1.74 = 0.0060*H	Flessione	-	-67319.13	0.1456	224.50
3	Maschio (P)	Primo piano	2 - 3	120.0	290.0	46.0	4959	-	49601	0.1000	1.74 = 0.0060*H	Flessione	-	-71367.27	0.1557	238.00
4	Maschio (P)	Primo piano	4 - 5	628.4	290.0	40.0	26110	-	27961	0.093	1.16 =	Taglio	-	-7361	0.161	245.5

		piano							7	4	0.004 0*H			6.24	5	0
5	Maschio (P)	Primo piano	9 - 2	90.0	260.0	46.0	3604	-	32791	0.109 9	1.56 = 0.006 0*H	Flessione	-	-7526 5.48	0.168 1	251.0 0
6	Maschio (P)	Primo piano	8 - 6	250.1	260.0	40.0	10213	-	10108 8	0.101 0	1.04 = 0.004 0*H	Taglio	-	-7571 5.27	0.170 0	252.5 0
7	Maschio (P)	Primo piano	7 - 8	349.7	290.0	40.0	15433	-	13835 6	0.111 5	1.16 = 0.004 0*H	Taglio	-	-7796 4.24	0.182 4	260.0 0
8	Maschio (P)	Primo piano	2 - 3	50.7	290.0	46.0	665	-	5458	0.121 7	1.74 = 0.006 0*H	Flessione	-	-7811 4.17	0.184 4	260.5 0
9	Maschio (P)	Primo piano	9 - 2	39.2	260.0	46.0	624	-	3576	0.174 6	1.56 = 0.006 0*H	Flessione	-	-8171 2.52	0.237 1	272.5 0
10	Maschio (P)	Primo piano	1 - 9	60.0	290.0	46.0	1662	-	8684	0.191 3	1.74 = 0.006 0*H	Flessione	-	-8291 1.97	0.255 3	276.5 0
11	Maschio (P)	Primo piano	6 - 2	334.0	260.0	46.0	9067	-	40894	0.221 7	1.56 = 0.006 0*H	Flessione	-	-8516 0.94	0.294 1	284.0 0
12	Maschio (P)	Sottotetto	2 - 3	215.0	280.0	36.0	8099	-	12443 1	0.065 1	1.12 = 0.004 0*H	Taglio	-	-8546 0.81	0.304 0	285.0 0
13	Maschio (P)	Primo piano	3 - 4	541.7	290.0	40.0	3941	-	16364	0.240 8	1.74 = 0.006 0*H	Flessione	-	-8591 0.60	0.318 9	286.5 0
14	Maschio (P)	Primo piano	2 - 3	30.0	290.0	46.0	312	-	1206	0.258 9	1.74 = 0.006 0*H	Flessione	-	-8606 0.53	0.329 3	287.0 0
15	Maschio (P)	Primo piano	7 - 1	447.0	290.0	40.0	4718	-	13503	0.349 4	1.74 = 0.006 0*H	Flessione	-	-8740 9.91	0.419 9	291.5 0
16	Maschio (C)	Primo piano	8 - 6	250.1	260.0	40.0	10213	-	10108 8	0.101 0	1.04 = 0.004 0*H	Taglio	-	-8740 9.91	1.111 9	291.5 0

Cond_X_1(-); E(-); S2(-) : Sisma X (-); Distribuzione forze: Proporzionale masse; Eccentricità accidentale (-0.05*Ly); Sisma seconda direzione (-)

Num. Prog.	Tipo Elem.	Imp.	Fili	L [cm]	H [cm]	t [cm]	Vu [daN]	Mu [daN/cm]	k [daN/cm]	δ_0 [cm]	δ_u [cm]	Tipo Rottura	θ [rad]	F [daN]	u [cm]	S
1	Maschio (P)	Primo piano	4 - 5	628.4	290.0	40.0	23621	-	27961 7	0.084 5	1.16 = 0.004 0*H	Taglio	-	-6746 9.06	0.147 8	225.0 0
2	Maschio (P)	Primo piano	1 - 9	170.6	290.0	46.0	9908	-	10255 2	0.096 6	1.16 = 0.004 0*H	Taglio	-	-6986 7.96	0.154 4	233.0 0
3	Maschio (P)	Primo piano	8 - 6	250.1	260.0	40.0	9359	-	10108 8	0.092 6	1.04 = 0.004 0*H	Taglio	-	-7166 7.13	0.160 2	239.0 0
4	Maschio (P)	Primo piano	7 - 8	349.7	290.0	40.0	14056	-	13835 6	0.101 6	1.16 = 0.004 0*H	Taglio	-	-7466 5.76	0.171 6	249.0 0
5	Maschio (P)	Primo piano	2 - 3	120.0	290.0	46.0	6201	-	49601	0.125 0	1.74 = 0.006 0*H	Flessione	-	-7766 4.38	0.189 0	259.0 0
6	Maschio (P)	Primo piano	2 - 3	120.0	290.0	46.0	6592	-	49601	0.132 9	1.16 = 0.004 0*H	Taglio	-	-7886 3.83	0.197 8	263.0 0
7	Maschio (P)	Primo piano	9 - 2	90.0	260.0	46.0	4600	-	32791	0.140 3	1.56 = 0.006 0*H	Flessione	-	-7961 3.49	0.205 6	265.5 0
8	Maschio (P)	Primo piano	2 - 3	50.7	290.0	46.0	1028	-	5458	0.188 4	1.74 = 0.006 0*H	Flessione	-	-8336 1.77	0.256 3	278.0 0
9	Maschio (P)	Primo piano	6 - 2	334.0	260.0	46.0	8705	-	40894	0.212 9	1.56 = 0.006 0*H	Flessione	-	-8546 0.81	0.286 9	285.0 0
10	Maschio (P)	Primo piano	1 - 9	60.0	290.0	46.0	2041	-	8684	0.235 0	1.74 = 0.006 0*H	Flessione	-	-8621 0.46	0.305 1	287.5 0
11	Maschio (P)	Primo piano	9 - 2	39.2	260.0	46.0	839	-	3576	0.234	1.56 =	Flessione	-	-8621	0.305	287.5

		piano								7	0.006 0*H	one		0.46	1	0
12	Maschio (P)	Primo piano	3 - 4	541.7	290.0	40.0	3900	-	16364	0.238 3	1.74 = 0.006 0*H	Flessi one	-	-8651 0.32	0.314 9	288.5 0
13	Maschio (P)	Primo piano	7 - 1	447.0	290.0	40.0	4609	-	13503	0.341 3	1.74 = 0.006 0*H	Flessi one	-	-8800 9.64	0.418 8	293.5 0
14	Maschio (P)	Primo piano	2 - 3	30.0	290.0	46.0	433	-	1206	0.359 0	1.74 = 0.006 0*H	Flessi one	-	-8815 9.57	0.418 8	294.0 0
15	Maschio (C)	Primo piano	8 - 6	250.1	260.0	40.0	9359	-	10108 8	0.092 6	1.04 = 0.004 0*H	Taglio	-	-8815 9.57	1.112 4	294.0 0

Cond_X_2(+); E(+); S2(+) : **Sisma X (+); Distribuzione forze: Proporzionale altezze; Eccentricità accidentale (+ 0.05*Ly); Sisma seconda direzione (+)**

Num. Prog.	Tipo Elem.	Imp.	Fili	L [cm]	H [cm]	t [cm]	Vu [daN]	Mu [daNc m]	k [daN/cm]	δ_0 [cm]	δ_u [cm]	Tipo Rottura	θ [rad]	F [daN]	u [cm]	S
1	Maschio (P)	Copertura quota inf.	9 - 1	375.2	80.0	36.0	953	-	48648 9	0.002 0	0.48 = 0.006 0*H	Flessi one	-	30735 .90	0.080 1	102.5 0
2	Maschio (P)	Primo piano	1 - 9	170.6	290.0	46.0	7692	-	94890	0.081 1	1.16 = 0.004 0*H	Taglio	-	57873 .46	0.151 4	193.0 0
3	Maschio (P)	Sottotetto	9 - 2	90.0	250.0	36.0	1735	-	26253	0.066 1	1.50 = 0.006 0*H	Flessi one	-	61321 .88	0.161 2	204.5 0
4	Maschio (P)	Sottotetto	1 - 9	170.7	280.0	36.0	4394	-	65150	0.067 4	1.68 = 0.006 0*H	Flessi one	-	62521 .33	0.164 7	208.5 0
5	Maschio (P)	Sottotetto	1 - 9	70.0	280.0	36.0	655	-	9626	0.068 1	1.68 = 0.006 0*H	Flessi one	-	63121 .05	0.166 5	210.5 0
6	Maschio (P)	Sottotetto	2 - 3	215.0	280.0	36.0	8802	-	12840 0	0.068 5	1.12 = 0.004 0*H	Taglio	-	63420 .91	0.167 4	211.5 0
7	Maschio (P)	Primo piano	9 - 2	90.0	260.0	46.0	3065	-	32791	0.093 5	1.56 = 0.006 0*H	Flessi one	-	65519 .95	0.174 3	218.5 0
8	Maschio (P)	Primo piano	1 - 9	60.0	290.0	46.0	825	-	8684	0.095 0	1.74 = 0.006 0*H	Flessi one	-	66419 .54	0.177 4	221.5 0
9	Maschio (P)	Primo piano	7 - 8	349.7	290.0	40.0	12881	-	13835 6	0.093 1	1.16 = 0.004 0*H	Taglio	-	72116 .92	0.196 8	240.5 0
10	Maschio (P)	Primo piano	8 - 6	250.1	260.0	40.0	9553	-	10108 8	0.094 5	1.04 = 0.004 0*H	Taglio	-	72866 .58	0.199 6	243.0 0
11	Maschio (P)	Primo piano	4 - 5	628.4	290.0	40.0	28127	-	27961 7	0.100 6	1.16 = 0.004 0*H	Taglio	-	75265 .48	0.209 5	251.0 0
12	Maschio (P)	Copertura quota inf.	2 - 9	269.7	80.0	36.0	1306	-	34964 0	0.003 7	0.48 = 0.006 0*H	Flessi one	-	76464 .93	0.218 7	255.0 0
13	Maschio (P)	Sottotetto	7 - 8	359.9	280.0	30.0	9185	-	11277 6	0.081 4	1.12 = 0.004 0*H	Taglio	-	77514 .45	0.226 8	258.5 0
14	Maschio (P)	Primo piano	2 - 3	120.0	290.0	46.0	6283	-	49601	0.126 7	1.74 = 0.006 0*H	Flessi one	-	77814 .31	0.229 3	259.5 0
15	Maschio (P)	Sottotetto	8 - 6	255.1	250.0	30.0	6880	-	82547	0.083 3	1.00 = 0.004 0*H	Taglio	-	78414 .04	0.235 6	261.5 0
16	Maschio (P)	Primo piano	2 - 3	120.0	290.0	46.0	6874	-	49601	0.138 6	1.16 = 0.004 0*H	Taglio	-	79313 .62	0.245 4	264.5 0
17	Maschio (P)	Sottotetto	2 - 3	120.0	280.0	36.0	4053	-	41964	0.096 6	1.68 = 0.006 0*H	Flessi one	-	79313 .62	0.245 4	264.5 0
18	Maschio (P)	Sottotetto	4 - 5	643.9	280.0	30.0	19218	-	22396 1	0.085 8	1.12 = 0.004	Taglio	-	79313 .62	0.245 4	264.5 0

											0*H					
19	Maschio (P)	Sottotetto	9 - 2	44.2	250.0	36.0	471	-	4388	0.1072	1.50 = 0.0060*H	Flessione	-	80063.28	0.2678	267.00
20	Maschio (P)	Copertura quota sup.	6 - 2	469.0	80.0	36.0	2291	-	608066	0.0038	0.48 = 0.0060*H	Flessione	-	81112.80	0.3007	270.50
21	Maschio (P)	Primo piano	7 - 1	447.0	290.0	40.0	2346	-	13503	0.1737	1.74 = 0.0060*H	Flessione	-	82012.39	0.3291	273.50
22	Maschio (P)	Primo piano	9 - 2	39.2	260.0	46.0	639	-	3576	0.1786	1.56 = 0.0060*H	Flessione	-	82012.39	0.3291	273.50
23	Maschio (P)	Sottotetto	6 - 2	55.0	250.0	36.0	526	-	3759	0.1398	1.50 = 0.0060*H	Flessione	-	82012.39	0.3291	273.50
24	Maschio (P)	Copertura quota inf.	6 - 2	55.0	94.0	36.0	450	-	49678	0.0091	0.56 = 0.0060*H	Flessione	-	82312.25	0.3402	274.50
25	Maschio (P)	Sottotetto	2 - 3	60.9	280.0	36.0	1160	-	7786	0.1490	1.68 = 0.0060*H	Flessione	-	82462.18	0.3458	275.00
26	Maschio (P)	Sottotetto	7 - 1	467.0	280.0	30.0	1234	-	6785	0.1818	1.68 = 0.0060*H	Flessione	-	84111.42	0.4151	280.50
27	Maschio (P)	Primo piano	6 - 2	334.0	260.0	46.0	8964	-	40894	0.2192	1.56 = 0.0060*H	Flessione	-	84561.22	0.4370	282.00
28	Maschio (P)	Sottotetto	6 - 2	304.0	250.0	36.0	4144	-	20779	0.1995	1.50 = 0.0060*H	Flessione	-	84861.08	0.4591	283.00
29	Maschio (P)	Primo piano	2 - 3	50.7	290.0	46.0	1443	-	5458	0.2644	1.74 = 0.0060*H	Flessione	-	85460.81	0.5357	285.00
30	Maschio (P)	Primo piano	2 - 3	30.0	290.0	46.0	354	-	1206	0.2936	1.74 = 0.0060*H	Flessione	-	85910.60	0.5991	286.50
31	Maschio (P)	Sottotetto	5 - 6	23.0	280.0	30.0	116	-	334	0.3479	1.68 = 0.0060*H	Flessione	-	86660.25	0.7080	289.00
32	Maschio (P)	Sottotetto	3 - 4	561.8	280.0	30.0	2971	-	8162	0.3640	1.68 = 0.0060*H	Flessione	-	86810.19	0.7080	289.50
33	Maschio (C)	Sottotetto	8 - 6	255.1	250.0	30.0	6880	-	82547	0.0833	1.00 = 0.0040*H	Taglio	-	86810.19	1.0178	289.50

Cond_X_2(+); E(+); S2(-) : Sisma X (+); Distribuzione forze: Proporzionale altezze; Eccentricità accidentale (+ 0.05*Ly); Sisma seconda direzione (-)

Num. Prog.	Tipo Elem.	Imp.	Fili	L [cm]	H [cm]	t [cm]	Vu [daN]	Mu [daNc/m]	k [daN/cm]	δ ₀ [cm]	δ _n [cm]	Tipo Rottura	θ [rad]	F [daN]	u [cm]	S
1	Maschio (P)	Primo piano	1 - 9	170.6	290.0	46.0	8948	-	102552	0.0873	1.16 = 0.0040*H	Taglio	-	62971.12	0.1582	210.00
2	Maschio (P)	Primo piano	7 - 8	349.7	290.0	40.0	11235	-	138356	0.0812	1.16 = 0.0040*H	Taglio	-	64770.29	0.1631	216.00
3	Maschio (P)	Primo piano	8 - 6	250.1	260.0	40.0	8520	-	101088	0.0843	1.04 = 0.0040*H	Taglio	-	66719.40	0.1690	222.50
4	Maschio (P)	Primo piano	4 - 5	628.4	290.0	40.0	24977	-	279617	0.0893	1.16 = 0.0040*H	Taglio	-	69568.09	0.1786	232.00
5	Maschio (P)	Sottotetto	1 - 9	170.7	280.0	36.0	5608	-	76366	0.0734	1.12 = 0.0040*H	Taglio	-	70467.68	0.1843	235.00
6	Maschio (P)	Sottotetto	2 - 3	215.0	280.0	36.0	9532	-	128400	0.0742	1.12 = 0.0040*H	Taglio	-	71367.27	0.1901	238.00
7	Maschio (P)	Sottotetto	1 - 9	70.0	280.0	36.0	883	-	11296	0.0782	1.68 = 0.0060*H	Flessione	-	73616.24	0.2053	245.50

8	Maschio (P)	Sottotetto	9 - 2	90.0	250.0	36.0	2201	-	28174	0.0781	1.50 = 0.0060*H	Flessione	-	73766.17	0.2063	246.00
9	Maschio (P)	Primo piano	9 - 2	90.0	260.0	46.0	4200	-	32791	0.1281	1.56 = 0.0060*H	Flessione	-	75265.48	0.2166	251.00
10	Maschio (P)	Sottotetto	7 - 8	359.9	280.0	30.0	8416	-	112776	0.0746	1.12 = 0.0040*H	Taglio	-	76015.14	0.2223	253.50
11	Maschio (P)	Primo piano	1 - 9	60.0	290.0	46.0	1225	-	8684	0.1411	1.74 = 0.0060*H	Flessione	-	77514.45	0.2342	258.50
12	Maschio (P)	Sottotetto	8 - 6	255.1	250.0	30.0	6396	-	82547	0.0775	1.00 = 0.0040*H	Taglio	-	77514.45	0.2342	258.50
13	Maschio (P)	Sottotetto	4 - 5	643.9	280.0	30.0	17852	-	223961	0.0797	1.12 = 0.0040*H	Taglio	-	78563.97	0.2433	262.00
14	Maschio (P)	Primo piano	2 - 3	120.0	290.0	46.0	7414	-	49601	0.1495	1.16 = 0.0040*H	Taglio	-	79013.76	0.2497	263.50
15	Maschio (P)	Primo piano	2 - 3	120.0	290.0	46.0	7866	-	49601	0.1586	1.16 = 0.0040*H	Taglio	-	80063.28	0.2673	267.00
16	Maschio (P)	Copertura quota sup.	6 - 2	469.0	80.0	36.0	2290	-	608066	0.0038	0.48 = 0.0060*H	Flessione	-	80363.14	0.2741	268.00
17	Maschio (P)	Primo piano	7 - 1	447.0	290.0	40.0	2197	-	13503	0.1627	1.74 = 0.0060*H	Flessione	-	80663.01	0.2809	269.00
18	Maschio (P)	Sottotetto	2 - 3	120.0	280.0	36.0	4941	-	41964	0.1177	1.68 = 0.0060*H	Flessione	-	82312.25	0.3244	274.50
19	Maschio (P)	Primo piano	6 - 2	334.0	260.0	46.0	8515	-	40894	0.2082	1.56 = 0.0060*H	Flessione	-	83211.84	0.3551	277.50
20	Maschio (P)	Copertura quota inf.	9 - 1	375.2	80.0	36.0	7812	-	1139439	0.0069	0.48 = 0.0060*H	Flessione	-	83361.77	0.3634	278.00
21	Maschio (P)	Sottotetto	9 - 2	44.2	250.0	36.0	600	-	4388	0.1367	1.50 = 0.0060*H	Flessione	-	83511.70	0.3717	278.50
22	Maschio (P)	Primo piano	9 - 2	39.2	260.0	46.0	901	-	3576	0.2521	1.56 = 0.0060*H	Flessione	-	84261.36	0.4143	281.00
23	Maschio (P)	Sottotetto	6 - 2	55.0	250.0	36.0	635	-	3759	0.1690	1.50 = 0.0060*H	Flessione	-	85460.81	0.4884	285.00
24	Maschio (P)	Sottotetto	7 - 1	467.0	280.0	30.0	1156	-	6785	0.1703	1.68 = 0.0060*H	Flessione	-	85760.67	0.5073	286.00
25	Maschio (P)	Primo piano	2 - 3	50.7	290.0	46.0	1825	-	5458	0.3343	1.74 = 0.0060*H	Flessione	-	86060.53	0.5274	287.00
26	Maschio (P)	Sottotetto	2 - 3	60.9	280.0	36.0	1404	-	7786	0.1803	1.68 = 0.0060*H	Flessione	-	86060.53	0.5274	287.00
27	Maschio (P)	Sottotetto	6 - 2	304.0	250.0	36.0	3909	-	20779	0.1881	1.50 = 0.0060*H	Flessione	-	86510.32	0.5667	288.50
28	Maschio (P)	Primo piano	3 - 4	541.7	290.0	40.0	6476	-	16364	0.3958	1.74 = 0.0060*H	Flessione	-	87259.98	0.6728	291.00
29	Maschio (P)	Primo piano	2 - 3	30.0	290.0	46.0	498	-	1206	0.4126	1.74 = 0.0060*H	Flessione	-	87409.91	0.6728	291.50
30	Maschio (C)	Primo piano	8 - 6	250.1	260.0	40.0	8520	-	101088	0.0843	1.04 = 0.0040*H	Taglio	-	87409.91	1.3106	291.50

Cond_X_2(+); E(-); S2(+) : Sisma X (+); Distribuzione forze: Proporzionale altezze; Eccentricità accidentale (- 0.05*Ly); Sisma seconda direzione (+)

Num.	Tipo Elem.	Imp.	Fili	L	H	t [cm]	Vu	Mu	k	δ_0	δ_u	Tipo	θ	F	u	S
------	------------	------	------	---	---	--------	----	----	---	------------	------------	------	----------	---	---	---

Prog.				[cm]	[cm]		[daN]	[daN/cm]	[daN/cm]	[cm]	[cm]	Rottura	[rad]	[daN]	[cm]	
1	Maschio (P)	Copertura quota inf.	9 - 1	375.2	80.0	36.0	934	-	486489	0.0019	0.48 = 0.0060*H	Flessione	-	33134.80	0.0870	110.50
2	Maschio (P)	Primo piano	1 - 9	170.6	290.0	46.0	7660	-	93340	0.0821	1.16 = 0.0040*H	Taglio	-	57573.59	0.1518	192.00
3	Maschio (P)	Sottotetto	9 - 2	90.0	250.0	36.0	1723	-	25722	0.0670	1.50 = 0.0060*H	Flessione	-	61022.01	0.1617	203.50
4	Maschio (P)	Sottotetto	1 - 9	170.7	280.0	36.0	4355	-	63690	0.0684	1.68 = 0.0060*H	Flessione	-	62221.46	0.1651	207.50
5	Maschio (P)	Sottotetto	2 - 3	215.0	280.0	36.0	8800	-	128400	0.0685	1.12 = 0.0040*H	Taglio	-	62371.39	0.1656	208.00
6	Maschio (P)	Sottotetto	1 - 9	70.0	280.0	36.0	653	-	9400	0.0695	1.68 = 0.0060*H	Flessione	-	62971.12	0.1676	210.00
7	Maschio (P)	Primo piano	9 - 2	90.0	260.0	46.0	3076	-	32791	0.0938	1.56 = 0.0060*H	Flessione	-	64770.29	0.1736	216.00
8	Maschio (P)	Primo piano	1 - 9	60.0	290.0	46.0	832	-	8684	0.0958	1.74 = 0.0060*H	Flessione	-	65969.74	0.1777	220.00
9	Maschio (P)	Primo piano	7 - 8	349.7	290.0	40.0	12888	-	138356	0.0932	1.16 = 0.0040*H	Taglio	-	72266.86	0.1992	241.00
10	Maschio (P)	Primo piano	8 - 6	250.1	260.0	40.0	9556	-	101088	0.0945	1.04 = 0.0040*H	Taglio	-	73016.51	0.2021	243.50
11	Maschio (P)	Primo piano	4 - 5	628.4	290.0	40.0	28132	-	279617	0.1006	1.16 = 0.0040*H	Taglio	-	75565.34	0.2126	252.00
12	Maschio (P)	Sottotetto	7 - 8	359.9	280.0	30.0	9193	-	112776	0.0815	1.12 = 0.0040*H	Taglio	-	77514.45	0.2276	258.50
13	Maschio (P)	Primo piano	2 - 3	120.0	290.0	46.0	6279	-	49601	0.1266	1.74 = 0.0060*H	Flessione	-	77664.38	0.2288	259.00
14	Maschio (P)	Sottotetto	2 - 3	120.0	280.0	36.0	4040	-	41964	0.0963	1.68 = 0.0060*H	Flessione	-	78264.11	0.2351	261.00
15	Maschio (P)	Sottotetto	8 - 6	255.1	250.0	30.0	6882	-	82547	0.0834	1.00 = 0.0040*H	Taglio	-	78414.04	0.2367	261.50
16	Maschio (P)	Primo piano	2 - 3	120.0	290.0	46.0	6870	-	49601	0.1385	1.16 = 0.0040*H	Taglio	-	79163.69	0.2452	264.00
17	Maschio (P)	Sottotetto	4 - 5	643.9	280.0	30.0	19212	-	223961	0.0858	1.12 = 0.0040*H	Taglio	-	79313.62	0.2477	264.50
18	Maschio (P)	Copertura quota inf.	2 - 9	269.7	80.0	36.0	1187	-	349640	0.0034	0.32 = 0.0040*H	Taglio	-	79313.62	0.2477	264.50
19	Maschio (P)	Sottotetto	9 - 2	44.2	250.0	36.0	471	-	4388	0.1072	1.50 = 0.0060*H	Flessione	-	79913.35	0.2656	266.50
20	Maschio (P)	Primo piano	9 - 2	39.2	260.0	46.0	639	-	3576	0.1786	1.56 = 0.0060*H	Flessione	-	81862.46	0.3265	273.00
21	Maschio (P)	Sottotetto	6 - 2	55.0	250.0	36.0	526	-	3759	0.1398	1.50 = 0.0060*H	Flessione	-	81862.46	0.3265	273.00
22	Maschio (P)	Primo piano	7 - 1	447.0	290.0	40.0	2354	-	13503	0.1743	1.74 = 0.0060*H	Flessione	-	82012.39	0.3315	273.50
23	Maschio (P)	Sottotetto	2 - 3	60.9	280.0	36.0	1156	-	7786	0.1485	1.68 = 0.0060*H	Flessione	-	82312.25	0.3426	274.50
24	Maschio (P)	Copertura quota	6 - 2	55.0	94.0	36.0	450	-	49678	0.0091	0.56 = 0.0060*H	Flessione	-	83061.91	0.3738	277.00

		inf.														
25	Maschio (P)	Coper tura quota sup.	6 - 2	469.0	80.0	36.0	2317	-	60806 6	0.003 8	0.48 = 0.006 0*H	Flessi one	-	83061 .91	0.373 8	277.0 0
26	Maschio (P)	Sottot etto	7 - 1	467.0	280.0	30.0	1240	-	6785	0.182 7	1.68 = 0.006 0*H	Flessi one	-	84111 .42	0.417 9	280.5 0
27	Maschio (P)	Primo piano	6 - 2	334.0	260.0	46.0	8964	-	40894	0.219 2	1.56 = 0.006 0*H	Flessi one	-	84561 .22	0.439 8	282.0 0
28	Maschio (P)	Sottot etto	6 - 2	304.0	250.0	36.0	4145	-	20779	0.199 5	1.50 = 0.006 0*H	Flessi one	-	84711 .15	0.450 8	282.5 0
29	Maschio (P)	Primo piano	2 - 3	50.7	290.0	46.0	1441	-	5458	0.264 0	1.74 = 0.006 0*H	Flessi one	-	85460 .81	0.546 5	285.0 0
30	Maschio (P)	Primo piano	2 - 3	30.0	290.0	46.0	354	-	1206	0.293 5	1.74 = 0.006 0*H	Flessi one	-	85910 .60	0.609 9	286.5 0
31	Maschio (P)	Sottot etto	3 - 4	561.8	280.0	30.0	2964	-	8162	0.363 2	1.68 = 0.006 0*H	Flessi one	-	86660 .25	0.718 7	289.0 0
32	Maschio (P)	Sottot etto	5 - 6	23.0	280.0	30.0	116	-	334	0.348 0	1.68 = 0.006 0*H	Flessi one	-	86660 .25	0.718 7	289.0 0
33	Maschio (C)	Sottot etto	8 - 6	255.1	250.0	30.0	6882	-	82547	0.083 4	1.00 = 0.004 0*H	Taglio	-	86660 .25	1.018 1	289.0 0

Cond_X_2(+); E(-); S2(-): Sisma X (+); Distribuzione forze: Proporzionale altezze; Eccentricità accidentale (-0.05*Ly); Sisma seconda direzione (-)

Num. Prog.	Tipo Elem.	Imp.	Fili	L [cm]	H [cm]	t [cm]	Vu [daN]	Mu [daNc m]	k [daN/ cm]	δ ₀ [cm]	δ _u [cm]	Tipo Rottu ra	θ [rad]	F [daN]	u [cm]	S
1	Maschio (P)	Primo piano	1 - 9	170.6	290.0	46.0	8951	-	10255 2	0.087 3	1.16 = 0.004 0*H	Taglio	-	62071 .53	0.155 7	207.0 0
2	Maschio (P)	Primo piano	7 - 8	349.7	290.0	40.0	11236	-	13835 6	0.081 2	1.16 = 0.004 0*H	Taglio	-	64920 .23	0.163 4	216.5 0
3	Maschio (P)	Primo piano	8 - 6	250.1	260.0	40.0	8519	-	10108 8	0.084 3	1.04 = 0.004 0*H	Taglio	-	66869 .33	0.169 4	223.0 0
4	Maschio (P)	Primo piano	4 - 5	628.4	290.0	40.0	24969	-	27961 7	0.089 3	1.16 = 0.004 0*H	Taglio	-	70017 .89	0.179 9	233.5 0
5	Maschio (P)	Sottot etto	1 - 9	170.7	280.0	36.0	5578	-	74993	0.074 4	1.12 = 0.004 0*H	Taglio	-	70017 .89	0.179 9	233.5 0
6	Maschio (P)	Sottot etto	2 - 3	215.0	280.0	36.0	9519	-	12840 0	0.074 1	1.12 = 0.004 0*H	Taglio	-	70167 .82	0.180 9	234.0 0
7	Maschio (P)	Sottot etto	1 - 9	70.0	280.0	36.0	889	-	11296	0.078 7	1.68 = 0.006 0*H	Flessi one	-	72566 .72	0.197 1	242.0 0
8	Maschio (P)	Sottot etto	9 - 2	90.0	250.0	36.0	2201	-	28174	0.078 1	1.50 = 0.006 0*H	Flessi one	-	72566 .72	0.197 1	242.0 0
9	Maschio (P)	Primo piano	9 - 2	90.0	260.0	46.0	4201	-	32791	0.128 1	1.56 = 0.006 0*H	Flessi one	-	75115 .55	0.214 6	250.5 0
10	Maschio (P)	Sottot etto	7 - 8	359.9	280.0	30.0	8424	-	11277 6	0.074 7	1.12 = 0.004 0*H	Taglio	-	76015 .14	0.221 4	253.5 0
11	Maschio (P)	Primo piano	1 - 9	60.0	290.0	46.0	1228	-	8684	0.141 4	1.74 = 0.006 0*H	Flessi one	-	77364 .52	0.232 2	258.0 0
12	Maschio (P)	Sottot etto	8 - 6	255.1	250.0	30.0	6399	-	82547	0.077 5	1.00 = 0.004 0*H	Taglio	-	77514 .45	0.233 4	258.5 0
13	Maschio (P)	Primo piano	2 - 3	120.0	290.0	46.0	7411	-	49601	0.149 4	1.16 = 0.004 0*H	Taglio	-	78863 .83	0.245 1	263.0 0
14	Maschio (P)	Sottot	4 - 5	643.9	280.0	30.0	17846	-	22396	0.079	1.12 =	Taglio	-	78863	0.245	263.0

		etto							1	7	0.004 0*H			.83	1	0
15	Maschio (P)	Primo piano	2 - 3	120.0	290.0	46.0	7863	-	49601	0.158 5	1.16 = 0.004 0*H	Taglio	-	80063 .28	0.265 2	267.0 0
16	Maschio (P)	Primo piano	7 - 1	447.0	290.0	40.0	2204	-	13503	0.163 2	1.74 = 0.006 0*H	Flessione	-	80663 .01	0.278 8	269.0 0
17	Maschio (P)	Copertura quota sup.	6 - 2	469.0	80.0	36.0	2316	-	60806 6	0.003 8	0.48 = 0.006 0*H	Flessione	-	82162 .32	0.318 1	274.0 0
18	Maschio (P)	Sottotetto	2 - 3	120.0	280.0	36.0	4932	-	41964	0.117 5	1.68 = 0.006 0*H	Flessione	-	82312 .25	0.322 1	274.5 0
19	Maschio (P)	Primo piano	6 - 2	334.0	260.0	46.0	8515	-	40894	0.208 2	1.56 = 0.006 0*H	Flessione	-	83211 .84	0.352 8	277.5 0
20	Maschio (P)	Sottotetto	9 - 2	44.2	250.0	36.0	600	-	4388	0.136 7	1.50 = 0.006 0*H	Flessione	-	83511 .70	0.369 4	278.5 0
21	Maschio (P)	Primo piano	9 - 2	39.2	260.0	46.0	901	-	3576	0.252 0	1.56 = 0.006 0*H	Flessione	-	84261 .36	0.412 0	281.0 0
22	Maschio (P)	Copertura quota inf.	9 - 1	375.2	80.0	36.0	8077	-	11394 39	0.007 1	0.48 = 0.006 0*H	Flessione	-	85011 .01	0.458 2	283.5 0
23	Maschio (P)	Sottotetto	6 - 2	55.0	250.0	36.0	635	-	3759	0.169 0	1.50 = 0.006 0*H	Flessione	-	85460 .81	0.486 0	285.0 0
24	Maschio (P)	Sottotetto	7 - 1	467.0	280.0	30.0	1162	-	6785	0.171 2	1.68 = 0.006 0*H	Flessione	-	85760 .67	0.504 9	286.0 0
25	Maschio (P)	Sottotetto	2 - 3	60.9	280.0	36.0	1400	-	7786	0.179 8	1.68 = 0.006 0*H	Flessione	-	85910 .60	0.515 0	286.5 0
26	Maschio (P)	Primo piano	2 - 3	50.7	290.0	46.0	1823	-	5458	0.334 0	1.74 = 0.006 0*H	Flessione	-	86060 .53	0.526 1	287.0 0
27	Maschio (P)	Sottotetto	6 - 2	304.0	250.0	36.0	3909	-	20779	0.188 1	1.50 = 0.006 0*H	Flessione	-	86510 .32	0.565 4	288.5 0
28	Maschio (P)	Primo piano	3 - 4	541.7	290.0	40.0	6470	-	16364	0.395 4	1.74 = 0.006 0*H	Flessione	-	87259 .98	0.671 6	291.0 0
29	Maschio (P)	Primo piano	2 - 3	30.0	290.0	46.0	498	-	1206	0.412 5	1.74 = 0.006 0*H	Flessione	-	87409 .91	0.671 6	291.5 0
30	Maschio (C)	Primo piano	8 - 6	250.1	260.0	40.0	8519	-	10108 8	0.084 3	1.04 = 0.004 0*H	Taglio	-	87409 .91	1.310 1	291.5 0

Cond_X_2(-); E(+); S2(+) : Sisma X (-); Distribuzione forze: Proporzionale altezze; Eccentricità accidentale (+ 0.05*Ly); Sisma seconda direzione (+)

Num. Prog.	Tipo Elem.	Imp.	Fili	L [cm]	H [cm]	t [cm]	Vu [daN]	Mu [daN/cm]	k [daN/cm]	δ_0 [cm]	δ_u [cm]	Tipo Rottura	θ [rad]	F [daN]	u [cm]	S
1	Maschio (P)	Sottotetto	2 - 3	215.0	280.0	36.0	8152	-	12606 5	0.064 7	1.12 = 0.004 0*H	Taglio	-	-6207 1.53	0.156 2	207.0 0
2	Maschio (P)	Primo piano	2 - 3	120.0	290.0	46.0	4230	-	49601	0.085 3	1.74 = 0.006 0*H	Flessione	-	-6222 1.46	0.156 6	207.5 0
3	Maschio (P)	Primo piano	1 - 9	170.6	290.0	46.0	9005	-	10255 2	0.087 8	1.16 = 0.004 0*H	Taglio	-	-6342 0.91	0.160 0	211.5 0
4	Maschio (P)	Sottotetto	2 - 3	120.0	280.0	36.0	2649	-	38856	0.068 2	1.68 = 0.006 0*H	Flessione	-	-6492 0.23	0.164 6	216.5 0
5	Maschio (P)	Sottotetto	9 - 2	90.0	250.0	36.0	2020	-	28174	0.071 7	1.50 = 0.006 0*H	Flessione	-	-6701 9.26	0.171 1	223.5 0
6	Maschio (P)	Primo piano	2 - 3	120.0	290.0	46.0	4669	-	49601	0.094 1	1.74 = 0.006 0*H	Flessione	-	-6731 9.13	0.172 1	224.5 0

											0*H					
7	Maschio (P)	Sottotetto	1 - 9	170.7	280.0	36.0	5794	-	78706	0.0736	1.12 = 0.0040*H	Taglio	-	-68218.71	0.1751	227.50
8	Maschio (P)	Primo piano	2 - 3	50.7	290.0	46.0	564	-	5458	0.1034	1.74 = 0.0060*H	Flessione	-	-72566.72	0.1906	242.00
9	Maschio (P)	Sottotetto	2 - 3	60.9	280.0	36.0	627	-	7786	0.0805	1.68 = 0.0060*H	Flessione	-	-72566.72	0.1906	242.00
10	Maschio (P)	Primo piano	4 - 5	628.4	290.0	40.0	26229	-	279617	0.0938	1.16 = 0.0040*H	Taglio	-	-73166.44	0.1928	244.00
11	Maschio (P)	Primo piano	9 - 2	90.0	260.0	46.0	3542	-	32791	0.1080	1.56 = 0.0060*H	Flessione	-	-73916.10	0.1966	246.50
12	Maschio (P)	Primo piano	8 - 6	250.1	260.0	40.0	10396	-	101088	0.1028	1.04 = 0.0040*H	Taglio	-	-75565.34	0.2053	252.00
13	Maschio (P)	Primo piano	7 - 8	349.7	290.0	40.0	15877	-	138356	0.1148	1.16 = 0.0040*H	Taglio	-	-77964.24	0.2212	260.00
14	Maschio (P)	Sottotetto	4 - 5	643.9	280.0	30.0	18344	-	223961	0.0819	1.12 = 0.0040*H	Taglio	-	-78114.17	0.2235	260.50
15	Maschio (P)	Sottotetto	8 - 6	255.1	250.0	30.0	7257	-	82547	0.0879	1.00 = 0.0040*H	Taglio	-	-79913.35	0.2542	266.50
16	Maschio (P)	Primo piano	9 - 2	39.2	260.0	46.0	593	-	3576	0.1658	1.56 = 0.0060*H	Flessione	-	-80962.87	0.2735	270.00
17	Maschio (P)	Sottotetto	9 - 2	44.2	250.0	36.0	451	-	4388	0.1029	1.50 = 0.0060*H	Flessione	-	-81112.80	0.2763	270.50
18	Maschio (P)	Sottotetto	7 - 8	359.9	280.0	30.0	10526	-	112776	0.0933	1.12 = 0.0040*H	Taglio	-	-81262.73	0.2792	271.00
19	Maschio (P)	Sottotetto	1 - 9	70.0	280.0	36.0	1225	-	11296	0.1085	1.68 = 0.0060*H	Flessione	-	-81562.59	0.2882	272.00
20	Maschio (P)	Sottotetto	6 - 2	55.0	250.0	36.0	495	-	3759	0.1316	1.50 = 0.0060*H	Flessione	-	-82762.04	0.3308	276.00
21	Maschio (P)	Primo piano	1 - 9	60.0	290.0	46.0	1711	-	8684	0.1970	1.74 = 0.0060*H	Flessione	-	-83061.91	0.3420	277.00
22	Maschio (P)	Primo piano	3 - 4	541.7	290.0	40.0	3626	-	16364	0.2216	1.74 = 0.0060*H	Flessione	-	-85011.01	0.4191	283.50
23	Maschio (P)	Primo piano	6 - 2	334.0	260.0	46.0	9129	-	40894	0.2232	1.56 = 0.0060*H	Flessione	-	-85160.94	0.4259	284.00
24	Maschio (P)	Primo piano	2 - 3	30.0	290.0	46.0	291	-	1206	0.2409	1.74 = 0.0060*H	Flessione	-	-85310.87	0.4397	284.50
25	Maschio (P)	Sottotetto	6 - 2	304.0	250.0	36.0	4227	-	20779	0.2034	1.50 = 0.0060*H	Flessione	-	-86210.46	0.5276	287.50
26	Maschio (P)	Primo piano	7 - 1	447.0	290.0	40.0	4962	-	13503	0.3674	1.74 = 0.0060*H	Flessione	-	-87110.05	0.6177	290.50
27	Maschio (C)	Primo piano	8 - 6	250.1	260.0	40.0	10396	-	101088	0.1028	1.04 = 0.0040*H	Taglio	-	-87110.05	1.2968	290.50

Cond X_2(-); E(+); S2(-): Sisma X (-); Distribuzione forze: Proporzionale altezze; Eccentricità accidentale (+ 0.05*Ly); Sisma seconda direzione (-)

Num. Prog.	Tipo Elem.	Imp.	Fili	L [cm]	H [cm]	t [cm]	Vu [daN]	Mu [daNc m]	k [daN/cm]	δ_0 [cm]	δ_u [cm]	Tipo Rottura	θ [rad]	F [daN]	u [cm]	S
1	Maschio (P)	Primo piano	4 - 5	628.4	290.0	40.0	23131	-	279617	0.0827	1.16 = 0.0040*H	Taglio	-	-66569.47	0.1703	222.00
2	Maschio (P)	Sottotetto	2 - 3	215.0	280.0	36.0	8996	-	128400	0.0701	1.12 = 0.0040*H	Taglio	-	-67319.13	0.1727	224.50

										0*H						
3	Maschio (P)	Primo piano	1 - 9	170.6	290.0	46.0	10130	-	10255 2	0.098 8	1.16 = 0.004 0*H	Taglio	-	-6986 7.96	0.181 2	233.0 0
4	Maschio (P)	Primo piano	8 - 6	250.1	260.0	40.0	9340	-	10108 8	0.092 4	1.04 = 0.004 0*H	Taglio	-	-7136 7.27	0.186 9	238.0 0
5	Maschio (P)	Sottotetto	1 - 9	170.7	280.0	36.0	6410	-	84837	0.075 6	1.12 = 0.004 0*H	Taglio	-	-7151 7.20	0.187 6	238.5 0
6	Maschio (P)	Primo piano	7 - 8	349.7	290.0	40.0	14191	-	13835 6	0.102 6	1.16 = 0.004 0*H	Taglio	-	-7481 5.69	0.202 8	249.5 0
7	Maschio (P)	Sottotetto	2 - 3	120.0	280.0	36.0	3464	-	41964	0.082 6	1.68 = 0.006 0*H	Flessione	-	-7601 5.14	0.210 7	253.5 0
8	Maschio (P)	Sottotetto	4 - 5	643.9	280.0	30.0	0	-	9355	0.000 0	1.12 = 0.004 0*H	Taglio	-	-7616 5.07	0.211 7	254.0 0
9	Maschio (P)	Primo piano	2 - 3	120.0	290.0	46.0	6083	-	49601	0.122 6	1.74 = 0.006 0*H	Flessione	-	-7691 4.72	0.217 6	256.5 0
10	Maschio (P)	Sottotetto	9 - 2	90.0	250.0	36.0	2492	-	28174	0.088 5	1.50 = 0.006 0*H	Flessione	-	-7811 4.17	0.228 9	260.5 0
11	Maschio (P)	Primo piano	2 - 3	120.0	290.0	46.0	6608	-	49601	0.133 2	1.16 = 0.004 0*H	Taglio	-	-7856 3.97	0.233 3	262.0 0
12	Maschio (P)	Sottotetto	8 - 6	255.1	250.0	30.0	6786	-	82547	0.082 2	1.00 = 0.004 0*H	Taglio	-	-7916 3.69	0.240 9	264.0 0
13	Maschio (P)	Primo piano	9 - 2	90.0	260.0	46.0	4776	-	32791	0.145 7	1.56 = 0.006 0*H	Flessione	-	-7976 3.42	0.249 3	266.0 0
14	Maschio (P)	Sottotetto	7 - 8	359.9	280.0	30.0	9803	-	11277 6	0.086 9	1.12 = 0.004 0*H	Taglio	-	-8036 3.14	0.259 5	268.0 0
15	Maschio (P)	Copertura quota inf.	9 - 1	375.2	80.0	36.0	2508	-	48648 9	0.005 2	0.48 = 0.006 0*H	Flessione	-	-8096 2.87	0.274 6	270.0 0
16	Maschio (P)	Sottotetto	2 - 3	60.9	280.0	36.0	840	-	7786	0.107 9	1.68 = 0.006 0*H	Flessione	-	-8126 2.73	0.282 2	271.0 0
17	Maschio (P)	Primo piano	2 - 3	50.7	290.0	46.0	980	-	5458	0.179 5	1.74 = 0.006 0*H	Flessione	-	-8246 2.18	0.315 1	275.0 0
18	Maschio (P)	Sottotetto	1 - 9	70.0	280.0	36.0	1474	-	11296	0.130 5	1.68 = 0.006 0*H	Flessione	-	-8276 2.04	0.323 6	276.0 0
19	Maschio (P)	Sottotetto	9 - 2	44.2	250.0	36.0	581	-	4388	0.132 4	1.50 = 0.006 0*H	Flessione	-	-8291 1.97	0.328 5	276.5 0
20	Maschio (P)	Sottotetto	6 - 2	55.0	250.0	36.0	605	-	3759	0.160 8	1.50 = 0.006 0*H	Flessione	-	-8426 1.36	0.375 6	281.0 0
21	Maschio (P)	Primo piano	6 - 2	334.0	260.0	46.0	8677	-	40894	0.212 2	1.56 = 0.006 0*H	Flessione	-	-8516 0.94	0.408 7	284.0 0
22	Maschio (P)	Primo piano	3 - 4	541.7	290.0	40.0	3575	-	16364	0.218 5	1.74 = 0.006 0*H	Flessione	-	-8546 0.81	0.422 7	285.0 0
23	Maschio (P)	Primo piano	9 - 2	39.2	260.0	46.0	860	-	3576	0.240 6	1.56 = 0.006 0*H	Flessione	-	-8591 0.60	0.450 6	286.5 0
24	Maschio (P)	Sottotetto	6 - 2	304.0	250.0	36.0	3993	-	20779	0.192 2	1.50 = 0.006 0*H	Flessione	-	-8591 0.60	0.450 6	286.5 0
25	Maschio (P)	Primo piano	1 - 9	60.0	290.0	46.0	2172	-	8684	0.250 2	1.74 = 0.006 0*H	Flessione	-	-8621 0.46	0.477 3	287.5 0
26	Maschio (P)	Sottotetto	3 - 4	561.8	280.0	30.0	1963	-	8162	0.240 5	1.68 = 0.006 0*H	Flessione	-	-8696 0.12	0.562 7	290.0 0
27	Maschio (P)	Sottotetto	7 - 1	467.0	280.0	30.0	2071	-	6785	0.305 2	1.68 = 0.006	Flessione	-	-8770 9.77	0.691 0	292.5 0

											0*H					
28	Maschio (P)	Sottotetto	5 - 6	23.0	280.0	30.0	104	-	334	0.3105	1.68 = 0.0060*H	Flessione	-	-87709.77	0.6910	292.50
29	Maschio (C)	Sottotetto	8 - 6	255.1	250.0	30.0	6786	-	82547	0.0822	1.00 = 0.0040*H	Taglio	-	-87709.77	1.0157	292.50

Cond_X_2(-); E(-); S2(+): Sisma X (-); Distribuzione forze: Proporzionale altezze; Eccentricità accidentale (-0.05*Ly); Sisma seconda direzione (+)

Num. Prog.	Tipo Elem.	Imp.	Fili	L [cm]	H [cm]	t [cm]	Vu [daN]	Mu [daNc m]	k [daN/cm]	δ_0 [cm]	δ_u [cm]	Tipo Rottura	θ [rad]	F [daN]	u [cm]	S
1	Maschio (P)	Sottotetto	2 - 3	215.0	280.0	36.0	8061	-	124431	0.0648	1.12 = 0.0040*H	Taglio	-	-60872.08	0.1532	203.00
2	Maschio (P)	Primo piano	2 - 3	120.0	290.0	46.0	4256	-	49601	0.0858	1.74 = 0.0060*H	Flessione	-	-61771.67	0.1556	206.00
3	Maschio (P)	Primo piano	1 - 9	170.6	290.0	46.0	9002	-	102552	0.0878	1.16 = 0.0040*H	Taglio	-	-62371.39	0.1573	208.00
4	Maschio (P)	Sottotetto	2 - 3	120.0	280.0	36.0	2643	-	38182	0.0692	1.68 = 0.0060*H	Flessione	-	-64320.50	0.1632	214.50
5	Maschio (P)	Sottotetto	9 - 2	90.0	250.0	36.0	2020	-	28174	0.0717	1.50 = 0.0060*H	Flessione	-	-65669.88	0.1675	219.00
6	Maschio (P)	Primo piano	2 - 3	120.0	290.0	46.0	4690	-	49601	0.0945	1.74 = 0.0060*H	Flessione	-	-66719.40	0.1708	222.50
7	Maschio (P)	Sottotetto	1 - 9	170.7	280.0	36.0	5753	-	77236	0.0745	1.12 = 0.0040*H	Taglio	-	-67319.13	0.1728	224.50
8	Maschio (P)	Sottotetto	2 - 3	60.9	280.0	36.0	634	-	7786	0.0815	1.68 = 0.0060*H	Flessione	-	-71817.06	0.1890	239.50
9	Maschio (P)	Primo piano	2 - 3	50.7	290.0	46.0	569	-	5458	0.1043	1.74 = 0.0060*H	Flessione	-	-72266.86	0.1906	241.00
10	Maschio (P)	Primo piano	9 - 2	90.0	260.0	46.0	3543	-	32791	0.1081	1.56 = 0.0060*H	Flessione	-	-73466.31	0.1950	245.00
11	Maschio (P)	Primo piano	4 - 5	628.4	290.0	40.0	26238	-	279617	0.0938	1.16 = 0.0040*H	Taglio	-	-73616.24	0.1955	245.50
12	Maschio (P)	Primo piano	8 - 6	250.1	260.0	40.0	10397	-	101088	0.1029	1.04 = 0.0040*H	Taglio	-	-75865.21	0.2074	253.00
13	Maschio (P)	Primo piano	7 - 8	349.7	290.0	40.0	15879	-	138356	0.1148	1.16 = 0.0040*H	Taglio	-	-78264.11	0.2234	261.00
14	Maschio (P)	Sottotetto	4 - 5	643.9	280.0	30.0	18349	-	223961	0.0819	1.12 = 0.0040*H	Taglio	-	-78264.11	0.2234	261.00
15	Maschio (P)	Sottotetto	8 - 6	255.1	250.0	30.0	7254	-	82547	0.0879	1.00 = 0.0040*H	Taglio	-	-79913.35	0.2516	266.50
16	Maschio (P)	Sottotetto	9 - 2	44.2	250.0	36.0	452	-	4388	0.1030	1.50 = 0.0060*H	Flessione	-	-80663.01	0.2653	269.00
17	Maschio (P)	Primo piano	9 - 2	39.2	260.0	46.0	593	-	3576	0.1658	1.56 = 0.0060*H	Flessione	-	-81112.80	0.2737	270.50
18	Maschio (P)	Sottotetto	7 - 8	359.9	280.0	30.0	10517	-	112776	0.0933	1.12 = 0.0040*H	Taglio	-	-81112.80	0.2737	270.50
19	Maschio (P)	Sottotetto	1 - 9	70.0	280.0	36.0	1221	-	11296	0.1081	1.68 = 0.0060*H	Flessione	-	-81262.73	0.2782	271.00
20	Maschio (P)	Sottotetto	6 - 2	55.0	250.0	36.0	495	-	3759	0.1317	1.50 = 0.0060*H	Flessione	-	-82612.11	0.3261	275.50
21	Maschio (P)	Primo piano	1 - 9	60.0	290.0	46.0	1709	-	8684	0.1968	1.74 = 0.0060*H	Flessione	-	-83061.91	0.3430	277.00

											0*H					
22	Maschio (P)	Primo piano	6 - 2	334.0	260.0	46.0	9129	-	40894	0.2232	1.56 = 0.0060*H	Flessione	-	-85310.87	0.4320	284.50
23	Maschio (P)	Primo piano	3 - 4	541.7	290.0	40.0	3628	-	16364	0.2217	1.74 = 0.0060*H	Flessione	-	-85310.87	0.4320	284.50
24	Maschio (P)	Primo piano	2 - 3	30.0	290.0	46.0	291	-	1206	0.2409	1.74 = 0.0060*H	Flessione	-	-85460.81	0.4457	285.00
25	Maschio (P)	Sottotetto	6 - 2	304.0	250.0	36.0	4226	-	20779	0.2034	1.50 = 0.0060*H	Flessione	-	-85910.60	0.4897	286.50
26	Maschio (P)	Sottotetto	3 - 4	561.8	280.0	30.0	2012	-	8162	0.2465	1.68 = 0.0060*H	Flessione	-	-86960.12	0.6159	290.00
27	Maschio (P)	Primo piano	7 - 1	447.0	290.0	40.0	4958	-	13503	0.3672	1.74 = 0.0060*H	Flessione	-	-87259.98	0.6425	291.00
28	Maschio (C)	Primo piano	8 - 6	250.1	260.0	40.0	10397	-	101088	0.1029	1.04 = 0.0040*H	Taglio	-	-87259.98	1.3230	291.00

Cond_X_2(-); E(-); S2(-) : Sisma X (-); Distribuzione forze: Proporzionale altezze; Eccentricità accidentale (-0.05*Ly); Sisma seconda direzione (-)

Num. Prog.	Tipo Elem.	Imp.	Fili	L [cm]	H [cm]	t [cm]	Vu [daN]	Mu [daNc m]	k [daN/cm]	δ_0 [cm]	δ_u [cm]	Tipo Rottura	θ [rad]	F [daN]	u [cm]	S
1	Maschio (P)	Sottotetto	2 - 3	215.0	280.0	36.0	8997	-	128400	0.0701	1.12 = 0.0040*H	Taglio	-	-66119.68	0.1702	220.50
2	Maschio (P)	Primo piano	4 - 5	628.4	290.0	40.0	23118	-	279617	0.0827	1.16 = 0.0040*H	Taglio	-	-67019.26	0.1727	223.50
3	Maschio (P)	Primo piano	1 - 9	170.6	290.0	46.0	10116	-	102552	0.0986	1.16 = 0.0040*H	Taglio	-	-69118.30	0.1798	230.50
4	Maschio (P)	Sottotetto	1 - 9	170.7	280.0	36.0	6367	-	83480	0.0763	1.12 = 0.0040*H	Taglio	-	-70767.54	0.1861	236.00
5	Maschio (P)	Primo piano	8 - 6	250.1	260.0	40.0	9338	-	101088	0.0924	1.04 = 0.0040*H	Taglio	-	-71667.13	0.1897	239.00
6	Maschio (P)	Primo piano	7 - 8	349.7	290.0	40.0	14185	-	138356	0.1025	1.16 = 0.0040*H	Taglio	-	-74965.62	0.2049	250.00
7	Maschio (P)	Sottotetto	2 - 3	120.0	280.0	36.0	3477	-	41964	0.0828	1.68 = 0.0060*H	Flessione	-	-74965.62	0.2049	250.00
8	Maschio (P)	Sottotetto	4 - 5	643.9	280.0	30.0	0	-	9355	0.0000	1.12 = 0.0040*H	Taglio	-	-75415.41	0.2079	251.50
9	Maschio (P)	Primo piano	2 - 3	120.0	290.0	46.0	6093	-	49601	0.1228	1.74 = 0.0060*H	Flessione	-	-76614.86	0.2174	255.50
10	Maschio (P)	Sottotetto	9 - 2	90.0	250.0	36.0	2486	-	28174	0.0882	1.50 = 0.0060*H	Flessione	-	-77064.66	0.2216	257.00
11	Maschio (P)	Primo piano	2 - 3	120.0	290.0	46.0	6610	-	49601	0.1333	1.16 = 0.0040*H	Taglio	-	-78264.11	0.2332	261.00
12	Maschio (P)	Sottotetto	8 - 6	255.1	250.0	30.0	6784	-	82547	0.0822	1.00 = 0.0040*H	Taglio	-	-78863.83	0.2408	263.00
13	Maschio (P)	Primo piano	9 - 2	90.0	260.0	46.0	4773	-	32791	0.1456	1.56 = 0.0060*H	Flessione	-	-79613.49	0.2512	265.50
14	Maschio (P)	Sottotetto	7 - 8	359.9	280.0	30.0	9794	-	112776	0.0868	1.12 = 0.0040*H	Taglio	-	-80063.28	0.2588	267.00
15	Maschio (P)	Sottotetto	2 - 3	60.9	280.0	36.0	845	-	7786	0.1085	1.68 = 0.0060*H	Flessione	-	-80812.94	0.2777	269.50
16	Maschio (P)	Primo piano	2 - 3	50.7	290.0	46.0	983	-	5458	0.1801	1.74 = 0.0060*H	Flessione	-	-82162.32	0.3145	274.00

											0*H					
17	Maschio (P)	Sottotetto	1 - 9	70.0	280.0	36.0	1468	-	11296	0.1300	1.68 = 0.0060*H	Flessione	-	-82312.25	0.3188	274.50
18	Maschio (P)	Sottotetto	9 - 2	44.2	250.0	36.0	581	-	4388	0.1324	1.50 = 0.0060*H	Flessione	-	-82462.18	0.3237	275.00
19	Maschio (P)	Sottotetto	6 - 2	55.0	250.0	36.0	605	-	3759	0.1608	1.50 = 0.0060*H	Flessione	-	-83811.56	0.3705	279.50
20	Maschio (P)	Primo piano	6 - 2	334.0	260.0	46.0	8676	-	40894	0.2122	1.56 = 0.0060*H	Flessione	-	-85011.01	0.4146	283.50
21	Maschio (P)	Primo piano	3 - 4	541.7	290.0	40.0	3584	-	16364	0.2190	1.74 = 0.0060*H	Flessione	-	-85460.81	0.4355	285.00
22	Maschio (P)	Sottotetto	6 - 2	304.0	250.0	36.0	3993	-	20779	0.1922	1.50 = 0.0060*H	Flessione	-	-85460.81	0.4355	285.00
23	Maschio (P)	Primo piano	9 - 2	39.2	260.0	46.0	860	-	3576	0.2406	1.56 = 0.0060*H	Flessione	-	-85760.67	0.4607	286.00
24	Maschio (P)	Primo piano	1 - 9	60.0	290.0	46.0	2169	-	8684	0.2498	1.74 = 0.0060*H	Flessione	-	-86060.53	0.4873	287.00
25	Maschio (P)	Sottotetto	3 - 4	561.8	280.0	30.0	1971	-	8162	0.2415	1.68 = 0.0060*H	Flessione	-	-86660.25	0.5555	289.00
26	Maschio (P)	Sottotetto	7 - 1	467.0	280.0	30.0	2063	-	6785	0.3041	1.68 = 0.0060*H	Flessione	-	-87259.98	0.6579	291.00
27	Maschio (P)	Sottotetto	5 - 6	23.0	280.0	30.0	0	-	334	0.0000	1.12 = 0.0040*H	Taglio	-	-87409.91	0.6579	291.50
28	Maschio (C)	Sottotetto	8 - 6	255.1	250.0	30.0	6784	-	82547	0.0822	1.00 = 0.0040*H	Taglio	-	-87409.91	1.0160	291.50

Cond_Y_1(+); E(+); S2(+) : **Sisma Y (+); Distribuzione forze: Proporzionale masse; Eccentricità accidentale (+ 0.05*Ly); Sisma seconda direzione (+)**

Num. Prog.	Tipo Elem.	Imp.	Fili	L [cm]	H [cm]	t [cm]	Vu [daN]	Mu [daNcm]	k [daN/cm]	δ_0 [cm]	δ_u [cm]	Tipo Rottura	θ [rad]	F [daN]	u [cm]	S
1	Maschio (P)	Copertura quota inf.	9 - 1	375.2	80.0	36.0	1116	-	486489	0.0023	0.48 = 0.0060*H	Flessione	-	31935.35	0.0766	106.50
2	Maschio (P)	Copertura quota inf.	2 - 9	269.7	80.0	36.0	1426	-	349640	0.0041	0.48 = 0.0060*H	Flessione	-	43330.13	0.1041	144.50
3	Maschio (P)	Copertura quota inf.	3 - 2	635.9	100.0	36.0	0	-	497658	0.0000	0.40 = 0.0040*H	Taglio	-	61471.81	0.1479	205.00
4	Maschio (P)	Primo piano	3 - 4	541.7	290.0	40.0	21774	-	236460	0.0921	1.16 = 0.0040*H	Taglio	-	65669.88	0.1584	219.00
5	Maschio (P)	Primo piano	6 - 2	334.0	260.0	46.0	29921	-	345620	0.0866	1.04 = 0.0040*H	Taglio	-	68218.71	0.1682	227.50
6	Maschio (P)	Primo piano	9 - 2	90.0	260.0	46.0	1009	-	11019	0.0916	1.56 = 0.0060*H	Flessione	-	71217.34	0.1881	237.50
7	Maschio (P)	Primo piano	9 - 2	39.2	260.0	46.0	465	-	4795	0.0970	1.56 = 0.0060*H	Flessione	-	71217.34	0.1881	237.50
8	Maschio (P)	Primo piano	7 - 1	447.0	290.0	40.0	16011	-	188604	0.0849	1.16 = 0.0040*H	Taglio	-	73916.10	0.2064	246.50
9	Maschio (P)	Primo piano	1 - 9	170.6	290.0	46.0	0	-	15356	0.0000	1.16 = 0.0040*H	Taglio	-	73916.10	0.2064	246.50
10	Maschio (P)	Primo piano	2 - 3	120.0	290.0	46.0	1399	-	10803	0.1295	1.74 = 0.0060*H	Flessione	-	74215.96	0.2094	247.50

											0*H					
11	Maschio (P)	Primo piano	2 - 3	50.7	290.0	46.0	624	-	4567	0.1367	1.74 = 0.0060*H	Flessione	-	74215.96	0.2094	247.50
12	Maschio (P)	Primo piano	2 - 3	30.0	290.0	46.0	313	-	2701	0.1158	1.74 = 0.0060*H	Flessione	-	74365.89	0.2111	248.00
13	Maschio (P)	Primo piano	2 - 3	120.0	290.0	46.0	0	-	10803	0.0000	1.16 = 0.0040*H	Taglio	-	74365.89	0.2111	248.00
14	Maschio (P)	Primo piano	1 - 9	60.0	290.0	46.0	496	-	5401	0.0918	1.74 = 0.0060*H	Flessione	-	74515.82	0.2131	248.50
15	Maschio (P)	Copertura quota inf.	6 - 2	55.0	94.0	36.0	557	-	57444	0.0097	0.56 = 0.0060*H	Flessione	-	74815.69	0.2173	249.50
16	Maschio (P)	Primo piano	4 - 5	628.4	290.0	40.0	0	-	18984	0.0000	1.16 = 0.0040*H	Taglio	-	77514.45	0.2551	258.50
17	Maschio (P)	Primo piano	8 - 6	250.1	260.0	40.0	3466	-	10321	0.3358	1.56 = 0.0060*H	Flessione	-	80213.21	0.4535	267.50
18	Maschio (P)	Primo piano	7 - 8	349.7	290.0	40.0	4287	-	10563	0.4058	1.74 = 0.0060*H	Flessione	-	81112.80	0.5294	270.50
19	Maschio (C)	Primo piano	6 - 2	334.0	260.0	46.0	29921	-	345620	0.0866	1.04 = 0.0040*H	Taglio	-	81112.80	1.1449	270.50

Cond_Y_1(+); E(+); S2(-) : Sisma Y (+); Distribuzione forze: Proporzionale masse; Eccentricità accidentale (+ 0.05*Ly); Sisma seconda direzione (-)

Num. Prog.	Tipo Elem.	Imp.	Fili	L [cm]	H [cm]	t [cm]	Vu [daN]	Mu [daNcm]	k [daN/cm]	δ_0 [cm]	δ_u [cm]	Tipo Rottura	θ [rad]	F [daN]	u [cm]	S
1	Maschio (P)	Copertura quota inf.	9 - 1	375.2	80.0	36.0	1191	-	486489	0.0024	0.48 = 0.0060*H	Flessione	-	39132.05	0.0919	130.50
2	Maschio (P)	Copertura quota inf.	2 - 9	269.7	80.0	36.0	1441	-	349640	0.0041	0.48 = 0.0060*H	Flessione	-	46628.61	0.1096	155.50
3	Maschio (P)	Copertura quota inf.	3 - 2	635.9	100.0	36.0	0	-	497658	0.0000	0.40 = 0.0040*H	Taglio	-	58023.39	0.1367	193.50
4	Maschio (P)	Primo piano	3 - 4	541.7	290.0	40.0	20671	-	236460	0.0874	1.16 = 0.0040*H	Taglio	-	65819.81	0.1563	219.50
5	Maschio (P)	Primo piano	6 - 2	334.0	260.0	46.0	29972	-	345620	0.0867	1.04 = 0.0040*H	Taglio	-	68218.71	0.1654	227.50
6	Maschio (P)	Primo piano	2 - 3	50.7	290.0	46.0	464	-	4567	0.1016	1.74 = 0.0060*H	Flessione	-	69568.09	0.1742	232.00
7	Maschio (P)	Primo piano	2 - 3	120.0	290.0	46.0	1129	-	10803	0.1045	1.74 = 0.0060*H	Flessione	-	70617.61	0.1812	235.50
8	Maschio (P)	Primo piano	9 - 2	39.2	260.0	46.0	456	-	4795	0.0951	1.56 = 0.0060*H	Flessione	-	70617.61	0.1812	235.50
9	Maschio (P)	Primo piano	9 - 2	90.0	260.0	46.0	1072	-	11019	0.0973	1.56 = 0.0060*H	Flessione	-	71966.99	0.1911	240.00
10	Maschio (P)	Primo piano	2 - 3	120.0	290.0	46.0	1166	-	10803	0.1079	1.74 = 0.0060*H	Flessione	-	72116.92	0.1922	240.50
11	Maschio (P)	Primo piano	2 - 3	30.0	290.0	46.0	297	-	2701	0.1099	1.74 = 0.0060*H	Flessione	-	73016.51	0.1994	243.50
12	Maschio (P)	Primo piano	7 - 1	447.0	290.0	40.0	17139	-	188604	0.0909	1.16 = 0.0040*H	Taglio	-	73616.24	0.2043	245.50
13	Maschio (P)	Coper	6 - 2	55.0	94.0	36.0	557	-	57730	0.009	0.56 =	Flessione	-	74815	0.218	249.5

		tura quota inf.							6	0.006 0*H	one		.69	0	0	
14	Maschio (P)	Primo piano	1 - 9	170.6	290.0	46.0	1811	-	15356	0.118 0	1.74 = 0.006 0*H	Flessi one	-	75565 .34	0.226 5	252.0 0
15	Maschio (P)	Primo piano	1 - 9	60.0	290.0	46.0	668	-	5401	0.123 7	1.74 = 0.006 0*H	Flessi one	-	76614 .86	0.240 5	255.5 0
16	Maschio (P)	Primo piano	4 - 5	628.4	290.0	40.0	0	-	18984	0.000 0	1.16 = 0.004 0*H	Taglio	-	79313 .62	0.279 0	264.5 0
17	Maschio (P)	Primo piano	8 - 6	250.1	260.0	40.0	3575	-	10321	0.346 4	1.56 = 0.006 0*H	Flessi one	-	81862 .46	0.467 7	273.0 0
18	Maschio (P)	Primo piano	7 - 8	349.7	290.0	40.0	4594	-	10563	0.434 9	1.74 = 0.006 0*H	Flessi one	-	82911 .97	0.559 4	276.5 0
19	Maschio (C)	Primo piano	6 - 2	334.0	260.0	46.0	29972	-	34562 0	0.086 7	1.04 = 0.004 0*H	Taglio	-	82911 .97	1.146 8	276.5 0

Cond_Y 1(+); E(-); S2(+) : Sisma Y (+); Distribuzione forze: Proporzionale masse; Eccentricità
accidentale (- 0.05*Ly); Sisma seconda direzione (+)

Num. Prog.	Tipo Elem.	Imp.	Fili	L [cm]	H [cm]	t [cm]	Vu [daN]	Mu [daNc m]	k [daN/ cm]	δ_0 [cm]	δ_u [cm]	Tipo Rottu ra	θ [rad]	F [daN]	u [cm]	S
1	Maschio (P)	Coper tura quota inf.	9 - 1	375.2	80.0	36.0	1159	-	48648 9	0.002 4	0.48 = 0.006 0*H	Flessi one	-	27437 .42	0.060 8	91.50
2	Maschio (P)	Coper tura quota inf.	2 - 9	269.7	80.0	36.0	1443	-	34964 0	0.004 1	0.48 = 0.006 0*H	Flessi one	-	40481 .43	0.089 9	135.0 0
3	Maschio (P)	Primo piano	7 - 1	447.0	290.0	40.0	16035	-	18860 4	0.085 0	1.16 = 0.004 0*H	Taglio	-	62371 .39	0.139 0	208.0 0
4	Maschio (P)	Coper tura quota inf.	3 - 2	635.9	100.0	36.0	0	-	49765 8	0.000 0	0.40 = 0.004 0*H	Taglio	-	64470 .43	0.144 2	215.0 0
5	Maschio (P)	Primo piano	6 - 2	334.0	260.0	46.0	29899	-	34562 0	0.086 5	1.04 = 0.004 0*H	Taglio	-	66419 .54	0.149 2	221.5 0
6	Maschio (P)	Primo piano	1 - 9	60.0	290.0	46.0	559	-	5401	0.103 5	1.74 = 0.006 0*H	Flessi one	-	67618 .99	0.154 2	225.5 0
7	Maschio (P)	Primo piano	9 - 2	90.0	260.0	46.0	1061	-	11019	0.096 3	1.56 = 0.006 0*H	Flessi one	-	67768 .92	0.154 9	226.0 0
8	Maschio (P)	Primo piano	1 - 9	170.6	290.0	46.0	1681	-	15356	0.109 5	1.74 = 0.006 0*H	Flessi one	-	69118 .30	0.161 0	230.5 0
9	Maschio (P)	Primo piano	9 - 2	39.2	260.0	46.0	479	-	4795	0.099 8	1.56 = 0.006 0*H	Flessi one	-	69118 .30	0.161 0	230.5 0
10	Maschio (P)	Primo piano	2 - 3	30.0	290.0	46.0	321	-	2701	0.118 7	1.74 = 0.006 0*H	Flessi one	-	72566 .72	0.178 8	242.0 0
11	Maschio (P)	Primo piano	3 - 4	541.7	290.0	40.0	21854	-	23646 0	0.092 4	1.16 = 0.004 0*H	Taglio	-	73916 .10	0.185 9	246.5 0
12	Maschio (P)	Primo piano	2 - 3	120.0	290.0	46.0	1306	-	10803	0.120 9	1.74 = 0.006 0*H	Flessi one	-	74215 .96	0.189 0	247.5 0
13	Maschio (P)	Coper tura quota inf.	6 - 2	55.0	94.0	36.0	554	-	56828	0.009 7	0.56 = 0.006 0*H	Flessi one	-	74665 .76	0.194 1	249.0 0
14	Maschio (P)	Primo piano	2 - 3	120.0	290.0	46.0	1368	-	10803	0.126 6	1.74 = 0.006 0*H	Flessi one	-	76015 .14	0.209 5	253.5 0
15	Maschio (P)	Primo piano	2 - 3	50.7	290.0	46.0	600	-	4567	0.131 3	1.74 = 0.006 0*H	Flessi one	-	77664 .38	0.230 8	259.0 0

										0*H						
16	Maschio (P)	Primo piano	4 - 5	628.4	290.0	40.0	0	-	18984	0.0000	1.16 = 0.0040*H	Taglio	-	78264.11	0.2390	261.00
17	Maschio (P)	Primo piano	8 - 6	250.1	260.0	40.0	3466	-	10321	0.3359	1.56 = 0.0060*H	Flessione	-	80363.14	0.3899	268.00
18	Maschio (P)	Primo piano	7 - 8	349.7	290.0	40.0	4284	-	10563	0.4056	1.74 = 0.0060*H	Flessione	-	80962.87	0.4350	270.00
19	Maschio (C)	Primo piano	6 - 2	334.0	260.0	46.0	29899	-	345620	0.0865	1.04 = 0.0040*H	Taglio	-	80962.87	1.1017	270.00

Cond_Y_1(+); E(-); S2(-): Sisma Y (+); Distribuzione forze: Proporzionale masse; Eccentricità accidentale (-0.05*Ly); Sisma seconda direzione (-)

Num. Prog.	Tipo Elem.	Imp.	Fili	L [cm]	H [cm]	t [cm]	Vu [daN]	Mu [daN/cm]	k [daN/cm]	δ_0 [cm]	δ_u [cm]	Tipo Rottura	θ [rad]	F [daN]	u [cm]	S
1	Maschio (P)	Copertura quota inf.	9 - 1	375.2	80.0	36.0	1229	-	486489	0.0025	0.48 = 0.0060*H	Flessione	-	32535.08	0.0710	108.50
2	Maschio (P)	Copertura quota inf.	2 - 9	269.7	80.0	36.0	1457	-	349640	0.0042	0.48 = 0.0060*H	Flessione	-	43480.06	0.0950	145.00
3	Maschio (P)	Copertura quota inf.	3 - 2	635.9	100.0	36.0	0	-	497658	0.0000	0.40 = 0.0040*H	Taglio	-	60572.22	0.1328	202.00
4	Maschio (P)	Primo piano	7 - 1	447.0	290.0	40.0	16982	-	188604	0.0900	1.16 = 0.0040*H	Taglio	-	61921.60	0.1360	206.50
5	Maschio (P)	Primo piano	6 - 2	334.0	260.0	46.0	29943	-	345620	0.0866	1.04 = 0.0040*H	Taglio	-	65969.74	0.1467	220.00
6	Maschio (P)	Primo piano	9 - 2	90.0	260.0	46.0	1126	-	11019	0.1022	1.56 = 0.0060*H	Flessione	-	68068.78	0.1560	227.00
7	Maschio (P)	Primo piano	9 - 2	39.2	260.0	46.0	470	-	4795	0.0980	1.56 = 0.0060*H	Flessione	-	68518.58	0.1581	228.50
8	Maschio (P)	Primo piano	1 - 9	60.0	290.0	46.0	708	-	5401	0.1311	1.74 = 0.0060*H	Flessione	-	70317.75	0.1664	234.50
9	Maschio (P)	Primo piano	1 - 9	170.6	290.0	46.0	1913	-	15356	0.1246	1.74 = 0.0060*H	Flessione	-	70767.54	0.1686	236.00
10	Maschio (P)	Primo piano	2 - 3	30.0	290.0	46.0	303	-	2701	0.1121	1.74 = 0.0060*H	Flessione	-	71817.06	0.1742	239.50
11	Maschio (P)	Primo piano	2 - 3	120.0	290.0	46.0	1163	-	10803	0.1076	1.74 = 0.0060*H	Flessione	-	72266.86	0.1767	241.00
12	Maschio (P)	Primo piano	2 - 3	120.0	290.0	46.0	1069	-	10803	0.0990	1.74 = 0.0060*H	Flessione	-	73316.37	0.1828	244.50
13	Maschio (P)	Primo piano	3 - 4	541.7	290.0	40.0	20610	-	236460	0.0872	1.16 = 0.0040*H	Taglio	-	73766.17	0.1856	246.00
14	Maschio (P)	Primo piano	2 - 3	50.7	290.0	46.0	418	-	4567	0.0914	1.74 = 0.0060*H	Flessione	-	74066.03	0.1895	247.00
15	Maschio (P)	Copertura quota inf.	6 - 2	55.0	94.0	36.0	554	-	57111	0.0097	0.56 = 0.0060*H	Flessione	-	74515.82	0.1956	248.50
16	Maschio (P)	Primo piano	4 - 5	628.4	290.0	40.0	0	-	18984	0.0000	1.16 = 0.0040*H	Taglio	-	79463.56	0.2640	265.00
17	Maschio (P)	Primo piano	8 - 6	250.1	260.0	40.0	3571	-	10321	0.3460	1.56 = 0.0060*H	Flessione	-	81412.66	0.4043	271.50
18	Maschio (P)	Primo piano	7 - 8	349.7	290.0	40.0	4584	-	10563	0.433	1.74 =	Flessione	-	82162	0.464	274.0

		piano							9	0.006 0*H	one		.32	6	0	
19	Maschio (C)	Primo piano	6 - 2	334.0	260.0	46.0	29943	-	34562 0	0.086 6	1.04 = 0.004 0*H	Taglio	-	82162 .32	1.100 7	274.0 0

Cond_Y_1(-); E(+); S2(+) : Sisma Y (-); **Distribuzione forze: Proporzionale masse;** **Eccentricità accidentale (+ 0.05*Ly); Sisma seconda direzione (+)**

Num. Prog.	Tipo Elem.	Imp.	Fili	L [cm]	H [cm]	t [cm]	Vu [daN]	Mu [daNc m]	k [daN/cm]	δ_0 [cm]	δ_u [cm]	Tipo Rottura	θ [rad]	F [daN]	u [cm]	S
1	Maschio (P)	Copertura quota inf.	9 - 1	375.2	80.0	36.0	1655	-	48648 9	0.003 4	0.48 = 0.006 0*H	Flessione	-	-5487 4.83	0.128 8	183.0 0
2	Maschio (P)	Copertura quota inf.	2 - 9	269.7	80.0	36.0	1946	-	34964 0	0.005 6	0.48 = 0.006 0*H	Flessione	-	-6357 0.84	0.149 3	212.0 0
3	Maschio (P)	Primo piano	6 - 2	334.0	260.0	46.0	28189	-	34562 0	0.081 6	1.04 = 0.004 0*H	Taglio	-	-6551 9.95	0.154 0	218.5 0
4	Maschio (P)	Primo piano	7 - 1	447.0	290.0	40.0	15198	-	18860 4	0.080 6	1.16 = 0.004 0*H	Taglio	-	-6761 8.99	0.160 2	225.5 0
5	Maschio (P)	Primo piano	4 - 5	628.4	290.0	40.0	0	-	18984	0.000 0	1.16 = 0.004 0*H	Taglio	-	-6791 8.85	0.161 5	226.5 0
6	Maschio (P)	Primo piano	3 - 4	541.7	290.0	40.0	21629	-	23646 0	0.091 5	1.16 = 0.004 0*H	Taglio	-	-6806 8.78	0.162 2	227.0 0
7	Maschio (P)	Primo piano	8 - 6	250.1	260.0	40.0	1684	-	10321	0.163 2	1.56 = 0.006 0*H	Flessione	-	-7391 6.10	0.249 7	246.5 0
8	Maschio (P)	Primo piano	7 - 8	349.7	290.0	40.0	1747	-	10563	0.165 4	1.74 = 0.006 0*H	Flessione	-	-7451 5.82	0.259 6	248.5 0
9	Maschio (P)	Primo piano	9 - 2	90.0	260.0	46.0	2822	-	11019	0.256 1	1.56 = 0.006 0*H	Flessione	-	-7931 3.62	0.353 6	264.5 0
10	Maschio (P)	Primo piano	9 - 2	39.2	260.0	46.0	1278	-	4795	0.266 5	1.56 = 0.006 0*H	Flessione	-	-7961 3.49	0.360 2	265.5 0
11	Maschio (P)	Sottotetto	4 - 5	643.9	280.0	30.0	0	-	9355	0.000 0	1.12 = 0.004 0*H	Taglio	-	-8036 3.14	0.377 8	268.0 0
12	Maschio (P)	Copertura quota inf.	3 - 2	635.9	100.0	36.0	0	-	49765 8	0.000 0	0.40 = 0.004 0*H	Taglio	-	-8051 3.07	0.381 3	268.5 0
13	Maschio (P)	Primo piano	1 - 9	60.0	290.0	46.0	1547	-	5401	0.286 3	1.74 = 0.006 0*H	Flessione	-	-8126 2.73	0.399 1	271.0 0
14	Maschio (P)	Primo piano	1 - 9	170.6	290.0	46.0	4664	-	15356	0.303 7	1.74 = 0.006 0*H	Flessione	-	-8171 2.52	0.410 9	272.5 0
15	Maschio (P)	Primo piano	2 - 3	30.0	290.0	46.0	899	-	2701	0.332 8	1.74 = 0.006 0*H	Flessione	-	-8216 2.32	0.430 1	274.0 0
16	Maschio (P)	Primo piano	2 - 3	120.0	290.0	46.0	3692	-	10803	0.341 8	1.74 = 0.006 0*H	Flessione	-	-8231 2.25	0.437 3	274.5 0
17	Maschio (P)	Primo piano	2 - 3	120.0	290.0	46.0	3856	-	10803	0.357 0	1.74 = 0.006 0*H	Flessione	-	-8246 2.18	0.450 9	275.0 0
18	Maschio (P)	Primo piano	2 - 3	50.7	290.0	46.0	1687	-	4567	0.369 3	1.74 = 0.006 0*H	Flessione	-	-8246 2.18	0.450 9	275.0 0
19	Maschio (C)	Primo piano	6 - 2	334.0	260.0	46.0	28189	-	34562 0	0.081 6	1.04 = 0.004 0*H	Taglio	-	-8246 2.18	1.130 8	275.0 0

Cond_Y_1(-); E(+); S2(-): Sisma Y (-); Distribuzione forze: Proporzionale masse; Eccentricità accidentale (+ 0.05*Ly); Sisma seconda direzione (-)

Num. Prog.	Tipo Elem.	Imp.	Fili	L [cm]	H [cm]	t [cm]	Vu [daN]	Mu [daN/cm]	k [daN/cm]	δ_0 [cm]	δ_u [cm]	Tipo Rottura	θ [rad]	F [daN]	u [cm]	S
1	Maschio (P)	Copertura quota inf.	9 - 1	375.2	80.0	36.0	1824	-	486489	0.0037	0.48 = 0.0060*H	Flessione	-	-52475.93	0.1258	175.00
2	Maschio (P)	Primo piano	4 - 5	628.4	290.0	40.0	0	-	18984	0.0000	1.16 = 0.0040*H	Taglio	-	-54874.83	0.1315	183.00
3	Maschio (P)	Primo piano	3 - 4	541.7	290.0	40.0	20551	-	236460	0.0869	1.16 = 0.0040*H	Taglio	-	-61171.94	0.1477	204.00
4	Maschio (P)	Copertura quota inf.	2 - 9	269.7	80.0	36.0	1979	-	349640	0.0057	0.48 = 0.0060*H	Flessione	-	-61921.60	0.1512	206.50
5	Maschio (P)	Primo piano	6 - 2	334.0	260.0	46.0	28269	-	345620	0.0818	1.04 = 0.0040*H	Taglio	-	-63270.98	0.1575	211.00
6	Maschio (P)	Sottotetto	4 - 5	643.9	280.0	30.0	0	-	9355	0.0000	1.12 = 0.0040*H	Taglio	-	-64470.43	0.1703	215.00
7	Maschio (P)	Primo piano	7 - 1	447.0	290.0	40.0	16284	-	188604	0.0863	1.16 = 0.0040*H	Taglio	-	-70017.89	0.2309	233.50
8	Maschio (P)	Primo piano	8 - 6	250.1	260.0	40.0	1811	-	10321	0.1755	1.56 = 0.0060*H	Flessione	-	-74066.03	0.2942	247.00
9	Maschio (P)	Primo piano	7 - 8	349.7	290.0	40.0	2098	-	10563	0.1986	1.74 = 0.0060*H	Flessione	-	-77814.31	0.3586	259.50
10	Maschio (P)	Copertura quota inf.	3 - 2	635.9	100.0	36.0	0	-	497658	0.0000	0.40 = 0.0040*H	Taglio	-	-78414.04	0.3710	261.50
11	Maschio (P)	Sottotetto	3 - 4	561.8	280.0	30.0	14363	-	192377	0.0747	1.12 = 0.0040*H	Taglio	-	-78563.97	0.3741	262.00
12	Maschio (P)	Primo piano	9 - 2	39.2	260.0	46.0	1267	-	4795	0.2642	1.56 = 0.0060*H	Flessione	-	-79313.62	0.3905	264.50
13	Maschio (P)	Primo piano	2 - 3	50.7	290.0	46.0	1528	-	4567	0.3346	1.74 = 0.0060*H	Flessione	-	-79613.49	0.3974	265.50
14	Maschio (P)	Primo piano	9 - 2	90.0	260.0	46.0	2888	-	11019	0.2620	1.56 = 0.0060*H	Flessione	-	-80063.28	0.4088	267.00
15	Maschio (P)	Primo piano	2 - 3	120.0	290.0	46.0	3583	-	10803	0.3317	1.74 = 0.0060*H	Flessione	-	-80363.14	0.4175	268.00
16	Maschio (P)	Primo piano	2 - 3	120.0	290.0	46.0	3543	-	10803	0.3280	1.74 = 0.0060*H	Flessione	-	-80962.87	0.4412	270.00
17	Maschio (P)	Primo piano	2 - 3	30.0	290.0	46.0	879	-	2701	0.3256	1.74 = 0.0060*H	Flessione	-	-81112.80	0.4501	270.50
18	Maschio (P)	Primo piano	1 - 9	170.6	290.0	46.0	4891	-	15356	0.3185	1.74 = 0.0060*H	Flessione	-	-81712.52	0.4952	272.50
19	Maschio (P)	Primo piano	1 - 9	60.0	290.0	46.0	1697	-	5401	0.3142	1.74 = 0.0060*H	Flessione	-	-81862.46	0.4952	273.00
20	Maschio (C)	Primo piano	6 - 2	334.0	260.0	46.0	28269	-	345620	0.0818	1.04 = 0.0040*H	Taglio	-	-81862.46	1.1663	273.00

Cond_Y_1(-); E(-); S2(+): Sisma Y (-); Distribuzione forze: Proporzionale masse; Eccentricità accidentale (-0.05*Ly); Sisma seconda direzione (+)

Num. Prog.	Tipo Elem.	Imp.	Fili	L [cm]	H [cm]	t [cm]	Vu [daN]	Mu [daN/cm]	k [daN/cm]	δ_0 [cm]	δ_u [cm]	Tipo Rottura	θ [rad]	F [daN]	u [cm]	S
1	Maschio (P)	Copertura quota	9 - 1	375.2	80.0	36.0	1586	-	486489	0.0033	0.48 = 0.0060*H	Flessione	-	-42430.54	0.0925	141.50

		inf.														
2	Maschio (P)	Primo piano	7 - 1	447.0	290.0	40.0	15368	-	18860 4	0.081 5	1.16 = 0.004 0*H	Taglio	-	-5592 4.35	0.122 1	186.5 0
3	Maschio (P)	Copertura quota inf.	2 - 9	269.7	80.0	36.0	1914	-	34964 0	0.005 5	0.48 = 0.006 0*H	Flessione	-	-5727 3.73	0.125 5	191.0 0
4	Maschio (P)	Primo piano	6 - 2	334.0	260.0	46.0	28247	-	34562 0	0.081 7	1.04 = 0.004 0*H	Taglio	-	-6132 1.88	0.135 7	204.5 0
5	Maschio (P)	Primo piano	4 - 5	628.4	290.0	40.0	0	-	18984	0.000 0	1.16 = 0.004 0*H	Taglio	-	-6492 0.23	0.151 3	216.5 0
6	Maschio (P)	Primo piano	7 - 8	349.7	290.0	40.0	1806	-	10563	0.171 0	1.74 = 0.006 0*H	Flessione	-	-7181 7.06	0.186 5	239.5 0
7	Maschio (P)	Primo piano	3 - 4	541.7	290.0	40.0	21662	-	23646 0	0.091 6	1.16 = 0.004 0*H	Taglio	-	-7271 6.65	0.191 5	242.5 0
8	Maschio (P)	Primo piano	8 - 6	250.1	260.0	40.0	1689	-	10321	0.163 7	1.56 = 0.006 0*H	Flessione	-	-7346 6.31	0.203 6	245.0 0
9	Maschio (P)	Sottotetto	7 - 1	467.0	280.0	30.0	10652	-	15543 4	0.068 5	1.12 = 0.004 0*H	Taglio	-	-7781 4.31	0.284 6	259.5 0
10	Maschio (P)	Primo piano	1 - 9	60.0	290.0	46.0	1531	-	5401	0.283 4	1.74 = 0.006 0*H	Flessione	-	-7796 4.24	0.287 5	260.0 0
11	Maschio (P)	Primo piano	9 - 2	90.0	260.0	46.0	2811	-	11019	0.255 1	1.56 = 0.006 0*H	Flessione	-	-7811 4.17	0.290 6	260.5 0
12	Maschio (P)	Primo piano	9 - 2	39.2	260.0	46.0	1277	-	4795	0.266 3	1.56 = 0.006 0*H	Flessione	-	-7931 3.62	0.319 4	264.5 0
13	Maschio (P)	Primo piano	1 - 9	170.6	290.0	46.0	4631	-	15356	0.301 5	1.74 = 0.006 0*H	Flessione	-	-7946 3.56	0.323 3	265.0 0
14	Maschio (P)	Primo piano	2 - 3	30.0	290.0	46.0	896	-	2701	0.331 6	1.74 = 0.006 0*H	Flessione	-	-8096 2.87	0.387 1	270.0 0
15	Maschio (P)	Primo piano	2 - 3	120.0	290.0	46.0	3682	-	10803	0.340 9	1.74 = 0.006 0*H	Flessione	-	-8141 2.66	0.408 6	271.5 0
16	Maschio (P)	Sottotetto	4 - 5	643.9	280.0	30.0	0	-	9355	0.000 0	1.12 = 0.004 0*H	Taglio	-	-8171 2.52	0.435 8	272.5 0
17	Maschio (P)	Primo piano	2 - 3	120.0	290.0	46.0	3851	-	10803	0.356 5	1.74 = 0.006 0*H	Flessione	-	-8186 2.46	0.449 6	273.0 0
18	Maschio (P)	Primo piano	2 - 3	50.7	290.0	46.0	1685	-	4567	0.368 9	1.74 = 0.006 0*H	Flessione	-	-8201 2.39	0.449 6	273.5 0
19	Maschio (C)	Primo piano	6 - 2	334.0	260.0	46.0	28247	-	34562 0	0.081 7	1.04 = 0.004 0*H	Taglio	-	-8201 2.39	1.086 5	273.5 0

Cond_Y_1(-); E(-); S2(-) : Sisma Y (-); Distribuzione forze: Proporzionale masse; Eccentricità accidentale (-0.05*Ly); Sisma seconda direzione (-)

Num. Prog.	Tipo Elem.	Imp.	Fili	L [cm]	H [cm]	t [cm]	Vu [daN]	Mu [daN/cm]	k [daN/cm]	δ_0 [cm]	δ_u [cm]	Tipo Rottura	θ [rad]	F [daN]	u [cm]	S
1	Maschio (P)	Copertura quota inf.	9 - 1	375.2	80.0	36.0	1720	-	48648 9	0.003 5	0.48 = 0.006 0*H	Flessione	-	-4093 1.23	0.090 6	136.5 0
2	Maschio (P)	Copertura quota inf.	2 - 9	269.7	80.0	36.0	1943	-	34964 0	0.005 6	0.48 = 0.006 0*H	Flessione	-	-5547 4.56	0.123 1	185.0 0
3	Maschio (P)	Primo piano	4 - 5	628.4	290.0	40.0	0	-	18984	0.000 0	1.16 = 0.004 0*H	Taglio	-	-5667 4.01	0.125 7	189.0 0
4	Maschio (P)	Primo piano	7 - 1	447.0	290.0	40.0	16272	-	18860 4	0.086 3	1.16 = 0.004 0*H	Taglio	-	-6327 0.98	0.141 4	211.0 0

											0*H					
5	Maschio (P)	Primo piano	6 - 2	334.0	260.0	46.0	28260	-	345620	0.0818	1.04 = 0.0040*H	Taglio	-	-64020.64	0.1434	213.50
6	Maschio (P)	Sottotetto	4 - 5	643.9	280.0	30.0	0	-	9355	0.0000	1.12 = 0.0040*H	Taglio	-	-66269.61	0.1544	221.00
7	Maschio (P)	Primo piano	3 - 4	541.7	290.0	40.0	20478	-	236460	0.0866	1.16 = 0.0040*H	Taglio	-	-68368.64	0.1649	228.00
8	Maschio (P)	Primo piano	8 - 6	250.1	260.0	40.0	1817	-	10321	0.1761	1.56 = 0.0060*H	Flessione	-	-73616.24	0.2436	245.50
9	Maschio (P)	Primo piano	7 - 8	349.7	290.0	40.0	2144	-	10563	0.2030	1.74 = 0.0060*H	Flessione	-	-74965.62	0.2659	250.00
10	Maschio (P)	Primo piano	9 - 2	90.0	260.0	46.0	2871	-	11019	0.2605	1.56 = 0.0060*H	Flessione	-	-78414.04	0.3342	261.50
11	Maschio (P)	Primo piano	9 - 2	39.2	260.0	46.0	1264	-	4795	0.2637	1.56 = 0.0060*H	Flessione	-	-78713.90	0.3409	262.50
12	Maschio (P)	Primo piano	1 - 9	60.0	290.0	46.0	1689	-	5401	0.3127	1.74 = 0.0060*H	Flessione	-	-80663.01	0.3871	269.00
13	Maschio (P)	Primo piano	1 - 9	170.6	290.0	46.0	4876	-	15356	0.3175	1.74 = 0.0060*H	Flessione	-	-80962.87	0.3949	270.00
14	Maschio (P)	Primo piano	2 - 3	30.0	290.0	46.0	880	-	2701	0.3258	1.74 = 0.0060*H	Flessione	-	-81262.73	0.4076	271.00
15	Maschio (P)	Primo piano	2 - 3	120.0	290.0	46.0	3549	-	10803	0.3285	1.74 = 0.0060*H	Flessione	-	-81412.66	0.4147	271.50
16	Maschio (P)	Primo piano	2 - 3	120.0	290.0	46.0	3598	-	10803	0.3331	1.74 = 0.0060*H	Flessione	-	-81562.59	0.4283	272.00
17	Maschio (P)	Primo piano	2 - 3	50.7	290.0	46.0	1538	-	4567	0.3368	1.74 = 0.0060*H	Flessione	-	-81562.59	0.4283	272.00
18	Maschio (C)	Primo piano	6 - 2	334.0	260.0	46.0	28260	-	345620	0.0818	1.04 = 0.0040*H	Taglio	-	-81562.59	1.1160	272.00

Cond_Y_2(+); E(+); S2(+) : Sisma Y (+); Distribuzione forze: Proporzionale altezze; Eccentricità accidentale (+ 0.05*Ly); Sisma seconda direzione (+)

Num. Prog.	Tipo Elem.	Imp.	Fili	L [cm]	H [cm]	t [cm]	Vu [daN]	Mu [daNcm]	k [daN/cm]	δ_0 [cm]	δ_u [cm]	Tipo Rottura	θ [rad]	F [daN]	u [cm]	S
1	Maschio (P)	Copertura quota inf.	9 - 1	375.2	80.0	36.0	1104	-	486489	0.0023	0.48 = 0.0060*H	Flessione	-	19041.27	0.0549	63.50
2	Maschio (P)	Copertura quota inf.	2 - 9	269.7	80.0	36.0	1418	-	349640	0.0041	0.48 = 0.0060*H	Flessione	-	25638.24	0.0741	85.50
3	Maschio (P)	Copertura quota inf.	3 - 2	635.9	100.0	36.0	0	-	497658	0.0000	0.40 = 0.0040*H	Taglio	-	36133.43	0.1047	120.50
4	Maschio (P)	Copertura quota inf.	6 - 2	55.0	94.0	36.0	555	-	57444	0.0097	0.56 = 0.0060*H	Flessione	-	44229.71	0.1294	147.50
5	Maschio (P)	Sottotetto	3 - 4	561.8	280.0	30.0	15139	-	192377	0.0787	1.12 = 0.0040*H	Taglio	-	60572.22	0.1793	202.00
6	Maschio (P)	Primo piano	3 - 4	541.7	290.0	40.0	21927	-	236460	0.0927	1.16 = 0.0040*H	Taglio	-	64320.50	0.1951	214.50
7	Maschio (P)	Sottotetto	6 - 2	304.0	250.0	36.0	19226	-	251828	0.0763	1.00 = 0.0040*H	Taglio	-	65519.95	0.2018	218.50
8	Maschio (P)	Primo	9 - 2	90.0	260.0	46.0	836	-	11019	0.075	1.56 =	Flessione	-	65669	0.203	219.0

		piano								9	0.006 0*H	one		.88	0	0
9	Maschio (P)	Sottot etto	6 - 2	55.0	250.0	36.0	614	-	8031	0.076 5	1.50 = 0.006 0*H	Flessi one	-	65669 .88	0.203 0	219.0 0
10	Maschio (P)	Primo piano	9 - 2	39.2	260.0	46.0	387	-	4795	0.080 8	1.56 = 0.006 0*H	Flessi one	-	66119 .68	0.206 5	220.5 0
11	Maschio (P)	Sottot etto	4 - 5	643.9	280.0	30.0	0	-	9355	0.000 0	1.12 = 0.004 0*H	Taglio	-	67169 .19	0.214 6	224.0 0
12	Maschio (P)	Primo piano	1 - 9	170.6	290.0	46.0	0	-	15356	0.000 0	1.16 = 0.004 0*H	Taglio	-	67918 .85	0.222 8	226.5 0
13	Maschio (P)	Sottot etto	9 - 2	90.0	250.0	36.0	489	-	6152	0.079 6	1.50 = 0.006 0*H	Flessi one	-	68068 .78	0.224 4	227.0 0
14	Maschio (P)	Sottot etto	9 - 2	44.2	250.0	36.0	259	-	3018	0.085 9	1.50 = 0.006 0*H	Flessi one	-	68068 .78	0.224 4	227.0 0
15	Maschio (P)	Primo piano	6 - 2	334.0	260.0	46.0	30140	-	34562 0	0.087 2	1.04 = 0.004 0*H	Taglio	-	68218 .71	0.226 1	227.5 0
16	Maschio (P)	Primo piano	1 - 9	60.0	290.0	46.0	0	-	5401	0.000 0	1.16 = 0.004 0*H	Taglio	-	68518 .58	0.230 3	228.5 0
17	Maschio (P)	Sottot etto	2 - 3	215.0	280.0	36.0	0	-	10610	0.000 0	1.12 = 0.004 0*H	Taglio	-	69268 .23	0.240 9	231.0 0
18	Maschio (P)	Sottot etto	1 - 9	170.7	280.0	36.0	0	-	8426	0.000 0	1.12 = 0.004 0*H	Taglio	-	69418 .16	0.243 2	231.5 0
19	Maschio (P)	Primo piano	2 - 3	30.0	290.0	46.0	253	-	2701	0.093 8	1.74 = 0.006 0*H	Flessi one	-	69718 .03	0.248 1	232.5 0
20	Maschio (P)	Primo piano	2 - 3	120.0	290.0	46.0	0	-	10803	0.000 0	1.16 = 0.004 0*H	Taglio	-	69718 .03	0.248 1	232.5 0
21	Maschio (P)	Sottot etto	7 - 1	467.0	280.0	30.0	11072	-	15543 4	0.071 2	1.12 = 0.004 0*H	Taglio	-	69867 .96	0.250 6	233.0 0
22	Maschio (P)	Primo piano	2 - 3	120.0	290.0	46.0	0	-	10803	0.000 0	1.16 = 0.004 0*H	Taglio	-	70017 .89	0.256 7	233.5 0
23	Maschio (P)	Sottot etto	1 - 9	70.0	280.0	36.0	0	-	3454	0.000 0	1.12 = 0.004 0*H	Taglio	-	70017 .89	0.256 7	233.5 0
24	Maschio (P)	Sottot etto	2 - 3	120.0	280.0	36.0	0	-	5922	0.000 0	1.12 = 0.004 0*H	Taglio	-	70017 .89	0.256 7	233.5 0
25	Maschio (P)	Sottot etto	2 - 3	60.9	280.0	36.0	395	-	3005	0.131 5	1.68 = 0.006 0*H	Flessi one	-	70017 .89	0.256 7	233.5 0
26	Maschio (P)	Primo piano	2 - 3	50.7	290.0	46.0	524	-	4567	0.114 8	1.74 = 0.006 0*H	Flessi one	-	70167 .82	0.272 3	234.0 0
27	Maschio (P)	Sottot etto	8 - 6	255.1	250.0	30.0	1623	-	5154	0.314 8	1.50 = 0.006 0*H	Flessi one	-	72416 .79	0.508 7	241.5 0
28	Maschio (P)	Sottot etto	7 - 8	359.9	280.0	30.0	1999	-	5228	0.382 3	1.68 = 0.006 0*H	Flessi one	-	73016 .51	0.607 6	243.5 0
29	Maschio (P)	Sottot etto	5 - 6	23.0	280.0	30.0	105	-	200	0.524 2	1.68 = 0.006 0*H	Flessi one	-	73166 .44	0.607 6	244.0 0
30	Maschio (C)	Sottot etto	6 - 2	304.0	250.0	36.0	19226	-	25182 8	0.076 3	1.00 = 0.004 0*H	Taglio	-	73166 .44	1.061 0	244.0 0

Cond_Y_2(+); E(+); S2(-) : Sisma Y (+); Distribuzione forze: Proporzionale altezze; Eccentricità
accidentale (+ 0.05*Ly); Sisma seconda direzione (-)

Num. Prog.	Tipo Elem.	Imp.	Fili	L [cm]	H [cm]	t [cm]	Vu [daN]	Mu [daNc m]	k [daN/ cm]	δ_0 [cm]	δ_u [cm]	Tipo Rottu ra	θ [rad]	F [daN]	u [cm]	S
1	Maschio (P)	Coper	9 - 1	375.2	80.0	36.0	1180	-	48648	0.002	0.48 =	Flessi	-	23539	0.066	78.50

		tura quota inf.							9	4	0.006 0*H	one		.20	2	
2	Maschio (P)	Coper tura quota inf.	2 - 9	269.7	80.0	36.0	1432	-	34964 0	0.004 1	0.48 = 0.006 0*H	Flessi one	-	27737 .28	0.078 1	92.50
3	Maschio (P)	Coper tura quota inf.	3 - 2	635.9	100.0	36.0	0	-	49765 8	0.000 0	0.40 = 0.004 0*H	Taglio	-	34034 .39	0.096 1	113.5 0
4	Maschio (P)	Coper tura quota inf.	6 - 2	55.0	94.0	36.0	555	-	57730	0.009 6	0.56 = 0.006 0*H	Flessi one	-	44229 .71	0.127 7	147.5 0
5	Maschio (P)	Sottot etto	3 - 4	561.8	280.0	30.0	14577	-	19237 7	0.075 8	1.12 = 0.004 0*H	Taglio	-	59522 .70	0.175 5	198.5 0
6	Maschio (P)	Primo piano	2 - 3	50.7	290.0	46.0	380	-	4567	0.083 2	1.74 = 0.006 0*H	Flessi one	-	61621 .74	0.184 6	205.5 0
7	Maschio (P)	Primo piano	3 - 4	541.7	290.0	40.0	20560	-	23646 0	0.087 0	1.16 = 0.004 0*H	Taglio	-	63270 .98	0.191 7	211.0 0
8	Maschio (P)	Primo piano	2 - 3	120.0	290.0	46.0	910	-	10803	0.084 2	1.74 = 0.006 0*H	Flessi one	-	63720 .78	0.194 3	212.5 0
9	Maschio (P)	Sottot etto	6 - 2	55.0	250.0	36.0	607	-	8031	0.075 6	1.50 = 0.006 0*H	Flessi one	-	64470 .43	0.198 6	215.0 0
10	Maschio (P)	Primo piano	9 - 2	39.2	260.0	46.0	383	-	4795	0.079 9	1.56 = 0.006 0*H	Flessi one	-	64770 .29	0.200 4	216.0 0
11	Maschio (P)	Sottot etto	6 - 2	304.0	250.0	36.0	19258	-	25182 8	0.076 5	1.00 = 0.004 0*H	Taglio	-	64920 .23	0.201 3	216.5 0
12	Maschio (P)	Primo piano	2 - 3	120.0	290.0	46.0	937	-	10803	0.086 8	1.74 = 0.006 0*H	Flessi one	-	66119 .68	0.210 9	220.5 0
13	Maschio (P)	Primo piano	9 - 2	90.0	260.0	46.0	898	-	11019	0.081 5	1.56 = 0.006 0*H	Flessi one	-	67169 .19	0.219 4	224.0 0
14	Maschio (P)	Sottot etto	2 - 3	60.9	280.0	36.0	311	-	3005	0.103 6	1.68 = 0.006 0*H	Flessi one	-	67169 .19	0.219 4	224.0 0
15	Maschio (P)	Primo piano	6 - 2	334.0	260.0	46.0	30192	-	34562 0	0.087 4	1.04 = 0.004 0*H	Taglio	-	67469 .06	0.221 9	225.0 0
16	Maschio (P)	Sottot etto	9 - 2	44.2	250.0	36.0	257	-	3018	0.085 0	1.50 = 0.006 0*H	Flessi one	-	67469 .06	0.221 9	225.0 0
17	Maschio (P)	Primo piano	2 - 3	30.0	290.0	46.0	239	-	2701	0.088 4	1.74 = 0.006 0*H	Flessi one	-	67618 .99	0.223 7	225.5 0
18	Maschio (P)	Sottot etto	2 - 3	120.0	280.0	36.0	608	-	5922	0.102 7	1.68 = 0.006 0*H	Flessi one	-	68218 .71	0.231 1	227.5 0
19	Maschio (P)	Sottot etto	9 - 2	90.0	250.0	36.0	519	-	6152	0.084 3	1.50 = 0.006 0*H	Flessi one	-	68968 .37	0.240 5	230.0 0
20	Maschio (P)	Sottot etto	2 - 3	215.0	280.0	36.0	1078	-	10610	0.101 6	1.68 = 0.006 0*H	Flessi one	-	70017 .89	0.253 9	233.5 0
21	Maschio (P)	Sottot etto	4 - 5	643.9	280.0	30.0	0	-	9355	0.000 0	1.12 = 0.004 0*H	Taglio	-	70167 .82	0.256 0	234.0 0
22	Maschio (P)	Sottot etto	7 - 1	467.0	280.0	30.0	11715	-	15543 4	0.075 4	1.12 = 0.004 0*H	Taglio	-	71367 .27	0.275 7	238.0 0
23	Maschio (P)	Sottot etto	1 - 9	170.7	280.0	36.0	863	-	8426	0.102 4	1.68 = 0.006 0*H	Flessi one	-	71817 .06	0.295 1	239.5 0
24	Maschio (P)	Sottot etto	1 - 9	70.0	280.0	36.0	0	-	3454	0.000 0	1.12 = 0.004 0*H	Taglio	-	72116 .92	0.315 5	240.5 0
25	Maschio (P)	Primo	1 - 9	170.6	290.0	46.0	1480	-	15356	0.096	1.74 =	Flessi	-	72266	0.331	241.0

		piano								4	0.006 0*H	one		.86	3	0
26	Maschio (P)	Sottot etto	8 - 6	255.1	250.0	30.0	1670	-	5154	0.324 1	1.50 = 0.006 0*H	Flessi one	-	74215 .96	0.538 8	247.5 0
27	Maschio (P)	Primo piano	7 - 1	447.0	290.0	40.0	17410	-	18860 4	0.092 3	1.16 = 0.004 0*H	Taglio	-	74365 .89	0.563 7	248.0 0
28	Maschio (P)	Primo piano	1 - 9	60.0	290.0	46.0	551	-	5401	0.102 0	1.74 = 0.006 0*H	Flessi one	-	74965 .62	0.666 1	250.0 0
29	Maschio (P)	Sottot etto	7 - 8	359.9	280.0	30.0	2137	-	5228	0.408 7	1.68 = 0.006 0*H	Flessi one	-	74965 .62	0.666 1	250.0 0
30	Maschio (P)	Sottot etto	5 - 6	23.0	280.0	30.0	106	-	200	0.532 0	1.68 = 0.006 0*H	Flessi one	-	75115 .55	0.666 1	250.5 0
31	Maschio (C)	Sottot etto	6 - 2	304.0	250.0	36.0	19258	-	25182 8	0.076 5	1.00 = 0.004 0*H	Taglio	-	75115 .55	1.068 3	250.5 0

Cond_Y_2(+); E(-); S2(+) : Sisma Y (+); Distribuzione forze: Proporzionale altezze; Eccentricità
accidentale (- 0.05*Ly); Sisma seconda direzione (+)

Num. Prog.	Tipo Elem.	Imp.	Fili	L [cm]	H [cm]	t [cm]	Vu [daN]	Mu [daNc m]	k [daN/ cm]	δ_0 [cm]	δ_u [cm]	Tipo Rottu ra	θ [rad]	F [daN]	u [cm]	S
1	Maschio (P)	Coper tura quota inf.	9 - 1	375.2	80.0	36.0	1149	-	48648 9	0.002 4	0.48 = 0.006 0*H	Flessi one	-	16342 .50	0.043 8	54.50
2	Maschio (P)	Coper tura quota inf.	2 - 9	269.7	80.0	36.0	1435	-	34964 0	0.004 1	0.48 = 0.006 0*H	Flessi one	-	23989 .00	0.064 5	80.00
3	Maschio (P)	Coper tura quota inf.	3 - 2	635.9	100.0	36.0	0	-	49765 8	0.000 0	0.40 = 0.004 0*H	Taglio	-	37782 .67	0.102 1	126.0 0
4	Maschio (P)	Coper tura quota inf.	6 - 2	55.0	94.0	36.0	552	-	56828	0.009 7	0.56 = 0.006 0*H	Flessi one	-	44079 .78	0.119 9	147.0 0
5	Maschio (P)	Sottot etto	7 - 1	467.0	280.0	30.0	11076	-	15543 4	0.071 3	1.12 = 0.004 0*H	Taglio	-	62671 .26	0.172 5	209.0 0
6	Maschio (P)	Primo piano	9 - 2	90.0	260.0	46.0	877	-	11019	0.079 6	1.56 = 0.006 0*H	Flessi one	-	63570 .84	0.175 4	212.0 0
7	Maschio (P)	Primo piano	1 - 9	60.0	290.0	46.0	440	-	5401	0.081 5	1.74 = 0.006 0*H	Flessi one	-	63870 .71	0.176 4	213.0 0
8	Maschio (P)	Primo piano	7 - 1	447.0	290.0	40.0	15988	-	18860 4	0.084 8	1.16 = 0.004 0*H	Taglio	-	65519 .95	0.181 6	218.5 0
9	Maschio (P)	Primo piano	9 - 2	39.2	260.0	46.0	391	-	4795	0.081 6	1.56 = 0.006 0*H	Flessi one	-	65669 .88	0.182 2	219.0 0
10	Maschio (P)	Primo piano	1 - 9	170.6	290.0	46.0	0	-	15356	0.000 0	1.16 = 0.004 0*H	Taglio	-	65819 .81	0.182 7	219.5 0
11	Maschio (P)	Sottot etto	6 - 2	304.0	250.0	36.0	19229	-	25182 8	0.076 4	1.00 = 0.004 0*H	Taglio	-	65969 .74	0.183 2	220.0 0
12	Maschio (P)	Sottot etto	6 - 2	55.0	250.0	36.0	613	-	8031	0.076 4	1.50 = 0.006 0*H	Flessi one	-	65969 .74	0.183 2	220.0 0
13	Maschio (P)	Sottot etto	1 - 9	70.0	280.0	36.0	287	-	3454	0.083 1	1.68 = 0.006 0*H	Flessi one	-	66719 .40	0.187 0	222.5 0
14	Maschio (P)	Sottot etto	9 - 2	90.0	250.0	36.0	497	-	6152	0.080 7	1.50 = 0.006 0*H	Flessi one	-	66869 .33	0.187 7	223.0 0
15	Maschio (P)	Primo piano	6 - 2	334.0	260.0	46.0	30137	-	34562 0	0.087 2	1.04 = 0.004 0*H	Taglio	-	68068 .78	0.194 0	227.0 0

16	Maschio (P)	Sottotetto	1 - 9	170.7	280.0	36.0	0	-	8426	0.0000	1.12 = 0.0040*H	Taglio	-	68068.78	0.1940	227.00
17	Maschio (P)	Sottotetto	9 - 2	44.2	250.0	36.0	259	-	3018	0.0857	1.50 = 0.0060*H	Flessione	-	68368.64	0.1962	228.00
18	Maschio (P)	Sottotetto	3 - 4	561.8	280.0	30.0	15198	-	192377	0.0790	1.12 = 0.0040*H	Taglio	-	68818.44	0.1997	229.50
19	Maschio (P)	Sottotetto	4 - 5	643.9	280.0	30.0	0	-	9355	0.0000	1.12 = 0.0040*H	Taglio	-	69268.23	0.2055	231.00
20	Maschio (P)	Primo piano	2 - 3	30.0	290.0	46.0	254	-	2701	0.0942	1.74 = 0.0060*H	Flessione	-	69568.09	0.2142	232.00
21	Maschio (P)	Sottotetto	2 - 3	215.0	280.0	36.0	0	-	10610	0.0000	1.12 = 0.0040*H	Taglio	-	70017.89	0.2271	233.50
22	Maschio (P)	Sottotetto	2 - 3	120.0	280.0	36.0	725	-	5922	0.1225	1.68 = 0.0060*H	Flessione	-	70467.68	0.2470	235.00
23	Maschio (P)	Primo piano	2 - 3	120.0	290.0	46.0	1050	-	10803	0.0972	1.74 = 0.0060*H	Flessione	-	70617.61	0.2567	235.50
24	Maschio (P)	Sottotetto	2 - 3	60.9	280.0	36.0	0	-	3005	0.0000	1.12 = 0.0040*H	Taglio	-	70767.54	0.2666	236.00
25	Maschio (P)	Primo piano	3 - 4	541.7	290.0	40.0	22025	-	236460	0.0931	1.16 = 0.0040*H	Taglio	-	72416.79	0.4331	241.50
26	Maschio (P)	Primo piano	2 - 3	120.0	290.0	46.0	1100	-	10803	0.1019	1.74 = 0.0060*H	Flessione	-	72566.72	0.4492	242.00
27	Maschio (P)	Sottotetto	8 - 6	255.1	250.0	30.0	1622	-	5154	0.3148	1.50 = 0.0060*H	Flessione	-	72566.72	0.4492	242.00
28	Maschio (P)	Sottotetto	7 - 8	359.9	280.0	30.0	1998	-	5228	0.3821	1.68 = 0.0060*H	Flessione	-	73016.51	0.5247	243.50
29	Maschio (P)	Sottotetto	5 - 6	23.0	280.0	30.0	105	-	200	0.5240	1.68 = 0.0060*H	Flessione	-	73166.44	0.5247	244.00
30	Maschio (C)	Sottotetto	6 - 2	304.0	250.0	36.0	19229	-	251828	0.0764	1.00 = 0.0040*H	Taglio	-	73166.44	1.0113	244.00

Cond_Y_2(+); E(-); S2(-): Sisma Y (+); Distribuzione forze: Proporzionale altezze; Eccentricità accidentale (-0.05*Ly); Sisma seconda direzione (-)

Num. Prog.	Tipo Elem.	Imp.	Fili	L [cm]	H [cm]	t [cm]	Vu [daN]	Mu [daNc/m]	k [daN/cm]	δ_0 [cm]	δ_u [cm]	Tipo Rottura	θ [rad]	F [daN]	u [cm]	S
1	Maschio (P)	Copertura quota inf.	9 - 1	375.2	80.0	36.0	1220	-	486489	0.0025	0.48 = 0.0060*H	Flessione	-	19640.99	0.0515	65.50
2	Maschio (P)	Copertura quota inf.	2 - 9	269.7	80.0	36.0	1449	-	349640	0.0041	0.48 = 0.0060*H	Flessione	-	25788.17	0.0678	86.00
3	Maschio (P)	Copertura quota inf.	3 - 2	635.9	100.0	36.0	0	-	497658	0.0000	0.40 = 0.0040*H	Taglio	-	35533.70	0.0938	118.50
4	Maschio (P)	Copertura quota inf.	6 - 2	55.0	94.0	36.0	552	-	57111	0.0097	0.56 = 0.0060*H	Flessione	-	44079.78	0.1185	147.00
5	Maschio (P)	Primo piano	9 - 2	39.2	260.0	46.0	386	-	4795	0.0806	1.56 = 0.0060*H	Flessione	-	64470.43	0.1778	215.00
6	Maschio (P)	Sottotetto	7 - 1	467.0	280.0	30.0	11653	-	155434	0.0750	1.12 = 0.0040*H	Taglio	-	64470.43	0.1778	215.00
7	Maschio (P)	Primo piano	2 - 3	50.7	290.0	46.0	334	-	4567	0.0732	1.74 = 0.0060*H	Flessione	-	65070.16	0.1798	217.00

										0*H						
8	Maschio (P)	Primo piano	9 - 2	90.0	260.0	46.0	925	-	11019	0.0840	1.56 = 0.0060*H	Flessione	-	65669.88	0.1818	219.00
9	Maschio (P)	Sottotetto	6 - 2	55.0	250.0	36.0	602	-	8031	0.0750	1.50 = 0.0060*H	Flessione	-	65819.81	0.1823	219.50
10	Maschio (P)	Primo piano	2 - 3	120.0	290.0	46.0	837	-	10803	0.0775	1.74 = 0.0060*H	Flessione	-	66269.61	0.1837	221.00
11	Maschio (P)	Primo piano	7 - 1	447.0	290.0	40.0	17281	-	188604	0.0916	1.16 = 0.0040*H	Taglio	-	66719.40	0.1852	222.50
12	Maschio (P)	Sottotetto	6 - 2	304.0	250.0	36.0	19277	-	251828	0.0765	1.00 = 0.0040*H	Taglio	-	66719.40	0.1852	222.50
13	Maschio (P)	Primo piano	2 - 3	120.0	290.0	46.0	895	-	10803	0.0829	1.74 = 0.0060*H	Flessione	-	67768.92	0.1906	226.00
14	Maschio (P)	Sottotetto	3 - 4	561.8	280.0	30.0	14554	-	192377	0.0757	1.12 = 0.0040*H	Taglio	-	68068.78	0.1921	227.00
15	Maschio (P)	Sottotetto	9 - 2	90.0	250.0	36.0	522	-	6152	0.0849	1.50 = 0.0060*H	Flessione	-	68368.64	0.1949	228.00
16	Maschio (P)	Primo piano	6 - 2	334.0	260.0	46.0	30208	-	345620	0.0874	1.04 = 0.0040*H	Taglio	-	68518.58	0.1963	228.50
17	Maschio (P)	Sottotetto	9 - 2	44.2	250.0	36.0	254	-	3018	0.0842	1.50 = 0.0060*H	Flessione	-	68518.58	0.1963	228.50
18	Maschio (P)	Primo piano	2 - 3	30.0	290.0	46.0	233	-	2701	0.0861	1.74 = 0.0060*H	Flessione	-	68668.51	0.1981	229.00
19	Maschio (P)	Primo piano	1 - 9	170.6	290.0	46.0	1544	-	15356	0.1005	1.74 = 0.0060*H	Flessione	-	70017.89	0.2141	233.50
20	Maschio (P)	Primo piano	1 - 9	60.0	290.0	46.0	591	-	5401	0.1095	1.74 = 0.0060*H	Flessione	-	70467.68	0.2197	235.00
21	Maschio (P)	Sottotetto	1 - 9	70.0	280.0	36.0	362	-	3454	0.1049	1.68 = 0.0060*H	Flessione	-	70467.68	0.2197	235.00
22	Maschio (P)	Sottotetto	1 - 9	170.7	280.0	36.0	873	-	8426	0.1036	1.68 = 0.0060*H	Flessione	-	70617.61	0.2217	235.50
23	Maschio (P)	Sottotetto	2 - 3	215.0	280.0	36.0	1070	-	10610	0.1008	1.68 = 0.0060*H	Flessione	-	70767.54	0.2238	236.00
24	Maschio (P)	Sottotetto	2 - 3	120.0	280.0	36.0	587	-	5922	0.0991	1.68 = 0.0060*H	Flessione	-	70917.48	0.2261	236.50
25	Maschio (P)	Sottotetto	2 - 3	60.9	280.0	36.0	294	-	3005	0.0978	1.68 = 0.0060*H	Flessione	-	71067.41	0.2287	237.00
26	Maschio (P)	Sottotetto	4 - 5	643.9	280.0	30.0	0	-	9355	0.0000	1.12 = 0.0040*H	Taglio	-	71367.27	0.2341	238.00
27	Maschio (P)	Primo piano	3 - 4	541.7	290.0	40.0	20479	-	236460	0.0866	1.16 = 0.0040*H	Taglio	-	71667.13	0.2643	239.00
28	Maschio (P)	Sottotetto	8 - 6	255.1	250.0	30.0	1668	-	5154	0.3236	1.50 = 0.0060*H	Flessione	-	73766.17	0.4953	246.00
29	Maschio (P)	Sottotetto	7 - 8	359.9	280.0	30.0	2132	-	5228	0.4078	1.68 = 0.0060*H	Flessione	-	74365.89	0.5971	248.00
30	Maschio (P)	Sottotetto	5 - 6	23.0	280.0	30.0	106	-	200	0.5310	1.68 = 0.0060*H	Flessione	-	74515.82	0.5971	248.50
31	Maschio (C)	Sottotetto	6 - 2	304.0	250.0	36.0	19277	-	251828	0.0765	1.00 = 0.0040*H	Taglio	-	74515.82	1.0172	248.50

Cond_Y_2(-); E(+); S2(+): Sisma Y (-); Distribuzione forze: Proporzionale altezze; Eccentricità
accidentale (+ 0.05*Ly); Sisma seconda direzione (+)

Num. Prog.	Tipo Elem.	Imp.	Fili	L [cm]	H [cm]	t [cm]	Vu [daN]	Mu [daNc m]	k [daN/cm]	δ_0 [cm]	δ_u [cm]	Tipo Rottura	θ [rad]	F [daN]	u [cm]	S
1	Maschio (P)	Copertura quota inf.	9 - 1	375.2	80.0	36.0	1675	-	486489	0.0034	0.48 = 0.0060*H	Flessione	-	-33584.60	0.0944	112.00
2	Maschio (P)	Copertura quota inf.	2 - 9	269.7	80.0	36.0	1961	-	349640	0.0056	0.48 = 0.0060*H	Flessione	-	-38232.47	0.1075	127.50
3	Maschio (P)	Copertura quota inf.	3 - 2	635.9	100.0	36.0	0	-	497658	0.0000	0.40 = 0.0040*H	Taglio	-	-47828.06	0.1349	159.50
4	Maschio (P)	Copertura quota inf.	6 - 2	55.0	94.0	36.0	707	-	66801	0.0106	0.56 = 0.0060*H	Flessione	-	-53975.25	0.1540	180.00
5	Maschio (P)	Sottotetto	4 - 5	643.9	280.0	30.0	0	-	9355	0.0000	1.12 = 0.0040*H	Taglio	-	-56524.08	0.1619	188.50
6	Maschio (P)	Sottotetto	3 - 4	561.8	280.0	30.0	14856	-	192377	0.0772	1.12 = 0.0040*H	Taglio	-	-60872.08	0.1760	203.00
7	Maschio (P)	Sottotetto	6 - 2	304.0	250.0	36.0	17882	-	251828	0.0710	1.00 = 0.0040*H	Taglio	-	-62071.53	0.1820	207.00
8	Maschio (P)	Primo piano	4 - 5	628.4	290.0	40.0	0	-	18984	0.0000	1.16 = 0.0040*H	Taglio	-	-62371.39	0.1848	208.00
9	Maschio (P)	Primo piano	6 - 2	334.0	260.0	46.0	27965	-	345620	0.0809	1.04 = 0.0040*H	Taglio	-	-64920.23	0.2093	216.50
10	Maschio (P)	Sottotetto	7 - 1	467.0	280.0	30.0	10521	-	155434	0.0677	1.12 = 0.0040*H	Taglio	-	-64920.23	0.2093	216.50
11	Maschio (P)	Primo piano	3 - 4	541.7	290.0	40.0	21747	-	236460	0.0920	1.16 = 0.0040*H	Taglio	-	-66869.33	0.2421	223.00
12	Maschio (P)	Primo piano	7 - 1	447.0	290.0	40.0	14940	-	188604	0.0792	1.16 = 0.0040*H	Taglio	-	-67319.13	0.2528	224.50
13	Maschio (P)	Sottotetto	6 - 2	55.0	250.0	36.0	1115	-	8031	0.1388	1.50 = 0.0060*H	Flessione	-	-68668.51	0.2916	229.00
14	Maschio (P)	Primo piano	8 - 6	250.1	260.0	40.0	1439	-	10321	0.1395	1.56 = 0.0060*H	Flessione	-	-71517.20	0.3783	238.50
15	Maschio (P)	Primo piano	7 - 8	349.7	290.0	40.0	1383	-	10563	0.1309	1.74 = 0.0060*H	Flessione	-	-71517.20	0.3783	238.50
16	Maschio (P)	Sottotetto	8 - 6	255.1	250.0	30.0	954	-	5154	0.1852	1.50 = 0.0060*H	Flessione	-	-72116.92	0.3991	240.50
17	Maschio (P)	Sottotetto	9 - 2	90.0	250.0	36.0	1154	-	6152	0.1876	1.50 = 0.0060*H	Flessione	-	-72416.79	0.4099	241.50
18	Maschio (P)	Sottotetto	9 - 2	44.2	250.0	36.0	596	-	3018	0.1976	1.50 = 0.0060*H	Flessione	-	-72566.72	0.4155	242.00
19	Maschio (P)	Sottotetto	7 - 8	359.9	280.0	30.0	1039	-	5228	0.1987	1.68 = 0.0060*H	Flessione	-	-73766.17	0.4622	246.00
20	Maschio (P)	Sottotetto	1 - 9	70.0	280.0	36.0	713	-	3454	0.2065	1.68 = 0.0060*H	Flessione	-	-74365.89	0.4885	248.00
21	Maschio (P)	Sottotetto	1 - 9	170.7	280.0	36.0	1879	-	8426	0.2231	1.68 = 0.0060*H	Flessione	-	-74515.82	0.4954	248.50
22	Maschio (P)	Sottotetto	2 - 3	215.0	280.0	36.0	2726	-	10610	0.2569	1.68 = 0.0060*H	Flessione	-	-74815.69	0.5139	249.50

23	Maschio (P)	Sottotetto	2 - 3	120.0	280.0	36.0	1630	-	5922	0.275 2	1.68 = 0.006 0*H	Flessione	-	-7481 5.69	0.513 9	249.5 0
24	Maschio (P)	Sottotetto	2 - 3	60.9	280.0	36.0	867	-	3005	0.288 5	1.68 = 0.006 0*H	Flessione	-	-7496 5.62	0.552 4	250.0 0
25	Maschio (P)	Sottotetto	5 - 6	23.0	280.0	30.0	60	-	200	0.301 1	1.68 = 0.006 0*H	Flessione	-	-7511 5.55	0.552 4	250.5 0
26	Maschio (C)	Sottotetto	6 - 2	304.0	250.0	36.0	17882	-	25182 8	0.071 0	1.00 = 0.004 0*H	Taglio	-	-7511 5.55	1.050 1	250.5 0

Cond_Y 2(-); E(+); S2(-): Sisma Y (-); Distribuzione forze: Proporzionale altezze; Eccentricità accidentale (+ 0.05*Ly); Sisma seconda direzione (-)

Num. Prog.	Tipo Elem.	Imp.	Fili	L [cm]	H [cm]	t [cm]	Vu [daN]	Mu [daNc m]	k [daN/cm]	δ_0 [cm]	δ_u [cm]	Tipo Rottura	θ [rad]	F [daN]	u [cm]	S
1	Maschio (P)	Copertura quota inf.	9 - 1	375.2	80.0	36.0	1855	-	48648 9	0.003 8	0.48 = 0.006 0*H	Flessione	-	-3208 5.28	0.092 5	107.0 0
2	Maschio (P)	Copertura quota inf.	2 - 9	269.7	80.0	36.0	1996	-	34964 0	0.005 7	0.48 = 0.006 0*H	Flessione	-	-3718 2.95	0.107 3	124.0 0
3	Maschio (P)	Sottotetto	4 - 5	643.9	280.0	30.0	0	-	9355	0.000 0	1.12 = 0.004 0*H	Taglio	-	-4557 9.10	0.131 8	152.0 0
4	Maschio (P)	Copertura quota inf.	3 - 2	635.9	100.0	36.0	0	-	49765 8	0.000 0	0.40 = 0.004 0*H	Taglio	-	-4647 8.68	0.134 5	155.0 0
5	Maschio (P)	Primo piano	4 - 5	628.4	290.0	40.0	0	-	18984	0.000 0	1.16 = 0.004 0*H	Taglio	-	-5022 6.96	0.146 5	167.5 0
6	Maschio (P)	Copertura quota inf.	6 - 2	55.0	94.0	36.0	700	-	66251	0.010 6	0.56 = 0.006 0*H	Flessione	-	-5277 5.80	0.155 1	176.0 0
7	Maschio (P)	Sottotetto	3 - 4	561.8	280.0	30.0	14333	-	19237 7	0.074 5	1.12 = 0.004 0*H	Taglio	-	-5562 4.49	0.164 6	185.5 0
8	Maschio (P)	Primo piano	3 - 4	541.7	290.0	40.0	20428	-	23646 0	0.086 4	1.16 = 0.004 0*H	Taglio	-	-5817 3.32	0.177 8	194.0 0
9	Maschio (P)	Sottotetto	6 - 2	304.0	250.0	36.0	17951	-	25182 8	0.071 3	1.00 = 0.004 0*H	Taglio	-	-5922 2.84	0.185 4	197.5 0
10	Maschio (P)	Primo piano	6 - 2	334.0	260.0	46.0	28081	-	34562 0	0.081 2	1.04 = 0.004 0*H	Taglio	-	-6177 1.67	0.214 3	206.0 0
11	Maschio (P)	Sottotetto	7 - 1	467.0	280.0	30.0	11118	-	15543 4	0.071 5	1.12 = 0.004 0*H	Taglio	-	-6581 9.81	0.284 1	219.5 0
12	Maschio (P)	Sottotetto	6 - 2	55.0	250.0	36.0	1102	-	8031	0.137 2	1.50 = 0.006 0*H	Flessione	-	-6776 8.92	0.331 5	226.0 0
13	Maschio (P)	Primo piano	7 - 1	447.0	290.0	40.0	16326	-	18860 4	0.086 6	1.16 = 0.004 0*H	Taglio	-	-7016 7.82	0.393 9	234.0 0
14	Maschio (P)	Sottotetto	9 - 2	44.2	250.0	36.0	591	-	3018	0.195 9	1.50 = 0.006 0*H	Flessione	-	-7181 7.06	0.444 3	239.5 0
15	Maschio (P)	Primo piano	8 - 6	250.1	260.0	40.0	1594	-	10321	0.154 4	1.56 = 0.006 0*H	Flessione	-	-7211 6.92	0.453 7	240.5 0
16	Maschio (P)	Sottotetto	8 - 6	255.1	250.0	30.0	1001	-	5154	0.194 3	1.50 = 0.006 0*H	Flessione	-	-7211 6.92	0.453 7	240.5 0
17	Maschio (P)	Sottotetto	9 - 2	90.0	250.0	36.0	1185	-	6152	0.192 6	1.50 = 0.006 0*H	Flessione	-	-7241 6.79	0.464 0	241.5 0
18	Maschio (P)	Sottotetto	2 - 3	60.9	280.0	36.0	779	-	3005	0.259 1	1.68 = 0.006 0*H	Flessione	-	-7271 6.65	0.475 0	242.5 0

										0*H						
19	Maschio (P)	Sottotetto	2 - 3	120.0	280.0	36.0	1506	-	5922	0.254 4	1.68 = 0.006 0*H	Flessione	-	-7316 6.44	0.492 2	244.0 0
20	Maschio (P)	Sottotetto	2 - 3	215.0	280.0	36.0	2631	-	10610	0.248 0	1.68 = 0.006 0*H	Flessione	-	-7376 6.17	0.517 8	246.0 0
21	Maschio (P)	Sottotetto	1 - 9	170.7	280.0	36.0	1989	-	8426	0.236 1	1.68 = 0.006 0*H	Flessione	-	-7436 5.89	0.553 4	248.0 0
22	Maschio (P)	Sottotetto	7 - 8	359.9	280.0	30.0	1190	-	5228	0.227 7	1.68 = 0.006 0*H	Flessione	-	-7436 5.89	0.553 4	248.0 0
23	Maschio (P)	Sottotetto	1 - 9	70.0	280.0	36.0	795	-	3454	0.230 3	1.68 = 0.006 0*H	Flessione	-	-7451 5.82	0.587 7	248.5 0
24	Maschio (P)	Sottotetto	5 - 6	23.0	280.0	30.0	62	-	200	0.308 1	1.68 = 0.006 0*H	Flessione	-	-7466 5.76	0.587 7	249.0 0
25	Maschio (C)	Sottotetto	6 - 2	304.0	250.0	36.0	17951	-	25182 8	0.071 3	1.00 = 0.004 0*H	Taglio	-	-7466 5.76	1.077 8	249.0 0

Cond_Y_2(-); E(-); S2(+): Sisma Y (-); Distribuzione forze: Proporzionale altezze; Eccentricità accidentale (-0.05*Ly); Sisma seconda direzione (+)

Num. Prog.	Tipo Elem.	Imp.	Fili	L [cm]	H [cm]	t [cm]	Vu [daN]	Mu [daNcm]	k [daN/cm]	δ_0 [cm]	δ_u [cm]	Tipo Rottura	θ [rad]	F [daN]	u [cm]	S
1	Maschio (P)	Copertura quota inf.	9 - 1	375.2	80.0	36.0	1601	-	48648 9	0.003 3	0.48 = 0.006 0*H	Flessione	-	-2593 8.10	0.067 9	86.50
2	Maschio (P)	Copertura quota inf.	2 - 9	269.7	80.0	36.0	1929	-	34964 0	0.005 5	0.48 = 0.006 0*H	Flessione	-	-3448 4.18	0.090 6	115.0 0
3	Maschio (P)	Copertura quota inf.	3 - 2	635.9	100.0	36.0	0	-	49765 8	0.000 0	0.40 = 0.004 0*H	Taglio	-	-5067 6.76	0.133 8	169.0 0
4	Maschio (P)	Copertura quota inf.	6 - 2	55.0	94.0	36.0	703	-	66178	0.010 6	0.56 = 0.006 0*H	Flessione	-	-5397 5.25	0.143 3	180.0 0
5	Maschio (P)	Primo piano	7 - 1	447.0	290.0	40.0	15131	-	18860 4	0.080 2	1.16 = 0.004 0*H	Taglio	-	-5742 3.66	0.153 4	191.5 0
6	Maschio (P)	Sottotetto	7 - 1	467.0	280.0	30.0	10594	-	15543 4	0.068 2	1.12 = 0.004 0*H	Taglio	-	-5757 3.59	0.153 8	192.0 0
7	Maschio (P)	Sottotetto	4 - 5	643.9	280.0	30.0	0	-	9355	0.000 0	1.12 = 0.004 0*H	Taglio	-	-5817 3.32	0.155 9	194.0 0
8	Maschio (P)	Sottotetto	6 - 2	304.0	250.0	36.0	17899	-	25182 8	0.071 1	1.00 = 0.004 0*H	Taglio	-	-6072 2.15	0.165 3	202.5 0
9	Maschio (P)	Primo piano	6 - 2	334.0	260.0	46.0	28019	-	34562 0	0.081 1	1.04 = 0.004 0*H	Taglio	-	-6192 1.60	0.172 1	206.5 0
10	Maschio (P)	Primo piano	4 - 5	628.4	290.0	40.0	0	-	18984	0.000 0	1.16 = 0.004 0*H	Taglio	-	-6267 1.26	0.177 6	209.0 0
11	Maschio (P)	Sottotetto	3 - 4	561.8	280.0	30.0	14867	-	19237 7	0.077 3	1.12 = 0.004 0*H	Taglio	-	-6537 0.02	0.199 3	218.0 0
12	Maschio (P)	Primo piano	7 - 8	349.7	290.0	40.0	1464	-	10563	0.138 6	1.74 = 0.006 0*H	Flessione	-	-6881 8.44	0.262 8	229.5 0
13	Maschio (P)	Sottotetto	6 - 2	55.0	250.0	36.0	1115	-	8031	0.138 9	1.50 = 0.006 0*H	Flessione	-	-6881 8.44	0.262 8	229.5 0
14	Maschio (P)	Primo piano	3 - 4	541.7	290.0	40.0	21785	-	23646 0	0.092 1	1.16 = 0.004 0*H	Taglio	-	-7106 7.41	0.309 2	237.0 0
15	Maschio (P)	Primo piano	8 - 6	250.1	260.0	40.0	1448	-	10321	0.140	1.56 =	Flessione	-	-7106	0.309	237.0

		piano								3	0.006 0*H	one		7.41	2	0
16	Maschio (P)	Sottot etto	9 - 2	90.0	250.0	36.0	1151	-	6152	0.187 2	1.50 = 0.006 0*H	Flessi one	-	-7181 7.06	0.334 4	239.5 0
17	Maschio (P)	Sottot etto	8 - 6	255.1	250.0	30.0	956	-	5154	0.185 5	1.50 = 0.006 0*H	Flessi one	-	-7181 7.06	0.334 4	239.5 0
18	Maschio (P)	Sottot etto	7 - 8	359.9	280.0	30.0	1051	-	5228	0.201 0	1.68 = 0.006 0*H	Flessi one	-	-7241 6.79	0.356 4	241.5 0
19	Maschio (P)	Sottot etto	1 - 9	70.0	280.0	36.0	709	-	3454	0.205 3	1.68 = 0.006 0*H	Flessi one	-	-7256 6.72	0.362 6	242.0 0
20	Maschio (P)	Sottot etto	9 - 2	44.2	250.0	36.0	596	-	3018	0.197 6	1.50 = 0.006 0*H	Flessi one	-	-7256 6.72	0.362 6	242.0 0
21	Maschio (P)	Sottot etto	1 - 9	170.7	280.0	36.0	1871	-	8426	0.222 1	1.68 = 0.006 0*H	Flessi one	-	-7331 6.37	0.396 4	244.5 0
22	Maschio (P)	Sottot etto	2 - 3	215.0	280.0	36.0	2721	-	10610	0.256 4	1.68 = 0.006 0*H	Flessi one	-	-7436 5.89	0.459 8	248.0 0
23	Maschio (P)	Sottot etto	2 - 3	120.0	280.0	36.0	1629	-	5922	0.275 1	1.68 = 0.006 0*H	Flessi one	-	-7466 5.76	0.492 9	249.0 0
24	Maschio (P)	Sottot etto	2 - 3	60.9	280.0	36.0	866	-	3005	0.288 3	1.68 = 0.006 0*H	Flessi one	-	-7481 5.69	0.531 3	249.5 0
25	Maschio (P)	Sottot etto	5 - 6	23.0	280.0	30.0	60	-	200	0.301 6	1.68 = 0.006 0*H	Flessi one	-	-7481 5.69	0.531 3	249.5 0
26	Maschio (C)	Sottot etto	6 - 2	304.0	250.0	36.0	17899	-	25182 8	0.071 1	1.00 = 0.004 0*H	Taglio	-	-7481 5.69	1.000 0	249.5 0

Cond_Y_2(-); E(-); S2(-) : Sisma Y (-); Distribuzione forze: Proporzionale altezze; Eccentricità accidentale (-0.05*Ly); Sisma seconda direzione (-)

Num. Prog.	Tipo Elem.	Imp.	Fili	L [cm]	H [cm]	t [cm]	Vu [daN]	Mu [daNc m]	k [daN/ cm]	δ_0 [cm]	δ_u [cm]	Tipo Rottu ra	θ [rad]	F [daN]	u [cm]	S
1	Maschio (P)	Coper tura quota inf.	9 - 1	375.2	80.0	36.0	1744	-	48648 9	0.003 6	0.48 = 0.006 0*H	Flessi one	-	-2503 8.52	0.067 1	83.50
2	Maschio (P)	Coper tura quota inf.	2 - 9	269.7	80.0	36.0	1959	-	34964 0	0.005 6	0.48 = 0.006 0*H	Flessi one	-	-3343 4.67	0.089 8	111.5 0
3	Maschio (P)	Sottot etto	4 - 5	643.9	280.0	30.0	0	-	9355	0.000 0	1.12 = 0.004 0*H	Taglio	-	-4677 8.55	0.126 1	156.0 0
4	Maschio (P)	Coper tura quota inf.	3 - 2	635.9	100.0	36.0	0	-	49765 8	0.000 0	0.40 = 0.004 0*H	Taglio	-	-4917 7.45	0.132 9	164.0 0
5	Maschio (P)	Primo piano	4 - 5	628.4	290.0	40.0	0	-	18984	0.000 0	1.16 = 0.004 0*H	Taglio	-	-5157 6.35	0.140 0	172.0 0
6	Maschio (P)	Coper tura quota inf.	6 - 2	55.0	94.0	36.0	697	-	65628	0.010 6	0.56 = 0.006 0*H	Flessi one	-	-5247 5.93	0.142 8	175.0 0
7	Maschio (P)	Sottot etto	6 - 2	304.0	250.0	36.0	17920	-	25182 8	0.071 2	1.00 = 0.004 0*H	Taglio	-	-6207 1.53	0.172 6	207.0 0
8	Maschio (P)	Sottot etto	7 - 1	467.0	280.0	30.0	11116	-	15543 4	0.071 5	1.12 = 0.004 0*H	Taglio	-	-6282 1.19	0.175 4	209.5 0
9	Maschio (P)	Sottot etto	3 - 4	561.8	280.0	30.0	14276	-	19237 7	0.074 2	1.12 = 0.004 0*H	Taglio	-	-6312 1.05	0.177 0	210.5 0
10	Maschio (P)	Primo piano	6 - 2	334.0	260.0	46.0	28047	-	34562 0	0.081 2	1.04 = 0.004 0*H	Taglio	-	-6387 0.71	0.188 7	213.0 0

11	Maschio (P)	Primo piano	7 - 1	447.0	290.0	40.0	16314	-	188604	0.0865	1.16 = 0.0040*H	Taglio	-	-65819.81	0.2204	219.50
12	Maschio (P)	Primo piano	3 - 4	541.7	290.0	40.0	20318	-	236460	0.0859	1.16 = 0.0040*H	Taglio	-	-66569.47	0.2340	222.00
13	Maschio (P)	Sottotetto	6 - 2	55.0	250.0	36.0	1101	-	8031	0.1371	1.50 = 0.0060*H	Flessione	-	-67768.92	0.2676	226.00
14	Maschio (P)	Sottotetto	9 - 2	90.0	250.0	36.0	1180	-	6152	0.1918	1.50 = 0.0060*H	Flessione	-	-71517.20	0.3794	238.50
15	Maschio (P)	Primo piano	8 - 6	250.1	260.0	40.0	1603	-	10321	0.1554	1.56 = 0.0060*H	Flessione	-	-71667.13	0.3841	239.00
16	Maschio (P)	Sottotetto	9 - 2	44.2	250.0	36.0	591	-	3018	0.1957	1.50 = 0.0060*H	Flessione	-	-71667.13	0.3841	239.00
17	Maschio (P)	Sottotetto	8 - 6	255.1	250.0	30.0	1004	-	5154	0.1948	1.50 = 0.0060*H	Flessione	-	-71667.13	0.3841	239.00
18	Maschio (P)	Primo piano	7 - 8	349.7	290.0	40.0	0	-	10563	0.0000	1.16 = 0.0040*H	Taglio	-	-73316.37	0.4429	244.50
19	Maschio (P)	Sottotetto	7 - 8	359.9	280.0	30.0	1196	-	5228	0.2287	1.68 = 0.0060*H	Flessione	-	-73616.24	0.4544	245.50
20	Maschio (P)	Sottotetto	1 - 9	70.0	280.0	36.0	792	-	3454	0.2294	1.68 = 0.0060*H	Flessione	-	-73766.17	0.4610	246.00
21	Maschio (P)	Sottotetto	1 - 9	170.7	280.0	36.0	1985	-	8426	0.2355	1.68 = 0.0060*H	Flessione	-	-73916.10	0.4679	246.50
22	Maschio (P)	Sottotetto	2 - 3	215.0	280.0	36.0	2633	-	10610	0.2481	1.68 = 0.0060*H	Flessione	-	-74066.03	0.4771	247.00
23	Maschio (P)	Sottotetto	2 - 3	120.0	280.0	36.0	1511	-	5922	0.2552	1.68 = 0.0060*H	Flessione	-	-74215.96	0.4938	247.50
24	Maschio (P)	Sottotetto	2 - 3	60.9	280.0	36.0	782	-	3005	0.2602	1.68 = 0.0060*H	Flessione	-	-74215.96	0.4938	247.50
25	Maschio (P)	Sottotetto	5 - 6	23.0	280.0	30.0	62	-	200	0.3088	1.68 = 0.0060*H	Flessione	-	-74365.89	0.4938	248.00
26	Maschio (C)	Sottotetto	6 - 2	304.0	250.0	36.0	17920	-	251828	0.0712	1.00 = 0.0040*H	Taglio	-	-74365.89	1.0289	248.00

4.3.4 Sistema bi-lineare equivalente.

T^* : periodo elastico del sistema bi-lineare equivalente
 k^* : rigidezza secante del sistema bi-lineare equivalente
 m^* : massa partecipante del sistema bi-lineare equivalente
 m : massa della struttura.
 $\% m_1$: percentuale massa partecipante della prima forma modale.
 F_y^* : forza di snervamento del sistema bi-lineare equivalente
 d_y^* : spostamento elastico del sistema bi-lineare equivalente
 d_u^* : spostamento ultimo del sistema bi-lineare equivalente
 Cond_X_1(+); E(+); S2(+) : Sisma X (+); Distribuzione forze: Proporzionale masse; Eccentricità accidentale (+ 0.05*Ly); Sisma seconda direzione (+)
 Cond_X_1(+); E(+); S2(-) : Sisma X (+); Distribuzione forze: Proporzionale masse; Eccentricità accidentale (+ 0.05*Ly); Sisma seconda direzione (-)
 Cond_X_1(+); E(-); S2(+) : Sisma X (+); Distribuzione forze: Proporzionale masse; Eccentricità accidentale (- 0.05*Ly); Sisma seconda direzione (+)
 Cond_X_1(+); E(-); S2(-) : Sisma X (+); Distribuzione forze: Proporzionale masse; Eccentricità accidentale (- 0.05*Ly); Sisma seconda direzione (-)
 Cond_X_1(-); E(+); S2(+) : Sisma X (-); Distribuzione forze: Proporzionale masse; Eccentricità accidentale (+ 0.05*Ly); Sisma seconda direzione (+)

Cond_X_1(-); E(+); S2(-) : Sisma X (-); Distribuzione forze: Proporzionale masse; Eccentricità accidentale (+ 0.05*Ly); Sisma seconda direzione (-)
 Cond_X_1(-); E(-); S2(+) : Sisma X (-); Distribuzione forze: Proporzionale masse; Eccentricità accidentale (- 0.05*Ly); Sisma seconda direzione (+)
 Cond_X_1(-); E(-); S2(-) : Sisma X (-); Distribuzione forze: Proporzionale masse; Eccentricità accidentale (- 0.05*Ly); Sisma seconda direzione (-)
 Cond_X_2(+); E(+); S2(+) : Sisma X (+); Distribuzione forze: Proporzionale altezze; Eccentricità accidentale (+ 0.05*Ly); Sisma seconda direzione (+)
 Cond_X_2(+); E(+); S2(-) : Sisma X (+); Distribuzione forze: Proporzionale altezze; Eccentricità accidentale (+ 0.05*Ly); Sisma seconda direzione (-)
 Cond_X_2(+); E(-); S2(+) : Sisma X (+); Distribuzione forze: Proporzionale altezze; Eccentricità accidentale (- 0.05*Ly); Sisma seconda direzione (+)
 Cond_X_2(+); E(-); S2(-) : Sisma X (+); Distribuzione forze: Proporzionale altezze; Eccentricità accidentale (- 0.05*Ly); Sisma seconda direzione (-)
 Cond_X_2(-); E(+); S2(+) : Sisma X (-); Distribuzione forze: Proporzionale altezze; Eccentricità accidentale (+ 0.05*Ly); Sisma seconda direzione (+)
 Cond_X_2(-); E(+); S2(-) : Sisma X (-); Distribuzione forze: Proporzionale altezze; Eccentricità accidentale (+ 0.05*Ly); Sisma seconda direzione (-)
 Cond_X_2(-); E(-); S2(+) : Sisma X (-); Distribuzione forze: Proporzionale altezze; Eccentricità accidentale (- 0.05*Ly); Sisma seconda direzione (+)
 Cond_X_2(-); E(-); S2(-) : Sisma X (-); Distribuzione forze: Proporzionale altezze; Eccentricità accidentale (- 0.05*Ly); Sisma seconda direzione (-)
 Cond_Y_1(+); E(+); S2(+) : Sisma Y (+); Distribuzione forze: Proporzionale masse; Eccentricità accidentale (+ 0.05*Ly); Sisma seconda direzione (+)
 Cond_Y_1(+); E(+); S2(-) : Sisma Y (+); Distribuzione forze: Proporzionale masse; Eccentricità accidentale (+ 0.05*Ly); Sisma seconda direzione (-)
 Cond_Y_1(+); E(-); S2(+) : Sisma Y (+); Distribuzione forze: Proporzionale masse; Eccentricità accidentale (- 0.05*Ly); Sisma seconda direzione (+)
 Cond_Y_1(+); E(-); S2(-) : Sisma Y (+); Distribuzione forze: Proporzionale masse; Eccentricità accidentale (- 0.05*Ly); Sisma seconda direzione (-)
 Cond_Y_1(-); E(+); S2(+) : Sisma Y (-); Distribuzione forze: Proporzionale masse; Eccentricità accidentale (+ 0.05*Ly); Sisma seconda direzione (+)
 Cond_Y_1(-); E(+); S2(-) : Sisma Y (-); Distribuzione forze: Proporzionale masse; Eccentricità accidentale (+ 0.05*Ly); Sisma seconda direzione (-)
 Cond_Y_1(-); E(-); S2(+) : Sisma Y (-); Distribuzione forze: Proporzionale masse; Eccentricità accidentale (- 0.05*Ly); Sisma seconda direzione (+)
 Cond_Y_1(-); E(-); S2(-) : Sisma Y (-); Distribuzione forze: Proporzionale masse; Eccentricità accidentale (- 0.05*Ly); Sisma seconda direzione (-)
 Cond_Y_2(+); E(+); S2(+) : Sisma Y (+); Distribuzione forze: Proporzionale altezze; Eccentricità accidentale (+ 0.05*Ly); Sisma seconda direzione (+)
 Cond_Y_2(+); E(+); S2(-) : Sisma Y (+); Distribuzione forze: Proporzionale altezze; Eccentricità accidentale (+ 0.05*Ly); Sisma seconda direzione (-)
 Cond_Y_2(+); E(-); S2(+) : Sisma Y (+); Distribuzione forze: Proporzionale altezze; Eccentricità accidentale (- 0.05*Ly); Sisma seconda direzione (+)
 Cond_Y_2(+); E(-); S2(-) : Sisma Y (+); Distribuzione forze: Proporzionale altezze; Eccentricità accidentale (- 0.05*Ly); Sisma seconda direzione (-)
 Cond_Y_2(-); E(+); S2(+) : Sisma Y (-); Distribuzione forze: Proporzionale altezze; Eccentricità accidentale (+ 0.05*Ly); Sisma seconda direzione (+)
 Cond_Y_2(-); E(+); S2(-) : Sisma Y (-); Distribuzione forze: Proporzionale altezze; Eccentricità accidentale (+ 0.05*Ly); Sisma seconda direzione (-)
 Cond_Y_2(-); E(-); S2(+) : Sisma Y (-); Distribuzione forze: Proporzionale altezze; Eccentricità accidentale (- 0.05*Ly); Sisma seconda direzione (+)
 Cond_Y_2(-); E(-); S2(-) : Sisma Y (-); Distribuzione forze: Proporzionale altezze; Eccentricità accidentale (- 0.05*Ly); Sisma seconda direzione (-)

	T* [sec]	k* [daN/cm]	m* [daNm]	m [daNm]	% m1	F* _v [daN]	d* _v [cm]	d* _a [cm]
Cond_X_1(+); E(+); S2(+)	0.1509	451668.59	260.50	352.2	90.22	69368.53	0.1536	0.8920
Cond_X_1(+); E(+); S2(-)	0.1486	465054.81	260.18	352.2	91.50	68975.20	0.1483	0.8883
Cond_X_1(+); E(-); S2(+)	0.1515	448205.91	260.49	352.2	90.07	69340.80	0.1547	0.8921
Cond_X_1(+); E(-); S2(-)	0.1485	465560.22	260.12	352.2	91.39	68955.27	0.1481	0.8878

E(-); S2(-)								
Cond_X_1(-); E(+); S2(+)	0.1487	464396.88	260.04	352.2	91.26	68910.55	0.1484	0.8881
Cond_X_1(-); E(+); S2(-)	0.1499	459341.13	261.27	352.2	92.21	69721.77	0.1518	0.8905
Cond_X_1(-); E(-); S2(+)	0.1486	464386.75	259.85	352.2	90.99	68976.65	0.1485	0.8880
Cond_X_1(-); E(-); S2(-)	0.1503	456594.56	261.22	352.2	92.11	69692.76	0.1526	0.8905
Cond_X_2(+); E(+); S2(+)	0.1640	382350.69	260.50	352.2	90.22	67851.47	0.1775	0.8146
Cond_X_2(+); E(+); S2(-)	0.1606	397988.69	260.18	352.2	91.50	68479.17	0.1721	1.0474
Cond_X_2(+); E(-); S2(+)	0.1646	379469.59	260.49	352.2	90.07	67796.78	0.1787	0.8145
Cond_X_2(+); E(-); S2(-)	0.1605	398648.16	260.12	352.2	91.39	68460.75	0.1717	1.0465
Cond_X_2(-); E(+); S2(+)	0.1607	397323.06	260.04	352.2	91.26	68478.88	0.1724	1.0362
Cond_X_2(-); E(+); S2(-)	0.1625	390845.63	261.27	352.2	92.21	68725.96	0.1758	0.8134
Cond_X_2(-); E(-); S2(+)	0.1607	397451.16	259.85	352.2	90.99	68536.88	0.1724	1.0565
Cond_X_2(-); E(-); S2(-)	0.1629	388416.84	261.22	352.2	92.11	68424.52	0.1762	0.8132
Cond_Y_1(+); E(+); S2(+)	0.1488	416082.69	233.26	352.2	89.49	58996.47	0.1418	0.8446
Cond_Y_1(+); E(+); S2(-)	0.1492	425094.84	239.76	352.2	89.49	61600.70	0.1449	0.8667
Cond_Y_1(+); E(-); S2(+)	0.1485	449578.09	251.19	352.2	89.49	63152.37	0.1405	0.8686
Cond_Y_1(+); E(-); S2(-)	0.1491	456876.41	257.18	352.2	89.49	65258.03	0.1428	0.8861
Cond_Y_1(-); E(+); S2(+)	0.1491	426080.88	239.90	352.2	89.49	61126.08	0.1435	0.8551
Cond_Y_1(-); E(+); S2(-)	0.1486	417243.81	233.39	352.2	89.49	58788.21	0.1409	0.8607
Cond_Y_1(-); E(-); S2(+)	0.1489	458270.94	257.30	352.2	89.49	64813.70	0.1414	0.8750
Cond_Y_1(-); E(-); S2(-)	0.1483	451127.41	251.35	352.2	89.49	63102.63	0.1399	0.8803
Cond_Y_2(+); E(+); S2(+)	0.1641	341995.13	233.26	352.2	89.49	53202.32	0.1556	0.7826
Cond_Y_2(+); E(+); S2(-)	0.1654	345866.72	239.76	352.2	89.49	55732.14	0.1611	0.8074
Cond_Y_2(+); E(-); S2(+)	0.1642	367838.41	251.19	352.2	89.49	57062.97	0.1551	0.7973
Cond_Y_2(+); E(-); S2(-)	0.1653	371579.53	257.18	352.2	89.49	59177.03	0.1593	0.8189
Cond_Y_2(-); E(+); S2(+)	0.1634	354696.59	239.90	352.2	89.49	55338.58	0.1560	0.7941
Cond_Y_2(-); E(+); S2(-)	0.1632	345992.56	233.39	352.2	89.49	53197.35	0.1538	0.7954
Cond_Y_2(-); E(-); S2(+)	0.1636	379293.56	257.30	352.2	89.49	59025.62	0.1556	0.8054
Cond_Y_2(-); E(-); S2(-)	0.1635	371199.22	251.35	352.2	89.49	57254.98	0.1542	0.8116

4.4 Verifiche.

4.4.1 Verifiche calcolo globale della struttura agli SLU.

F_{max} : valore massimo della forza orizzontale applicata sulla struttura (Taglio alla base della struttura);
 $u_{max,C}$: spostamento massimo raggiunto dal punto di controllo;
 Γ : coefficiente di partecipazione;
 F_{max}^* : F_{max} / Γ ;
 u_{max}^* : u_{max} / Γ ;
 q^* : fattore di comportamento ($q^* = m^* S_e(T^*) / F^*y$);
 u_{max} : capacità di spostamento della struttura;
 d_{max} : spostamento richiesto del punto di controllo della struttura;

S : Coefficiente di sicurezza;

Esito : V : Verificato

: NV : Non Verificato;

Cond_X_1(+); E(+); S2(+): Sisma X (+); Distribuzione forze: Proporzionale masse; Eccentricità accidentale (+ 0.05*Ly); Sisma seconda direzione (+)
 Cond_X_1(+); E(+); S2(-): Sisma X (+); Distribuzione forze: Proporzionale masse; Eccentricità accidentale (+ 0.05*Ly); Sisma seconda direzione (-)
 Cond_X_1(+); E(-); S2(+): Sisma X (+); Distribuzione forze: Proporzionale masse; Eccentricità accidentale (- 0.05*Ly); Sisma seconda direzione (+)
 Cond_X_1(+); E(-); S2(-): Sisma X (+); Distribuzione forze: Proporzionale masse; Eccentricità accidentale (- 0.05*Ly); Sisma seconda direzione (-)
 Cond_X_1(-); E(+); S2(+): Sisma X (-); Distribuzione forze: Proporzionale masse; Eccentricità accidentale (+ 0.05*Ly); Sisma seconda direzione (+)
 Cond_X_1(-); E(+); S2(-): Sisma X (-); Distribuzione forze: Proporzionale masse; Eccentricità accidentale (+ 0.05*Ly); Sisma seconda direzione (-)
 Cond_X_1(-); E(-); S2(+): Sisma X (-); Distribuzione forze: Proporzionale masse; Eccentricità accidentale (- 0.05*Ly); Sisma seconda direzione (+)
 Cond_X_1(-); E(-); S2(-): Sisma X (-); Distribuzione forze: Proporzionale masse; Eccentricità accidentale (- 0.05*Ly); Sisma seconda direzione (-)
 Cond_X_2(+); E(+); S2(+): Sisma X (+); Distribuzione forze: Proporzionale altezze; Eccentricità accidentale (+ 0.05*Ly); Sisma seconda direzione (+)
 Cond_X_2(+); E(+); S2(-): Sisma X (+); Distribuzione forze: Proporzionale altezze; Eccentricità accidentale (+ 0.05*Ly); Sisma seconda direzione (-)
 Cond_X_2(+); E(-); S2(+): Sisma X (+); Distribuzione forze: Proporzionale altezze; Eccentricità accidentale (- 0.05*Ly); Sisma seconda direzione (+)
 Cond_X_2(+); E(-); S2(-): Sisma X (+); Distribuzione forze: Proporzionale altezze; Eccentricità accidentale (- 0.05*Ly); Sisma seconda direzione (-)
 Cond_X_2(-); E(+); S2(+): Sisma X (-); Distribuzione forze: Proporzionale altezze; Eccentricità accidentale (+ 0.05*Ly); Sisma seconda direzione (+)
 Cond_X_2(-); E(+); S2(-): Sisma X (-); Distribuzione forze: Proporzionale altezze; Eccentricità accidentale (+ 0.05*Ly); Sisma seconda direzione (-)
 Cond_X_2(-); E(-); S2(+): Sisma X (-); Distribuzione forze: Proporzionale altezze; Eccentricità accidentale (- 0.05*Ly); Sisma seconda direzione (+)
 Cond_X_2(-); E(-); S2(-): Sisma X (-); Distribuzione forze: Proporzionale altezze; Eccentricità accidentale (- 0.05*Ly); Sisma seconda direzione (-)
 Cond_Y_1(+); E(+); S2(+): Sisma Y (+); Distribuzione forze: Proporzionale masse; Eccentricità accidentale (+ 0.05*Ly); Sisma seconda direzione (+)
 Cond_Y_1(+); E(+); S2(-): Sisma Y (+); Distribuzione forze: Proporzionale masse; Eccentricità accidentale (+ 0.05*Ly); Sisma seconda direzione (-)
 Cond_Y_1(+); E(-); S2(+): Sisma Y (+); Distribuzione forze: Proporzionale masse; Eccentricità accidentale (- 0.05*Ly); Sisma seconda direzione (+)
 Cond_Y_1(+); E(-); S2(-): Sisma Y (+); Distribuzione forze: Proporzionale masse; Eccentricità accidentale (- 0.05*Ly); Sisma seconda direzione (-)
 Cond_Y_1(-); E(+); S2(+): Sisma Y (-); Distribuzione forze: Proporzionale masse; Eccentricità accidentale (+ 0.05*Ly); Sisma seconda direzione (+)
 Cond_Y_1(-); E(+); S2(-): Sisma Y (-); Distribuzione forze: Proporzionale masse; Eccentricità accidentale (+ 0.05*Ly); Sisma seconda direzione (-)
 Cond_Y_1(-); E(-); S2(+): Sisma Y (-); Distribuzione forze: Proporzionale masse; Eccentricità accidentale (- 0.05*Ly); Sisma seconda direzione (+)
 Cond_Y_1(-); E(-); S2(-): Sisma Y (-); Distribuzione forze: Proporzionale masse; Eccentricità accidentale (- 0.05*Ly); Sisma seconda direzione (-)
 Cond_Y_2(+); E(+); S2(+): Sisma Y (+); Distribuzione forze: Proporzionale altezze; Eccentricità accidentale (+ 0.05*Ly); Sisma seconda direzione (+)
 Cond_Y_2(+); E(+); S2(-): Sisma Y (+); Distribuzione forze: Proporzionale altezze; Eccentricità accidentale (+ 0.05*Ly); Sisma seconda direzione (-)
 Cond_Y_2(+); E(-); S2(+): Sisma Y (+); Distribuzione forze: Proporzionale altezze; Eccentricità accidentale (- 0.05*Ly); Sisma seconda direzione (+)
 Cond_Y_2(+); E(-); S2(-): Sisma Y (+); Distribuzione forze: Proporzionale altezze; Eccentricità accidentale (- 0.05*Ly); Sisma seconda direzione (-)
 Cond_Y_2(-); E(+); S2(+): Sisma Y (-); Distribuzione forze: Proporzionale altezze; Eccentricità accidentale (+ 0.05*Ly); Sisma seconda direzione (+)

Cond_Y_2(-); E(+); S2(-) : Sisma Y (-); Distribuzione forze: Proporzionale altezze; Eccentricità accidentale (+ 0.05*Ly); Sisma seconda direzione (-)
 Cond_Y_2(-); E(-); S2(+) : Sisma Y (-); Distribuzione forze: Proporzionale altezze; Eccentricità accidentale (- 0.05*Ly); Sisma seconda direzione (+)
 Cond_Y_2(-); E(-); S2(-) : Sisma Y (-); Distribuzione forze: Proporzionale altezze; Eccentricità accidentale (- 0.05*Ly); Sisma seconda direzione (-)

	F _{max} [daN]	u _{max,C} [cm]	Γ	F* _{max} [daN]	u* _{max} [cm]	q*	u _{max} [cm]	d _{max} [cm]	S	Esito
Cond_X_1(+); E(+); S2(+)	87710	1.1145	1.2494	70199	0.8920	1.1854	1.1145	0.3119	3.57	V
Cond_X_1(+); E(+); S2(-)	87560	1.1115	1.2513	69974	0.8883	1.1802	1.1115	0.3001	3.70	V
Cond_X_1(+); E(-); S2(+)	87710	1.1151	1.2499	70173	0.8921	1.1885	1.1151	0.3159	3.53	V
Cond_X_1(+); E(-); S2(-)	87560	1.1114	1.2519	69940	0.8878	1.1798	1.1114	0.2997	3.71	V
Cond_X_1(-); E(+); S2(+)	87110	1.1114	1.2515	69607	0.8881	1.1809	1.1114	0.3007	3.70	V
Cond_X_1(-); E(+); S2(-)	88010	1.1119	1.2487	70483	0.8905	1.1781	1.1119	0.3042	3.66	V
Cond_X_1(-); E(-); S2(+)	87260	1.1119	1.2522	69684	0.8880	1.1787	1.1119	0.2998	3.71	V
Cond_X_1(-); E(-); S2(-)	88010	1.1124	1.2493	70449	0.8905	1.1804	1.1124	0.3072	3.62	V
Cond_X_2(+); E(+); S2(+)	86660	1.0178	1.2494	69359	0.8146	1.2735	1.0178	0.4100	2.48	V
Cond_X_2(+); E(+); S2(-)	87260	1.3106	1.2513	69734	1.0474	1.2447	1.3106	0.3822	3.43	V
Cond_X_2(+); E(-); S2(+)	86660	1.0181	1.2499	69333	0.8145	1.2775	1.0181	0.4149	2.45	V
Cond_X_2(+); E(-); S2(-)	87260	1.3101	1.2519	69700	1.0465	1.2441	1.3101	0.3814	3.43	V
Cond_X_2(-); E(+); S2(+)	86960	1.2968	1.2515	69487	1.0362	1.2445	1.2968	0.3827	3.39	V
Cond_X_2(-); E(+); S2(-)	87710	1.0157	1.2487	70243	0.8134	1.2538	1.0157	0.3942	2.58	V
Cond_X_2(-); E(-); S2(+)	87110	1.3230	1.2522	69564	1.0565	1.2421	1.3230	0.3816	3.47	V
Cond_X_2(-); E(-); S2(-)	87260	1.0160	1.2493	69849	0.8132	1.2614	1.0160	0.3998	2.54	V
Cond_Y_1(+); E(+); S2(+)	80963	1.1449	1.3556	59724	0.8446	1.2378	1.1449	0.3486	3.28	V
Cond_Y_1(+); E(+); S2(-)	82762	1.1468	1.3231	62553	0.8667	1.2206	1.1468	0.3360	3.41	V
Cond_Y_1(+); E(-); S2(+)	80813	1.1017	1.2684	63713	0.8686	1.2440	1.1017	0.3272	3.37	V
Cond_Y_1(+); E(-); S2(-)	82012	1.1007	1.2421	66027	0.8861	1.2352	1.1007	0.3199	3.44	V
Cond_Y_1(-); E(+); S2(+)	82462	1.1308	1.3225	62353	0.8551	1.2302	1.1308	0.3389	3.34	V
Cond_Y_1(-); E(+); S2(-)	81713	1.1663	1.3551	60302	0.8607	1.2420	1.1663	0.3492	3.34	V
Cond_Y_1(-); E(-); S2(+)	81862	1.0865	1.2417	65929	0.8750	1.2434	1.0865	0.3217	3.38	V
Cond_Y_1(-); E(-); S2(-)	81563	1.1160	1.2678	64336	0.8803	1.2447	1.1160	0.3263	3.42	V
Cond_Y_2(+); E(+); S2(+)	73017	1.0610	1.3556	53863	0.7826	1.4548	1.0610	0.5084	2.09	V
Cond_Y_2(+); E(+); S2(-)	74966	1.0683	1.3231	56660	0.8074	1.4346	1.0683	0.4983	2.14	V
Cond_Y_2(+); E(-); S2(+)	73017	1.0113	1.2684	57567	0.7973	1.4612	1.0113	0.4781	2.12	V
Cond_Y_2(+); E(-); S2(-)	74366	1.0172	1.2421	59871	0.8189	1.4485	1.0172	0.4710	2.16	V
Cond_Y_2(-); E(+); S2(+)	74966	1.0501	1.3225	56685	0.7941	1.4349	1.0501	0.4858	2.16	V
Cond_Y_2(-); E(+); S2(-)	74516	1.0778	1.3551	54991	0.7954	1.4509	1.0778	0.5014	2.15	V
Cond_Y_2(-); E(-); S2(+)	74816	1.0000	1.2417	60254	0.8054	1.4441	1.0000	0.4601	2.17	V
Cond_Y_2(-); E(-); S2(-)	74216	1.0289	1.2678	58541	0.8116	1.4535	1.0289	0.4716	2.18	V

4.4.2 Verifiche calcolo globale della struttura agli SLD.

F_{max} : valore massimo della forza orizzontale applicata sulla struttura (Taglio alla base della struttura)
 $u_{max,C}$: spostamento massimo raggiunto dal punto di controllo
 Γ : coefficiente di partecipazione
 F_{max}^* : F_{max} / Γ ;
 u_{max}^* : u_{max} / Γ ;
 u_{max} : capacità di spostamento della struttura;
 d_{max} : spostamento richiesto del punto di controllo della struttura;
 S : coefficiente di sicurezza
 Esito : V : Verificato
 : NV : Non Verificato

Cond_X_1(+); E(+); S2(+) : Sisma X (+); Distribuzione forze: Proporzionale masse; Eccentricità accidentale (+ 0.05*Ly); Sisma seconda direzione (+)
 Cond_X_1(+); E(+); S2(-) : Sisma X (+); Distribuzione forze: Proporzionale masse; Eccentricità accidentale (+ 0.05*Ly); Sisma seconda direzione (-)
 Cond_X_1(+); E(-); S2(+) : Sisma X (+); Distribuzione forze: Proporzionale masse; Eccentricità accidentale (- 0.05*Ly); Sisma seconda direzione (+)
 Cond_X_1(+); E(-); S2(-) : Sisma X (+); Distribuzione forze: Proporzionale masse; Eccentricità accidentale (- 0.05*Ly); Sisma seconda direzione (-)
 Cond_X_1(-); E(+); S2(+) : Sisma X (-); Distribuzione forze: Proporzionale masse; Eccentricità accidentale (+ 0.05*Ly); Sisma seconda direzione (+)
 Cond_X_1(-); E(+); S2(-) : Sisma X (-); Distribuzione forze: Proporzionale masse; Eccentricità accidentale (+ 0.05*Ly); Sisma seconda direzione (-)
 Cond_X_1(-); E(-); S2(+) : Sisma X (-); Distribuzione forze: Proporzionale masse; Eccentricità accidentale (- 0.05*Ly); Sisma seconda direzione (+)
 Cond_X_1(-); E(-); S2(-) : Sisma X (-); Distribuzione forze: Proporzionale masse; Eccentricità accidentale (- 0.05*Ly); Sisma seconda direzione (-)
 Cond_X_2(+); E(+); S2(+) : Sisma X (+); Distribuzione forze: Proporzionale altezze; Eccentricità accidentale (+ 0.05*Ly); Sisma seconda direzione (+)
 Cond_X_2(+); E(+); S2(-) : Sisma X (+); Distribuzione forze: Proporzionale altezze; Eccentricità accidentale (+ 0.05*Ly); Sisma seconda direzione (-)
 Cond_X_2(+); E(-); S2(+) : Sisma X (+); Distribuzione forze: Proporzionale altezze; Eccentricità accidentale (- 0.05*Ly); Sisma seconda direzione (+)
 Cond_X_2(+); E(-); S2(-) : Sisma X (+); Distribuzione forze: Proporzionale altezze; Eccentricità accidentale (- 0.05*Ly); Sisma seconda direzione (-)
 Cond_X_2(-); E(+); S2(+) : Sisma X (-); Distribuzione forze: Proporzionale altezze; Eccentricità accidentale (+ 0.05*Ly); Sisma seconda direzione (+)
 Cond_X_2(-); E(+); S2(-) : Sisma X (-); Distribuzione forze: Proporzionale altezze; Eccentricità accidentale (+ 0.05*Ly); Sisma seconda direzione (-)
 Cond_X_2(-); E(-); S2(+) : Sisma X (-); Distribuzione forze: Proporzionale altezze; Eccentricità accidentale (- 0.05*Ly); Sisma seconda direzione (+)
 Cond_X_2(-); E(-); S2(-) : Sisma X (-); Distribuzione forze: Proporzionale altezze; Eccentricità accidentale (- 0.05*Ly); Sisma seconda direzione (-)
 Cond_Y_1(+); E(+); S2(+) : Sisma Y (+); Distribuzione forze: Proporzionale masse; Eccentricità accidentale (+ 0.05*Ly); Sisma seconda direzione (+)
 Cond_Y_1(+); E(+); S2(-) : Sisma Y (+); Distribuzione forze: Proporzionale masse; Eccentricità accidentale (+ 0.05*Ly); Sisma seconda direzione (-)
 Cond_Y_1(+); E(-); S2(+) : Sisma Y (+); Distribuzione forze: Proporzionale masse; Eccentricità accidentale (- 0.05*Ly); Sisma seconda direzione (+)
 Cond_Y_1(+); E(-); S2(-) : Sisma Y (+); Distribuzione forze: Proporzionale masse; Eccentricità accidentale (- 0.05*Ly); Sisma seconda direzione (-)
 Cond_Y_1(-); E(+); S2(+) : Sisma Y (-); Distribuzione forze: Proporzionale masse; Eccentricità accidentale (+ 0.05*Ly); Sisma seconda direzione (+)
 Cond_Y_1(-); E(+); S2(-) : Sisma Y (-); Distribuzione forze: Proporzionale masse; Eccentricità accidentale (+ 0.05*Ly); Sisma seconda direzione (-)
 Cond_Y_1(-); E(-); S2(+) : Sisma Y (-); Distribuzione forze: Proporzionale masse; Eccentricità accidentale (- 0.05*Ly); Sisma seconda direzione (+)
 Cond_Y_1(-); E(-); S2(-) : Sisma Y (-); Distribuzione forze: Proporzionale masse; Eccentricità accidentale (- 0.05*Ly); Sisma seconda direzione (-)

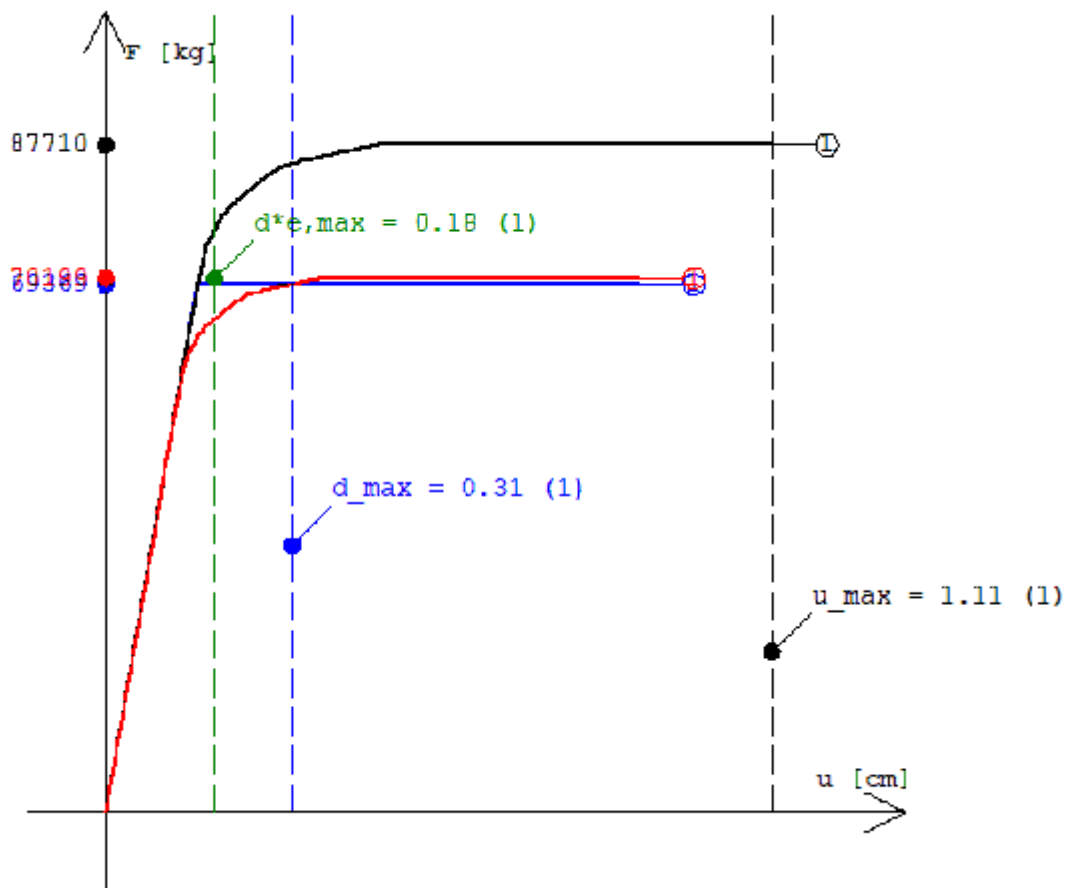
Cond_Y_1(-); E(-); S2(-) : Sisma Y (-); Distribuzione forze: Proporzionale masse; Eccentricità accidentale (- 0.05*Ly);
 Sisma seconda direzione (-)
 Cond_Y_2(+); E(+); S2(+) : Sisma Y (+); Distribuzione forze: Proporzionale altezze; Eccentricità accidentale (+ 0.05*Ly);
 Sisma seconda direzione (+)
 Cond_Y_2(+); E(+); S2(-) : Sisma Y (+); Distribuzione forze: Proporzionale altezze; Eccentricità accidentale (+ 0.05*Ly);
 Sisma seconda direzione (-)
 Cond_Y_2(+); E(-); S2(+) : Sisma Y (+); Distribuzione forze: Proporzionale altezze; Eccentricità accidentale (- 0.05*Ly);
 Sisma seconda direzione (+)
 Cond_Y_2(+); E(-); S2(-) : Sisma Y (+); Distribuzione forze: Proporzionale altezze; Eccentricità accidentale (- 0.05*Ly);
 Sisma seconda direzione (-)
 Cond_Y_2(-); E(+); S2(+) : Sisma Y (-); Distribuzione forze: Proporzionale altezze; Eccentricità accidentale (+ 0.05*Ly);
 Sisma seconda direzione (+)
 Cond_Y_2(-); E(+); S2(-) : Sisma Y (-); Distribuzione forze: Proporzionale altezze; Eccentricità accidentale (+ 0.05*Ly);
 Sisma seconda direzione (-)
 Cond_Y_2(-); E(-); S2(+) : Sisma Y (-); Distribuzione forze: Proporzionale altezze; Eccentricità accidentale (- 0.05*Ly);
 Sisma seconda direzione (+)
 Cond_Y_2(-); E(-); S2(-) : Sisma Y (-); Distribuzione forze: Proporzionale altezze; Eccentricità accidentale (- 0.05*Ly);
 Sisma seconda direzione (-)

	F_{max} [daN]	u_{max,C} [cm]	Γ	F*_{max} [daN]	u*_{max} [cm]	u_{max} [cm]	d_{max} [cm]	S	Esito
Cond_X_1(+); E(+); S2(+)	87710	1.1145	1.2494	70199	0.8920	0.4535	0.0661	6.86	V
Cond_X_1(+); E(+); S2(-)	87560	1.1115	1.2513	69974	0.8883	0.4571	0.0642	7.12	V
Cond_X_1(+); E(-); S2(+)	87710	1.1151	1.2499	70173	0.8921	0.4558	0.0666	6.84	V
Cond_X_1(+); E(-); S2(-)	87560	1.1114	1.2519	69940	0.8878	0.4563	0.0642	7.11	V
Cond_X_1(-); E(+); S2(+)	87110	1.1114	1.2515	69607	0.8881	0.4162	0.0643	6.47	V
Cond_X_1(-); E(+); S2(-)	88010	1.1119	1.2487	70483	0.8905	0.4166	0.0652	6.39	V
Cond_X_1(-); E(-); S2(+)	87260	1.1119	1.2522	69684	0.8880	0.4199	0.0643	6.53	V
Cond_X_1(-); E(-); S2(-)	88010	1.1124	1.2493	70449	0.8905	0.4188	0.0656	6.39	V
Cond_X_2(+); E(+); S2(+)	86660	1.0178	1.2494	69359	0.8146	0.7080	0.0781	9.07	V
Cond_X_2(+); E(+); S2(-)	87260	1.3106	1.2513	69734	1.0474	0.6728	0.0750	8.97	V
Cond_X_2(+); E(-); S2(+)	86660	1.0181	1.2499	69333	0.8145	0.7187	0.0787	9.13	V
Cond_X_2(+); E(-); S2(-)	87260	1.3101	1.2519	69700	1.0465	0.6716	0.0749	8.96	V
Cond_X_2(-); E(+); S2(+)	86960	1.2968	1.2515	69487	1.0362	0.6177	0.0751	8.22	V
Cond_X_2(-); E(+); S2(-)	87710	1.0157	1.2487	70243	0.8134	0.6910	0.0766	9.02	V
Cond_X_2(-); E(-); S2(+)	87110	1.3230	1.2522	69564	1.0565	0.6425	0.0751	8.55	V
Cond_X_2(-); E(-); S2(-)	87260	1.0160	1.2493	69849	0.8132	0.6579	0.0771	8.54	V
Cond_Y_1(+); E(+); S2(+)	80963	1.1449	1.3556	59724	0.8446	0.5294	0.0697	7.59	V
Cond_Y_1(+); E(+); S2(-)	82762	1.1468	1.3231	62553	0.8667	0.5594	0.0685	8.17	V
Cond_Y_1(+); E(-); S2(+)	80813	1.1017	1.2684	63713	0.8686	0.4350	0.0650	6.69	V
Cond_Y_1(+); E(-); S2(-)	82012	1.1007	1.2421	66027	0.8861	0.4646	0.0641	7.24	V
Cond_Y_1(-); E(+); S2(+)	82462	1.1308	1.3225	62353	0.8551	0.4509	0.0683	6.60	V
Cond_Y_1(-); E(+); S2(-)	81713	1.1663	1.3551	60302	0.8607	0.4952	0.0695	7.12	V
Cond_Y_1(-); E(-); S2(+)	81862	1.0865	1.2417	65929	0.8750	0.4496	0.0640	7.03	V
Cond_Y_1(-); E(-); S2(-)	81563	1.1160	1.2678	64336	0.8803	0.4283	0.0648	6.61	V
Cond_Y_2(+); E(+); S2(+)	73017	1.0610	1.3556	53863	0.7826	0.6076	0.0848	7.16	V
Cond_Y_2(+);	74966	1.0683	1.3231	56660	0.8074	0.6661	0.0841	7.92	V

E(+); S2(-)									
Cond_Y_2(+); E(-); S2(+)	73017	1.0113	1.2684	57567	0.7973	0.5247	0.0795	6.60	V
Cond_Y_2(+); E(-); S2(-)	74366	1.0172	1.2421	59871	0.8189	0.5971	0.0789	7.57	V
Cond_Y_2(-); E(+); S2(+)	74966	1.0501	1.3225	56685	0.7941	0.5524	0.0821	6.73	V
Cond_Y_2(-); E(+); S2(-)	74516	1.0778	1.3551	54991	0.7954	0.5877	0.0839	7.01	V
Cond_Y_2(-); E(-); S2(+)	74816	1.0000	1.2417	60254	0.8054	0.5313	0.0773	6.88	V
Cond_Y_2(-); E(-); S2(-)	74216	1.0289	1.2678	58541	0.8116	0.4938	0.0788	6.27	V

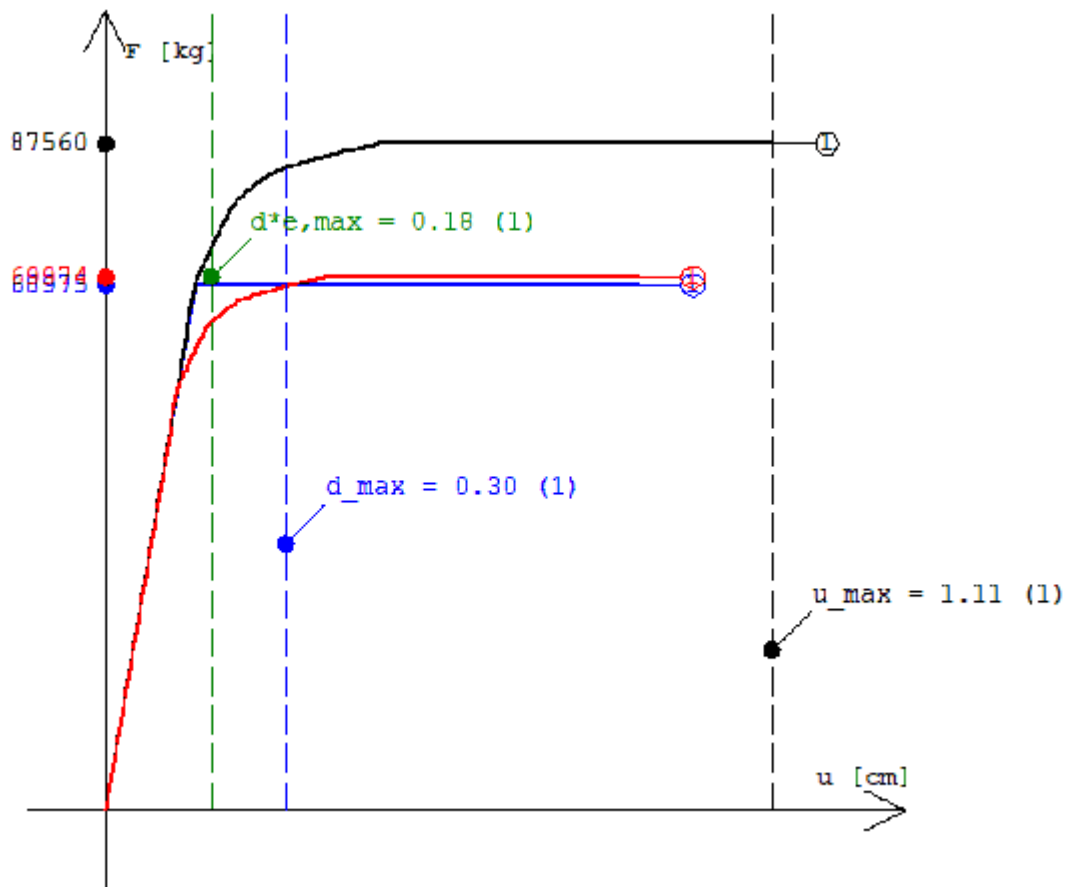
4.4.3 Grafici Analisi non Lineare.

Cond_X_1(+); E(+); S2(+): Sisma X (+); Distribuzione forze: Proporzionale masse; Eccentricità accidentale (+ 0.05*Ly); Sisma seconda direzione (+)



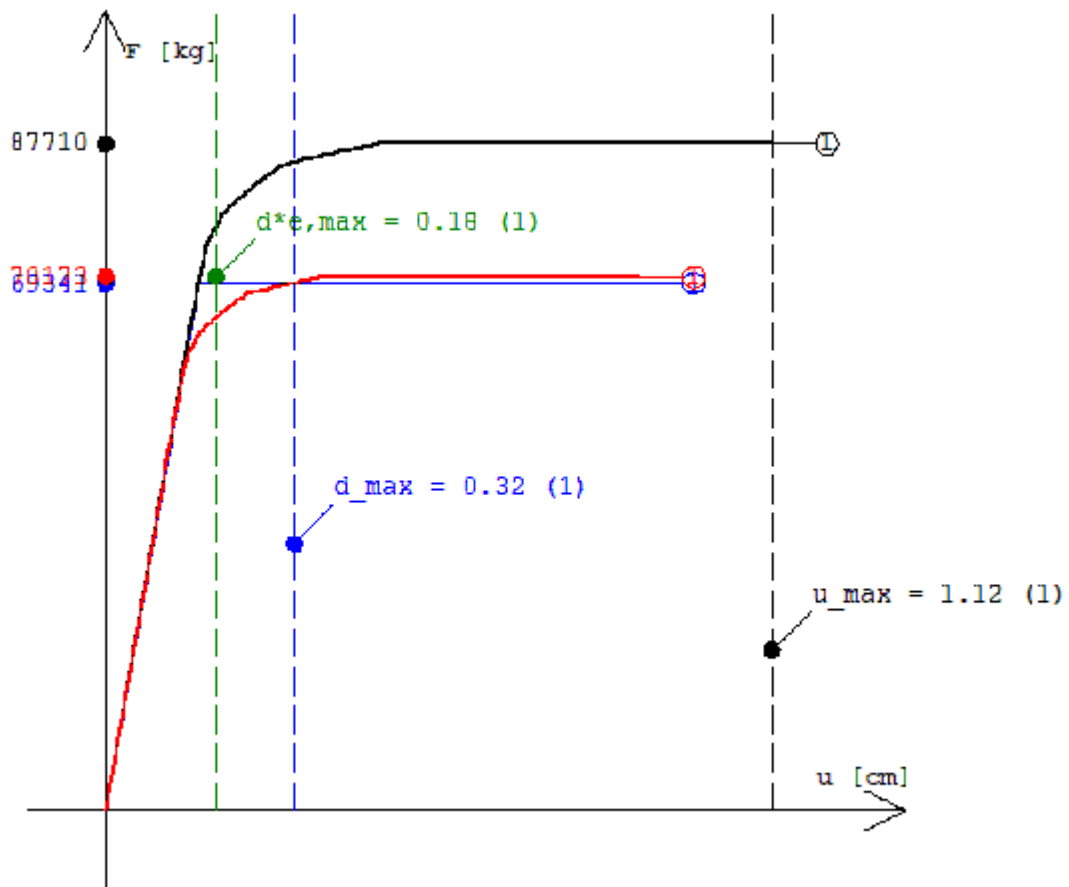
- Curva di capacità (F - u)
- Curva di capacità ridotta (F/T - u/T)
- Sistema bilineare equivalente
- - - Capacità di spostamento elastico (d^*e,max)
- - - Capacità di spostamento (u_{max})
- - - Domanda di spostamento (d_{max})

Cond_X_1(+); E(+); S2(-) : Sisma X (+); Distribuzione forze: Proporzionale masse; Eccentricità
accidentale (+ 0.05*Ly); Sisma seconda direzione (-)



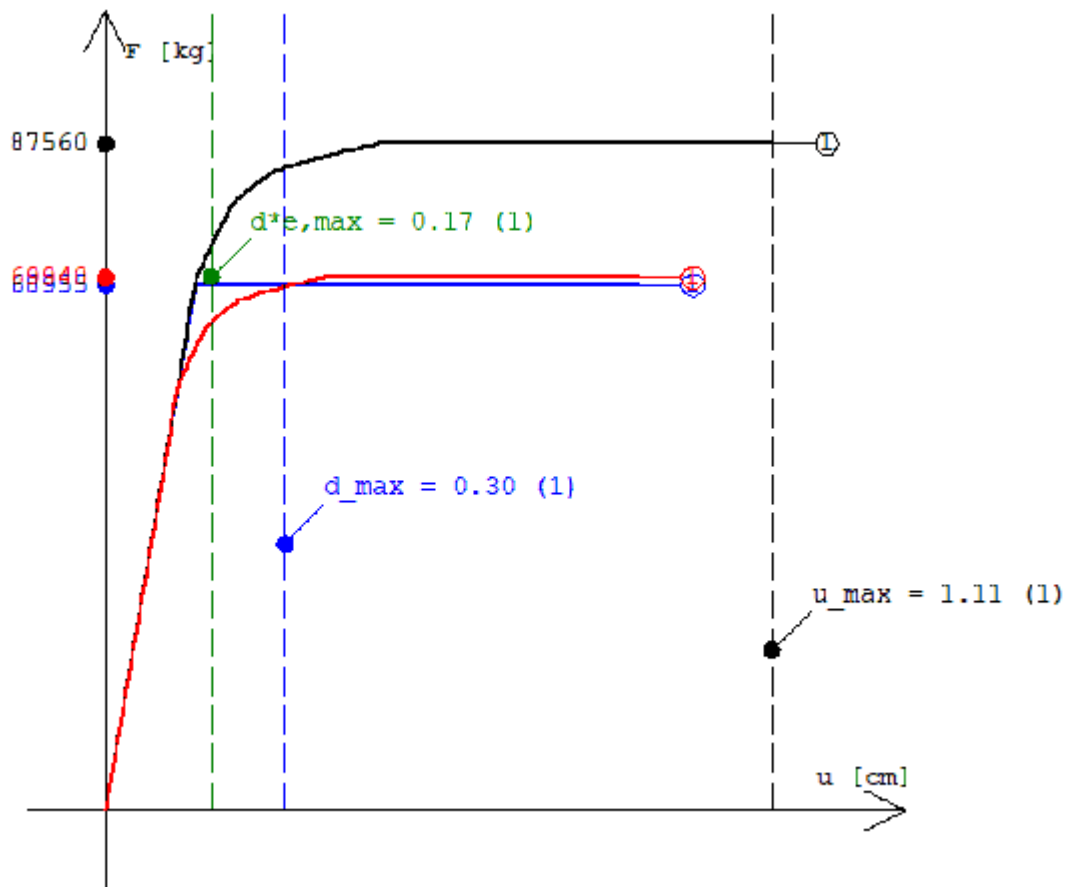
- Curva di capacità ($F - u$)
- Curva di capacità ridotta ($F/T - u/T$)
- Sistema bilineare equivalente
- - - Capacità di spostamento elastico (d^*e_{max})
- - - Capacità di spostamento (u_{max})
- - - Domanda di spostamento (d_{max})

Cond_X_1(+); E(-); S2(+): Sisma X (+); Distribuzione forze: Proporzionale masse; Eccentricità
accidentale (- 0.05*Ly); Sisma seconda direzione (+)



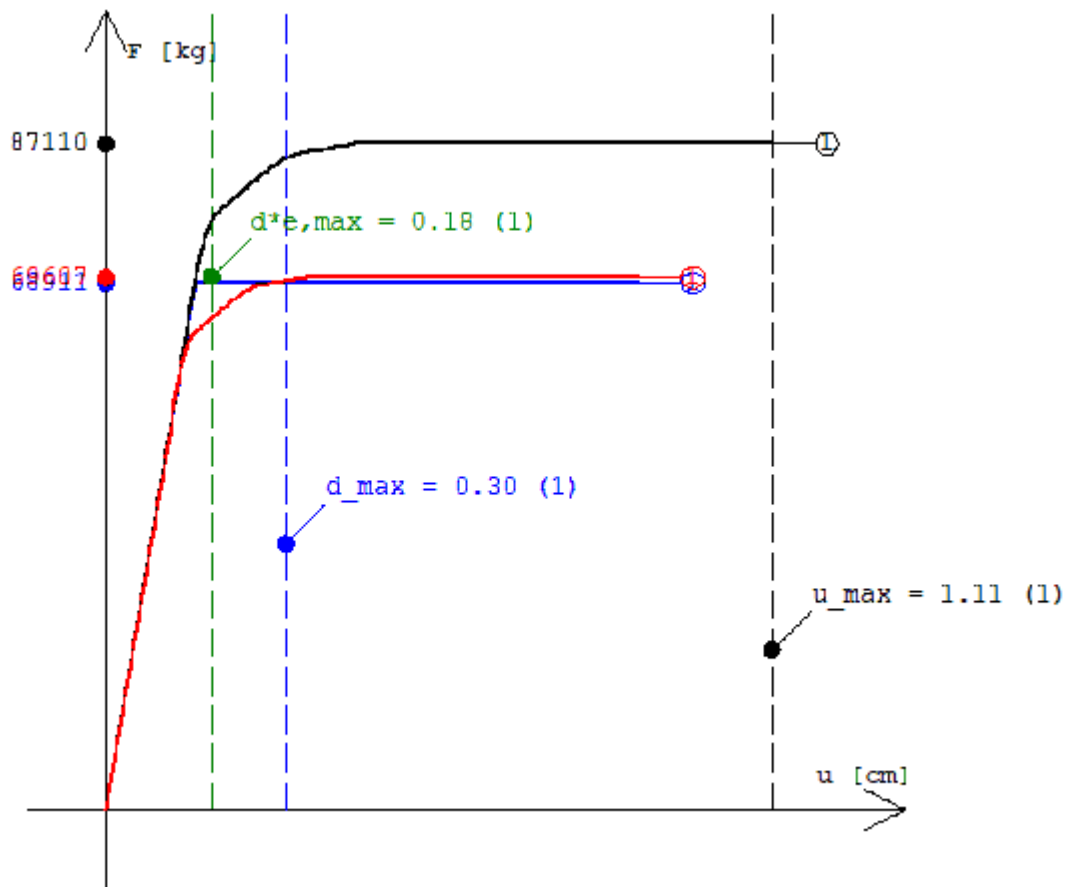
- Curva di capacità (F - u)
- Curva di capacità ridotta (F/T - u/T)
- Sistema bilineare equivalente
- - - - - Capacità di spostamento elastico (d^*e, max)
- - - - - Capacità di spostamento (u_{max})
- - - - - Domanda di spostamento (d_{max})

Cond_X_1(+); E(-); S2(-): Sisma X (+); Distribuzione forze: Proporzionale masse; Eccentricità accidentale (-0.05*Ly); Sisma seconda direzione (-)



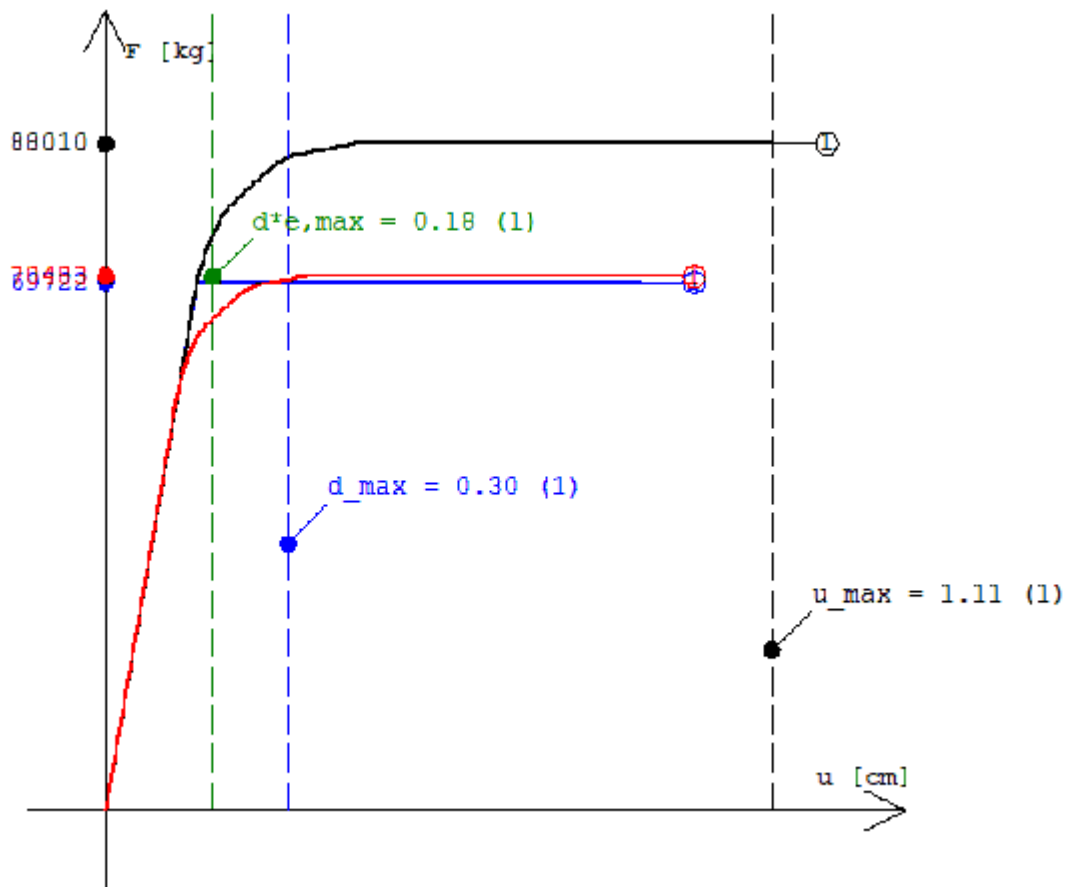
- Curva di capacità ($F - u$)
- Curva di capacità ridotta ($F/T - u/T$)
- Sistema bilineare equivalente
- - - - - Capacità di spostamento elastico (d^*e, \max)
- - - - - Capacità di spostamento (u_{\max})
- - - - - Domanda di spostamento (d_{\max})

Cond_X_1(-); E(+); S2(+): Sisma X (-); Distribuzione forze: Proporzionale masse; Eccentricità accidentale (+ 0.05*Ly); Sisma seconda direzione (+)



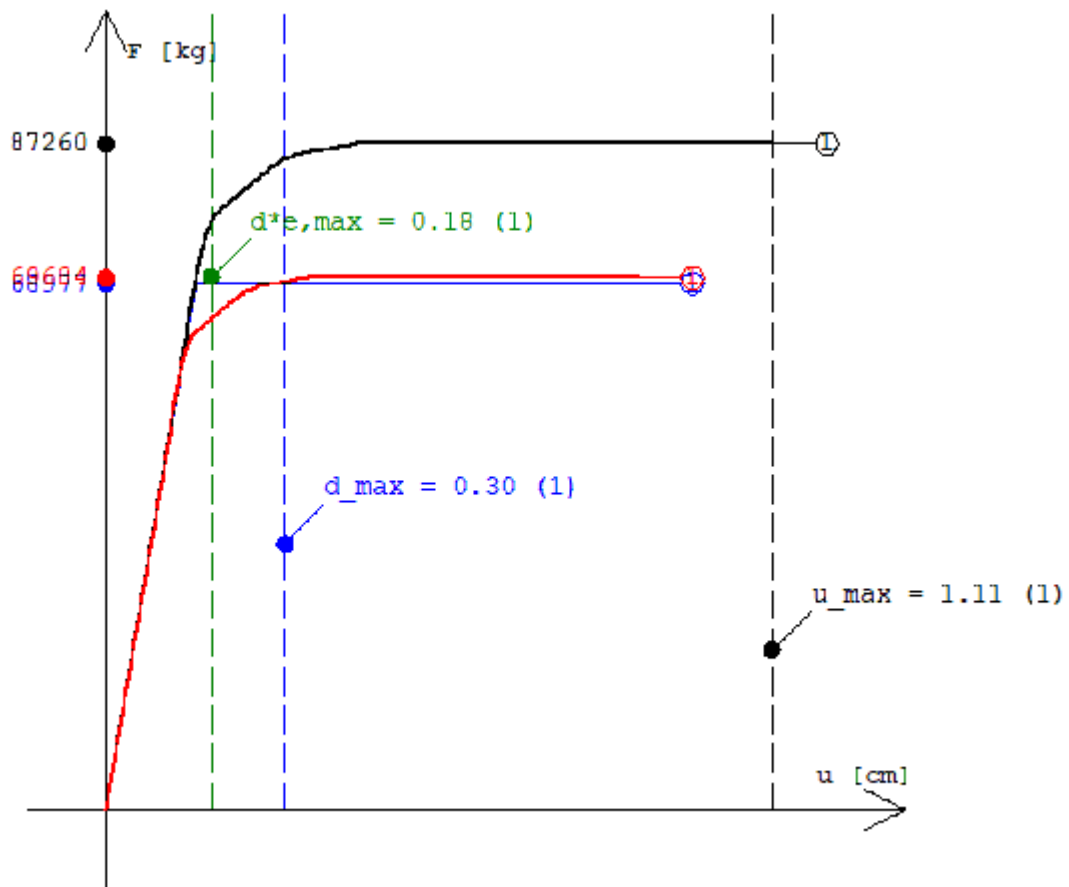
- Curva di capacità (F - u)
- Curva di capacità ridotta (F/T - u/T)
- Sistema bilineare equivalente
- - - - - Capacità di spostamento elastico (d^*e, max)
- - - - - Capacità di spostamento (u_{max})
- - - - - Domanda di spostamento (d_{max})

Cond_X_1(-); E(+); S2(-): Sisma X (-); Distribuzione forze: Proporzionale masse; Eccentricità accidentale (+ 0.05*Ly); Sisma seconda direzione (-)



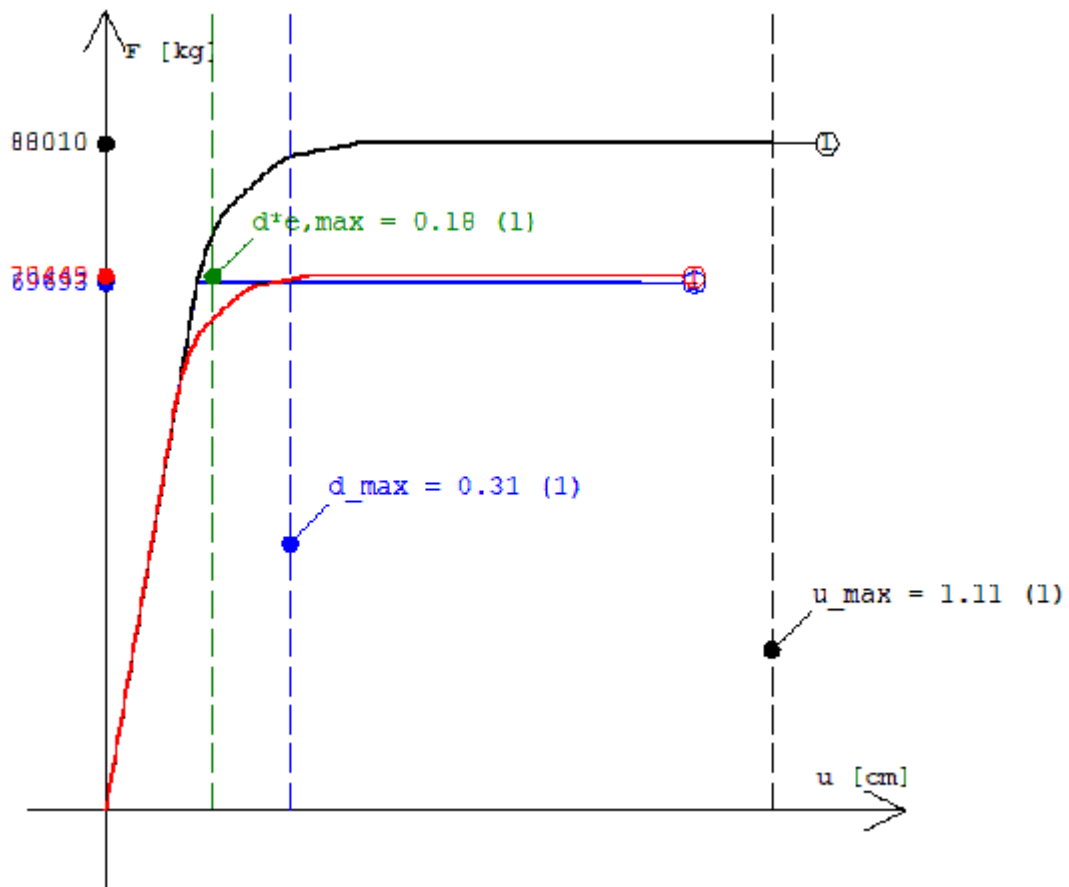
- Curva di capacità ($F - u$)
- Curva di capacità ridotta ($F/T - u/T$)
- Sistema bilineare equivalente
- - - - - Capacità di spostamento elastico (d^*e, max)
- - - - - Capacità di spostamento (u_{max})
- - - - - Domanda di spostamento (d_{max})

Cond_X_1(-); E(-); S2(+): Sisma X (-); Distribuzione forze: Proporzionale masse; Eccentricità accidentale (-0.05*Ly); Sisma seconda direzione (+)



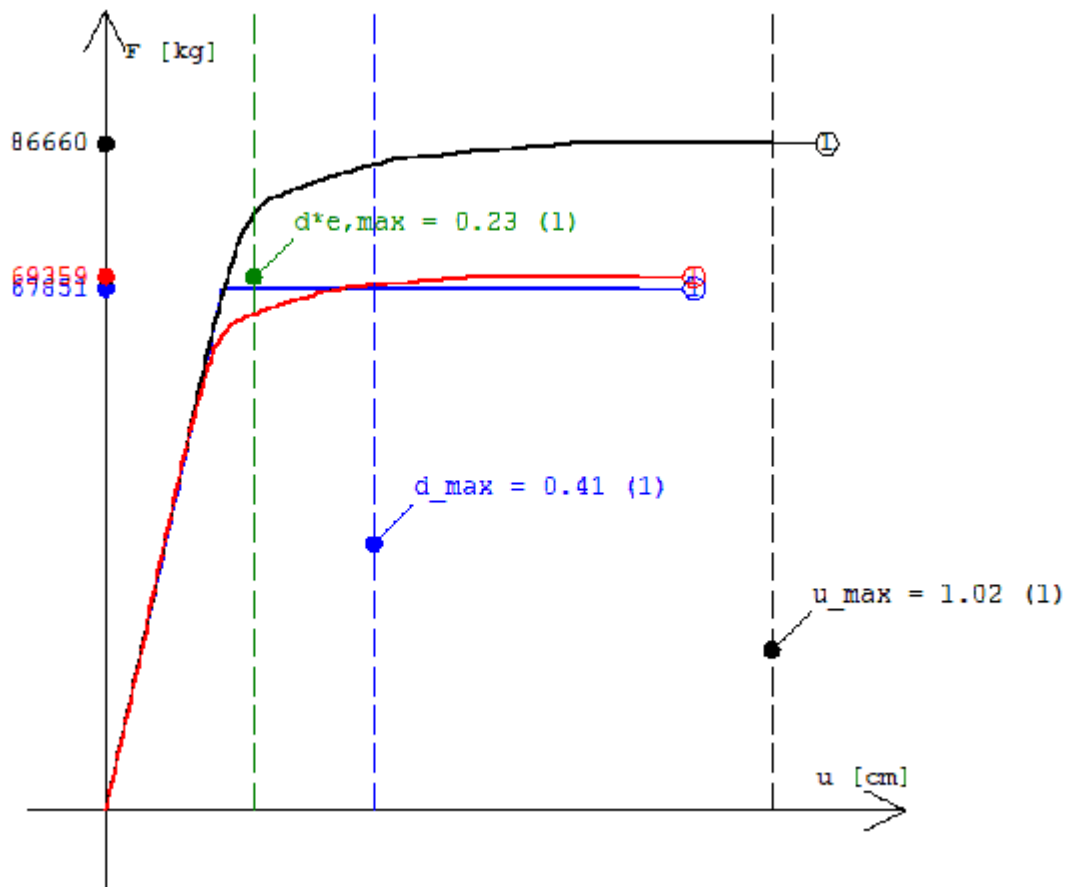
- Curva di capacità ($F - u$)
- Curva di capacità ridotta ($F/T - u/T$)
- Sistema bilineare equivalente
- - - Capacità di spostamento elastico (d^*e_{max})
- - - Capacità di spostamento (u_{max})
- - - Domanda di spostamento (d_{max})

Cond_X_1(-); E(-); S2(-) : Sisma X (-); Distribuzione forze: Proporzionale masse; Eccentricità accidentale (-0.05*Ly); Sisma seconda direzione (-)



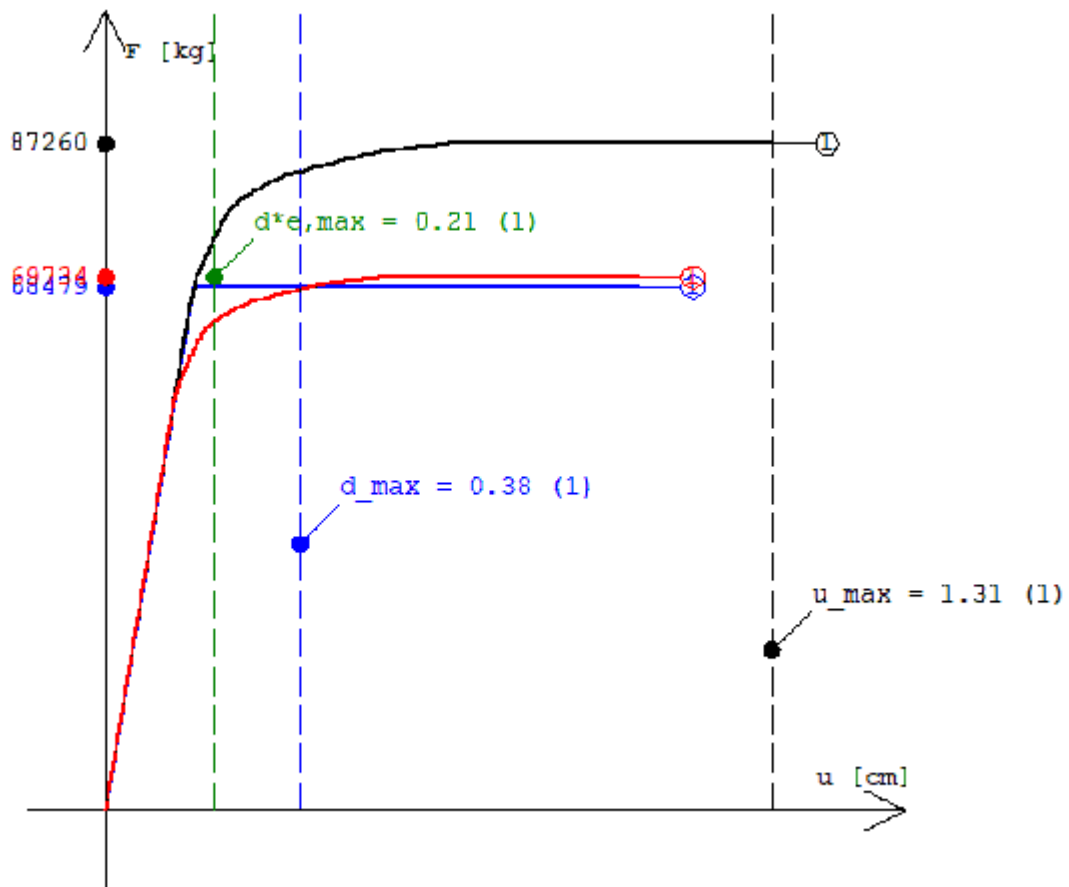
- Curva di capacità (F - u)
- Curva di capacità ridotta (F/T - u/T)
- Sistema bilineare equivalente
- - - - - Capacità di spostamento elastico (d^*e, max)
- - - - - Capacità di spostamento (u_{max})
- - - - - Domanda di spostamento (d_{max})

Cond_X_2(+); E(+); S2(+): Sisma X (+); Distribuzione forze: Proporzionale altezze; Eccentricità
accidentale (+ 0.05*Ly); Sisma seconda direzione (+)



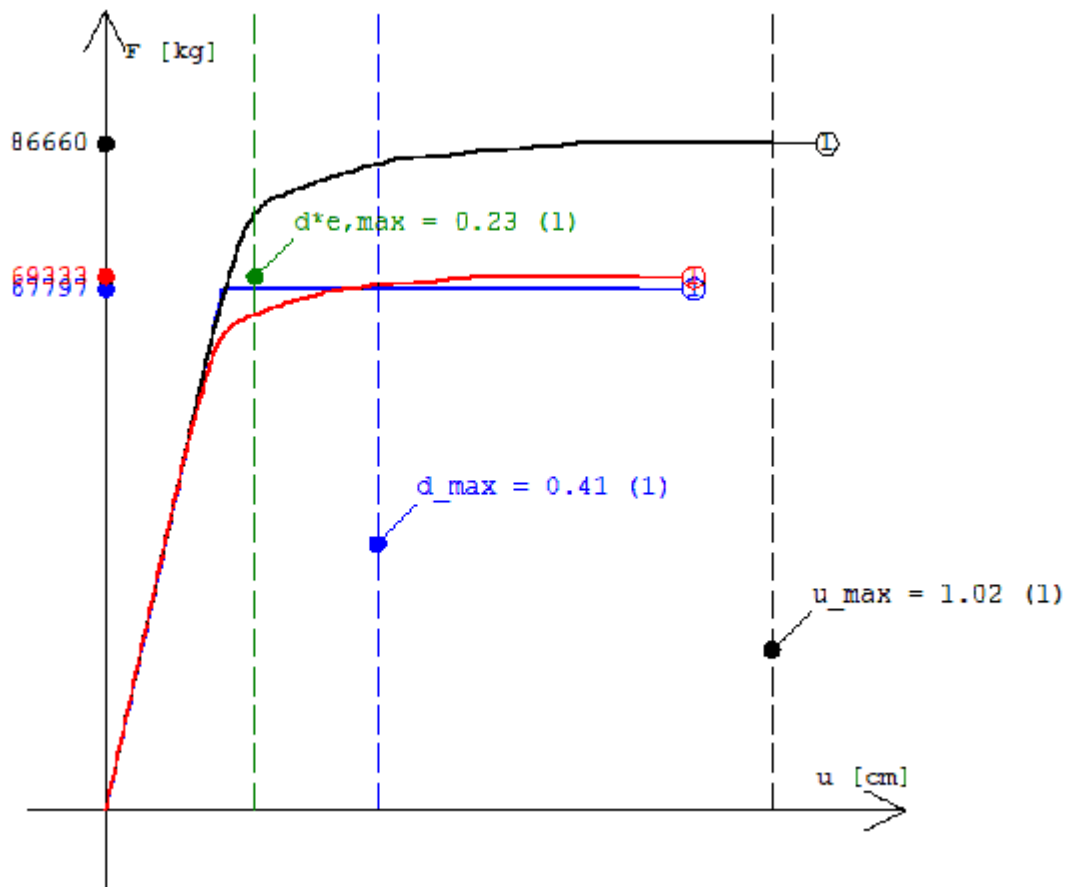
- Curva di capacità (F - u)
- Curva di capacità ridotta (F/T - u/T)
- Sistema bilineare equivalente
- - - - - Capacità di spostamento elastico (d^*e, \max)
- - - - - Capacità di spostamento (u_{\max})
- - - - - Domanda di spostamento (d_{\max})

Cond_X_2(+); E(+); S2(-) : Sisma X (+); Distribuzione forze: Proporzionale altezze; Eccentricità
accidentale (+ 0.05*Ly); Sisma seconda direzione (-)



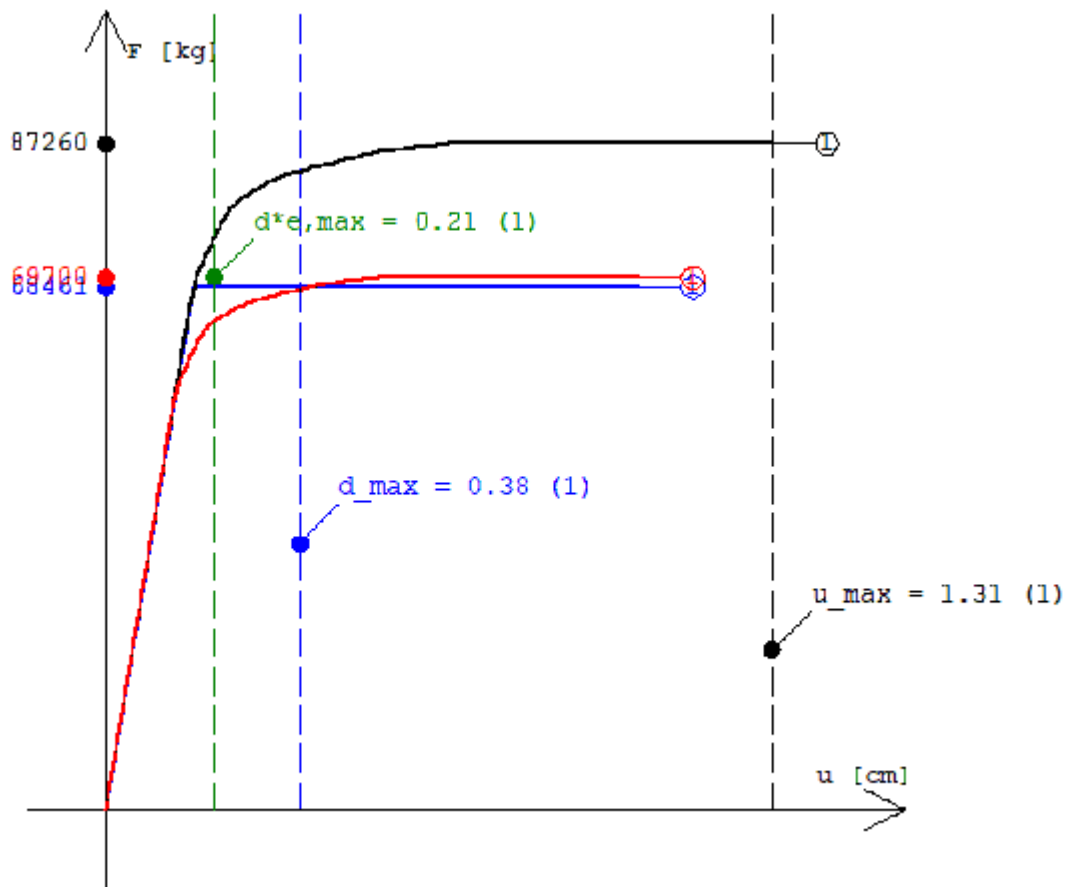
- Curva di capacità ($F - u$)
- Curva di capacità ridotta ($F/T - u/T$)
- Sistema bilineare equivalente
- - - - - Capacità di spostamento elastico (d^*e, max)
- - - - - Capacità di spostamento (u_{max})
- - - - - Domanda di spostamento (d_{max})

Cond_X_2(+); E(-); S2(+) : Sisma X (+); Distribuzione forze: Proporzionale altezze; Eccentricità
accidentale (- 0.05*Ly); Sisma seconda direzione (+)



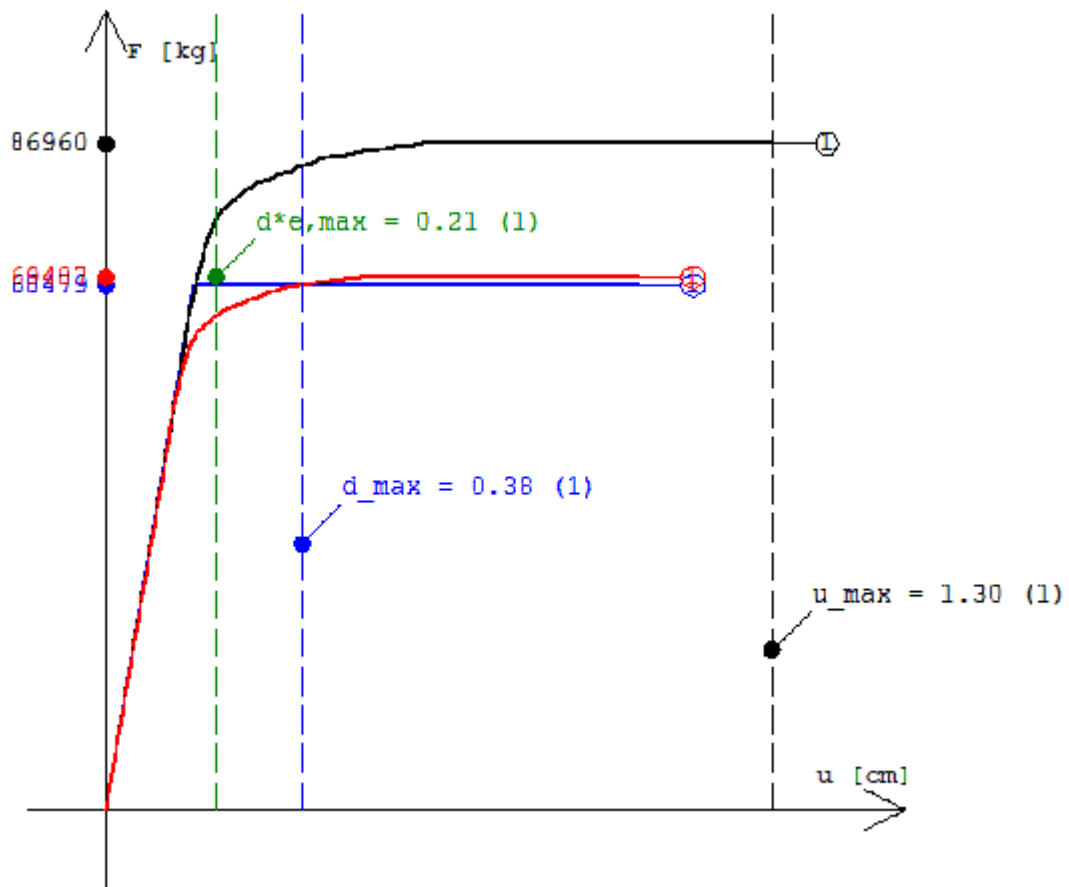
- Curva di capacità ($F - u$)
- Curva di capacità ridotta ($F/T - u/T$)
- Sistema bilineare equivalente
- - - Capacità di spostamento elastico (d^*e, \max)
- - - Capacità di spostamento (u_{\max})
- - - Domanda di spostamento (d_{\max})

Cond_X_2(+); E(-); S2(-): Sisma X (+); Distribuzione forze: Proporzionale altezze; Eccentricità accidentale (-0.05*Ly); Sisma seconda direzione (-)



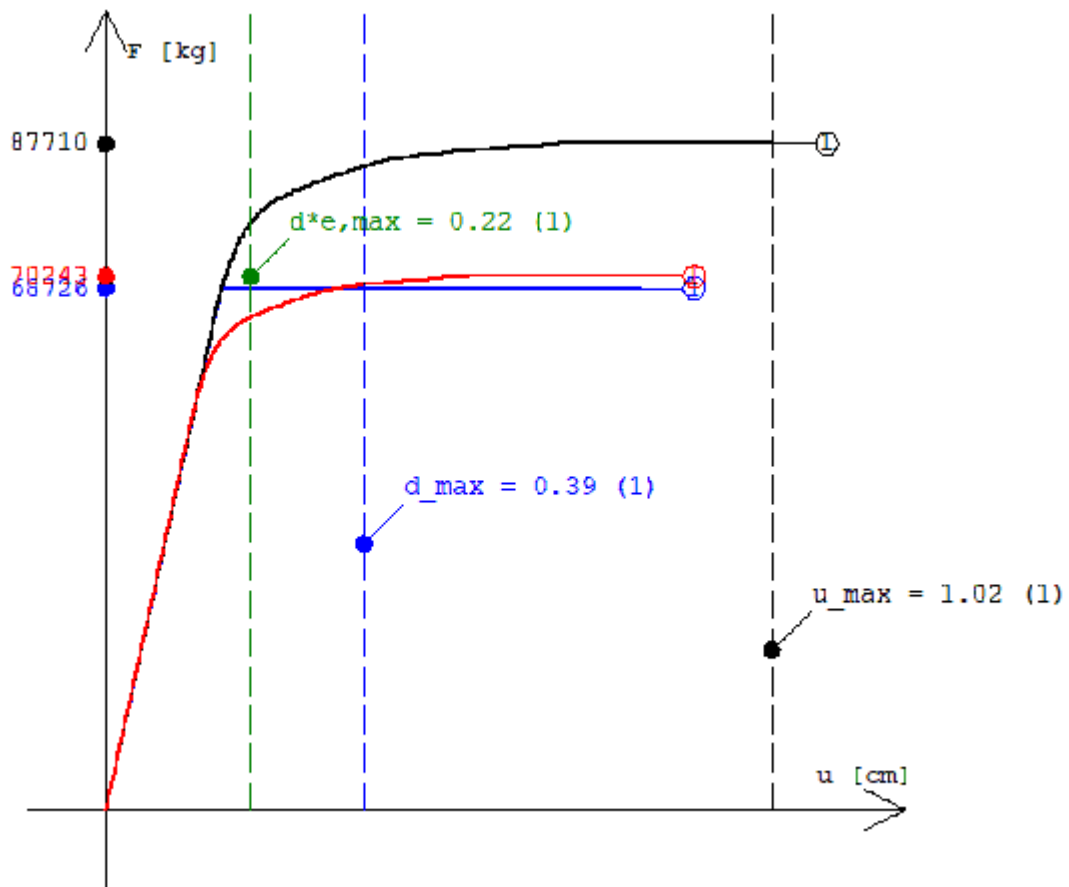
- Curva di capacità ($F - u$)
- Curva di capacità ridotta ($F/T - u/T$)
- Sistema bilineare equivalente
- - - Capacità di spostamento elastico (d^*e, \max)
- - - Capacità di spostamento (u_{\max})
- - - Domanda di spostamento (d_{\max})

Cond_X_2(-); E(+); S2(+) : Sisma X (-); Distribuzione forze: Proporzionale altezze; Eccentricità
accidentale (+ 0.05*Ly); Sisma seconda direzione (+)



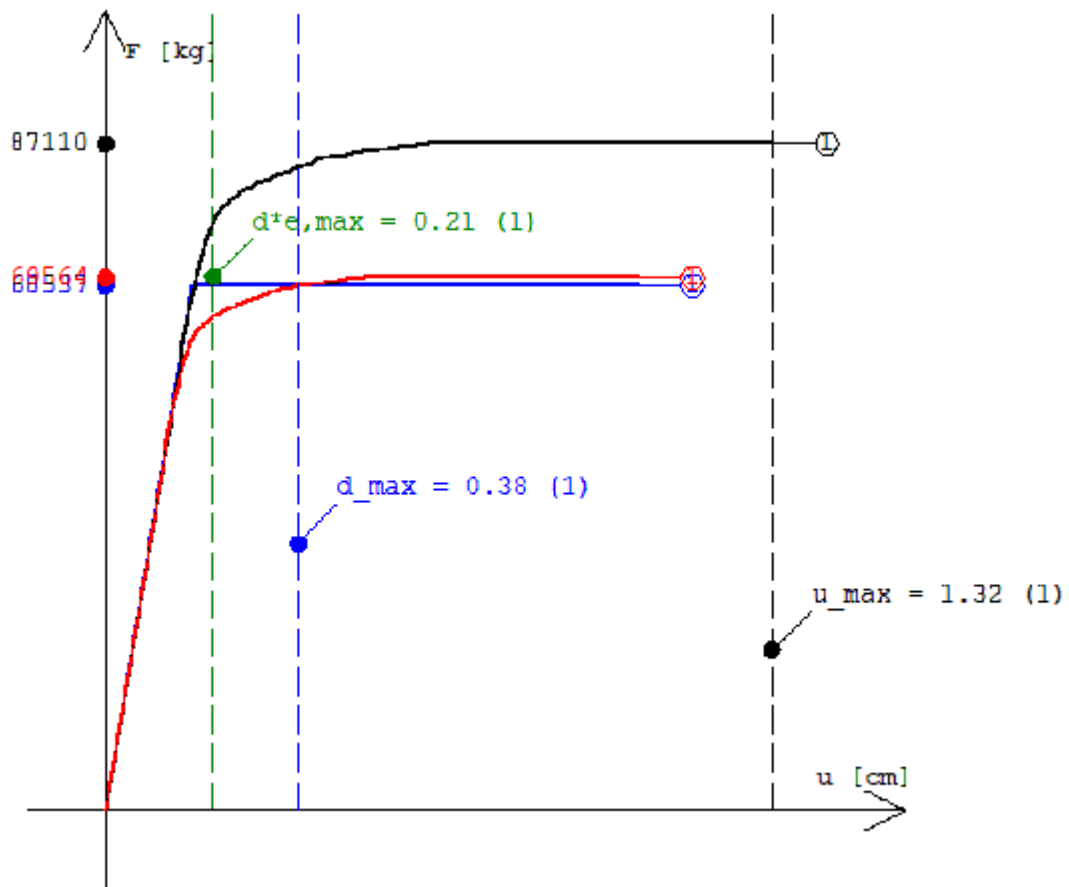
- Curva di capacità ($F - u$)
- Curva di capacità ridotta ($F/T - u/T$)
- Sistema bilineare equivalente
- - - - - Capacità di spostamento elastico (d^*e, max)
- - - - - Capacità di spostamento (u_{max})
- - - - - Domanda di spostamento (d_{max})

Cond_X_2(-); E(+); S2(-): Sisma X (-); Distribuzione forze: Proporzionale altezze; Eccentricità accidentale (+ 0.05*Ly); Sisma seconda direzione (-)



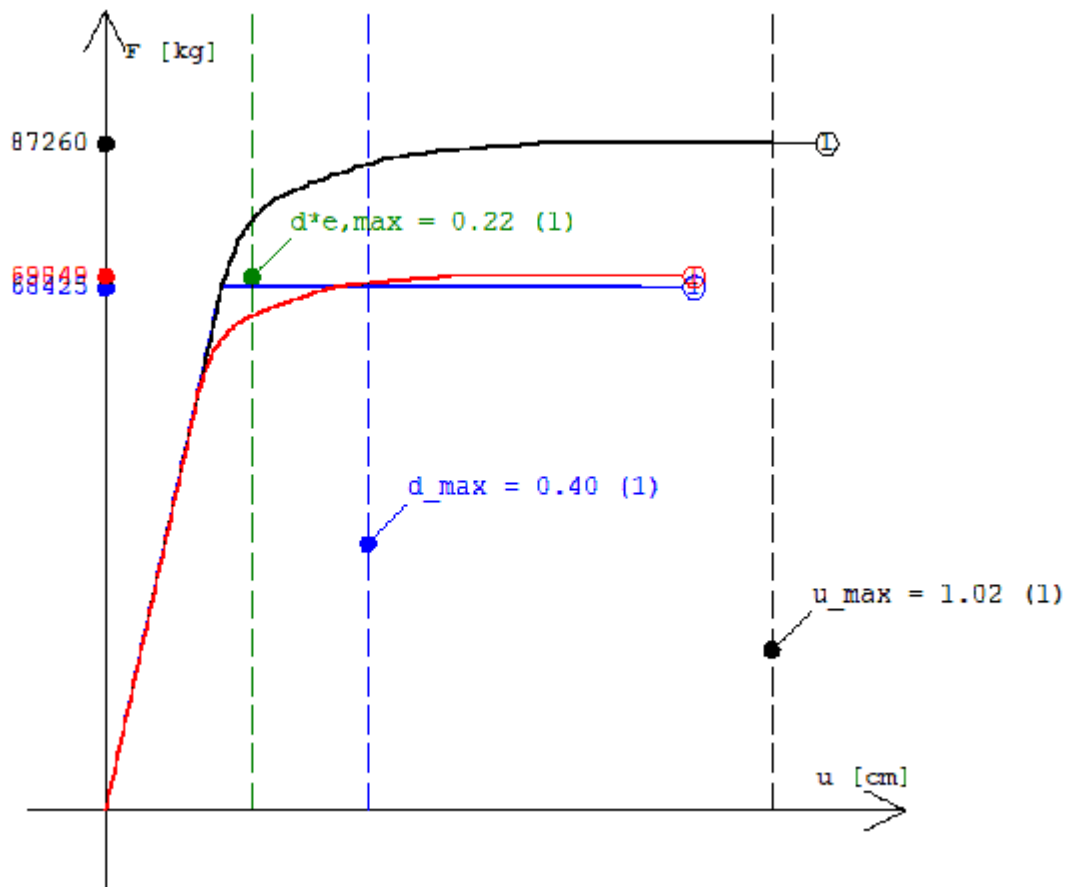
- Curva di capacità (F - u)
- Curva di capacità ridotta (F/T - u/T)
- Sistema bilineare equivalente
- - - - - Capacità di spostamento elastico (d^*e, max)
- - - - - Capacità di spostamento (u_{max})
- - - - - Domanda di spostamento (d_{max})

Cond_X_2(-); E(-); S2(+): Sisma X (-); Distribuzione forze: Proporzionale altezze; Eccentricità accidentale (-0.05*Ly); Sisma seconda direzione (+)



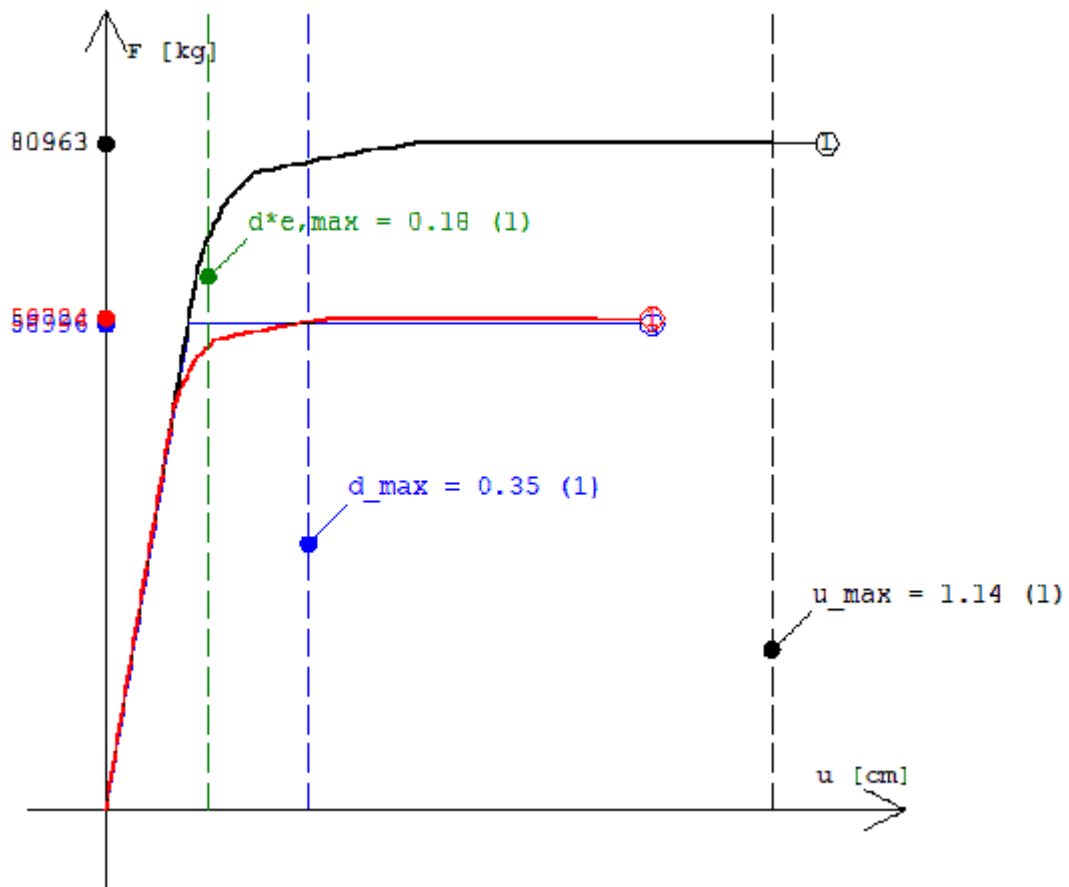
- Curva di capacità ($F - u$)
- Curva di capacità ridotta ($F/T - u/T$)
- Sistema bilineare equivalente
- - - - - Capacità di spostamento elastico (d^*e, \max)
- - - - - Capacità di spostamento (u_{\max})
- - - - - Domanda di spostamento (d_{\max})

Cond_X_2(-); E(-); S2(-) : Sisma X (-); Distribuzione forze: Proporzionale altezze; Eccentricità accidentale (-0.05*Ly); Sisma seconda direzione (-)



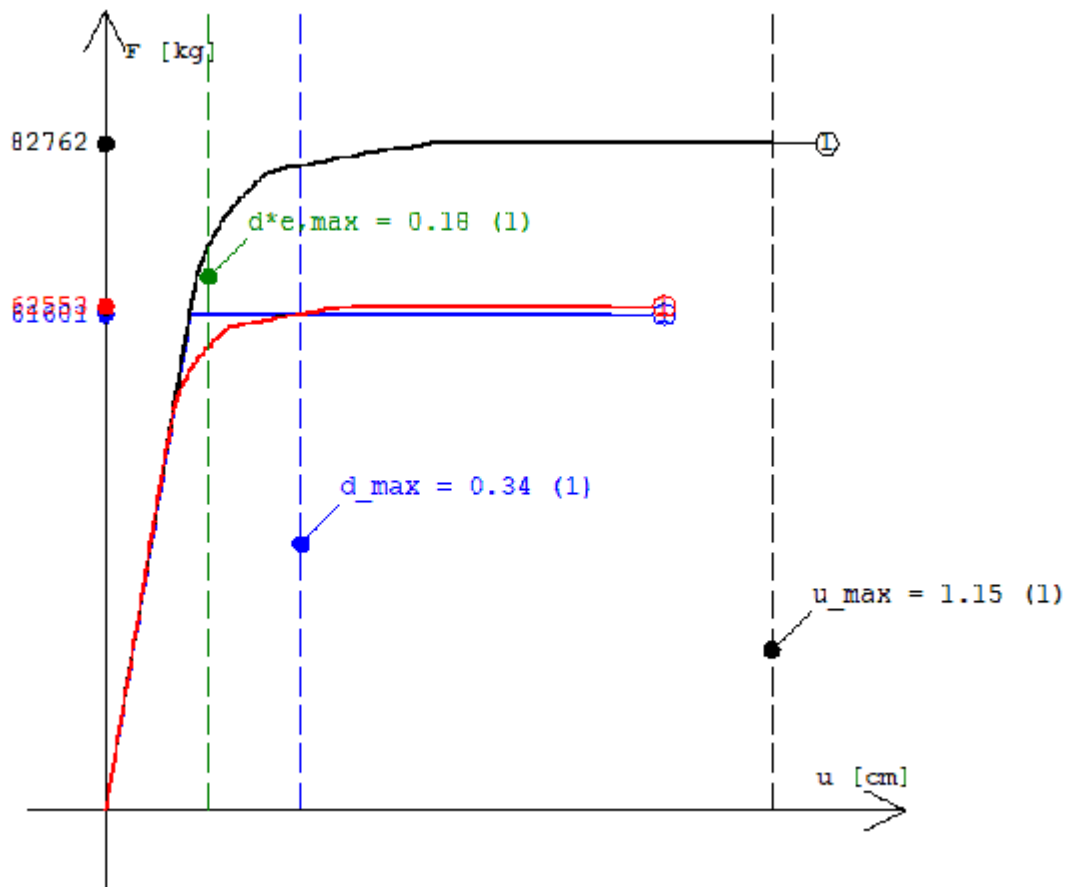
- Curva di capacità ($F - u$)
- Curva di capacità ridotta ($F/T - u/T$)
- Sistema bilineare equivalente
- - - - - Capacità di spostamento elastico (d^*e, \max)
- - - - - Capacità di spostamento (u_{\max})
- - - - - Domanda di spostamento (d_{\max})

Cond_Y_1(+); E(+); S2(+): Sisma Y (+); Distribuzione forze: Proporzionale masse; Eccentricità
accidentale (+ 0.05*Ly); Sisma seconda direzione (+)



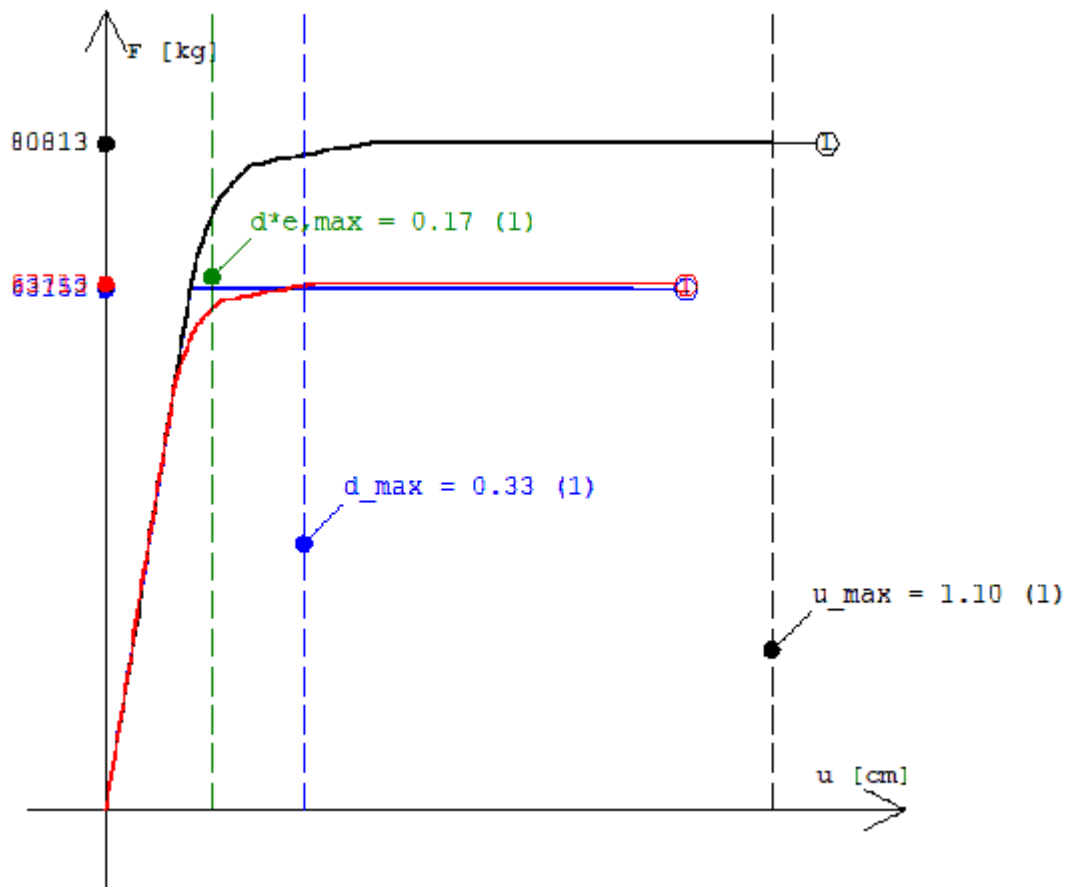
- Curva di capacità ($F - u$)
- Curva di capacità ridotta ($F/T - u/T$)
- Sistema bilineare equivalente
- - - Capacità di spostamento elastico (d^*e_{max})
- - - Capacità di spostamento (u_{max})
- - - Domanda di spostamento (d_{max})

Cond_Y_1(+); E(+); S2(-) : Sisma Y (+); Distribuzione forze: Proporzionale masse; Eccentricità
accidentale (+ 0.05*Ly); Sisma seconda direzione (-)



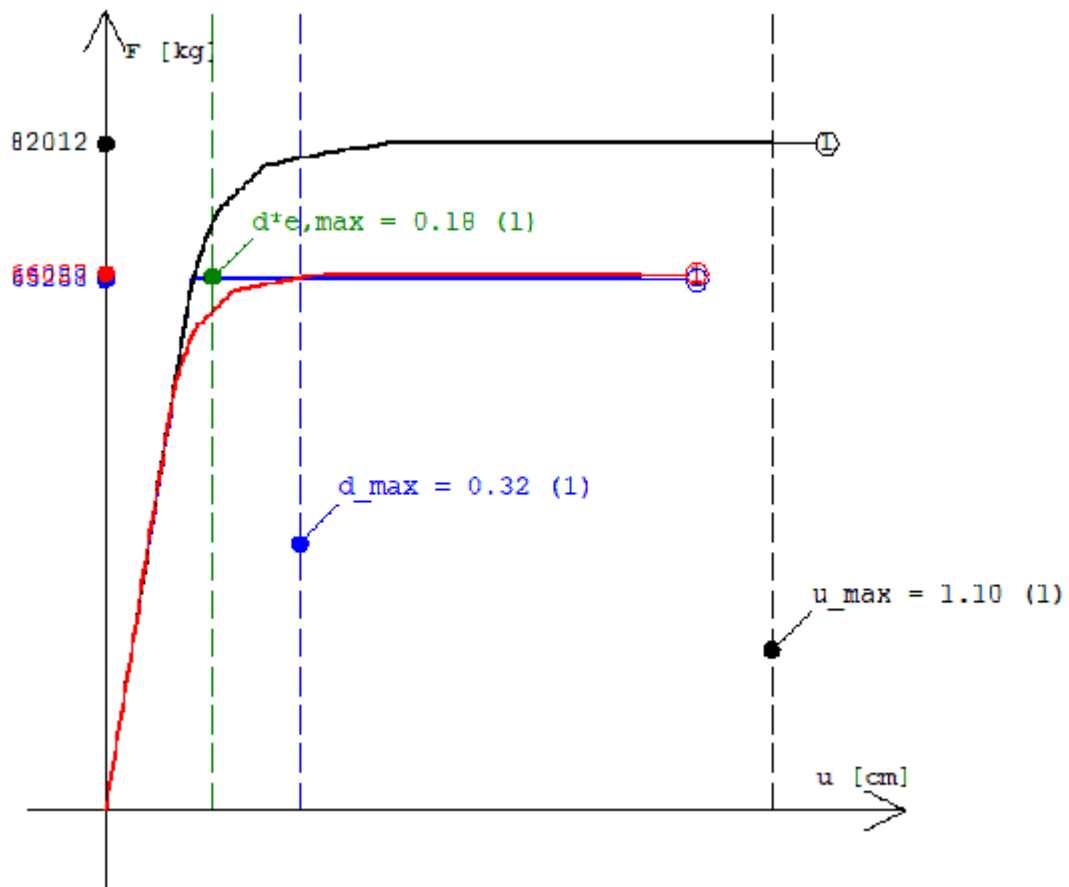
- Curva di capacità ($F - u$)
- Curva di capacità ridotta ($F/T - u/T$)
- Sistema bilineare equivalente
- - - - - Capacità di spostamento elastico (d^*e_{max})
- - - - - Capacità di spostamento (u_{max})
- - - - - Domanda di spostamento (d_{max})

Cond_Y_1(+); E(-); S2(+) : Sisma Y (+); Distribuzione forze: Proporzionale masse; Eccentricità
accidentale (- 0.05*Ly); Sisma seconda direzione (+)



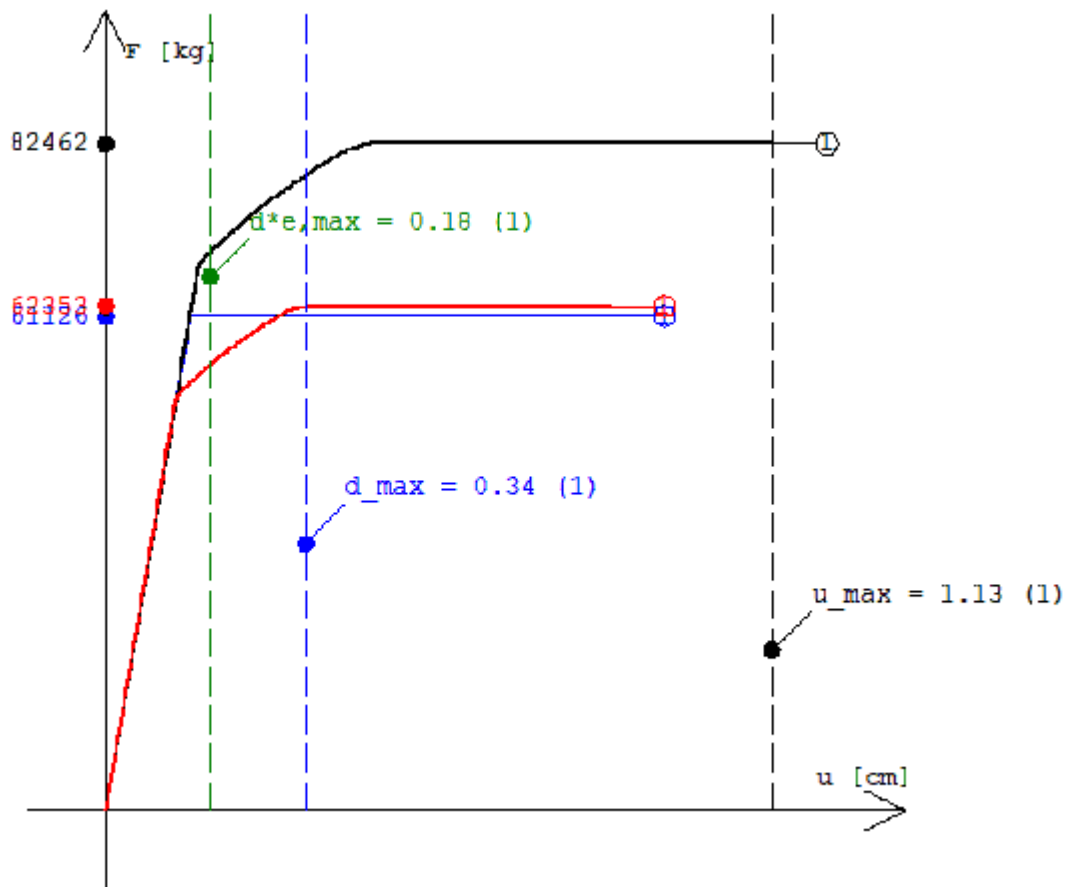
- Curva di capacità ($F - u$)
- Curva di capacità ridotta ($F/T - u/T$)
- Sistema bilineare equivalente
- - - - - Capacità di spostamento elastico (d^*e_{max})
- - - - - Capacità di spostamento (u_{max})
- - - - - Domanda di spostamento (d_{max})

Cond_Y_1(+); E(-); S2(-): Sisma Y (+); Distribuzione forze: Proporzionale masse; Eccentricità accidentale (-0.05*Ly); Sisma seconda direzione (-)

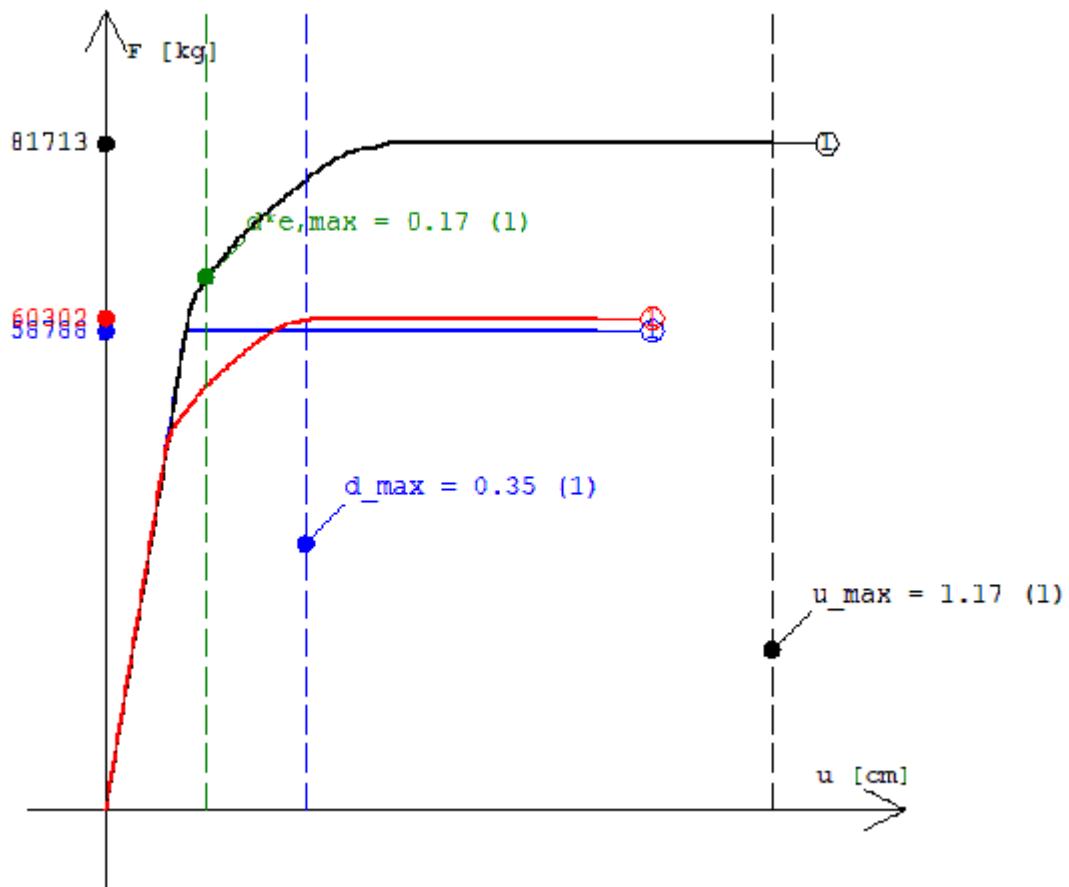


- Curva di capacità (F - u)
- Curva di capacità ridotta (F/T - u/T)
- Sistema bilineare equivalente
- - - Capacità di spostamento elastico (d^*e, max)
- - - Capacità di spostamento (u_{max})
- - - Domanda di spostamento (d_{max})

Cond_Y_1(-); E(+); S2(+) : Sisma Y (-); Distribuzione forze: Proporzionale masse; Eccentricità accidentale (+ 0.05*Ly); Sisma seconda direzione (+)

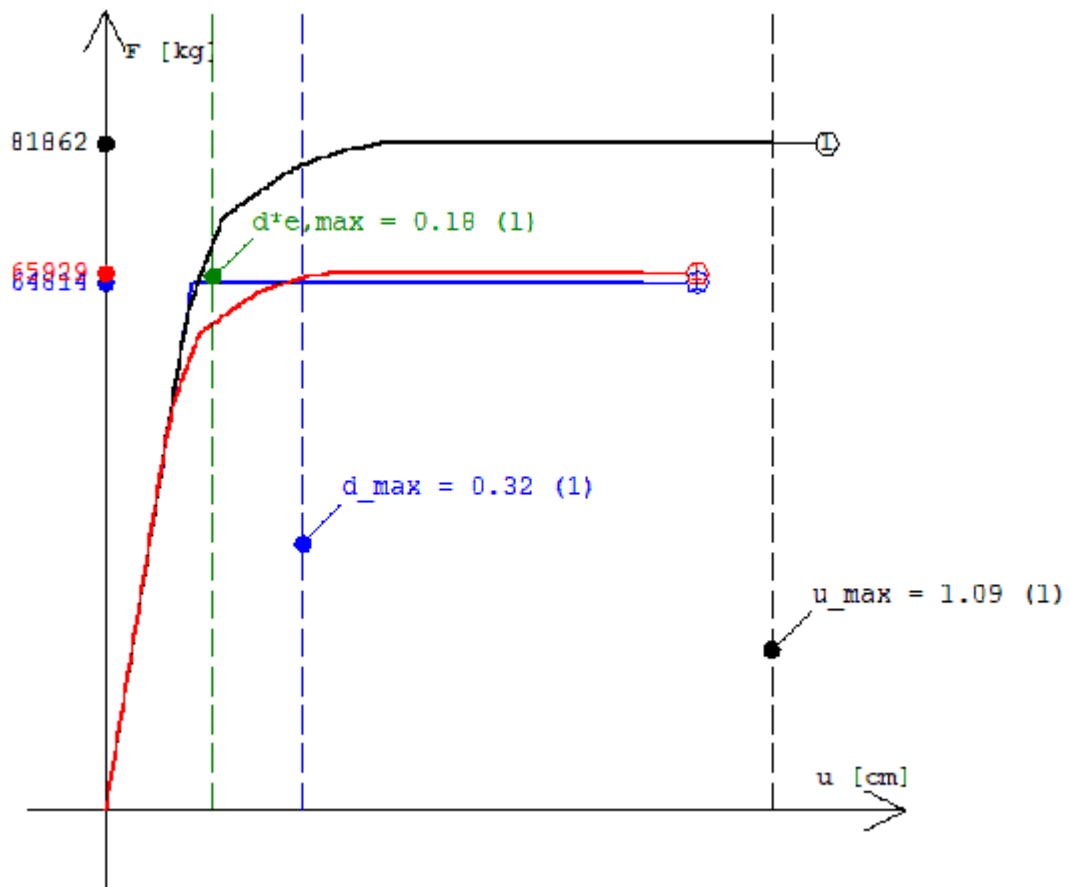


Cond_Y_1(-); E(+); S2(-): Sisma Y (-); Distribuzione forze: Proporzionale masse; Eccentricità accidentale (+ 0.05*Ly); Sisma seconda direzione (-)



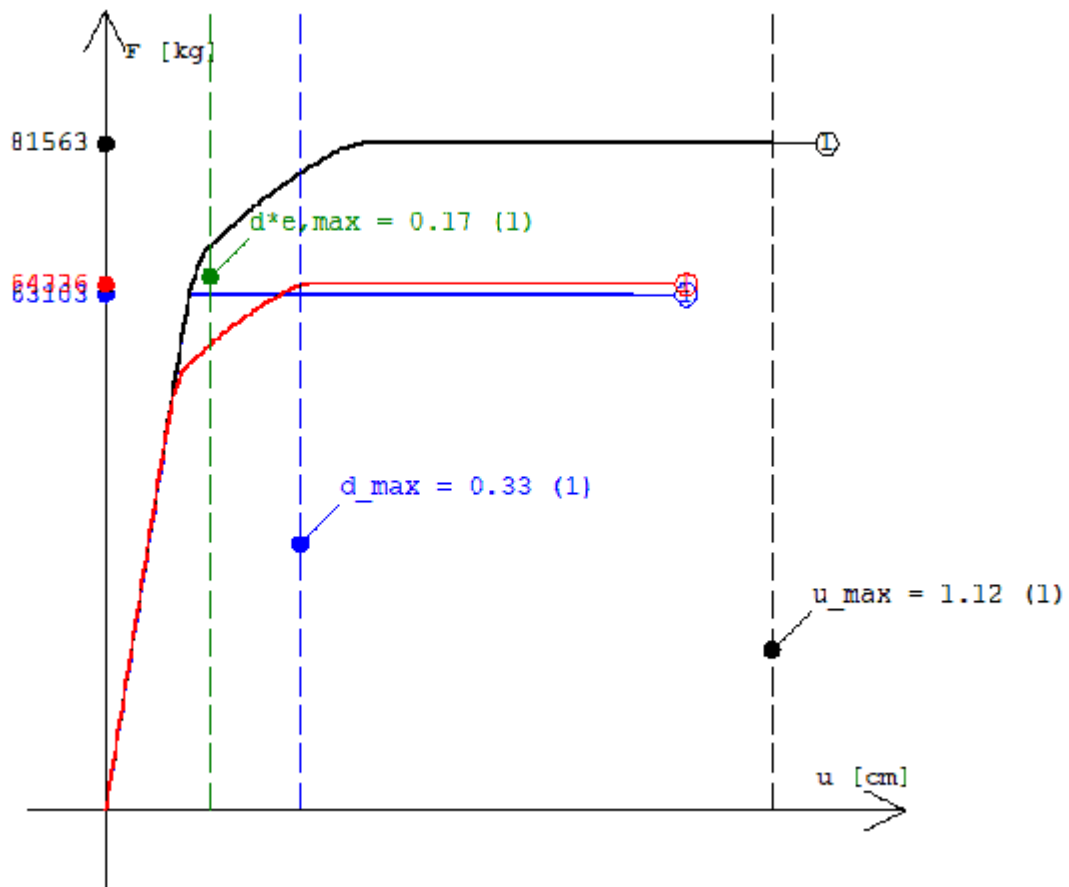
- Curva di capacità ($F - u$)
- Curva di capacità ridotta ($F/T - u/T$)
- Sistema bilineare equivalente
- - - - - Capacità di spostamento elastico (d^*e_{max})
- - - - - Capacità di spostamento (u_{max})
- - - - - Domanda di spostamento (d_{max})

Cond_Y_1(-); E(-); S2(+): Sisma Y (-); Distribuzione forze: Proporzionale masse; Eccentricità accidentale (-0.05*Ly); Sisma seconda direzione (+)



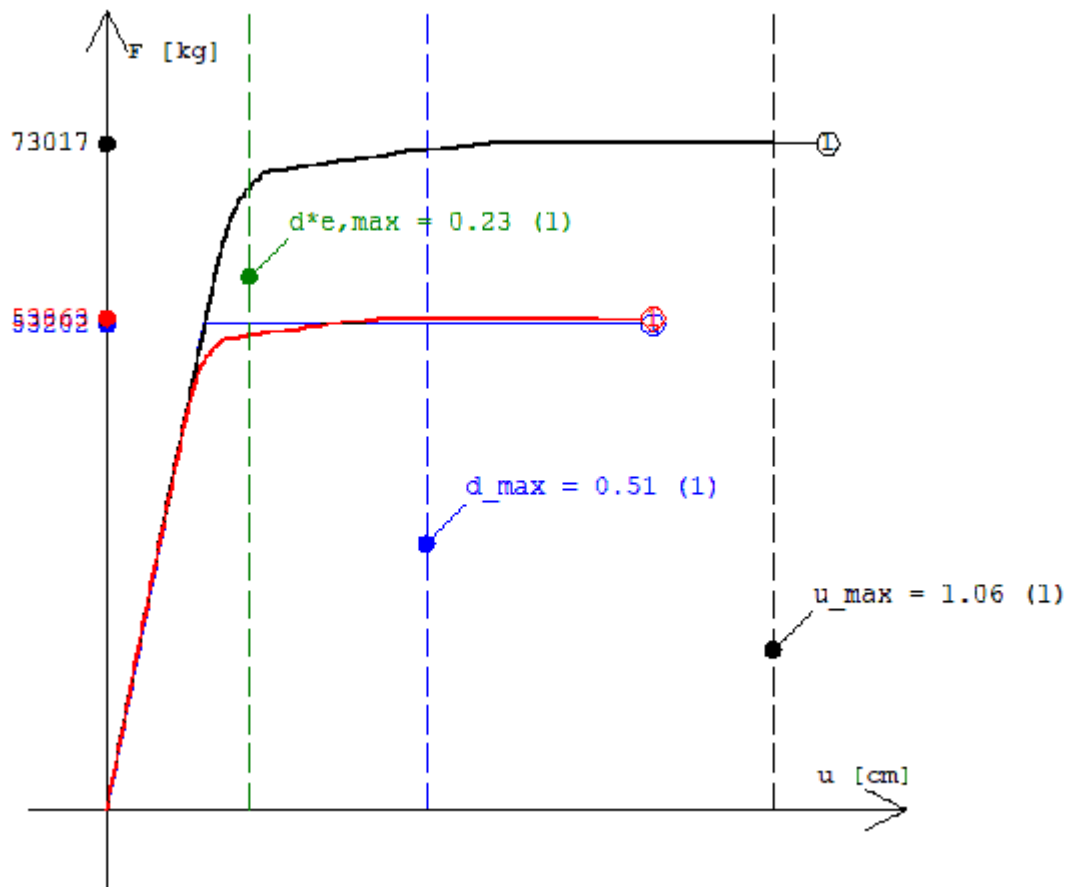
- Curva di capacità (F - u)
- Curva di capacità ridotta (F/T - u/T)
- Sistema bilineare equivalente
- - - Capacità di spostamento elastico (d^*e, max)
- - - Capacità di spostamento (u_{max})
- - - Domanda di spostamento (d_{max})

Cond_Y_1(-); E(-); S2(-) : Sisma Y (-); Distribuzione forze: Proporzionale masse; Eccentricità accidentale (-0.05*Ly); Sisma seconda direzione (-)



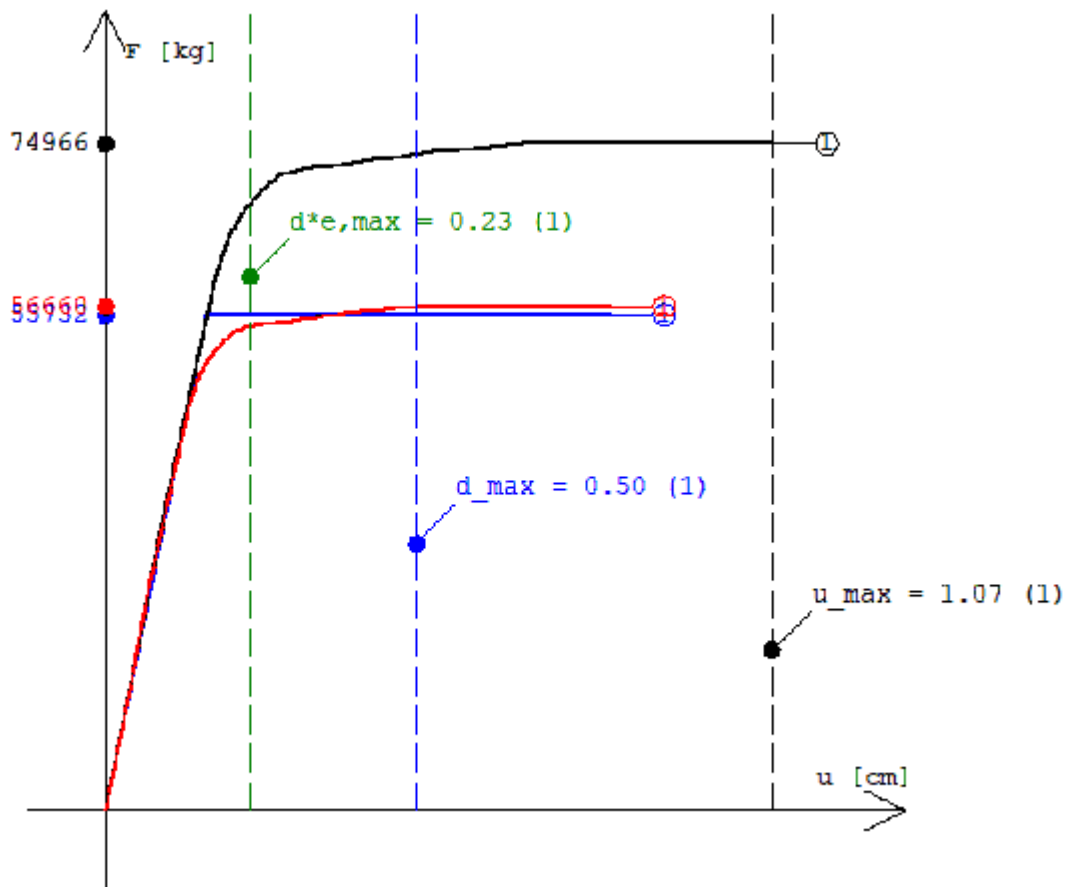
- Curva di capacità ($F - u$)
- Curva di capacità ridotta ($F/T - u/T$)
- Sistema bilineare equivalente
- - - - - Capacità di spostamento elastico (d^*e, \max)
- - - - - Capacità di spostamento (u_{\max})
- - - - - Domanda di spostamento (d_{\max})

Cond_Y_2(+); E(+); S2(+): Sisma Y (+); Distribuzione forze: Proporzionale altezze; Eccentricità
accidentale (+ 0.05*Ly); Sisma seconda direzione (+)



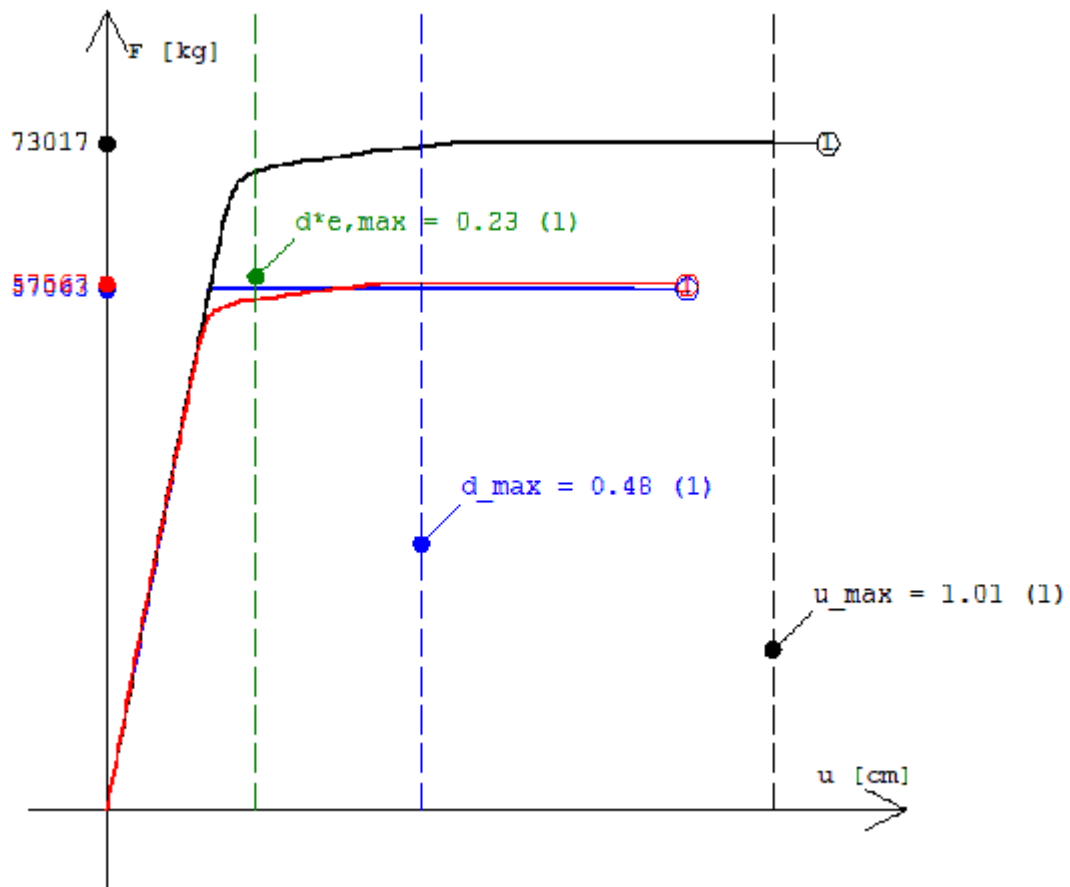
- Curva di capacità (F - u)
- Curva di capacità ridotta (F/T - u/T)
- Sistema bilineare equivalente
- - - Capacità di spostamento elastico (d^*e, \max)
- - - Capacità di spostamento (u_{\max})
- - - Domanda di spostamento (d_{\max})

Cond_Y_2(+); E(+); S2(-) : Sisma Y (+); Distribuzione forze: Proporzionale altezze; Eccentricità
accidentale (+ 0.05*Ly); Sisma seconda direzione (-)



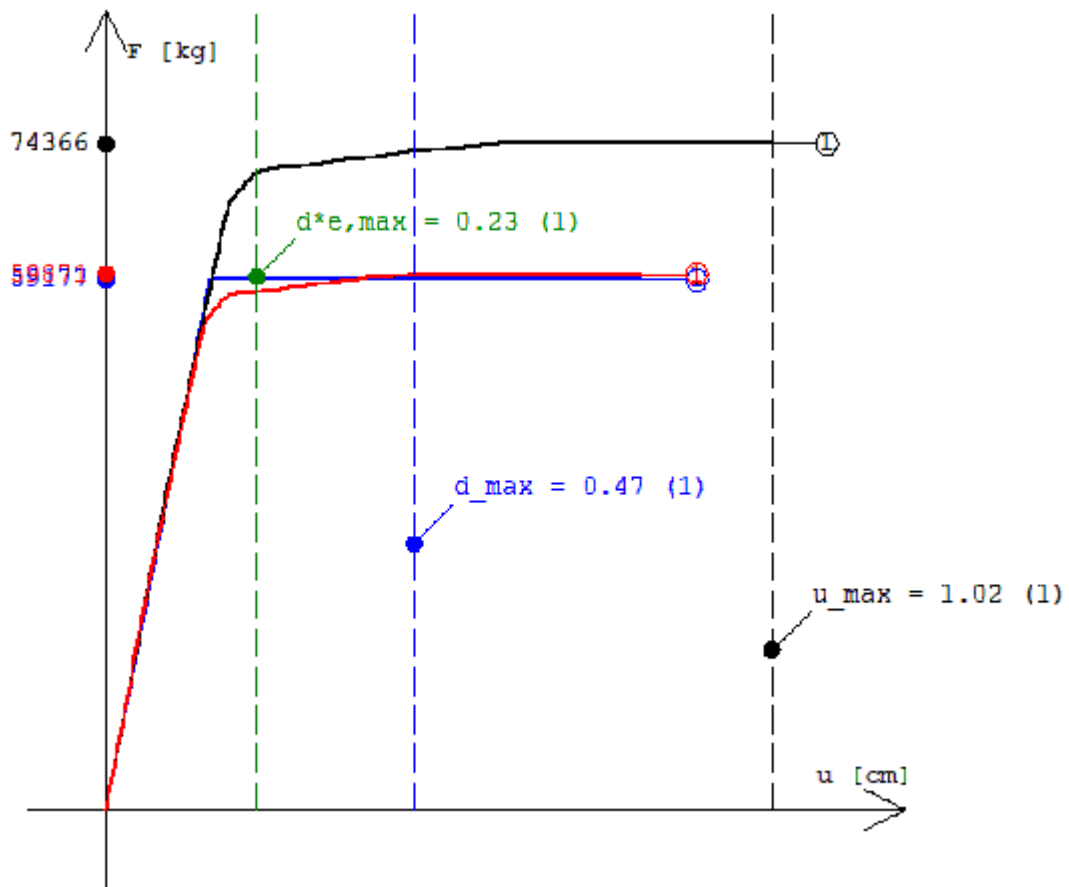
- Curva di capacità ($F - u$)
- Curva di capacità ridotta ($F/T - u/T$)
- Sistema bilineare equivalente
- - - - - Capacità di spostamento elastico (d^*e, \max)
- - - - - Capacità di spostamento (u_{\max})
- - - - - Domanda di spostamento (d_{\max})

Cond_Y_2(+); E(-); S2(+) : Sisma Y (+); Distribuzione forze: Proporzionale altezze; Eccentricità
accidentale (- 0.05*Ly); Sisma seconda direzione (+)



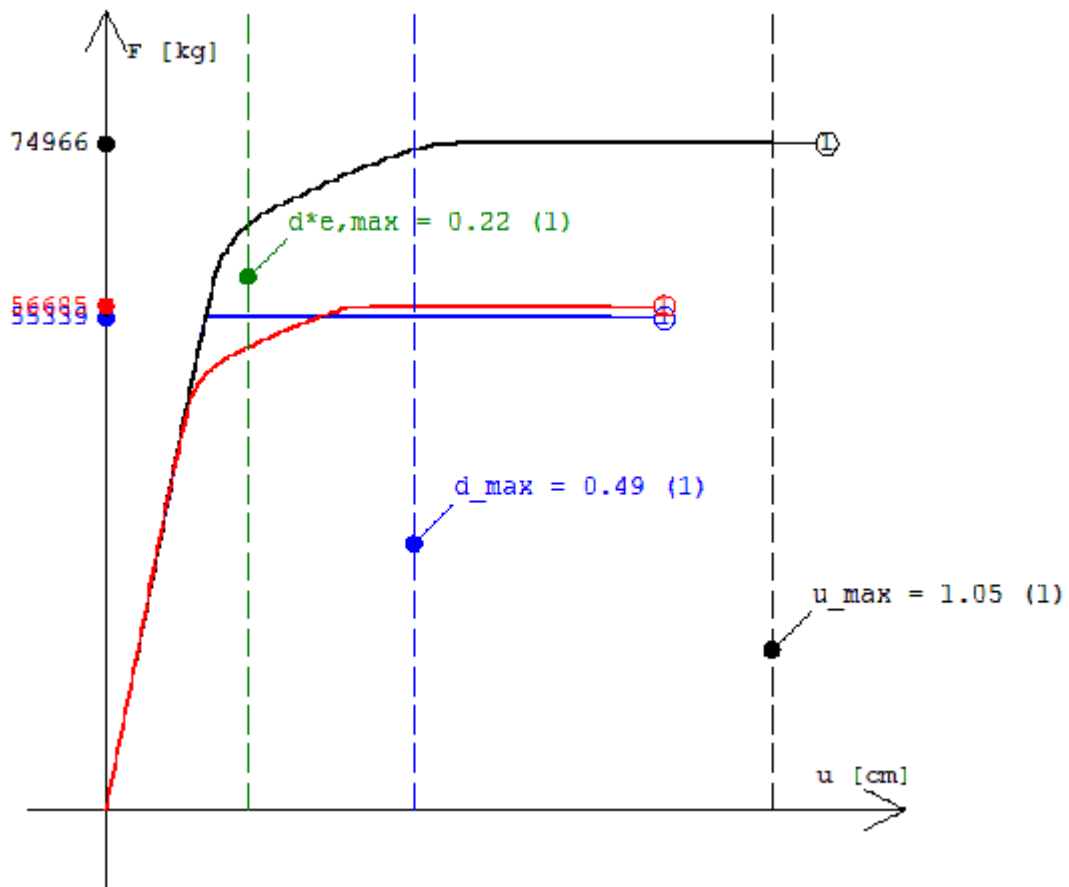
- Curva di capacità ($F - u$)
- Curva di capacità ridotta ($F/T - u/T$)
- Sistema bilineare equivalente
- - - - - Capacità di spostamento elastico (d^*e, \max)
- - - - - Capacità di spostamento (u_{\max})
- - - - - Domanda di spostamento (d_{\max})

Cond_Y_2(+); E(-); S2(-): Sisma Y (+); Distribuzione forze: Proporzionale altezze; Eccentricità accidentale (-0.05*Ly); Sisma seconda direzione (-)



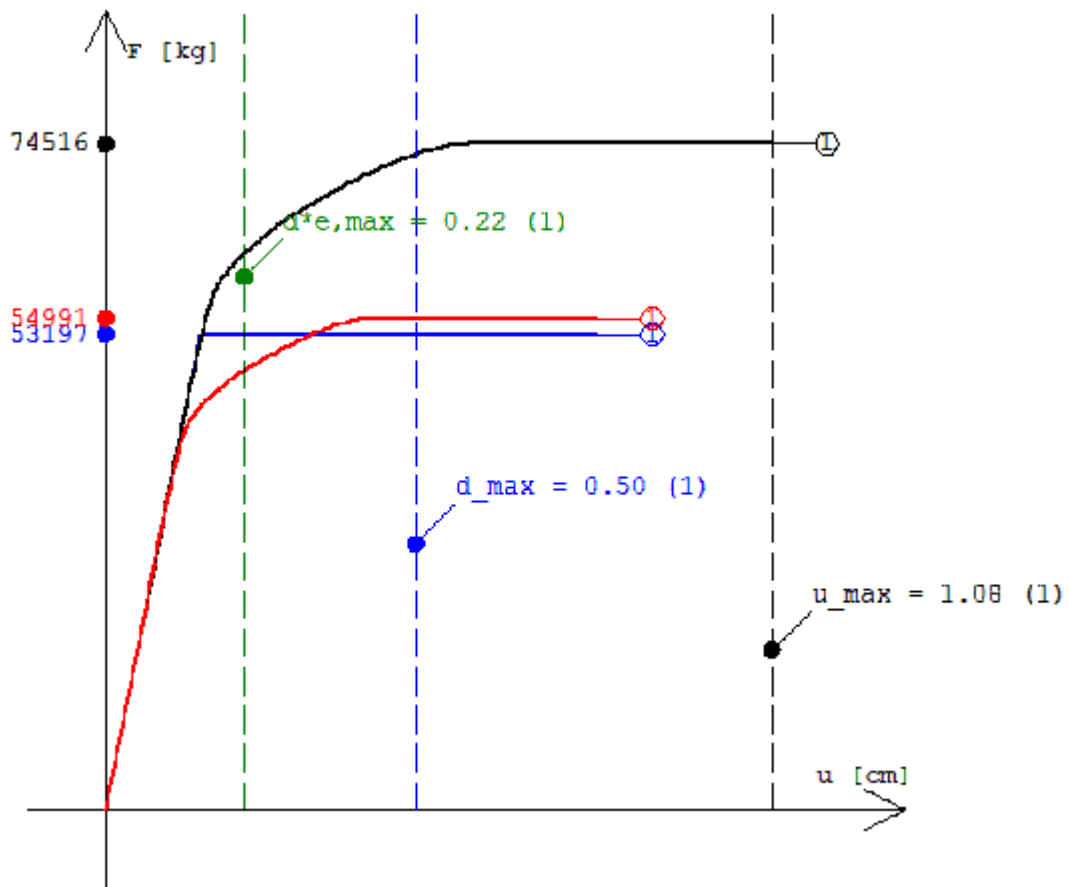
- Curva di capacità ($F - u$)
- Curva di capacità ridotta ($F/T - u/T$)
- Sistema bilineare equivalente
- - - Capacità di spostamento elastico (d^*e, \max)
- - - Capacità di spostamento (u_{\max})
- - - Domanda di spostamento (d_{\max})

Cond_Y_2(-); E(+); S2(+) : Sisma Y (-); Distribuzione forze: Proporzionale altezze; Eccentricità
accidentale (+ 0.05*Ly); Sisma seconda direzione (+)



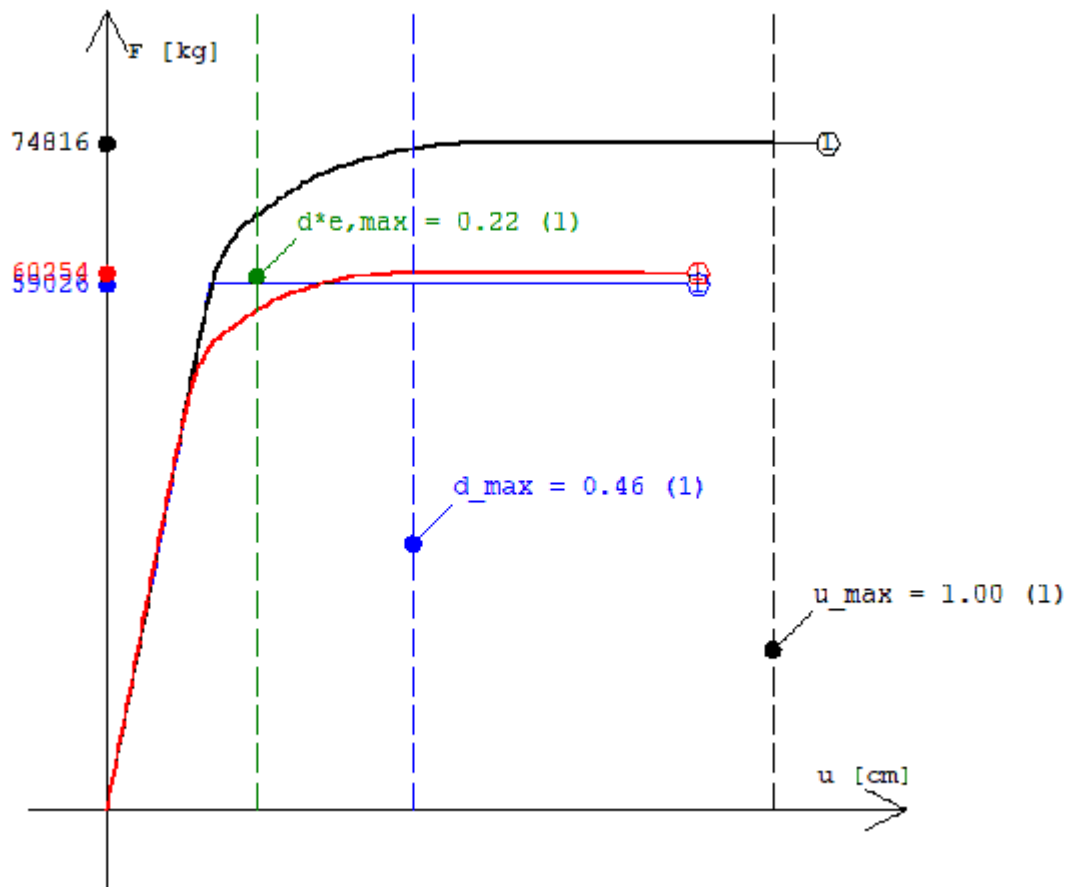
- Curva di capacità ($F - u$)
- Curva di capacità ridotta ($F/T - u/T$)
- Sistema bilineare equivalente
- - - Capacità di spostamento elastico (d^*e, \max)
- - - Capacità di spostamento (u_{\max})
- - - Domanda di spostamento (d_{\max})

Cond_Y_2(-); E(+); S2(-): Sisma Y (-); Distribuzione forze: Proporzionale altezze; Eccentricità accidentale (+ 0.05*Ly); Sisma seconda direzione (-)



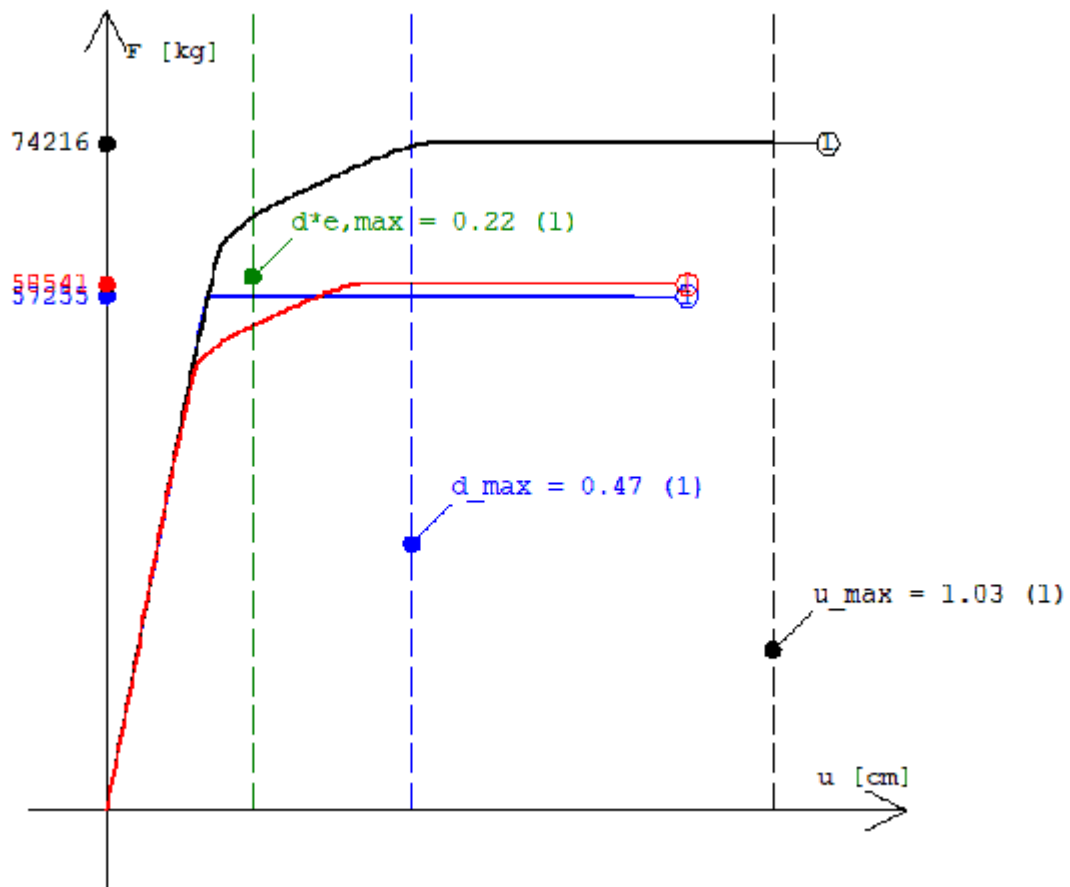
- Curva di capacità ($F - u$)
- Curva di capacità ridotta ($F/T - u/T$)
- Sistema bilineare equivalente
- - - - - Capacità di spostamento elastico (d^*e, max)
- - - - - Capacità di spostamento (u_{max})
- - - - - Domanda di spostamento (d_{max})

Cond_Y_2(-); E(-); S2(+): Sisma Y (-); Distribuzione forze: Proporzionale altezze; Eccentricità accidentale (-0.05*Ly); Sisma seconda direzione (+)



- Curva di capacità ($F - u$)
- Curva di capacità ridotta ($F/T - u/T$)
- Sistema bilineare equivalente
- - - Capacità di spostamento elastico (d^*e_{max})
- - - Capacità di spostamento (u_{max})
- - - Domanda di spostamento (d_{max})

Cond_Y_2(-); E(-); S2(-) : Sisma Y (-); Distribuzione forze: Proporzionale altezze; Eccentricità accidentale (-0.05*Ly); Sisma seconda direzione (-)



4.5 Verifica Aste.

4.5.1 Travi di Elevazione.

4.5.1.1 Verifiche Travi di Elevazione in C.A. .

Qui di seguito vengono riportate le tabelle riportanti i risultati delle verifiche relative alle travi di elevazione della struttura.

4.5.1.1.1 Verifiche SLV - Flessione Composta

Camp	: campata alla quale appartengono le aste riportate;
Asta	: numerazione interna dell'asta;
Imp.	: impalcato al quale appartiene l'asta considerata;
Fili	: fili fissi ai quali appartiene l'asta considerata;
Tipo Sez.	: tipo di sezione dell'asta considerata;
ϵ_{c2}	: deformazione di contrazione del calcestruzzo al raggiungimento della massima tensione;
ϵ_{cu2}	: deformazione ultima di contrazione del calcestruzzo;
X	: distanza dal nodo iniziale misurata lungo l'asse dell'asta
Cop	: distanza tra la superficie esterna dell'armatura più prossima alla superficie del calcestruzzo e la superficie stessa del calcestruzzo;
A_{sup}	: valore dell'area di armatura presente all'estradosso;
A_{inf}	: valore dell'area di armatura presente all'intradosso;
A_{fl}	: valore dell'area di armatura presente nella sezione;

Azioni Sollecitanti:

N_{sd}	: Sforzo Normale Sollecitante;
M_{sdXZ}	: valore del Momento Flettente X-Z sollecitante di calcolo;
M_{sdXY}	: valore del Momento Flettente X-Y sollecitante di calcolo;

ϵ_{cls}	: deformazione massima del calcestruzzo compresso
ϵ_{acc}	: deformazione massima dell'armatura tesa

Azioni Resistenti:

N_{Rd}	: Sforzo Normale Resistente;
M_{RdXZ}	: valore del Momento Flettente X-Z resistente di calcolo;
M_{RdXY}	: valore del Momento Flettente X-Y resistente di calcolo;

C	: campo di rottura
S	: valore del coefficiente di sicurezza minimo della sezione;
Esito	: Esito della verifica : V = VERIFICATA; : NV = NON VERIFICATA;

Tabella 2.I

											Azioni Sollecitanti					Azioni Resistenti						
Camp	Asta	Imp.	Fili	Tipo Sez.	ϵ_{c2} [%]	ϵ_{cu2} [%]	X [cm]	Cop [cm]	A_{sup} [cm ²]	A_{inf} [cm ²]	A_n [cm ²]	N_{sd} [daN]	M_{sdXZ} [daNm]	M_{sdXY} [daNm]	ϵ_{cls} [%]	ϵ_{acc} [%]	N_{Rd} [daN]	M_{RdXZ} [daNm]	M_{RdXY} [daNm]	C	S	Esito
4	73	Primo piano	8-9	2	2.00	3.50	0	2.5	3.08	3.08	6.16	0	-763	-	3.50	20.34	1	-2967	-	3	3.89	V
					2.00	3.50	229	2.5	3.08	3.08	6.16	0	839	-	3.50	20.34	1	-2967	-	3	3.54	V
					2.00	3.50	487	2.5	3.08	3.08	6.16	0	-912	-	3.50	20.34	1	-2967	-	3	3.25	V
8	88	Sottotetto	8-9	2	2.00	3.50	0	2.5	3.08	3.08	6.16	0	-580	-	3.50	20.34	1	-2967	-	3	5.11	V
					2.00	3.50	229	2.5	3.08	3.08	6.16	0	1020	-	3.50	20.34	1	-2967	-	3	2.91	V
					2.00	3.50	487	2.5	3.08	3.08	6.16	0	-585	-	3.50	20.34	1	-2967	-	3	5.07	V

4.5.1.1.2 Verifiche SLV - Taglio

Camp.	: campata alla quale appartengono le aste riportate;
Asta	: numerazione interna dell'asta;
Imp.	: impalcato al quale appartiene l'asta considerata;
Fili	: fili fissi ai quali appartiene l'asta considerata;
Tipo Sez.	: tipo di sezione dell'asta considerata;

Cop. : distanza tra la superficie esterna dell'armatura più prossima alla superficie del calcestruzzo e la superficie stessa del calcestruzzo;
 Blocco : Ini : tratto (iniziale) nel quale le staffe vengono mantenute costanti;
 Med : tratto (mediano) nel quale le staffe vengono mantenute costanti;
 Fin : tratto (finale) nel quale le staffe vengono mantenute costanti;
 cot(θ) : cotangente dell'angolo θ ;
 A_{Sag} : area del singolo sagomato;

Tagli Sollecitanti:

V_{SdXZ} : valore del Taglio X-Z sollecitante di calcolo;
 V_{SdXY} : valore del Taglio X-Y sollecitante di calcolo;
 Valore massimo del taglio calcolato analizzando la struttura con lo spettro elastico.

Tagli Resistenti:

V_{RdXZ} : valore del Taglio X-Z resistente di calcolo;
 V_{RdXY} : valore del Taglio X-Y resistente di calcolo;

ϕ : diametro della staffa;
 N_{br} : numero di bracci di cui è composta la staffa;
 D_{Staffe} : interasse tra le staffe;
 L_{TR} : lunghezza dei tratti per cui si ha D_{staffe};
 S_{XY} : coefficiente di sicurezza relativo a V_{SdXY}
 S_{XZ} : coefficiente di sicurezza relativo a V_{SdXZ}
 Esito : Esito della verifica : V = VERIFICATA;
 : NV = NON VERIFICATA;
 : NV_min = Minimi di normativa non rispettati;

Tabella 3.I

Camp.	Asta	Imp.	Fili	Tipo Sez.	Cop. [cm]	Blocco	cot(θ)	A _{Sag} [cm ²]	Tagli Sollecitanti		Tagli Resistenti		ϕ [mm]	N _{br}	D _{Staffe} [cm]	L _{TR} [cm]	S _{XY}	S _{XZ}	Esito
									V _{SdXY} [daN]	V _{SdXZ} [daN]	V _{RdXY} [daN]	V _{RdXZ} [daN]							
4	73	Primo piano	8-9	2	2.5	Ini	2.5	0.00	0	1173	-	17226	8	2	6	30	-	14.69	V
						Med	2.5	0.00	0	1031	-	11506	8	2	20	397	-	11.16	V
						fin	2.5	0.00	0	1219	-	17226	8	2	6	30	-	14.13	V
8	88	Sottotetto	8-9	2	2.5	Ini	2.5	0.00	0	1227	-	17251	8	2	6	30	-	14.06	V
						Med	2.5	0.00	0	1085	-	11506	8	2	20	397	-	10.60	V
						fin	2.5	0.00	0	1148	-	17251	8	2	6	30	-	15.03	V

4.5.1.1.3 Verifiche SLE - Stato Tensionale.

Camp : campata alla quale appartengono le aste riportate;
 Asta : numerazione interna dell'asta;
 Imp. : impalcato al quale appartiene l'asta considerata;
 Fili : fili fissi ai quali appartiene l'asta considerata;
 Tipo Sez. : tipo di sezione dell'asta considerata;
 Cop : distanza tra la superficie esterna dell'armatura più prossima alla superficie del calcestruzzo e la superficie stessa del calcestruzzo;
 Comb : tipo di combinazione a cui la verifica è riferita;
 X : distanza dal nodo iniziale misurata lungo l'asse dell'asta;

Azioni Sollecitanti:

N_{sd} : Sforzo Normale Sollecitante;
 M_{SdXZ} : valore del Momento Flettente X-Z sollecitante di calcolo;
 M_{SdXY} : valore del Momento Flettente X-Y sollecitante di calcolo;

Tensioni:

σ_c : tensioni d'esercizio del calcestruzzo;
 σ_s : tensioni d'esercizio dell'acciaio;

Tensioni Limite:

$\sigma_{c,lim}$: Tensioni limite del calcestruzzo;
 $\sigma_{s,lim}$: Tensioni limite dell'acciaio;

S : valore del coefficiente di sicurezza minimo della sezione;
 Esito : Esito della verifica : V = VERIFICATA;
 : NV = NON VERIFICATA;

Tabella 4.I

Camp	Asta	Imp.	Fili	Tipo Sez.	Cop [cm]	Comb	X [cm]	Azioni Sollecitanti			Tensioni		Tensioni Limite		S	Esito
								N _{sd} [daN]	M _{sdxz} [daNm]	M _{sdxy} [daNm]	σ _e [daN/cm²]	σ _s [daN/cm²]	σ _{c,lim} [daN/cm²]	σ _{s,lim} [daN/cm²]		
4	73	Primo piano	8-9	2	2.5	Caratt.	0	0	-468	-	16.01	-650.28	150.00	3600.00	5.54	V
							229	0	607	-	20.76	-843.05	150.00	3600.00	4.27	V
							487	0	-588	-	20.11	-816.55	150.00	3600.00	4.41	V
						Q.Perm	0	0	-394	-	13.48	-547.37	112.50	3600.00	6.58	V
							229	0	455	-	15.57	-632.20	112.50	3600.00	5.69	V
							487	0	-494	-	16.88	-685.65	112.50	3600.00	5.25	V
8	88	Sottotetto	8-9	2	2.5	Caratt.	0	0	-425	-	14.51	-589.35	150.00	3600.00	6.11	V
							229	0	738	-	25.22	-1024.16	150.00	3600.00	3.52	V
							487	0	-338	-	11.54	-468.72	150.00	3600.00	7.68	V
						Q.Perm	0	0	-364	-	12.45	-505.44	112.50	3600.00	7.12	V
							229	0	551	-	18.83	-764.59	112.50	3600.00	4.71	V
							487	0	-333	-	11.40	-462.81	112.50	3600.00	7.78	V

4.5.1.1.4 Verifiche SLE - Fessurazione.

Camp : campata alla quale appartengono le aste riportate;
 Asta : numerazione interna dell'asta;
 Imp. : impalcato al quale appartiene l'asta considerata;
 Fili : fili fissi ai quali appartiene l'asta considerata;
 Tipo Sez. : tipo di sezione dell'asta considerata;
 Cop : distanza tra la superficie esterna dell'armatura più prossima alla superficie del calcestruzzo e la superficie stessa del calcestruzzo;
 Comb : tipo di combinazione a cui la verifica è riferita;
 X : distanza dal nodo iniziale misurata lungo l'asse dell'asta;

Sollecitazione : M_{xz} : valore del Momento Flettente X-Z sollecitante di calcolo;
 Fessura di calcolo: W_k : valore dell'apertura della fessura calcolata;
 Fessura max : W_{k,max} : valore della massima apertura ammissibile delle fessure;

Esito : Esito della verifica : V = VERIFICATA;
 : NV = NON VERIFICATA;

Tabella 5.I

							487	Soll.	Fess. di calc.	Fessura max		
Camp	Asta	Imp.	Fili	Tipo Sez.	Cop [cm]	Comb	X [cm]	M _{xz} [daNm]	W _k [mm]	W _{k,max} [mm]	S	Esito
4	73	Primo piano	8-9	2	2.5	Freq	0	-401	0.00	0.40	-	V
							229	475	0.00	0.40	-	V
							487	-526	0.00	0.40	-	V
						Q.Perm	0	-394	0.00	0.30	-	V
							229	455	0.00	0.30	-	V
							487	-494	0.00	0.30	-	V
8	88	Sottotetto	8-9	2	2.5	Freq	0	-367	0.00	0.40	-	V
							229	553	0.00	0.40	-	V
							487	-336	0.00	0.40	-	V
						Q.Perm	0	-364	0.00	0.30	-	V
							229	551	0.00	0.30	-	V
							487	-333	0.00	0.30	-	V

4.5.2 Verifica armature cordoli.

Cordolo : numero del cordolo;
 Imp. : impalcato al quale appartiene il cordolo;
 Fili : fili fissi ai quali appartiene il cordolo;
 A_{f,sup} : armatura superiore;
 A_{f,inf} : armatura inferiore;
 A_{f,tot} : armatura totale;

A_{f_min} : armatura minima prevista dalla normativa;
 S : Coefficiente di sicurezza;
 Esito : Esito della verifica : V = VERIFICATO;
 : NV = NON VERIFICATO;

Cordolo	Imp.	Fili		A_{f_sup} [cm ²]	A_{f_inf} [cm ²]	A_{f_tot} [cm ²]	A_{f_min} [cm ²]	S	Esito
1	Primo piano	6-2	estr. in.	4.02	4.02	8.04	8.00	1.01	V
			mezz.	4.02	4.02	8.04	8.00	1.01	V
			estr. fin.	4.02	4.02	8.04	8.00	1.01	V
2	Primo piano	9-2	estr. in.	4.02	4.02	8.04	8.00	1.01	V
			mezz.	4.02	4.02	8.04	8.00	1.01	V
			estr. fin.	4.02	4.02	8.04	8.00	1.01	V
3	Primo piano	8-6	estr. in.	4.02	4.02	8.04	8.00	1.01	V
			mezz.	4.02	4.02	8.04	8.00	1.01	V
			estr. fin.	4.02	4.02	8.04	8.00	1.01	V
5	Sottotetto	6-2	estr. in.	4.02	4.02	8.04	8.00	1.01	V
			mezz.	4.02	4.02	8.04	8.00	1.01	V
			estr. fin.	4.02	4.02	8.04	8.00	1.01	V
6	Sottotetto	9-2	estr. in.	4.02	4.02	8.04	8.00	1.01	V
			mezz.	4.02	4.02	8.04	8.00	1.01	V
			estr. fin.	4.02	4.02	8.04	8.00	1.01	V
7	Sottotetto	8-6	estr. in.	4.02	4.02	8.04	8.00	1.01	V
			mezz.	4.02	4.02	8.04	8.00	1.01	V
			estr. fin.	4.02	4.02	8.04	8.00	1.01	V
9	Copertura quota inf.	1-7	estr. in.	4.02	4.02	8.04	8.00	1.01	V
			mezz.	4.02	4.02	8.04	8.00	1.01	V
			estr. fin.	4.02	4.02	8.04	8.00	1.01	V
10	Copertura quota inf.	9-1	estr. in.	4.02	4.02	8.04	8.00	1.01	V
			mezz.	4.02	4.02	8.04	8.00	1.01	V
			estr. fin.	4.02	4.02	8.04	8.00	1.01	V
11	Copertura quota inf.	6-2	estr. in.	4.02	4.02	8.04	8.00	1.01	V
			mezz.	4.02	4.02	8.04	8.00	1.01	V
			estr. fin.	4.02	4.02	8.04	8.00	1.01	V
12	Copertura quota inf.	2-9	estr. in.	4.02	4.02	8.04	8.00	1.01	V
			mezz.	4.02	4.02	8.04	8.00	1.01	V
			estr. fin.	4.02	4.02	8.04	8.00	1.01	V
13	Copertura quota inf.	8-6	estr. in.	4.02	4.02	8.04	8.00	1.01	V
			mezz.	4.02	4.02	8.04	8.00	1.01	V
			estr. fin.	4.02	4.02	8.04	8.00	1.01	V
14	Copertura quota inf.	7-8	estr. in.	4.02	4.02	8.04	8.00	1.01	V
			mezz.	4.02	4.02	8.04	8.00	1.01	V
			estr. fin.	4.02	4.02	8.04	8.00	1.01	V
15	Copertura quota sup.	2-3	estr. in.	4.02	4.02	8.04	8.00	1.01	V
			mezz.	4.02	4.02	8.04	8.00	1.01	V
			estr. fin.	4.02	4.02	8.04	8.00	1.01	V
16	Copertura quota sup.	6-2	estr. in.	4.02	4.02	8.04	8.00	1.01	V
			mezz.	4.02	4.02	8.04	8.00	1.01	V
			estr. fin.	4.02	4.02	8.04	8.00	1.01	V
17	Copertura quota sup.	3-4	estr. in.	4.02	4.02	8.04	8.00	1.01	V
			mezz.	4.02	4.02	8.04	8.00	1.01	V
			estr. fin.	4.02	4.02	8.04	8.00	1.01	V
18	Copertura quota sup.	4-5	estr. in.	4.02	4.02	8.04	8.00	1.01	V
			mezz.	4.02	4.02	8.04	8.00	1.01	V
			estr. fin.	4.02	4.02	8.04	8.00	1.01	V
19	Copertura quota sup.	5-6	estr. in.	4.02	4.02	8.04	8.00	1.01	V
			mezz.	4.02	4.02	8.04	8.00	1.01	V
			estr. fin.	4.02	4.02	8.04	8.00	1.01	V

4.5.3 Verifiche Travi di Fondazione in C.A. .

Qui di seguito vengono riportate le tabelle riportanti i risultati delle verifiche relative alle travi di fondazione della struttura.

4.5.3.1 Verifiche SLV - Flessione Composta

Camp : campata alla quale appartengono le aste riportate;
Asta : numerazione interna dell'asta;
Imp. : impalcato al quale appartiene l'asta considerata;
Fili : fili fissi ai quali appartiene l'asta considerata;
Tipo Sez. : tipo di sezione dell'asta considerata;
 ϵ_{c2} : deformazione di contrazione del calcestruzzo al raggiungimento della massima tensione;
 ϵ_{cu2} : deformazione ultima di contrazione del calcestruzzo;
X : distanza dal nodo iniziale misurata lungo l'asse dell'asta
Cop : distanza tra la superficie esterna dell'armatura più prossima alla superficie del calcestruzzo e la superficie stessa del calcestruzzo;
 A_{sup} : valore dell'area di armatura presente all'estradosso;
 A_{inf} : valore dell'area di armatura presente all'intradosso;
 A_{fl} : valore dell'area di armatura presente nella sezione;

Azioni Sollecitanti:

N_{sd} : Sforzo Normale Sollecitante;
 M_{sdXZ} : valore del Momento Flettente X-Z sollecitante di calcolo;
 M_{sdXY} : valore del Momento Flettente X-Y sollecitante di calcolo;

ϵ_{cls} : deformazione massima del calcestruzzo compresso
 ϵ_{acc} : deformazione massima dell'armatura tesa

Azioni Resistenti:

N_{Rd} : Sforzo Normale Resistente;
 M_{RdXZ} : valore del Momento Flettente X-Z resistente di calcolo;
 M_{RdXY} : valore del Momento Flettente X-Y resistente di calcolo;

C : campo di rottura
S : valore del coefficiente di sicurezza minimo della sezione;
Esito : Esito della verifica : V = VERIFICATA;
 : NV = NON VERIFICATA;

Tabella 6.I

												Azioni Sollecitanti					Azioni Resistenti					
Camp	Asta	Imp.	Fili	Tipo Sez.	εc2 [%]	εcu 2 [%]	X [cm]	Cop [cm]	A _{sup} [cm²]	A _{inf} [cm²]	A _n [cm²]	N _{rd} [daN]	M _{sdxz} [daNm]	M _{sdxy} [daNm]	ε _{cls} [%]	ε _{acc} [%]	N _{rd} [daN]	M _{rdxz} [daNm]	M _{rdxy} [daNm]	C	S	Esito
20	1	Fondazioni	7-1	1	2.00	3.50	0	2.5	7.70	7.70	16.96	0	754	-	3.50	44.00	-1	16310	-	3	21.64	V
					2.00	3.50	305	2.5	7.70	7.70	16.96	0	-2009	-	3.50	44.00	-1	-16310	-	3	8.12	V
					2.00	3.50	467	2.5	7.70	7.70	16.96	0	701	-	3.50	44.00	-1	16310	-	3	23.25	V
21	7	Fondazioni	1-9	1	2.00	3.50	0	2.5	7.70	7.70	16.96	0	-1015	-	3.50	44.00	-1	-16310	-	3	16.06	V
					2.00	3.50	258	2.5	7.70	7.70	16.96	0	4217	-	3.50	44.00	-1	16310	-	3	3.87	V
					2.00	3.50	374	2.5	7.70	7.70	16.96	0	4374	-	3.50	44.00	-1	16310	-	3	3.73	V
22	13	Fondazioni	2-3	1	2.00	3.50	0	2.5	7.70	7.70	16.96	0	-2685	-	3.50	44.00	-1	-16310	-	3	6.07	V
					2.00	3.50	148	2.5	7.70	7.70	16.96	0	3294	-	3.50	44.00	-1	16310	-	3	4.95	V
					2.00	3.50	650	2.5	7.70	7.70	16.96	0	-683	-	3.50	44.00	-1	-16310	-	3	23.87	V
23	24	Fondazioni	6-2	1	2.00	3.50	0	2.5	7.70	7.70	16.96	0	2051	-	3.50	44.00	-1	16310	-	3	7.95	V
					2.00	3.50	307	2.5	7.70	7.70	16.96	0	-4036	-	3.50	44.00	-1	-16310	-	3	4.04	V
					2.00	3.50	469	2.5	7.70	7.70	16.96	0	-3471	-	3.50	44.00	-1	-16310	-	3	4.70	V
24	30	Fondazioni	9-2	1	2.00	3.50	0	2.5	7.70	7.70	16.96	0	4374	-	3.50	44.00	-1	16310	-	3	3.73	V
					2.00	3.50	32	2.5	7.70	7.70	16.96	0	3645	-	3.50	44.00	-1	16310	-	3	4.48	V
					2.00	3.50	285	2.5	7.70	7.70	16.96	0	-2856	-	3.50	44.00	-1	-16310	-	3	5.71	V
25	35	Fondazioni	3-4	1	2.00	3.50	0	2.5	7.70	7.70	16.96	0	667	-	3.50	44.00	-1	16310	-	3	24.46	V
					2.00	3.50	313	2.5	7.70	7.70	16.96	0	-1899	-	3.50	44.00	-1	-16310	-	3	8.59	V
					2.00	3.50	562	2.5	7.70	7.70	16.96	0	951	-	3.50	44.00	-1	16310	-	3	17.15	V
26	42	Fondazioni	4-5	1	2.00	3.50	0	2.5	7.70	7.70	16.96	0	-927	-	3.50	44.00	-1	-16310	-	3	17.60	V
					2.00	3.50	149	2.5	7.70	7.70	16.96	0	-1383	-	3.50	44.00	-1	-16310	-	3	11.79	V
					2.00	3.50	657	2.5	7.70	7.70	16.96	0	2079	-	3.50	44.00	-1	16310	-	3	7.84	V
27	49	Fondazioni	5-6	1	2.00	3.50	0	2.5	7.70	7.70	16.96	0	-934	-	3.50	44.00	-1	-16310	-	3	17.46	V
					2.00	3.50	60	2.5	7.70	7.70	16.96	0	2555	-	3.50	44.00	-1	16310	-	3	6.38	V
					2.00	3.50	68	2.5	7.70	7.70	16.96	0	3337	-	3.50	44.00	-1	16310	-	3	4.89	V
28	50	Fondazioni	8-6	1	2.00	3.50	0	2.5	7.70	7.70	16.96	0	846	-	3.50	44.00	-1	16310	-	3	19.27	V

[illegible]

4.5.3.2 Verifiche SLV - Taglio

Camp.	: campata alla quale appartengono le aste riportate;
Asta	: numerazione interna dell'asta;
Imp.	: impalcato al quale appartiene l'asta considerata;
Fili	: fili fissi ai quali appartiene l'asta considerata;
Tipo Sez.	: tipo di sezione dell'asta considerata;
Cop.	: distanza tra la superficie esterna dell'armatura più prossima alla superficie del calcestruzzo e la superficie stessa del calcestruzzo;
Blocco	: Ini : tratto (iniziale) nel quale le staffe vengono mantenute costanti; Med : tratto (mediano) nel quale le staffe vengono mantenute costanti; Fin : tratto (finale) nel quale le staffe vengono mantenute costanti;
$\cot(\theta)$: cotangente dell'angolo θ ;
A_{Sag}	: area del singolo sagomato;

Tagli Sollecitanti:

V_{SdXZ} : valore del Taglio X-Z sollecitante di calcolo;
 V_{SdXY} : valore del Taglio X-Y sollecitante di calcolo;
 Valore massimo del taglio calcolato analizzando la struttura con lo spettro elastico.

Tagli Resistenti:

V_{RdXZ} : valore del Taglio X-Z resistente di calcolo;
 V_{RdXY} : valore del Taglio X-Y resistente di calcolo;

ϕ	: diametro della staffa;
N_{br}	: numero di bracci di cui è composta la staffa;
D_{Staffe}	: interasse tra le staffe;
L_{TR}	: lunghezza dei tratti per cui si ha D_{staffe} ;
S_{XY}	: coefficiente di sicurezza relativo a V_{SdXY}
S_{XZ}	: coefficiente di sicurezza relativo a V_{SdXZ}
Esito	: Esito della verifica : $V = VERIFICATA$; : $NV = NON VERIFICATA$; : $NV_min =$ Minimi di normativa non rispettati;

Tabella 7.I

									Tagli Sollecitanti		Tagli Resistenti								
Camp.	Asta	Imp.	Fili	Tipo Sez.	Cop. [cm]	Blocco	cot(θ)	Asag [cm²]	Vsdx [daN]	Vsaxz [daN]	Vrdxy [daN]	Vrdxz [daN]	φ [mm]	Nbr	Dstaffe [cm]	Ltr [cm]	Sxy	Sxz	Esito
20	1	Fondazio ni	7-1	1	2.5	Ini	2.5	0.00	0	6166	-	49566	8	4	20	407	-	8.04	V
21	7	Fondazio ni	1-9	1	2.5	Ini	2.5	0.00	0	6335	-	49566	8	4	20	344	-	7.82	V
22	13	Fondazio ni	2-3	1	2.5	Ini	2.5	0.00	0	7394	-	49566	8	4	20	590	-	6.70	V
23	24	Fondazio ni	6-2	1	2.5	Ini	2.5	0.00	0	9114	-	49566	8	4	20	409	-	5.44	V
24	30	Fondazio ni	9-2	1	2.5	Ini	2.5	0.00	0	6695	-	49566	8	4	20	255	-	7.40	V
25	35	Fondazio ni	3-4	1	2.5	Ini	2.5	0.00	0	7075	-	49566	8	4	20	502	-	7.01	V
26	42	Fondazio ni	4-5	1	2.5	Ini	2.5	0.00	0	7060	-	49566	8	4	20	597	-	7.02	V
27	49	Fondazio ni	5-6	1	2.5	Ini	2.5	0.00	0	9361	-	49566	8	4	20	68	-	5.29	V
28	50	Fondazio ni	8-6	1	2.5	Ini	2.5	0.00	0	7519	-	49566	8	4	20	255	-	6.59	V
29	53	Fondazio ni	7-8	1	2.5	Ini	2.5	0.00	0	5451	-	49566	8	4	20	344	-	9.09	V

4.5.3.3 Verifiche SLE - Stato Tensionale.

Camp : campata alla quale appartengono le aste riportate;

Asta : numerazione interna dell'asta;
 Imp. : impalcato al quale appartiene l'asta considerata;
 Fili : fili fissi ai quali appartiene l'asta considerata;
 Tipo Sez. : tipo di sezione dell'asta considerata;
 Cop : distanza tra la superficie esterna dell'armatura più prossima alla superficie del calcestruzzo e la superficie stessa del calcestruzzo;
 Comb : tipo di combinazione a cui la verifica è riferita;
 X : distanza dal nodo iniziale misurata lungo l'asse dell'asta;

Azioni Sollecitanti:

N_{sd} : Sforzo Normale Sollecitante;
 M_{sdXZ} : valore del Momento Flettente X-Z sollecitante di calcolo;
 M_{sdXY} : valore del Momento Flettente X-Y sollecitante di calcolo;

Tensioni:

σ_c : tensioni d'esercizio del calcestruzzo;
 σ_s : tensioni d'esercizio dell'acciaio;

Tensioni Limite:

$\sigma_{c,lim}$: Tensioni limite del calcestruzzo;
 $\sigma_{s,lim}$: Tensioni limite dell'acciaio;

S : valore del coefficiente di sicurezza minimo della sezione;
 Esito : Esito della verifica : V = VERIFICATA;
 : NV = NON VERIFICATA;

Tabella 8.I

Camp	Asta	Imp.	Fili	Tipo Sez.	Cop [cm]	Comb	X [cm]	Azioni Sollecitanti			Tensioni		Tensioni Limite		S	Esito
								N_{sd} [daN]	M_{sdXZ} [daNm]	M_{sdXY} [daNm]	σ_c [daN/cm ²]	σ_s [daN/cm ²]	$\sigma_{c,lim}$ [daN/cm ²]	$\sigma_{s,lim}$ [daN/cm ²]		
20	1	Fondazioni	7-1	1	2.5	Caratt.	0	0	372	-	1.66	-92.84	150.00	3600.00	38.77	V
							305	0	-1455	-	6.48	-363.11	150.00	3600.00	9.91	V
							467	0	426	-	1.90	-106.35	150.00	3600.00	33.85	V
						Q.Perm	0	0	193	-	0.86	-48.26	112.50	3600.00	74.60	V
							305	0	-999	-	4.45	-249.38	112.50	3600.00	14.44	V
							467	0	36	-	0.16	-9.01	112.50	3600.00	399.61	V
21	7	Fondazioni	1-9	1	2.5	Caratt.	0	0	-650	-	2.89	-162.17	150.00	3600.00	22.20	V
							258	0	2773	-	12.35	-692.15	150.00	3600.00	5.20	V
							374	0	3162	-	14.09	-789.33	150.00	3600.00	4.56	V
						Q.Perm	0	0	-297	-	1.32	-74.14	112.50	3600.00	48.56	V
							258	0	1995	-	8.89	-497.99	112.50	3600.00	7.23	V
							374	0	2184	-	9.73	-545.08	112.50	3600.00	6.60	V
22	13	Fondazioni	2-3	1	2.5	Caratt.	0	0	-935	-	4.17	-233.35	150.00	3600.00	15.43	V
							148	0	2399	-	10.69	-598.89	150.00	3600.00	6.01	V
							650	0	-420	-	1.87	-104.94	150.00	3600.00	34.31	V
						Q.Perm	0	0	-691	-	3.08	-172.38	112.50	3600.00	20.88	V
							148	0	1926	-	8.58	-480.85	112.50	3600.00	7.49	V
							650	0	-63	-	0.28	-15.70	112.50	3600.00	229.28	V
23	24	Fondazioni	6-2	1	2.5	Caratt.	0	0	523	-	2.33	-130.57	150.00	3600.00	27.57	V
							307	0	-1980	-	8.82	-494.30	150.00	3600.00	7.28	V
							469	0	-814	-	3.63	-203.16	150.00	3600.00	17.72	V
						Q.Perm	0	0	322	-	1.44	-80.49	112.50	3600.00	44.73	V
							307	0	-1349	-	6.01	-336.65	112.50	3600.00	10.69	V
							469	0	-255	-	1.13	-63.54	112.50	3600.00	56.66	V
24	30	Fondazioni	9-2	1	2.5	Caratt.	0	0	3162	-	14.09	-789.32	150.00	3600.00	4.56	V
							32	0	2469	-	11.00	-616.37	150.00	3600.00	5.84	V
							285	0	-1119	-	4.98	-279.27	150.00	3600.00	12.89	V
						Q.Perm	0	0	2184	-	9.73	-545.08	112.50	3600.00	6.60	V
							32	0	1629	-	7.26	-406.55	112.50	3600.00	8.85	V
							285	0	-853	-	3.80	-213.02	112.50	3600.00	16.90	V
25	35	Fondazioni	3-4	1	2.5	Caratt.	0	0	459	-	2.05	-114.67	150.00	3600.00	31.39	V
							313	0	-1371	-	6.11	-342.32	150.00	3600.00	10.52	V
							562	0	407	-	1.81	-101.59	150.00	3600.00	35.44	V
						Q.Perm	0	0	108	-	0.48	-26.95	112.50	3600.00	133.58	V
							313	0	-942	-	4.20	-235.10	112.50	3600.00	15.31	V
							562	0	231	-	1.03	-57.62	112.50	3600.00	62.48	V
26	42	Fondazioni	4-5	1	2.5	Caratt.	0	0	-507	-	2.26	-126.44	150.00	3600.00	28.47	V
							149	0	-994	-	4.43	-248.15	150.00	3600.00	14.51	V
							657	0	1516	-	6.75	-378.39	150.00	3600.00	9.51	V
						Q.Perm	0	0	-253	-	1.13	-63.09	112.50	3600.00	57.06	V
							149	0	-547	-	2.44	-136.49	112.50	3600.00	26.38	V
							657	0	1028	-	4.58	-256.52	112.50	3600.00	14.03	V
27	49	Fondazioni	5-6	1	2.5	Caratt.	0	0	-555	-	2.47	-138.63	150.00	3600.00	25.97	V
							60	0	736	-	3.28	-183.84	150.00	3600.00	19.58	V
							68	0	1172	-	5.22	-292.65	150.00	3600.00	12.30	V
						Q.Perm	0	0	-418	-	1.86	-104.43	112.50	3600.00	34.47	V
							60	0	617	-	2.75	-154.11	112.50	3600.00	23.36	V
							68	0	1011	-	4.50	-252.32	112.50	3600.00	14.27	V
28	50	Fondazioni	8-6	1	2.5	Caratt.	0	0	598	-	2.66	-149.17	150.00	3600.00	24.13	V

							128	0	-1010	-	4.50	-252.21	150.00	3600.00	14.27	V
							285	0	1190	-	5.30	-297.13	150.00	3600.00	12.12	V
						Q.Perm	0	0	286	-	1.27	-71.35	112.50	3600.00	50.45	V
							128	0	-766	-	3.41	-191.23	112.50	3600.00	18.83	V
							285	0	973	-	4.33	-242.85	112.50	3600.00	14.82	V
29	53	Fondazioni	7-8	1	2.5	Caratt.	0	0	-246	-	1.10	-61.47	150.00	3600.00	58.56	V
							43	0	-970	-	4.32	-242.23	150.00	3600.00	14.86	V
							374	0	587	-	2.61	-146.50	150.00	3600.00	24.57	V
						Q.Perm	0	0	-42	-	0.19	-10.39	112.50	3600.00	346.43	V
							43	0	-640	-	2.85	-159.79	112.50	3600.00	22.53	V
							374	0	272	-	1.21	-67.84	112.50	3600.00	53.07	V

4.5.3.4 Verifiche SLE - Fessurazione.

Camp : campata alla quale appartengono le aste riportate;
 Asta : numerazione interna dell'asta;
 Imp. : impalcato al quale appartiene l'asta considerata;
 Fili : fili fissi ai quali appartiene l'asta considerata;
 Tipo Sez. : tipo di sezione dell'asta considerata;
 Cop : distanza tra la superficie esterna dell'armatura più prossima alla superficie del calcestruzzo e la superficie stessa del calcestruzzo;
 Comb : tipo di combinazione a cui la verifica è riferita;
 X : distanza dal nodo iniziale misurata lungo l'asse dell'asta;

Sollecitazione : M_{XZ} : valore del Momento Flettente X-Z sollecitante di calcolo;
 Fessura di calcolo: W_k : valore dell'apertura della fessura calcolata;
 Fessura max : $W_{k,max}$: valore della massima apertura ammissibile delle fessure;

Esito : Esito della verifica : V = VERIFICATA;
 : NV = NON VERIFICATA;

Tabella 9.I

							374	Soll.	Fess. di calc.	Fessura max		
Camp	Asta	Imp.	Fili	Tipo Sez.	Cop [cm]	Comb	X [cm]	M_{XZ} [daNm]	W_k [mm]	$W_{k,max}$ [mm]	S	Esito
20	1	Fondazioni	7-1	1	2.5	Freq	0	283	0.00	0.40	-	V
							305	-1217	0.00	0.40	-	V
							467	231	0.00	0.40	-	V
						Q.Perm	0	193	0.00	0.30	-	V
							305	-999	0.00	0.30	-	V
							467	36	0.00	0.30	-	V
21	7	Fondazioni	1-9	1	2.5	Freq	0	-473	0.00	0.40	-	V
							258	2054	0.00	0.40	-	V
							374	2472	0.00	0.40	-	V
						Q.Perm	0	-297	0.00	0.30	-	V
							258	1995	0.00	0.30	-	V
							374	2184	0.00	0.30	-	V
22	13	Fondazioni	2-3	1	2.5	Freq	0	-719	0.00	0.40	-	V
							148	1959	0.00	0.40	-	V
							650	-242	0.00	0.40	-	V
						Q.Perm	0	-691	0.00	0.30	-	V
							148	1926	0.00	0.30	-	V
							650	-63	0.00	0.30	-	V
23	24	Fondazioni	6-2	1	2.5	Freq	0	423	0.00	0.40	-	V
							307	-1443	0.00	0.40	-	V
							469	-534	0.00	0.40	-	V
						Q.Perm	0	322	0.00	0.30	-	V
							307	-1349	0.00	0.30	-	V
							469	-255	0.00	0.30	-	V
24	30	Fondazioni	9-2	1	2.5	Freq	0	2472	0.00	0.40	-	V
							32	1895	0.00	0.40	-	V
							285	-864	0.00	0.40	-	V
						Q.Perm	0	2184	0.00	0.30	-	V
							32	1629	0.00	0.30	-	V

							285	-853	0.00	0.30	-	V
25	35	Fondazio ni	3-4	1	2.5	Freq	0	284	0.00	0.40	-	V
							313	-1157	0.00	0.40	-	V
							562	319	0.00	0.40	-	V
						Q.Perm	0	108	0.00	0.30	-	V
							313	-942	0.00	0.30	-	V
							562	231	0.00	0.30	-	V
26	42	Fondazio ni	4-5	1	2.5	Freq	0	-380	0.00	0.40	-	V
							149	-770	0.00	0.40	-	V
							657	1272	0.00	0.40	-	V
						Q.Perm	0	-253	0.00	0.30	-	V
							149	-547	0.00	0.30	-	V
							657	1028	0.00	0.30	-	V
27	49	Fondazio ni	5-6	1	2.5	Freq	0	-487	0.00	0.40	-	V
							60	677	0.00	0.40	-	V
							68	1086	0.00	0.40	-	V
						Q.Perm	0	-418	0.00	0.30	-	V
							60	617	0.00	0.30	-	V
							68	1011	0.00	0.30	-	V
28	50	Fondazio ni	8-6	1	2.5	Freq	0	442	0.00	0.40	-	V
							128	-888	0.00	0.40	-	V
							285	1065	0.00	0.40	-	V
						Q.Perm	0	286	0.00	0.30	-	V
							128	-766	0.00	0.30	-	V
							285	973	0.00	0.30	-	V
29	53	Fondazio ni	7-8	1	2.5	Freq	0	-144	0.00	0.40	-	V
							43	-805	0.00	0.40	-	V
							374	429	0.00	0.40	-	V
						Q.Perm	0	-42	0.00	0.30	-	V
							43	-640	0.00	0.30	-	V
							374	272	0.00	0.30	-	V

4.6 Verifica Elementi Bidimensionali.

4.6.1 Verifica Pareti.

4.6.1.1 Verifica Pareti in Muratura.

Dati geometrici

Maschio : numero identificativo dei maschi murari di ogni parete;

Imp. : numero dell'impalcato al quale appartiene la parete;

Fili : numero dei fili fissi ai quali appartiene la parete;

L : lunghezza della parete;

H : altezza della parete;

sp : spessore della parete;

Maschio	Imp.	Fili	L [cm]	H [cm]	Sp [cm]
1	Primo piano	7, 1	447.00	290.00	40.00
2	Primo piano	1, 9	60.00	290.00	46.00
3	Primo piano	1, 9	170.58	290.00	46.00
4	Primo piano	2, 3	30.00	290.00	46.00
5	Primo piano	2, 3	120.00	290.00	46.00
6	Primo piano	2, 3	120.00	290.00	46.00
7	Primo piano	2, 3	50.74	290.00	46.00
8	Primo piano	6, 2	334.00	260.00	46.00
9	Primo piano	9, 2	90.00	260.00	46.00
10	Primo piano	9, 2	39.16	260.00	46.00
11	Primo piano	3, 4	541.70	290.00	40.00
12	Primo piano	4, 5	628.43	290.00	40.00

13	Primo piano	8, 6	250.06	260.00	40.00
14	Primo piano	7, 8	349.68	290.00	40.00
15	Sottotetto	7, 1	467.00	280.00	30.00
16	Sottotetto	1, 9	70.00	280.00	36.00
17	Sottotetto	1, 9	170.74	280.00	36.00
18	Sottotetto	2, 3	215.00	280.00	36.00
19	Sottotetto	2, 3	120.00	280.00	36.00
20	Sottotetto	2, 3	60.90	280.00	36.00
21	Sottotetto	6, 2	304.00	250.00	36.00
22	Sottotetto	6, 2	55.00	250.00	36.00
23	Sottotetto	9, 2	90.00	250.00	36.00
24	Sottotetto	9, 2	44.16	250.00	36.00
25	Sottotetto	3, 4	561.78	280.00	30.00
26	Sottotetto	4, 5	643.93	280.00	30.00
27	Sottotetto	5, 6	23.00	280.00	30.00
28	Sottotetto	8, 6	255.06	250.00	30.00
29	Sottotetto	7, 8	359.87	280.00	30.00
30	Copertura quota inf.	1, 7	467.00	160.00	30.00
31	Copertura quota inf.	9, 1	375.23	80.00	36.00
32	Copertura quota inf.	3, 2	635.90	100.00	36.00
33	Copertura quota inf.	6, 2	284.00	188.10	36.00
34	Copertura quota inf.	6, 2	55.00	94.05	36.00
35	Copertura quota inf.	2, 9	269.68	80.00	36.00
36	Copertura quota inf.	4, 3	561.78	190.00	30.00
37	Copertura quota inf.	5, 4	643.93	280.00	30.00
38	Copertura quota inf.	6, 5	23.00	270.00	30.00
39	Copertura quota inf.	8, 6	270.06	240.00	30.00
40	Copertura quota inf.	7, 8	374.87	240.00	30.00
41	Copertura quota sup.	2, 3	635.90	80.00	36.00
42	Copertura quota sup.	6, 2	469.00	80.00	36.00
43	Copertura quota sup.	3, 4	561.78	80.00	30.00
44	Copertura quota sup.	4, 5	643.93	80.00	30.00
45	Copertura quota sup.	5, 6	38.00	80.00	30.00

4.6.1.1.1 Verifica Carichi Verticali.

Parete : numero della parete
 Imp. : numero dell'impalcato
 Fili : numero dei fili fissi iniziale e finale
 Maschio : numero identificativo dei maschi murari di ogni parete;
 N : Sforzo normale nella sezione testa
 λ : snellezza della parete
 m : coefficiente di eccentricità
 Φ : coefficiente di riduzione
 A : area della sezione trasversale
 σ : tensione massima raggiunta dalla parete
 σ_{lim} : tensione limite di calcolo
 S : coefficiente di sicurezza
 Esito : V : Verificato
 : NV : Non Verificato

Verifica carichi verticali nella sezione di testa
--

Pare te	Imp.	Fili	Maschio	N [daN]	λ	m	Φ	A [cm ²]	σ [daN/cm ²]	σ_{lim} [daN/cm ²]	S	Esito
1	Prim o piano	7, 1	1	17045.57	6.17	0.97	0.54	17880.00	1.78	4.94	2.78	V
2	Prim o piano	1, 9	1	11739.22	6.30	0.28	0.79	2760.00	5.35	9.88	1.85	V
			2	22288.14	6.30	0.32	0.78	7846.53	3.66	9.88	2.70	V
3	Prim o piano	2, 3	1	8462.90	6.30	0.42	0.72	1380.00	8.46	9.88	1.17	V
			2	23383.78	6.30	0.31	0.78	5520.00	5.43	9.88	1.82	V
			3	26217.92	6.30	0.30	0.78	5520.00	6.05	9.88	1.63	V
			4	13092.56	6.30	0.34	0.77	2333.87	7.33	9.88	1.35	V
4	Prim o piano	6, 2	1	20105.04	5.65	0.17	0.87	15364.00	1.51	9.88	6.55	V
5	Prim o piano	9, 2	1	14894.17	5.65	0.35	0.78	4140.00	4.64	9.88	2.13	V
			2	9522.55	5.65	0.33	0.79	1801.56	6.73	9.88	1.47	V
6	Prim o piano	3, 4	1	25306.57	6.99	0.97	0.52	21668.04	2.24	4.94	2.20	V
7	Prim o piano	4, 5	1	80319.55	7.25	0.53	0.66	25137.22	4.87	4.94	1.01	V
9	Prim o piano	8, 6	1	21767.75	6.50	0.42	0.72	10002.53	3.01	4.94	1.64	V
10	Prim o piano	7, 8	1	37973.22	7.25	0.22	0.81	13987.00	3.36	4.94	1.47	V
11	Sotto tetto	7, 1	1	6846.29	8.40	0.28	0.75	14010.00	0.65	4.94	7.61	V
12	Sotto tetto	1, 9	1	6695.19	7.78	0.93	0.52	2520.00	5.13	9.88	1.93	V
			2	11574.91	7.78	0.91	0.52	6146.74	3.60	9.88	2.74	V
13	Sotto tetto	2, 3	1	17617.77	7.78	0.90	0.53	7740.00	4.32	9.88	2.29	V
			2	15360.92	7.78	0.90	0.53	4320.00	6.75	9.88	1.46	V
			3	7899.71	7.78	0.89	0.53	2192.38	6.79	9.88	1.45	V
14	Sotto tetto	6, 2	1	10457.60	6.94	0.21	0.82	10944.00	1.16	9.88	8.48	V
			2	2127.42	6.94	0.21	0.82	1980.00	1.31	9.88	7.54	V
15	Sotto tetto	9, 2	1	7620.15	6.94	0.82	0.57	3240.00	4.13	9.88	2.39	V
			2	5263.35	6.94	0.82	0.57	1589.72	5.82	9.88	1.70	V
16	Sotto tetto	3, 4	1	13037.28	9.33	0.28	0.73	16853.43	1.05	4.94	4.69	V
17	Sotto tetto	4, 5	1	48097.59	9.33	0.70	0.56	19317.83	4.46	4.94	1.11	V
18	Sotto tetto	5, 6	1	831.96	0.06	0.28	0.85	690.00	1.41	4.94	3.50	V
19	Sotto tetto	8, 6	1	12720.90	8.33	0.50	0.64	7651.90	2.59	4.94	1.91	V
20	Sotto tetto	7, 8	1	21387.47	9.33	0.72	0.55	10796.23	3.57	4.94	1.38	V
21	Cope rtura quota inf.	1, 7	1	1018.13	5.33	0.16	0.88	14010.00	0.08	4.94	59.78	V
22	Cope rtura quota inf.	9, 1	1	5044.55	2.22	1.20	0.51	13508.21	0.73	9.88	13.51	V
23	Cope rtura quota inf.	3, 2	1	14435.18	2.78	0.08	0.94	22892.38	0.67	9.88	14.72	V
24	Cope rtura quota inf.	6, 2	1	4411.22	5.22	0.16	0.88	10224.00	0.49	9.88	20.23	V

			2	2082.75	2.61	0.08	0.94	1980.00	1.11	9.88	8.86	V
25	Cope rtura quota inf.	2, 9	1	3587.11	2.22	1.19	0.51	9708.37	0.72	9.88	13.70	V
26	Cope rtura quota inf.	4, 3	1	4711.69	6.33	0.19	0.84	16853.43	0.33	4.94	14.89	V
27	Cope rtura quota inf.	5, 4	1	13701.69	9.33	0.28	0.73	19317.83	0.97	4.94	5.11	V
28	Cope rtura quota inf.	6, 5	1	347.58	0.06	0.27	0.86	690.00	0.59	4.94	8.42	V
29	Cope rtura quota inf.	8, 6	1	3592.21	8.00	1.09	0.46	8101.90	0.96	4.94	5.13	V
30	Cope rtura quota inf.	7, 8	1	5039.83	8.00	1.09	0.46	11246.24	0.98	4.94	5.06	V
31	Cope rtura quota sup.	2, 3	1	9673.57	2.22	1.22	0.50	22892.38	0.84	9.88	11.78	V
32	Cope rtura quota sup.	6, 2	1	994.03	2.22	0.07	0.95	16884.00	0.06	9.88	159.7 0	V
33	Cope rtura quota sup.	3, 4	1	1206.17	2.67	0.08	0.94	16853.43	0.08	4.94	65.03	V
34	Cope rtura quota sup.	4, 5	1	9683.58	2.67	0.94	0.59	19317.83	0.86	4.94	5.77	V
35	Cope rtura quota sup.	5, 6	1	110.46	2.67	0.08	0.94	1140.00	0.10	4.94	48.03	V

Verifica carichi verticali nella sezione di mezzeria												
Pare te	Imp.	Fili	Maschio	N [daN]	λ	m	Φ	A [cm ²]	σ [daN/cm ²]	σ_{lim} [daN/cm ²]	S	Esito
1	Prim o piano	7, 1	1	23786.33	6.17	0.48	0.69	17880.00	1.91	4.94	2.58	V
2	Prim o piano	1, 9	1	12779.74	6.30	0.14	0.87	2760.00	5.33	9.88	1.85	V
			2	25246.28	6.30	0.16	0.86	7846.53	3.74	9.88	2.64	V
3	Prim o piano	2, 3	1	8983.16	6.30	0.21	0.83	1380.00	7.81	9.88	1.26	V
			2	25464.82	6.30	0.16	0.86	5520.00	5.36	9.88	1.84	V
			3	28298.96	6.30	0.15	0.86	5520.00	5.94	9.88	1.66	V
			4	13972.43	6.30	0.17	0.85	2333.87	7.02	9.88	1.41	V
4	Prim o piano	6, 2	1	25298.07	5.65	0.08	0.91	15364.00	1.81	9.88	5.47	V
5	Prim o piano	9, 2	1	16293.49	5.65	0.17	0.87	4140.00	4.55	9.88	2.17	V
			2	10131.48	5.65	0.16	0.87	1801.56	6.46	9.88	1.53	V
6	Prim o piano	3, 4	1	33475.43	6.99	0.48	0.68	21668.04	2.28	4.94	2.17	V
7	Prim o piano	4, 5	1	89796.28	7.25	0.26	0.79	25137.22	4.55	4.94	1.09	V

9	Prim o piano	8, 6	1	25148.60	6.50	0.21	0.83	10002.53	3.03	4.94	1.63	V
10	Prim o piano	7, 8	1	43246.32	7.25	0.11	0.86	13987.00	3.58	4.94	1.38	V
11	Sotto tetto	7, 1	1	11945.93	8.40	0.14	0.82	14010.00	1.03	4.94	4.77	V
12	Sotto tetto	1, 9	1	7612.47	7.78	0.46	0.67	2520.00	4.49	9.88	2.20	V
			2	13812.33	7.78	0.46	0.68	6146.74	3.32	9.88	2.98	V
13	Sotto tetto	2, 3	1	20435.13	7.78	0.45	0.68	7740.00	3.88	9.88	2.54	V
			2	16933.40	7.78	0.45	0.68	4320.00	5.76	9.88	1.71	V
			3	8697.74	7.78	0.44	0.68	2192.38	5.81	9.88	1.70	V
14	Sotto tetto	6, 2	1	14014.40	6.94	0.10	0.87	10944.00	1.47	9.88	6.74	V
			2	2770.92	6.94	0.10	0.87	1980.00	1.60	9.88	6.17	V
15	Sotto tetto	9, 2	1	8673.15	6.94	0.41	0.72	3240.00	3.73	9.88	2.65	V
			2	5780.01	6.94	0.41	0.72	1589.72	5.07	9.88	1.95	V
16	Sotto tetto	3, 4	1	19171.93	9.33	0.14	0.80	16853.43	1.41	4.94	3.49	V
17	Sotto tetto	4, 5	1	55129.28	9.33	0.35	0.70	19317.83	4.09	4.94	1.21	V
18	Sotto tetto	5, 6	1	1083.12	0.06	0.14	0.93	690.00	1.69	4.94	2.92	V
19	Sotto tetto	8, 6	1	15207.77	8.33	0.25	0.77	7651.90	2.59	4.94	1.91	V
20	Sotto tetto	7, 8	1	25317.29	9.33	0.36	0.69	10796.23	3.38	4.94	1.46	V
21	Cope rtura quota inf.	1, 7	1	3932.21	5.33	0.08	0.92	14010.00	0.30	4.94	16.21	V
22	Cope rtura quota inf.	9, 1	1	6449.41	2.22	0.60	0.70	13508.21	0.69	9.88	14.40	V
23	Cope rtura quota inf.	3, 2	1	17411.19	2.78	0.04	0.96	22892.38	0.79	9.88	12.49	V
24	Cope rtura quota inf.	6, 2	1	6911.28	5.22	0.08	0.92	10224.00	0.73	9.88	13.51	V
			2	2324.84	2.61	0.04	0.96	1980.00	1.22	9.88	8.11	V
25	Cope rtura quota inf.	2, 9	1	4596.78	2.22	0.60	0.70	9708.37	0.68	9.88	14.53	V
26	Cope rtura quota inf.	4, 3	1	8874.48	6.33	0.10	0.89	16853.43	0.59	4.94	8.36	V
27	Cope rtura quota inf.	5, 4	1	20733.38	9.33	0.14	0.80	19317.83	1.33	4.94	3.70	V
28	Cope rtura quota inf.	6, 5	1	589.77	0.06	0.14	0.93	690.00	0.92	4.94	5.37	V
29	Cope rtura quota inf.	8, 6	1	6120.00	8.00	0.54	0.64	8101.90	1.19	4.94	4.16	V
30	Cope rtura quota inf.	7, 8	1	8548.66	8.00	0.54	0.64	11246.24	1.20	4.94	4.13	V
31	Cope rtura quota sup.	2, 3	1	12054.38	2.22	0.61	0.69	22892.38	0.76	9.88	12.99	V

32	Cope rtura quota sup.	6, 2	1	2749.97	2.22	0.03	0.97	16884.00	0.17	9.88	58.78	V
33	Cope rtura quota sup.	3, 4	1	2958.93	2.67	0.04	0.96	16853.43	0.18	4.94	27.09	V
34	Cope rtura quota sup.	4, 5	1	11692.64	2.67	0.47	0.74	19317.83	0.82	4.94	6.03	V
35	Cope rtura quota sup.	5, 6	1	229.02	2.67	0.04	0.96	1140.00	0.21	4.94	23.68	V

4.6.1.1.2 Verifica a Pressoflessione Fuori Piano

Parete : numero della parete;

Imp. : numero dell'impalcato al quale appartiene la parete;

Fili : numero dei fili fissi ai quali appartiene la parete;

Maschio : numero identificativo dei maschi murari di ogni parete;

Nsd : sforzo normale sollecitante di calcolo relativo alla combinazione di carico più gravosa

Tp : primo periodo di oscillazione del pannello

Po : peso degli orizzontamenti che gravano sulla parete e che devono essere considerati ai fini del calcolo;

Pp : Peso proprio del muro esaminato

Fo : forza sismica dovuta al peso degli orizzontamenti

Fa : forza sismica dovuta al peso del pannello

Mu : momento resistente del pannello

Ms : momento sollecitante

S : coefficiente di sicurezza

Esito : V : Verificato

: NV : Non Verificato

Par ete	Imp .	Fili	Mas chio	Nsd [daN]	Tp [s]	Po [daN]	Pp [daN]	Fo [daN]	Fa [daN/cm]	Mu [daNm]	Ms [daNm]	S	Esit o
1	Pri mo pian o	7, 1	1	30527.09	0.00	0.00	10370.40	0.00	198.73	3622.06	208.91	17.34	V
2	Pri mo pian o	1, 9	1	14648.26	0.00	1295.57	1600.80	72.00	30.68	1239.16	84.45	14.67	V
			2	29032.42	0.00	3044.18	4550.99	169.17	87.21	3734.44	214.33	17.42	V
3	Pri mo pian o	2, 3	1	9917.42	0.00	43.71	800.40	2.43	15.34	328.37	17.89	18.36	V
			2	28235.86	0.00	151.72	3201.60	8.43	61.35	2537.24	70.61	35.93	V
			3	30932.00	0.00	148.41	3201.60	8.25	61.35	2365.59	70.48	33.57	V
			4	15128.30	0.00	63.77	1353.65	3.54	25.94	792.88	29.84	26.57	V
4	Pri mo pian o	6, 2	1	30840.71	0.00	14.90	7989.28	0.83	170.76	5397.27	144.83	37.27	V
5	Pri mo pian o	9, 2	1	17803.21	0.00	2746.76	2152.80	152.65	46.01	1997.25	138.10	14.46	V
			2	10850.81	0.00	1166.21	936.81	64.81	20.02	705.17	59.05	11.94	V
6	Pri mo pian o	3, 4	1	41644.28	0.00	0.00	12567.47	0.00	240.83	4515.33	253.17	17.83	V
7	Pri mo pian	4, 5	1	99273.01	0.00	7181.59	14579.59	399.10	279.39	1174.41	583.06	2.01	V

	o												
9	Pri mo pian o	8, 6	1	28529.46	0.00	1769.82	5201.32	98.35	111.17	1828.74	157.87	11.58	V
10	Pri mo pian o	7, 8	1	48519.42	0.00	3283.54	8112.46	182.48	155.46	1684.47	295.72	5.70	V
11	Sott ott o	7, 1	1	17045.57	0.00	0.00	7845.60	0.00	216.70	1815.73	212.36	8.55	V
12	Sott ott o	1, 9	1	9134.54	0.00	1347.96	1411.20	104.25	38.98	934.28	111.17	8.40	V
			2	16654.54	0.00	2983.54	3442.17	230.74	95.07	2030.28	254.69	7.97	V
13	Sott ott o	2, 3	1	23425.29	0.00	200.93	4334.40	15.54	119.72	2696.43	128.20	21.03	V
			2	18851.48	0.00	118.12	2419.20	9.13	66.82	1629.44	71.88	22.67	V
			3	9668.56	0.00	59.88	1227.73	4.63	33.91	826.11	36.47	22.65	V
14	Sott ott o	6, 2	1	17673.80	0.00	8.39	5472.00	0.65	169.27	2569.31	132.65	19.37	V
			2	3517.02	0.00	2.08	990.00	0.16	30.63	499.12	24.03	20.77	V
15	Sott ott o	9, 2	1	9726.15	0.00	1940.08	1620.00	150.04	50.11	1124.69	132.93	8.46	V
			2	6296.67	0.00	883.24	794.86	68.31	24.59	598.65	61.90	9.67	V
16	Sott ott o	3, 4	1	25306.57	0.00	0.00	9437.92	0.00	260.68	2438.06	255.46	9.54	V
17	Sott ott o	4, 5	1	62160.97	0.00	7966.60	10817.99	616.11	298.80	2176.31	724.10	3.01	V
18	Sott ott o	5, 6	1	1334.28	0.00	0.00	386.40	0.00	10.67	107.94	10.46	10.32	V
19	Sott ott o	8, 6	1	17694.63	0.00	1747.02	3825.95	135.11	118.35	1191.98	176.91	6.74	V
20	Sott ott o	7, 8	1	29247.13	0.00	3480.90	6045.89	269.20	166.99	1555.73	352.09	4.42	V
21	Cop ertu ra quot a inf.	1, 7	1	6846.29	0.00	15.06	4483.20	1.47	273.95	907.39	88.25	10.28	V
22	Cop ertu ra quot a inf.	9, 1	1	7854.26	0.00	1918.74	2161.31	176.23	248.13	1315.85	55.10	23.88	V
23	Cop ertu ra quot a inf.	3, 2	1	20387.20	0.00	2.54	4578.48	0.23	420.51	3280.41	52.62	62.34	V
24	Cop ertu ra quot a inf.	6, 2	1	9482.53	0.00	5.84	3846.25	0.57	199.91	1518.28	88.68	17.12	V
			2	2638.10	0.00	1.41	372.44	0.14	38.72	399.49	4.31	92.62	V
25	Cop ertu ra quot a inf.	2, 9	1	5606.45	0.00	1337.82	1553.34	122.87	178.33	939.74	38.84	24.19	V
26	Cop	4, 3	1	13037.28	0.00	0.00	6404.30	0.00	332.16	1595.19	149.89	10.64	V

	ertu ra quot a inf.												
27	Cop ertu ra quot a inf.	5, 4	1	27765.08	0.00	0.00	10817.99	0.00	381.41	2738.71	373.78	7.33	V
28	Cop ertu ra quot a inf.	6, 5	1	831.96	0.00	0.00	372.60	0.00	13.59	88.95	12.39	7.18	V
29	Cop ertu ra quot a inf.	8, 6	1	8647.79	0.00	1267.36	3888.91	124.14	158.72	967.32	188.77	5.12	V
30	Cop ertu ra quot a inf.	7, 8	1	12057.48	0.00	1807.91	5398.19	177.09	220.33	1346.66	264.89	5.08	V
31	Cop ertu ra quot a sup.	2, 3	1	14435.18	0.00	171.49	3662.78	17.06	455.48	2403.17	39.85	60.30	V
32	Cop ertu ra quot a sup.	6, 2	1	4505.91	0.00	448.03	2701.44	47.39	357.20	785.28	38.05	20.64	V
33	Cop ertu ra quot a sup.	3, 4	1	4711.69	0.00	48.16	2696.55	5.12	358.49	659.68	29.70	22.21	V
34	Cop ertu ra quot a sup.	4, 5	1	13701.69	0.00	521.69	3090.85	59.07	437.46	1707.97	46.81	36.49	V
35	Cop ertu ra quot a sup.	5, 6	1	347.58	0.00	45.55	182.40	5.11	25.59	48.35	3.07	15.75	V

4.6.1.1.3 Verifica ad Eccentricità.

Verifica eccentricità della sezione di Testa

Parete : numero della parete

Imp. : numero dell'impalcato

Fili : numero dei fili fissi iniziale e finale

Maschio: numero identificativo dei maschi murari di ogni parete;

t : spessore della parete

e_1 : eccentricità dello sforzo normale rispetto all'asse della parete nella sezione di testa;

e_1/t : rapporto tra l'eccentricità e_1 ed lo spessore della parete t

$(e_1/t)_{lim}$: valore limite del rapporto tra l'eccentricità e lo spessore

S : coefficiente di sicurezza
 Esito : V : Verificato
 : NV : Non Verificato

Parete	Imp.	Fili	Maschio	t [cm]	e ₁ [cm]	e ₁ /t	(e ₁ /t) _{lim}	S	Esito
1	Prim o piano	7, 1	1	40.00	6.45	0.16	0.33	2.05	V
2	Prim o piano	1, 9	1	46.00	2.18	0.05	0.33	6.95	V
			2	46.00	2.45	0.05	0.33	6.21	V
3	Prim o piano	2, 3	1	46.00	3.22	0.07	0.33	4.71	V
			2	46.00	2.41	0.05	0.33	6.30	V
			3	46.00	2.33	0.05	0.33	6.51	V
			4	46.00	2.62	0.06	0.33	5.79	V
4	Prim o piano	6, 2	1	46.00	1.30	0.03	0.33	11.68	V
5	Prim o piano	9, 2	1	46.00	2.66	0.06	0.33	5.71	V
			2	46.00	2.53	0.05	0.33	6.01	V
6	Prim o piano	3, 4	1	40.00	6.45	0.16	0.33	2.05	V
7	Prim o piano	4, 5	1	40.00	3.51	0.09	0.33	3.76	V
9	Prim o piano	8, 6	1	40.00	2.79	0.07	0.33	4.73	V
10	Prim o piano	7, 8	1	40.00	1.47	0.04	0.33	9.00	V
11	Sotto tetto	7, 1	1	30.00	1.40	0.05	0.33	7.07	V
12	Sotto tetto	1, 9	1	36.00	5.55	0.15	0.33	2.14	V
			2	36.00	5.46	0.15	0.33	2.18	V
13	Sotto tetto	2, 3	1	36.00	5.40	0.15	0.33	2.20	V
			2	36.00	5.39	0.15	0.33	2.20	V
			3	36.00	5.33	0.15	0.33	2.23	V
14	Sotto tetto	6, 2	1	36.00	1.25	0.03	0.33	9.50	V
			2	36.00	1.25	0.03	0.33	9.50	V
15	Sotto tetto	9, 2	1	36.00	4.90	0.14	0.33	2.43	V
			2	36.00	4.92	0.14	0.33	2.41	V
16	Sotto tetto	3, 4	1	30.00	1.40	0.05	0.33	7.07	V
17	Sotto tetto	4, 5	1	30.00	3.51	0.12	0.33	2.82	V
18	Sotto tetto	5, 6	1	30.00	1.40	0.05	0.33	7.07	V
19	Sotto tetto	8, 6	1	30.00	2.52	0.08	0.33	3.92	V
20	Sotto tetto	7, 8	1	30.00	3.58	0.12	0.33	2.76	V
21	Cope rtura quota inf.	1, 7	1	30.00	0.80	0.03	0.33	12.38	V
22	Cope rtura quota inf.	9, 1	1	36.00	7.19	0.20	0.33	1.65	V
23	Cope rtura quota	3, 2	1	36.00	0.50	0.01	0.33	23.76	V

	inf.								
24	Cope rtura quota inf.	6, 2	1	36.00	0.94	0.03	0.33	12.63	V
			2	36.00	0.47	0.01	0.33	25.26	V
25	Cope rtura quota inf.	2, 9	1	36.00	7.16	0.20	0.33	1.66	V
26	Cope rtura quota inf.	4, 3	1	30.00	0.95	0.03	0.33	10.42	V
27	Cope rtura quota inf.	5, 4	1	30.00	1.40	0.05	0.33	7.07	V
28	Cope rtura quota inf.	6, 5	1	30.00	1.35	0.05	0.33	7.33	V
29	Cope rtura quota inf.	8, 6	1	30.00	5.43	0.18	0.33	1.82	V
30	Cope rtura quota inf.	7, 8	1	30.00	5.45	0.18	0.33	1.82	V
31	Cope rtura quota sup.	2, 3	1	36.00	7.33	0.20	0.33	1.62	V
32	Cope rtura quota sup.	6, 2	1	36.00	0.40	0.01	0.33	29.70	V
33	Cope rtura quota sup.	3, 4	1	30.00	0.40	0.01	0.33	24.75	V
34	Cope rtura quota sup.	4, 5	1	30.00	4.72	0.16	0.33	2.10	V
35	Cope rtura quota sup.	5, 6	1	30.00	0.40	0.01	0.33	24.75	V

Verifica eccentricità della sezione di Mezzeria

Parete : numero della parete
 Imp. : numero dell'impalcato
 Fili : numero dei fili fissi iniziale e finale
 Maschio : numero identificativo dei maschi murari di ogni parete;
 t : spessore della parete
 e_1 : eccentricità dello sforzo normale rispetto all'asse della parete nella sezione di testa;
 e_v : eccentricità dovuta all'azione del vento nella sezione di mezzeria
 e_2 : eccentricità dello sforzo normale rispetto all'asse della parete nella sezione di mezzeria;
 e_2/t : rapporto tra l'eccentricità e_2 ed lo spessore della parete t
 $(e_2/t)_{lim}$: valore limite del rapporto tra l'eccentricità e lo spessore
 S : coefficiente di sicurezza
 Esito : V : Verificato
 : NV : Non Verificato

Pare te	Imp.	Fili	Maschio	t [cm]	$e_1/2$ [cm]	e_v [cm]	e_2 [cm]	e_2/t	$(e_2/t)_{lim}$	S	Esito
1	Prim o piano	7, 1	1	40.00	3.22	0.00	3.22	0.08	0.33	4.09	V

2	Prim o piano	1, 9	1	46.00	1.09	0.00	1.09	0.02	0.33	13.90	V
			2	46.00	1.22	0.00	1.22	0.03	0.33	12.42	V
3	Prim o piano	2, 3	1	46.00	1.61	0.00	1.61	0.04	0.33	9.42	V
			2	46.00	1.21	0.00	1.21	0.03	0.33	12.60	V
			3	46.00	1.17	0.00	1.17	0.03	0.33	13.02	V
			4	46.00	1.31	0.00	1.31	0.03	0.33	11.58	V
4	Prim o piano	6, 2	1	46.00	0.65	0.00	0.65	0.01	0.33	23.35	V
5	Prim o piano	9, 2	1	46.00	1.33	0.00	1.33	0.03	0.33	11.41	V
			2	46.00	1.26	0.00	1.26	0.03	0.33	12.01	V
6	Prim o piano	3, 4	1	40.00	3.23	0.00	3.23	0.08	0.33	4.09	V
7	Prim o piano	4, 5	1	40.00	1.76	0.00	1.76	0.04	0.33	7.52	V
9	Prim o piano	8, 6	1	40.00	1.39	0.00	1.39	0.03	0.33	9.47	V
10	Prim o piano	7, 8	1	40.00	0.73	0.00	0.73	0.02	0.33	18.00	V
11	Sotto tetto	7, 1	1	30.00	0.70	0.00	0.70	0.02	0.33	14.14	V
12	Sotto tetto	1, 9	1	36.00	2.78	0.00	2.78	0.08	0.33	4.28	V
			2	36.00	2.73	0.00	2.73	0.08	0.33	4.35	V
13	Sotto tetto	2, 3	1	36.00	2.70	0.00	2.70	0.07	0.33	4.40	V
			2	36.00	2.70	0.00	2.70	0.07	0.33	4.41	V
			3	36.00	2.66	0.00	2.66	0.07	0.33	4.46	V
14	Sotto tetto	6, 2	1	36.00	0.63	0.00	0.63	0.02	0.33	19.01	V
			2	36.00	0.63	0.00	0.63	0.02	0.33	19.01	V
15	Sotto tetto	9, 2	1	36.00	2.45	0.00	2.45	0.07	0.33	4.85	V
			2	36.00	2.46	0.00	2.46	0.07	0.33	4.83	V
16	Sotto tetto	3, 4	1	30.00	0.70	0.00	0.70	0.02	0.33	14.14	V
17	Sotto tetto	4, 5	1	30.00	1.76	0.00	1.76	0.06	0.33	5.64	V
18	Sotto tetto	5, 6	1	30.00	0.70	0.00	0.70	0.02	0.33	14.14	V
19	Sotto tetto	8, 6	1	30.00	1.26	0.00	1.26	0.04	0.33	7.85	V
20	Sotto tetto	7, 8	1	30.00	1.79	0.00	1.79	0.06	0.33	5.53	V
21	Cope rtura quota inf.	1, 7	1	30.00	0.40	0.00	0.40	0.01	0.33	24.75	V
22	Cope rtura quota inf.	9, 1	1	36.00	3.60	0.00	3.60	0.10	0.33	3.30	V
23	Cope rtura quota inf.	3, 2	1	36.00	0.25	0.00	0.25	0.01	0.33	47.52	V
24	Cope rtura quota inf.	6, 2	1	36.00	0.47	0.00	0.47	0.01	0.33	25.26	V
			2	36.00	0.24	0.00	0.24	0.01	0.33	50.53	V
25	Cope rtura quota inf.	2, 9	1	36.00	3.58	0.00	3.58	0.10	0.33	3.32	V

26	Cope rtura quota inf.	4, 3	1	30.00	0.48	0.00	0.48	0.02	0.33	20.84	V
27	Cope rtura quota inf.	5, 4	1	30.00	0.70	0.00	0.70	0.02	0.33	14.14	V
28	Cope rtura quota inf.	6, 5	1	30.00	0.68	0.00	0.68	0.02	0.33	14.67	V
29	Cope rtura quota inf.	8, 6	1	30.00	2.71	0.00	2.71	0.09	0.33	3.65	V
30	Cope rtura quota inf.	7, 8	1	30.00	2.72	0.00	2.72	0.09	0.33	3.64	V
31	Cope rtura quota sup.	2, 3	1	36.00	3.66	0.00	3.66	0.10	0.33	3.24	V
32	Cope rtura quota sup.	6, 2	1	36.00	0.20	0.00	0.20	0.01	0.33	59.40	V
33	Cope rtura quota sup.	3, 4	1	30.00	0.20	0.00	0.20	0.01	0.33	49.50	V
34	Cope rtura quota sup.	4, 5	1	30.00	2.36	0.00	2.36	0.08	0.33	4.19	V
35	Cope rtura quota sup.	5, 6	1	30.00	0.20	0.00	0.20	0.01	0.33	49.50	V

Verifica eccentricità della sezione al Piede

Parete : numero della parete
 Imp. : numero dell'impalcato
 Fili : numero dei fili fissi iniziale e finale
 Maschio : numero identificativo dei maschi murari di ogni parete;
 L : spessore della parete
 e_{bx} : eccentricità dello sforzo normale per effetto del vento in direzione x sulla sezione al piede
 e_{by} : eccentricità dello sforzo normale per effetto del vento in direzione y sulla sezione al piede
 $(6e_b/L)_x$: rapporto tra l'eccentricità e la lunghezza della parete per effetto del vento in direzione x
 $(6e_b/L)_y$: rapporto tra l'eccentricità e la lunghezza della parete per effetto del vento in direzione y
 $(6e_b/L)_{lim}$: valore limite del rapporto tra l'eccentricità e lo spessore
 S_x : coefficiente di sicurezza per effetto del vento in direzione x
 S_y : coefficiente di sicurezza per effetto del vento in direzione y
 Esito X, Esito Y : V : Verificato
 : NV : Non Verificato

Pare te	Imp.	Fili	Maschio	L [cm]	e_{bx} [cm]	e_{by} [cm]	$(6e_b/L)_x$	$(6e_b/L)_y$	$(6e_b/L)_{lim}$	S_x	S_y	Esito X	Esito Y
1	Prim o piano	7, 1	1	447.0 0	0.00	0.00	0.00	0.00	1.30	-	-	V	V
2	Prim o piano	1, 9	1	60.00	0.00	0.00	0.00	0.00	1.30	-	-	V	V
			2	170.5 8	0.00	0.00	0.00	0.00	1.30	-	-	V	V
3	Prim o piano	2, 3	1	30.00	0.00	0.00	0.00	0.00	1.30	-	-	V	V
			2	120.0	0.00	0.00	0.00	0.00	1.30	-	-	V	V

				0									
			3	120.0 0	0.00	0.00	0.00	0.00	1.30	-	-	V	V
			4	50.74	0.00	0.00	0.00	0.00	1.30	-	-	V	V
4	Prim o piano	6, 2	1	334.0 0	0.00	0.00	0.00	0.00	1.30	-	-	V	V
5	Prim o piano	9, 2	1	90.00	0.00	0.00	0.00	0.00	1.30	-	-	V	V
			2	39.16	0.00	0.00	0.00	0.00	1.30	-	-	V	V
6	Prim o piano	3, 4	1	541.7 0	0.00	0.00	0.00	0.00	1.30	-	-	V	V
7	Prim o piano	4, 5	1	628.4 3	0.00	0.00	0.00	0.00	1.30	-	-	V	V
9	Prim o piano	8, 6	1	250.0 6	0.00	0.00	0.00	0.00	1.30	-	-	V	V
10	Prim o piano	7, 8	1	349.6 8	0.00	0.00	0.00	0.00	1.30	-	-	V	V
11	Sotto tetto	7, 1	1	467.0 0	0.00	0.00	0.00	0.00	1.30	-	-	V	V
12	Sotto tetto	1, 9	1	70.00	0.00	0.00	0.00	0.00	1.30	-	-	V	V
			2	170.7 4	0.00	0.00	0.00	0.00	1.30	-	-	V	V
13	Sotto tetto	2, 3	1	215.0 0	0.00	0.00	0.00	0.00	1.30	-	-	V	V
			2	120.0 0	0.00	0.00	0.00	0.00	1.30	-	-	V	V
			3	60.90	0.00	0.00	0.00	0.00	1.30	-	-	V	V
14	Sotto tetto	6, 2	1	304.0 0	0.00	0.00	0.00	0.00	1.30	-	-	V	V
			2	55.00	0.00	0.00	0.00	0.00	1.30	-	-	V	V
15	Sotto tetto	9, 2	1	90.00	0.00	0.00	0.00	0.00	1.30	-	-	V	V
			2	44.16	0.00	0.00	0.00	0.00	1.30	-	-	V	V
16	Sotto tetto	3, 4	1	561.7 8	0.00	0.00	0.00	0.00	1.30	-	-	V	V
17	Sotto tetto	4, 5	1	643.9 3	0.00	0.00	0.00	0.00	1.30	-	-	V	V
18	Sotto tetto	5, 6	1	23.00	0.00	0.00	0.00	0.00	1.30	-	-	V	V
19	Sotto tetto	8, 6	1	255.0 6	0.00	0.00	0.00	0.00	1.30	-	-	V	V
20	Sotto tetto	7, 8	1	359.8 7	0.00	0.00	0.00	0.00	1.30	-	-	V	V
21	Cope rtura quota inf.	1, 7	1	467.0 0	0.00	0.00	0.00	0.00	1.30	-	8401 3.99	V	V
22	Cope rtura quota inf.	9, 1	1	375.2 3	0.00	0.00	0.00	0.00	1.30	-	-	V	V
23	Cope rtura quota inf.	3, 2	1	635.9 0	0.00	0.00	0.00	0.00	1.30	-	-	V	V
24	Cope rtura quota inf.	6, 2	1	284.0 0	0.00	0.00	0.00	0.00	1.30	-	3010 5.61	V	V
			2	55.00	0.00	0.00	0.00	0.00	1.30	-	5237 3.42	V	V
25	Cope rtura quota inf.	2, 9	1	269.6 8	0.00	0.00	0.00	0.00	1.30	-	7415 9.41	V	V
26	Cope rtura quota	4, 3	1	561.7 8	0.00	0.00	0.00	0.00	1.30	-	-	V	V

	inf.												
27	Cope rtura quota inf.	5, 4	1	643.9 3	0.00	0.00	0.00	0.00	1.30	-	-	V	V
28	Cope rtura quota inf.	6, 5	1	23.00	0.00	0.00	0.00	0.00	1.30	-	-	V	V
29	Cope rtura quota inf.	8, 6	1	270.0 6	0.00	0.00	0.00	0.00	1.30	-	-	V	V
30	Cope rtura quota inf.	7, 8	1	374.8 7	0.00	0.00	0.00	0.00	1.30	-	-	V	V
31	Cope rtura quota sup.	2, 3	1	635.9 0	0.00	0.00	0.00	0.00	1.30	-	-	V	V
32	Cope rtura quota sup.	6, 2	1	469.0 0	0.00	0.00	0.00	0.00	1.30	-	-	V	V
33	Cope rtura quota sup.	3, 4	1	561.7 8	0.00	0.00	0.00	0.00	1.30	-	-	V	V
34	Cope rtura quota sup.	4, 5	1	643.9 3	0.00	0.00	0.00	0.00	1.30	-	-	V	V
35	Cope rtura quota sup.	5, 6	1	38.00	0.00	0.00	0.00	0.00	1.30	-	7357 6.08	V	V

5 ALLEGATI.

5.1 ALLEGATO A (Verifica Solai e Balconi)

Descrizione del modello.

Modello e ipotesi di carico

La seguente relazione riguarda tutti i solai realizzati in cemento armato gettato in opera, a nervature parallele.

Il modello utilizzato per il calcolo delle caratteristiche della sollecitazione è quello della trave continua su più appoggi con eventuali sbalzi laterali.

Le ipotesi a cui si è fatto riferimento sono state:

- laterizi o blocchi in polistirene non collaboranti;
- nervature del solaio indipendenti tra loro;
- fascia di soletta collaborante con ogni nervatura di larghezza pari all'interasse;
- comportamento elastico-lineare della struttura.

Note le caratteristiche geometriche della sezione, i carichi permanenti e di esercizio agenti per ogni impalcato, sono stati ricavati i carichi relativi alla singola nervatura da utilizzare nel calcolo della struttura.

La risoluzione di ogni schema di carico teorico è stato eseguito con il metodo degli elementi finiti permettendo così l'analisi della struttura per le diverse condizioni di carico considerate. Per la verifica si è adottato il metodo agli stati limite.

Condizioni e combinazioni di carico.

Dallo studio delle linee di influenza della caratteristica flettente, si sono combinati i carichi ripartiti d'esercizio al fine di massimizzare le sollecitazioni di calcolo sia in campata che sugli appoggi. Si sono ricavate e quindi risolte più condizioni di carico.

Il calcolo delle azioni agenti sui solai viene effettuato con il metodo semiprobabilistico agli stati limite cumulando tra loro le azioni agenti sulla struttura nel modo più gravoso, combinando gli effetti dell'azione sismica con le altre azioni nel rispetto della normativa vigente.

I coefficienti di combinazione dei carichi permanenti e delle azioni variabili Q_{ki} , utilizzati nelle varie combinazioni sono correlati al tipo di calcolo che si sta effettuando, se agli stati limite ultimi o di esercizio, nel rispetto del punto 2.5.3 delle N.T.C.

In ogni condizione di carico i carichi permanenti vengono considerati agenti su tutte le campate. I carichi d'esercizio si considerano agenti una volta su tutte le campate e per le altre condizioni, agiranno solo su alcune di esse in modo da rendere massime le sollecitazioni in alcune determinate sezioni della trave continua.

Per i solai a trave continua il massimo momento flettente positivo in campata, è ricavato caricando "a scacchiera", carico d'esercizio agente su campate alterne. Il massimo momento negativo su ogni appoggio viene determinato caricando "a doppia scacchiera", campate adiacenti ad ogni appoggio e le altre alterne.

L'effetto dell'azione sismica sugli sbalzi è stato calcolato considerando agenti su ogni elemento a mensola e solaio inclinato un carico sismico verticale pari ad un'aliquota dei carichi gravitazionali agenti. In funzione del periodo fondamentale di vibrazione dell'elemento si ricava l'ordinata dello spettro di progetto della componente verticale e quindi la frazione dei carichi gravitazionali considerati come azioni sismiche sugli sbalzi e sugli elementi di solaio inclinati.

Ciò ha comportato la risoluzione di ulteriori due condizioni di carico dovute ai carichi sismici verticali simmetrici perché le azioni agenti hanno segno positivo nel primo e negativo nel secondo caso.

Cumulando le azioni di calcolo, agenti sulla struttura, si sono ottenute più condizioni di carico.

Le massime sollecitazioni di progetto, sono state ricavate da un involucro finale delle stesse condizioni.

Assimilando gli eventuali appoggi estremi, senza sbalzo, ad un incastro cedevole si è calcolato e quindi sommato all'involuppo un momento negativo pari ad $M^* = (1/12 : 1/20) P l_{Asta}^2$, con P carico distribuito sull'asta. Questo momento fittizio si considera esteso per una lunghezza $l^* = (1/5 : 1/6) l_{Asta} = 1/6 l_{Asta}$. Per tenere conto dell'incremento di momento in campata, che può essere causato da perdita o riduzione di continuità sull'appoggio o da un cedimento dello stesso si è considerato un valore minimo del momento pari a:

$$M_{limite} = (Carico \cdot Luce^2) / 12$$

Procedure di verifica.

La verifica di resistenza di ogni sezione viene fatta con il metodo agli stati limite nei riguardi degli stati limite ultimi e per i solai di nuova costruzione anche degli stati limite di esercizio.

La resistenza della sezione è data dalle caratteristiche della sollecitazione che da sole o associate causano la rottura della sezione oppure la sua continua deformazione senza ulteriore incremento della sollecitazione stessa fino al valore ultimo della deformazione.

Per ogni sezione si determina il dominio di sicurezza in funzione delle caratteristiche geometriche della sezione, dal suo comportamento meccanico e delle caratteristiche dei materiali, come indicato al par. 2.4.1.

La generica sezione, soggetta ad una determinata combinazione di sollecitazioni di carico risulta verificata quando la condizione di carico risulta interna al dominio di sicurezza della stessa garantendo un coefficiente di sicurezza dettato dalla normativa.

La verifica a taglio è stata eseguita come indicato dalla normativa vigente.

Per gli elementi che non richiedono armatura a taglio, come le nervature del solaio, si è verificato che:

$$V_{Rd} \geq V_{Sd}$$

dove:

V_{sd} : taglio sollecitante di calcolo;

$$V_{Rdc} = [C_{Rdc} k (100 \rho_l f_{ck})^{1/3} + k_1 \sigma_{cp}] b w d$$

ed in ogni caso non minore di

$$V_{Rdc} = [v_{min} + k_1 \sigma_{cp}] b w d$$

dove:

- C_{Rdc} è assunto pari a $0.18 / \gamma_{cls}$;
- K è assunto pari a $1 + (200 / d)^{1/2} \leq$ con d altezza utile in mm;
- ρ_l è assunto pari a $Asl / (b w d) \leq 0.02$ con Asl armatura tesa, bw larghezza minima della sezione in mm;
- f_{ck} è espresso in Mpa
- k_1 è assunto pari a 0.15;
- σ_{cp} è pari a $Ned / Ac < 0.2 f_{cd}$ con Ned forza assiale espressa in N e Ac area della sezione di cls in mm²;
- v_{min} è pari a $0.035 k^{3/2} \cdot f_{ck}^{1/2}$;

come specificato al par. "Procedure di Verifica degli elementi - Elementi in C.A." della presente relazione.

Per i solai di nuova costruzione le verifiche agli stati limite d'esercizio considerate vengono di seguito specificate.

La verifica dello stato tensionale, come già descritto al par. 2.4.1, viene eseguita sfruttando le ipotesi tradizionali per il calcolo del cemento armato ordinario: assunzione dei materiali elastico lineari; conservazione delle sezioni piane al crescere dei carichi; perfetta aderenza tra acciaio e calcestruzzo; resistenza nulla a trazione del calcestruzzo.

Le verifiche dello stato tensionale vengono eseguite considerando le combinazioni di carico caratteristica, frequente, e quasi permanente. La verifica consiste nel confrontare le tensioni di calcolo con quelle limite dei materiali.

Dovendo la struttura soddisfare delle esigenze di durabilità e di funzionalità, vengono eseguite le verifiche a fessurazione e di deformabilità della struttura della singola trave continua per non avere pregiudicato il corretto funzionamento della struttura.

Viene verificato che l'ampiezza massima delle fessure sia minore di quella di progetto.

Le espressioni utilizzate per la verifica a fessurazione, sono state già commentate dettagliatamente al par. 2.4.1 della presente relazione.

Sezione per sezione viene per prima cosa verificata la presenza dell'area minima di armatura, necessaria a limitare le fessure.

$$A_s = K_e K_{fct} A_{ct} / \sigma_s$$

Si effettua poi il calcolo dell'ampiezza delle fessure, considerando anche la parte di calcestruzzo reagente a trazione utilizzando la seguente relazione:

$$W_k = \beta S_{rm} \epsilon_{sm}$$

dove W_k : ampiezza di calcolo delle fessure;

β : coefficiente di correlazione tra l'ampiezza media delle fessure ed il valore di calcolo;

S_{rm} : distanza media finale tra le fessure;

ϵ_{sm} : deformazione che tiene conto, nella combinazione di carico considerata, degli effetti "tension stiffening" del ritiro, etc.

Il valore di ϵ_{sm} si ricava dalla relazione:

$$\epsilon_{sm} = (\sigma_s / E_s) [1 - \beta_1 \beta_2 (\sigma_{sr} / \sigma_s)^2]$$

La distanza media finale delle fessure deriva dall'espressione:

$$s_{rm} = 50 + 0.25 k_1 k_2 (\phi / \rho_r)$$

Ulteriori verifiche vengono eseguite per il rispetto delle normative vigenti nei riguardi delle caratteristiche geometriche della sezione e dei valori di armatura minima richiesti sezione per sezione secondo la normativa in vigore.

Nelle tabelle successive vengono elencati i dati di progetto di ogni trave continua ed i risultati del calcolo, sollecitazioni di calcolo e tutte le verifiche.

Per quanto riguarda il calcolo della deformabilità dei solai si seguono le prescrizioni riportati nel punto 4.1.2.2.2 delle NTC e nel punto C4.1.2.2.2 nella circolare 617/2009.

- Legende -

- DATI GENERALI -

- DATI GEOMETRICI E CARICHI -

Asta : numerazione interna dell'asta;
Luce : lunghezza dell'asta proiettata sull'orizzontale;
Car. Perm. : totale dei carichi permanenti;
Car. Acc. : totale dei carichi d'esercizio;
Sisma Vert. : valore del carico sismico, se presente.

- RISULTATI DI CALCOLO -

Asta : numerazione interna dell'asta;
X : distanza dal nodo iniziale misurata lungo l'asse dell'asta;
M : valore del Momento Flettente X-Z nel punto considerato;

max : valore massimo (rispetto al sistema di riferimento globale) dell'involuppo;
min : valore minimo (rispetto al sistema di riferimento globale) dell'involuppo;
N : valore dello Sforzo Normale nel punto considerato;
max : valore massimo (rispetto al sistema di riferimento globale) dell'involuppo;
min : valore minimo (rispetto al sistema di riferimento globale) dell'involuppo;
T : valore del Taglio X-Z nel punto considerato;
max : valore massimo (rispetto al sistema di riferimento globale) dell'involuppo;
min : valore minimo (rispetto al sistema di riferimento globale) dell'involuppo;
Vmax : Traslazione Z rispetto al sistema di riferimento globale.

- VERIFICHE DI SICUREZZA -

Verifiche a Presso TensoFlessione

Asta : numerazione interna dell'asta;
X : distanza dal nodo iniziale misurata lungo l'asse dell'asta;
M : valore del Momento Flettente X-Z nel punto considerato;
Azioni Sollecitanti:
- NSd : Sforzo Normale sollecitante;
- MSdXZ : Momento Flettente X-Z sollecitante di calcolo;
Azioni Resistenti:
- NRd : Sforzo Normale resistente;
- NRdXZ : Momento Flettente X-Z resistente di calcolo;
Cop : copriferro;
Aflsup : valore dell'area di armatura superiore presente nella sezione;
Aflinf : valore dell'area di armatura inferiore presente nella sezione;
S : Coefficiente di sicurezza minimo della sezione;
Esito:
- v : Verificato;
- NV : Non Verificato;

Verifiche a Taglio

Asta : numerazione interna dell'asta;
X : distanza dal nodo iniziale misurata lungo l'asse dell'asta;
Taglio Sollecitante:
- VSdXZ : Taglio X-Z sollecitante di calcolo;
Taglio Resistente:
- VRdXZ : Taglio X-Z resistente di calcolo;
S : Coefficiente di sicurezza;
Esito:
- v : Verificato;
- NV : Non Verificato;

- VERIFICHE DI ESERCIZIO -

Stato Tensionale

Asta : numerazione interna dell'asta;
X : distanza dal nodo iniziale misurata lungo l'asse dell'asta;
Comb : tipo di combinazione a cui la verifica è riferita;
Azioni Sollecitanti:
- NSd : Sforzo Normale Sollecitante;
- MSdXZ : Momento Flettente X-Z sollecitante di calcolo;
Tensioni:
- σ_c : tensioni d'esercizio del calcestruzzo;
- σ_s : tensioni d'esercizio dell'acciaio;
S : Coefficiente di sicurezza minimo della sezione;

Tensioni Limite:

- σ_c, \lim : tensioni limite del calcestruzzo;
- σ_s, \lim : tensioni limite dell'acciaio;

Esito:

- v : Verificato;
- NV : Non Verificato;

Fessurazione

- Asta : numerazione interna dell'asta;
- X : distanza dal nodo iniziale misurata lungo l'asse dell'asta;
- Comb : tipo di combinazione a cui la verifica è riferita;
- Sollecitazione : Mxz: Momento Flettente X-Z sollecitante di calcolo;
- Fessura di calcolo : Wk: apertura della fessura calcolata;
- Fessura max : Wk,max: massima apertura ammissibile delle fessure;
- S : Coefficiente di sicurezza;
- Esito:
- v : Verificato;
- NV : Non Verificato;

Deformabilità

- Asta : numerazione interna dell'asta;
- Comb : tipo di combinazione a cui la verifica è riferita;
- Lc : lunghezza della campata;
- f/l : rapporto freccia/lunghezza;
- flim : valore limite del rapporto freccia/lunghezza;
- S : Coefficiente di sicurezza;
- Esito:
- v : Verificato;
- NV : Non Verificato;

Dati di Progetto.

Dati Generali

Analisi dei Carichi

- IMPALCATO Primo piano - SOLAIO 1 - Nome Sezione: PET_IPE200

Sigla del solaio : Schema STC 1

Caratteristiche nodi

I dati seguenti riportano tutte le caratteristiche relative ai nodi che definiscono la struttura:

- Nodo : numerazione del nodo della sottostruttura solaio;
- Ascissa, Quota : coordinate del nodo secondo il sistema di riferimento globale cartesiano [mm];
- Vincolo esterno : descrizione del vincolo esterno.

Nodo	Ascissa	Quota	Vincolo esterno
1	0	0	appoggio
2	5410.8	0	appoggio

Caratteristiche aste

La tabella seguente riporta tutte le caratteristiche relative alle aste della struttura:

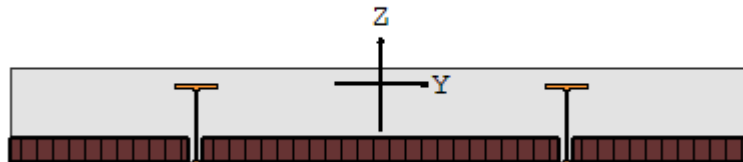
- Asta : numerazione;
- Nodo Ini. : nodo iniziale;

Nodo Fin. : nodo finale;

lunghezza : lunghezza teorica (nodo-nodo) [mm].

Asta	Nodo ini.	Nodo fin.	lunghezza
1	1	2	5410.8

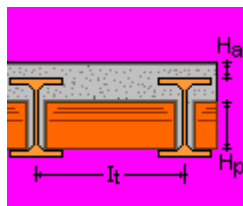
Caratteristiche della sezione trasversale



La sezione trasversale è larga 180cm; essa è costituita da 2 profili di tipo IPE200; all'interno dei profili sono disposti tavelloni dello spessore di 6 cm; il solaio viene completato con un getto di calcestruzzo di completamento.

Il peso per unità di volume del getto di completamento è pari a 2000 daN/m³.

L'altezza totale del solaio è pari a 24 cm.



CARATTERISTICHE DEI MATERIALI

Acciaio per carpenteria.

Classe : Acciaio I

Tensione caratteristica di snervamento f_y [N/mm²] : 235

Tensione caratteristica di rottura f_t [N/mm²] : 360

Tensione caratteristica di snervamento ($t > 40$ mm) f_y [N/mm²] : 215

Tensione caratteristica di rottura ($t > 40$ mm) f_t [N/mm²] : 360

Modulo di elasticità normale E_{cm} [N/mm²] : 210000

Calcestruzzo non collaborante.

ANALISI DEI CARICHI

Analisi dei carichi agenti su una fascia larga : 180 cm.

Carichi permanenti

g1 : carichi permanenti strutturali

g2 : carichi permanenti non strutturali

Peso proprio profilato

= 44.73 daN/m

Peso Tavelloni + Getto Cls

= 705.6 daN/m

g1

= 750.33 daN/m

Carichi Permanenti Portati

= 360 daN/m

g2

= 360 daN/m

Carichi esercizio

q : carichi esercizio sulle campate

$$\begin{aligned} \text{carichi esercizio sulle campate} &= 360 \text{ daN/m} \\ q &= \mathbf{360 \text{ daN/m}} \end{aligned}$$

Carichi ripartiti sulle aste

Nella tabella successiva sono riportate le aste della struttura e per ognuna di esse sono stati elencati i carichi lineari distribuiti nelle direzioni X e Z del sistema globale.

Qx : Carico sull'asta in direzione X [daN/m]

Qz : Carico sull'asta in direzione Z [daN/m]

Nome Azione	Asta	Qx	Qz
Permanenti strutturali	1	0	-750.33
Permanenti non strutturali	1	0	-360
ESERCIZIO	1	0	-360
Condizione 1	1	0	-2055.43

COMBINAZIONI DI CARICO

Le combinazioni di carico considerate sono le seguenti :

- s.l.u. - COMBINAZIONI CARICO		
	C.d.C. num.	
	1	2
Permanenti strutturali	1.3	0
Permanenti non strutturali	1.5	0
Esercizio	1.5	0
Condizione 1	0	1

- s.l.e. Rara - COMBINAZIONE CARICO	
	C.d.C. num.
	1
Permanenti strutturali	1
Permanenti non strutturali	1
Esercizio	1
Condizione 1	0

I risultati delle verifiche si riferiscono ad una fascia larga : 180 cm

Metodo di verifica: Stati Limite.

Asta 1

Sezione IPE200. Acciaio Acciaio1
-ESITO VERIFICHE POSITIVO-

VERIFICHE DI RESISTENZA. (ESITO POSITIVO)

AZIONI DI PROGETTO								
Comb. più gravosa	Sez.	N [daN]	Ty [daN]	Tz [daN]	My [daNm]	Mz [daNm]	Mt [danM]	Incr. Az.
[SLV]-CMB2-[PE]	5	0	0	0	7522	0	0	NO

TIPO VERIFICA : PRESSOFLESSIONE

Classe sezione : 1

- Resistenza assiale plastica : 127521.0 daN
- Mom. res. plastico Y (A.P.I.) : 9878.0 daNm
- Mom. res. plastico Z (A.P.I.) : 57384.4 daNm
- Fattore di sicurezza : **1.313**

VERIFICA DI STABILITA' A COMPRESSIONE. (ESITO POSITIVO)

L'asta in oggetto non risulta interessata da azioni esterne destabilizzanti di rilievo a carico di punta.

VERIFICHE DI DEFORMABILITA'. (ESITO POSITIVO)

Lunghezza L	: 5411 mm	Freccia Car.Acc.	: -4.92 mm
Peso Proprio Trave	: -44.7 daN/m	Freccia Car.Tot.	: -20.71 mm
Carico Variabile	: -360.0 daN/m	Freccia Max Car.Acc. L/300	: 18.04 mm
Carico Totale	: -1470.3 daN/m	Freccia Max Car.Tot. L/250	: 21.64 mm
Monta iniziale	: 0.00 mm	Fattore di sicurezza	: 1.04

- IMPALCATO Primo piano - SOLAIO 2 - Nome Sezione: PET_IPE200

Sigla del solaio : Schema STC 2

Caratteristiche nodi

I dati seguenti riportano tutte le caratteristiche relative ai nodi che definiscono la struttura:

Nodo : numerazione del nodo della sottostruttura solaio;
 Ascissa,Quota : coordinate del nodo secondo il sistema di riferimento globale cartesiano [mm];
 Vincolo esterno : descrizione del vincolo esterno.

Nodo	Ascissa	Quota	Vincolo esterno
1	0	0	appoggio
2	4555.34	0	appoggio

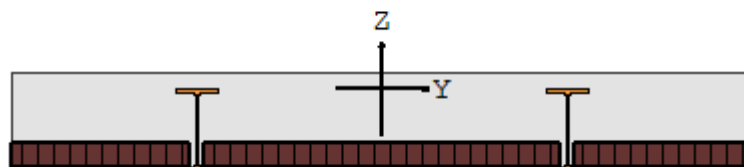
Caratteristiche aste

La tabella seguente riporta tutte le caratteristiche relative alle aste della struttura:

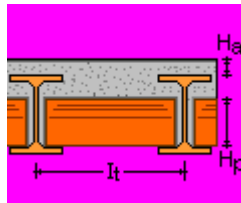
Asta : numerazione;
 Nodo Ini. : nodo iniziale;
 Nodo Fin. : nodo finale;
 lunghezza : lunghezza teorica (nodo-nodo) [mm].

Asta	Nodo ini.	Nodo fin.	lunghezza
1	1	2	4555.34

Caratteristiche della sezione trasversale



La sezione trasversale è larga 180cm; essa è costituita da 2 profili di tipo IPE200; all'interno dei profili sono disposti tavelloni dello spessore di 6 cm; il solaio viene completato con un getto di calcestruzzo di completamento.
Il peso per unità di volume del getto di completamento è pari a 2000 daN/m³.
L'altezza totale del solaio è pari a 24 cm.



CARATTERISTICHE DEI MATERIALI

Acciaio per carpenteria.

Classe : Acciaio1

Tensione caratteristica di snervamento f_y [N/mm²] : 235

Tensione caratteristica di rottura f_t [N/mm²] : 360

Tensione caratteristica di snervamento ($t > 40$ mm) f_y [N/mm²] : 215

Tensione caratteristica di rottura ($t > 40$ mm) f_t [N/mm²] : 360

Modulo di elasticità normale E_{cm} [N/mm²] : 210000

Calcestruzzo non collaborante.

ANALISI DEI CARICHI

Analisi dei carichi agenti su una fascia larga : 180 cm.

Carichi permanenti

g1 : carichi permanenti strutturali
g2 : carichi permanenti non strutturali

Peso proprio profilato = 44.73 daN/m
Peso Tavelloni + Getto Cls = 705.6 daN/m
g1 = 750.33 daN/m

Carichi Permanenti Portati = 360 daN/m
g2 = 360 daN/m

Carichi esercizio

q : carichi esercizio sulle campate

carichi esercizio sulle campate = 360 daN/m
q = 360 daN/m

Carichi ripartiti sulle aste

Nella tabella successiva sono riportate le aste della struttura e per ognuna di esse sono stati elencati i carichi lineari distribuiti nelle direzioni X e Z del sistema globale.

Qx : Carico sull'asta in direzione X [daN/m]
Qz : Carico sull'asta in direzione Z [daN/m]

Nome Azione	Asta	Qx	Qz
Permanenti strutturali	1	0	-750.33
Permanenti non strutturali	1	0	-360
ESERCIZIO	1	0	-360

Condizione 1	1	0	-2055.43
--------------	---	---	----------

COMBINAZIONI DI CARICO

Le combinazioni di carico considerate sono le seguenti :

- s.l.u. - COMBINAZIONI CARICO		
	C.d.C. num.	
	1	2
Permanententi strutturali	1.3	0
Permanententi non strutturali	1.5	0
Esercizio	1.5	0
Condizione 1	0	1

- s.l.e. Rara - COMBINAZIONE CARICO	
	C.d.C. num.
	1
Permanententi strutturali	1
Permanententi non strutturali	1
Esercizio	1
Condizione 1	0

I risultati delle verifiche si riferiscono ad una fascia larga : 180 cm
Metodo di verifica: Stati Limite.

Asta 1

Sezione IPE200. Acciaio Acciaio1
-ESITO VERIFICHE POSITIVO-

VERIFICHE DI RESISTENZA. (ESITO POSITIVO)

AZIONI DI PROGETTO								
Comb. più gravosa	Sez.	N [daN]	Ty [daN]	Tz [daN]	My [daNm]	Mz [daNm]	Mt [danM]	Incr. Az.
[SLV]-CMB1-[PE]	5	0	0	0	5332	0	0	NO

TIPO VERIFICA : PRESSOFLESSIONE
Classe sezione : 1
· Resistenza assiale plastica : 127521.0 daN
· Mom. res. plastico Y (A.P.I.) : 9878.0 daNm
· Mom. res. plastico Z (A.P.I.) : 57384.4 daNm
· Fattore di sicurezza : **1.853**

VERIFICA DI STABILITA' A COMPRESSIONE. (ESITO POSITIVO)

L'asta in oggetto non risulta interessata da azioni esterne destabilizzanti di rilievo a carico di punta.

VERIFICHE DI DEFORMABILITA'. (ESITO POSITIVO)

Lunghezza L	: 4555 mm	Freccia Car.Acc.	: -2.47 mm
Peso Proprio Trave	: -44.7 daN/m	Freccia Car.Tot.	: -10.41 mm
Carico Variabile	: -360.0 daN/m	Freccia Max Car.Acc. L/300	: 15.18 mm
Carico Totale	: -1470.3 daN/m	Freccia Max Car.Tot. L/250	: 18.22 mm
Monta iniziale	: 0.00 mm	Fattore di sicurezza	: 1.75

- IMPALCATO Sottotetto - SOLAIO 3 - Nome Sezione: PET_IPE220

Sigla del solaio : Schema STC 3

Caratteristiche nodi

I dati seguenti riportano tutte le caratteristiche relative ai nodi che definiscono la struttura:

Nodo : numerazione del nodo della sottostruttura solaio;

Ascissa,Quota : coordinate del nodo secondo il sistema di riferimento globale cartesiano [mm];

Vincolo esterno : descrizione del vincolo esterno.

Nodo	Ascissa	Quota	Vincolo esterno
1	0	0	appoggio
2	5611.5	0	appoggio

Caratteristiche aste

La tabella seguente riporta tutte le caratteristiche relative alle aste della struttura:

Asta : numerazione;

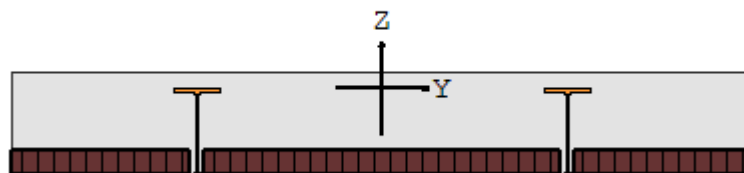
Nodo Ini. : nodo iniziale;

Nodo Fin. : nodo finale;

lunghezza : lunghezza teorica (nodo-nodo) [mm].

Asta	Nodo ini.	Nodo fin.	lunghezza
1	1	2	5611.5

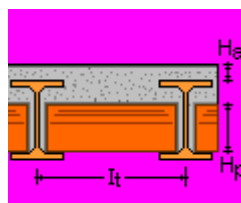
Caratteristiche della sezione trasversale



La sezione trasversale è larga 180cm; essa è costituita da 2 profili di tipo IPE220; all'interno dei profili sono disposti tavelloni dello spessore di 6 cm; il solaio viene completato con un getto di calcestruzzo di completamento.

Il peso per unità di volume del getto di completamento è pari a 2000 daN/m³.

L'altezza totale del solaio è pari a 26 cm.



CARATTERISTICHE DEI MATERIALI

Acciaio per carpenteria.

Classe : Acciaio1

Tensione caratteristica di snervamento f_y [N/mm²] : 235

Tensione caratteristica di rottura f_t [N/mm²] : 360

Tensione caratteristica di snervamento ($t > 40$ mm) f_y [N/mm²] : 215

Tensione caratteristica di rottura ($t > 40$ mm) f_t [N/mm²] : 360

Modulo di elasticità normale E_{cm} [N/mm²] : 210000

Calcestruzzo non collaborante.

ANALISI DEI CARICHI

Analisi dei carichi agenti su una fascia larga : 180 cm.

Carichi permanenti

g1 : carichi permanenti strutturali
g2 : carichi permanenti non strutturali

Peso proprio profilato	= 52.4 daN/m
Peso Tavelloni + Getto Cls	= 777.6 daN/m
g1	= 830 daN/m
Carichi Permanenti Portati	= 360 daN/m
g2	= 360 daN/m

Carichi esercizio

q : carichi esercizio sulle campate

carichi esercizio sulle campate	= 360 daN/m
q	= 360 daN/m

Carichi ripartiti sulle aste

Nella tabella successiva sono riportate le aste della struttura e per ognuna di esse sono stati elencati i carichi lineari distribuiti nelle direzioni X e Z del sistema globale.

Qx : Carico sull'asta in direzione X [daN/m]
Qz : Carico sull'asta in direzione Z [daN/m]

Nome Azione	Asta	Qx	Qz
Permanenti strutturali	1	0	-830
Permanenti non strutturali	1	0	-360
ESERCIZIO	1	0	-360
Condizione 1	1	0	-2159

COMBINAZIONI DI CARICO

Le combinazioni di carico considerate sono le seguenti :

- s.l.u. - COMBINAZIONI CARICO		
	C.d.C. num.	
	1	2
Permanenti strutturali	1.3	0
Permanenti non strutturali	1.5	0
Esercizio	1.5	0
Condizione 1	0	1

- s.l.e. Rara - COMBINAZIONE CARICO	
	C.d.C. num.
	1
Permanenti strutturali	1

Permanenti non strutturali	1
Esercizio	1
Condizione 1	0

I risultati delle verifiche si riferiscono ad una fascia larga : 180 cm
Metodo di verifica: Stati Limite.

Asta 1

Sezione IPE220. Acciaio Acciaio1 -ESITO VERIFICHE POSITIVO-

VERIFICHE DI RESISTENZA. (ESITO POSITIVO)

AZIONI DI PROGETTO								
Comb. più gravosa	Sez.	N [daN]	Ty [daN]	Tz [daN]	My [daNm]	Mz [daNm]	Mt [danM]	Incr. Az.
[SLV]-CMB1-[PE]	5	0	0	0	8498	0	0	NO

TIPO VERIFICA : PRESSOFLESSIONE
Classe sezione : 1
· Resistenza assiale plastica : 149393.6 daN
· Mom. res. plastico Y (A.P.I.) : 12777.3 daNm
· Mom. res. plastico Z (A.P.I.) : 67227.1 daNm
· Fattore di sicurezza : **1.504**

VERIFICA DI STABILITA' A COMPRESSIONE. (ESITO POSITIVO)

L'asta in oggetto non risulta interessata da azioni esterne destabilizzanti di rilievo a carico di punta.

VERIFICHE DI DEFORMABILITA'. (ESITO POSITIVO)

Lunghezza L	: 5612 mm	Freccia Car.Acc.	: -3.99 mm
Peso Proprio Trave	: -52.4 daN/m	Freccia Car.Tot.	: -17.77 mm
Carico Variabile	: -360.0 daN/m	Freccia Max Car.Acc. L/300	: 18.71 mm
Carico Totale	: -1550.0 daN/m	Freccia Max Car.Tot. L/250	: 22.45 mm
Monta iniziale	: 0.00 mm	Fattore di sicurezza	: 1.26

- IMPALCATO Sottotetto - SOLAIO 4 - Nome Sezione: PET_IPE200

Sigla del solaio : Schema STC 4

Caratteristiche nodi

I dati seguenti riportano tutte le caratteristiche relative ai nodi che definiscono la struttura:

Nodo : numerazione del nodo della sottostruttura solaio;
Ascissa,Quota : coordinate del nodo secondo il sistema di riferimento globale cartesiano [mm];
Vincolo esterno : descrizione del vincolo esterno.

Nodo	Ascissa	Quota	Vincolo esterno
1	0	0	appoggio
2	4741.77	0	appoggio

Caratteristiche aste

La tabella seguente riporta tutte le caratteristiche relative alle aste della struttura:

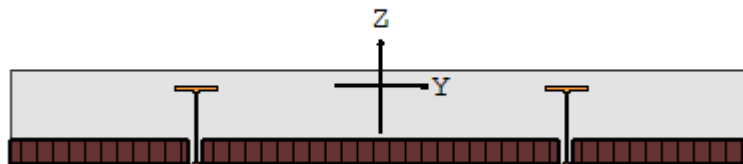
Asta : numerazione;
Nodo Ini. : nodo iniziale;

Nodo Fin. : nodo finale;

lunghezza : lunghezza teorica (nodo-nodo) [mm].

Asta	Nodo ini.	Nodo fin.	lunghezza
1	1	2	4741.77

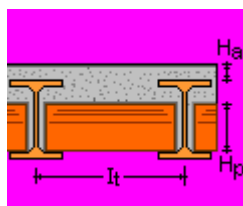
Caratteristiche della sezione trasversale



La sezione trasversale è larga 180cm; essa è costituita da 2 profili di tipo IPE200; all'interno dei profili sono disposti tavelloni dello spessore di 6 cm; il solaio viene completato con un getto di calcestruzzo di completamento.

Il peso per unità di volume del getto di completamento è pari a 2000 daN/m³.

L'altezza totale del solaio è pari a 24 cm.



CARATTERISTICHE DEI MATERIALI

Acciaio per carpenteria.

Classe : Acciaio I

Tensione caratteristica di snervamento f_y [N/mm²] : 235

Tensione caratteristica di rottura f_t [N/mm²] : 360

Tensione caratteristica di snervamento ($t > 40$ mm) f_y [N/mm²] : 215

Tensione caratteristica di rottura ($t > 40$ mm) f_t [N/mm²] : 360

Modulo di elasticità normale E_{cm} [N/mm²] : 210000

Calcestruzzo non collaborante.

ANALISI DEI CARICHI

Analisi dei carichi agenti su una fascia larga : 180 cm.

Carichi permanenti

g1 : carichi permanenti strutturali

g2 : carichi permanenti non strutturali

Peso proprio profilato

= 44.73 daN/m

Peso Tavelloni + Getto Cls

= 705.6 daN/m

g1

= 750.33 daN/m

Carichi Permanenti Portati

= 360 daN/m

g2

= 360 daN/m

Carichi esercizio

q : carichi esercizio sulle campate

$$\begin{aligned} \text{carichi esercizio sulle campate} &= 360 \text{ daN/m} \\ q &= \mathbf{360 \text{ daN/m}} \end{aligned}$$

Carichi ripartiti sulle aste

Nella tabella successiva sono riportate le aste della struttura e per ognuna di esse sono stati elencati i carichi lineari distribuiti nelle direzioni X e Z del sistema globale.

Qx : Carico sull'asta in direzione X [daN/m]

Qz : Carico sull'asta in direzione Z [daN/m]

Nome Azione	Asta	Qx	Qz
Permanenti strutturali	1	0	-750.33
Permanenti non strutturali	1	0	-360
ESERCIZIO	1	0	-360
Condizione 1	1	0	-2055.43

COMBINAZIONI DI CARICO

Le combinazioni di carico considerate sono le seguenti :

- s.l.u. - COMBINAZIONI CARICO		
	C.d.C. num.	
	1	2
Permanenti strutturali	1.3	0
Permanenti non strutturali	1.5	0
Esercizio	1.5	0
Condizione 1	0	1

- s.l.e. Rara - COMBINAZIONE CARICO	
	C.d.C. num.
	1
Permanenti strutturali	1
Permanenti non strutturali	1
Esercizio	1
Condizione 1	0

I risultati delle verifiche si riferiscono ad una fascia larga : 180 cm

Metodo di verifica: Stati Limite.

Asta 1

Sezione IPE200. Acciaio Acciaio1
-ESITO VERIFICHE POSITIVO-

VERIFICHE DI RESISTENZA. (ESITO POSITIVO)

AZIONI DI PROGETTO								
Comb. più gravosa	Sez.	N [daN]	Ty [daN]	Tz [daN]	My [daNm]	Mz [daNm]	Mt [danM]	Incr. Az.
[SLV]-CMB2-[PE]	5	0	0	0	5777	0	0	NO

TIPO VERIFICA : PRESSOFLESSIONE

Classe sezione : 1

- Resistenza assiale plastica : 127521.0 daN
- Mom. res. plastico Y (A.P.I.) : 9878.0 daNm
- Mom. res. plastico Z (A.P.I.) : 57384.4 daNm
- Fattore di sicurezza : **1.710**

VERIFICA DI STABILITA' A COMPRESSIONE. (ESITO POSITIVO)

L'asta in oggetto non risulta interessata da azioni esterne destabilizzanti di rilievo a carico di punta.

VERIFICHE DI DEFORMABILITA'. (ESITO POSITIVO)

Lunghezza L	: 4742 mm	Freccia Car.Acc.	: -2.90 mm
Peso Proprio Trave	: -44.7 daN/m	Freccia Car.Tot.	: -12.22 mm
Carico Variabile	: -360.0 daN/m	Freccia Max Car.Acc. L/300	: 15.81 mm
Carico Totale	: -1470.3 daN/m	Freccia Max Car.Tot. L/250	: 18.97 mm
Monta iniziale	: 0.00 mm	Fattore di sicurezza	: 1.55

5.1.2 Verifica Solai in Legno e Tavolato

- IMPALCATO Copertura quota inf. - SOLAIO 5 - Nome Sezione: LEG_Copertura

Sigla del solaio : Schema STC 5

Caratteristiche nodi

I dati seguenti riportano tutte le caratteristiche relative ai nodi che definiscono la struttura:

Nodo : numerazione del nodo della sottostruttura solaio;
 Ascissa,Quota : coordinate del nodo secondo il sistema di riferimento globale cartesiano [mm];
 Vincolo esterno : descrizione del vincolo esterno.

Nodo	Ascissa	Quota	Vincolo esterno
1	0	0	appoggio
2	4748.78	1535.31	appoggio

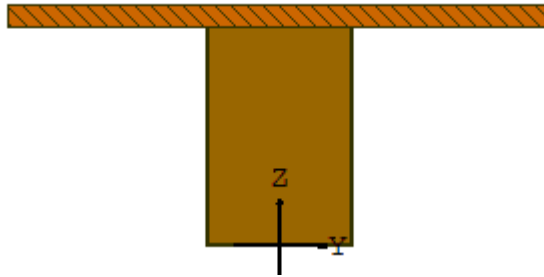
Caratteristiche aste

La tabella seguente riporta tutte le caratteristiche relative alle aste della struttura:

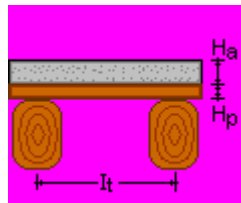
Asta : numerazione;
 Nodo Ini. : nodo iniziale;
 Nodo Fin. : nodo finale;
 lunghezza : lunghezza teorica (nodo-nodo) [mm].

Asta	Nodo ini.	Nodo fin.	lunghezza
1	1	2	4990.8

Caratteristiche della sezione trasversale



La sezione trasversale è larga 60cm; essa è costituita da 1 profilo di tipo Wd R 160x240 sul quale è disposto un tavolo dello spessore di 25 mm.



CARATTERISTICHE DEI MATERIALI

Legno per travi.

classe	: GL24h
Densità di peso caratteristica	: 380 daN/m ³
γ_m	: 1.45
Fattore di confidenza	: 1
Modulo di Elasticità medio per tensioni parallele alle fibre	: 11600N/mm ²
Modulo di Elasticità tangenziale medio	: 720N/mm ²
Resistenza Caratteristica a flessione parallela alle fibre	: 24N/mm ²
Resistenza Caratteristica a trazione parallela alle fibre	: 0.4N/mm ²
Resistenza Caratteristica a compressione parallela alle fibre	: 24N/mm ²
Resistenza Caratteristica a taglio	: 2.7N/mm ²

Legno per tavolo.

classe	: GL24h
Densità di peso caratteristica	: 380 daN/m ³
Fattore di confidenza	: 1
γ_m	: 1.45
Modulo di Elasticità medio per tensioni parallele alle fibre	: 11600N/mm ²
Modulo di Elasticità tangenziale medio	: 720N/mm ²
Resistenza Caratteristica a flessione parallela alle fibre	: 24N/mm ²
Resistenza Caratteristica a trazione parallela alle fibre	: 0.4N/mm ²
Resistenza Caratteristica a compressione parallela alle fibre	: 24N/mm ²
Resistenza Caratteristica a taglio	: 2.7N/mm ²

Calcestruzzo non collaborante.

ANALISI DEI CARICHI

Analisi dei carichi agenti su una fascia larga : 60 cm.

Carichi permanenti

g1	: carichi permanenti strutturali
g2	: carichi permanenti non strutturali

Peso proprio profilato	= 14.59 daN/m
Peso Tavolato	= 5.7 daN/m
g1	= 20.29 daN/m
Carichi Permanenti Portati	= 60 daN/m
g2	= 60 daN/m

Carichi esercizio

q : carichi esercizio sulle campate

carichi esercizio sulle campate	= 120 daN/m
q	= 120 daN/m

Carichi ripartiti sulle aste

Nella tabella successiva sono riportate le aste della struttura e per ognuna di esse sono stati elencati i carichi lineari distribuiti nelle direzioni X e Z del sistema globale.

Qx : Carico sull'asta in direzione X [daN/m]
Qz : Carico sull'asta in direzione Z [daN/m]

Nome Azione	Asta	Qx	Qz
Permanenti strutturali	1	0	-20.29
Permanenti non strutturali	1	0	-60
ESERCIZIO	1	0	-120
Condizione 1	1	0	-296.38

COMBINAZIONI DI CARICO

Le combinazioni di carico considerate sono le seguenti :

- s.l.u. - COMBINAZIONI CARICO		
	C.d.C. num.	
	1	2
Permanenti strutturali	1.3	0
Permanenti non strutturali	1.5	0
Esercizio	1.5	0
Condizione 1	0	1

- s.l.e. Freq. - COMBINAZIONE CARICO	
	C.d.C. num.
	1
Permanenti strutturali	1
Permanenti non strutturali	1
Esercizio	0
Condizione 1	0

I risultati delle verifiche si riferiscono ad una fascia larga : 60 cm
Metodo di verifica: Stati Limite.

Asta 1 - (1-2)[Trave]

Classe di Servizio 2 (Umidità relativa max: 85%) LAMELLARE GL24h (Tipo Omogeneo) $-\gamma_M=1.45$ (FC=1)
L= 4990.8 mm - **R 160x240** - SEZIONI UTILIZZATE : 9
VERIFICHE EFFETTUATE CON ESITO POSITIVO

VERIFICHE DI RESISTENZA NORMALE

Sezione più gravosa : 5 - [X=2495.4 mm / 4990.8 mm] - **R 160x240**

Comb. più gravosa : " [SLV]-CMB1-[PE] " - Coeff. Sfruttamento : 0.394 (fs=2.539)

Sforzo Normale di Progetto [daN] : 0
Momento Flettente My di Progetto [daNm] : 878
Momento Flettente Mz di Progetto [daNm] : 0

Tipo Verifica : FLESSIONE - Kmod = 0.8

Tensione di Progetto relativa a My [N/mm²] : 5.72
Tensione di Progetto relativa a Mz [N/mm²] : 0
Tensione Resistente relativa a My [N/mm²] : 14.51
Tensione Resistente relativa a Mz [N/mm²] : 14.57
Coefficiente di Sfruttamento a flessione : 0.394
fs : 2.54

VERIFICHE DI RESISTENZA TANGENZIALE

Sezione più gravosa: 9 - [X=4990.8 mm / 4990.8 mm] - **R 160x240**

Comb. più gravosa : " [SLV]-CMB2-[PE] " - Coeff. Sfruttamento : 0.185 (fs=5.419)

Taglio Ty di Progetto [daN] : 0
Taglio Tz di Progetto [daN] : -704
Momento Torcente Mt di Progetto [daNm] : 0

Tipo Verifica : TAGLIO

Tensione di Progetto relativa a Ty [N/mm²] : 0
Tensione di Progetto relativa a Tz [N/mm²] : 0.27
Tensione tang. Resistente [N/mm²] : 1.49
Coefficiente di Sfruttamento a taglio : 0.185
fs : 5.42

VERIFICA DI DEFORMABILITA'

Metodo di valutazione freccia finale (t->inf.)

· Modulo Elastico Ridotto

Lunghezza elemento	: 4990.8 mm	Schema adottato Doppia Cerniera	
Comb. di carico più gravosa	: 4	Peso proprio	: -14.6 daN/m
Carico distribuito Istantaneo	: -80.3 daN/m	-	
-		Carico distribuito Finale	: -80.3 daN/m
Freccia Istantanea - COMBINAZIONE		[SLEf]-CMB1-[PE]	
Freccia Finale - COMBINAZIONE		[SLEf]-CMB1-[PE]	
Modulo Elastico istantaneo	: 11600.0 N/mm ²	Modulo Elastico finale	: 6444.4 N/mm ²
Controfreccia	: 0.000 mm		
Freccia Istantanea	: -3.585 mm	Limite Freccia Istantanea L/500	: 9.982 mm
Freccia Netta Finale	: -6.453 mm	Limite Freccia Netta Fin. L/ 350	: 14.259 mm
Freccia Finale	: -6.453 mm	Limite Freccia Finale L/ 300	: 16.636 mm
Fatt. sicurezza freccia Istantanea	: 2.784	Fatt. sicurezza freccia Netta Finale	: 2.210
Fatt. sicurezza freccia Finale	: 2.578	Fatt. sicurezza	: 2.210

Tavolato[Trave]

Classe di Servizio 2 (Umidità relativa max: 85%) LAMELLARE **GL24h** (Tipo Omogeneo) - $\gamma_M=1.45$ (FC=1)

L= 5444232361803776 mm - **R 1000x25** - SEZIONI UTILIZZATE : 2

VERIFICHE EFFETTUATE CON ESITO POSITIVO

VERIFICHE DI RESISTENZA NORMALE

Sezione più gravosa : 2 - [X=300 mm / 5444232361803776 mm] - **R 1000x25**

Comb. più gravosa : " Comb.Tav. " - Coeff. Sfruttamento : 0.099 (fs=10.097)

Sforzo Normale di Progetto [daN] : 0
Momento Flettente My di Progetto [daNm] : 15

Momento Flettente Mz di Progetto [daNm] : 0

Tipo Verifica : FLESSIONE - Kmod = 0.8

Tensione di Progetto relativa a My [N/mm²] : 1.44
 Tensione di Progetto relativa a Mz [N/mm²] : 0
 Tensione Resistente relativa a My [N/mm²] : 14.57
 Tensione Resistente relativa a Mz [N/mm²] : 13.24
 Coefficiente di Sfruttamento a flessione : 0.099
 fs : 10.1

VERIFICHE DI RESISTENZA TANGENZIALE

Sezione più gravosa: 1 - [X=0 mm / 5444232361803776 mm] - **R 1000x25**

Comb. più gravosa : " Comb.Tav. " - Coeff. Sfruttamento : 0.056 (fs=17.9)

Taglio Ty di Progetto [daN] : 0
 Taglio Tz di Progetto [daN] : 139
 Momento Torcente Mt di Progetto [daNm] : 0

Tipo Verifica : TAGLIO

Tensione di Progetto relativa a Ty [N/mm²] : 0
 Tensione di Progetto relativa a Tz [N/mm²] : 0.08
 Tensione tang. Resistente [N/mm²] : 1.49
 Coefficiente di Sfruttamento a taglio : 0.056
 fs : 17.9

- IMPALCATO Copertura quota sup. - SOLAIO 6 - Nome Sezione: LEG_Copertura

Sigla del solaio : Schema STC 6

Caratteristiche nodi

I dati seguenti riportano tutte le caratteristiche relative ai nodi che definiscono la struttura:

Nodo : numerazione del nodo della sottostruttura solaio;
 Ascissa,Quota : coordinate del nodo secondo il sistema di riferimento globale cartesiano [mm];
 Vincolo esterno : descrizione del vincolo esterno.

Nodo	Ascissa	Quota	Vincolo esterno
1	0	0	appoggio
2	5611.5	1737.74	appoggio

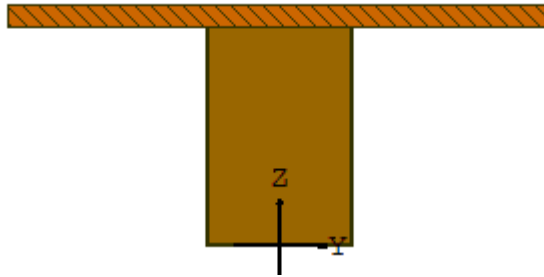
Caratteristiche aste

La tabella seguente riporta tutte le caratteristiche relative alle aste della struttura:

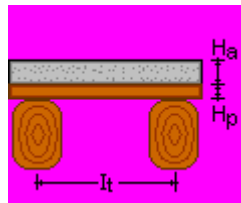
Asta : numerazione;
 Nodo Ini. : nodo iniziale;
 Nodo Fin. : nodo finale;
 lunghezza : lunghezza teorica (nodo-nodo) [mm].

Asta	Nodo ini.	Nodo fin.	lunghezza
1	1	2	5874.41

Caratteristiche della sezione trasversale



La sezione trasversale è larga 60cm; essa è costituita da 1 profilo di tipo Wd R 160x240 sul quale è disposto un tavolato dello spessore di 25 mm.



CARATTERISTICHE DEI MATERIALI

Legno per travi.

classe	: GL24h
Densità di peso caratteristica	: 380 daN/m ³
γ_m	: 1.45
Fattore di confidenza	: 1
Modulo di Elasticità medio per tensioni parallele alle fibre	: 11600N/mm ²
Modulo di Elasticità tangenziale medio	: 720N/mm ²
Resistenza Caratteristica a flessione parallela alle fibre	: 24N/mm ²
Resistenza Caratteristica a trazione parallela alle fibre	: 0.4N/mm ²
Resistenza Caratteristica a compressione parallela alle fibre	: 24N/mm ²
Resistenza Caratteristica a taglio	: 2.7N/mm ²

Legno per tavolato.

classe	: GL24h
Densità di peso caratteristica	: 380 daN/m ³
Fattore di confidenza	: 1
γ_m	: 1.45
Modulo di Elasticità medio per tensioni parallele alle fibre	: 11600N/mm ²
Modulo di Elasticità tangenziale medio	: 720N/mm ²
Resistenza Caratteristica a flessione parallela alle fibre	: 24N/mm ²
Resistenza Caratteristica a trazione parallela alle fibre	: 0.4N/mm ²
Resistenza Caratteristica a compressione parallela alle fibre	: 24N/mm ²
Resistenza Caratteristica a taglio	: 2.7N/mm ²

Calcestruzzo non collaborante.

ANALISI DEI CARICHI

Analisi dei carichi agenti su una fascia larga : 60 cm.

Carichi permanenti

g1	: carichi permanenti strutturali
g2	: carichi permanenti non strutturali

Peso proprio profilato	= 14.59 daN/m
Peso Tavolato	= 5.7 daN/m
g1	= 20.29 daN/m
Carichi Permanenti Portati	= 60 daN/m
g2	= 60 daN/m

Carichi esercizio

q : carichi esercizio sulle campate

carichi esercizio sulle campate	= 120 daN/m
q	= 120 daN/m

Carichi ripartiti sulle aste

Nella tabella successiva sono riportate le aste della struttura e per ognuna di esse sono stati elencati i carichi lineari distribuiti nelle direzioni X e Z del sistema globale.

Qx : Carico sull'asta in direzione X [daN/m]
Qz : Carico sull'asta in direzione Z [daN/m]

Nome Azione	Asta	Qx	Qz
Permanenti strutturali	1	0	-20.29
Permanenti non strutturali	1	0	-60
ESERCIZIO	1	0	-120
Condizione 1	1	0	-296.38

COMBINAZIONI DI CARICO

Le combinazioni di carico considerate sono le seguenti :

- s.l.u. - COMBINAZIONI CARICO		
	C.d.C. num.	
	1	2
Permanenti strutturali	1.3	0
Permanenti non strutturali	1.5	0
Esercizio	1.5	0
Condizione 1	0	1

- s.l.e. Freq. - COMBINAZIONE CARICO	
	C.d.C. num.
	1
Permanenti strutturali	1
Permanenti non strutturali	1
Esercizio	0
Condizione 1	0

I risultati delle verifiche si riferiscono ad una fascia larga : 60 cm
Metodo di verifica: Stati Limite.

Asta 1 - (1-2)[Trave]

Classe di Servizio 2 (Umidità relativa max: 85%) LAMELLARE GL24h (Tipo Omogeneo) $-\gamma_M=1.45$ (FC=1)
L= 5874.41 mm - **R 160x240** - SEZIONI UTILIZZATE : 9
VERIFICHE EFFETTUATE CON ESITO POSITIVO

VERIFICHE DI RESISTENZA NORMALE

Sezione più gravosa : 5 - [X=2937.2 mm / 5874.41 mm] - **R 160x240**

Comb. più gravosa : " [SLV]-CMB2-[PE] " - Coeff. Sfruttamento : 0.548 (fs=1.825)

Sforzo Normale di Progetto [daN] : 0
Momento Flettente My di Progetto [daNm] : 1221
Momento Flettente Mz di Progetto [daNm] : 0

Tipo Verifica : FLESSIONE - Kmod = 0.8

Tensione di Progetto relativa a My [N/mm²] : 7.95
Tensione di Progetto relativa a Mz [N/mm²] : 0
Tensione Resistente relativa a My [N/mm²] : 14.51
Tensione Resistente relativa a Mz [N/mm²] : 14.57
Coefficiente di Sfruttamento a flessione : 0.548
fs : 1.83

VERIFICHE DI RESISTENZA TANGENZIALE

Sezione più gravosa: 9 - [X=5874.41 mm / 5874.41 mm] - **R 160x240**

Comb. più gravosa : " [SLV]-CMB2-[PE] " - Coeff. Sfruttamento : 0.218 (fs=4.586)

Taglio Ty di Progetto [daN] : 0
Taglio Tz di Progetto [daN] : -832
Momento Torcente Mt di Progetto [daNm] : 0

Tipo Verifica : TAGLIO

Tensione di Progetto relativa a Ty [N/mm²] : 0
Tensione di Progetto relativa a Tz [N/mm²] : 0.32
Tensione tang. Resistente [N/mm²] : 1.49
Coefficiente di Sfruttamento a taglio : 0.218
fs : 4.59

VERIFICA DI DEFORMABILITA'

Metodo di valutazione freccia finale (t->inf.)

· Modulo Elastico Ridotto

Lunghezza elemento	: 5874.4 mm	Schema adottato Doppia Cerniera	
Comb. di carico più gravosa	: 4	Peso proprio	: -14.6 daN/m
Carico distribuito Istantaneo	: -80.3 daN/m	-	
-		Carico distribuito Finale	: -80.3 daN/m
Freccia Istantanea - COMBINAZIONE		[SLEf]-CMB1-[PE]	
Freccia Finale - COMBINAZIONE		[SLEf]-CMB1-[PE]	
Modulo Elastico istantaneo	: 11600.0 N/mm ²	Modulo Elastico finale	: 6444.4 N/mm ²
Controfreccia	: 0.000 mm		
Freccia Istantanea	: -6.881 mm	Limite Freccia Istantanea L/500	: 11.749 mm
Freccia Netta Finale	: -12.386 mm	Limite Freccia Netta Fin. L/ 350	: 16.784 mm
Freccia Finale	: -12.386 mm	Limite Freccia Finale L/ 300	: 19.581 mm
Fatt. sicurezza freccia Istantanea	: 1.707	Fatt. sicurezza freccia Netta Finale	: 1.355
Fatt. sicurezza freccia Finale	: 1.581	Fatt. sicurezza	: 1.355

Tavolato[Trave]

Classe di Servizio 2 (Umidità relativa max: 85%) LAMELLARE **GL24h** (Tipo Omogeneo) - $\gamma_M=1.45$ (FC=1)

L= 5444232361803776 mm - **R 1000x25** - SEZIONI UTILIZZATE : 2

VERIFICHE EFFETTUATE CON ESITO POSITIVO

VERIFICHE DI RESISTENZA NORMALE

Sezione più gravosa : 2 - [X=300 mm / 5444232361803776 mm] - **R 1000x25**

Comb. più gravosa : " Comb.Tav. " - Coeff. Sfruttamento : 0.099 (fs=10.097)

Sforzo Normale di Progetto [daN] : 0
Momento Flettente My di Progetto [daNm] : 15

Momento Flettente Mz di Progetto [daNm] : 0

Tipo Verifica : FLESSIONE - Kmod = 0.8

Tensione di Progetto relativa a My [N/mm²] : 1.44
 Tensione di Progetto relativa a Mz [N/mm²] : 0
 Tensione Resistente relativa a My [N/mm²] : 14.57
 Tensione Resistente relativa a Mz [N/mm²] : 13.24
 Coefficiente di Sfruttamento a flessione : 0.099
 fs : 10.1

VERIFICHE DI RESISTENZA TANGENZIALE

Sezione più gravosa: 1 - [X=0 mm / 5444232361803776 mm] - **R 1000x25**

Comb. più gravosa : " Comb.Tav. " - Coeff. Sfruttamento : 0.056 (fs=17.9)

Taglio Ty di Progetto [daN] : 0
 Taglio Tz di Progetto [daN] : 139
 Momento Torcente Mt di Progetto [daNm] : 0

Tipo Verifica : TAGLIO

Tensione di Progetto relativa a Ty [N/mm²] : 0
 Tensione di Progetto relativa a Tz [N/mm²] : 0.08
 Tensione tang. Resistente [N/mm²] : 1.49
 Coefficiente di Sfruttamento a taglio : 0.056
 fs : 17.9

- IMPALCATO Primo piano - BALCONE 1 - Nome Sezione: PET_Balcone

Sigla del solaio : Schema Balcone 1

Caratteristiche nodi

I dati seguenti riportano tutte le caratteristiche relative ai nodi che definiscono la struttura:

Nodo : numerazione del nodo della sottostruttura solaio;
 Ascissa, Quota : coordinate del nodo secondo il sistema di riferimento globale cartesiano [mm];
 Vincolo esterno : descrizione del vincolo esterno.

Nodo	Ascissa	Quota	Vincolo esterno
1	0	0	assente
2	800	0	Incastro

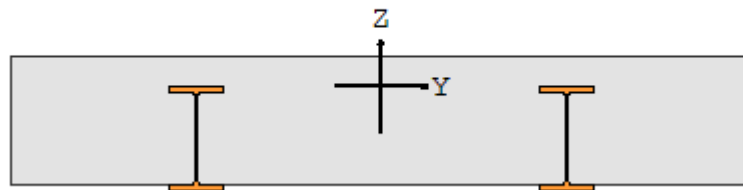
Caratteristiche aste

La tabella seguente riporta tutte le caratteristiche relative alle aste della struttura:

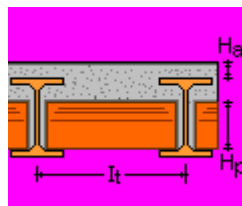
Asta : numerazione;
 Nodo Ini. : nodo iniziale;
 Nodo Fin. : nodo finale;
 lunghezza : lunghezza teorica (nodo-nodo) [mm].

Asta	Nodo ini.	Nodo fin.	lunghezza
1	1	2	800

Caratteristiche della sezione trasversale



La sezione trasversale è larga 100cm; essa è costituita da 2 profili di tipo IPE140; all'interno dei profili sono disposti tavelloni dello spessore di 0 cm; il solaio viene completato con un getto di calcestruzzo di completamento. Il peso per unità di volume del getto di completamento è pari a 2000 daN/m³. L'altezza totale del solaio è pari a 18 cm.



CARATTERISTICHE DEI MATERIALI

Acciaio per carpenteria.

Classe : Acciaio I

Tensione caratteristica di snervamento f_y [N/mm²] : 235

Tensione caratteristica di rottura f_t [N/mm²] : 360

Tensione caratteristica di snervamento ($t > 40$ mm) f_y [N/mm²] : 215

Tensione caratteristica di rottura ($t > 40$ mm) f_t [N/mm²] : 360

Modulo di elasticità normale E_{cm} [N/mm²] : 210000

Calcestruzzo non collaborante.

ANALISI DEI CARICHI

Analisi dei carichi agenti su una fascia larga : 100 cm.

Carichi permanenti

g1 : carichi permanenti strutturali
g2 : carichi permanenti non strutturali

Peso proprio profilato	= 25.79 daN/m
Peso Tavelloni + Getto Cls	= 360 daN/m
g1	= 385.79 daN/m

Carichi Permanenti Portati	= 100 daN/m
g2	= 100 daN/m

Carichi esercizio

q : carichi esercizio sulle campate
qs : carichi esercizio sugli sbalzi

carichi esercizio sulle campate	= 0 daN/m
q	= 0 daN/m
carichi esercizio sugli sbalzi	= 400 daN/m

qs

= 400 daN/m

Carichi ripartiti sulle aste

Nella tabella successiva sono riportate le aste della struttura e per ognuna di esse sono stati elencati i carichi lineari distribuiti nelle direzioni X e Z del sistema globale.

Qx : Carico sull'asta in direzione X [daN/m]

Qz : Carico sull'asta in direzione Z [daN/m]

Nome Azione	Asta	Qx	Qz
Permanenti strutturali	1	0	-385.79
Permanenti non strutturali	1	0	-100
ESERCIZIO	1	0	-400
Condizione 1	1	0	-1251.53

COMBINAZIONI DI CARICO

Le combinazioni di carico considerate sono le seguenti :

- s.l.u. - COMBINAZIONI CARICO		
	C.d.C. num.	
	1	2
Permanenti strutturali	1.3	0
Permanenti non strutturali	1.5	0
Esercizio	1.5	0
Condizione 1	0	1

- s.l.e. Rara - COMBINAZIONE CARICO	
	C.d.C. num.
	1
Permanenti strutturali	1
Permanenti non strutturali	1
Esercizio	1
Condizione 1	0

I risultati delle verifiche si riferiscono ad una fascia larga : 100 cm

Metodo di verifica: Stati Limite.

Asta 1

Sezione IPE140. Acciaio Acciaio1
-ESITO VERIFICHE POSITIVO-

VERIFICHE DI RESISTENZA. (ESITO POSITIVO)

AZIONI DI PROGETTO								
Comb. più gravosa	Sez.	N [daN]	Ty [daN]	Tz [daN]	My [daNm]	Mz [daNm]	Mt [danM]	Incr. Az.
[SLV]-CMB1-[PE]	9	0	0	-1001	-400	0	0	NO

TIPO VERIFICA : PRESSOFLESSIONE
 Classe sezione : 1
 · Resistenza assiale plastica : 73532.9 daN
 · Mom. res. plastico Y (A.P.I.) : 3954.9 daNm
 · Mom. res. plastico Z (A.P.I.) : 18383.2 daNm
 · Fattore di sicurezza : **9.875**

VERIFICA DI STABILITA' A COMPRESSIONE. (ESITO POSITIVO)

L'asta in oggetto non risulta interessata da azioni esterne destabilizzanti di rilievo a carico di punta.

VERIFICHE DI DEFORMABILITA'. (ESITO POSITIVO)

Lunghezza L	: 800 mm	Freccia Car.Acc.	: -0.09 mm
Peso Proprio Trave	: -25.8 daN/m	Freccia Car.Tot.	: -0.21 mm
Carico Variabile	: -400.0 daN/m	Freccia Max Car.Acc. L/300	: 2.67 mm
Carico Totale	: -885.8 daN/m	Freccia Max Car.Tot. L/250	: 3.20 mm
Monta iniziale	: 0.00 mm	Fattore di sicurezza	: 15.59

- IMPALCATO Primo piano - BALCONE 2 - Nome Sezione: PET_Balcone

Sigla del solaio : Schema Balcone 2

Caratteristiche nodi

I dati seguenti riportano tutte le caratteristiche relative ai nodi che definiscono la struttura:

Nodo : numerazione del nodo della sottostruttura solaio;
 Ascissa,Quota : coordinate del nodo secondo il sistema di riferimento globale cartesiano [mm];
 Vincolo esterno : descrizione del vincolo esterno.

Nodo	Ascissa	Quota	Vincolo esterno
1	0	0	assente
2	450	0	Incastro

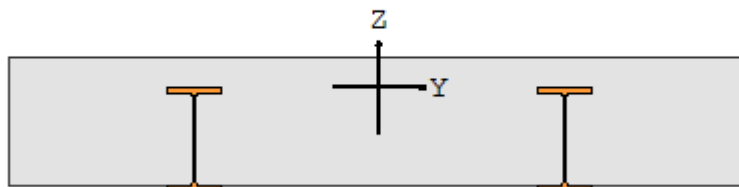
Caratteristiche aste

La tabella seguente riporta tutte le caratteristiche relative alle aste della struttura:

Asta : numerazione;
 Nodo Ini. : nodo iniziale;
 Nodo Fin. : nodo finale;
 lunghezza : lunghezza teorica (nodo-nodo) [mm].

Asta	Nodo ini.	Nodo fin.	lunghezza
1	1	2	450

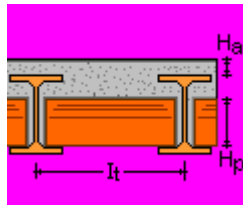
Caratteristiche della sezione trasversale



La sezione trasversale è larga 100cm; essa è costituita da 2 profili di tipo IPE140; all'interno dei profili sono disposti tavelloni dello spessore di 0 cm; il solaio viene completato con un getto di calcestruzzo di completamento.

Il peso per unità di volume del getto di completamento è pari a 2000 daN/m³.

L'altezza totale del solaio è pari a 18 cm.



CARATTERISTICHE DEI MATERIALI

Acciaio per carpenteria.

Classe : Acciaio I

Tensione caratteristica di snervamento f_y [N/mm²] : 235

Tensione caratteristica di rottura f_t [N/mm²] : 360

Tensione caratteristica di snervamento ($t > 40$ mm) f_y [N/mm²] : 215

Tensione caratteristica di rottura ($t > 40$ mm) f_t [N/mm²] : 360

Modulo di elasticità normale E_{cm} [N/mm²] : 210000

Calcestruzzo non collaborante.

ANALISI DEI CARICHI

Analisi dei carichi agenti su una fascia larga : 100 cm.

Carichi permanenti

g1 : carichi permanenti strutturali

g2 : carichi permanenti non strutturali

Peso proprio profilato = 25.79 daN/m
 Peso Tavelloni + Getto Cls = 360 daN/m
g1 = 385.79 daN/m

Carichi Permanenti Portati = 100 daN/m
g2 = 100 daN/m

Carichi esercizio

q : carichi esercizio sulle campate

qs : carichi esercizio sugli sbalzi

carichi esercizio sulle campate = 0 daN/m
q = 0 daN/m

carichi esercizio sugli sbalzi = 400 daN/m
qs = 400 daN/m

Carichi ripartiti sulle aste

Nella tabella successiva sono riportate le aste della struttura e per ognuna di esse sono stati elencati i carichi lineari distribuiti nelle direzioni X e Z del sistema globale.

Qx : Carico sull'asta in direzione X [daN/m]

Qz : Carico sull'asta in direzione Z [daN/m]

Nome Azione	Asta	Qx	Qz
Permanenti strutturali	1	0	-385.79
Permanenti non strutturali	1	0	-100
ESERCIZIO	1	0	-400
Condizione 1	1	0	-1251.53

COMBINAZIONI DI CARICO

Le combinazioni di carico considerate sono le seguenti :

- s.l.u. - COMBINAZIONI CARICO		
	C.d.C. num.	
	1	2
Permanenti strutturali	1.3	0
Permanenti non strutturali	1.5	0
Esercizio	1.5	0
Condizione 1	0	1

- s.l.e. Rara - COMBINAZIONE CARICO	
	C.d.C. num.
	1
Permanenti strutturali	1
Permanenti non strutturali	1
Esercizio	1
Condizione 1	0

I risultati delle verifiche si riferiscono ad una fascia larga : 100 cm
Metodo di verifica: Stati Limite.

Asta 1

Sezione IPE140. Acciaio Acciaio1
-ESITO VERIFICHE POSITIVO-

VERIFICHE DI RESISTENZA. (ESITO POSITIVO)

AZIONI DI PROGETTO								
Comb. più gravosa	Sez.	N [daN]	Ty [daN]	Tz [daN]	My [daNm]	Mz [daNm]	Mt [danM]	Incr. Az.
[SLer]-CMB1-[PE]	9	0	0	-399	-90	0	0	NO

TIPO VERIFICA : ELASTICA
Tensione di Progetto : 223.8 N/mm²
Tensione ideale di calcolo : 7.8 N/mm²
fattore di sicurezza : **28.620**

VERIFICA DI STABILITA' A COMPRESSIONE. (ESITO POSITIVO)

L'asta in oggetto non risulta interessata da azioni esterne destabilizzanti di rilievo a carico di punta.

VERIFICHE DI DEFORMABILITA'. (ESITO POSITIVO)

Lunghezza L	: 450 mm	Freccia Car.Acc.	: -0.01 mm
Peso Proprio Trave	: -25.8 daN/m	Freccia Car.Tot.	: -0.02 mm
Carico Variabile	: -400.0 daN/m	Freccia Max Car.Acc. L/300	: 1.50 mm
Carico Totale	: -885.8 daN/m	Freccia Max Car.Tot. L/250	: 1.80 mm
Monta iniziale	: 0.00 mm	Fattore di sicurezza	: 87.58

5.2 ALLEGATO B - (Verifiche Architravi)

CALCOLO ARCHITRAVI E CERCHIATURE DELLE APERTURE.

ARCHITRAVI E CERCHIATURE (filì fissi 1-9 - Piano 1)

DATI GENERALI

CARICHI

Carico Ripartito in testa alla parete : 2923.57 daN/m

COMBINAZIONI DI CARICO

Le sollecitazioni vengono calcolate come involucro delle combinazioni di carico sia sismiche che non sismiche. I carichi verticali vengono amplificati per 1.3, mentre i carichi orizzontali assimilabili a sisma vengono considerati senza riduzioni.

GEOMETRIA e MATERIALI PARETE

Dati comuni a tutti i tipi di architrave:

n	: numero dell'architrave;
t	: spessore della parete che contiene l'architrave;
Lp	: larghezza della parete;
Hp	: altezza della parete;
L	: larghezza del foro;
H	: altezza del foro;
A	: valore dell'appoggio dell'architrave sulla muratura;
Emur	: modulo elastico longitudinale della muratura;
Gmur	: modulo elastico trasversale della muratura;
fbk	: resistenza caratteristica del blocco;
fbk or	: resistenza caratteristica in direzione orizzontale del blocco;
fk	: resistenza caratteristica della muratura;
fvk0	: resistenza caratteristica a taglio in assenza di carichi verticali;
P.spec	: peso per unità di volume della muratura;
Amm. eff.	: ammassamento efficace dell'architrave alla muratura;

n	t [cm]	Lp [cm]	Hp [cm]	L [cm]	H [cm]	A [cm]	Emur [daN/cm ²]	Gmur [daN/cm ²]	fbk [daN/cm ²]	fbk or [daN/cm ²]	fk [daN/cm ²]	fvk0 [daN/cm ²]	P.spec [daN/m ³]	Amm. eff.
1	40	351	290	120	140	20	12300	4100	150.00	15.00	20.00	3.00	2000	NO

Dati architrave in c.a.:

n	: numero dell'architrave;
B	: base della sezione dell'architrave;
H	: altezza della sezione dell'architrave;
Rck	: resistenza cubica caratteristica del calcestruzzo;
E	: modulo elastico del calcestruzzo;
ni	: coefficiente di Poisson del calcestruzzo;
fcd	: resistenza cilindrica di calcolo;
fct	: resistenza a taglio di calcolo;
P.spec	: peso per unità di volume del calcestruzzo;
fsd long	: resistenza di calcolo delle armature longitudinali;
fsd staffe	: resistenza di calcolo delle staffe.

n	B [cm]	H [cm]	Rck [daN/cm ²]	E [daN/cm ²]	ni	fcd [daN/cm ²]	fct [daN/cm ²]	P.spec [daN/m ³]	fsd long [daN/cm ²]	fsd staffe [daN/cm ²]
---	--------	--------	----------------------------	--------------------------	----	----------------------------	----------------------------	------------------------------	---------------------------------	-----------------------------------

1	40	20	300	314758	0.15	141.67	17.95	2500	3913.04	3913.04
---	----	----	-----	--------	------	--------	-------	------	---------	---------

RISULTATI DELLE VERIFICHE

Verifiche di resistenza architrave in c.a.:

n	: numero dell'architrave;
Md(m)	: Momento di calcolo in mezzeria;
Md(i)	: Momento di calcolo all'incastro;
Td(i)	: Taglio di calcolo all'incastro;
f(m)	: freccia di calcolo in mezzeria;
Mr(m)	: Momento resistente in mezzeria;
Mr(i)	: Momento resistente all'incastro;
Vrd1(i)	: Taglio resistente del conglomerato;
Vws(i)	: Taglio resistente portato dalle staffe (se 0 non necessitano staffe oltre le minime);
sf(m)	: coefficiente di sicurezza a flessione in mezzeria;
sf(i)	: coefficiente di sicurezza a flessione all'incastro;
st	: coefficiente di sicurezza a taglio;
nsup	: numero di ferri superiori;
ninf	: numero di ferri inferiori;
Ø	: diametro delle armature.

n	Md(m) [daNcm]]	Md(i) [daNcm]]	Td(i) [daN]	f(m) [cm]	Mr(m) [daNcm]]	Mr(i) [daNcm]]	Vrd1 [daN]	Vws [daN]	sf(m)	sf(i)	st	nsup	ninf	Ø
1	57235	0	1692	0.01	-148209	0	41426	0	2.59	---	24.49	2	2	12

Verifiche di resistenza dell'appoggio dell'architrave:

n	: numero dell'architrave;
Tipo	: tipo di architrave;
Md	: Momento di calcolo sull'appoggio;
Nd	: Sforzo Normale di calcolo sull'appoggio;
Mr	: Momento resistente dell'appoggio;
Nr	: Sforzo Normale resistente dell'appoggio;
s	: coefficiente di sicurezza dell'appoggio.

Per il tipo "Acciaio" i valori resistenti sono relativi al singolo profilato.

n	Tipo	Md [daNcm]	Nd [daN]	Mr [daNcm]	Nr [daN]	s
1	C.A.	0	1692	8395	3951	2.34

ARCHITRAVI E CERCHIATURE (fili fissi 2-3 - Piano 1)

DATI GENERALI

CARICHI

Carico Ripartito in testa alla parete : 2917.33 daN/m

COMBINAZIONI DI CARICO

Le sollecitazioni vengono calcolate come involuppo delle combinazioni di carico sia sismiche che non sismiche. I carichi verticali vengono amplificati per 1.3, mentre i carichi orizzontali assimilabili a sisma vengono considerati senza riduzioni.

GEOMETRIA e MATERIALI PARETE

Dati comuni a tutti i tipi di architrave:

n	: numero dell'architrave;
t	: spessore della parete che contiene l'architrave;
Lp	: larghezza della parete;
Hp	: altezza della parete;
L	: larghezza del foro;
H	: altezza del foro;
A	: valore dell'appoggio dell'architrave sulla muratura;
Emur	: modulo elastico longitudinale della muratura;
Gmur	: modulo elastico trasversale della muratura;
fbk	: resistenza caratteristica del blocco;
fbk or	: resistenza caratteristica in direzione orizzontale del blocco;
fk	: resistenza caratteristica della muratura;
fvk0	: resistenza caratteristica a taglio in assenza di carichi verticali;
P.spec	: peso per unità di volume della muratura;
Amm. eff.	: ammorsamento efficace dell'architrave alla muratura;

n	t [cm]	Lp [cm]	Hp [cm]	L [cm]	H [cm]	A [cm]	Emur [daN/c m ²]	Gmur [daN/c m ²]	fbk [daN/c m ²]	fbk or [daN/c m ²]	fk [daN/c m ²]	fvk0 [daN/c m ²]	P.spec [daN/m ³]	Amm. eff.
1	40	621	290	60	140	20	12300	4100	150.00	15.00	20.00	3.00	2000	NO
2	40	621	290	120	240	20	12300	4100	150.00	15.00	20.00	3.00	2000	NO
3	40	621	290	120	240	20	12300	4100	150.00	15.00	20.00	3.00	2000	NO

Dati architrave in c.a.:

n	: numero dell'architrave;
B	: base della sezione dell'architrave;
H	: altezza della sezione dell'architrave;
Rck	: resistenza cubica caratteristica del calcestruzzo;
E	: modulo elastico del calcestruzzo;
ni	: coefficiente di Poisson del calcestruzzo;
fcd	: resistenza cilindrica di calcolo;
fct	: resistenza a taglio di calcolo;
P.spec	: peso per unità di volume del calcestruzzo;
fsd long	: resistenza di calcolo delle armature longitudinali;
fsd staffe	: resistenza di calcolo delle staffe.

n	B [cm]	H [cm]	Rck [daN/cm ²]	E [daN/cm ²]	ni	fcd [daN/cm ²]	fct [daN/cm ²]	P.spec [daN/m ³]	fsd long [daN/cm ²]	fsd staffe [daN/cm ²]
1	40	20	300	314758	0.15	141.67	17.95	2500	3913.04	3913.04
2	40	20	300	314758	0.15	141.67	17.95	2500	3913.04	3913.04
3	40	20	300	314758	0.15	141.67	17.95	2500	3913.04	3913.04

RISULTATI DELLE VERIFICHE

Verifiche di resistenza architrave in c.a.:

n : numero dell'architrave;
 Md(m) : Momento di calcolo in mezzeria;
 Md(i) : Momento di calcolo all'incastro;
 Td(i) : Taglio di calcolo all'incastro;
 f(m) : freccia di calcolo in mezzeria;
 Mr(m) : Momento resistente in mezzeria;
 Mr(i) : Momento resistente all'incastro;
 Vrd1(i) : Taglio resistente del conglomerato;
 Vws(i) : Taglio resistente portato dalle staffe (se 0 non necessitano staffe oltre le minime);
 sf(m) : coefficiente di sicurezza a flessione in mezzeria;
 sf(i) : coefficiente di sicurezza a flessione all'incastro;
 st : coefficiente di sicurezza a taglio;
 nsup : numero di ferri superiori;
 ninf : numero di ferri inferiori;
 Ø : diametro delle armature.

n	Md(m) [daNcm]	Md(i) [daNcm]	Td(i) [daN]	f(m) [cm]	Mr(m) [daNcm]	Mr(i) [daNcm]	Vrd1 [daN]	Vws [daN]	sf(m)	sf(i)	st	nsup	ninf	Ø
1	3700	0	193	0.00	-148209	0	41426	0	40.06	---	215.08	2	2	12
2	57153	0	1689	0.01	-148209	0	41426	0	2.59	---	24.53	2	2	12
3	57153	0	1689	0.01	-148209	0	41426	0	2.59	---	24.53	2	2	12

Verifiche di resistenza dell'appoggio dell'architrave:

n : numero dell'architrave;
 Tipo : tipo di architrave;
 Md : Momento di calcolo sull'appoggio;
 Nd : Sforzo Normale di calcolo sull'appoggio;
 Mr : Momento resistente dell'appoggio;
 Nr : Sforzo Normale resistente dell'appoggio;
 s : coefficiente di sicurezza dell'appoggio.

Per il tipo "Acciaio" i valori resistenti sono relativi al singolo profilato.

n	Tipo	Md [daNcm]	Nd [daN]	Mr [daNcm]	Nr [daN]	s
1	C.A.	0	193	1816	3951	20.51
2	C.A.	0	1689	8395	3951	2.34
3	C.A.	0	1689	8395	3951	2.34

ARCHITRAVI E CERCHIATURE (fili fissi 6-2 - Piano 1)

DATI GENERALI

CARICHI

Carico Ripartito in testa alla parete : 1401.52 daN/m

COMBINAZIONI DI CARICO

Le sollecitazioni vengono calcolate come involucro delle combinazioni di carico sia sismiche che non sismiche. I carichi verticali vengono amplificati per 1.3, mentre i carichi orizzontali assimilabili a sisma vengono considerati senza riduzioni.

GEOMETRIA e MATERIALI PARETE

Dati comuni a tutti i tipi di architrave:

n	: numero dell'architrave;
t	: spessore della parete che contiene l'architrave;
Lp	: larghezza della parete;
Hp	: altezza della parete;
L	: larghezza del foro;
H	: altezza del foro;
A	: valore dell'appoggio dell'architrave sulla muratura;
Emur	: modulo elastico longitudinale della muratura;
Gmur	: modulo elastico trasversale della muratura;
fbk	: resistenza caratteristica del blocco;
fbk or	: resistenza caratteristica in direzione orizzontale del blocco;
fk	: resistenza caratteristica della muratura;
fvk0	: resistenza caratteristica a taglio in assenza di carichi verticali;
P.spec	: peso per unità di volume della muratura;
Amm. eff.	: ammortamento efficace dell'architrave alla muratura;

n	t [cm]	Lp [cm]	Hp [cm]	L [cm]	H [cm]	A [cm]	Emur [daN/cm ²]	Gmur [daN/cm ²]	fbk [daN/cm ²]	fbk or [daN/cm ²]	fk [daN/cm ²]	fvk0 [daN/cm ²]	P.spec [daN/m ³]	Amm. eff.
1	40	439	260	95	220	20	12300	4100	150.00	15.00	20.00	3.00	2000	NO

Dati architrave in c.a.:

n	: numero dell'architrave;
B	: base della sezione dell'architrave;
H	: altezza della sezione dell'architrave;
Rck	: resistenza cubica caratteristica del calcestruzzo;
E	: modulo elastico del calcestruzzo;
ni	: coefficiente di Poisson del calcestruzzo;
fcd	: resistenza cilindrica di calcolo;
fct	: resistenza a taglio di calcolo;
P.spec	: peso per unità di volume del calcestruzzo;
fsd long	: resistenza di calcolo delle armature longitudinali;
fsd staffe	: resistenza di calcolo delle staffe.

n	B [cm]	H [cm]	Rck [daN/cm ²]	E [daN/cm ²]	ni	fcd [daN/cm ²]	fct [daN/cm ²]	P.spec [daN/m ³]	fsd long [daN/cm ²]	fsd staffe [daN/cm ²]
1	40	20	300	314758	0.15	141.67	17.95	2500	3913.04	3913.04

RISULTATI DELLE VERIFICHEVerifiche di resistenza architrave in c.a.:

n	: numero dell'architrave;
Md(m)	: Momento di calcolo in mezzeria;
Md(i)	: Momento di calcolo all'incastro;
Td(i)	: Taglio di calcolo all'incastro;
f(m)	: freccia di calcolo in mezzeria;
Mr(m)	: Momento resistente in mezzeria;
Mr(i)	: Momento resistente all'incastro;
Vrd1(i)	: Taglio resistente del conglomerato;
Vws(i)	: Taglio resistente portato dalle staffe (se 0 non necessitano staffe oltre le minime);

$sf(m)$: coefficiente di sicurezza a flessione in mezzeria;
 $sf(i)$: coefficiente di sicurezza a flessione all'incastro;
 st : coefficiente di sicurezza a taglio;
 $nsup$: numero di ferri superiori;
 $ninf$: numero di ferri inferiori;
 \emptyset : diametro delle armature.

n	Md(m) [daNcm]]	Md(i) [daNcm]]	Td(i) [daN]	f(m) [cm]	Mr(m) [daNcm]]	Mr(i) [daNcm]]	Vrd1 [daN]	Vws [daN]	sf(m)	sf(i)	st	nsup	ninf	\emptyset
1	21462	0	768	0.00	-148209	0	41426	0	6.91	---	53.93	2	2	12

Verifiche di resistenza dell'appoggio dell'architrave:

n : numero dell'architrave;
 Tipo : tipo di architrave;
 Md : Momento di calcolo sull'appoggio;
 Nd : Sforzo Normale di calcolo sull'appoggio;
 Mr : Momento resistente dell'appoggio;
 Nr : Sforzo Normale resistente dell'appoggio;
 s : coefficiente di sicurezza dell'appoggio.

Per il tipo "Acciaio" i valori resistenti sono relativi al singolo profilato.

n	Tipo	Md [daNcm]	Nd [daN]	Mr [daNcm]	Nr [daN]	s
1	C.A.	0	768	5925	3951	5.14

ARCHITRAVI E CERCHIATURE (filì fissi 9-2 - Piano 1)

DATI GENERALI

CARICHI

Carico Ripartito in testa alla parete : 2303.14 daN/m

COMBINAZIONI DI CARICO

Le sollecitazioni vengono calcolate come involuppo delle combinazioni di carico sia sismiche che non sismiche. I carichi verticali vengono amplificati per 1.3, mentre i carichi orizzontali assimilabili a sisma vengono considerati senza riduzioni.

GEOMETRIA e MATERIALI PARETE

Dati comuni a tutti i tipi di architrave:

n : numero dell'architrave;
 t : spessore della parete che contiene l'architrave;
 Lp : larghezza della parete;
 Hp : altezza della parete;
 L : larghezza del foro;
 H : altezza del foro;
 A : valore dell'appoggio dell'architrave sulla muratura;
 $Emur$: modulo elastico longitudinale della muratura;

Gmur : modulo elastico trasversale della muratura;
 fbk : resistenza caratteristica del blocco;
 fbk or : resistenza caratteristica in direzione orizzontale del blocco;
 fk : resistenza caratteristica della muratura;
 fvk0 : resistenza caratteristica a taglio in assenza di carichi verticali;
 P.spec : peso per unità di volume della muratura;
 Amm. eff. : ammassamento efficace dell'architrave alla muratura;

n	t [cm]	Lp [cm]	Hp [cm]	L [cm]	H [cm]	A [cm]	Emur [daN/c m ²]	Gmur [daN/c m ²]	fbk [daN/c m ²]	fbk or [daN/c m ²]	fk [daN/c m ²]	fvk0 [daN/c m ²]	P.spec [daN/m ³]	Amm. eff.
1	40	249	260	120	240	20	12300	4100	150.00	15.00	20.00	3.00	2000	NO

Dati architrave in c.a.:

n : numero dell'architrave;
 B : base della sezione dell'architrave;
 H : altezza della sezione dell'architrave;
 Rck : resistenza cubica caratteristica del calcestruzzo;
 E : modulo elastico del calcestruzzo;
 ni : coefficiente di Poisson del calcestruzzo;
 fcd : resistenza cilindrica di calcolo;
 fct : resistenza a taglio di calcolo;
 P.spec : peso per unità di volume del calcestruzzo;
 fsd long : resistenza di calcolo delle armature longitudinali;
 fsd staffe : resistenza di calcolo delle staffe.

n	B [cm]	H [cm]	Rck [daN/cm ²]	E [daN/cm ²]	ni	fcd [daN/cm ²]	fct [daN/cm ²]	P.spec [daN/m ³]	fsd long [daN/cm ²]	fsd staffe [daN/cm ²]
1	40	20	300	314758	0.15	141.67	17.95	2500	3913.04	3913.04

RISULTATI DELLE VERIFICHE

Verifiche di resistenza architrave in c.a.:

n : numero dell'architrave;
 Md(m) : Momento di calcolo in mezzeria;
 Md(i) : Momento di calcolo all'incastro;
 Td(i) : Taglio di calcolo all'incastro;
 f(m) : freccia di calcolo in mezzeria;
 Mr(m) : Momento resistente in mezzeria;
 Mr(i) : Momento resistente all'incastro;
 Vrd1(i) : Taglio resistente del conglomerato;
 Vws(i) : Taglio resistente portato dalle staffe (se 0 non necessitano staffe oltre le minime);
 sf(m) : coefficiente di sicurezza a flessione in mezzeria;
 sf(i) : coefficiente di sicurezza a flessione all'incastro;
 st : coefficiente di sicurezza a taglio;
 nsup : numero di ferri superiori;
 ninf : numero di ferri inferiori;
 Ø : diametro delle armature.

n	Md(m) [daNcm]	Md(i) [daNcm]	Td(i) [daN]	f(m) [cm]	Mr(m) [daNcm]	Mr(i) [daNcm]	Vrd1 [daN]	Vws [daN]	sf(m)	sf(i)	st	nsup	ninf	Ø
1	65877	0	1980	0.01	-148209	0	41426	0	2.25	---	20.92	2	2	12

Verifiche di resistenza dell'appoggio dell'architrave:

n : numero dell'architrave;
 Tipo : tipo di architrave;
 Md : Momento di calcolo sull'appoggio;
 Nd : Sforzo Normale di calcolo sull'appoggio;
 Mr : Momento resistente dell'appoggio;
 Nr : Sforzo Normale resistente dell'appoggio;
 s : coefficiente di sicurezza dell'appoggio.

Per il tipo "Acciaio" i valori resistenti sono relativi al singolo profilato.

n	Tipo	Md [daNcm]	Nd [daN]	Mr [daNcm]	Nr [daN]	s
1	C.A.	0	1980	8126	3951	2.00

ARCHITRAVI E CERCHIATURE (filì fissi 1-9 - Piano 2)

DATI GENERALI

CARICHI

Carico Ripartito in testa alla parete : 2792.11 daN/m

COMBINAZIONI DI CARICO

Le sollecitazioni vengono calcolate come inviluppo delle combinazioni di carico sia sismiche che non sismiche. I carichi verticali vengono amplificati per 1.3, mentre i carichi orizzontali assimilabili a sisma vengono considerati senza riduzioni.

GEOMETRIA e MATERIALI PARETE

Dati comuni a tutti i tipi di architrave:

n : numero dell'architrave;
 t : spessore della parete che contiene l'architrave;
 Lp : larghezza della parete;
 Hp : altezza della parete;
 L : larghezza del foro;
 H : altezza del foro;
 A : valore dell'appoggio dell'architrave sulla muratura;
 Emur : modulo elastico longitudinale della muratura;
 Gmur : modulo elastico trasversale della muratura;
 fbk : resistenza caratteristica del blocco;
 fbk or : resistenza caratteristica in direzione orizzontale del blocco;
 fk : resistenza caratteristica della muratura;
 fvk0 : resistenza caratteristica a taglio in assenza di carichi verticali;
 P.spec : peso per unità di volume della muratura;
 Amm. eff. : ammortamento efficace dell'architrave alla muratura;

n	t [cm]	Lp [cm]	Hp [cm]	L [cm]	H [cm]	A [cm]	Emur [daN/c m ²]	Gmur [daN/c m ²]	fbk [daN/c m ²]	fbk or [daN/c m ²]	fk [daN/c m ²]	fvk0 [daN/c m ²]	P.spec [daN/m ³]	Amm. eff.
1	30	361	280	120	140	20	12300	4100	150.00	15.00	20.00	3.00	2000	NO

Dati architrave in c.a.:

n : numero dell'architrave;
 B : base della sezione dell'architrave;
 H : altezza della sezione dell'architrave;
 Rck : resistenza cubica caratteristica del calcestruzzo;
 E : modulo elastico del calcestruzzo;
 ni : coefficiente di Poisson del calcestruzzo;
 fcd : resistenza cilindrica di calcolo;
 fct : resistenza a taglio di calcolo;
 P.spec : peso per unità di volume del calcestruzzo;
 fsd long : resistenza di calcolo delle armature longitudinali;
 fsd staffe : resistenza di calcolo delle staffe.

n	B [cm]	H [cm]	Rck [daN/cm ²]	E [daN/cm ²]	ni	fcd [daN/cm ²]	fct [daN/cm ²]	P.spec [daN/m ³]	fsd long [daN/cm ²]	fsd staffe [daN/cm ²]
1	30	20	300	314758	0.15	141.67	17.95	2500	3913.04	3913.04

RISULTATI DELLE VERIFICHE

Verifiche di resistenza architrave in c.a.:

n : numero dell'architrave;
 Md(m) : Momento di calcolo in mezzeria;
 Md(i) : Momento di calcolo all'incastro;
 Td(i) : Taglio di calcolo all'incastro;
 f(m) : freccia di calcolo in mezzeria;
 Mr(m) : Momento resistente in mezzeria;
 Mr(i) : Momento resistente all'incastro;
 Vrd1(i) : Taglio resistente del conglomerato;
 Vws(i) : Taglio resistente portato dalle staffe (se 0 non necessitano staffe oltre le minime);
 sf(m) : coefficiente di sicurezza a flessione in mezzeria;
 sf(i) : coefficiente di sicurezza a flessione all'incastro;
 st : coefficiente di sicurezza a taglio;
 nsup : numero di ferri superiori;
 ninf : numero di ferri inferiori;
 Ø : diametro delle armature.

n	Md(m) [daNcm]	Md(i) [daNcm]	Td(i) [daN]	f(m) [cm]	Mr(m) [daNcm]	Mr(i) [daNcm]	Vrd1 [daN]	Vws [daN]	sf(m)	sf(i)	st	nsup	ninf	Ø
1	57535	0	1756	0.01	-140039	0	33015	0	2.43	---	18.80	2	2	12

Verifiche di resistenza dell'appoggio dell'architrave:

n : numero dell'architrave;
 Tipo : tipo di architrave;
 Md : Momento di calcolo sull'appoggio;
 Nd : Sforzo Normale di calcolo sull'appoggio;
 Mr : Momento resistente dell'appoggio;
 Nr : Sforzo Normale resistente dell'appoggio;
 s : coefficiente di sicurezza dell'appoggio.

Per il tipo "Acciaio" i valori resistenti sono relativi al singolo profilato.

n	Tipo	Md	Nd [daN]	Mr [daNcm]	Nr [daN]	s
---	------	----	----------	------------	----------	---

		[daNcm]				
1	C.A.	0	1756	5318	2963	1.69

ARCHITRAVI E CERCHIATURE (filì fissi 2-3 - Piano 2)

DATI GENERALI

CARICHI

Carico Ripartito in testa alla parete : 3068.72 daN/m

COMBINAZIONI DI CARICO

Le sollecitazioni vengono calcolate come involuppo delle combinazioni di carico sia sismiche che non sismiche. I carichi verticali vengono amplificati per 1.3, mentre i carichi orizzontali assimilabili a sisma vengono considerati senza riduzioni.

GEOMETRIA e MATERIALI PARETE

Dati comuni a tutti i tipi di architrave:

n : numero dell'architrave;
 t : spessore della parete che contiene l'architrave;
 Lp : larghezza della parete;
 Hp : altezza della parete;
 L : larghezza del foro;
 H : altezza del foro;
 A : valore dell'appoggio dell'architrave sulla muratura;
 Emur : modulo elastico longitudinale della muratura;
 Gmur : modulo elastico trasversale della muratura;
 fbk : resistenza caratteristica del blocco;
 fbk or : resistenza caratteristica in direzione orizzontale del blocco;
 fk : resistenza caratteristica della muratura;
 fvk0 : resistenza caratteristica a taglio in assenza di carichi verticali;
 P.spec : peso per unità di volume della muratura;
 Amm. eff. : ammassamento efficace dell'architrave alla muratura;

n	t [cm]	Lp [cm]	Hp [cm]	L [cm]	H [cm]	A [cm]	Emur [daN/c m ²]	Gmur [daN/c m ²]	fbk [daN/c m ²]	fbk or [daN/c m ²]	fk [daN/c m ²]	fvk0 [daN/c m ²]	P.spec [daN/m ³]	Amm. eff.
1	30	636	280	120	240	20	12300	4100	150.00	15.00	20.00	3.00	2000	NO
2	30	636	280	120	240	20	12300	4100	150.00	15.00	20.00	3.00	2000	NO

Dati architrave in c.a.:

n : numero dell'architrave;
 B : base della sezione dell'architrave;
 H : altezza della sezione dell'architrave;
 Rck : resistenza cubica caratteristica del calcestruzzo;
 E : modulo elastico del calcestruzzo;
 ni : coefficiente di Poisson del calcestruzzo;
 fcd : resistenza cilindrica di calcolo;
 fct : resistenza a taglio di calcolo;
 P.spec : peso per unità di volume del calcestruzzo;
 fsd long : resistenza di calcolo delle armature longitudinali;

fsd staffe : resistenza di calcolo delle staffe.

n	B [cm]	H [cm]	Rck [daN/cm ²]	E [daN/cm ²]	n _i	fcd [daN/cm ²]	fct [daN/cm ²]	P.spec [daN/m ³]	fsd long [daN/cm ²]	fsd staffe [daN/cm ²]
1	30	20	300	314758	0.15	141.67	17.95	2500	3913.04	3913.04
2	30	20	300	314758	0.15	141.67	17.95	2500	3913.04	3913.04

RISULTATI DELLE VERIFICHE

Verifiche di resistenza architrave in c.a.:

n : numero dell'architrave;
 Md(m) : Momento di calcolo in mezzeria;
 Md(i) : Momento di calcolo all'incastro;
 Td(i) : Taglio di calcolo all'incastro;
 f(m) : freccia di calcolo in mezzeria;
 Mr(m) : Momento resistente in mezzeria;
 Mr(i) : Momento resistente all'incastro;
 Vrd1(i) : Taglio resistente del conglomerato;
 Vws(i) : Taglio resistente portato dalle staffe (se 0 non necessitano staffe oltre le minime);
 sf(m) : coefficiente di sicurezza a flessione in mezzeria;
 sf(i) : coefficiente di sicurezza a flessione all'incastro;
 st : coefficiente di sicurezza a taglio;
 nsup : numero di ferri superiori;
 ninf : numero di ferri inferiori;
 Ø : diametro delle armature.

n	Md(m) [daNcm]	Md(i) [daNcm]	Td(i) [daN]	f(m) [cm]	Mr(m) [daNcm]	Mr(i) [daNcm]	Vrd1 [daN]	Vws [daN]	sf(m)	sf(i)	st	nsup	ninf	Ø
1	61822	0	1899	0.01	-140039	0	33015	0	2.27	---	17.39	2	2	12
2	61822	0	1899	0.01	-140039	0	33015	0	2.27	---	17.39	2	2	12

Verifiche di resistenza dell'appoggio dell'architrave:

n : numero dell'architrave;
 Tipo : tipo di architrave;
 Md : Momento di calcolo sull'appoggio;
 Nd : Sforzo Normale di calcolo sull'appoggio;
 Mr : Momento resistente dell'appoggio;
 Nr : Sforzo Normale resistente dell'appoggio;
 s : coefficiente di sicurezza dell'appoggio.

Per il tipo "Acciaio" i valori resistenti sono relativi al singolo profilato.

n	Tipo	Md [daNcm]	Nd [daN]	Mr [daNcm]	Nr [daN]	s
1	C.A.	0	1899	4673	2963	1.56
2	C.A.	0	1899	4673	2963	1.56

DATI GENERALI

CARICHI

Carico Ripartito in testa alla parete : 1033.14 daN/m

COMBINAZIONI DI CARICO

Le sollecitazioni vengono calcolate come involucro delle combinazioni di carico sia sismiche che non sismiche. I carichi verticali vengono amplificati per 1.3, mentre i carichi orizzontali assimilabili a sisma vengono considerati senza riduzioni.

GEOMETRIA e MATERIALI PARETE

Dati comuni a tutti i tipi di architrave:

n	: numero dell'architrave;
t	: spessore della parete che contiene l'architrave;
Lp	: larghezza della parete;
Hp	: altezza della parete;
L	: larghezza del foro;
H	: altezza del foro;
A	: valore dell'appoggio dell'architrave sulla muratura;
Emur	: modulo elastico longitudinale della muratura;
Gmur	: modulo elastico trasversale della muratura;
fbk	: resistenza caratteristica del blocco;
fbk or	: resistenza caratteristica in direzione orizzontale del blocco;
fk	: resistenza caratteristica della muratura;
fvk0	: resistenza caratteristica a taglio in assenza di carichi verticali;
P.spec	: peso per unità di volume della muratura;
Amm. eff.	: ammortamento efficace dell'architrave alla muratura;

n	t [cm]	Lp [cm]	Hp [cm]	L [cm]	H [cm]	A [cm]	Emur [daN/c m ²]	Gmur [daN/c m ²]	fbk [daN/c m ²]	fbk or [daN/c m ²]	fk [daN/c m ²]	fvk0 [daN/c m ²]	P.spec [daN/m ³]	Amm. eff.
1	30	454	250	95	220	20	12300	4100	150.00	15.00	20.00	3.00	2000	NO

Dati architrave in c.a.:

n	: numero dell'architrave;
B	: base della sezione dell'architrave;
H	: altezza della sezione dell'architrave;
Rck	: resistenza cubica caratteristica del calcestruzzo;
E	: modulo elastico del calcestruzzo;
ni	: coefficiente di Poisson del calcestruzzo;
fcd	: resistenza cilindrica di calcolo;
fct	: resistenza a taglio di calcolo;
P.spec	: peso per unità di volume del calcestruzzo;
fsd long	: resistenza di calcolo delle armature longitudinali;
fsd staffe	: resistenza di calcolo delle staffe.

n	B [cm]	H [cm]	Rck [daN/cm ²]	E [daN/cm ²]	ni	fcd [daN/cm ²]	fct [daN/cm ²]	P.spec [daN/m ³]	fsd long [daN/cm ²]	fsd staffe [daN/cm ²]
1	30	20	300	314758	0.15	141.67	17.95	2500	3913.04	3913.04

RISULTATI DELLE VERIFICHE

Verifiche di resistenza architrave in c.a.:

n : numero dell'architrave;
 Md(m) : Momento di calcolo in mezzeria;
 Md(i) : Momento di calcolo all'incastro;
 Td(i) : Taglio di calcolo all'incastro;
 f(m) : freccia di calcolo in mezzeria;
 Mr(m) : Momento resistente in mezzeria;
 Mr(i) : Momento resistente all'incastro;
 Vrd1(i) : Taglio resistente del conglomerato;
 Vws(i) : Taglio resistente portato dalle staffe (se 0 non necessitano staffe oltre le minime);
 sf(m) : coefficiente di sicurezza a flessione in mezzeria;
 sf(i) : coefficiente di sicurezza a flessione all'incastro;
 st : coefficiente di sicurezza a taglio;
 nsup : numero di ferri superiori;
 ninf : numero di ferri inferiori;
 Ø : diametro delle armature.

n	Md(m) [daNcm]	Md(i) [daNcm]	Td(i) [daN]	f(m) [cm]	Mr(m) [daNcm]	Mr(i) [daNcm]	Vrd1 [daN]	Vws [daN]	sf(m)	sf(i)	st	nsup	ninf	Ø
1	17934	0	654	0.00	-140039	0	33015	0	7.81	---	50.52	2	2	12

Verifiche di resistenza dell'appoggio dell'architrave:

n : numero dell'architrave;
 Tipo : tipo di architrave;
 Md : Momento di calcolo sull'appoggio;
 Nd : Sforzo Normale di calcolo sull'appoggio;
 Mr : Momento resistente dell'appoggio;
 Nr : Sforzo Normale resistente dell'appoggio;
 s : coefficiente di sicurezza dell'appoggio.

Per il tipo "Acciaio" i valori resistenti sono relativi al singolo profilato.

n	Tipo	Md [daNcm]	Nd [daN]	Mr [daNcm]	Nr [daN]	s
1	C.A.	0	654	4839	2963	4.53

ALLEGATO C - (Meccanismi Locali)

Fili Fissi	: numero dei fili fissi iniziale e finale;
Numero pareti	: numero delle pareti che partecipano al meccanismo;
X_min	: coordinata minima in X del meccanismo;
Y_min	: coordinata minima in Y del meccanismo;
X_max	: coordinata massima in X del meccanismo;
Y_max	: coordinata massima in Y del meccanismo;
α_0	: moltiplicatore di attivazione del meccanismo;
α	: moltiplicatore alla generica deformata;
M*	: massa partecipante del meccanismo;
e*	: frazione di massa partecipante;
FC	: fattore di confidenza;
a* ₀	: accelerazione spettrale di attivazione del meccanismo;
d _k	: spostamento del punto di controllo della struttura;
d*	: spostamento spettrale;
a*	: accelerazione spettrale;
a _g	: accelerazione massima orizzontale;
S	: coefficiente che tiene conto della categoria di sottosuolo e delle condizioni topografiche;
Z	: altezza della linea di vincolo rispetto alla fondazione dell'edificio;
$\psi(Z)$: primo modo di vibrazione;
$\gamma(Z)$: coefficiente di partecipazione modale;
T ₁	: periodo di vibrazione fondamentale dell'intera struttura nella direzione considerata;
S _e (T ₁)	: spettro di risposta elastico valutato per il periodo T ₁ ;
q	: fattore di comportamento ;
d* _u	: capacità di spostamento ultimo;
T _s	: periodo secante per il calcolo dello spostamento richiesto;
d* _s	: definito come 0.4 • d* _u ;
a* _s	: accelerazione spettrale in corrispondenza dello spostamento d* _s ;
S _{De} (T ₁)	: spettro di risposta in termini di spostamenti valutato per il periodo T ₁ ;
Δ_d	: spostamento richiesto;
s	: Coefficiente di sicurezza;
Esito	: esito della verifica;

MECCANISMO LOCALE 1 - (Ribaltamento Semplice) (Posizione cerniera: -10.00 cm, 570.00 cm; Verso di rotazione: Antiorario)

Dati Generali

Fili Fissi	Numero pareti	X_min [cm]	Y_min [cm]	X_max [cm]	Y_max [cm]
7-1	3	-20.00	0.00	-20.00	750.00

Coordinate Cerniera [cm]		Coordinate Punto Controllo [cm]		Verso di rotazione
X	Y	X	Y	
-10.000	570.000	5.0000	729.9999	Antiorario

Azioni Esterne

Forze agenti sulla catena cinematica	X [cm]	Y [cm]	Forza X [daN]	Forza Y [daN]
Peso muri	5.00	656.67	0.00	-4771.20
Peso cordoli	5.00	740.00	0.00	-783.18
Forze inerziali	5.00	656.67	-4771.20 · α	0.00
	5.00	740.00	-783.18 · α	0.00
	-10.00	730.00	-1669.15 · α	0.00
Forze di connessione tra pareti ortogonali	5.00	676.67	4800.00	0.00
	5.00	676.67	4800.00	0.00
Forze dei cordoli ortogonali	-10.00	740.00	8338.40	0.00
	-10.00	740.00	8330.54	0.00

Parametri dell'oscillatore equivalente

α_0	M* [daNm]	e*	FC	a* ₀ [cm/sec ²]
4.64	6.67	0.91	1.35	3719.87

Stato limite di danno (SLD)

a* ₀ [cm/sec ²]	T ₁ [sec]	a _g [cm/sec ²]	S	Z [cm]	ψ(Z)	γ	S _c (T ₁) [cm/sec ²]	s	Esito
3719.87	0.27	37.26	1.50	570.00	0.60	1.33	137.61	33.79	V

Stato limite di salvaguardia della vita (SLV)

a* ₀ [cm/sec ²]	T ₁ [sec]	a _g [cm/sec ²]	q	S	Z [cm]	ψ(Z)	γ	S _c (T ₁) [cm/sec ²]	s	Esito
3719.87	0.27	87.27	2.00	1.50	570.00	0.60	1.33	339.06	27.43	V

MECCANISMO LOCALE 1 - (Ribaltamento Semplice)
 (Posizione cerniera: 20.00 cm, 570.00 cm; Verso di rotazione: Orario)

Dati Generali

Fili Fissi	Numero pareti	X_min [cm]	Y_min [cm]	X_max [cm]	Y_max [cm]
7-1	3	-20.00	0.00	-20.00	750.00

Coordinate Cerniera [cm]		Coordinate Punto Controllo [cm]		Verso di rotazione
X	Y	X	Y	
20.000	570.000	5.0000	729.9999	Orario

Azioni Esterne

Forze agenti sulla catena cinematica	X [cm]	Y [cm]	Forza X [daN]	Forza Y [daN]
Peso muri	5.00	656.67	0.00	-4771.20
Peso cordoli	5.00	740.00	0.00	-783.18
Forze inerziali	5.00	656.67	-4771.20 · α	0.00
	5.00	740.00	-783.18 · α	0.00
	-10.00	730.00	-1669.15 · α	0.00
Forze di connessione tra pareti ortogonali	-10.00	676.67	2400.00	0.00
	5.00	676.67	4800.00	0.00
Forze dei cordoli ortogonali	-10.00	740.00	8338.40	0.00
	-10.00	740.00	8330.54	0.00

Parametri dell'oscillatore equivalente

α_0	M* [daNm]	e*	FC	a* ₀ [cm/sec ²]
4.32	6.67	0.91	1.35	3467.57

Stato limite di danno (SLD)

a* ₀ [cm/sec ²]	T ₁ [sec]	a _g [cm/sec ²]	S	Z [cm]	ψ(Z)	γ	S _c (T ₁) [cm/sec ²]	s	Esito
3467.57	0.27	37.26	1.50	570.00	0.60	1.33	137.61	31.50	V

Stato limite di salvaguardia della vita (SLV)

a* ₀ [cm/sec ²]	T ₁ [sec]	a _g [cm/sec ²]	q	S	Z [cm]	ψ(Z)	γ	S _c (T ₁) [cm/sec ²]	s	Esito
3467.57	0.27	87.27	2.00	1.50	570.00	0.60	1.33	339.06	25.57	V

MECCANISMO LOCALE 1 - (Ribaltamento Semplice)
 (Posizione cerniera: -10.00 cm, 290.00 cm; Verso di rotazione: Antiorario)

Dati Generali

Fili Fissi	Numero pareti	X_min [cm]	Y_min [cm]	X_max [cm]	Y_max [cm]
7-1	3	-20.00	0.00	-20.00	750.00

Coordinate Cerniera [cm]		Coordinate Punto Controllo [cm]		Verso di rotazione
X	Y	X	Y	
-10.000	290.000	5.0000	729.9999	Antiorario

Azioni Esterne

Forze agenti sulla catena cinematica	X [cm]	Y [cm]	Forza X [daN]	Forza Y [daN]
Peso muri	5.00	430.00	0.00	-8349.60
	5.00	656.67	0.00	-4771.20
Peso cordoli	5.00	740.00	0.00	-783.18
Forze inerziali	5.00	430.00	$-8349.60 \cdot \alpha$	0.00
	5.00	656.67	$-4771.20 \cdot \alpha$	0.00
	5.00	740.00	$-783.18 \cdot \alpha$	0.00
	-10.00	570.00	$-2949.13 \cdot \alpha$	0.00
	-10.00	730.00	$-1669.15 \cdot \alpha$	0.00
Forze di connessione tra pareti ortogonali	5.00	476.67	8400.00	0.00
	5.00	476.67	8400.00	0.00
	5.00	655.93	4800.00	0.00
	5.00	655.93	4800.00	0.00
Forze dei cordoli ortogonali	-10.00	740.00	8338.40	0.00
	-10.00	740.00	8330.54	0.00

Parametri dell'oscillatore equivalente

α_0	M* [daNm]	e*	FC	a* ₀ [cm/sec ²]
2.94	15.68	0.83	1.35	2570.81

Stato limite di danno (SLD)

a* ₀ [cm/sec ²]	T ₁ [sec]	a _g [cm/sec ²]	S	Z [cm]	$\psi(Z)$	γ	S _e (T ₁) [cm/sec ²]	s	Esito
2570.81	0.27	37.26	1.50	290.00	0.31	1.33	137.61	45.90	V

Stato limite di salvaguardia della vita (SLV)

a* ₀ [cm/sec ²]	T ₁ [sec]	a _g [cm/sec ²]	q	S	Z [cm]	$\psi(Z)$	γ	S _e (T ₁) [cm/sec ²]	s	Esito
2570.81	0.27	87.27	2.00	1.50	290.00	0.31	1.33	339.06	37.26	V

MECCANISMO LOCALE 1 - (Ribaltamento Semplice)
 (Posizione cerniera: 20.00 cm, 290.00 cm; Verso di rotazione: Orario)

Dati Generali

Fili Fissi	Numero pareti	X_min [cm]	Y_min [cm]	X_max [cm]	Y_max [cm]
7-1	3	-20.00	0.00	-20.00	750.00

Coordinate Cerniera [cm]		Coordinate Punto Controllo [cm]		Verso di rotazione
X	Y	X	Y	
20.000	290.000	5.0000	729.9999	Orario

Azioni Esterne

Forze agenti sulla catena cinematica	X [cm]	Y [cm]	Forza X	Forza Y
--------------------------------------	--------	--------	---------	---------

			[daN]	[daN]
Peso muri	5.00	430.00	0.00	-8349.60
	5.00	656.67	0.00	-4771.20
Peso cordoli	5.00	740.00	0.00	-783.18
Forze inerziali	5.00	430.00	$-8349.60 \cdot \alpha$	0.00
	5.00	656.67	$-4771.20 \cdot \alpha$	0.00
	5.00	740.00	$-783.18 \cdot \alpha$	0.00
	-10.00	570.00	$-2949.13 \cdot \alpha$	0.00
	-10.00	730.00	$-1669.15 \cdot \alpha$	0.00
Forze di connessione tra pareti ortogonali	-10.00	476.67	6384.89	0.00
	-10.00	476.67	2672.73	0.00
	-10.00	655.93	3927.27	0.00
	5.00	655.93	4800.00	0.00
Forze dei cordoli ortogonali	-10.00	740.00	8338.40	0.00
	-10.00	740.00	8330.54	0.00

Parametri dell'oscillatore equivalente

α_0	M* [daNm]	e*	FC	a* ₀ [cm/sec ²]
2.57	15.68	0.83	1.35	2251.15

Stato limite di danno (SLD)

a* ₀ [cm/sec ²]	T ₁ [sec]	a _g [cm/sec ²]	S	Z [cm]	$\psi(Z)$	γ	S _e (T ₁) [cm/sec ²]	s	Esito
2251.15	0.27	37.26	1.50	290.00	0.31	1.33	137.61	40.19	V

Stato limite di salvaguardia della vita (SLV)

a* ₀ [cm/sec ²]	T ₁ [sec]	a _g [cm/sec ²]	q	S	Z [cm]	$\psi(Z)$	γ	S _e (T ₁) [cm/sec ²]	s	Esito
2251.15	0.27	87.27	2.00	1.50	290.00	0.31	1.33	339.06	32.62	V

MECCANISMO LOCALE 1 - (Ribaltamento Semplice)
(Posizione cerniera: -20.00 cm, 0.00 cm; Verso di rotazione: Antiorario)

Dati Generali

Fili Fissi	Numero pareti	X_min [cm]	Y_min [cm]	X_max [cm]	Y_max [cm]
7-1	3	-20.00	0.00	-20.00	750.00

Coordinate Cerniera [cm]		Coordinate Punto Controllo [cm]		Verso di rotazione
X	Y	X	Y	
-20.000	0.000	5.0000	729.9999	Antiorario

Azioni Esterne

Forze agenti sulla catena cinematica	X [cm]	Y [cm]	Forza X [daN]	Forza Y [daN]
Peso muri	0.00	145.00	0.00	-11298.40
	5.00	430.00	0.00	-8349.60
	5.00	656.67	0.00	-4771.20
Peso cordoli	5.00	740.00	0.00	-783.18
Forze inerziali	0.00	145.00	$-11298.40 \cdot \alpha$	0.00
	5.00	430.00	$-8349.60 \cdot \alpha$	0.00
	5.00	656.67	$-4771.20 \cdot \alpha$	0.00
	5.00	740.00	$-783.18 \cdot \alpha$	0.00
	-20.00	290.00	$-2752.16 \cdot \alpha$	0.00
	-10.00	570.00	$-2949.13 \cdot \alpha$	0.00
	-10.00	730.00	$-1669.15 \cdot \alpha$	0.00
Forze di connessione tra pareti ortogonali	-20.00	193.33	11378.32	0.00
	0.00	193.33	11600.00	0.00
	5.00	445.19	8400.00	0.00
	5.00	445.19	8400.00	0.00

	5.00	653.28	4800.00	0.00
	5.00	653.28	4800.00	0.00
Forze dei cordoli ortogonali	-10.00	740.00	8338.40	0.00
	-10.00	740.00	8330.54	0.00

Parametri dell'oscillatore equivalente

α_0	M* [daNm]	e*	FC	a* ₀ [cm/sec ²]
2.45	25.67	0.77	1.35	2300.89

Stato limite di danno (SLD)

a* ₀ [cm/sec ²]	a _g [cm/sec ²]	S	s	Esito
2300.89	37.26	1.50	41.17	V

Stato limite di salvaguardia della vita (SLV)

a* ₀ [cm/sec ²]	a _g [cm/sec ²]	q	S	s	Esito
2300.89	87.27	2.00	1.50	35.15	V

MECCANISMO LOCALE 1 - (Ribaltamento Semplice)
(Posizione cerniera: 20.00 cm, 0.00 cm; Verso di rotazione: Orario)

Dati Generali

Fili Fissi	Numero pareti	X_min [cm]	Y_min [cm]	X_max [cm]	Y_max [cm]
7-1	3	-20.00	0.00	-20.00	750.00

Coordinate Cerniera [cm]		Coordinate Punto Controllo [cm]		Verso di rotazione
X	Y	X	Y	
20.000	0.000	5.0000	729.9999	Orario

Azioni Esterne

Forze agenti sulla catena cinematica	X [cm]	Y [cm]	Forza X [daN]	Forza Y [daN]
Peso muri	0.00	145.00	0.00	-11298.40
	5.00	430.00	0.00	-8349.60
	5.00	656.67	0.00	-4771.20
Peso cordoli	5.00	740.00	0.00	-783.18
Forze inerziali	0.00	145.00	-11298.40 · α	0.00
	5.00	430.00	-8349.60 · α	0.00
	5.00	656.67	-4771.20 · α	0.00
	5.00	740.00	-783.18 · α	0.00
	-20.00	290.00	-2752.16 · α	0.00
	-10.00	570.00	-2949.13 · α	0.00
	-10.00	730.00	-1669.15 · α	0.00
Forze di connessione tra pareti ortogonali	-20.00	193.33	5274.95	0.00
	-20.00	193.33	2304.11	0.00
	-10.00	445.19	4947.95	0.00
	-10.00	653.28	4273.97	0.00
	5.00	445.19	8400.00	0.00
	5.00	653.28	4800.00	0.00
Forze dei cordoli ortogonali	-10.00	740.00	8338.40	0.00
	-10.00	740.00	8330.54	0.00

Parametri dell'oscillatore equivalente

α_0	M* [daNm]	e*	FC	a* ₀ [cm/sec ²]
2.05	25.67	0.77	1.35	1929.25

Stato limite di danno (SLD)

a^*_0 [cm/sec ²]	a_g [cm/sec ²]	S	s	Esito
1929.25	37.26	1.50	34.52	V

Stato limite di salvaguardia della vita (SLV)

a^*_0 [cm/sec ²]	a_g [cm/sec ²]	q	S	s	Esito
1929.25	87.27	2.00	1.50	29.47	V

MECCANISMO LOCALE 1 - (Flessione Verticale)

(Posizione cerniera: -10.00 cm, 542.00 cm; Verso di rotazione: Orario)

Dati Generali

Fili Fissi	Numero pareti	X_min [cm]	Y_min [cm]	X_max [cm]	Y_max [cm]
7-1	3	-20.00	0.00	-20.00	750.00

Coordinate Cerniera [cm]		Coordinate Punto Controllo [cm]		Verso di rotazione
X	Y	X	Y	
-10.000	542.000	-10.0000	542.0000	Orario

Azioni Esterne

Forze agenti sulla catena cinematica	X [cm]	Y [cm]	Forza X [daN]	Forza Y [daN]
Peso muri	5.00	556.00	0.00	-834.96
	5.00	656.67	0.00	-4771.20
Peso cordoli	5.00	740.00	0.00	-783.18
Forze inerziali	5.00	556.00	$-834.96 \cdot \alpha$	0.00
	5.00	656.67	$-4771.20 \cdot \alpha$	0.00
	5.00	740.00	$-783.18 \cdot \alpha$	0.00
	-10.00	570.00	$-2949.13 \cdot \alpha$	0.00
	-10.00	730.00	$-1669.15 \cdot \alpha$	0.00
Forze dei cordoli ortogonali	-10.00	740.00	8338.40	0.00
	-10.00	740.00	8330.54	0.00

Parametri dell'oscillatore equivalente

α_0	M* [daNm]	e*	FC	a^*_0 [cm/sec ²]
1.49	26.05	0.78	1.35	1377.25

Stato limite di danno (SLD)

a^*_0 [cm/sec ²]	a_g [cm/sec ²]	S	s	Esito
1377.25	37.26	1.50	24.64	V

Stato limite di salvaguardia della vita (SLV)

a^*_0 [cm/sec ²]	a_g [cm/sec ²]	q	S	s	Esito
1377.25	87.27	2.00	1.50	21.04	V

MECCANISMO LOCALE 2 - (Ribaltamento Semplice)

(Posizione cerniera: -13.00 cm, 570.00 cm; Verso di rotazione: Antiorario)

Dati Generali

Fili Fissi	Numero pareti	X_min [cm]	Y_min [cm]	X_max [cm]	Y_max [cm]
1-9	3	-23.00	0.00	-23.00	670.00

Coordinate Cerniera [cm]		Coordinate Punto Controllo [cm]		Verso di rotazione

X	Y	X	Y	
-13.000	570.000	5.0000	650.0000	Antiorario

Azioni Esterne

Forze agenti sulla catena cinematica	X [cm]	Y [cm]	Forza X [daN]	Forza Y [daN]
Peso muri	5.00	610.00	0.00	-1873.09
Peso cordoli	5.00	660.00	0.00	-585.34
Carico solai	0.00	670.00	0.00	-2895.03
Peso consolidamenti	-11.50	610.00	0.00	-234.14
	21.50	610.00	0.00	-234.14
Forze inerziali	5.00	610.00	$-1873.09 \cdot \alpha$	0.00
	5.00	660.00	$-585.34 \cdot \alpha$	0.00
	0.00	670.00	$-2895.03 \cdot \alpha$	0.00
	-11.50	610.00	$-234.14 \cdot \alpha$	0.00
	21.50	610.00	$-234.14 \cdot \alpha$	0.00
Forze di connessione tra pareti ortogonali	5.00	623.33	4777.81	0.00
Spinte statiche orizzontali	-10.00	570.00	544.71	0.00
Forze dei cordoli ortogonali	-10.00	660.00	10377.78	0.00

Parametri dell'oscillatore equivalente

α_0	M* [daNm]	e*	FC	a* ₀ [cm/sec ²]
2.70	5.17	0.87	1.35	2247.57

Stato limite di danno (SLD)

a* ₀ [cm/sec ²]	T ₁ [sec]	a _g [cm/sec ²]	S	Z [cm]	$\psi(Z)$	γ	S _e (T ₁) [cm/sec ²]	s	Esito
2247.57	0.27	37.26	1.50	570.00	0.60	1.33	137.61	20.42	V

Stato limite di salvaguardia della vita (SLV)

a* ₀ [cm/sec ²]	T ₁ [sec]	a _g [cm/sec ²]	q	S	Z [cm]	$\psi(Z)$	γ	S _e (T ₁) [cm/sec ²]	s	Esito
2247.57	0.27	87.27	2.00	1.50	570.00	0.60	1.33	339.06	16.57	V

MECCANISMO LOCALE 2 - (Ribaltamento Semplice)

(Posizione cerniera: 23.00 cm, 570.00 cm; Verso di rotazione: Orario)

Dati Generali

Fili Fissi	Numero pareti	X_min [cm]	Y_min [cm]	X_max [cm]	Y_max [cm]
1-9	3	-23.00	0.00	-23.00	670.00

Coordinate Cerniera [cm]		Coordinate Punto Controllo [cm]		Verso di rotazione
X	Y	X	Y	
23.000	570.000	5.0000	650.0000	Orario

Azioni Esterne

Forze agenti sulla catena cinematica	X [cm]	Y [cm]	Forza X [daN]	Forza Y [daN]
Peso muri	5.00	610.00	0.00	-1873.09
Peso cordoli	5.00	660.00	0.00	-585.34
Carico solai	0.00	670.00	0.00	-2895.03
Peso consolidamenti	-11.50	610.00	0.00	-234.14
	21.50	610.00	0.00	-234.14
Forze inerziali	5.00	610.00	$-1873.09 \cdot \alpha$	0.00
	5.00	660.00	$-585.34 \cdot \alpha$	0.00
	0.00	670.00	$-2895.03 \cdot \alpha$	0.00
	-11.50	610.00	$-234.14 \cdot \alpha$	0.00
	21.50	610.00	$-234.14 \cdot \alpha$	0.00

Forze di connessione tra pareti ortogonali	-10.00	623.33	1200.00	0.00
Spinte statiche orizzontali	-10.00	570.00	544.71	0.00
Forze dei cordoli ortogonali	-10.00	660.00	10377.78	0.00

Parametri dell'oscillatore equivalente

α_0	M* [daNm]	e*	FC	a* ₀ [cm/sec ²]
2.33	5.17	0.87	1.35	1938.04

Stato limite di danno (SLD)

a* ₀ [cm/sec ²]	T ₁ [sec]	a _g [cm/sec ²]	S	Z [cm]	$\psi(Z)$	γ	S _e (T ₁) [cm/sec ²]	s	Esito
1938.04	0.27	37.26	1.50	570.00	0.60	1.33	137.61	17.60	V

Stato limite di salvaguardia della vita (SLV)

a* ₀ [cm/sec ²]	T ₁ [sec]	a _g [cm/sec ²]	q	S	Z [cm]	$\psi(Z)$	γ	S _e (T ₁) [cm/sec ²]	s	Esito
1938.04	0.27	87.27	2.00	1.50	570.00	0.60	1.33	339.06	14.29	V

MECCANISMO LOCALE 2 - (Ribaltamento Semplice) (Posizione cerniera: -13.00 cm, 290.00 cm; Verso di rotazione: Antiorario)

Dati Generali

Fili Fissi	Numero pareti	X_min [cm]	Y_min [cm]	X_max [cm]	Y_max [cm]
1-9	3	-23.00	0.00	-23.00	670.00

Coordinate Cerniera [cm]		Coordinate Punto Controllo [cm]		Verso di rotazione
X	Y	X	Y	
-13.000	290.000	5.0000	650.0000	Antiorario

Azioni Esterne

Forze agenti sulla catena cinematica	X [cm]	Y [cm]	Forza X [daN]	Forza Y [daN]
Peso muri	5.00	424.56	0.00	-5556.48
	5.00	610.00	0.00	-1873.09
Peso cordoli	5.00	660.00	0.00	-585.34
Carico solai	0.00	570.00	0.00	-6690.30
	0.00	670.00	0.00	-2895.03
Peso consolidamenti	-11.50	430.00	0.00	-820.56
	21.50	430.00	0.00	-820.56
	-11.50	610.00	0.00	-234.14
	21.50	610.00	0.00	-234.14
Forze inerziali	5.00	424.56	-5556.48 · α	0.00
	5.00	610.00	-1873.09 · α	0.00
	5.00	660.00	-585.34 · α	0.00
	0.00	570.00	-6690.30 · α	0.00
	0.00	670.00	-2895.03 · α	0.00
	-11.50	430.00	-820.56 · α	0.00
	21.50	430.00	-820.56 · α	0.00
	-11.50	610.00	-234.14 · α	0.00
	21.50	610.00	-234.14 · α	0.00
Forze di connessione tra pareti ortogonali	-10.00	476.67	16131.69	0.00
	5.00	611.67	4777.81	0.00
Spinte statiche orizzontali	20.00	290.00	561.34	0.00
	-10.00	570.00	544.71	0.00
Forze dei cordoli ortogonali	-10.00	660.00	10377.78	0.00

Parametri dell'oscillatore equivalente

α_0	M* [daNm]	e*	FC	a* ₀ [cm/sec ²]
------------	-----------	----	----	--

1.78	17.67	0.88	1.35	1469.47
------	-------	------	------	---------

Stato limite di danno (SLD)

a^*_0 [cm/sec ²]	T_1 [sec]	a_g [cm/sec ²]	S	Z [cm]	$\psi(Z)$	γ	$S_e(T_1)$ [cm/sec ²]	s	Esito
1469.47	0.27	37.26	1.50	290.00	0.31	1.33	137.61	26.24	V

Stato limite di salvaguardia della vita (SLV)

a^*_0 [cm/sec ²]	T_1 [sec]	a_g [cm/sec ²]	q	S	Z [cm]	$\psi(Z)$	γ	$S_e(T_1)$ [cm/sec ²]	s	Esito
1469.47	0.27	87.27	2.00	1.50	290.00	0.31	1.33	339.06	21.30	V

MECCANISMO LOCALE 2 - (Ribaltamento Semplice) (Posizione cerniera: 23.00 cm, 290.00 cm; Verso di rotazione: Orario)

Dati Generali

Fili Fissi	Numero pareti	X_min [cm]	Y_min [cm]	X_max [cm]	Y_max [cm]
1-9	3	-23.00	0.00	-23.00	670.00

Coordinate Cerniera [cm]		Coordinate Punto Controllo [cm]		Verso di rotazione
X	Y	X	Y	
23.000	290.000	5.0000	650.0000	Orario

Azioni Esterne

Forze agenti sulla catena cinematica	X [cm]	Y [cm]	Forza X [daN]	Forza Y [daN]
Peso muri	5.00	424.56	0.00	-5556.48
	5.00	610.00	0.00	-1873.09
Peso cordoli	5.00	660.00	0.00	-585.34
Carico solai	0.00	570.00	0.00	-6690.30
	0.00	670.00	0.00	-2895.03
Peso consolidamenti	-11.50	430.00	0.00	-820.56
	21.50	430.00	0.00	-820.56
	-11.50	610.00	0.00	-234.14
	21.50	610.00	0.00	-234.14
Forze inerziali	5.00	424.56	$-5556.48 \cdot \alpha$	0.00
	5.00	610.00	$-1873.09 \cdot \alpha$	0.00
	5.00	660.00	$-585.34 \cdot \alpha$	0.00
	0.00	570.00	$-6690.30 \cdot \alpha$	0.00
	0.00	670.00	$-2895.03 \cdot \alpha$	0.00
	-11.50	430.00	$-820.56 \cdot \alpha$	0.00
	21.50	430.00	$-820.56 \cdot \alpha$	0.00
	-11.50	610.00	$-234.14 \cdot \alpha$	0.00
	21.50	610.00	$-234.14 \cdot \alpha$	0.00
Forze di connessione tra pareti ortogonali	-10.00	476.67	3266.67	0.00
	-10.00	611.67	2133.33	0.00
Spinte statiche orizzontali	20.00	290.00	561.34	0.00
	-10.00	570.00	544.71	0.00
Forze dei cordoli ortogonali	-10.00	660.00	10377.78	0.00

Parametri dell'oscillatore equivalente

α_0	M^* [daNm]	e^*	FC	a^*_0 [cm/sec ²]
1.07	17.67	0.88	1.35	887.75

Stato limite di danno (SLD)

a^*_0 [cm/sec ²]	T_1 [sec]	a_g [cm/sec ²]	S	Z [cm]	$\psi(Z)$	γ	$S_e(T_1)$ [cm/sec ²]	s	Esito
887.75	0.27	37.26	1.50	290.00	0.31	1.33	137.61	15.85	V

Stato limite di salvaguardia della vita (SLV)

a^*_0 [cm/sec ²]	T_1 [sec]	a_g [cm/sec ²]	q	S	Z [cm]	$\psi(Z)$	γ	$S_e(T_1)$ [cm/sec ²]	s	Esito
887.75	0.27	87.27	2.00	1.50	290.00	0.31	1.33	339.06	12.87	V

MECCANISMO LOCALE 2 - (Ribaltamento Semplice)
 (Posizione cerniera: -23.00 cm, 0.00 cm; Verso di rotazione: Antiorario)

Dati Generali

Fili Fissi	Numero pareti	X_min [cm]	Y_min [cm]	X_max [cm]	Y_max [cm]
1-9	3	-23.00	0.00	-23.00	670.00

Coordinate Cerniera [cm]		Coordinate Punto Controllo [cm]		Verso di rotazione
X	Y	X	Y	
-23.000	0.000	5.0000	650.0000	Antiorario

Azioni Esterne

Forze agenti sulla catena cinematica	X [cm]	Y [cm]	Forza X [daN]	Forza Y [daN]
Peso muri	0.00	140.58	0.00	-7601.38
	5.00	424.56	0.00	-5556.48
	5.00	610.00	0.00	-1873.09
Peso cordoli	5.00	660.00	0.00	-585.34
Carico solai	-8.00	290.00	0.00	-6229.66
	0.00	570.00	0.00	-6690.30
	0.00	670.00	0.00	-2895.03
Peso consolidamenti	-21.50	145.00	0.00	-838.63
	21.50	145.00	0.00	-838.63
	-11.50	430.00	0.00	-820.56
	21.50	430.00	0.00	-820.56
	-11.50	610.00	0.00	-234.14
	21.50	610.00	0.00	-234.14
Forze inerziali	0.00	140.58	$-7601.38 \cdot \alpha$	0.00
	5.00	424.56	$-5556.48 \cdot \alpha$	0.00
	5.00	610.00	$-1873.09 \cdot \alpha$	0.00
	5.00	660.00	$-585.34 \cdot \alpha$	0.00
	-8.00	290.00	$-6229.66 \cdot \alpha$	0.00
	0.00	570.00	$-6690.30 \cdot \alpha$	0.00
	0.00	670.00	$-2895.03 \cdot \alpha$	0.00
	-21.50	145.00	$-838.63 \cdot \alpha$	0.00
	21.50	145.00	$-838.63 \cdot \alpha$	0.00
	-11.50	430.00	$-820.56 \cdot \alpha$	0.00
	21.50	430.00	$-820.56 \cdot \alpha$	0.00
	-11.50	610.00	$-234.14 \cdot \alpha$	0.00
	21.50	610.00	$-234.14 \cdot \alpha$	0.00
Forze di connessione tra pareti ortogonali	-20.00	193.33	12778.73	0.00
	5.00	445.19	16722.33	0.00
	5.00	610.87	4777.81	0.00
Spinte statiche orizzontali	20.00	290.00	561.34	0.00
	-10.00	570.00	544.71	0.00
Forze dei cordoli ortogonali	-10.00	660.00	10377.78	0.00

Parametri dell'oscillatore equivalente

α_0	M^* [daNm]	e^*	FC	a^*_0 [cm/sec ²]
1.49	29.15	0.81	1.35	1336.43

Stato limite di danno (SLD)

a^*_0 [cm/sec ²]	a_g [cm/sec ²]	S	s	Esito
1336.43	37.26	1.50	23.91	V

Stato limite di salvaguardia della vita (SLV)

a^*_0 [cm/sec ²]	a_g [cm/sec ²]	q	S	s	Esito
1336.43	87.27	2.00	1.50	20.42	V

MECCANISMO LOCALE 2 - (Ribaltamento Semplice)
(Posizione cerniera: 23.00 cm, 0.00 cm; Verso di rotazione: Orario)

Dati Generali

Fili Fissi	Numero pareti	X_min [cm]	Y_min [cm]	X_max [cm]	Y_max [cm]
1-9	3	-23.00	0.00	-23.00	670.00

Coordinate Cerniera [cm]		Coordinate Punto Controllo [cm]		Verso di rotazione
X	Y	X	Y	
23.000	0.000	5.0000	650.0000	Orario

Azioni Esterne

Forze agenti sulla catena cinematica	X [cm]	Y [cm]	Forza X [daN]	Forza Y [daN]
Peso muri	0.00	140.58	0.00	-7601.38
	5.00	424.56	0.00	-5556.48
	5.00	610.00	0.00	-1873.09
Peso cordoli	5.00	660.00	0.00	-585.34
Carico solai	-8.00	290.00	0.00	-6229.66
	0.00	570.00	0.00	-6690.30
	0.00	670.00	0.00	-2895.03
Peso consolidamenti	-21.50	145.00	0.00	-838.63
	21.50	145.00	0.00	-838.63
	-11.50	430.00	0.00	-820.56
	21.50	430.00	0.00	-820.56
	-11.50	610.00	0.00	-234.14
	21.50	610.00	0.00	-234.14
Forze inerziali	0.00	140.58	$-7601.38 \cdot \alpha$	0.00
	5.00	424.56	$-5556.48 \cdot \alpha$	0.00
	5.00	610.00	$-1873.09 \cdot \alpha$	0.00
	5.00	660.00	$-585.34 \cdot \alpha$	0.00
	-8.00	290.00	$-6229.66 \cdot \alpha$	0.00
	0.00	570.00	$-6690.30 \cdot \alpha$	0.00
	0.00	670.00	$-2895.03 \cdot \alpha$	0.00
	-21.50	145.00	$-838.63 \cdot \alpha$	0.00
	21.50	145.00	$-838.63 \cdot \alpha$	0.00
	-11.50	430.00	$-820.56 \cdot \alpha$	0.00
	21.50	430.00	$-820.56 \cdot \alpha$	0.00
	-11.50	610.00	$-234.14 \cdot \alpha$	0.00
	21.50	610.00	$-234.14 \cdot \alpha$	0.00
Forze di connessione tra pareti ortogonali	-20.00	193.33	2587.69	0.00
	-10.00	445.19	5556.92	0.00
	-10.00	610.87	2252.31	0.00
Spinte statiche orizzontali	20.00	290.00	561.34	0.00
	-10.00	570.00	544.71	0.00
Forze dei cordoli ortogonali	-10.00	660.00	10377.78	0.00

Parametri dell'oscillatore equivalente

α_0	M* [daNm]	e*	FC	a^*_0 [cm/sec ²]
0.86	29.15	0.81	1.35	765.05

Stato limite di danno (SLD)

a^*_0 [cm/sec ²]	a_g [cm/sec ²]	S	s	Esito
765.05	37.26	1.50	13.69	V

Stato limite di salvaguardia della vita (SLV)

a^*_0 [cm/sec ²]	a_g [cm/sec ²]	q	S	s	Esito
765.05	87.27	2.00	1.50	11.69	V

MECCANISMO LOCALE 2 - (Flessione Verticale)
 (Posizione cerniera: -10.00 cm, 542.00 cm; Verso di rotazione: Orario)

Dati Generali

Fili Fissi	Numero pareti	X_min [cm]	Y_min [cm]	X_max [cm]	Y_max [cm]
1-9	3	-23.00	0.00	-23.00	670.00

Coordinate Cerniera [cm]		Coordinate Punto Controllo [cm]		Verso di rotazione
X	Y	X	Y	
-10.000	542.000	-10.0000	542.0000	Orario

Azioni Esterne

Forze agenti sulla catena cinematica	X [cm]	Y [cm]	Forza X [daN]	Forza Y [daN]
Peso muri	5.00	556.00	0.00	-656.45
	5.00	610.00	0.00	-1873.09
Peso cordoli	5.00	660.00	0.00	-585.34
Carico solai	0.00	570.00	0.00	-6690.30
	0.00	670.00	0.00	-2895.03
Peso consolidamenti	-11.50	610.00	0.00	-234.14
	21.50	610.00	0.00	-234.14
Forze inerziali	5.00	556.00	$-656.45 \cdot \alpha$	0.00
	5.00	610.00	$-1873.09 \cdot \alpha$	0.00
	5.00	660.00	$-585.34 \cdot \alpha$	0.00
	0.00	570.00	$-6690.30 \cdot \alpha$	0.00
	0.00	670.00	$-2895.03 \cdot \alpha$	0.00
	-11.50	610.00	$-234.14 \cdot \alpha$	0.00
	21.50	610.00	$-234.14 \cdot \alpha$	0.00
Spinte statiche orizzontali	-10.00	570.00	544.71	0.00
Forze dei cordoli ortogonali	-10.00	660.00	10377.78	0.00

Parametri dell'oscillatore equivalente

α_0	M* [daNm]	e*	FC	a^*_0 [cm/sec ²]
0.68	26.59	0.78	1.35	637.21

Stato limite di danno (SLD)

a^*_0 [cm/sec ²]	a_g [cm/sec ²]	S	s	Esito
637.21	37.26	1.50	11.40	V

Stato limite di salvaguardia della vita (SLV)

a^*_0 [cm/sec ²]	a_g [cm/sec ²]	q	S	s	Esito
637.21	87.27	2.00	1.50	9.74	V

MECCANISMO LOCALE 3 - (Ribaltamento Semplice)
 (Posizione cerniera: -13.00 cm, 670.00 cm; Verso di rotazione: Antiorario)

Dati Generali

Fili Fissi	Numero pareti	X_min [cm]	Y_min [cm]	X_max [cm]	Y_max [cm]
------------	---------------	------------	------------	------------	------------

2-3	4	-23.00	0.00	-23.00	770.00
-----	---	--------	------	--------	--------

Coordinate Cerniera [cm]		Coordinate Punto Controllo [cm]		Verso di rotazione
X	Y	X	Y	
-13.000	670.000	4.9999	750.0000	Antiorario

Azioni Esterne

Forze agenti sulla catena cinematica	X [cm]	Y [cm]	Forza X [daN]	Forza Y [daN]
Peso muri	5.00	710.00	0.00	-3196.32
Peso cordoli	5.00	760.00	0.00	-998.85
Carico solai	0.00	770.00	0.00	-5660.20
Peso consolidamenti	-11.50	710.00	0.00	-399.54
	21.50	710.00	0.00	-399.54
Forze inerziali	5.00	710.00	$-3196.32 \cdot \alpha$	0.00
	5.00	760.00	$-998.85 \cdot \alpha$	0.00
	0.00	770.00	$-5660.20 \cdot \alpha$	0.00
	-11.50	710.00	$-399.54 \cdot \alpha$	0.00
	21.50	710.00	$-399.54 \cdot \alpha$	0.00
Forze di connessione tra pareti ortogonali	5.00	723.33	4777.81	0.00
	5.00	723.33	4777.81	0.00
Forze dei cordoli ortogonali	-10.00	760.00	10422.22	0.00
	-10.00	760.00	12484.02	0.00

Parametri dell'oscillatore equivalente

α_0	M* [daNm]	e*	FC	a* ₀ [cm/sec ²]
3.32	9.55	0.88	1.35	2744.70

Stato limite di danno (SLD)

a* ₀ [cm/sec ²]	T ₁ [sec]	a _g [cm/sec ²]	S	Z [cm]	$\psi(Z)$	γ	S _e (T ₁) [cm/sec ²]	s	Esito
2744.70	0.27	37.26	1.50	670.00	0.71	1.33	137.61	21.21	V

Stato limite di salvaguardia della vita (SLV)

a* ₀ [cm/sec ²]	T ₁ [sec]	a _g [cm/sec ²]	q	S	Z [cm]	$\psi(Z)$	γ	S _e (T ₁) [cm/sec ²]	s	Esito
2744.70	0.27	87.27	2.00	1.50	670.00	0.71	1.33	339.06	17.22	V

MECCANISMO LOCALE 3 - (Ribaltamento Semplice)
(Posizione cerniera: 23.00 cm, 670.00 cm; Verso di rotazione: Orario)

Dati Generali

Fili Fissi	Numero pareti	X_min [cm]	Y_min [cm]	X_max [cm]	Y_max [cm]
2-3	4	-23.00	0.00	-23.00	770.00

Coordinate Cerniera [cm]		Coordinate Punto Controllo [cm]		Verso di rotazione
X	Y	X	Y	
23.000	670.000	4.9999	750.0000	Orario

Azioni Esterne

Forze agenti sulla catena cinematica	X [cm]	Y [cm]	Forza X [daN]	Forza Y [daN]
Peso muri	5.00	710.00	0.00	-3196.32
Peso cordoli	5.00	760.00	0.00	-998.85
Carico solai	0.00	770.00	0.00	-5660.20
Peso consolidamenti	-11.50	710.00	0.00	-399.54
	21.50	710.00	0.00	-399.54

Forze inerziali	5.00	710.00	$-3196.32 \cdot \alpha$	0.00
	5.00	760.00	$-998.85 \cdot \alpha$	0.00
	0.00	770.00	$-5660.20 \cdot \alpha$	0.00
	-11.50	710.00	$-399.54 \cdot \alpha$	0.00
	21.50	710.00	$-399.54 \cdot \alpha$	0.00
Forze di connessione tra pareti ortogonali	-10.00	723.33	2866.68	0.00
	-10.00	723.33	1200.00	0.00
Forze dei cordoli ortogonali	-10.00	760.00	10422.22	0.00
	-10.00	760.00	12484.02	0.00

Parametri dell'oscillatore equivalente

α_0	M* [daNm]	e*	FC	a* ₀ [cm/sec ²]
3.03	9.55	0.88	1.35	2505.37

Stato limite di danno (SLD)

a* ₀ [cm/sec ²]	T ₁ [sec]	a _g [cm/sec ²]	S	Z [cm]	ψ(Z)	γ	S _e (T ₁) [cm/sec ²]	s	Esito
2505.37	0.27	37.26	1.50	670.00	0.71	1.33	137.61	19.36	V

Stato limite di salvaguardia della vita (SLV)

a* ₀ [cm/sec ²]	T ₁ [sec]	a _g [cm/sec ²]	q	S	Z [cm]	ψ(Z)	γ	S _e (T ₁) [cm/sec ²]	s	Esito
2505.37	0.27	87.27	2.00	1.50	670.00	0.71	1.33	339.06	15.72	V

MECCANISMO LOCALE 3 - (Ribaltamento Semplice) (Posizione cerniera: -13.00 cm, 570.00 cm; Verso di rotazione: Antiorario)

Dati Generali

Fili Fissi	Numero pareti	X_min [cm]	Y_min [cm]	X_max [cm]	Y_max [cm]
2-3	4	-23.00	0.00	-23.00	770.00

Coordinate Cerniera [cm]		Coordinate Punto Controllo [cm]		Verso di rotazione
X	Y	X	Y	
-13.000	570.000	4.9999	750.0000	Antiorario

Azioni Esterne

Forze agenti sulla catena cinematica	X [cm]	Y [cm]	Forza X [daN]	Forza Y [daN]
Peso muri	5.00	620.00	0.00	-3995.40
	5.00	710.00	0.00	-3196.32
Peso cordoli	5.00	760.00	0.00	-998.85
Carico solai	0.00	770.00	0.00	-5660.20
Peso consolidamenti	-11.50	620.00	0.00	-499.42
	21.50	620.00	0.00	-499.42
	-11.50	710.00	0.00	-399.54
	21.50	710.00	0.00	-399.54
Forze inerziali	5.00	620.00	$-3995.40 \cdot \alpha$	0.00
	5.00	710.00	$-3196.32 \cdot \alpha$	0.00
	5.00	760.00	$-998.85 \cdot \alpha$	0.00
	0.00	770.00	$-5660.20 \cdot \alpha$	0.00
	-11.50	620.00	$-499.42 \cdot \alpha$	0.00
	21.50	620.00	$-499.42 \cdot \alpha$	0.00
	-11.50	710.00	$-399.54 \cdot \alpha$	0.00
	21.50	710.00	$-399.54 \cdot \alpha$	0.00
Forze di connessione tra pareti ortogonali	-10.00	636.67	4115.23	0.00
	5.00	636.67	5972.26	0.00
	5.00	713.81	4777.81	0.00
	5.00	713.81	4777.81	0.00
Forze dei cordoli ortogonali	-10.00	760.00	10422.22	0.00
	-10.00	760.00	12484.02	0.00

Parametri dell'oscillatore equivalente

α_0	M* [daNm]	e*	FC	a* ₀ [cm/sec ²]
3.50	13.11	0.82	1.35	3091.12

Stato limite di danno (SLD)

a* ₀ [cm/sec ²]	T ₁ [sec]	a _g [cm/sec ²]	S	Z [cm]	ψ(Z)	γ	S _e (T ₁) [cm/sec ²]	s	Esito
3091.12	0.27	37.26	1.50	570.00	0.60	1.33	137.61	28.08	V

Stato limite di salvaguardia della vita (SLV)

a* ₀ [cm/sec ²]	T ₁ [sec]	a _g [cm/sec ²]	q	S	Z [cm]	ψ(Z)	γ	S _e (T ₁) [cm/sec ²]	s	Esito
3091.12	0.27	87.27	2.00	1.50	570.00	0.60	1.33	339.06	22.79	V

MECCANISMO LOCALE 3 - (Ribaltamento Semplice)
 (Posizione cerniera: 23.00 cm, 570.00 cm; Verso di rotazione: Orario)

Dati Generali

Fili Fissi	Numero pareti	X_min [cm]	Y_min [cm]	X_max [cm]	Y_max [cm]
2-3	4	-23.00	0.00	-23.00	770.00

Coordinate Cerniera [cm]		Coordinate Punto Controllo [cm]		Verso di rotazione
X	Y	X	Y	
23.000	570.000	4.9999	750.0000	Orario

Azioni Esterne

Forze agenti sulla catena cinematica	X [cm]	Y [cm]	Forza X [daN]	Forza Y [daN]
Peso muri	5.00	620.00	0.00	-3995.40
	5.00	710.00	0.00	-3196.32
Peso cordoli	5.00	760.00	0.00	-998.85
Carico solai	0.00	770.00	0.00	-5660.20
Peso consolidamenti	-11.50	620.00	0.00	-499.42
	21.50	620.00	0.00	-499.42
	-11.50	710.00	0.00	-399.54
	21.50	710.00	0.00	-399.54
Forze inerziali	5.00	620.00	-3995.40 · α	0.00
	5.00	710.00	-3196.32 · α	0.00
	5.00	760.00	-998.85 · α	0.00
	0.00	770.00	-5660.20 · α	0.00
	-11.50	620.00	-499.42 · α	0.00
	21.50	620.00	-499.42 · α	0.00
	-11.50	710.00	-399.54 · α	0.00
	21.50	710.00	-399.54 · α	0.00
Forze di connessione tra pareti ortogonali	-10.00	636.67	1990.75	0.00
	-10.00	636.67	833.33	0.00
	-10.00	713.81	4459.29	0.00
	-10.00	713.81	1866.67	0.00
Forze dei cordoli ortogonali	-10.00	760.00	10422.22	0.00
	-10.00	760.00	12484.02	0.00

Parametri dell'oscillatore equivalente

α_0	M* [daNm]	e*	FC	a* ₀ [cm/sec ²]
3.08	13.11	0.82	1.35	2720.90

Stato limite di danno (SLD)

a^*_0 [cm/sec ²]	T_1 [sec]	a_g [cm/sec ²]	S	Z [cm]	$\psi(Z)$	γ	$S_e(T_1)$ [cm/sec ²]	s	Esito
2720.90	0.27	37.26	1.50	570.00	0.60	1.33	137.61	24.72	V

Stato limite di salvaguardia della vita (SLV)

a^*_0 [cm/sec ²]	T_1 [sec]	a_g [cm/sec ²]	q	S	Z [cm]	$\psi(Z)$	γ	$S_e(T_1)$ [cm/sec ²]	s	Esito
2720.90	0.27	87.27	2.00	1.50	570.00	0.60	1.33	339.06	20.06	V

MECCANISMO LOCALE 3 - (Ribaltamento Semplice)
(Posizione cerniera: -13.00 cm, 290.00 cm; Verso di rotazione: Antiorario)

Dati Generali

Fili Fissi	Numero pareti	X_min [cm]	Y_min [cm]	X_max [cm]	Y_max [cm]
2-3	4	-23.00	0.00	-23.00	770.00

Coordinate Cerniera [cm]		Coordinate Punto Controllo [cm]		Verso di rotazione
X	Y	X	Y	
-13.000	290.000	4.9999	750.0000	Antiorario

Azioni Esterne

Forze agenti sulla catena cinematica	X [cm]	Y [cm]	Forza X [daN]	Forza Y [daN]
Peso muri	5.00	438.94	0.00	-7731.11
	5.00	620.00	0.00	-3995.40
	5.00	710.00	0.00	-3196.32
Peso cordoli	5.00	760.00	0.00	-998.85
Carico solai	0.00	570.00	0.00	-14608.07
	0.00	770.00	0.00	-5660.20
Peso consolidamenti	-11.50	430.00	0.00	-1398.39
	21.50	430.00	0.00	-1398.39
	-11.50	620.00	0.00	-499.42
	21.50	620.00	0.00	-499.42
	-11.50	710.00	0.00	-399.54
	21.50	710.00	0.00	-399.54
Forze inerziali	5.00	438.94	$-7731.11 \cdot \alpha$	0.00
	5.00	620.00	$-3995.40 \cdot \alpha$	0.00
	5.00	710.00	$-3196.32 \cdot \alpha$	0.00
	5.00	760.00	$-998.85 \cdot \alpha$	0.00
	0.00	570.00	$-14608.07 \cdot \alpha$	0.00
	0.00	770.00	$-5660.20 \cdot \alpha$	0.00
	-11.50	430.00	$-1398.39 \cdot \alpha$	0.00
	21.50	430.00	$-1398.39 \cdot \alpha$	0.00
	-11.50	620.00	$-499.42 \cdot \alpha$	0.00
	21.50	620.00	$-499.42 \cdot \alpha$	0.00
	-11.50	710.00	$-399.54 \cdot \alpha$	0.00
	21.50	710.00	$-399.54 \cdot \alpha$	0.00
Forze di connessione tra pareti ortogonali	-10.00	476.67	12624.80	0.00
	5.00	476.67	16722.33	0.00
	5.00	622.53	5972.26	0.00
	5.00	622.53	5972.26	0.00
	5.00	711.27	4777.81	0.00
	5.00	711.27	4777.81	0.00
Forze dei cordoli ortogonali	-10.00	760.00	10422.22	0.00
	-10.00	760.00	12484.02	0.00

Parametri dell'oscillatore equivalente

α_0	M^* [daNm]	e^*	FC	a^*_0 [cm/sec ²]
2.58	36.29	0.87	1.35	2147.89

Stato limite di danno (SLD)

a^*_0 [cm/sec ²]	T_1 [sec]	a_g [cm/sec ²]	S	Z [cm]	$\psi(Z)$	γ	$S_e(T_1)$ [cm/sec ²]	s	Esito
2147.89	0.27	37.26	1.50	290.00	0.31	1.33	137.61	38.35	V

Stato limite di salvaguardia della vita (SLV)

a^*_0 [cm/sec ²]	T_1 [sec]	a_g [cm/sec ²]	q	S	Z [cm]	$\psi(Z)$	γ	$S_e(T_1)$ [cm/sec ²]	s	Esito
2147.89	0.27	87.27	2.00	1.50	290.00	0.31	1.33	339.06	31.13	V

MECCANISMO LOCALE 3 - (Ribaltamento Semplice)
(Posizione cerniera: 23.00 cm, 290.00 cm; Verso di rotazione: Orario)

Dati Generali

Fili Fissi	Numero pareti	X_min [cm]	Y_min [cm]	X_max [cm]	Y_max [cm]
2-3	4	-23.00	0.00	-23.00	770.00

Coordinate Cerniera [cm]		Coordinate Punto Controllo [cm]		Verso di rotazione
X	Y	X	Y	
23.000	290.000	4.9999	750.0000	Orario

Azioni Esterne

Forze agenti sulla catena cinematica	X [cm]	Y [cm]	Forza X [daN]	Forza Y [daN]
Peso muri	5.00	438.94	0.00	-7731.11
	5.00	620.00	0.00	-3995.40
	5.00	710.00	0.00	-3196.32
Peso cordoli	5.00	760.00	0.00	-998.85
Carico solai	0.00	570.00	0.00	-14608.07
	0.00	770.00	0.00	-5660.20
Peso consolidamenti	-11.50	430.00	0.00	-1398.39
	21.50	430.00	0.00	-1398.39
	-11.50	620.00	0.00	-499.42
	21.50	620.00	0.00	-499.42
	-11.50	710.00	0.00	-399.54
	21.50	710.00	0.00	-399.54
Forze inerziali	5.00	438.94	$-7731.11 \cdot \alpha$	0.00
	5.00	620.00	$-3995.40 \cdot \alpha$	0.00
	5.00	710.00	$-3196.32 \cdot \alpha$	0.00
	5.00	760.00	$-998.85 \cdot \alpha$	0.00
	0.00	570.00	$-14608.07 \cdot \alpha$	0.00
	0.00	770.00	$-5660.20 \cdot \alpha$	0.00
	-11.50	430.00	$-1398.39 \cdot \alpha$	0.00
	21.50	430.00	$-1398.39 \cdot \alpha$	0.00
	-11.50	620.00	$-499.42 \cdot \alpha$	0.00
	21.50	620.00	$-499.42 \cdot \alpha$	0.00
	-11.50	710.00	$-399.54 \cdot \alpha$	0.00
	21.50	710.00	$-399.54 \cdot \alpha$	0.00
Forze di connessione tra pareti ortogonali	-10.00	476.67	6107.29	0.00
	-10.00	476.67	2556.52	0.00
	-10.00	622.53	5141.34	0.00
	-10.00	622.53	2152.17	0.00
	-10.00	711.27	2191.30	0.00
	5.00	711.27	4777.81	0.00
Forze dei cordoli ortogonali	-10.00	760.00	10422.22	0.00
	-10.00	760.00	12484.02	0.00

Parametri dell'oscillatore equivalente

α_0	M* [daNm]	e*	FC	a^*_0 [cm/sec ²]
------------	-----------	----	----	--------------------------------

2.06	36.29	0.87	1.35	1716.52
------	-------	------	------	---------

Stato limite di danno (SLD)

a^*_0 [cm/sec ²]	T_1 [sec]	a_g [cm/sec ²]	S	Z [cm]	$\psi(Z)$	γ	$S_e(T_1)$ [cm/sec ²]	s	Esito
1716.52	0.27	37.26	1.50	290.00	0.31	1.33	137.61	30.65	V

Stato limite di salvaguardia della vita (SLV)

a^*_0 [cm/sec ²]	T_1 [sec]	a_g [cm/sec ²]	q	S	Z [cm]	$\psi(Z)$	γ	$S_e(T_1)$ [cm/sec ²]	s	Esito
1716.52	0.27	87.27	2.00	1.50	290.00	0.31	1.33	339.06	24.88	V

MECCANISMO LOCALE 3 - (Ribaltamento Semplice) (Posizione cerniera: -23.00 cm, 0.00 cm; Verso di rotazione: Antiorario)

Dati Generali

Fili Fissi	Numero pareti	X_min [cm]	Y_min [cm]	X_max [cm]	Y_max [cm]
2-3	4	-23.00	0.00	-23.00	770.00

Coordinate Cerniera [cm]		Coordinate Punto Controllo [cm]		Verso di rotazione
X	Y	X	Y	
-23.000	0.000	4.9999	750.0000	Antiorario

Azioni Esterne

Forze agenti sulla catena cinematica	X [cm]	Y [cm]	Forza X [daN]	Forza Y [daN]
Peso muri	0.00	154.79	0.00	-10049.08
	5.00	438.94	0.00	-7731.11
	5.00	620.00	0.00	-3995.40
	5.00	710.00	0.00	-3196.32
Peso cordoli	5.00	760.00	0.00	-998.85
Carico solai	11.00	290.00	0.00	-605.09
	-8.00	290.00	0.00	-12856.04
	0.00	570.00	0.00	-14608.07
	0.00	770.00	0.00	-5660.20
Peso consolidamenti	-21.50	145.00	0.00	-1437.10
	21.50	145.00	0.00	-1437.10
	-11.50	430.00	0.00	-1398.39
	21.50	430.00	0.00	-1398.39
	-11.50	620.00	0.00	-499.42
	21.50	620.00	0.00	-499.42
	-11.50	710.00	0.00	-399.54
	21.50	710.00	0.00	-399.54
Forze inerziali	0.00	154.79	$-10049.08 \cdot \alpha$	0.00
	5.00	438.94	$-7731.11 \cdot \alpha$	0.00
	5.00	620.00	$-3995.40 \cdot \alpha$	0.00
	5.00	710.00	$-3196.32 \cdot \alpha$	0.00
	5.00	760.00	$-998.85 \cdot \alpha$	0.00
	11.00	290.00	$-605.09 \cdot \alpha$	0.00
	-8.00	290.00	$-12856.04 \cdot \alpha$	0.00
	0.00	570.00	$-14608.07 \cdot \alpha$	0.00
	0.00	770.00	$-5660.20 \cdot \alpha$	0.00
	-21.50	145.00	$-1437.10 \cdot \alpha$	0.00
	21.50	145.00	$-1437.10 \cdot \alpha$	0.00
	-11.50	430.00	$-1398.39 \cdot \alpha$	0.00
	21.50	430.00	$-1398.39 \cdot \alpha$	0.00
	-11.50	620.00	$-499.42 \cdot \alpha$	0.00
	21.50	620.00	$-499.42 \cdot \alpha$	0.00

	-11.50	710.00	$-399.54 \cdot \alpha$	0.00
	21.50	710.00	$-399.54 \cdot \alpha$	0.00
Forze di connessione tra pareti ortogonali	-20.00	193.33	11074.90	0.00
	0.00	193.33	5574.11	0.00
	5.00	445.19	16722.33	0.00
	5.00	445.19	16722.33	0.00
	5.00	621.34	5972.26	0.00
	5.00	621.34	5972.26	0.00
	5.00	710.75	4777.81	0.00
	5.00	710.75	4777.81	0.00
Forze dei cordoli ortogonali	-10.00	760.00	10422.22	0.00
	-10.00	760.00	12484.02	0.00

Parametri dell'oscillatore equivalente

α_0	M* [daNm]	e*	FC	a* ₀ [cm/sec ²]
2.31	56.60	0.83	1.35	2027.64

Stato limite di danno (SLD)

a* ₀ [cm/sec ²]	a _g [cm/sec ²]	S	s	Esito
2027.64	37.26	1.50	36.28	V

Stato limite di salvaguardia della vita (SLV)

a* ₀ [cm/sec ²]	a _g [cm/sec ²]	q	S	s	Esito
2027.64	87.27	2.00	1.50	30.98	V

MECCANISMO LOCALE 3 - (Ribaltamento Semplice)

(Posizione cerniera: 23.00 cm, 0.00 cm; Verso di rotazione: Orario)

Dati Generali

Fili Fissi	Numero pareti	X_min [cm]	Y_min [cm]	X_max [cm]	Y_max [cm]
2-3	4	-23.00	0.00	-23.00	770.00

Coordinate Cerniera [cm]		Coordinate Punto Controllo [cm]		Verso di rotazione
X	Y	X	Y	
23.000	0.000	4.9999	750.0000	Orario

Azioni Esterne

Forze agenti sulla catena cinematica	X [cm]	Y [cm]	Forza X [daN]	Forza Y [daN]
Peso muri	0.00	154.79	0.00	-10049.08
	5.00	438.94	0.00	-7731.11
	5.00	620.00	0.00	-3995.40
	5.00	710.00	0.00	-3196.32
Peso cordoli	5.00	760.00	0.00	-998.85
Carico solai	11.00	290.00	0.00	-605.09
	-8.00	290.00	0.00	-12856.04
	0.00	570.00	0.00	-14608.07
	0.00	770.00	0.00	-5660.20
Peso consolidamenti	-21.50	145.00	0.00	-1437.10
	21.50	145.00	0.00	-1437.10
	-11.50	430.00	0.00	-1398.39
	21.50	430.00	0.00	-1398.39
	-11.50	620.00	0.00	-499.42
	21.50	620.00	0.00	-499.42
	-11.50	710.00	0.00	-399.54
	21.50	710.00	0.00	-399.54
Forze inerziali	0.00	154.79	$-10049.08 \cdot \alpha$	0.00
	5.00	438.94	$-7731.11 \cdot \alpha$	0.00
	5.00	620.00	$-3995.40 \cdot \alpha$	0.00

	5.00	710.00	$-3196.32 \cdot \alpha$	0.00
	5.00	760.00	$-998.85 \cdot \alpha$	0.00
	11.00	290.00	$-605.09 \cdot \alpha$	0.00
	-8.00	290.00	$-12856.04 \cdot \alpha$	0.00
	0.00	570.00	$-14608.07 \cdot \alpha$	0.00
	0.00	770.00	$-5660.20 \cdot \alpha$	0.00
	-21.50	145.00	$-1437.10 \cdot \alpha$	0.00
	21.50	145.00	$-1437.10 \cdot \alpha$	0.00
	-11.50	430.00	$-1398.39 \cdot \alpha$	0.00
	21.50	430.00	$-1398.39 \cdot \alpha$	0.00
	-11.50	620.00	$-499.42 \cdot \alpha$	0.00
	21.50	620.00	$-499.42 \cdot \alpha$	0.00
	-11.50	710.00	$-399.54 \cdot \alpha$	0.00
	21.50	710.00	$-399.54 \cdot \alpha$	0.00
Forze di connessione tra pareti ortogonali	-20.00	193.33	5134.29	0.00
	-20.00	193.33	2242.67	0.00
	-10.00	445.19	11504.96	0.00
	-10.00	445.19	4816.00	0.00
	-10.00	621.34	5924.48	0.00
	-10.00	621.34	2480.00	0.00
	-10.00	710.75	2272.00	0.00
	5.00	710.75	4777.81	0.00
Forze dei cordoli ortogonali	-10.00	760.00	10422.22	0.00
	-10.00	760.00	12484.02	0.00

Parametri dell'oscillatore equivalente

α_0	M* [daNm]	e*	FC	a* ₀ [cm/sec ²]
1.86	56.60	0.83	1.35	1632.75

Stato limite di danno (SLD)

a* ₀ [cm/sec ²]	a _e [cm/sec ²]	S	s	Esito
1632.75	37.26	1.50	29.21	V

Stato limite di salvaguardia della vita (SLV)

a* ₀ [cm/sec ²]	a _e [cm/sec ²]	q	S	s	Esito
1632.75	87.27	2.00	1.50	24.94	V

MECCANISMO LOCALE 3 - (Flessione Verticale)

(Posizione cerniera: -10.00 cm, 590.00 cm; Verso di rotazione: Orario)

Dati Generali

Fili Fissi	Numero pareti	X_min [cm]	Y_min [cm]	X_max [cm]	Y_max [cm]
2-3	4	-23.00	0.00	-23.00	770.00

Coordinate Cerniera [cm]		Coordinate Punto Controllo [cm]		Verso di rotazione
X	Y	X	Y	
-10.000	590.000	-10.0001	590.0000	Orario

Azioni Esterne

Forze agenti sulla catena cinematica	X [cm]	Y [cm]	Forza X [daN]	Forza Y [daN]
Peso muri	5.00	630.00	0.00	-3196.32
	5.00	710.00	0.00	-3196.32
Peso cordoli	5.00	760.00	0.00	-998.85
Carico solai	0.00	770.00	0.00	-5660.20
Peso consolidamenti	-11.50	710.00	0.00	-399.54
	21.50	710.00	0.00	-399.54

Forze inerziali	5.00	630.00	$-3196.32 \cdot \alpha$	0.00
	5.00	710.00	$-3196.32 \cdot \alpha$	0.00
	5.00	760.00	$-998.85 \cdot \alpha$	0.00
	0.00	770.00	$-5660.20 \cdot \alpha$	0.00
	-11.50	710.00	$-399.54 \cdot \alpha$	0.00
	21.50	710.00	$-399.54 \cdot \alpha$	0.00
Forze dei cordoli ortogonali	-10.00	760.00	10422.22	0.00
	-10.00	760.00	12484.02	0.00

Parametri dell'oscillatore equivalente

α_0	M* [daNm]	e*	FC	a* ₀ [cm/sec ²]
4.15	51.00	0.76	1.35	3985.28

Stato limite di danno (SLD)

a* ₀ [cm/sec ²]	a _g [cm/sec ²]	S	s	Esito
3985.28	37.26	1.50	71.30	V

Stato limite di salvaguardia della vita (SLV)

a* ₀ [cm/sec ²]	a _g [cm/sec ²]	q	S	s	Esito
3985.28	87.27	2.00	1.50	60.89	V

MECCANISMO LOCALE 4 - (Ribaltamento Semplice)
(Posizione cerniera: -18.00 cm, 750.00 cm; Verso di rotazione: Antiorario)

Dati Generali

Fili Fissi	Numero pareti	X_min [cm]	Y_min [cm]	X_max [cm]	Y_max [cm]
6-2	4	-23.00	0.00	-23.00	850.00

Coordinate Cerniera [cm]		Coordinate Punto Controllo [cm]		Verso di rotazione
X	Y	X	Y	
-18.000	750.000	0.0000	830.0000	Antiorario

Azioni Esterne

Forze agenti sulla catena cinematica	X [cm]	Y [cm]	Forza X [daN]	Forza Y [daN]
Peso muri	0.00	870.00	0.00	-2323.20
Peso cordoli	0.00	840.00	0.00	-764.64
Peso consolidamenti	-16.50	790.00	0.00	-290.40
	16.50	790.00	0.00	-290.40
Forze inerziali	0.00	870.00	$-2323.20 \cdot \alpha$	0.00
	0.00	840.00	$-764.64 \cdot \alpha$	0.00
	-15.00	830.00	$-3051.05 \cdot \alpha$	0.00
	-16.50	790.00	$-290.40 \cdot \alpha$	0.00
	16.50	790.00	$-290.40 \cdot \alpha$	0.00
Forze di connessione tra pareti ortogonali	0.00	803.33	4777.81	0.00
Forze dei cordoli ortogonali	-15.00	840.00	14131.10	0.00

Parametri dell'oscillatore equivalente

α_0	M* [daNm]	e*	FC	a* ₀ [cm/sec ²]
2.69	6.42	0.94	1.35	2086.68

Stato limite di danno (SLD)

a* ₀ [cm/sec ²]	T ₁ [sec]	a _g [cm/sec ²]	S	Z [cm]	$\psi(Z)$	γ	S _e (T ₁) [cm/sec ²]	s	Esito
2086.68	0.27	37.26	1.50	750.00	0.79	1.33	137.61	14.41	V

Stato limite di salvaguardia della vita (SLV)

a^*_0 [cm/sec ²]	T_1 [sec]	a_g [cm/sec ²]	q	S	Z [cm]	$\psi(Z)$	γ	$S_e(T_1)$ [cm/sec ²]	s	Esito
2086.68	0.27	87.27	2.00	1.50	750.00	0.79	1.33	339.06	11.69	V

MECCANISMO LOCALE 4 - (Ribaltamento Semplice)
 (Posizione cerniera: 18.00 cm, 750.00 cm; Verso di rotazione: Orario)

Dati Generali

Fili Fissi	Numero pareti	X_min [cm]	Y_min [cm]	X_max [cm]	Y_max [cm]
6-2	4	-23.00	0.00	-23.00	850.00

Coordinate Cerniera [cm]		Coordinate Punto Controllo [cm]		Verso di rotazione
X	Y	X	Y	
18.000	750.000	0.0000	830.0000	Orario

Azioni Esterne

Forze agenti sulla catena cinematica	X [cm]	Y [cm]	Forza X [daN]	Forza Y [daN]
Peso muri	0.00	870.00	0.00	-2323.20
Peso cordoli	0.00	840.00	0.00	-764.64
Peso consolidamenti	-16.50	790.00	0.00	-290.40
	16.50	790.00	0.00	-290.40
Forze inerziali	0.00	870.00	$-2323.20 \cdot \alpha$	0.00
	0.00	840.00	$-764.64 \cdot \alpha$	0.00
	-15.00	830.00	$-3051.05 \cdot \alpha$	0.00
	-16.50	790.00	$-290.40 \cdot \alpha$	0.00
	16.50	790.00	$-290.40 \cdot \alpha$	0.00
Forze di connessione tra pareti ortogonali	-15.00	803.33	2866.68	0.00
Forze dei cordoli ortogonali	-15.00	840.00	14131.10	0.00

Parametri dell'oscillatore equivalente

α_0	M* [daNm]	e*	FC	a^*_0 [cm/sec ²]
2.52	6.42	0.94	1.35	1958.08

Stato limite di danno (SLD)

a^*_0 [cm/sec ²]	T_1 [sec]	a_g [cm/sec ²]	S	Z [cm]	$\psi(Z)$	γ	$S_e(T_1)$ [cm/sec ²]	s	Esito
1958.08	0.27	37.26	1.50	750.00	0.79	1.33	137.61	13.52	V

Stato limite di salvaguardia della vita (SLV)

a^*_0 [cm/sec ²]	T_1 [sec]	a_g [cm/sec ²]	q	S	Z [cm]	$\psi(Z)$	γ	$S_e(T_1)$ [cm/sec ²]	s	Esito
1958.08	0.27	87.27	2.00	1.50	750.00	0.79	1.33	339.06	10.97	V

MECCANISMO LOCALE 4 - (Ribaltamento Semplice)
 (Posizione cerniera: -18.00 cm, 570.00 cm; Verso di rotazione: Antiorario)

Dati Generali

Fili Fissi	Numero pareti	X_min [cm]	Y_min [cm]	X_max [cm]	Y_max [cm]
6-2	4	-23.00	0.00	-23.00	850.00

Coordinate Cerniera [cm]	Coordinate Punto	Verso di rotazione
--------------------------	------------------	--------------------

		Controllo [cm]		
X	Y	X	Y	
-18.000	570.000	0.0000	830.0000	Antiorario

Azioni Esterne

Forze agenti sulla catena cinematica	X [cm]	Y [cm]	Forza X [daN]	Forza Y [daN]
Peso muri	0.00	662.06	0.00	-3922.21
	0.00	870.00	0.00	-2323.20
Peso cordoli	0.00	740.00	0.00	-764.64
	0.00	840.00	0.00	-764.64
Peso consolidamenti	-16.50	650.00	0.00	-580.80
	16.50	650.00	0.00	-580.80
	-16.50	790.00	0.00	-290.40
	16.50	790.00	0.00	-290.40
Forze inerziali	0.00	662.06	$-3922.21 \cdot \alpha$	0.00
	0.00	870.00	$-2323.20 \cdot \alpha$	0.00
	0.00	740.00	$-764.64 \cdot \alpha$	0.00
	0.00	840.00	$-764.64 \cdot \alpha$	0.00
	15.00	730.00	$-1669.15 \cdot \alpha$	0.00
	-15.00	830.00	$-3051.05 \cdot \alpha$	0.00
	-16.50	650.00	$-580.80 \cdot \alpha$	0.00
	16.50	650.00	$-580.80 \cdot \alpha$	0.00
	-16.50	790.00	$-290.40 \cdot \alpha$	0.00
	16.50	790.00	$-290.40 \cdot \alpha$	0.00
Forze di connessione tra pareti ortogonali	15.00	676.67	3528.23	0.00
	15.00	676.67	1476.92	0.00
	0.00	676.67	9555.62	0.00
	0.00	792.42	4777.81	0.00
Forze dei cordoli ortogonali	15.00	740.00	5992.82	0.00
	15.00	740.00	6001.41	0.00
	-15.00	840.00	14131.10	0.00

Parametri dell'oscillatore equivalente

α_0	M* [daNm]	e*	FC	a* ₀ [cm/sec ²]
3.85	12.07	0.83	1.35	3361.88

Stato limite di danno (SLD)

a* ₀ [cm/sec ²]	T ₁ [sec]	a _g [cm/sec ²]	S	Z [cm]	$\psi(Z)$	γ	S _e (T ₁) [cm/sec ²]	s	Esito
3361.88	0.27	37.26	1.50	570.00	0.60	1.33	137.61	30.54	V

Stato limite di salvaguardia della vita (SLV)

a* ₀ [cm/sec ²]	T ₁ [sec]	a _g [cm/sec ²]	q	S	Z [cm]	$\psi(Z)$	γ	S _e (T ₁) [cm/sec ²]	s	Esito
3361.88	0.27	87.27	2.00	1.50	570.00	0.60	1.33	339.06	24.79	V

MECCANISMO LOCALE 4 - (Ribaltamento Semplice)

(Posizione cerniera: 18.00 cm, 570.00 cm; Verso di rotazione: Orario)

Dati Generali

Fili Fissi	Numero pareti	X_min [cm]	Y_min [cm]	X_max [cm]	Y_max [cm]
6-2	4	-23.00	0.00	-23.00	850.00

Coordinate Cerniera [cm]		Coordinate Punto Controllo [cm]		Verso di rotazione
X	Y	X	Y	
18.000	570.000	0.0000	830.0000	Orario

Azioni Esterne

Forze agenti sulla catena cinematica	X [cm]	Y [cm]	Forza X [daN]	Forza Y [daN]
Peso muri	0.00	662.06	0.00	-3922.21
	0.00	870.00	0.00	-2323.20
Peso cordoli	0.00	740.00	0.00	-764.64
	0.00	840.00	0.00	-764.64
Peso consolidamenti	-16.50	650.00	0.00	-580.80
	16.50	650.00	0.00	-580.80
	-16.50	790.00	0.00	-290.40
	16.50	790.00	0.00	-290.40
Forze inerziali	0.00	662.06	$-3922.21 \cdot \alpha$	0.00
	0.00	870.00	$-2323.20 \cdot \alpha$	0.00
	0.00	740.00	$-764.64 \cdot \alpha$	0.00
	0.00	840.00	$-764.64 \cdot \alpha$	0.00
	15.00	730.00	$-1669.15 \cdot \alpha$	0.00
	-15.00	830.00	$-3051.05 \cdot \alpha$	0.00
	-16.50	650.00	$-580.80 \cdot \alpha$	0.00
	16.50	650.00	$-580.80 \cdot \alpha$	0.00
	-16.50	790.00	$-290.40 \cdot \alpha$	0.00
	16.50	790.00	$-290.40 \cdot \alpha$	0.00
	-15.00	676.67	3528.23	0.00
	15.00	676.67	7293.45	0.00
Forze di connessione tra pareti ortogonali	0.00	676.67	9555.62	0.00
	0.00	792.42	4777.81	0.00
	15.00	740.00	5992.82	0.00
	15.00	740.00	6001.41	0.00
	-15.00	840.00	14131.10	0.00

Parametri dell'oscillatore equivalente

α_0	M* [daNm]	e*	FC	a* ₀ [cm/sec ²]
4.08	12.07	0.83	1.35	3564.45

Stato limite di danno (SLD)

a* ₀ [cm/sec ²]	T ₁ [sec]	a _g [cm/sec ²]	S	Z [cm]	ψ(Z)	γ	S _e (T ₁) [cm/sec ²]	s	Esito
3564.45	0.27	37.26	1.50	570.00	0.60	1.33	137.61	32.38	V

Stato limite di salvaguardia della vita (SLV)

a* ₀ [cm/sec ²]	T ₁ [sec]	a _g [cm/sec ²]	q	S	Z [cm]	ψ(Z)	γ	S _e (T ₁) [cm/sec ²]	s	Esito
3564.45	0.27	87.27	2.00	1.50	570.00	0.60	1.33	339.06	26.28	V

MECCANISMO LOCALE 4 - (Ribaltamento Semplice) (Posizione cerniera: -18.00 cm, 290.00 cm; Verso di rotazione: Antiorario)

Dati Generali

Fili Fissi	Numero pareti	X_min [cm]	Y_min [cm]	X_max [cm]	Y_max [cm]
6-2	4	-23.00	0.00	-23.00	850.00

Coordinate Cerniera [cm]		Coordinate Punto Controllo [cm]		Verso di rotazione
X	Y	X	Y	
-18.000	290.000	0.0000	830.0000	Antiorario

Azioni Esterne

Forze agenti sulla catena cinematica	X [cm]	Y [cm]	Forza X [daN]	Forza Y [daN]
Peso muri	0.00	418.13	0.00	-6006.00
	0.00	662.06	0.00	-3922.21
	0.00	870.00	0.00	-2323.20

Peso cordoli	0.00	555.00	0.00	-1089.00
	0.00	740.00	0.00	-764.64
	0.00	840.00	0.00	-764.64
Peso consolidamenti	-16.50	415.00	0.00	-907.50
	16.50	415.00	0.00	-907.50
	-16.50	650.00	0.00	-580.80
	16.50	650.00	0.00	-580.80
	-16.50	790.00	0.00	-290.40
	16.50	790.00	0.00	-290.40
Forze inerziali	0.00	418.13	$-6006.00 \cdot \alpha$	0.00
	0.00	662.06	$-3922.21 \cdot \alpha$	0.00
	0.00	870.00	$-2323.20 \cdot \alpha$	0.00
	0.00	555.00	$-1089.00 \cdot \alpha$	0.00
	0.00	740.00	$-764.64 \cdot \alpha$	0.00
	0.00	840.00	$-764.64 \cdot \alpha$	0.00
	-15.00	540.00	$-7874.25 \cdot \alpha$	0.00
	15.00	730.00	$-1669.15 \cdot \alpha$	0.00
	-15.00	830.00	$-3051.05 \cdot \alpha$	0.00
	-16.50	415.00	$-907.50 \cdot \alpha$	0.00
	16.50	415.00	$-907.50 \cdot \alpha$	0.00
	-16.50	650.00	$-580.80 \cdot \alpha$	0.00
	16.50	650.00	$-580.80 \cdot \alpha$	0.00
	-16.50	790.00	$-290.40 \cdot \alpha$	0.00
	16.50	790.00	$-290.40 \cdot \alpha$	0.00
Forze di connessione tra pareti ortogonali	15.00	456.67	4147.40	0.00
	15.00	456.67	1736.11	0.00
	15.00	655.93	7644.49	0.00
	15.00	655.93	3200.00	0.00
	0.00	456.67	14930.65	0.00
	0.00	655.93	9555.62	0.00
	0.00	791.07	4777.81	0.00
Forze dei cordoli ortogonali	15.00	555.00	6379.86	0.00
	15.00	555.00	6887.64	0.00
	15.00	740.00	5992.82	0.00
	15.00	740.00	6001.41	0.00
	-15.00	840.00	14131.10	0.00

Parametri dell'oscillatore equivalente

α_0	M* [daNm]	e*	FC	a* ₀ [cm/sec ²]
3.83	25.61	0.81	1.35	3438.50

Stato limite di danno (SLD)

a* ₀ [cm/sec ²]	T ₁ [sec]	a _g [cm/sec ²]	S	Z [cm]	$\psi(Z)$	γ	S _e (T ₁) [cm/sec ²]	s	Esito
3438.50	0.27	37.26	1.50	290.00	0.31	1.33	137.61	61.39	V

Stato limite di salvaguardia della vita (SLV)

a* ₀ [cm/sec ²]	T ₁ [sec]	a _g [cm/sec ²]	q	S	Z [cm]	$\psi(Z)$	γ	S _e (T ₁) [cm/sec ²]	s	Esito
3438.50	0.27	87.27	2.00	1.50	290.00	0.31	1.33	339.06	49.83	V

MECCANISMO LOCALE 4 - (Ribaltamento Semplice)
 (Posizione cerniera: 18.00 cm, 290.00 cm; Verso di rotazione: Orario)

Dati Generali

Fili Fissi	Numero pareti	X_min [cm]	Y_min [cm]	X_max [cm]	Y_max [cm]
6-2	4	-23.00	0.00	-23.00	850.00

Coordinate Cerniera [cm]		Coordinate Punto Controllo [cm]		Verso di rotazione
X	Y	X	Y	
18.000	290.000	0.0000	830.0000	Orario

Azioni Esterne

Forze agenti sulla catena cinematica	X [cm]	Y [cm]	Forza X [daN]	Forza Y [daN]
Peso muri	0.00	418.13	0.00	-6006.00
	0.00	662.06	0.00	-3922.21
	0.00	870.00	0.00	-2323.20
Peso cordoli	0.00	555.00	0.00	-1089.00
	0.00	740.00	0.00	-764.64
	0.00	840.00	0.00	-764.64
Peso consolidamenti	-16.50	415.00	0.00	-907.50
	16.50	415.00	0.00	-907.50
	-16.50	650.00	0.00	-580.80
	16.50	650.00	0.00	-580.80
	-16.50	790.00	0.00	-290.40
	16.50	790.00	0.00	-290.40
Forze inerziali	0.00	418.13	$-6006.00 \cdot \alpha$	0.00
	0.00	662.06	$-3922.21 \cdot \alpha$	0.00
	0.00	870.00	$-2323.20 \cdot \alpha$	0.00
	0.00	555.00	$-1089.00 \cdot \alpha$	0.00
	0.00	740.00	$-764.64 \cdot \alpha$	0.00
	0.00	840.00	$-764.64 \cdot \alpha$	0.00
	-15.00	540.00	$-7874.25 \cdot \alpha$	0.00
	15.00	730.00	$-1669.15 \cdot \alpha$	0.00
	-15.00	830.00	$-3051.05 \cdot \alpha$	0.00
	-16.50	415.00	$-907.50 \cdot \alpha$	0.00
	16.50	415.00	$-907.50 \cdot \alpha$	0.00
	-16.50	650.00	$-580.80 \cdot \alpha$	0.00
	16.50	650.00	$-580.80 \cdot \alpha$	0.00
	-16.50	790.00	$-290.40 \cdot \alpha$	0.00
	16.50	790.00	$-290.40 \cdot \alpha$	0.00
Forze di connessione tra pareti ortogonali	-15.00	456.67	4147.40	0.00
	15.00	456.67	8573.39	0.00
	-15.00	655.93	7644.49	0.00
	15.00	655.93	15802.47	0.00
	0.00	456.67	14930.65	0.00
	0.00	655.93	9555.62	0.00
	0.00	791.07	4777.81	0.00
Forze dei cordoli ortogonali	15.00	555.00	6379.86	0.00
	15.00	555.00	6887.64	0.00
	15.00	740.00	5992.82	0.00
	15.00	740.00	6001.41	0.00
	-15.00	840.00	14131.10	0.00

Parametri dell'oscillatore equivalente

α_0	M* [daNm]	e*	FC	a* ₀ [cm/sec ²]
4.41	25.61	0.81	1.35	3958.89

Stato limite di danno (SLD)

a* ₀ [cm/sec ²]	T ₁ [sec]	a _g [cm/sec ²]	S	Z [cm]	ψ(Z)	γ	S _e (T ₁) [cm/sec ²]	s	Esito
3958.89	0.27	37.26	1.50	290.00	0.31	1.33	137.61	70.68	V

Stato limite di salvaguardia della vita (SLV)

a* ₀ [cm/sec ²]	T ₁ [sec]	a _g [cm/sec ²]	q	S	Z [cm]	ψ(Z)	γ	S _e (T ₁) [cm/sec ²]	s	Esito
3958.89	0.27	87.27	2.00	1.50	290.00	0.31	1.33	339.06	57.37	V

MECCANISMO LOCALE 4 - (Ribaltamento Semplice)
(Posizione cerniera: -23.00 cm, 0.00 cm; Verso di rotazione: Antiorario)

Dati Generali

Fili Fissi	Numero pareti	X_min [cm]	Y_min [cm]	X_max [cm]	Y_max [cm]
6-2	4	-23.00	0.00	-23.00	850.00

Coordinate Cerniera [cm]		Coordinate Punto Controllo [cm]		Verso di rotazione
X	Y	X	Y	
-23.000	0.000	0.0000	830.0000	Antiorario

Azioni Esterne

Forze agenti sulla catena cinematica	X [cm]	Y [cm]	Forza X [daN]	Forza Y [daN]
Peso muri	0.00	134.03	0.00	-8291.20
	0.00	418.13	0.00	-6006.00
	0.00	662.06	0.00	-3922.21
	0.00	870.00	0.00	-2323.20
Peso cordoli	0.00	275.00	0.00	-1089.00
	0.00	555.00	0.00	-1089.00
	0.00	740.00	0.00	-764.64
	0.00	840.00	0.00	-764.64
Peso consolidamenti	-21.50	130.00	0.00	-934.05
	21.50	130.00	0.00	-934.05
	-16.50	415.00	0.00	-907.50
	16.50	415.00	0.00	-907.50
	-16.50	650.00	0.00	-580.80
	16.50	650.00	0.00	-580.80
	-16.50	790.00	0.00	-290.40
	16.50	790.00	0.00	-290.40
Forze inerziali	0.00	134.03	$-8291.20 \cdot \alpha$	0.00
	0.00	418.13	$-6006.00 \cdot \alpha$	0.00
	0.00	662.06	$-3922.21 \cdot \alpha$	0.00
	0.00	870.00	$-2323.20 \cdot \alpha$	0.00
	0.00	275.00	$-1089.00 \cdot \alpha$	0.00
	0.00	555.00	$-1089.00 \cdot \alpha$	0.00
	0.00	740.00	$-764.64 \cdot \alpha$	0.00
	0.00	840.00	$-764.64 \cdot \alpha$	0.00
	-20.00	260.00	$-6968.23 \cdot \alpha$	0.00
	-15.00	540.00	$-7874.25 \cdot \alpha$	0.00
	15.00	730.00	$-1669.15 \cdot \alpha$	0.00
	-15.00	830.00	$-3051.05 \cdot \alpha$	0.00
	-21.50	130.00	$-934.05 \cdot \alpha$	0.00
	21.50	130.00	$-934.05 \cdot \alpha$	0.00
	-16.50	415.00	$-907.50 \cdot \alpha$	0.00
	16.50	415.00	$-907.50 \cdot \alpha$	0.00
	-16.50	650.00	$-580.80 \cdot \alpha$	0.00
	16.50	650.00	$-580.80 \cdot \alpha$	0.00
	-16.50	790.00	$-290.40 \cdot \alpha$	0.00
	16.50	790.00	$-290.40 \cdot \alpha$	0.00
Forze di connessione tra pareti ortogonali	20.00	173.33	3729.18	0.00
	20.00	173.33	1628.92	0.00
	15.00	427.55	8958.39	0.00
	15.00	427.55	3750.00	0.00
	15.00	653.28	8979.98	0.00
	15.00	653.28	3759.04	0.00
	0.00	173.33	20703.84	0.00
	0.00	427.55	14930.65	0.00
	0.00	653.28	9555.62	0.00
	0.00	790.68	4777.81	0.00
Forze dei cordoli ortogonali	20.00	275.00	7168.02	0.00
	20.00	275.00	7517.49	0.00
	15.00	555.00	6379.86	0.00
	15.00	555.00	6887.64	0.00
	15.00	740.00	5992.82	0.00
	15.00	740.00	6001.41	0.00
	-15.00	840.00	14131.10	0.00

Parametri dell'oscillatore equivalente

α_0	M* [daNm]	e*	FC	a* ₀ [cm/sec ²]
------------	-----------	----	----	--

3.84	39.25	0.78	1.35	3571.83
------	-------	------	------	---------

Stato limite di danno (SLD)

a^*_0 [cm/sec ²]	a_g [cm/sec ²]	S	s	Esito
3571.83	37.26	1.50	63.90	V

Stato limite di salvaguardia della vita (SLV)

a^*_0 [cm/sec ²]	a_g [cm/sec ²]	q	S	s	Esito
3571.83	87.27	2.00	1.50	54.57	V

MECCANISMO LOCALE 4 - (Ribaltamento Semplice)
(Posizione cerniera: 23.00 cm, 0.00 cm; Verso di rotazione: Orario)

Dati Generali

Fili Fissi	Numero pareti	X_min [cm]	Y_min [cm]	X_max [cm]	Y_max [cm]
6-2	4	-23.00	0.00	-23.00	850.00

Coordinate Cerniera [cm]		Coordinate Punto Controllo [cm]		Verso di rotazione
X	Y	X	Y	
23.000	0.000	0.0000	830.0000	Orario

Azioni Esterne

Forze agenti sulla catena cinematica	X [cm]	Y [cm]	Forza X [daN]	Forza Y [daN]
Peso muri	0.00	134.03	0.00	-8291.20
	0.00	418.13	0.00	-6006.00
	0.00	662.06	0.00	-3922.21
	0.00	870.00	0.00	-2323.20
Peso cordoli	0.00	275.00	0.00	-1089.00
	0.00	555.00	0.00	-1089.00
	0.00	740.00	0.00	-764.64
	0.00	840.00	0.00	-764.64
Peso consolidamenti	-21.50	130.00	0.00	-934.05
	21.50	130.00	0.00	-934.05
	-16.50	415.00	0.00	-907.50
	16.50	415.00	0.00	-907.50
	-16.50	650.00	0.00	-580.80
	16.50	650.00	0.00	-580.80
	-16.50	790.00	0.00	-290.40
	16.50	790.00	0.00	-290.40
Forze inerziali	0.00	134.03	$-8291.20 \cdot \alpha$	0.00
	0.00	418.13	$-6006.00 \cdot \alpha$	0.00
	0.00	662.06	$-3922.21 \cdot \alpha$	0.00
	0.00	870.00	$-2323.20 \cdot \alpha$	0.00
	0.00	275.00	$-1089.00 \cdot \alpha$	0.00
	0.00	555.00	$-1089.00 \cdot \alpha$	0.00
	0.00	740.00	$-764.64 \cdot \alpha$	0.00
	0.00	840.00	$-764.64 \cdot \alpha$	0.00
	-20.00	260.00	$-6968.23 \cdot \alpha$	0.00
	-15.00	540.00	$-7874.25 \cdot \alpha$	0.00
	15.00	730.00	$-1669.15 \cdot \alpha$	0.00
	-15.00	830.00	$-3051.05 \cdot \alpha$	0.00
	-21.50	130.00	$-934.05 \cdot \alpha$	0.00
	21.50	130.00	$-934.05 \cdot \alpha$	0.00
	-16.50	415.00	$-907.50 \cdot \alpha$	0.00
	16.50	415.00	$-907.50 \cdot \alpha$	0.00
	-16.50	650.00	$-580.80 \cdot \alpha$	0.00
	16.50	650.00	$-580.80 \cdot \alpha$	0.00
	-16.50	790.00	$-290.40 \cdot \alpha$	0.00
	16.50	790.00	$-290.40 \cdot \alpha$	0.00
Forze di connessione tra pareti ortogonali	-20.00	173.33	3729.18	0.00

	20.00	173.33	8044.03	0.00
	-15.00	427.55	8958.39	0.00
	15.00	427.55	18518.52	0.00
	-15.00	653.28	8979.98	0.00
	15.00	653.28	18563.14	0.00
	0.00	173.33	9555.62	0.00
	0.00	427.55	14930.65	0.00
	0.00	653.28	9555.62	0.00
	0.00	790.68	4777.81	0.00
Forze dei cordoli ortogonali	20.00	275.00	7168.02	0.00
	20.00	275.00	7517.49	0.00
	15.00	555.00	6379.86	0.00
	15.00	555.00	6887.64	0.00
	15.00	740.00	5992.82	0.00
	15.00	740.00	6001.41	0.00
	-15.00	840.00	14131.10	0.00

Parametri dell'oscillatore equivalente

α_0	M* [daNm]	e*	FC	a* ₀ [cm/sec ²]
4.52	39.25	0.78	1.35	4201.51

Stato limite di danno (SLD)

a* ₀ [cm/sec ²]	a _g [cm/sec ²]	S	s	Esito
4201.51	37.26	1.50	75.17	V

Stato limite di salvaguardia della vita (SLV)

a* ₀ [cm/sec ²]	a _g [cm/sec ²]	q	S	s	Esito
4201.51	87.27	2.00	1.50	64.19	V

MECCANISMO LOCALE 4 - (Flessione Verticale)

(Posizione cerniera: 15.00 cm, 586.00 cm; Verso di rotazione: Antiorario)

Dati Generali

Fili Fissi	Numero pareti	X_min [cm]	Y_min [cm]	X_max [cm]	Y_max [cm]
6-2	4	-23.00	0.00	-23.00	850.00

Coordinate Cerniera [cm]		Coordinate Punto Controllo [cm]		Verso di rotazione
X	Y	X	Y	
15.000	586.000	15.0000	586.0000	Antiorario

Azioni Esterne

Forze agenti sulla catena cinematica	X [cm]	Y [cm]	Forza X [daN]	Forza Y [daN]
Peso muri	0.00	654.84	0.00	-2987.17
	0.00	870.00	0.00	-2323.20
Peso cordoli	0.00	740.00	0.00	-764.64
	0.00	840.00	0.00	-764.64
Peso consolidamenti	-16.50	790.00	0.00	-290.40
	16.50	790.00	0.00	-290.40
Forze inerziali	0.00	654.84	-2987.17 · α	0.00
	0.00	870.00	-2323.20 · α	0.00
	0.00	740.00	-764.64 · α	0.00
	0.00	840.00	-764.64 · α	0.00
	15.00	730.00	-1669.15 · α	0.00
	-15.00	830.00	-3051.05 · α	0.00
	-16.50	790.00	-290.40 · α	0.00
	16.50	790.00	-290.40 · α	0.00
Forze dei cordoli ortogonali	15.00	740.00	5992.82	0.00
	15.00	740.00	6001.41	0.00
	-15.00	840.00	14131.10	0.00

Parametri dell'oscillatore equivalente

α_0	M* [daNm]	e*	FC	a* ₀ [cm/sec ²]
8.95	35.99	0.74	1.35	8748.02

Stato limite di danno (SLD)

a* ₀ [cm/sec ²]	a _g [cm/sec ²]	S	s	Esito
8748.02	37.26	1.50	156.51	V

Stato limite di salvaguardia della vita (SLV)

a* ₀ [cm/sec ²]	a _g [cm/sec ²]	q	S	s	Esito
8748.02	87.27	2.00	1.50	133.65	V

MECCANISMO LOCALE 5 - (Ribaltamento Semplice)
(Posizione cerniera: -13.00 cm, 570.00 cm; Verso di rotazione: Antiorario)

Dati Generali

Fili Fissi	Numero pareti	X_min [cm]	Y_min [cm]	X_max [cm]	Y_max [cm]
9-2	3	-23.00	0.00	-23.00	670.00

Coordinate Cerniera [cm]		Coordinate Punto Controllo [cm]		Verso di rotazione
X	Y	X	Y	
-13.000	570.000	5.0000	650.0000	Antiorario

Azioni Esterne

Forze agenti sulla catena cinematica	X [cm]	Y [cm]	Forza X [daN]	Forza Y [daN]
Peso muri	5.00	610.00	0.00	-1366.45
Peso cordoli	5.00	660.00	0.00	-427.02
Carico solai	0.00	670.00	0.00	-2049.14
Peso consolidamenti	-11.50	610.00	0.00	-170.81
	21.50	610.00	0.00	-170.81
Forze inerziali	5.00	610.00	-1366.45 · α	0.00
	5.00	660.00	-427.02 · α	0.00
	0.00	670.00	-2049.14 · α	0.00
	-11.50	610.00	-170.81 · α	0.00
	21.50	610.00	-170.81 · α	0.00
Forze di connessione tra pareti ortogonali	5.00	623.33	4777.81	0.00
Forze dei cordoli ortogonali	-10.00	660.00	10649.75	0.00

Parametri dell'oscillatore equivalente

α_0	M* [daNm]	e*	FC	a* ₀ [cm/sec ²]
4.41	3.71	0.87	1.35	3681.64

Stato limite di danno (SLD)

a* ₀ [cm/sec ²]	T ₁ [sec]	a _g [cm/sec ²]	S	Z [cm]	ψ(Z)	γ	S _e (T ₁) [cm/sec ²]	s	Esito
3681.64	0.27	37.26	1.50	570.00	0.60	1.33	137.61	33.44	V

Stato limite di salvaguardia della vita (SLV)

a* ₀ [cm/sec ²]	T ₁ [sec]	a _g [cm/sec ²]	q	S	Z [cm]	ψ(Z)	γ	S _e (T ₁) [cm/sec ²]	s	Esito
3681.64	0.27	87.27	2.00	1.50	570.00	0.60	1.33	339.06	27.15	V

MECCANISMO LOCALE 5 - (Ribaltamento Semplice)
 (Posizione cerniera: 23.00 cm, 570.00 cm; Verso di rotazione: Orario)

Dati Generali

Fili Fissi	Numero pareti	X_min [cm]	Y_min [cm]	X_max [cm]	Y_max [cm]
9-2	3	-23.00	0.00	-23.00	670.00

Coordinate Cerniera [cm]		Coordinate Punto Controllo [cm]		Verso di rotazione
X	Y	X	Y	
23.000	570.000	5.0000	650.0000	Orario

Azioni Esterne

Forze agenti sulla catena cinematica	X [cm]	Y [cm]	Forza X [daN]	Forza Y [daN]
Peso muri	5.00	610.00	0.00	-1366.45
Peso cordoli	5.00	660.00	0.00	-427.02
Carico solai	0.00	670.00	0.00	-2049.14
Peso consolidamenti	-11.50	610.00	0.00	-170.81
	21.50	610.00	0.00	-170.81
Forze inerziali	5.00	610.00	$-1366.45 \cdot \alpha$	0.00
	5.00	660.00	$-427.02 \cdot \alpha$	0.00
	0.00	670.00	$-2049.14 \cdot \alpha$	0.00
	-11.50	610.00	$-170.81 \cdot \alpha$	0.00
	21.50	610.00	$-170.81 \cdot \alpha$	0.00
Forze di connessione tra pareti ortogonali	-10.00	623.33	2866.68	0.00
Forze dei cordoli ortogonali	-10.00	660.00	10649.75	0.00

Parametri dell'oscillatore equivalente

α_0	M* [daNm]	e*	FC	a* ₀ [cm/sec ²]
4.15	3.71	0.87	1.35	3463.50

Stato limite di danno (SLD)

a* ₀ [cm/sec ²]	T ₁ [sec]	a _g [cm/sec ²]	S	Z [cm]	$\psi(Z)$	γ	S _e (T ₁) [cm/sec ²]	s	Esito
3463.50	0.27	37.26	1.50	570.00	0.60	1.33	137.61	31.46	V

Stato limite di salvaguardia della vita (SLV)

a* ₀ [cm/sec ²]	T ₁ [sec]	a _g [cm/sec ²]	q	S	Z [cm]	$\psi(Z)$	γ	S _e (T ₁) [cm/sec ²]	s	Esito
3463.50	0.27	87.27	2.00	1.50	570.00	0.60	1.33	339.06	25.54	V

MECCANISMO LOCALE 5 - (Ribaltamento Semplice)
 (Posizione cerniera: -13.00 cm, 290.00 cm; Verso di rotazione: Antiorario)

Dati Generali

Fili Fissi	Numero pareti	X_min [cm]	Y_min [cm]	X_max [cm]	Y_max [cm]
9-2	3	-23.00	0.00	-23.00	670.00

Coordinate Cerniera [cm]		Coordinate Punto Controllo [cm]		Verso di rotazione
X	Y	X	Y	
-13.000	290.000	5.0000	650.0000	Antiorario

Azioni Esterne

Forze agenti sulla catena cinematica	X [cm]	Y [cm]	Forza X [daN]	Forza Y [daN]
Peso muri	5.00	415.00	0.00	-2462.38
	5.00	610.00	0.00	-1366.45
Peso cordoli	5.00	555.00	0.00	-639.36
	5.00	660.00	0.00	-427.02
Carico solai	-2.50	570.00	0.00	-4174.56
	0.00	670.00	0.00	-2049.14
Peso consolidamenti	-11.50	415.00	0.00	-532.80
	21.50	415.00	0.00	-532.80
	-11.50	610.00	0.00	-170.81
	21.50	610.00	0.00	-170.81
Forze inerziali	5.00	415.00	$-2462.38 \cdot \alpha$	0.00
	5.00	610.00	$-1366.45 \cdot \alpha$	0.00
	5.00	555.00	$-639.36 \cdot \alpha$	0.00
	5.00	660.00	$-427.02 \cdot \alpha$	0.00
	-2.50	570.00	$-4174.56 \cdot \alpha$	0.00
	0.00	670.00	$-2049.14 \cdot \alpha$	0.00
	-11.50	415.00	$-532.80 \cdot \alpha$	0.00
	21.50	415.00	$-532.80 \cdot \alpha$	0.00
	-11.50	610.00	$-170.81 \cdot \alpha$	0.00
	21.50	610.00	$-170.81 \cdot \alpha$	0.00
Forze di connessione tra pareti ortogonali	5.00	456.67	14930.65	0.00
	5.00	611.67	4777.81	0.00
Spinte statiche orizzontali	-10.00	540.00	544.71	0.00
Forze dei cordoli ortogonali	-10.00	555.00	11494.89	0.00
	-10.00	660.00	10649.75	0.00

Parametri dell'oscillatore equivalente

α_0	M* [daNm]	e*	FC	a* ₀ [cm/sec ²]
4.49	11.35	0.89	1.35	3667.30

Stato limite di danno (SLD)

a* ₀ [cm/sec ²]	T ₁ [sec]	a _g [cm/sec ²]	S	Z [cm]	$\psi(Z)$	γ	S _e (T ₁) [cm/sec ²]	s	Esito
3667.30	0.27	37.26	1.50	290.00	0.31	1.33	137.61	65.48	V

Stato limite di salvaguardia della vita (SLV)

a* ₀ [cm/sec ²]	T ₁ [sec]	a _g [cm/sec ²]	q	S	Z [cm]	$\psi(Z)$	γ	S _e (T ₁) [cm/sec ²]	s	Esito
3667.30	0.27	87.27	2.00	1.50	290.00	0.31	1.33	339.06	53.15	V

MECCANISMO LOCALE 5 - (Ribaltamento Semplice)

(Posizione cerniera: 23.00 cm, 290.00 cm; Verso di rotazione: Orario)

Dati Generali

Fili Fissi	Numero pareti	X_min [cm]	Y_min [cm]	X_max [cm]	Y_max [cm]
9-2	3	-23.00	0.00	-23.00	670.00

Coordinate Cerniera [cm]		Coordinate Punto Controllo [cm]		Verso di rotazione
X	Y	X	Y	
23.000	290.000	5.0000	650.0000	Orario

Azioni Esterne

Forze agenti sulla catena cinematica	X [cm]	Y [cm]	Forza X [daN]	Forza Y [daN]
Peso muri	5.00	415.00	0.00	-2462.38
	5.00	610.00	0.00	-1366.45
Peso cordoli	5.00	555.00	0.00	-639.36
	5.00	660.00	0.00	-427.02

Carico solai	-2.50	570.00	0.00	-4174.56
	0.00	670.00	0.00	-2049.14
Peso consolidamenti	-11.50	415.00	0.00	-532.80
	21.50	415.00	0.00	-532.80
	-11.50	610.00	0.00	-170.81
	21.50	610.00	0.00	-170.81
Forze inerziali	5.00	415.00	$-2462.38 \cdot \alpha$	0.00
	5.00	610.00	$-1366.45 \cdot \alpha$	0.00
	5.00	555.00	$-639.36 \cdot \alpha$	0.00
	5.00	660.00	$-427.02 \cdot \alpha$	0.00
	-2.50	570.00	$-4174.56 \cdot \alpha$	0.00
	0.00	670.00	$-2049.14 \cdot \alpha$	0.00
	-11.50	415.00	$-532.80 \cdot \alpha$	0.00
	21.50	415.00	$-532.80 \cdot \alpha$	0.00
	-11.50	610.00	$-170.81 \cdot \alpha$	0.00
	21.50	610.00	$-170.81 \cdot \alpha$	0.00
Forze di connessione tra pareti ortogonali	-10.00	456.67	6221.10	0.00
	5.00	611.67	4777.81	0.00
Spinte statiche orizzontali	-10.00	540.00	544.71	0.00
Forze dei cordoli ortogonali	-10.00	555.00	11494.89	0.00
	-10.00	660.00	10649.75	0.00

Parametri dell'oscillatore equivalente

α_0	M* [daNm]	e*	FC	a* ₀ [cm/sec ²]
3.98	11.35	0.89	1.35	3256.07

Stato limite di danno (SLD)

a* ₀ [cm/sec ²]	T ₁ [sec]	a _g [cm/sec ²]	S	Z [cm]	$\psi(Z)$	γ	S _e (T ₁) [cm/sec ²]	s	Esito
3256.07	0.27	37.26	1.50	290.00	0.31	1.33	137.61	58.13	V

Stato limite di salvaguardia della vita (SLV)

a* ₀ [cm/sec ²]	T ₁ [sec]	a _g [cm/sec ²]	q	S	Z [cm]	$\psi(Z)$	γ	S _e (T ₁) [cm/sec ²]	s	Esito
3256.07	0.27	87.27	2.00	1.50	290.00	0.31	1.33	339.06	47.19	V

MECCANISMO LOCALE 5 - (Ribaltamento Semplice)

(Posizione cerniera: -23.00 cm, 0.00 cm; Verso di rotazione: Antiorario)

Dati Generali

Fili Fissi	Numero pareti	X_min [cm]	Y_min [cm]	X_max [cm]	Y_max [cm]
9-2	3	-23.00	0.00	-23.00	670.00

Coordinate Cerniera [cm]		Coordinate Punto Controllo [cm]		Verso di rotazione
X	Y	X	Y	
-23.000	0.000	5.0000	650.0000	Antiorario

Azioni Esterne

Forze agenti sulla catena cinematica	X [cm]	Y [cm]	Forza X [daN]	Forza Y [daN]
Peso muri	0.00	136.39	0.00	-3606.62
	5.00	415.00	0.00	-2462.38
	5.00	610.00	0.00	-1366.45
Peso cordoli	5.00	275.00	0.00	-639.36
	5.00	555.00	0.00	-639.36
	5.00	660.00	0.00	-427.02
Carico solai	-2.50	290.00	0.00	-4174.56
	11.00	290.00	0.00	-1576.29
	-2.50	570.00	0.00	-4174.56
	0.00	670.00	0.00	-2049.14

Peso consolidamenti	-21.50	130.00	0.00	-554.12
	21.50	130.00	0.00	-554.12
	-11.50	415.00	0.00	-532.80
	21.50	415.00	0.00	-532.80
	-11.50	610.00	0.00	-170.81
	21.50	610.00	0.00	-170.81
Forze inerziali	0.00	136.39	$-3606.62 \cdot \alpha$	0.00
	5.00	415.00	$-2462.38 \cdot \alpha$	0.00
	5.00	610.00	$-1366.45 \cdot \alpha$	0.00
	5.00	275.00	$-639.36 \cdot \alpha$	0.00
	5.00	555.00	$-639.36 \cdot \alpha$	0.00
	5.00	660.00	$-427.02 \cdot \alpha$	0.00
	-2.50	290.00	$-4174.56 \cdot \alpha$	0.00
	11.00	290.00	$-1576.29 \cdot \alpha$	0.00
	-2.50	570.00	$-4174.56 \cdot \alpha$	0.00
	0.00	670.00	$-2049.14 \cdot \alpha$	0.00
	-21.50	130.00	$-554.12 \cdot \alpha$	0.00
	21.50	130.00	$-554.12 \cdot \alpha$	0.00
	-11.50	415.00	$-532.80 \cdot \alpha$	0.00
	21.50	415.00	$-532.80 \cdot \alpha$	0.00
	-11.50	610.00	$-170.81 \cdot \alpha$	0.00
	21.50	610.00	$-170.81 \cdot \alpha$	0.00
Forze di connessione tra pareti ortogonali	0.00	173.33	3185.21	0.00
	5.00	427.55	14930.65	0.00
	5.00	610.87	4777.81	0.00
Spinte statiche orizzontali	20.00	260.00	561.34	0.00
	-10.00	540.00	544.71	0.00
Forze dei cordoli ortogonali	-20.00	275.00	11777.19	0.00
	-10.00	555.00	11494.89	0.00
	-10.00	660.00	10649.75	0.00

Parametri dell'oscillatore equivalente

α_0	M* [daNm]	e*	FC	a* ₀ [cm/sec ²]
4.11	19.83	0.82	1.35	3626.19

Stato limite di danno (SLD)

a* ₀ [cm/sec ²]	a _g [cm/sec ²]	S	s	Esito
3626.19	37.26	1.50	64.88	V

Stato limite di salvaguardia della vita (SLV)

a* ₀ [cm/sec ²]	a _g [cm/sec ²]	q	S	s	Esito
3626.19	87.27	2.00	1.50	55.40	V

MECCANISMO LOCALE 5 - (Ribaltamento Semplice) (Posizione cerniera: 23.00 cm, 0.00 cm; Verso di rotazione: Orario)

Dati Generali

Fili Fissi	Numero pareti	X_min [cm]	Y_min [cm]	X_max [cm]	Y_max [cm]
9-2	3	-23.00	0.00	-23.00	670.00

Coordinate Cerniera [cm]		Coordinate Punto Controllo [cm]		Verso di rotazione
X	Y	X	Y	
23.000	0.000	5.0000	650.0000	Orario

Azioni Esterne

Forze agenti sulla catena cinematica	X [cm]	Y [cm]	Forza X [daN]	Forza Y [daN]
Peso muri	0.00	136.39	0.00	-3606.62
	5.00	415.00	0.00	-2462.38

	5.00	610.00	0.00	-1366.45
Peso cordoli	5.00	275.00	0.00	-639.36
	5.00	555.00	0.00	-639.36
	5.00	660.00	0.00	-427.02
Carico solai	-2.50	290.00	0.00	-4174.56
	11.00	290.00	0.00	-1576.29
	-2.50	570.00	0.00	-4174.56
	0.00	670.00	0.00	-2049.14
Peso consolidamenti	-21.50	130.00	0.00	-554.12
	21.50	130.00	0.00	-554.12
	-11.50	415.00	0.00	-532.80
	21.50	415.00	0.00	-532.80
	-11.50	610.00	0.00	-170.81
	21.50	610.00	0.00	-170.81
Forze inerziali	0.00	136.39	$-3606.62 \cdot \alpha$	0.00
	5.00	415.00	$-2462.38 \cdot \alpha$	0.00
	5.00	610.00	$-1366.45 \cdot \alpha$	0.00
	5.00	275.00	$-639.36 \cdot \alpha$	0.00
	5.00	555.00	$-639.36 \cdot \alpha$	0.00
	5.00	660.00	$-427.02 \cdot \alpha$	0.00
	-2.50	290.00	$-4174.56 \cdot \alpha$	0.00
	11.00	290.00	$-1576.29 \cdot \alpha$	0.00
	-2.50	570.00	$-4174.56 \cdot \alpha$	0.00
	0.00	670.00	$-2049.14 \cdot \alpha$	0.00
	-21.50	130.00	$-554.12 \cdot \alpha$	0.00
	21.50	130.00	$-554.12 \cdot \alpha$	0.00
	-11.50	415.00	$-532.80 \cdot \alpha$	0.00
	21.50	415.00	$-532.80 \cdot \alpha$	0.00
	-11.50	610.00	$-170.81 \cdot \alpha$	0.00
	21.50	610.00	$-170.81 \cdot \alpha$	0.00
Forze di connessione tra pareti ortogonali	-10.00	427.55	11439.17	0.00
	0.00	173.33	3185.21	0.00
	5.00	610.87	4777.81	0.00
Spinte statiche orizzontali	20.00	260.00	561.34	0.00
	-10.00	540.00	544.71	0.00
Forze dei cordoli ortogonali	-20.00	275.00	11777.19	0.00
	-10.00	555.00	11494.89	0.00
	-10.00	660.00	10649.75	0.00

Parametri dell'oscillatore equivalente

α_0	M* [daNm]	e*	FC	a^*_0 [cm/sec ²]
3.91	19.83	0.82	1.35	3451.83

Stato limite di danno (SLD)

a^*_0 [cm/sec ²]	a_g [cm/sec ²]	S	s	Esito
3451.83	37.26	1.50	61.76	V

Stato limite di salvaguardia della vita (SLV)

a^*_0 [cm/sec ²]	a_g [cm/sec ²]	q	S	s	Esito
3451.83	87.27	2.00	1.50	52.74	V

MECCANISMO LOCALE 5 - (Flessione Verticale)

(Posizione cerniera: -10.00 cm, 578.00 cm; Verso di rotazione: Orario)

Dati Generali

Fili Fissi	Numero pareti	X_min [cm]	Y_min [cm]	X_max [cm]	Y_max [cm]
9-2	3	-23.00	0.00	-23.00	670.00

Coordinate Cerniera [cm]		Coordinate Punto Controllo [cm]		Verso di rotazione
X	Y	X	Y	
-10.000	578.000	-10.0000	578.0000	Orario

Azioni Esterne

Forze agenti sulla catena cinematica	X [cm]	Y [cm]	Forza X [daN]	Forza Y [daN]
Peso muri	5.00	614.00	0.00	-1229.80
Peso cordoli	5.00	660.00	0.00	-427.02
Carico solai	0.00	670.00	0.00	-2049.14
Forze inerziali	5.00	614.00	$-1229.80 \cdot \alpha$	0.00
	5.00	660.00	$-427.02 \cdot \alpha$	0.00
	0.00	670.00	$-2049.14 \cdot \alpha$	0.00
Forze dei cordoli ortogonali	-10.00	660.00	10649.75	0.00

Parametri dell'oscillatore equivalente

α_0	M* [daNm]	e*	FC	a* ₀ [cm/sec ²]
10.14	17.83	0.75	1.35	9807.65

Stato limite di danno (SLD)

a* ₀ [cm/sec ²]	a _g [cm/sec ²]	S	s	Esito
9807.65	37.26	1.50	175.47	V

Stato limite di salvaguardia della vita (SLV)

a* ₀ [cm/sec ²]	a _g [cm/sec ²]	q	S	s	Esito
9807.65	87.27	2.00	1.50	149.84	V

MECCANISMO LOCALE 6 - (Ribaltamento Semplice)
 (Posizione cerniera: -10.00 cm, 760.00 cm; Verso di rotazione: Antiorario)

Dati Generali

Fili Fissi	Numero pareti	X_min [cm]	Y_min [cm]	X_max [cm]	Y_max [cm]
3-4	4	-20.00	0.00	-20.00	860.00

Coordinate Cerniera [cm]		Coordinate Punto Controllo [cm]		Verso di rotazione
X	Y	X	Y	
-10.000	760.000	5.0003	840.0000	Antiorario

Azioni Esterne

Forze agenti sulla catena cinematica	X [cm]	Y [cm]	Forza X [daN]	Forza Y [daN]
Peso muri	5.00	890.00	0.00	-2840.55
Peso cordoli	5.00	850.00	0.00	-927.83
Forze inerziali	5.00	890.00	$-2840.55 \cdot \alpha$	0.00
	5.00	850.00	$-927.83 \cdot \alpha$	0.00
	-10.00	840.00	$-3051.05 \cdot \alpha$	0.00
Forze di connessione tra pareti ortogonali	5.00	813.33	2400.00	0.00
	5.00	813.33	2400.00	0.00
Forze dei cordoli ortogonali	-10.00	850.00	14131.10	0.00
	-10.00	850.00	14309.51	0.00

Parametri dell'oscillatore equivalente

α_0	M* [daNm]	e*	FC	a* ₀ [cm/sec ²]
3.71	6.60	0.95	1.35	2842.71

Stato limite di danno (SLD)

a* ₀ [cm/sec ²]	T ₁ [sec]	a _g [cm/sec ²]	S	Z [cm]	$\psi(Z)$	γ	S _c (T ₁) [cm/sec ²]	s	Esito
--	----------------------	---------------------------------------	---	--------	-----------	----------	---	---	-------

2842.71	0.27	37.26	1.50	760.00	0.80	1.33	137.61	19.37	V
---------	------	-------	------	--------	------	------	--------	-------	---

Stato limite di salvaguardia della vita (SLV)

a^*_0 [cm/sec ²]	T_1 [sec]	a_g [cm/sec ²]	q	S	Z [cm]	$\psi(Z)$	γ	$S_e(T_1)$ [cm/sec ²]	s	Esito
2842.71	0.27	87.27	2.00	1.50	760.00	0.80	1.33	339.06	15.72	V

MECCANISMO LOCALE 6 - (Ribaltamento Semplice)
 (Posizione cerniera: 20.00 cm, 760.00 cm; Verso di rotazione: Orario)

Dati Generali

Fili Fissi	Numero pareti	X_min [cm]	Y_min [cm]	X_max [cm]	Y_max [cm]
3-4	4	-20.00	0.00	-20.00	860.00

Coordinate Cerniera [cm]		Coordinate Punto Controllo [cm]		Verso di rotazione
X	Y	X	Y	
20.000	760.000	5.0003	840.0000	Orario

Azioni Esterne

Forze agenti sulla catena cinematica	X [cm]	Y [cm]	Forza X [daN]	Forza Y [daN]
Peso muri	5.00	890.00	0.00	-2840.55
Peso cordoli	5.00	850.00	0.00	-927.83
Forze inerziali	5.00	890.00	$-2840.55 \cdot \alpha$	0.00
	5.00	850.00	$-927.83 \cdot \alpha$	0.00
	-10.00	840.00	$-3051.05 \cdot \alpha$	0.00
Forze di connessione tra pareti ortogonali	-10.00	813.33	1200.00	0.00
	5.00	813.33	2400.00	0.00
Forze dei cordoli ortogonali	-10.00	850.00	14131.10	0.00
	-10.00	850.00	14309.51	0.00

Parametri dell'oscillatore equivalente

α_0	M* [daNm]	e*	FC	a^*_0 [cm/sec ²]
3.62	6.60	0.95	1.35	2772.40

Stato limite di danno (SLD)

a^*_0 [cm/sec ²]	T_1 [sec]	a_g [cm/sec ²]	S	Z [cm]	$\psi(Z)$	γ	$S_e(T_1)$ [cm/sec ²]	s	Esito
2772.40	0.27	37.26	1.50	760.00	0.80	1.33	137.61	18.89	V

Stato limite di salvaguardia della vita (SLV)

a^*_0 [cm/sec ²]	T_1 [sec]	a_g [cm/sec ²]	q	S	Z [cm]	$\psi(Z)$	γ	$S_e(T_1)$ [cm/sec ²]	s	Esito
2772.40	0.27	87.27	2.00	1.50	760.00	0.80	1.33	339.06	15.33	V

MECCANISMO LOCALE 6 - (Ribaltamento Semplice)
 (Posizione cerniera: -10.00 cm, 570.00 cm; Verso di rotazione: Antiorario)

Dati Generali

Fili Fissi	Numero pareti	X_min [cm]	Y_min [cm]	X_max [cm]	Y_max [cm]
3-4	4	-20.00	0.00	-20.00	860.00

Coordinate Cerniera [cm]	Coordinate Punto	Verso di rotazione
--------------------------	------------------	--------------------

		Controllo [cm]		
X	Y	X	Y	
-10.000	570.000	5.0003	840.0000	Antiorario

Azioni Esterne

Forze agenti sulla catena cinematica	X [cm]	Y [cm]	Forza X [daN]	Forza Y [daN]
Peso muri	5.00	672.11	0.00	-6746.30
	5.00	890.00	0.00	-2840.55
Peso cordoli	5.00	850.00	0.00	-927.83
Forze inerziali	5.00	672.11	$-6746.30 \cdot \alpha$	0.00
	5.00	890.00	$-2840.55 \cdot \alpha$	0.00
	5.00	850.00	$-927.83 \cdot \alpha$	0.00
	-10.00	840.00	$-3051.05 \cdot \alpha$	0.00
Forze di connessione tra pareti ortogonali	5.00	696.67	5700.00	0.00
	5.00	696.67	5700.00	0.00
	5.00	802.32	2400.00	0.00
	5.00	802.32	2400.00	0.00
Forze dei cordoli ortogonali	-10.00	850.00	14131.10	0.00
	-10.00	850.00	14309.51	0.00

Parametri dell'oscillatore equivalente

α_0	M* [daNm]	e*	FC	a* ₀ [cm/sec ²]
3.88	11.17	0.81	1.35	3487.64

Stato limite di danno (SLD)

a* ₀ [cm/sec ²]	T ₁ [sec]	a _g [cm/sec ²]	S	Z [cm]	$\psi(Z)$	γ	S _e (T ₁) [cm/sec ²]	s	Esito
3487.64	0.27	37.26	1.50	570.00	0.60	1.33	137.61	31.68	V

Stato limite di salvaguardia della vita (SLV)

a* ₀ [cm/sec ²]	T ₁ [sec]	a _g [cm/sec ²]	q	S	Z [cm]	$\psi(Z)$	γ	S _e (T ₁) [cm/sec ²]	s	Esito
3487.64	0.27	87.27	2.00	1.50	570.00	0.60	1.33	339.06	25.72	V

MECCANISMO LOCALE 6 - (Ribaltamento Semplice) (Posizione cerniera: 20.00 cm, 570.00 cm; Verso di rotazione: Orario)

Dati Generali

Fili Fissi	Numero pareti	X_min [cm]	Y_min [cm]	X_max [cm]	Y_max [cm]
3-4	4	-20.00	0.00	-20.00	860.00

Coordinate Cerniera [cm]		Coordinate Punto Controllo [cm]		Verso di rotazione
X	Y	X	Y	
20.000	570.000	5.0003	840.0000	Orario

Azioni Esterne

Forze agenti sulla catena cinematica	X [cm]	Y [cm]	Forza X [daN]	Forza Y [daN]
Peso muri	5.00	672.11	0.00	-6746.30
	5.00	890.00	0.00	-2840.55
Peso cordoli	5.00	850.00	0.00	-927.83
Forze inerziali	5.00	672.11	$-6746.30 \cdot \alpha$	0.00
	5.00	890.00	$-2840.55 \cdot \alpha$	0.00
	5.00	850.00	$-927.83 \cdot \alpha$	0.00
	-10.00	840.00	$-3051.05 \cdot \alpha$	0.00
Forze di connessione tra pareti ortogonali	-10.00	696.67	4791.08	0.00
	-10.00	696.67	2005.56	0.00

	-10.00	802.32	2044.44	0.00
	5.00	802.32	2400.00	0.00
Forze dei cordoli ortogonali	-10.00	850.00	14131.10	0.00
	-10.00	850.00	14309.51	0.00

Parametri dell'oscillatore equivalente

α_0	M* [daNm]	e*	FC	a* ₀ [cm/sec ²]
3.63	11.17	0.81	1.35	3264.31

Stato limite di danno (SLD)

a* ₀ [cm/sec ²]	T ₁ [sec]	a _g [cm/sec ²]	S	Z [cm]	ψ(Z)	γ	S _c (T ₁) [cm/sec ²]	s	Esito
3264.31	0.27	37.26	1.50	570.00	0.60	1.33	137.61	29.65	V

Stato limite di salvaguardia della vita (SLV)

a* ₀ [cm/sec ²]	T ₁ [sec]	a _g [cm/sec ²]	q	S	Z [cm]	ψ(Z)	γ	S _c (T ₁) [cm/sec ²]	s	Esito
3264.31	0.27	87.27	2.00	1.50	570.00	0.60	1.33	339.06	24.07	V

MECCANISMO LOCALE 6 - (Ribaltamento Semplice)
(Posizione cerniera: -10.00 cm, 290.00 cm; Verso di rotazione: Antiorario)

Dati Generali

Fili Fissi	Numero pareti	X_min [cm]	Y_min [cm]	X_max [cm]	Y_max [cm]
3-4	4	-20.00	0.00	-20.00	860.00

Coordinate Cerniera [cm]		Coordinate Punto Controllo [cm]		Verso di rotazione
X	Y	X	Y	
-10.000	290.000	5.0003	840.0000	Antiorario

Azioni Esterne

Forze agenti sulla catena cinematica	X [cm]	Y [cm]	Forza X [daN]	Forza Y [daN]
Peso muri	5.00	430.00	0.00	-9941.92
	5.00	672.11	0.00	-6746.30
	5.00	890.00	0.00	-2840.55
Peso cordoli	5.00	850.00	0.00	-927.83
Forze inerziali	5.00	430.00	-9941.92 · α	0.00
	5.00	672.11	-6746.30 · α	0.00
	5.00	890.00	-2840.55 · α	0.00
	5.00	850.00	-927.83 · α	0.00
	-10.00	570.00	-7874.25 · α	0.00
	-10.00	840.00	-3051.05 · α	0.00
Forze di connessione tra pareti ortogonali	5.00	476.67	8400.00	0.00
	5.00	476.67	8400.00	0.00
	5.00	673.02	5700.00	0.00
	5.00	673.02	5700.00	0.00
	5.00	801.05	2400.00	0.00
	5.00	801.05	2400.00	0.00
Forze dei cordoli ortogonali	-10.00	850.00	14131.10	0.00
	-10.00	850.00	14309.51	0.00

Parametri dell'oscillatore equivalente

α_0	M* [daNm]	e*	FC	a* ₀ [cm/sec ²]
2.57	25.67	0.80	1.35	2328.07

Stato limite di danno (SLD)

a^*_0 [cm/sec ²]	T_1 [sec]	a_g [cm/sec ²]	S	Z [cm]	$\psi(Z)$	γ	$S_e(T_1)$ [cm/sec ²]	s	Esito
2328.07	0.27	37.26	1.50	290.00	0.31	1.33	137.61	41.57	V

Stato limite di salvaguardia della vita (SLV)

a^*_0 [cm/sec ²]	T_1 [sec]	a_g [cm/sec ²]	q	S	Z [cm]	$\psi(Z)$	γ	$S_e(T_1)$ [cm/sec ²]	s	Esito
2328.07	0.27	87.27	2.00	1.50	290.00	0.31	1.33	339.06	33.74	V

MECCANISMO LOCALE 6 - (Ribaltamento Semplice)
 (Posizione cerniera: 20.00 cm, 290.00 cm; Verso di rotazione: Orario)

Dati Generali

Fili Fissi	Numero pareti	X_min [cm]	Y_min [cm]	X_max [cm]	Y_max [cm]
3-4	4	-20.00	0.00	-20.00	860.00

Coordinate Cerniera [cm]		Coordinate Punto Controllo [cm]		Verso di rotazione
X	Y	X	Y	
20.000	290.000	5.0003	840.0000	Orario

Azioni Esterne

Forze agenti sulla catena cinematica	X [cm]	Y [cm]	Forza X [daN]	Forza Y [daN]
Peso muri	5.00	430.00	0.00	-9941.92
	5.00	672.11	0.00	-6746.30
	5.00	890.00	0.00	-2840.55
Peso cordoli	5.00	850.00	0.00	-927.83
Forze inerziali	5.00	430.00	$-9941.92 \cdot \alpha$	0.00
	5.00	672.11	$-6746.30 \cdot \alpha$	0.00
	5.00	890.00	$-2840.55 \cdot \alpha$	0.00
	5.00	850.00	$-927.83 \cdot \alpha$	0.00
	-10.00	570.00	$-7874.25 \cdot \alpha$	0.00
	-10.00	840.00	$-3051.05 \cdot \alpha$	0.00
Forze di connessione tra pareti ortogonali	-10.00	476.67	5107.91	0.00
	-10.00	476.67	2138.18	0.00
	-10.00	673.02	3886.36	0.00
	-10.00	801.05	2225.45	0.00
	5.00	673.02	5700.00	0.00
	5.00	801.05	2400.00	0.00
Forze dei cordoli ortogonali	-10.00	850.00	14131.10	0.00
	-10.00	850.00	14309.51	0.00

Parametri dell'oscillatore equivalente

α_0	M^* [daNm]	e^*	FC	a^*_0 [cm/sec ²]
2.32	25.67	0.80	1.35	2097.35

Stato limite di danno (SLD)

a^*_0 [cm/sec ²]	T_1 [sec]	a_g [cm/sec ²]	S	Z [cm]	$\psi(Z)$	γ	$S_e(T_1)$ [cm/sec ²]	s	Esito
2097.35	0.27	37.26	1.50	290.00	0.31	1.33	137.61	37.45	V

Stato limite di salvaguardia della vita (SLV)

a^*_0 [cm/sec ²]	T_1 [sec]	a_g [cm/sec ²]	q	S	Z [cm]	$\psi(Z)$	γ	$S_e(T_1)$ [cm/sec ²]	s	Esito
2097.35	0.27	87.27	2.00	1.50	290.00	0.31	1.33	339.06	30.40	V

MECCANISMO LOCALE 6 - (Ribaltamento Semplice)
(Posizione cerniera: -20.00 cm, 0.00 cm; Verso di rotazione: Antiorario)

Dati Generali

Fili Fissi	Numero pareti	X_min [cm]	Y_min [cm]	X_max [cm]	Y_max [cm]
3-4	4	-20.00	0.00	-20.00	860.00

Coordinate Cerniera [cm]		Coordinate Punto Controllo [cm]		Verso di rotazione
X	Y	X	Y	
-20.000	0.000	5.0003	840.0000	Antiorario

Azioni Esterne

Forze agenti sulla catena cinematica	X [cm]	Y [cm]	Forza X [daN]	Forza Y [daN]
Peso muri	0.00	145.00	0.00	-13495.47
	5.00	430.00	0.00	-9941.92
	5.00	672.11	0.00	-6746.30
	5.00	890.00	0.00	-2840.55
Peso cordoli	5.00	850.00	0.00	-927.83
Forze inerziali	0.00	145.00	$-13495.47 \cdot \alpha$	0.00
	5.00	430.00	$-9941.92 \cdot \alpha$	0.00
	5.00	672.11	$-6746.30 \cdot \alpha$	0.00
	5.00	890.00	$-2840.55 \cdot \alpha$	0.00
	5.00	850.00	$-927.83 \cdot \alpha$	0.00
	-20.00	290.00	$-6968.23 \cdot \alpha$	0.00
	-10.00	570.00	$-7874.25 \cdot \alpha$	0.00
	-10.00	840.00	$-3051.05 \cdot \alpha$	0.00
Forze di connessione tra pareti ortogonali	-20.00	193.33	9888.30	0.00
	0.00	193.33	11600.00	0.00
	5.00	445.19	8400.00	0.00
	5.00	445.19	8400.00	0.00
	5.00	669.52	5700.00	0.00
	5.00	669.52	5700.00	0.00
	5.00	800.67	2400.00	0.00
	5.00	800.67	2400.00	0.00
Forze dei cordoli ortogonali	-10.00	850.00	14131.10	0.00
	-10.00	850.00	14309.51	0.00

Parametri dell'oscillatore equivalente

α_0	M* [daNm]	e*	FC	a* ₀ [cm/sec ²]
2.06	40.84	0.77	1.35	1940.37

Stato limite di danno (SLD)

a* ₀ [cm/sec ²]	a _g [cm/sec ²]	S	s	Esito
1940.37	37.26	1.50	34.71	V

Stato limite di salvaguardia della vita (SLV)

a* ₀ [cm/sec ²]	a _g [cm/sec ²]	q	S	s	Esito
1940.37	87.27	2.00	1.50	29.64	V

MECCANISMO LOCALE 6 - (Ribaltamento Semplice)
(Posizione cerniera: 20.00 cm, 0.00 cm; Verso di rotazione: Orario)

Dati Generali

Fili Fissi	Numero pareti	X_min [cm]	Y_min [cm]	X_max [cm]	Y_max [cm]
3-4	4	-20.00	0.00	-20.00	860.00

Coordinate Cerniera [cm]		Coordinate Punto Controllo [cm]		Verso di rotazione
X	Y	X	Y	
20.000	0.000	5.0003	840.0000	Orario

Azioni Esterne

Forze agenti sulla catena cinematica	X [cm]	Y [cm]	Forza X [daN]	Forza Y [daN]
Peso muri	0.00	145.00	0.00	-13495.47
	5.00	430.00	0.00	-9941.92
	5.00	672.11	0.00	-6746.30
	5.00	890.00	0.00	-2840.55
Peso cordoli	5.00	850.00	0.00	-927.83
Forze inerziali	0.00	145.00	$-13495.47 \cdot \alpha$	0.00
	5.00	430.00	$-9941.92 \cdot \alpha$	0.00
	5.00	672.11	$-6746.30 \cdot \alpha$	0.00
	5.00	890.00	$-2840.55 \cdot \alpha$	0.00
	5.00	850.00	$-927.83 \cdot \alpha$	0.00
	-20.00	290.00	$-6968.23 \cdot \alpha$	0.00
	-10.00	570.00	$-7874.25 \cdot \alpha$	0.00
	-10.00	840.00	$-3051.05 \cdot \alpha$	0.00
Forze di connessione tra pareti ortogonali	-20.00	193.33	4584.18	0.00
	-20.00	193.33	2002.38	0.00
	-10.00	445.19	4300.00	0.00
	-10.00	669.52	4512.50	0.00
	-10.00	800.67	2285.71	0.00
	5.00	445.19	8400.00	0.00
	5.00	669.52	5700.00	0.00
	5.00	800.67	2400.00	0.00
Forze dei cordoli ortogonali	-10.00	850.00	14131.10	0.00
	-10.00	850.00	14309.51	0.00

Parametri dell'oscillatore equivalente

α_0	M* [daNm]	e*	FC	a* ₀ [cm/sec ²]
1.81	40.84	0.77	1.35	1704.93

Stato limite di danno (SLD)

a* ₀ [cm/sec ²]	a _g [cm/sec ²]	S	s	Esito
1704.93	37.26	1.50	30.50	V

Stato limite di salvaguardia della vita (SLV)

a* ₀ [cm/sec ²]	a _g [cm/sec ²]	q	S	s	Esito
1704.93	87.27	2.00	1.50	26.05	V

MECCANISMO LOCALE 6 - (Flessione Verticale)
 (Posizione cerniera: -10.00 cm, 589.00 cm; Verso di rotazione: Orario)

Dati Generali

Fili Fissi	Numero pareti	X_min [cm]	Y_min [cm]	X_max [cm]	Y_max [cm]
3-4	4	-20.00	0.00	-20.00	860.00

Coordinate Cerniera [cm]		Coordinate Punto Controllo [cm]		Verso di rotazione
X	Y	X	Y	
-10.000	589.000	-9.9997	589.0000	Orario

Azioni Esterne

Forze agenti sulla catena cinematica	X [cm]	Y [cm]	Forza X [daN]	Forza Y [daN]
Peso muri	5.00	666.09	0.00	-5272.77
	5.00	890.00	0.00	-2840.55
Peso cordoli	5.00	850.00	0.00	-927.83
Forze inerziali	5.00	666.09	$-5272.77 \cdot \alpha$	0.00
	5.00	890.00	$-2840.55 \cdot \alpha$	0.00
	5.00	850.00	$-927.83 \cdot \alpha$	0.00
	-10.00	840.00	$-3051.05 \cdot \alpha$	0.00
Forze dei cordoli ortogonali	-10.00	850.00	14131.10	0.00
	-10.00	850.00	14309.51	0.00

Parametri dell'oscillatore equivalente

α_0	M* [daNm]	e*	FC	a* ₀ [cm/sec ²]
0.99	38.95	0.75	1.35	958.22

Stato limite di danno (SLD)

a* ₀ [cm/sec ²]	a _g [cm/sec ²]	S	s	Esito
958.22	37.26	1.50	17.14	V

Stato limite di salvaguardia della vita (SLV)

a* ₀ [cm/sec ²]	a _g [cm/sec ²]	q	S	s	Esito
958.22	87.27	2.00	1.50	14.64	V

MECCANISMO LOCALE 7 - (Ribaltamento Semplice) (Posizione cerniera: -10.00 cm, 850.00 cm; Verso di rotazione: Antiorario)

Dati Generali

Fili Fissi	Numero pareti	X_min [cm]	Y_min [cm]	X_max [cm]	Y_max [cm]
4-5	4	-20.00	0.00	-20.00	950.00

Coordinate Cerniera [cm]		Coordinate Punto Controllo [cm]		Verso di rotazione
X	Y	X	Y	
-10.000	850.000	5.0001	930.0000	Antiorario

Azioni Esterne

Forze agenti sulla catena cinematica	X [cm]	Y [cm]	Forza X [daN]	Forza Y [daN]
Peso muri	5.00	890.00	0.00	-3234.85
Peso cordoli	5.00	940.00	0.00	-1010.89
Carico solai	0.00	950.00	0.00	-5656.39
Forze inerziali	5.00	890.00	$-3234.85 \cdot \alpha$	0.00
	5.00	940.00	$-1010.89 \cdot \alpha$	0.00
	0.00	950.00	$-5656.39 \cdot \alpha$	0.00
Forze di connessione tra pareti ortogonali	5.00	903.33	2400.00	0.00
	5.00	903.33	2400.00	0.00
Forze dei cordoli ortogonali	-10.00	940.00	12484.02	0.00
	-10.00	940.00	844.44	0.00

Parametri dell'oscillatore equivalente

α_0	M* [daNm]	e*	FC	a* ₀ [cm/sec ²]
1.84	9.01	0.89	1.35	1494.07

Stato limite di danno (SLD)

a* ₀ [cm/sec ²]	T ₁ [sec]	a _g [cm/sec ²]	S	Z [cm]	$\psi(Z)$	γ	S _c (T ₁) [cm/sec ²]	s	Esito
1494.07	0.27	37.26	1.50	850.00	0.89	1.33	137.61	9.10	V

Stato limite di salvaguardia della vita (SLV)

a^*_0 [cm/sec ²]	T_1 [sec]	a_g [cm/sec ²]	q	S	Z [cm]	$\psi(Z)$	γ	$S_e(T_1)$ [cm/sec ²]	s	Esito
1494.07	0.27	87.27	2.00	1.50	850.00	0.89	1.33	339.06	7.39	V

MECCANISMO LOCALE 7 - (Ribaltamento Semplice)
(Posizione cerniera: 20.00 cm, 850.00 cm; Verso di rotazione: Orario)

Dati Generali

Fili Fissi	Numero pareti	X_min [cm]	Y_min [cm]	X_max [cm]	Y_max [cm]
4-5	4	-20.00	0.00	-20.00	950.00

Coordinate Cerniera [cm]		Coordinate Punto Controllo [cm]		Verso di rotazione
X	Y	X	Y	
20.000	850.000	5.0001	930.0000	Orario

Azioni Esterne

Forze agenti sulla catena cinematica	X [cm]	Y [cm]	Forza X [daN]	Forza Y [daN]
Peso muri	5.00	890.00	0.00	-3234.85
Peso cordoli	5.00	940.00	0.00	-1010.89
Carico solai	0.00	950.00	0.00	-5656.39
Forze inerziali	5.00	890.00	$-3234.85 \cdot \alpha$	0.00
	5.00	940.00	$-1010.89 \cdot \alpha$	0.00
	0.00	950.00	$-5656.39 \cdot \alpha$	0.00
Forze di connessione tra pareti ortogonali	-10.00	903.33	1200.00	0.00
	-10.00	903.33	1200.00	0.00
Forze dei cordoli ortogonali	-10.00	940.00	12484.02	0.00
	-10.00	940.00	844.44	0.00

Parametri dell'oscillatore equivalente

α_0	M* [daNm]	e*	FC	a^*_0 [cm/sec ²]
1.74	9.01	0.89	1.35	1420.08

Stato limite di danno (SLD)

a^*_0 [cm/sec ²]	T_1 [sec]	a_g [cm/sec ²]	S	Z [cm]	$\psi(Z)$	γ	$S_e(T_1)$ [cm/sec ²]	s	Esito
1420.08	0.27	37.26	1.50	850.00	0.89	1.33	137.61	8.65	V

Stato limite di salvaguardia della vita (SLV)

a^*_0 [cm/sec ²]	T_1 [sec]	a_g [cm/sec ²]	q	S	Z [cm]	$\psi(Z)$	γ	$S_e(T_1)$ [cm/sec ²]	s	Esito
1420.08	0.27	87.27	2.00	1.50	850.00	0.89	1.33	339.06	7.02	V

MECCANISMO LOCALE 7 - (Ribaltamento Semplice)
(Posizione cerniera: -10.00 cm, 570.00 cm; Verso di rotazione: Antiorario)

Dati Generali

Fili Fissi	Numero pareti	X_min [cm]	Y_min [cm]	X_max [cm]	Y_max [cm]
4-5	4	-20.00	0.00	-20.00	950.00

Coordinate Cerniera [cm]	Coordinate Punto	Verso di rotazione
--------------------------	------------------	--------------------

		Controllo [cm]		
X	Y	X	Y	
-10.000	570.000	5.0001	930.0000	Antiorario

Azioni Esterne

Forze agenti sulla catena cinematica	X [cm]	Y [cm]	Forza X [daN]	Forza Y [daN]
Peso muri	5.00	710.00	0.00	-11321.99
	5.00	890.00	0.00	-3234.85
Peso cordoli	5.00	940.00	0.00	-1010.89
Carico solai	0.00	950.00	0.00	-5656.39
Forze inerziali	5.00	710.00	$-11321.99 \cdot \alpha$	0.00
	5.00	890.00	$-3234.85 \cdot \alpha$	0.00
	5.00	940.00	$-1010.89 \cdot \alpha$	0.00
	0.00	950.00	$-5656.39 \cdot \alpha$	0.00
Forze di connessione tra pareti ortogonali	5.00	756.67	8400.00	0.00
	5.00	756.67	8400.00	0.00
	5.00	891.67	2400.00	0.00
	5.00	891.67	2400.00	0.00
Forze dei cordoli ortogonali	-10.00	940.00	12484.02	0.00
	-10.00	940.00	844.44	0.00

Parametri dell'oscillatore equivalente

α_0	M* [daNm]	e*	FC	a* ₀ [cm/sec ²]
1.90	17.89	0.83	1.35	1669.10

Stato limite di danno (SLD)

a* ₀ [cm/sec ²]	T ₁ [sec]	a _g [cm/sec ²]	S	Z [cm]	$\psi(Z)$	γ	S _e (T ₁) [cm/sec ²]	s	Esito
1669.10	0.27	37.26	1.50	570.00	0.60	1.33	137.61	15.16	V

Stato limite di salvaguardia della vita (SLV)

a* ₀ [cm/sec ²]	T ₁ [sec]	a _g [cm/sec ²]	q	S	Z [cm]	$\psi(Z)$	γ	S _e (T ₁) [cm/sec ²]	s	Esito
1669.10	0.27	87.27	2.00	1.50	570.00	0.60	1.33	339.06	12.31	V

MECCANISMO LOCALE 7 - (Ribaltamento Semplice)
 (Posizione cerniera: 20.00 cm, 570.00 cm; Verso di rotazione: Orario)

Dati Generali

Fili Fissi	Numero pareti	X_min [cm]	Y_min [cm]	X_max [cm]	Y_max [cm]
4-5	4	-20.00	0.00	-20.00	950.00

Coordinate Cerniera [cm]		Coordinate Punto Controllo [cm]		Verso di rotazione
X	Y	X	Y	
20.000	570.000	5.0001	930.0000	Orario

Azioni Esterne

Forze agenti sulla catena cinematica	X [cm]	Y [cm]	Forza X [daN]	Forza Y [daN]
Peso muri	5.00	710.00	0.00	-11321.99
	5.00	890.00	0.00	-3234.85
Peso cordoli	5.00	940.00	0.00	-1010.89
Carico solai	0.00	950.00	0.00	-5656.39
Forze inerziali	5.00	710.00	$-11321.99 \cdot \alpha$	0.00
	5.00	890.00	$-3234.85 \cdot \alpha$	0.00

	5.00	940.00	$-1010.89 \cdot \alpha$	0.00
	0.00	950.00	$-5656.39 \cdot \alpha$	0.00
Forze di connessione tra pareti ortogonali	-10.00	756.67	3266.67	0.00
	-10.00	891.67	2133.33	0.00
	-10.00	891.67	2133.33	0.00
	5.00	756.67	8400.00	0.00
Forze dei cordoli ortogonali	-10.00	940.00	12484.02	0.00
	-10.00	940.00	844.44	0.00

Parametri dell'oscillatore equivalente

α_0	M* [daNm]	e*	FC	a* ₀ [cm/sec ²]
1.69	17.89	0.83	1.35	1485.72

Stato limite di danno (SLD)

a* ₀ [cm/sec ²]	T ₁ [sec]	a _g [cm/sec ²]	S	Z [cm]	$\psi(Z)$	γ	S _e (T ₁) [cm/sec ²]	s	Esito
1485.72	0.27	37.26	1.50	570.00	0.60	1.33	137.61	13.50	V

Stato limite di salvaguardia della vita (SLV)

a* ₀ [cm/sec ²]	T ₁ [sec]	a _g [cm/sec ²]	q	S	Z [cm]	$\psi(Z)$	γ	S _e (T ₁) [cm/sec ²]	s	Esito
1485.72	0.27	87.27	2.00	1.50	570.00	0.60	1.33	339.06	10.95	V

MECCANISMO LOCALE 7 - (Ribaltamento Semplice)
(Posizione cerniera: -10.00 cm, 290.00 cm; Verso di rotazione: Antiorario)

Dati Generali

Fili Fissi	Numero pareti	X_min [cm]	Y_min [cm]	X_max [cm]	Y_max [cm]
4-5	4	-20.00	0.00	-20.00	950.00

Coordinate Cerniera [cm]		Coordinate Punto Controllo [cm]		Verso di rotazione
X	Y	X	Y	
-10.000	290.000	5.0001	930.0000	Antiorario

Azioni Esterne

Forze agenti sulla catena cinematica	X [cm]	Y [cm]	Forza X [daN]	Forza Y [daN]
Peso muri	5.00	430.00	0.00	-11321.99
	5.00	710.00	0.00	-11321.99
	5.00	890.00	0.00	-3234.85
Peso cordoli	5.00	940.00	0.00	-1010.89
Carico solai	0.00	570.00	0.00	-14598.23
	0.00	950.00	0.00	-5656.39
Forze inerziali	5.00	430.00	$-11321.99 \cdot \alpha$	0.00
	5.00	710.00	$-11321.99 \cdot \alpha$	0.00
	5.00	890.00	$-3234.85 \cdot \alpha$	0.00
	5.00	940.00	$-1010.89 \cdot \alpha$	0.00
	0.00	570.00	$-14598.23 \cdot \alpha$	0.00
	0.00	950.00	$-5656.39 \cdot \alpha$	0.00
Forze di connessione tra pareti ortogonali	5.00	476.67	8400.00	0.00
	5.00	476.67	8400.00	0.00
	5.00	725.56	8400.00	0.00
	5.00	725.56	8400.00	0.00
	5.00	890.89	2400.00	0.00
	5.00	890.89	2400.00	0.00
Forze dei cordoli ortogonali	-10.00	940.00	12484.02	0.00
	-10.00	940.00	844.44	0.00

Parametri dell'oscillatore equivalente

α_0	M* [daNm]	e*	FC	a* ₀ [cm/sec ²]
1.34	38.61	0.80	1.35	1213.03

Stato limite di danno (SLD)

a* ₀ [cm/sec ²]	T ₁ [sec]	a _g [cm/sec ²]	S	Z [cm]	ψ(Z)	γ	S _e (T ₁) [cm/sec ²]	s	Esito
1213.03	0.27	37.26	1.50	290.00	0.31	1.33	137.61	21.66	V

Stato limite di salvaguardia della vita (SLV)

a* ₀ [cm/sec ²]	T ₁ [sec]	a _g [cm/sec ²]	q	S	Z [cm]	ψ(Z)	γ	S _e (T ₁) [cm/sec ²]	s	Esito
1213.03	0.27	87.27	2.00	1.50	290.00	0.31	1.33	339.06	17.58	V

MECCANISMO LOCALE 7 - (Ribaltamento Semplice)
(Posizione cerniera: 20.00 cm, 290.00 cm; Verso di rotazione: Orario)

Dati Generali

Fili Fissi	Numero pareti	X_min [cm]	Y_min [cm]	X_max [cm]	Y_max [cm]
4-5	4	-20.00	0.00	-20.00	950.00

Coordinate Cerniera [cm]		Coordinate Punto Controllo [cm]		Verso di rotazione
X	Y	X	Y	
20.000	290.000	5.0001	930.0000	Orario

Azioni Esterne

Forze agenti sulla catena cinematica	X [cm]	Y [cm]	Forza X [daN]	Forza Y [daN]
Peso muri	5.00	430.00	0.00	-11321.99
	5.00	710.00	0.00	-11321.99
	5.00	890.00	0.00	-3234.85
Peso cordoli	5.00	940.00	0.00	-1010.89
Carico solai	0.00	570.00	0.00	-14598.23
	0.00	950.00	0.00	-5656.39
Forze inerziali	5.00	430.00	-11321.99 · α	0.00
	5.00	710.00	-11321.99 · α	0.00
	5.00	890.00	-3234.85 · α	0.00
	5.00	940.00	-1010.89 · α	0.00
	0.00	570.00	-14598.23 · α	0.00
	0.00	950.00	-5656.39 · α	0.00
Forze di connessione tra pareti ortogonali	-10.00	476.67	1837.50	0.00
	-10.00	725.56	5512.50	0.00
	-10.00	890.89	2250.00	0.00
	-10.00	890.89	2250.00	0.00
	5.00	476.67	8400.00	0.00
	5.00	725.56	8400.00	0.00
Forze dei cordoli ortogonali	-10.00	940.00	12484.02	0.00
	-10.00	940.00	844.44	0.00

Parametri dell'oscillatore equivalente

α_0	M* [daNm]	e*	FC	a* ₀ [cm/sec ²]
1.19	38.61	0.80	1.35	1080.23

Stato limite di danno (SLD)

a^*_0 [cm/sec ²]	T_1 [sec]	a_g [cm/sec ²]	S	Z [cm]	$\psi(Z)$	γ	$S_e(T_1)$ [cm/sec ²]	s	Esito
1080.23	0.27	37.26	1.50	290.00	0.31	1.33	137.61	19.29	V

Stato limite di salvaguardia della vita (SLV)

a^*_0 [cm/sec ²]	T_1 [sec]	a_g [cm/sec ²]	q	S	Z [cm]	$\psi(Z)$	γ	$S_e(T_1)$ [cm/sec ²]	s	Esito
1080.23	0.27	87.27	2.00	1.50	290.00	0.31	1.33	339.06	15.66	V

MECCANISMO LOCALE 7 - (Ribaltamento Semplice)
(Posizione cerniera: -20.00 cm, 0.00 cm; Verso di rotazione: Antiorario)

Dati Generali

Fili Fissi	Numero pareti	X_min [cm]	Y_min [cm]	X_max [cm]	Y_max [cm]
4-5	4	-20.00	0.00	-20.00	950.00

Coordinate Cerniera [cm]		Coordinate Punto Controllo [cm]		Verso di rotazione
X	Y	X	Y	
-20.000	0.000	5.0001	930.0000	Antiorario

Azioni Esterne

Forze agenti sulla catena cinematica	X [cm]	Y [cm]	Forza X [daN]	Forza Y [daN]
Peso muri	0.00	145.00	0.00	-15507.58
	5.00	430.00	0.00	-11321.99
	5.00	710.00	0.00	-11321.99
	5.00	890.00	0.00	-3234.85
Peso cordoli	5.00	940.00	0.00	-1010.89
Carico solai	-8.00	290.00	0.00	-12989.72
	0.00	570.00	0.00	-14598.23
	0.00	950.00	0.00	-5656.39
Forze inerziali	0.00	145.00	$-15507.58 \cdot \alpha$	0.00
	5.00	430.00	$-11321.99 \cdot \alpha$	0.00
	5.00	710.00	$-11321.99 \cdot \alpha$	0.00
	5.00	890.00	$-3234.85 \cdot \alpha$	0.00
	5.00	940.00	$-1010.89 \cdot \alpha$	0.00
	-8.00	290.00	$-12989.72 \cdot \alpha$	0.00
	0.00	570.00	$-14598.23 \cdot \alpha$	0.00
	0.00	950.00	$-5656.39 \cdot \alpha$	0.00
Forze di connessione tra pareti ortogonali	-20.00	193.33	8931.37	0.00
	0.00	193.33	11600.00	0.00
	5.00	445.19	8400.00	0.00
	5.00	445.19	8400.00	0.00
	5.00	719.20	8400.00	0.00
	5.00	719.20	8400.00	0.00
	5.00	890.60	2400.00	0.00
	5.00	890.60	2400.00	0.00
Forze dei cordoli ortogonali	-10.00	940.00	12484.02	0.00
	-10.00	940.00	844.44	0.00

Parametri dell'oscillatore equivalente

α_0	M^* [daNm]	e^*	FC	a^*_0 [cm/sec ²]
1.15	60.14	0.78	1.35	1067.03

Stato limite di danno (SLD)

a^*_0 [cm/sec ²]	a_g [cm/sec ²]	S	s	Esito
1067.03	37.26	1.50	19.09	V

Stato limite di salvaguardia della vita (SLV)

a^*_0 [cm/sec ²]	a_g [cm/sec ²]	q	S	s	Esito
1067.03	87.27	2.00	1.50	16.30	V

MECCANISMO LOCALE 7 - (Ribaltamento Semplice)
(Posizione cerniera: 20.00 cm, 0.00 cm; Verso di rotazione: Orario)

Dati Generali

Fili Fissi	Numero pareti	X_min [cm]	Y_min [cm]	X_max [cm]	Y_max [cm]
4-5	4	-20.00	0.00	-20.00	950.00

Coordinate Cerniera [cm]		Coordinate Punto Controllo [cm]		Verso di rotazione
X	Y	X	Y	
20.000	0.000	5.0001	930.0000	Orario

Azioni Esterne

Forze agenti sulla catena cinematica	X [cm]	Y [cm]	Forza X [daN]	Forza Y [daN]
Peso muri	0.00	145.00	0.00	-15507.58
	5.00	430.00	0.00	-11321.99
	5.00	710.00	0.00	-11321.99
	5.00	890.00	0.00	-3234.85
Peso cordoli	5.00	940.00	0.00	-1010.89
Carico solai	-8.00	290.00	0.00	-12989.72
	0.00	570.00	0.00	-14598.23
	0.00	950.00	0.00	-5656.39
Forze inerziali	0.00	145.00	$-15507.58 \cdot \alpha$	0.00
	5.00	430.00	$-11321.99 \cdot \alpha$	0.00
	5.00	710.00	$-11321.99 \cdot \alpha$	0.00
	5.00	890.00	$-3234.85 \cdot \alpha$	0.00
	5.00	940.00	$-1010.89 \cdot \alpha$	0.00
	-8.00	290.00	$-12989.72 \cdot \alpha$	0.00
	0.00	570.00	$-14598.23 \cdot \alpha$	0.00
	0.00	950.00	$-5656.39 \cdot \alpha$	0.00
Forze di connessione tra pareti ortogonali	-20.00	193.33	1808.60	0.00
	-10.00	445.19	3883.87	0.00
	-10.00	719.20	6412.90	0.00
	-10.00	890.60	2296.77	0.00
	-10.00	890.60	2296.77	0.00
	0.00	193.33	11600.00	0.00
	5.00	445.19	8400.00	0.00
	5.00	719.20	8400.00	0.00
Forze dei cordoli ortogonali	-10.00	940.00	12484.02	0.00
	-10.00	940.00	844.44	0.00

Parametri dell'oscillatore equivalente

α_0	M* [daNm]	e*	FC	a^*_0 [cm/sec ²]
1.01	60.14	0.78	1.35	937.65

Stato limite di danno (SLD)

a^*_0 [cm/sec ²]	a_g [cm/sec ²]	S	s	Esito
--------------------------------	------------------------------	---	---	-------

937.65	37.26	1.50	16.78	V
--------	-------	------	-------	---

Stato limite di salvaguardia della vita (SLV)

a^*_0 [cm/sec ²]	a_g [cm/sec ²]	q	S	s	Esito
937.65	87.27	2.00	1.50	14.33	V

MECCANISMO LOCALE 7 - (Flessione Verticale)
(Posizione cerniera: -10.00 cm, 598.00 cm; Verso di rotazione: Orario)

Dati Generali

Fili Fissi	Numero pareti	X_min [cm]	Y_min [cm]	X_max [cm]	Y_max [cm]
4-5	4	-20.00	0.00	-20.00	950.00

Coordinate Cerniera [cm]		Coordinate Punto Controllo [cm]		Verso di rotazione
X	Y	X	Y	
-10.000	598.000	-9.9999	598.0000	Orario

Azioni Esterne

Forze agenti sulla catena cinematica	X [cm]	Y [cm]	Forza X [daN]	Forza Y [daN]
Peso muri	5.00	724.00	0.00	-10189.79
	5.00	890.00	0.00	-3234.85
Peso cordoli	5.00	940.00	0.00	-1010.89
Carico solai	0.00	950.00	0.00	-5656.39
Forze inerziali	5.00	724.00	$-10189.79 \cdot \alpha$	0.00
	5.00	890.00	$-3234.85 \cdot \alpha$	0.00
	5.00	940.00	$-1010.89 \cdot \alpha$	0.00
	0.00	950.00	$-5656.39 \cdot \alpha$	0.00
Forze dei cordoli ortogonali	-10.00	940.00	12484.02	0.00
	-10.00	940.00	844.44	0.00

Parametri dell'oscillatore equivalente

α_0	M* [daNm]	e*	FC	a^*_0 [cm/sec ²]
0.69	58.32	0.76	1.35	663.09

Stato limite di danno (SLD)

a^*_0 [cm/sec ²]	a_g [cm/sec ²]	S	s	Esito
663.09	37.26	1.50	11.86	V

Stato limite di salvaguardia della vita (SLV)

a^*_0 [cm/sec ²]	a_g [cm/sec ²]	q	S	s	Esito
663.09	87.27	2.00	1.50	10.13	V

MECCANISMO LOCALE 8 - (Ribaltamento Semplice)
(Posizione cerniera: -15.00 cm, 840.00 cm; Verso di rotazione: Antiorario)

Dati Generali

Fili Fissi	Numero pareti	X_min [cm]	Y_min [cm]	X_max [cm]	Y_max [cm]
5-6	4	-20.00	0.00	-20.00	940.00

Coordinate Cerniera [cm]		Coordinate Punto Controllo [cm]		Verso di rotazione

X	Y	X	Y	
-15.000	840.000	0.0000	920.0000	Antiorario

Azioni Esterne

Forze agenti sulla catena cinematica	X [cm]	Y [cm]	Forza X [daN]	Forza Y [daN]
Peso muri	0.00	890.00	0.00	-254.40
Peso cordoli	0.00	930.00	0.00	-84.97
Forze inerziali	0.00	890.00	$-254.40 \cdot \alpha$	0.00
	0.00	930.00	$-84.97 \cdot \alpha$	0.00
	-15.00	920.00	$-3051.05 \cdot \alpha$	0.00
Forze di connessione tra pareti ortogonali	0.00	893.33	2400.00	0.00
Forze dei cordoli ortogonali	-15.00	930.00	14309.51	0.00

Parametri dell'oscillatore equivalente

α_0	M* [daNm]	e*	FC	a* ₀ [cm/sec ²]
4.83	3.42	0.99	1.35	3547.98

Stato limite di danno (SLD)

a* ₀ [cm/sec ²]	T ₁ [sec]	a _g [cm/sec ²]	S	Z [cm]	$\psi(Z)$	γ	S _e (T ₁) [cm/sec ²]	s	Esito
3547.98	0.27	37.26	1.50	840.00	0.88	1.33	137.61	21.87	V

Stato limite di salvaguardia della vita (SLV)

a* ₀ [cm/sec ²]	T ₁ [sec]	a _g [cm/sec ²]	q	S	Z [cm]	$\psi(Z)$	γ	S _e (T ₁) [cm/sec ²]	s	Esito
3547.98	0.27	87.27	2.00	1.50	840.00	0.88	1.33	339.06	17.75	V

MECCANISMO LOCALE 8 - (Ribaltamento Semplice)
 (Posizione cerniera: 15.00 cm, 840.00 cm; Verso di rotazione: Orario)

Dati Generali

Fili Fissi	Numero pareti	X_min [cm]	Y_min [cm]	X_max [cm]	Y_max [cm]
5-6	4	-20.00	0.00	-20.00	940.00

Coordinate Cerniera [cm]		Coordinate Punto Controllo [cm]		Verso di rotazione
X	Y	X	Y	
15.000	840.000	0.0000	920.0000	Orario

Azioni Esterne

Forze agenti sulla catena cinematica	X [cm]	Y [cm]	Forza X [daN]	Forza Y [daN]
Peso muri	0.00	890.00	0.00	-254.40
Peso cordoli	0.00	930.00	0.00	-84.97
Forze inerziali	0.00	890.00	$-254.40 \cdot \alpha$	0.00
	0.00	930.00	$-84.97 \cdot \alpha$	0.00
	-15.00	920.00	$-3051.05 \cdot \alpha$	0.00
Forze di connessione tra pareti ortogonali	-15.00	893.33	1200.00	0.00
Forze dei cordoli ortogonali	-15.00	930.00	14309.51	0.00

Parametri dell'oscillatore equivalente

α_0	M* [daNm]	e*	FC	a* ₀ [cm/sec ²]
4.59	3.42	0.99	1.35	3370.28

Stato limite di danno (SLD)

a^*_0 [cm/sec ²]	T_1 [sec]	a_g [cm/sec ²]	S	Z [cm]	$\psi(Z)$	γ	$S_e(T_1)$ [cm/sec ²]	s	Esito
3370.28	0.27	37.26	1.50	840.00	0.88	1.33	137.61	20.77	V

Stato limite di salvaguardia della vita (SLV)

a^*_0 [cm/sec ²]	T_1 [sec]	a_g [cm/sec ²]	q	S	Z [cm]	$\psi(Z)$	γ	$S_e(T_1)$ [cm/sec ²]	s	Esito
3370.28	0.27	87.27	2.00	1.50	840.00	0.88	1.33	339.06	16.86	V

MECCANISMO LOCALE 8 - (Ribaltamento Semplice)
(Posizione cerniera: -15.00 cm, 570.00 cm; Verso di rotazione: Antiorario)

Dati Generali

Fili Fissi	Numero pareti	X_min [cm]	Y_min [cm]	X_max [cm]	Y_max [cm]
5-6	4	-20.00	0.00	-20.00	940.00

Coordinate Cerniera [cm]		Coordinate Punto Controllo [cm]		Verso di rotazione
X	Y	X	Y	
-15.000	570.000	0.0000	920.0000	Antiorario

Azioni Esterne

Forze agenti sulla catena cinematica	X [cm]	Y [cm]	Forza X [daN]	Forza Y [daN]
Peso muri	0.00	705.06	0.00	-858.60
	0.00	890.00	0.00	-254.40
Peso cordoli	0.00	930.00	0.00	-84.97
Forze inerziali	0.00	705.06	$-858.60 \cdot \alpha$	0.00
	0.00	890.00	$-254.40 \cdot \alpha$	0.00
	0.00	930.00	$-84.97 \cdot \alpha$	0.00
	-15.00	920.00	$-3051.05 \cdot \alpha$	0.00
Forze di connessione tra pareti ortogonali	15.00	750.00	3124.29	0.00
	0.00	750.00	8100.00	0.00
	0.00	881.72	2400.00	0.00
Forze dei cordoli ortogonali	-15.00	930.00	14309.51	0.00

Parametri dell'oscillatore equivalente

α_0	M^* [daNm]	e^*	FC	a^*_0 [cm/sec ²]
6.02	4.02	0.93	1.35	4715.27

Stato limite di danno (SLD)

a^*_0 [cm/sec ²]	T_1 [sec]	a_g [cm/sec ²]	S	Z [cm]	$\psi(Z)$	γ	$S_e(T_1)$ [cm/sec ²]	s	Esito
4715.27	0.27	37.26	1.50	570.00	0.60	1.33	137.61	42.83	V

Stato limite di salvaguardia della vita (SLV)

a^*_0 [cm/sec ²]	T_1 [sec]	a_g [cm/sec ²]	q	S	Z [cm]	$\psi(Z)$	γ	$S_e(T_1)$ [cm/sec ²]	s	Esito
4715.27	0.27	87.27	2.00	1.50	570.00	0.60	1.33	339.06	34.77	V

MECCANISMO LOCALE 8 - (Ribaltamento Semplice)
(Posizione cerniera: 15.00 cm, 570.00 cm; Verso di rotazione: Orario)

Dati Generali

Fili Fissi	Numero	X_min [cm]	Y_min [cm]	X_max [cm]	Y_max [cm]
------------	--------	------------	------------	------------	------------

	pareti				
5-6	4	-20.00	0.00	-20.00	940.00

Coordinate Cerniera [cm]		Coordinate Punto Controllo [cm]		Verso di rotazione
X	Y	X	Y	
15.000	570.000	0.0000	920.0000	Orario

Azioni Esterne

Forze agenti sulla catena cinematica	X [cm]	Y [cm]	Forza X [daN]	Forza Y [daN]
Peso muri	0.00	705.06	0.00	-858.60
	0.00	890.00	0.00	-254.40
Peso cordoli	0.00	930.00	0.00	-84.97
Forze inerziali	0.00	705.06	$-858.60 \cdot \alpha$	0.00
	0.00	890.00	$-254.40 \cdot \alpha$	0.00
	0.00	930.00	$-84.97 \cdot \alpha$	0.00
	-15.00	920.00	$-3051.05 \cdot \alpha$	0.00
Forze di connessione tra pareti ortogonali	-15.00	750.00	3124.29	0.00
	-15.00	881.72	2125.71	0.00
	0.00	750.00	8100.00	0.00
Forze dei cordoli ortogonali	-15.00	930.00	14309.51	0.00

Parametri dell'oscillatore equivalente

α_0	M* [daNm]	e*	FC	a* ₀ [cm/sec ²]
5.95	4.02	0.93	1.35	4663.55

Stato limite di danno (SLD)

a* ₀ [cm/sec ²]	T ₁ [sec]	a _g [cm/sec ²]	S	Z [cm]	$\psi(Z)$	γ	S _e (T ₁) [cm/sec ²]	s	Esito
4663.55	0.27	37.26	1.50	570.00	0.60	1.33	137.61	42.36	V

Stato limite di salvaguardia della vita (SLV)

a* ₀ [cm/sec ²]	T ₁ [sec]	a _g [cm/sec ²]	q	S	Z [cm]	$\psi(Z)$	γ	S _e (T ₁) [cm/sec ²]	s	Esito
4663.55	0.27	87.27	2.00	1.50	570.00	0.60	1.33	339.06	34.39	V

MECCANISMO LOCALE 8 - (Ribaltamento Semplice)
(Posizione cerniera: -15.00 cm, 290.00 cm; Verso di rotazione: Antiorario)

Dati Generali

Fili Fissi	Numero pareti	X_min [cm]	Y_min [cm]	X_max [cm]	Y_max [cm]
5-6	4	-20.00	0.00	-20.00	940.00

Coordinate Cerniera [cm]		Coordinate Punto Controllo [cm]		Verso di rotazione
X	Y	X	Y	
-15.000	290.000	0.0000	920.0000	Antiorario

Azioni Esterne

Forze agenti sulla catena cinematica	X [cm]	Y [cm]	Forza X [daN]	Forza Y [daN]
Peso muri	0.00	430.00	0.00	-890.40
	0.00	705.06	0.00	-858.60
	0.00	890.00	0.00	-254.40
Peso cordoli	0.00	930.00	0.00	-84.97
Forze inerziali	0.00	430.00	$-890.40 \cdot \alpha$	0.00
	0.00	705.06	$-858.60 \cdot \alpha$	0.00
	0.00	890.00	$-254.40 \cdot \alpha$	0.00

	0.00	930.00	$-84.97 \cdot \alpha$	0.00
	-15.00	570.00	$-7874.25 \cdot \alpha$	0.00
	-15.00	920.00	$-3051.05 \cdot \alpha$	0.00
Forze di connessione tra pareti ortogonali	15.00	476.67	1866.67	0.00
	15.00	719.64	5335.71	0.00
	0.00	476.67	8400.00	0.00
	0.00	719.64	8100.00	0.00
	0.00	880.90	2400.00	0.00
Forze dei cordoli ortogonali	-15.00	930.00	14309.51	0.00

Parametri dell'oscillatore equivalente

α_0	M* [daNm]	e*	FC	a* ₀ [cm/sec ²]
3.77	11.15	0.84	1.35	3258.93

Stato limite di danno (SLD)

a* ₀ [cm/sec ²]	T ₁ [sec]	a _g [cm/sec ²]	S	Z [cm]	ψ(Z)	γ	S _e (T ₁) [cm/sec ²]	s	Esito
3258.93	0.27	37.26	1.50	290.00	0.31	1.33	137.61	58.18	V

Stato limite di salvaguardia della vita (SLV)

a* ₀ [cm/sec ²]	T ₁ [sec]	a _g [cm/sec ²]	q	S	Z [cm]	ψ(Z)	γ	S _e (T ₁) [cm/sec ²]	s	Esito
3258.93	0.27	87.27	2.00	1.50	290.00	0.31	1.33	339.06	47.23	V

MECCANISMO LOCALE 8 - (Ribaltamento Semplice) (Posizione cerniera: 15.00 cm, 290.00 cm; Verso di rotazione: Orario)

Dati Generali

Fili Fissi	Numero pareti	X_min [cm]	Y_min [cm]	X_max [cm]	Y_max [cm]
5-6	4	-20.00	0.00	-20.00	940.00

Coordinate Cerniera [cm]		Coordinate Punto Controllo [cm]		Verso di rotazione
X	Y	X	Y	
15.000	290.000	0.0000	920.0000	Orario

Azioni Esterne

Forze agenti sulla catena cinematica	X [cm]	Y [cm]	Forza X [daN]	Forza Y [daN]
Peso muri	0.00	430.00	0.00	-890.40
	0.00	705.06	0.00	-858.60
	0.00	890.00	0.00	-254.40
Peso cordoli	0.00	930.00	0.00	-84.97
Forze inerziali	0.00	430.00	$-890.40 \cdot \alpha$	0.00
	0.00	705.06	$-858.60 \cdot \alpha$	0.00
	0.00	890.00	$-254.40 \cdot \alpha$	0.00
	0.00	930.00	$-84.97 \cdot \alpha$	0.00
	-15.00	570.00	$-7874.25 \cdot \alpha$	0.00
	-15.00	920.00	$-3051.05 \cdot \alpha$	0.00
Forze di connessione tra pareti ortogonali	-15.00	476.67	1866.67	0.00
	-15.00	719.64	5335.71	0.00
	-15.00	880.90	2247.62	0.00
	0.00	476.67	8400.00	0.00
	0.00	719.64	8100.00	0.00
Forze dei cordoli ortogonali	-15.00	930.00	14309.51	0.00

Parametri dell'oscillatore equivalente

α_0	M* [daNm]	e*	FC	a* ₀ [cm/sec ²]
3.75	11.15	0.84	1.35	3242.77

Stato limite di danno (SLD)

a^*_0 [cm/sec ²]	T_1 [sec]	a_g [cm/sec ²]	S	Z [cm]	$\psi(Z)$	γ	$S_e(T_1)$ [cm/sec ²]	s	Esito
3242.77	0.27	37.26	1.50	290.00	0.31	1.33	137.61	57.90	V

Stato limite di salvaguardia della vita (SLV)

a^*_0 [cm/sec ²]	T_1 [sec]	a_g [cm/sec ²]	q	S	Z [cm]	$\psi(Z)$	γ	$S_e(T_1)$ [cm/sec ²]	s	Esito
3242.77	0.27	87.27	2.00	1.50	290.00	0.31	1.33	339.06	47.00	V

MECCANISMO LOCALE 8 - (Ribaltamento Semplice) (Posizione cerniera: -20.00 cm, 0.00 cm; Verso di rotazione: Antiorario)

Dati Generali

Fili Fissi	Numero pareti	X_min [cm]	Y_min [cm]	X_max [cm]	Y_max [cm]
5-6	4	-20.00	0.00	-20.00	940.00

Coordinate Cerniera [cm]		Coordinate Punto Controllo [cm]		Verso di rotazione
X	Y	X	Y	
-20.000	0.000	0.0000	920.0000	Antiorario

Azioni Esterne

Forze agenti sulla catena cinematica	X [cm]	Y [cm]	Forza X [daN]	Forza Y [daN]
Peso muri	0.00	145.00	0.00	-1113.60
	0.00	430.00	0.00	-890.40
	0.00	705.06	0.00	-858.60
	0.00	890.00	0.00	-254.40
Peso cordoli	0.00	930.00	0.00	-84.97
Forze inerziali	0.00	145.00	$-1113.60 \cdot \alpha$	0.00
	0.00	430.00	$-890.40 \cdot \alpha$	0.00
	0.00	705.06	$-858.60 \cdot \alpha$	0.00
	0.00	890.00	$-254.40 \cdot \alpha$	0.00
	0.00	930.00	$-84.97 \cdot \alpha$	0.00
	-20.00	290.00	$-6968.23 \cdot \alpha$	0.00
	-15.00	570.00	$-7874.25 \cdot \alpha$	0.00
	-15.00	920.00	$-3051.05 \cdot \alpha$	0.00
Forze di connessione tra pareti ortogonali	-20.00	193.33	9028.45	0.00
	20.00	193.33	1828.26	0.00
	15.00	445.19	3926.09	0.00
	15.00	713.62	6207.07	0.00
	0.00	445.19	8400.00	0.00
	0.00	713.62	8100.00	0.00
	0.00	880.61	2400.00	0.00
Forze dei cordoli ortogonali	-15.00	930.00	14309.51	0.00

Parametri dell'oscillatore equivalente

α_0	M^* [daNm]	e^*	FC	a^*_0 [cm/sec ²]
3.08	17.88	0.83	1.35	2688.58

Stato limite di danno (SLD)

a^*_0 [cm/sec ²]	a_g [cm/sec ²]	S	s	Esito
2688.58	37.26	1.50	48.10	V

Stato limite di salvaguardia della vita (SLV)

a^*_0 [cm/sec ²]	a_g [cm/sec ²]	q	S	s	Esito
--------------------------------	------------------------------	---	---	---	-------

2688.58	87.27	2.00	1.50	41.08	V
---------	-------	------	------	-------	---

MECCANISMO LOCALE 8 - (Ribaltamento Semplice)
(Posizione cerniera: 20.00 cm, 0.00 cm; Verso di rotazione: Orario)

Dati Generali

Fili Fissi	Numero pareti	X_min [cm]	Y_min [cm]	X_max [cm]	Y_max [cm]
5-6	4	-20.00	0.00	-20.00	940.00

Coordinate Cerniera [cm]		Coordinate Punto Controllo [cm]		Verso di rotazione
X	Y	X	Y	
20.000	0.000	0.0000	920.0000	Orario

Azioni Esterne

Forze agenti sulla catena cinematica	X [cm]	Y [cm]	Forza X [daN]	Forza Y [daN]
Peso muri	0.00	145.00	0.00	-1113.60
	0.00	430.00	0.00	-890.40
	0.00	705.06	0.00	-858.60
	0.00	890.00	0.00	-254.40
Peso cordoli	0.00	930.00	0.00	-84.97
Forze inerziali	0.00	145.00	$-1113.60 \cdot \alpha$	0.00
	0.00	430.00	$-890.40 \cdot \alpha$	0.00
	0.00	705.06	$-858.60 \cdot \alpha$	0.00
	0.00	890.00	$-254.40 \cdot \alpha$	0.00
	0.00	930.00	$-84.97 \cdot \alpha$	0.00
	-20.00	290.00	$-6968.23 \cdot \alpha$	0.00
	-15.00	570.00	$-7874.25 \cdot \alpha$	0.00
	-15.00	920.00	$-3051.05 \cdot \alpha$	0.00
Forze di connessione tra pareti ortogonali	-20.00	193.33	1828.26	0.00
	20.00	193.33	9028.45	0.00
	-15.00	445.19	3926.09	0.00
	-15.00	713.62	6207.07	0.00
	-15.00	880.61	2295.65	0.00
	0.00	445.19	8400.00	0.00
	0.00	713.62	8100.00	0.00
Forze dei cordoli ortogonali	-15.00	930.00	14309.51	0.00

Parametri dell'oscillatore equivalente

α_0	M* [daNm]	e*	FC	a* ₀ [cm/sec ²]
3.07	17.88	0.83	1.35	2681.13

Stato limite di danno (SLD)

a* ₀ [cm/sec ²]	a _g [cm/sec ²]	S	s	Esito
2681.13	37.26	1.50	47.97	V

Stato limite di salvaguardia della vita (SLV)

a* ₀ [cm/sec ²]	a _g [cm/sec ²]	q	S	s	Esito
2681.13	87.27	2.00	1.50	40.96	V

MECCANISMO LOCALE 8 - (Flessione Verticale)
(Posizione cerniera: -15.00 cm, 542.00 cm; Verso di rotazione: Orario)

Dati Generali

Fili Fissi	Numero	X_min [cm]	Y_min [cm]	X_max [cm]	Y_max [cm]
------------	--------	------------	------------	------------	------------

	pareti				
5-6	4	-20.00	0.00	-20.00	940.00

Coordinate Cerniera [cm]		Coordinate Punto Controllo [cm]		Verso di rotazione
X	Y	X	Y	
-15.000	542.000	-15.0000	542.0000	Orario

Azioni Esterne

Forze agenti sulla catena cinematica	X [cm]	Y [cm]	Forza X [daN]	Forza Y [daN]
Peso muri	0.00	556.00	0.00	-89.04
	0.00	705.06	0.00	-858.60
	0.00	890.00	0.00	-254.40
Peso cordoli	0.00	930.00	0.00	-84.97
Forze inerziali	0.00	556.00	$-89.04 \cdot \alpha$	0.00
	0.00	705.06	$-858.60 \cdot \alpha$	0.00
	0.00	890.00	$-254.40 \cdot \alpha$	0.00
	0.00	930.00	$-84.97 \cdot \alpha$	0.00
	-15.00	570.00	$-7874.25 \cdot \alpha$	0.00
	-15.00	920.00	$-3051.05 \cdot \alpha$	0.00
Forze dei cordoli ortogonali	-15.00	930.00	14309.51	0.00

Parametri dell'oscillatore equivalente

α_0	M* [daNm]	e*	FC	a* ₀ [cm/sec ²]
2.22	16.99	0.79	1.35	2042.31

Stato limite di danno (SLD)

a* ₀ [cm/sec ²]	a _g [cm/sec ²]	S	s	Esito
2042.31	37.26	1.50	36.54	V

Stato limite di salvaguardia della vita (SLV)

a* ₀ [cm/sec ²]	a _g [cm/sec ²]	q	S	s	Esito
2042.31	87.27	2.00	1.50	31.20	V

MECCANISMO LOCALE 9 - (Ribaltamento Semplice)
(Posizione cerniera: -15.00 cm, 570.00 cm; Verso di rotazione: Antiorario)

Dati Generali

Fili Fissi	Numero pareti	X_min [cm]	Y_min [cm]	X_max [cm]	Y_max [cm]
8-6	3	-20.00	0.00	-20.00	830.00

Coordinate Cerniera [cm]		Coordinate Punto Controllo [cm]		Verso di rotazione
X	Y	X	Y	
-15.000	570.000	0.0001	810.0000	Antiorario

Azioni Esterne

Forze agenti sulla catena cinematica	X [cm]	Y [cm]	Forza X [daN]	Forza Y [daN]
Peso muri	0.00	690.00	0.00	-4104.91
Peso cordoli	0.00	820.00	0.00	-427.59
Carico solai	5.00	830.00	0.00	-2052.08
Forze inerziali	0.00	690.00	$-4104.91 \cdot \alpha$	0.00
	0.00	820.00	$-427.59 \cdot \alpha$	0.00
	5.00	830.00	$-2052.08 \cdot \alpha$	0.00
Forze di connessione tra pareti ortogonali	0.00	730.00	7200.00	0.00
Forze dei cordoli ortogonali	15.00	820.00	10649.75	0.00

Parametri dell'oscillatore equivalente

α_0	M* [daNm]	e*	FC	a* ₀ [cm/sec ²]
3.37	5.83	0.87	1.35	2818.43

Stato limite di danno (SLD)

a* ₀ [cm/sec ²]	T ₁ [sec]	a _g [cm/sec ²]	S	Z [cm]	ψ(Z)	γ	S _c (T ₁) [cm/sec ²]	s	Esito
2818.43	0.27	37.26	1.50	570.00	0.60	1.33	137.61	25.60	V

Stato limite di salvaguardia della vita (SLV)

a* ₀ [cm/sec ²]	T ₁ [sec]	a _g [cm/sec ²]	q	S	Z [cm]	ψ(Z)	γ	S _c (T ₁) [cm/sec ²]	s	Esito
2818.43	0.27	87.27	2.00	1.50	570.00	0.60	1.33	339.06	20.78	V

MECCANISMO LOCALE 9 - (Ribaltamento Semplice)
(Posizione cerniera: 15.00 cm, 570.00 cm; Verso di rotazione: Orario)

Dati Generali

Fili Fissi	Numero pareti	X_min [cm]	Y_min [cm]	X_max [cm]	Y_max [cm]
8-6	3	-20.00	0.00	-20.00	830.00

Coordinate Cerniera [cm]		Coordinate Punto Controllo [cm]		Verso di rotazione
X	Y	X	Y	
15.000	570.000	0.0001	810.0000	Orario

Azioni Esterne

Forze agenti sulla catena cinematica	X [cm]	Y [cm]	Forza X [daN]	Forza Y [daN]
Peso muri	0.00	690.00	0.00	-4104.91
Peso cordoli	0.00	820.00	0.00	-427.59
Carico solai	5.00	830.00	0.00	-2052.08
Forze inerziali	0.00	690.00	-4104.91 · α	0.00
	0.00	820.00	-427.59 · α	0.00
	5.00	830.00	-2052.08 · α	0.00
Forze di connessione tra pareti ortogonali	0.00	730.00	7200.00	0.00
Forze dei cordoli ortogonali	15.00	820.00	10649.75	0.00

Parametri dell'oscillatore equivalente

α_0	M* [daNm]	e*	FC	a* ₀ [cm/sec ²]
3.35	5.83	0.87	1.35	2803.28

Stato limite di danno (SLD)

a* ₀ [cm/sec ²]	T ₁ [sec]	a _g [cm/sec ²]	S	Z [cm]	ψ(Z)	γ	S _c (T ₁) [cm/sec ²]	s	Esito
2803.28	0.27	37.26	1.50	570.00	0.60	1.33	137.61	25.46	V

Stato limite di salvaguardia della vita (SLV)

a* ₀ [cm/sec ²]	T ₁ [sec]	a _g [cm/sec ²]	q	S	Z [cm]	ψ(Z)	γ	S _c (T ₁) [cm/sec ²]	s	Esito
2803.28	0.27	87.27	2.00	1.50	570.00	0.60	1.33	339.06	20.67	V

MECCANISMO LOCALE 9 - (Ribaltamento Semplice)
(Posizione cerniera: -15.00 cm, 290.00 cm; Verso di rotazione: Antiorario)

Dati Generali

Fili Fissi	Numero pareti	X_min [cm]	Y_min [cm]	X_max [cm]	Y_max [cm]
8-6	3	-20.00	0.00	-20.00	830.00

Coordinate Cerniera [cm]		Coordinate Punto Controllo [cm]		Verso di rotazione
X	Y	X	Y	
-15.000	290.000	0.0001	810.0000	Antiorario

Azioni Esterne

Forze agenti sulla catena cinematica	X [cm]	Y [cm]	Forza X [daN]	Forza Y [daN]
Peso muri	0.00	415.00	0.00	-4275.95
	0.00	690.00	0.00	-4104.91
Peso cordoli	0.00	555.00	0.00	-641.39
	0.00	820.00	0.00	-427.59
Carico solai	7.50	570.00	0.00	-2295.57
	5.00	830.00	0.00	-2052.08
Forze inerziali	0.00	415.00	$-4275.95 \cdot \alpha$	0.00
	0.00	690.00	$-4104.91 \cdot \alpha$	0.00
	0.00	555.00	$-641.39 \cdot \alpha$	0.00
	0.00	820.00	$-427.59 \cdot \alpha$	0.00
	7.50	570.00	$-2295.57 \cdot \alpha$	0.00
	5.00	830.00	$-2052.08 \cdot \alpha$	0.00
Forze di connessione tra pareti ortogonali	15.00	456.67	4306.92	0.00
	0.00	702.00	7200.00	0.00
Spinte statiche orizzontali	15.00	540.00	544.71	0.00
Forze dei cordoli ortogonali	15.00	555.00	11494.89	0.00
	15.00	820.00	10649.75	0.00

Parametri dell'oscillatore equivalente

α_0	M* [daNm]	e*	FC	a* ₀ [cm/sec ²]
2.82	11.44	0.81	1.35	2520.20

Stato limite di danno (SLD)

a* ₀ [cm/sec ²]	T ₁ [sec]	a _g [cm/sec ²]	S	Z [cm]	$\psi(Z)$	γ	S _e (T ₁) [cm/sec ²]	s	Esito
2520.20	0.27	37.26	1.50	290.00	0.31	1.33	137.61	45.00	V

Stato limite di salvaguardia della vita (SLV)

a* ₀ [cm/sec ²]	T ₁ [sec]	a _g [cm/sec ²]	q	S	Z [cm]	$\psi(Z)$	γ	S _e (T ₁) [cm/sec ²]	s	Esito
2520.20	0.27	87.27	2.00	1.50	290.00	0.31	1.33	339.06	36.52	V

MECCANISMO LOCALE 9 - (Ribaltamento Semplice)
(Posizione cerniera: 15.00 cm, 290.00 cm; Verso di rotazione: Orario)

Dati Generali

Fili Fissi	Numero pareti	X_min [cm]	Y_min [cm]	X_max [cm]	Y_max [cm]
8-6	3	-20.00	0.00	-20.00	830.00

Coordinate Cerniera [cm]		Coordinate Punto Controllo [cm]		Verso di rotazione
X	Y	X	Y	
15.000	290.000	0.0001	810.0000	Orario

Azioni Esterne

Forze agenti sulla catena cinematica	X [cm]	Y [cm]	Forza X [daN]	Forza Y [daN]
Peso muri	0.00	415.00	0.00	-4275.95
	0.00	690.00	0.00	-4104.91
Peso cordoli	0.00	555.00	0.00	-641.39
	0.00	820.00	0.00	-427.59
Carico solai	7.50	570.00	0.00	-2295.57
	5.00	830.00	0.00	-2052.08
Forze inerziali	0.00	415.00	$-4275.95 \cdot \alpha$	0.00
	0.00	690.00	$-4104.91 \cdot \alpha$	0.00
	0.00	555.00	$-641.39 \cdot \alpha$	0.00
	0.00	820.00	$-427.59 \cdot \alpha$	0.00
	7.50	570.00	$-2295.57 \cdot \alpha$	0.00
	5.00	830.00	$-2052.08 \cdot \alpha$	0.00
Forze di connessione tra pareti ortogonali	0.00	456.67	7500.00	0.00
	0.00	702.00	7200.00	0.00
Spinte statiche orizzontali	15.00	540.00	544.71	0.00
Forze dei cordoli ortogonali	15.00	555.00	11494.89	0.00
	15.00	820.00	10649.75	0.00

Parametri dell'oscillatore equivalente

α_0	M* [daNm]	e*	FC	a* ₀ [cm/sec ²]
2.99	11.44	0.81	1.35	2675.11

Stato limite di danno (SLD)

a* ₀ [cm/sec ²]	T ₁ [sec]	a _g [cm/sec ²]	S	Z [cm]	$\psi(Z)$	γ	S _e (T ₁) [cm/sec ²]	s	Esito
2675.11	0.27	37.26	1.50	290.00	0.31	1.33	137.61	47.76	V

Stato limite di salvaguardia della vita (SLV)

a* ₀ [cm/sec ²]	T ₁ [sec]	a _g [cm/sec ²]	q	S	Z [cm]	$\psi(Z)$	γ	S _e (T ₁) [cm/sec ²]	s	Esito
2675.11	0.27	87.27	2.00	1.50	290.00	0.31	1.33	339.06	38.77	V

MECCANISMO LOCALE 9 - (Ribaltamento Semplice)
(Posizione cerniera: -20.00 cm, 0.00 cm; Verso di rotazione: Antiorario)

Dati Generali

Fili Fissi	Numero pareti	X_min [cm]	Y_min [cm]	X_max [cm]	Y_max [cm]
8-6	3	-20.00	0.00	-20.00	830.00

Coordinate Cerniera [cm]		Coordinate Punto Controllo [cm]		Verso di rotazione
X	Y	X	Y	
-20.000	0.000	0.0001	810.0000	Antiorario

Azioni Esterne

Forze agenti sulla catena cinematica	X [cm]	Y [cm]	Forza X [daN]	Forza Y [daN]
Peso muri	0.00	130.00	0.00	-5929.31
	0.00	415.00	0.00	-4275.95
	0.00	690.00	0.00	-4104.91
Peso cordoli	0.00	275.00	0.00	-641.39
	0.00	555.00	0.00	-641.39
	0.00	820.00	0.00	-427.59
Carico solai	7.50	290.00	0.00	-2295.57
	7.50	570.00	0.00	-2295.57
	5.00	830.00	0.00	-2052.08
Forze inerziali	0.00	130.00	$-5929.31 \cdot \alpha$	0.00
	0.00	415.00	$-4275.95 \cdot \alpha$	0.00

	0.00	690.00	$-4104.91 \cdot \alpha$	0.00
	0.00	275.00	$-641.39 \cdot \alpha$	0.00
	0.00	555.00	$-641.39 \cdot \alpha$	0.00
	0.00	820.00	$-427.59 \cdot \alpha$	0.00
	7.50	290.00	$-2295.57 \cdot \alpha$	0.00
	7.50	570.00	$-2295.57 \cdot \alpha$	0.00
	5.00	830.00	$-2052.08 \cdot \alpha$	0.00
Forze di connessione tra pareti ortogonali	20.00	173.33	3821.26	0.00
	0.00	427.55	7500.00	0.00
	0.00	696.96	7200.00	0.00
Spinte statiche orizzontali	-20.00	260.00	561.34	0.00
	15.00	540.00	544.71	0.00
Forze dei cordoli ortogonali	20.00	275.00	11777.19	0.00
	15.00	555.00	11494.89	0.00
	15.00	820.00	10649.75	0.00

Parametri dell'oscillatore equivalente

α_0	M* [daNm]	e*	FC	a^*_0 [cm/sec ²]
2.73	17.74	0.77	1.35	2583.43

Stato limite di danno (SLD)

a^*_0 [cm/sec ²]	a_g [cm/sec ²]	S	s	Esito
2583.43	37.26	1.50	46.22	V

Stato limite di salvaguardia della vita (SLV)

a^*_0 [cm/sec ²]	a_g [cm/sec ²]	q	S	s	Esito
2583.43	87.27	2.00	1.50	39.47	V

MECCANISMO LOCALE 9 - (Ribaltamento Semplice)

(Posizione cerniera: 20.00 cm, 0.00 cm; Verso di rotazione: Orario)

Dati Generali

Fili Fissi	Numero pareti	X_min [cm]	Y_min [cm]	X_max [cm]	Y_max [cm]
8-6	3	-20.00	0.00	-20.00	830.00

Coordinate Cerniera [cm]		Coordinate Punto Controllo [cm]		Verso di rotazione
X	Y	X	Y	
20.000	0.000	0.0001	810.0000	Orario

Azioni Esterne

Forze agenti sulla catena cinematica	X [cm]	Y [cm]	Forza X [daN]	Forza Y [daN]
Peso muri	0.00	130.00	0.00	-5929.31
	0.00	415.00	0.00	-4275.95
	0.00	690.00	0.00	-4104.91
Peso cordoli	0.00	275.00	0.00	-641.39
	0.00	555.00	0.00	-641.39
	0.00	820.00	0.00	-427.59
Carico solai	7.50	290.00	0.00	-2295.57
	7.50	570.00	0.00	-2295.57
	5.00	830.00	0.00	-2052.08
Forze inerziali	0.00	130.00	$-5929.31 \cdot \alpha$	0.00
	0.00	415.00	$-4275.95 \cdot \alpha$	0.00
	0.00	690.00	$-4104.91 \cdot \alpha$	0.00
	0.00	275.00	$-641.39 \cdot \alpha$	0.00
	0.00	555.00	$-641.39 \cdot \alpha$	0.00
	0.00	820.00	$-427.59 \cdot \alpha$	0.00
	7.50	290.00	$-2295.57 \cdot \alpha$	0.00
	7.50	570.00	$-2295.57 \cdot \alpha$	0.00

	5.00	830.00	$-2052.08 \cdot \alpha$	0.00
Forze di connessione tra pareti ortogonali	0.00	173.33	10400.00	0.00
	0.00	427.55	7500.00	0.00
	0.00	696.96	7200.00	0.00
Spinte statiche orizzontali	-20.00	260.00	561.34	0.00
	15.00	540.00	544.71	0.00
Forze dei cordoli ortogonali	20.00	275.00	11777.19	0.00
	15.00	555.00	11494.89	0.00
	15.00	820.00	10649.75	0.00

Parametri dell'oscillatore equivalente

α_0	M* [daNm]	e*	FC	a* ₀ [cm/sec ²]
2.87	17.74	0.77	1.35	2711.71

Stato limite di danno (SLD)

a* ₀ [cm/sec ²]	a _g [cm/sec ²]	S	s	Esito
2711.71	37.26	1.50	48.52	V

Stato limite di salvaguardia della vita (SLV)

a* ₀ [cm/sec ²]	a _g [cm/sec ²]	q	S	s	Esito
2711.71	87.27	2.00	1.50	41.43	V

MECCANISMO LOCALE 9 - (Flessione Verticale)**(Posizione cerniera: 15.00 cm, 515.00 cm; Verso di rotazione: Antiorario)****Dati Generali**

Fili Fissi	Numero pareti	X_min [cm]	Y_min [cm]	X_max [cm]	Y_max [cm]
8-6	3	-20.00	0.00	-20.00	830.00

Coordinate Cerniera [cm]		Coordinate Punto Controllo [cm]		Verso di rotazione
X	Y	X	Y	
15.000	515.000	15.0001	515.0000	Antiorario

Azioni Esterne

Forze agenti sulla catena cinematica	X [cm]	Y [cm]	Forza X [daN]	Forza Y [daN]
Peso muri	0.00	527.50	0.00	-427.59
	0.00	690.00	0.00	-4104.91
Peso cordoli	0.00	555.00	0.00	-641.39
	0.00	820.00	0.00	-427.59
Carico solai	7.50	570.00	0.00	-2295.57
	5.00	830.00	0.00	-2052.08
Forze inerziali	0.00	527.50	$-427.59 \cdot \alpha$	0.00
	0.00	690.00	$-4104.91 \cdot \alpha$	0.00
	0.00	555.00	$-641.39 \cdot \alpha$	0.00
	0.00	820.00	$-427.59 \cdot \alpha$	0.00
	7.50	570.00	$-2295.57 \cdot \alpha$	0.00
	5.00	830.00	$-2052.08 \cdot \alpha$	0.00
Spinte statiche orizzontali	15.00	540.00	544.71	0.00
Forze dei cordoli ortogonali	15.00	555.00	11494.89	0.00
	15.00	820.00	10649.75	0.00

Parametri dell'oscillatore equivalente

α_0	M* [daNm]	e*	FC	a* ₀ [cm/sec ²]
2.99	17.38	0.75	1.35	2891.64

Stato limite di danno (SLD)

a^*_0 [cm/sec ²]	a_g [cm/sec ²]	S	s	Esito
2891.64	37.26	1.50	51.73	V

Stato limite di salvaguardia della vita (SLV)

a^*_0 [cm/sec ²]	a_g [cm/sec ²]	q	S	s	Esito
2891.64	87.27	2.00	1.50	44.18	V

MECCANISMO LOCALE 10 - (Ribaltamento Semplice)
(Posizione cerniera: -17.41 cm, 570.00 cm; Verso di rotazione: Antiorario)

Dati Generali

Fili Fissi	Numero pareti	X_min [cm]	Y_min [cm]	X_max [cm]	Y_max [cm]
7-8	3	-20.00	0.00	-20.00	830.00

Coordinate Cerniera [cm]		Coordinate Punto Controllo [cm]		Verso di rotazione
X	Y	X	Y	
-17.408	570.000	-2.4084	810.0000	Antiorario

Azioni Esterne

Forze agenti sulla catena cinematica	X [cm]	Y [cm]	Forza X [daN]	Forza Y [daN]
Peso muri	-2.41	690.00	0.00	-5614.19
Peso cordoli	-2.41	820.00	0.00	-584.81
Carico solai	2.59	830.00	0.00	-2892.31
Forze inerziali	-2.41	690.00	$-5614.19 \cdot \alpha$	0.00
	-2.41	820.00	$-584.81 \cdot \alpha$	0.00
	2.59	830.00	$-2892.31 \cdot \alpha$	0.00
Forze di connessione tra pareti ortogonali	12.59	730.00	3600.00	0.00
Spinte statiche orizzontali	12.59	570.00	544.71	0.00
Forze dei cordoli ortogonali	12.59	820.00	10377.78	0.00

Parametri dell'oscillatore equivalente

α_0	M* [daNm]	e*	FC	a^*_0 [cm/sec ²]
2.05	8.05	0.87	1.35	1711.79

Stato limite di danno (SLD)

a^*_0 [cm/sec ²]	T ₁ [sec]	a_g [cm/sec ²]	S	Z [cm]	$\psi(Z)$	γ	S _c (T ₁) [cm/sec ²]	s	Esito
1711.79	0.27	37.26	1.50	570.00	0.60	1.33	137.61	15.55	V

Stato limite di salvaguardia della vita (SLV)

a^*_0 [cm/sec ²]	T ₁ [sec]	a_g [cm/sec ²]	q	S	Z [cm]	$\psi(Z)$	γ	S _c (T ₁) [cm/sec ²]	s	Esito
1711.79	0.27	87.27	2.00	1.50	570.00	0.60	1.33	339.06	12.62	V

MECCANISMO LOCALE 10 - (Ribaltamento Semplice)
(Posizione cerniera: 12.59 cm, 570.00 cm; Verso di rotazione: Orario)

Dati Generali

Fili Fissi	Numero pareti	X_min [cm]	Y_min [cm]	X_max [cm]	Y_max [cm]
7-8	3	-20.00	0.00	-20.00	830.00

Coordinate Cerniera [cm]	Coordinate Punto	Verso di rotazione
--------------------------	------------------	--------------------

		Controllo [cm]		
X	Y	X	Y	
12.591	570.000	-2.4084	810.0000	Orario

Azioni Esterne

Forze agenti sulla catena cinematica	X [cm]	Y [cm]	Forza X [daN]	Forza Y [daN]
Peso muri	-2.41	690.00	0.00	-5614.19
Peso cordoli	-2.41	820.00	0.00	-584.81
Carico solai	2.59	830.00	0.00	-2892.31
Forze inerziali	-2.41	690.00	$-5614.19 \cdot \alpha$	0.00
	-2.41	820.00	$-584.81 \cdot \alpha$	0.00
	2.59	830.00	$-2892.31 \cdot \alpha$	0.00
Forze di connessione tra pareti ortogonali	-2.41	730.00	7200.00	0.00
Spinte statiche orizzontali	12.59	570.00	544.71	0.00
Forze dei cordoli ortogonali	12.59	820.00	10377.78	0.00

Parametri dell'oscillatore equivalente

α_0	M* [daNm]	e*	FC	a* ₀ [cm/sec ²]
2.39	8.05	0.87	1.35	2002.84

Stato limite di danno (SLD)

a* ₀ [cm/sec ²]	T ₁ [sec]	a _g [cm/sec ²]	S	Z [cm]	$\psi(Z)$	γ	S _c (T ₁) [cm/sec ²]	s	Esito
2002.84	0.27	37.26	1.50	570.00	0.60	1.33	137.61	18.19	V

Stato limite di salvaguardia della vita (SLV)

a* ₀ [cm/sec ²]	T ₁ [sec]	a _g [cm/sec ²]	q	S	Z [cm]	$\psi(Z)$	γ	S _c (T ₁) [cm/sec ²]	s	Esito
2002.84	0.27	87.27	2.00	1.50	570.00	0.60	1.33	339.06	14.77	V

MECCANISMO LOCALE 10 - (Ribaltamento Semplice)
(Posizione cerniera: -17.41 cm, 290.00 cm; Verso di rotazione: Antiorario)

Dati Generali

Fili Fissi	Numero pareti	X_min [cm]	Y_min [cm]	X_max [cm]	Y_max [cm]
7-8	3	-20.00	0.00	-20.00	830.00

Coordinate Cerniera [cm]		Coordinate Punto Controllo [cm]		Verso di rotazione
X	Y	X	Y	
-17.409	290.000	-2.4084	810.0000	Antiorario

Azioni Esterne

Forze agenti sulla catena cinematica	X [cm]	Y [cm]	Forza X [daN]	Forza Y [daN]
Peso muri	-2.41	430.00	0.00	-6549.89
	-2.41	690.00	0.00	-5614.19
Peso cordoli	-2.41	820.00	0.00	-584.81
Carico solai	2.59	570.00	0.00	-6674.20
	2.59	830.00	0.00	-2892.31
Forze inerziali	-2.41	430.00	$-6549.89 \cdot \alpha$	0.00
	-2.41	690.00	$-5614.19 \cdot \alpha$	0.00
	-2.41	820.00	$-584.81 \cdot \alpha$	0.00
	2.59	570.00	$-6674.20 \cdot \alpha$	0.00
	2.59	830.00	$-2892.31 \cdot \alpha$	0.00
Forze di connessione tra pareti ortogonali	12.59	476.67	2261.54	0.00
	12.59	702.00	5538.46	0.00
Spinte statiche orizzontali	-20.00	290.00	561.34	0.00

	12.59	570.00	544.71	0.00
Forze dei cordoli ortogonali	12.59	820.00	10377.78	0.00

Parametri dell'oscillatore equivalente

α_0	M* [daNm]	e*	FC	a* ₀ [cm/sec ²]
1.21	19.00	0.83	1.35	1049.79

Stato limite di danno (SLD)

a* ₀ [cm/sec ²]	T ₁ [sec]	a _g [cm/sec ²]	S	Z [cm]	ψ(Z)	γ	S _e (T ₁) [cm/sec ²]	s	Esito
1049.79	0.27	37.26	1.50	290.00	0.31	1.33	137.61	18.74	V

Stato limite di salvaguardia della vita (SLV)

a* ₀ [cm/sec ²]	T ₁ [sec]	a _g [cm/sec ²]	q	S	Z [cm]	ψ(Z)	γ	S _e (T ₁) [cm/sec ²]	s	Esito
1049.79	0.27	87.27	2.00	1.50	290.00	0.31	1.33	339.06	15.21	V

MECCANISMO LOCALE 10 - (Ribaltamento Semplice) (Posizione cerniera: 12.59 cm, 290.00 cm; Verso di rotazione: Orario)

Dati Generali

Fili Fissi	Numero pareti	X_min [cm]	Y_min [cm]	X_max [cm]	Y_max [cm]
7-8	3	-20.00	0.00	-20.00	830.00

Coordinate Cerniera [cm]		Coordinate Punto Controllo [cm]		Verso di rotazione
X	Y	X	Y	
12.591	290.000	-2.4084	810.0000	Orario

Azioni Esterne

Forze agenti sulla catena cinematica	X [cm]	Y [cm]	Forza X [daN]	Forza Y [daN]
Peso muri	-2.41	430.00	0.00	-6549.89
	-2.41	690.00	0.00	-5614.19
Peso cordoli	-2.41	820.00	0.00	-584.81
Carico solai	2.59	570.00	0.00	-6674.20
	2.59	830.00	0.00	-2892.31
Forze inerziali	-2.41	430.00	-6549.89 · α	0.00
	-2.41	690.00	-5614.19 · α	0.00
	-2.41	820.00	-584.81 · α	0.00
	2.59	570.00	-6674.20 · α	0.00
	2.59	830.00	-2892.31 · α	0.00
Forze di connessione tra pareti ortogonali	-2.41	476.67	8400.00	0.00
	-2.41	702.00	7200.00	0.00
Spinte statiche orizzontali	-20.00	290.00	561.34	0.00
	12.59	570.00	544.71	0.00
Forze dei cordoli ortogonali	12.59	820.00	10377.78	0.00

Parametri dell'oscillatore equivalente

α_0	M* [daNm]	e*	FC	a* ₀ [cm/sec ²]
1.50	19.00	0.83	1.35	1306.84

Stato limite di danno (SLD)

a* ₀ [cm/sec ²]	T ₁ [sec]	a _g [cm/sec ²]	S	Z [cm]	ψ(Z)	γ	S _e (T ₁) [cm/sec ²]	s	Esito
1306.84	0.27	37.26	1.50	290.00	0.31	1.33	137.61	23.33	V

Stato limite di salvaguardia della vita (SLV)

a^*_0 [cm/sec ²]	T_1 [sec]	a_g [cm/sec ²]	q	S	Z [cm]	$\psi(Z)$	γ	$S_e(T_1)$ [cm/sec ²]	s	Esito
1306.84	0.27	87.27	2.00	1.50	290.00	0.31	1.33	339.06	18.94	V

MECCANISMO LOCALE 10 - (Ribaltamento Semplice)
 (Posizione cerniera: -20.00 cm, 0.00 cm; Verso di rotazione: Antiorario)

Dati Generali

Fili Fissi	Numero pareti	X_min [cm]	Y_min [cm]	X_max [cm]	Y_max [cm]
7-8	3	-20.00	0.00	-20.00	830.00

Coordinate Cerniera [cm]		Coordinate Punto Controllo [cm]		Verso di rotazione
X	Y	X	Y	
-20.000	0.000	-2.4084	810.0000	Antiorario

Azioni Esterne

Forze agenti sulla catena cinematica	X [cm]	Y [cm]	Forza X [daN]	Forza Y [daN]
Peso muri	0.00	145.00	0.00	-8924.46
	-2.41	430.00	0.00	-6549.89
	-2.41	690.00	0.00	-5614.19
Peso cordoli	-2.41	820.00	0.00	-584.81
Carico solai	8.00	290.00	0.00	-6242.21
	2.59	570.00	0.00	-6674.20
	2.59	830.00	0.00	-2892.31
Forze inerziali	0.00	145.00	$-8924.46 \cdot \alpha$	0.00
	-2.41	430.00	$-6549.89 \cdot \alpha$	0.00
	-2.41	690.00	$-5614.19 \cdot \alpha$	0.00
	-2.41	820.00	$-584.81 \cdot \alpha$	0.00
	8.00	290.00	$-6242.21 \cdot \alpha$	0.00
	2.59	570.00	$-6674.20 \cdot \alpha$	0.00
	2.59	830.00	$-2892.31 \cdot \alpha$	0.00
Forze di connessione tra pareti ortogonali	20.00	193.33	2076.54	0.00
	12.59	445.19	4459.26	0.00
	12.59	696.96	6133.33	0.00
Spinte statiche orizzontali	-20.00	290.00	561.34	0.00
	12.59	570.00	544.71	0.00
Forze dei cordoli ortogonali	12.59	820.00	10377.78	0.00

Parametri dell'oscillatore equivalente

α_0	M^* [daNm]	e^*	FC	a^*_0 [cm/sec ²]
0.95	30.26	0.79	1.35	874.82

Stato limite di danno (SLD)

a^*_0 [cm/sec ²]	a_g [cm/sec ²]	S	s	Esito
874.82	37.26	1.50	15.65	V

Stato limite di salvaguardia della vita (SLV)

a^*_0 [cm/sec ²]	a_g [cm/sec ²]	q	S	s	Esito
874.82	87.27	2.00	1.50	13.37	V

MECCANISMO LOCALE 10 - (Ribaltamento Semplice)
 (Posizione cerniera: 20.00 cm, 0.00 cm; Verso di rotazione: Orario)

Dati Generali

Fili Fissi	Numero pareti	X_min [cm]	Y_min [cm]	X_max [cm]	Y_max [cm]
7-8	3	-20.00	0.00	-20.00	830.00

Coordinate Cerniera [cm]		Coordinate Punto Controllo [cm]		Verso di rotazione
X	Y	X	Y	
20.000	0.000	-2.4084	810.0000	Orario

Azioni Esterne

Forze agenti sulla catena cinematica	X [cm]	Y [cm]	Forza X [daN]	Forza Y [daN]
Peso muri	0.00	145.00	0.00	-8924.46
	-2.41	430.00	0.00	-6549.89
	-2.41	690.00	0.00	-5614.19
Peso cordoli	-2.41	820.00	0.00	-584.81
Carico solai	8.00	290.00	0.00	-6242.21
	2.59	570.00	0.00	-6674.20
	2.59	830.00	0.00	-2892.31
Forze inerziali	0.00	145.00	$-8924.46 \cdot \alpha$	0.00
	-2.41	430.00	$-6549.89 \cdot \alpha$	0.00
	-2.41	690.00	$-5614.19 \cdot \alpha$	0.00
	-2.41	820.00	$-584.81 \cdot \alpha$	0.00
	8.00	290.00	$-6242.21 \cdot \alpha$	0.00
	2.59	570.00	$-6674.20 \cdot \alpha$	0.00
	2.59	830.00	$-2892.31 \cdot \alpha$	0.00
Forze di connessione tra pareti ortogonali	20.00	193.33	10254.53	0.00
	-2.41	445.19	8400.00	0.00
	-2.41	696.96	7200.00	0.00
Spinte statiche orizzontali	-20.00	290.00	561.34	0.00
	12.59	570.00	544.71	0.00
Forze dei cordoli ortogonali	12.59	820.00	10377.78	0.00

Parametri dell'oscillatore equivalente

α_0	M* [daNm]	e*	FC	a* ₀ [cm/sec ²]
1.21	30.26	0.79	1.35	1113.45

Stato limite di danno (SLD)

a* ₀ [cm/sec ²]	a _g [cm/sec ²]	S	s	Esito
1113.45	37.26	1.50	19.92	V

Stato limite di salvaguardia della vita (SLV)

a* ₀ [cm/sec ²]	a _g [cm/sec ²]	q	S	s	Esito
1113.45	87.27	2.00	1.50	17.01	V

MECCANISMO LOCALE 10 - (Flessione Verticale)
(Posizione cerniera: 12.59 cm, 542.00 cm; Verso di rotazione: Antiorario)

Dati Generali

Fili Fissi	Numero pareti	X_min [cm]	Y_min [cm]	X_max [cm]	Y_max [cm]
7-8	3	-20.00	0.00	-20.00	830.00

Coordinate Cerniera [cm]		Coordinate Punto Controllo [cm]		Verso di rotazione
X	Y	X	Y	
12.591	542.000	12.5915	542.0000	Antiorario

Azioni Esterne

Forze agenti sulla catena cinematica	X [cm]	Y [cm]	Forza X [daN]	Forza Y [daN]
Peso muri	-2.41	556.00	0.00	-654.99
	-2.41	690.00	0.00	-5614.19
Peso cordoli	-2.41	820.00	0.00	-584.81
Carico solai	2.59	570.00	0.00	-6674.20
	2.59	830.00	0.00	-2892.31
Forze inerziali	-2.41	556.00	$-654.99 \cdot \alpha$	0.00
	-2.41	690.00	$-5614.19 \cdot \alpha$	0.00
	-2.41	820.00	$-584.81 \cdot \alpha$	0.00
	2.59	570.00	$-6674.20 \cdot \alpha$	0.00
	2.59	830.00	$-2892.31 \cdot \alpha$	0.00
Spinte statiche orizzontali	12.59	570.00	544.71	0.00
Forze dei cordoli ortogonali	12.59	820.00	10377.78	0.00

Parametri dell'oscillatore equivalente

α_0	M* [daNm]	e*	FC	a* ₀ [cm/sec ²]
0.59	29.70	0.78	1.35	552.96

Stato limite di danno (SLD)

a* ₀ [cm/sec ²]	a _g [cm/sec ²]	S	s	Esito
552.96	37.26	1.50	9.89	V

Stato limite di salvaguardia della vita (SLV)

a* ₀ [cm/sec ²]	a _g [cm/sec ²]	q	S	s	Esito
552.96	87.27	2.00	1.50	8.45	V

ALLEGATO D - (Scheda Sintetica NTC).**DESCRIZIONE GENERALE DELL'OPERA**

Oggetto : PROGETTO PER IL MIGLIORAMENTO DEL PAESAGGIO CULTURALE URBANO DELLE TRE CITTADELLE ATTRAVERSO IL RESTAURO DELLE 24 FONTANE E L'ADEGUAMENTO SISMICO DI UN EDIFICIO COMUNALE DA DESTINARE A CENTRO DI MICRO RACCOLTA DELLE FRAZIONI DIFFERENZIATE DEI R.U.S.

CRITERI GENERALI DI VERIFICA E RIFERIMENTI NORMATIVI

Normativa : D.M. 17/01/2018 "Norme Tecniche per le Costruzioni"
 Struttura : Esistente
 Vita nominale : 50
 Tipo di opera : Opere ordinarie
 Classe d'uso : II
 Vita di riferimento : 50
 Approccio Verifiche GEO : Approccio 2

Analisi dei Carichi

Peso dei materiali strutturali:

a - Calcestruzzo

Cls1 - Peso Specifico 2500.00 daN/m³

b - Acciaio per carpenteria.

Acciaio1 - Peso Specifico 7850.00 daN/m³

c - Legno.

Legno1 - Peso Specifico 380.00 daN/m³

d - Muratura

Muratura1 - Peso Specifico 2000.00 daN/m³

Pesi propri unitari - G1:

Impalcato	Solai [daN/m ²]	Balconi [daN/m ²]	Scale [daN/m ²]
Fondazioni	-	-	-
Primo piano	114	114	400
Sottotetto	114	-	400
Copertura quota inf.	114	-	-
Copertura quota sup.	114	-	-

- Analisi dei Carichi -

Primo piano

Solai

Tipologia solaio prevalente: LEG_Legno(TRAVI IN LEGNO & TAVOLATO)

Altezza massetto	50 mm
Spessore tavolato	25 mm
Interasse travi	600 mm
Larghezza trave	160 mm
Altezza trave	240 mm
Peso dell'unità di volume massetto	1600 daN/m ³
Peso dell'unità di volume tavolato	380 daN/m ³
Peso dell'unità di volume travi	380 daN/m ³

Peso Proprio Solaio: 114 daN/m²

Tipologie solaio presenti:

- PET_IPE200(PUTRELLE & TAVELLONI)

Altezza massetto	40 mm
Altezza tavelloni	60 mm
Interasse putrelle	900 mm
Profilo acciaio	IPE200
Peso tavelloni per unità di superficie	32.0 mm
Peso proprio riempimento	2000.0 daN/m ²

Peso Proprio Solaio: 417 daN/m²

Balconi

Tipologia balcone prevalente: LEG_Legno(TRAVI IN LEGNO & TAVOLATO)

Altezza massetto	50 mm
Spessore tavolato	25 mm
Interasse travi	600 mm
Larghezza trave	160 mm
Altezza trave	240 mm
Peso dell'unità di volume massetto	1600 daN/m ³
Peso dell'unità di volume tavolato	380 daN/m ³
Peso dell'unità di volume travi	380 daN/m ³

Peso Proprio Solaio: 114 daN/m²

Tipologie balconi presenti:

- PET_Balcone(PUTRELLE & TAVELLONI)

Altezza massetto	40 mm
Altezza tavelloni	0 mm
Interasse putrelle	500 mm
Profilo acciaio	IPE140
Peso tavelloni per unità di superficie	0.0 mm
Peso proprio riempimento	2000.0 daN/m ²

Peso Proprio Solaio: 386 daN/m²

Tipologia scala prevalente: Il carico permanente G1 deriva dall'analisi della tipologia di scala adottata in fase di progettazione e descritta nei relativi elaborati.

Sottotetto

Solai

Tipologia solaio prevalente: LEG_Legno(TRAVI IN LEGNO & TAVOLATO)

Altezza massetto	50 mm
Spessore tavolato	25 mm
Interasse travi	600 mm
Larghezza trave	160 mm
Altezza trave	240 mm
Peso dell'unità di volume massetto	1600 daN/m ³
Peso dell'unità di volume tavolato	380 daN/m ³
Peso dell'unità di volume travi	380 daN/m ³

Peso Proprio Solaio: 114 daN/m²

Tipologie solaio presenti:

- PET_IPE220(PUTRELLE & TAVELLONI)

Altezza massetto	40 mm
Altezza tavelloni	60 mm
Interasse putrelle	900 mm
Profilo acciaio	IPE220
Peso tavelloni per unità di superficie	32.0 mm
Peso proprio riempimento	2000.0 daN/m ²

Peso Proprio Solaio: 461 daN/m²

- PET_IPE200(PUTRELLE & TAVELLONI)

Altezza massetto	40 mm
Altezza tavelloni	60 mm
Interasse putrelle	900 mm
Profilo acciaio	IPE200
Peso tavelloni per unità di superficie	32.0 mm
Peso proprio riempimento	2000.0 daN/m ²

Peso Proprio Solaio: 417 daN/m²

Tipologia scala prevalente: Il carico permanente G1 deriva dall'analisi della tipologia di scala adottata in fase di progettazione e descritta nei relativi elaborati.

Copertura quota inf.

Solai

Tipologia solaio prevalente: LEG_Legno(TRAVI IN LEGNO & TAVOLATO)

Altezza massetto	50 mm
Spessore tavolato	25 mm
Interasse travi	600 mm
Larghezza trave	160 mm
Altezza trave	240 mm
Peso dell'unità di volume massetto	1600 daN/m ³
Peso dell'unità di volume tavolato	380 daN/m ³
Peso dell'unità di volume travi	380 daN/m ³

Peso Proprio Solaio: 114 daN/m²

Tipologie solaio presenti:

- LEG_Copertura(TRAVI IN LEGNO & TAVOLATO)

Altezza massetto	0 mm
------------------	------

Spessore tavolato	25 mm
Interasse travi	600 mm
Larghezza trave	160 mm
Altezza trave	240 mm
Peso dell'unità di volume massetto	0 daN/m ³
Peso dell'unità di volume tavolato	380 daN/m ³
Peso dell'unità di volume travi	380 daN/m ³

Peso Proprio Solaio: 34 daN/m²

Copertura quota sup.

Solai

Tipologia solaio prevalente: LEG_Legno(TRAVI IN LEGNO & TAVOLATO)

Altezza massetto	50 mm
Spessore tavolato	25 mm
Interasse travi	600 mm
Larghezza trave	160 mm
Altezza trave	240 mm
Peso dell'unità di volume massetto	1600 daN/m ³
Peso dell'unità di volume tavolato	380 daN/m ³
Peso dell'unità di volume travi	380 daN/m ³

Peso Proprio Solaio: 114 daN/m²

Tipologie solaio presenti:

- LEG_Copertura(TRAVI IN LEGNO & TAVOLATO)

Altezza massetto	0 mm
Spessore tavolato	25 mm
Interasse travi	600 mm
Larghezza trave	160 mm
Altezza trave	240 mm
Peso dell'unità di volume massetto	0 daN/m ³
Peso dell'unità di volume tavolato	380 daN/m ³
Peso dell'unità di volume travi	380 daN/m ³

Peso Proprio Solaio: 34 daN/m²

Carichi Permanenti - G2:

Impalcato	Solai [daN/m ²]	Balconi [daN/m ²]	Scale [daN/m ²]	Influenza Tramezzi [daN/m ²]	Tamponature [daN/m ²]
Fondazioni	100	100	100	100	582
Primo piano	100	100	100	100	582
Sottotetto	100	100	100	100	582
Copertura quota inf.	100	100	100	0	0
Copertura quota sup.	100	100	100	0	0

- Analisi dei Carichi -

Fondazioni

Influenza Tramezzi

Il peso proprio degli elementi divisorii interni viene ragguagliato ad un carico permanente portato uniformemente distribuito come definito dal punto 3.1.3.1 - Elementi divisorii interni (D.M. 17/01/2018)

Primo piano

Solai

Tipologia solaio prevalente: Il carico permanente non strutturale G2 deriva dall'analisi della tipologia di solaio adottata in fase di progettazione e descritta nei relativi elaborati

Balconi

Tipologia balcone prevalente: Il carico permanente non strutturale G2 deriva dall'analisi della tipologia di balcone adottata in fase di progettazione e descritta nei relativi elaborati

Scale

Tipologia scala prevalente: Il carico permanente non strutturale G2 deriva dall'analisi della tipologia di scala adottata in fase di progettazione e descritta nei relativi elaborati

Influenza Tramezzi

Il peso proprio degli elementi divisorii interni viene ragguagliato ad un carico permanente portato uniformemente distribuito come definito dal punto 3.1.3.1 - Elementi divisorii interni (D.M. 17/01/2018)

Sottotetto

Solai

Tipologia solaio prevalente: Il carico permanente non strutturale G2 deriva dall'analisi della tipologia di solaio adottata in fase di progettazione e descritta nei relativi elaborati

Scale

Tipologia scala prevalente: Il carico permanente non strutturale G2 deriva dall'analisi della tipologia di scala adottata in fase di progettazione e descritta nei relativi elaborati

Influenza Tramezzi

Il peso proprio degli elementi divisorii interni viene ragguagliato ad un carico permanente portato uniformemente distribuito come definito dal punto 3.1.3.1 - Elementi divisorii interni (D.M. 17/01/2018)

Copertura quota inf.

Solai

Tipologia solaio prevalente: Il carico permanente non strutturale G2 deriva dall'analisi della tipologia di solaio adottata in fase di progettazione e descritta nei relativi elaborati

Copertura quota sup.

Solai

Tipologia solaio prevalente: Il carico permanente non strutturale G2 deriva dall'analisi della tipologia di solaio adottata in fase di progettazione e descritta nei relativi elaborati

Carichi Variabili - Q:

Le intensità assunte per i carichi variabili verticali ripartiti sono riportate nella seguente tabella:

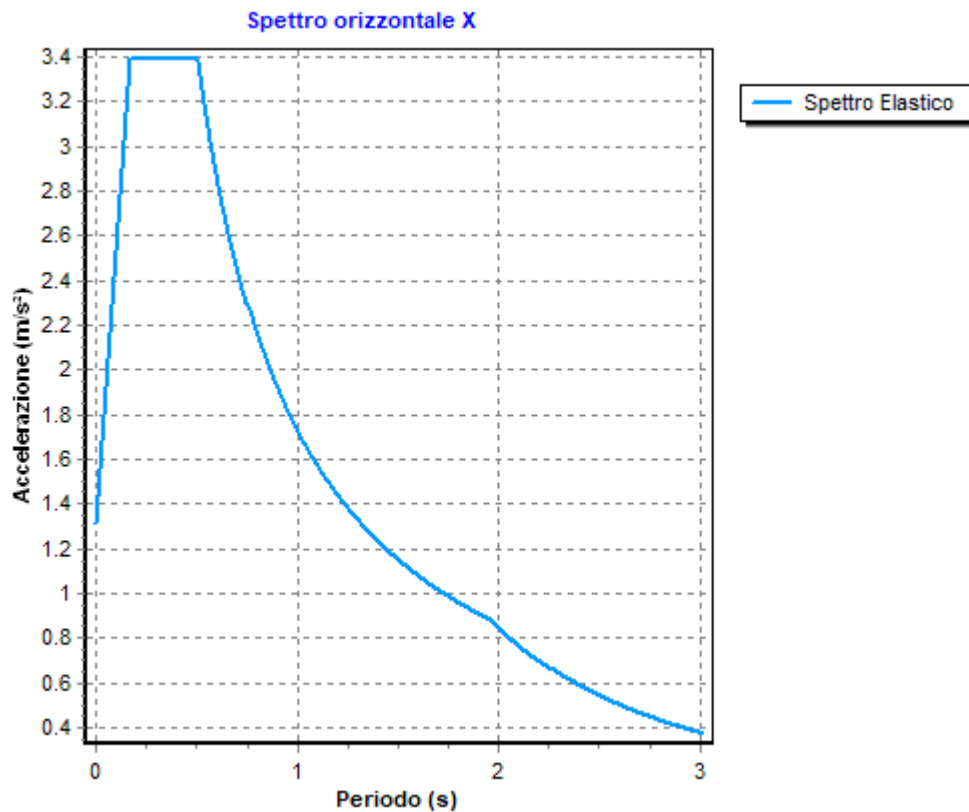
Impalcato	Carichi d'esercizio [daN/m²]		
	Solai	Balconi	Scale
Fondazioni	200	400	400
Primo piano	200	400	400
Sottotetto	200	400	400
Copertura quota inf.	200	400	400
Copertura quota sup.	200	400	400

Azione Sismica

Comune : Via Ruggero Settimo, 90030 Palazzo Adriano Palermo
 Latitudine : 37.6810°
 Longitudine : 13.3805°
 Suolo di fondazione : C
 Categoria topografica : T1
 Coeff. smorz. viscoso : 0.05

	Parametri dello spettro di risposta orizzontale
--	--

	SLV	SLD	SLO
Tempo di ritorno	475	50	30
Accelerazione sismica	0.089	0.038	0.030
Coefficiente F_0	2.590	2.462	2.406
Periodo T_C^*	0.339	0.250	0.207
Coefficiente S_s	1.50	1.50	1.50
Coefficiente di amplificazione topografica S_t	1.00	1.00	1.00
Prodotto $S_s \cdot S_t$	1.50	1.50	1.50
Periodo T_B	0.17	0.14	0.12
Periodo T_C	0.51	0.41	0.37
Periodo T_D	1.96	1.75	1.72
Coefficiente η	1.00	1.00	1.00



VERIFICHE SLD : ESEGUITE

VERIFICHE SLO : NON ESEGUITE

MATERIALI

Materiale	Tipo	Classe	Normativa
Cls1	Calcestruzzo	C25/30	-
Barre1	Acciaio per C.A.	B450C	-
Acciaio1	Acciaio per carpenteria	S235	UNI EN 10025-2
Legno1	Legno - (Regles CB 71)	GL24h	EN 1194
Muratura1	Conci sbozzati	-	-

TIPO DI ANALISI SVOLTA:

ANALISI STATICA NON LINEARE

ORIGINE E CARATTERISTICHE DEI CODICI DI CALCOLO

Titolo : VEM
Autore : Stacec s.r.l.
Produttore : Stacec s.r.l.
Versione : 22.0.18

1 RELAZIONE GEOTECNICA

1.1 DESCRIZIONE DELL'OPERA E DEGLI INTERVENTI.

Nella presente relazione vengono riportati i risultati delle elaborazioni a carattere geotecnico eseguite per le opere di fondazione da realizzare nell'ambito dei lavori di:

PROGETTO PER IL MIGLIORAMENTO DEL PAESAGGIO CULTURALE URBANO DELLE TRE CITTADELLE ATTRAVERSO IL RESTAURO DELLE 24 FONTANE E L'ADEGUAMENTO SISMICO DI UN EDIFICIO COMUNALE DA DESTINARE A CENTRO DI MICRO RACCOLTA DELLE FRAZIONI DIFFERENZIATE DEI R.U.S.

I risultati delle indagini effettuate, degli studi eseguiti e delle valutazioni geotecniche operate, parte integrante degli elaborati progettuali relativi ai lavori in oggetto, faranno riferimento per le caratteristiche geotecniche dei terreni di fondazione ai dati riportati nella Relazione geologico-tecnica redatta dal dott. geol. Giorgio Milazzo

TIPOLOGIA FONDAZIONI:

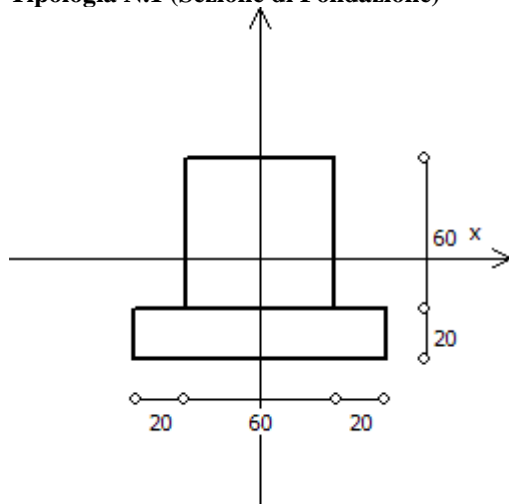
Fondazioni superficiali, quindi del tipo dirette, costituite da un reticolo di travi rovesce.

Descrizione delle tipologie di fondazione utilizzate.

Nell'ambito dei lavori in oggetto si sono utilizzate le seguenti tipologie di fondazione: travi rovesce, le cui dimensioni e la loro ubicazione vengono di seguito meglio descritte.

Descrizione delle tipologie di travi di fondazione utilizzate.

Tipologia N.1 (Sezione di Fondazione)



A = 3600 cm²
J_x = 1080000 cm⁴
J_y = 1080000 cm⁴
J_t = 1611360 cm⁴
Materiale = Cls1
Peso = 900 daN/ml

Caratteristiche delle travi di fondazione con la loro ubicazione in pianta.

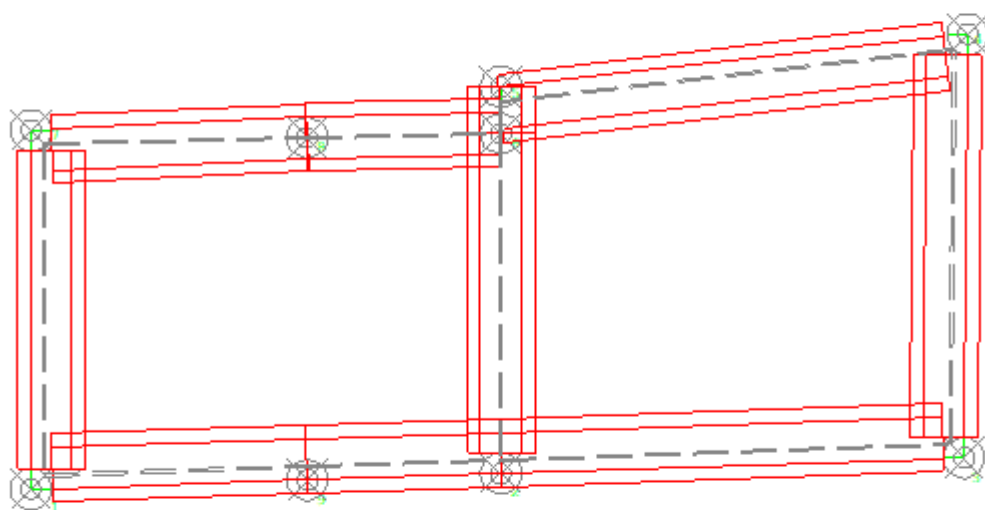
Asta : numerazione dell'asta;

Fili : fili fissi ai quali appartiene l'asta;
 Nodo Iniziale : nodo iniziale dell'asta;
 Nodo Finale : nodo finale dell'asta;
 SEZIONE : sezione trasversale associata all'asta;
 L : lunghezza teorica (nodo-nodo) dell'asta;
 Impalcato : impalcato di appartenenza dell'asta;
 KwN : modulo di Winkler normale;
 KwT : modulo di Winkler tangenziale;

Asta	Fili	Nodo Iniziale	Nodo Finale	SEZIONE	L [cm]	Impalcato	KwN [daN/cm³]	KwT [daN/cm³]
1	7, 1	7	84	1	87.83	Fondazioni	5.00	2.50
2	7, 1	84	85	1	87.83	Fondazioni	5.00	2.50
3	7, 1	85	86	1	87.83	Fondazioni	5.00	2.50
4	7, 1	86	87	1	87.83	Fondazioni	5.00	2.50
5	7, 1	87	88	1	87.83	Fondazioni	5.00	2.50
6	7, 1	88	1	1	87.83	Fondazioni	5.00	2.50
7	1, 9	1	95	1	50.66	Fondazioni	5.00	2.50
8	1, 9	95	43	1	50.66	Fondazioni	5.00	2.50
9	1, 9	43	96	1	60.00	Fondazioni	5.00	2.50
10	1, 9	96	45	1	60.00	Fondazioni	5.00	2.50
11	1, 9	45	97	1	92.45	Fondazioni	5.00	2.50
12	1, 9	97	9	1	92.45	Fondazioni	5.00	2.50
13	2, 3	2	47	1	50.70	Fondazioni	5.00	2.50
14	2, 3	47	51	1	60.00	Fondazioni	5.00	2.50
15	2, 3	51	102	1	60.00	Fondazioni	5.00	2.50
16	2, 3	102	50	1	60.00	Fondazioni	5.00	2.50
17	2, 3	50	103	1	60.00	Fondazioni	5.00	2.50
18	2, 3	103	55	1	60.00	Fondazioni	5.00	2.50
19	2, 3	55	104	1	60.00	Fondazioni	5.00	2.50
20	2, 3	104	54	1	60.00	Fondazioni	5.00	2.50
21	2, 3	54	105	1	60.00	Fondazioni	5.00	2.50
22	2, 3	105	57	1	60.00	Fondazioni	5.00	2.50
23	2, 3	57	3	1	90.69	Fondazioni	5.00	2.50
24	6, 2	6	113	1	88.50	Fondazioni	5.00	2.50
25	6, 2	113	114	1	88.50	Fondazioni	5.00	2.50
26	6, 2	114	115	1	88.50	Fondazioni	5.00	2.50
27	6, 2	115	59	1	88.50	Fondazioni	5.00	2.50
28	6, 2	59	116	1	72.50	Fondazioni	5.00	2.50
29	6, 2	116	2	1	72.50	Fondazioni	5.00	2.50
30	9, 2	9	121	1	52.84	Fondazioni	5.00	2.50
31	9, 2	121	61	1	52.84	Fondazioni	5.00	2.50
32	9, 2	61	122	1	60.00	Fondazioni	5.00	2.50
33	9, 2	122	63	1	60.00	Fondazioni	5.00	2.50
34	9, 2	63	2	1	58.47	Fondazioni	5.00	2.50
35	3, 4	3	129	1	88.86	Fondazioni	5.00	2.50
36	3, 4	129	130	1	88.86	Fondazioni	5.00	2.50
37	3, 4	130	131	1	88.86	Fondazioni	5.00	2.50
38	3, 4	131	132	1	88.86	Fondazioni	5.00	2.50
39	3, 4	132	133	1	88.86	Fondazioni	5.00	2.50
40	3, 4	133	134	1	88.86	Fondazioni	5.00	2.50
41	3, 4	134	4	1	88.86	Fondazioni	5.00	2.50
42	4, 5	4	143	1	98.63	Fondazioni	5.00	2.50
43	4, 5	143	144	1	98.63	Fondazioni	5.00	2.50
44	4, 5	144	145	1	98.63	Fondazioni	5.00	2.50
45	4, 5	145	146	1	98.63	Fondazioni	5.00	2.50
46	4, 5	146	147	1	98.63	Fondazioni	5.00	2.50
47	4, 5	147	148	1	98.63	Fondazioni	5.00	2.50
48	4, 5	148	5	1	98.63	Fondazioni	5.00	2.50
49	5, 6	5	6	1	68.00	Fondazioni	5.00	2.50
50	8, 6	8	153	1	95.02	Fondazioni	5.00	2.50
51	8, 6	153	154	1	95.02	Fondazioni	5.00	2.50
52	8, 6	154	6	1	95.02	Fondazioni	5.00	2.50
53	7, 8	7	161	1	81.03	Fondazioni	5.00	2.50
54	7, 8	161	162	1	81.03	Fondazioni	5.00	2.50
55	7, 8	162	163	1	81.03	Fondazioni	5.00	2.50
56	7, 8	163	164	1	81.03	Fondazioni	5.00	2.50
57	7, 8	164	8	1	81.03	Fondazioni	5.00	2.50

Piante fondazioni.

Fondazioni



1.2 RELAZIONE GEOTECNICA (CAP. 6 delle N.T.C.)

Problemi geotecnici e scelte tipologiche.

La caratterizzazione geotecnica dei terreni di fondazione compresi nel volume significativo, ovvero in quella parte di sottosuolo che viene influenzata direttamente o indirettamente dalle opere in oggetto, viene riportata in dettaglio nella relazione geologico-tecnica allegata.

Vengono di seguito indicati i parametri fondamentali per la valutazione della capacità portante del terreno di fondazione e le scelte tipologiche adottate per il dimensionamento delle opere di fondazione, non avendo riscontrato altre particolari problematiche di tipo geotecnico.

Al fine d'identificare la categoria di sottosuolo, tramite la conoscenza dello spessore e natura dei diversi strati che compongono il terreno sottostante il piano di posa delle fondazioni, per il dimensionamento strutturale e geotecnico delle stesse sono state effettuate delle indagini in sito ubicate nell'area oggetto dell'intervento.

L'area in esame è sostanzialmente pianeggiante, caratterizzata da un fattore di amplificazione topografica pari a T1, pertanto non si osservano variazioni di quota della superficie topografica degne di valutazioni particolari.

Descrizione del programma delle indagini e delle prove geotecniche.

Per definire la stratigrafia di progetto, dei terreni di sedime dei lavori in oggetto e per acquisire i parametri fisico-meccanici dei terreni in esame è stata condotta sull'area interessata dall'intervento di progetto una campagna di indagini.

Il programma delle indagini e delle prove con l'ubicazione delle stesse è stato definito a seguito di un attento sopralluogo dell'area in oggetto e risulta più ampiamente descritto nella relazione geologica allegata.

Caratterizzazione fisico meccanica dei terreni e definizione dei valori caratteristici dei parametri geotecnici.

- Caratteristiche litostratigrafiche

L'analisi dei risultati ottenuti dalle indagini per la caratterizzazione del suolo di fondazione sono meglio indicati nella relazione geologico-tecnica allegata. Per quanto riguarda l'aspetto geologico a seguito il rilevamento di un significativo intorno della zona in esame si è riscontrata la presenza delle seguenti successioni litostratigrafiche nelle relative sezioni geologiche (colonne stratigrafiche):

Filo : filo fisso al quale appartiene la colonna stratigrafica;
 Colonna : nome della colonna stratigrafica;
 Strato : nome dello strato appartenente la colonna stratigrafica;
 Descrizione : descrizione dello strato;

Filo	Colonna	Strato	Descrizione
1	Colonna 1	Argilla	Argilla

- Caratteristiche fisico meccaniche dei terreni di fondazione

Nell'ambito del progetto si è fatto uso delle seguenti colonne stratigrafiche:

Caratteristiche delle colonne stratigrafiche:

Colonna : nome della colonna stratigrafica;
 Filo : filo fisso al quale appartiene la colonna stratigrafica;
 Impalcato : Impalcato al quale appartiene la colonna stratigrafica;
 Falda : Presenza della falda;
 Prof. Falda : Profondità della falda (se è presente);
 Spicc. Fond. : Quota dell'estradosso della fondazione rispetto al piano campagna;
 No. Strati : Numero degli strati della colonna stratigrafica.
 RQD : (Rock Quality Designation) grado di fratturazione dell'ammasso roccioso in [0-1]

Filo	Colonna	Impalcato	Falda	Prof. Falda [cm]	Spicc. Fond. [cm]	No. Strati	RQD
1	Colonna 1	Fondazioni	Non Presente	-	0.00	1	-
2	Colonna 1	Fondazioni	Non Presente	-	0.00	1	-
3	Colonna 1	Fondazioni	Non Presente	-	0.00	1	-
4	Colonna 1	Fondazioni	Non Presente	-	0.00	1	-
5	Colonna 1	Fondazioni	Non Presente	-	0.00	1	-

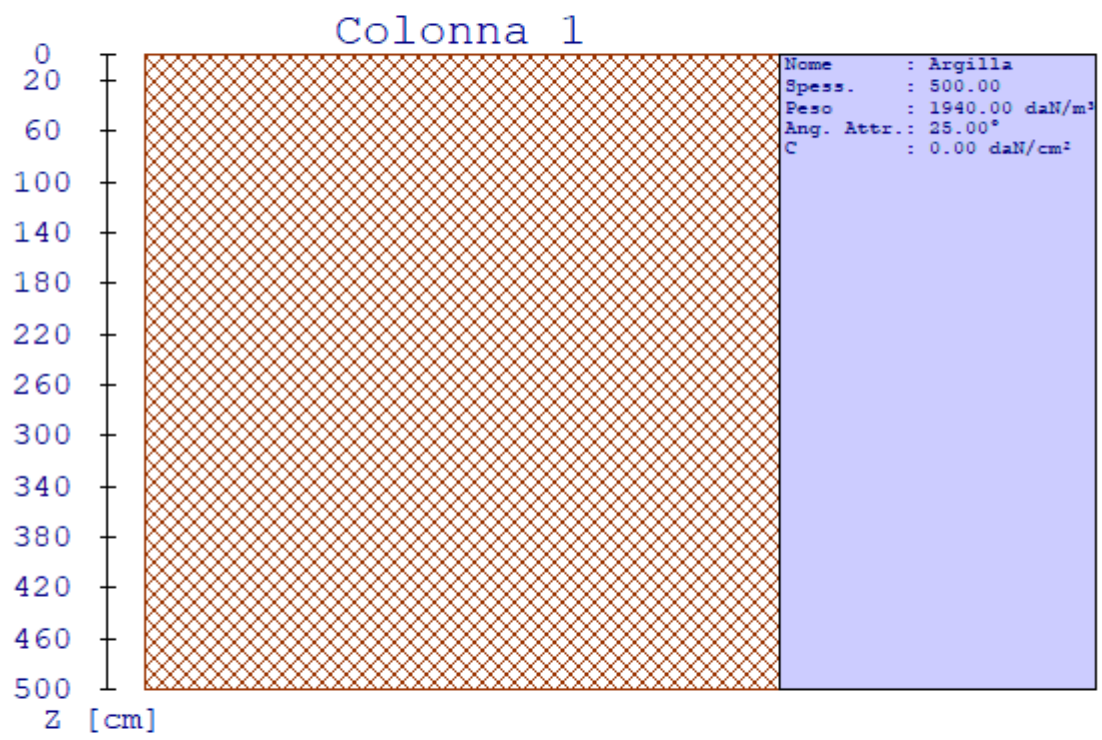
6	Colonna 1	Fondazioni	Non Presente	-	0.00	1	-
7	Colonna 1	Fondazioni	Non Presente	-	0.00	1	-
8	Colonna 1	Fondazioni	Non Presente	-	0.00	1	-
9	Colonna 1	Fondazioni	Non Presente	-	0.00	1	-

Caratteristiche degli strati appartenenti alle colonne stratigrafiche:

Colonna : nome della colonna stratigrafica;
 Strato : nome dello strato appartenente la colonna stratigrafica;
 Spess. : Spessore dello strato;
 Peso : Peso dell'unità di volume dello strato;
 Peso eff. : Peso dell'unità di volume efficace dello strato;
 NSPT : Numero di colpi medio misurato nello strato;
 Qc : Resistenza alla punta media misurata nello strato;
 ϕ : Angolo di attrito del terreno;
 C : Coesione drenata del terreno;
 Cu : Coesione non drenata del terreno;
 E : Modulo elastico del terreno;
 G : Modulo di taglio del terreno;
 ν_t : Coefficiente di Poisson;
 E_{ed} : Modulo Edometrico;
 OCR : Grado di sovraconsolidazione del terreno.

Colonna	Strato	Spess. [cm]	Peso [daN/m ³]	Peso eff. [daN/m ³]	NSPT	Qc [daN/cm ²]	ϕ [°]	C [daN/cm ²]	Cu [daN/cm ²]	E [daN/cm ²]	G [daN/cm ²]	ν_t	E_{ed} [daN/cm ²]	OCR
Colonna 1	Argilla	500.0	1940.0	940.0	-	-	25.0	0.00	0.19	300.00	150.00	0.35	-	1.00

- Sezioni Geologiche:



- Caratterizzazione sismica del suolo di fondazione:

La categoria assunta per il suolo di fondazione per il sito in oggetto è: C

Modelli geotecnici di sottosuolo e metodi di analisi.

L'interazione terreno struttura viene modellata applicando il modello di Winkler, il quale caratterizza il sottosuolo con una relazione lineare fra il cedimento in un punto della superficie limite e la pressione agente nello stesso punto, indipendentemente da altri carichi applicati in punti diversi. Si assume cioè che:

$$p = k_v w$$

dove K_v è detta costante di sottofondo o coefficiente di reazione del terreno e w è l'abbassamento della trave di fondazione tale da comprimere il terreno sottostante.

Il valore di tale coefficiente k adottato nel lavoro in oggetto ($k_v = 5.00 \text{ daN/cm}^3$), con riferimento ai dati geologico-geotecnici forniteci, è stato desunto da valori tabellati riportati in letteratura.

Tale modello viene esteso anche alla componente orizzontale dello spostamento, utilizzando un valore della costante orizzontale pari a $k_o = 2.50 \text{ daN/cm}^3$.

Le travi rovesce di fondazione vengono modellate utilizzando un elemento finito di tipo BEAM vincolato attraverso delle molle traslazionali e rotazionali diffuse atte a simulare l'interazione terreno-fondazione.

In pratica viene aggiunto alla matrice di rigidità elastica dell'asta il contributo delle molle ripartite sulle facce della fondazione. I valori di tali contributi sono calcolate computando i coefficienti funzione delle aree di contatto terreno-fondazione. Tutti i calcoli sono effettuati sulla base di cinematismi unitari.

Questo elemento finito possiede 12 gradi di libertà in quanto i due nodi di estremità hanno 6 gradi di libertà ciascuno: 3 alla traslazione e 3 alla rotazione:

Verifiche della sicurezza e delle prestazioni: identificazione dei relativi stati limite.

Le verifiche della sicurezza in fondazione sono condotte nei riguardi dello stato limite ultimo e dello stato limite di esercizio.

Le verifiche nei riguardi degli stati limite previsti dalla Normativa ed eseguite sono:

STR - raggiungimento della resistenza degli elementi strutturali, compresi gli elementi di fondazione;

GEO - raggiungimento della resistenza del terreno interagente con la struttura con sviluppo di meccanismi di collasso dell'insieme terreno-struttura;

Verifiche STR: le verifiche di resistenza degli elementi strutturali di fondazione sono state eseguite contestualmente alla verifica degli elementi strutturali in elevazione. Le relative verifiche sono riportate nella relazione di calcolo allegata;

Verifiche GEO: le verifiche di resistenza del terreno interagente con la struttura sono condotte confrontando i valori di resistenza con quelli di progetto, secondo l'Approccio 2, come riportato nelle pagine seguenti.

Verifiche GEO: Approcci progettuali e valori di progetto dei parametri geotecnici.

TEORIA DI CALCOLO PER FONDAZIONI SUPERFICIALI.

Il calcolo è stato effettuato seguendo la teoria di Brinch Hansen, la quale tiene conto:

- della forma della fondazione;
- della profondità del piano di posa della fondazione;
- dell'inclinazione del carico sulla fondazione;
- dell'eccentricità del carico;
- dell'inclinazione del piano di posa della fondazione;
- dell'inclinazione del piano di campagna;
- dell'effetto inerziale nella fondazione;
- dell'effetto cinematico del sottosuolo;

Si riportano di seguito le formule considerate nelle varie colonne stratigrafiche assegnate ai fili fissi:

Il carico limite si ottiene dalla seguente espressione:

$$q_{lim} = 0.5 \cdot B' \cdot \gamma_2 \cdot N_{\gamma} \cdot s_{\gamma} \cdot d_{\gamma} \cdot i_{\gamma} \cdot g_{\gamma} \cdot b_{\gamma} \cdot z_{\gamma} \cdot c_{\gamma} \cdot e_{\gamma} + c \cdot N_c \cdot s_c \cdot d_c \cdot i_c \cdot g_c \cdot b_c \cdot z_c + (q + \gamma_1 \cdot D) \cdot N_q \cdot s_q \cdot d_q \cdot i_q \cdot g_q \cdot b_q \cdot z_q$$

Dove: $B' = B - 2 \cdot e_B$

B è il lato minore della fondazione.

e_B è l'eccentricità del carico lungo B .

D è la profondità del piano di posa della fondazione.

γ_1 è il peso del terreno sopra il piano di posa della fondazione.

γ_2 è il peso del terreno sotto il piano di posa della fondazione.

c è la coesione del terreno.

q è il carico uniformemente distribuito ai lati della fondazione.

Fattori di portanza Travi di fondazione. SLU-SLV

Campata : campata alla quale appartengono le aste riportate;

Asta : numerazione interna dell'asta;

Fili : fili fissi ai quali appartiene l'asta considerata;

A1 : verifica della combinazione di carico A1;

Lt : verifica a lungo termine.

Fattori di carico limite														
			A1						A2					
			Lt			Bt			Lt			Bt		
Campata	Asta	Fili	Nc	Nq	N γ	Nc	Nq	N γ	Nc	Nq	N γ	Nc	Nq	N γ
20	1	7-1	20.72	10.66	6.76	-	-	-	-	-	-	-	-	-
21	7	1-9	20.72	10.66	6.76	-	-	-	-	-	-	-	-	-
22	13	2-3	20.72	10.66	6.76	-	-	-	-	-	-	-	-	-
23	24	6-2	20.72	10.66	6.76	-	-	-	-	-	-	-	-	-
24	30	9-2	20.72	10.66	6.76	-	-	-	-	-	-	-	-	-
25	35	3-4	20.72	10.66	6.76	-	-	-	-	-	-	-	-	-
26	42	4-5	20.72	10.66	6.76	-	-	-	-	-	-	-	-	-
27	49	5-6	20.72	10.66	6.76	-	-	-	-	-	-	-	-	-
28	50	8-6	20.72	10.66	6.76	-	-	-	-	-	-	-	-	-
29	53	7-8	20.72	10.66	6.76	-	-	-	-	-	-	-	-	-

Fattori di forma														
			A1						A2					
			Lt			Bt			Lt			Bt		
Campata	Asta	Fili	Sc	Sq	S γ	Sc	Sq	S γ	Sc	Sq	S γ	Sc	Sq	S γ
20	1	7-1	1.11	1.10	0.91	-	-	-	-	-	-	-	-	-
21	7	1-9	1.14	1.12	0.89	-	-	-	-	-	-	-	-	-
22	13	2-3	1.08	1.07	0.94	-	-	-	-	-	-	-	-	-
23	24	6-2	1.11	1.10	0.91	-	-	-	-	-	-	-	-	-
24	30	9-2	1.18	1.16	0.86	-	-	-	-	-	-	-	-	-
25	35	3-4	1.09	1.08	0.93	-	-	-	-	-	-	-	-	-
26	42	4-5	1.08	1.07	0.94	-	-	-	-	-	-	-	-	-
27	49	5-6	1.36	1.33	0.72	-	-	-	-	-	-	-	-	-
28	50	8-6	1.18	1.16	0.86	-	-	-	-	-	-	-	-	-
29	53	7-8	1.14	1.12	0.89	-	-	-	-	-	-	-	-	-

Fattori di profondità														
			A1						A2					
			Lt			Bt			Lt			Bt		
Campata	Asta	Fili	Dc	Dq	D γ	Dc	Dq	D γ	Dc	Dq	D γ	Dc	Dq	D γ
20	1	7-1	1.32	1.25	1.00	-	-	-	-	-	-	-	-	-
21	7	1-9	1.32	1.25	1.00	-	-	-	-	-	-	-	-	-
22	13	2-3	1.32	1.25	1.00	-	-	-	-	-	-	-	-	-
23	24	6-2	1.32	1.25	1.00	-	-	-	-	-	-	-	-	-
24	30	9-2	1.32	1.25	1.00	-	-	-	-	-	-	-	-	-
25	35	3-4	1.32	1.25	1.00	-	-	-	-	-	-	-	-	-
26	42	4-5	1.32	1.25	1.00	-	-	-	-	-	-	-	-	-
27	49	5-6	1.35	1.27	1.00	-	-	-	-	-	-	-	-	-
28	50	8-6	1.32	1.25	1.00	-	-	-	-	-	-	-	-	-
29	53	7-8	1.32	1.25	1.00	-	-	-	-	-	-	-	-	-

Fattori di inclinazione del piano di posa														
			A1						A2					
			Lt			Bt			Lt			Bt		
Campata	Asta	Fili	Bc	Bq	By	Bc	Bq	By	Bc	Bq	By	Bc	Bq	By
20	1	7-1	1.00	1.00	1.00	-	-	-	-	-	-	-	-	-
21	7	1-9	1.00	1.00	1.00	-	-	-	-	-	-	-	-	-
22	13	2-3	1.00	1.00	1.00	-	-	-	-	-	-	-	-	-
23	24	6-2	1.00	1.00	1.00	-	-	-	-	-	-	-	-	-
24	30	9-2	1.00	1.00	1.00	-	-	-	-	-	-	-	-	-
25	35	3-4	1.00	1.00	1.00	-	-	-	-	-	-	-	-	-
26	42	4-5	1.00	1.00	1.00	-	-	-	-	-	-	-	-	-
27	49	5-6	1.00	1.00	1.00	-	-	-	-	-	-	-	-	-
28	50	8-6	1.00	1.00	1.00	-	-	-	-	-	-	-	-	-
29	53	7-8	1.00	1.00	1.00	-	-	-	-	-	-	-	-	-

Fattori di inclinazione del piano campagna														
			A1						A2					
			Lt			Bt			Lt			Bt		
Campata	Asta	Fili	Gc	Gq	Gy	Gc	Gq	Gy	Gc	Gq	Gy	Gc	Gq	Gy
20	1	7-1	1.00	1.00	1.00	-	-	-	-	-	-	-	-	-
21	7	1-9	1.00	1.00	1.00	-	-	-	-	-	-	-	-	-
22	13	2-3	1.00	1.00	1.00	-	-	-	-	-	-	-	-	-
23	24	6-2	1.00	1.00	1.00	-	-	-	-	-	-	-	-	-
24	30	9-2	1.00	1.00	1.00	-	-	-	-	-	-	-	-	-
25	35	3-4	1.00	1.00	1.00	-	-	-	-	-	-	-	-	-
26	42	4-5	1.00	1.00	1.00	-	-	-	-	-	-	-	-	-
27	49	5-6	1.00	1.00	1.00	-	-	-	-	-	-	-	-	-
28	50	8-6	1.00	1.00	1.00	-	-	-	-	-	-	-	-	-
29	53	7-8	1.00	1.00	1.00	-	-	-	-	-	-	-	-	-

Fattori di inclinazione dei carichi														
			A1						A2					
			Lt			Bt			Lt			Bt		
Campata	Asta	Fili	Ic	Iq	Iy	Ic	Iq	Iy	Ic	Iq	Iy	Ic	Iq	Iy
20	1	7-1	1.00	1.00	1.00	-	-	-	-	-	-	-	-	-
21	7	1-9	1.00	1.00	1.00	-	-	-	-	-	-	-	-	-
22	13	2-3	1.00	1.00	1.00	-	-	-	-	-	-	-	-	-
23	24	6-2	1.00	1.00	1.00	-	-	-	-	-	-	-	-	-
24	30	9-2	1.00	1.00	1.00	-	-	-	-	-	-	-	-	-
25	35	3-4	1.00	1.00	1.00	-	-	-	-	-	-	-	-	-
26	42	4-5	1.00	1.00	1.00	-	-	-	-	-	-	-	-	-
27	49	5-6	1.00	1.00	1.00	-	-	-	-	-	-	-	-	-
28	50	8-6	1.00	1.00	1.00	-	-	-	-	-	-	-	-	-
29	53	7-8	1.00	1.00	1.00	-	-	-	-	-	-	-	-	-

Fattori di portanza dell'effetto inerziale (Paolucci Pecker)														
			A1						A2					
			Lt			Bt			Lt			Bt		
Campata	Asta	Fili	Zc	Zq	Zy	Zc	Zq	Zy	Zc	Zq	Zy	Zc	Zq	Zy
20	1	7-1	0.99	0.98	1.00	-	-	-	-	-	-	-	-	-
21	7	1-9	0.99	0.98	1.00	-	-	-	-	-	-	-	-	-
22	13	2-3	0.99	0.98	1.00	-	-	-	-	-	-	-	-	-
23	24	6-2	0.99	0.98	1.00	-	-	-	-	-	-	-	-	-
24	30	9-2	0.99	0.98	1.00	-	-	-	-	-	-	-	-	-
25	35	3-4	0.99	0.98	1.00	-	-	-	-	-	-	-	-	-
26	42	4-5	0.99	0.98	1.00	-	-	-	-	-	-	-	-	-
27	49	5-6	0.99	0.98	1.00	-	-	-	-	-	-	-	-	-
28	50	8-6	0.99	0.98	1.00	-	-	-	-	-	-	-	-	-
29	53	7-8	0.99	0.98	1.00	-	-	-	-	-	-	-	-	-

Fattori di portanza dell'effetto cinematico (Maugeri-Cascone)										
			A1				A2			
			Lt							
Campata	Asta	Fili	eyk	eyi	eyk	eyi	eyk	eyi	eyk	eyi
20	1	7-1	0.86	0.61	-	-	-	-	-	-
21	7	1-9	0.86	0.61	-	-	-	-	-	-
22	13	2-3	0.86	0.61	-	-	-	-	-	-

23	24	6-2	0.86	0.61	-	-	-	-	-	-
24	30	9-2	0.86	0.61	-	-	-	-	-	-
25	35	3-4	0.86	0.61	-	-	-	-	-	-
26	42	4-5	0.86	0.61	-	-	-	-	-	-
27	49	5-6	0.86	0.61	-	-	-	-	-	-
28	50	8-6	0.86	0.61	-	-	-	-	-	-
29	53	7-8	0.86	0.61	-	-	-	-	-	-

Fattori di portanza Travi di fondazione. SLD

Campata : campata alla quale appartengono le aste riportate;

Asta : numerazione interna dell'asta;

Fili : fili fissi ai quali appartiene l'asta considerata;

A1 : verifica della combinazione di carico A1;

Lt : verifica a lungo termine.

Fattori di carico limite														
			A1						A2					
			Lt			Bt			Lt			Bt		
Campata	Asta	Fili	Nc	Nq	Ny	Nc	Nq	Ny	Nc	Nq	Ny	Nc	Nq	Ny
20	1	7-1	20.72	10.66	6.76	-	-	-	-	-	-	-	-	-
21	7	1-9	20.72	10.66	6.76	-	-	-	-	-	-	-	-	-
22	13	2-3	20.72	10.66	6.76	-	-	-	-	-	-	-	-	-
23	24	6-2	20.72	10.66	6.76	-	-	-	-	-	-	-	-	-
24	30	9-2	20.72	10.66	6.76	-	-	-	-	-	-	-	-	-
25	35	3-4	20.72	10.66	6.76	-	-	-	-	-	-	-	-	-
26	42	4-5	20.72	10.66	6.76	-	-	-	-	-	-	-	-	-
27	49	5-6	20.72	10.66	6.76	-	-	-	-	-	-	-	-	-
28	50	8-6	20.72	10.66	6.76	-	-	-	-	-	-	-	-	-
29	53	7-8	20.72	10.66	6.76	-	-	-	-	-	-	-	-	-

Fattori di forma														
			A1						A2					
			Lt			Bt			Lt			Bt		
Campata	Asta	Fili	Sc	Sq	Sy	Sc	Sq	Sy	Sc	Sq	Sy	Sc	Sq	Sy
20	1	7-1	1.11	1.10	0.91	-	-	-	-	-	-	-	-	-
21	7	1-9	1.14	1.12	0.89	-	-	-	-	-	-	-	-	-
22	13	2-3	1.08	1.07	0.94	-	-	-	-	-	-	-	-	-
23	24	6-2	1.11	1.10	0.91	-	-	-	-	-	-	-	-	-
24	30	9-2	1.18	1.16	0.86	-	-	-	-	-	-	-	-	-
25	35	3-4	1.09	1.08	0.93	-	-	-	-	-	-	-	-	-
26	42	4-5	1.08	1.07	0.94	-	-	-	-	-	-	-	-	-
27	49	5-6	1.36	1.33	0.72	-	-	-	-	-	-	-	-	-
28	50	8-6	1.18	1.16	0.86	-	-	-	-	-	-	-	-	-
29	53	7-8	1.14	1.12	0.89	-	-	-	-	-	-	-	-	-

Fattori di profondità														
			A1						A2					
			Lt			Bt			Lt			Bt		
Campata	Asta	Fili	Dc	Dq	Dy	Dc	Dq	Dy	Dc	Dq	Dy	Dc	Dq	Dy
20	1	7-1	1.32	1.25	1.00	-	-	-	-	-	-	-	-	-
21	7	1-9	1.32	1.25	1.00	-	-	-	-	-	-	-	-	-
22	13	2-3	1.32	1.25	1.00	-	-	-	-	-	-	-	-	-
23	24	6-2	1.32	1.25	1.00	-	-	-	-	-	-	-	-	-
24	30	9-2	1.32	1.25	1.00	-	-	-	-	-	-	-	-	-
25	35	3-4	1.32	1.25	1.00	-	-	-	-	-	-	-	-	-
26	42	4-5	1.32	1.25	1.00	-	-	-	-	-	-	-	-	-
27	49	5-6	1.35	1.27	1.00	-	-	-	-	-	-	-	-	-
28	50	8-6	1.32	1.25	1.00	-	-	-	-	-	-	-	-	-
29	53	7-8	1.32	1.25	1.00	-	-	-	-	-	-	-	-	-

Fattori di inclinazione del piano di posa														
			A1						A2					
			Lt			Bt			Lt			Bt		
Campata	Asta	Fili	Bc	Bq	By	Bc	Bq	By	Bc	Bq	By	Bc	Bq	By
20	1	7-1	1.00	1.00	1.00	-	-	-	-	-	-	-	-	-
21	7	1-9	1.00	1.00	1.00	-	-	-	-	-	-	-	-	-

22	13	2-3	1.00	1.00	1.00	-	-	-	-	-	-	-	-	-
23	24	6-2	1.00	1.00	1.00	-	-	-	-	-	-	-	-	-
24	30	9-2	1.00	1.00	1.00	-	-	-	-	-	-	-	-	-
25	35	3-4	1.00	1.00	1.00	-	-	-	-	-	-	-	-	-
26	42	4-5	1.00	1.00	1.00	-	-	-	-	-	-	-	-	-
27	49	5-6	1.00	1.00	1.00	-	-	-	-	-	-	-	-	-
28	50	8-6	1.00	1.00	1.00	-	-	-	-	-	-	-	-	-
29	53	7-8	1.00	1.00	1.00	-	-	-	-	-	-	-	-	-

Fattori di inclinazione del piano campagna														
			A1						A2					
			Lt			Bt			Lt			Bt		
Campata	Asta	Fili	Gc	Gq	Gy	Gc	Gq	Gy	Gc	Gq	Gy	Gc	Gq	Gy
20	1	7-1	1.00	1.00	1.00	-	-	-	-	-	-	-	-	-
21	7	1-9	1.00	1.00	1.00	-	-	-	-	-	-	-	-	-
22	13	2-3	1.00	1.00	1.00	-	-	-	-	-	-	-	-	-
23	24	6-2	1.00	1.00	1.00	-	-	-	-	-	-	-	-	-
24	30	9-2	1.00	1.00	1.00	-	-	-	-	-	-	-	-	-
25	35	3-4	1.00	1.00	1.00	-	-	-	-	-	-	-	-	-
26	42	4-5	1.00	1.00	1.00	-	-	-	-	-	-	-	-	-
27	49	5-6	1.00	1.00	1.00	-	-	-	-	-	-	-	-	-
28	50	8-6	1.00	1.00	1.00	-	-	-	-	-	-	-	-	-
29	53	7-8	1.00	1.00	1.00	-	-	-	-	-	-	-	-	-

Fattori di inclinazione dei carichi														
			A1						A2					
			Lt			Bt			Lt			Bt		
Campata	Asta	Fili	Ic	Iq	Iy	Ic	Iq	Iy	Ic	Iq	Iy	Ic	Iq	Iy
20	1	7-1	1.00	1.00	1.00	-	-	-	-	-	-	-	-	-
21	7	1-9	1.00	1.00	1.00	-	-	-	-	-	-	-	-	-
22	13	2-3	1.00	1.00	1.00	-	-	-	-	-	-	-	-	-
23	24	6-2	1.00	1.00	1.00	-	-	-	-	-	-	-	-	-
24	30	9-2	1.00	1.00	1.00	-	-	-	-	-	-	-	-	-
25	35	3-4	1.00	1.00	1.00	-	-	-	-	-	-	-	-	-
26	42	4-5	1.00	1.00	1.00	-	-	-	-	-	-	-	-	-
27	49	5-6	1.00	1.00	1.00	-	-	-	-	-	-	-	-	-
28	50	8-6	1.00	1.00	1.00	-	-	-	-	-	-	-	-	-
29	53	7-8	1.00	1.00	1.00	-	-	-	-	-	-	-	-	-

Fattori di portanza dell'effetto inerziale (Paolucci Pecker)														
			A1						A2					
			Lt			Bt			Lt			Bt		
Campata	Asta	Fili	Zc	Zq	Zy	Zc	Zq	Zy	Zc	Zq	Zy	Zc	Zq	Zy
20	1	7-1	0.99	0.98	1.00	-	-	-	-	-	-	-	-	-
21	7	1-9	0.99	0.98	1.00	-	-	-	-	-	-	-	-	-
22	13	2-3	0.99	0.98	1.00	-	-	-	-	-	-	-	-	-
23	24	6-2	0.99	0.98	1.00	-	-	-	-	-	-	-	-	-
24	30	9-2	0.99	0.98	1.00	-	-	-	-	-	-	-	-	-
25	35	3-4	0.99	0.98	1.00	-	-	-	-	-	-	-	-	-
26	42	4-5	0.99	0.98	1.00	-	-	-	-	-	-	-	-	-
27	49	5-6	0.99	0.98	1.00	-	-	-	-	-	-	-	-	-
28	50	8-6	0.99	0.98	1.00	-	-	-	-	-	-	-	-	-
29	53	7-8	0.99	0.98	1.00	-	-	-	-	-	-	-	-	-

Fattori di portanza dell'effetto cinematico (Maugeri-Cascone)											
			A1				A2				
			Lt								
Campata	Asta	Fili	eyk	eyi	eyk	eyi	eyk	eyi	eyk	eyi	
20	1	7-1	0.86	0.61	-	-	-	-	-	-	
21	7	1-9	0.86	0.61	-	-	-	-	-	-	
22	13	2-3	0.86	0.61	-	-	-	-	-	-	
23	24	6-2	0.86	0.61	-	-	-	-	-	-	
24	30	9-2	0.86	0.61	-	-	-	-	-	-	
25	35	3-4	0.86	0.61	-	-	-	-	-	-	
26	42	4-5	0.86	0.61	-	-	-	-	-	-	
27	49	5-6	0.86	0.61	-	-	-	-	-	-	
28	50	8-6	0.86	0.61	-	-	-	-	-	-	
29	53	7-8	0.86	0.61	-	-	-	-	-	-	

VERIFICA CAPACITA' PORTANTE.

La verifica del sistema di fondazione relativo alla struttura in oggetto, è stata effettuata sulla base dei dati geologici e dei parametri geotecnici forniti, seguendo l'approccio di progetto relativo alla normativa di riferimento:

- (punti 6.4.2.1 delle N.T.C. e 6.4.3 per fondazioni su pali)

$A1 + M1 + R3$

dove:

- Coefficienti parziali per le azioni

CARICHI	COEFFICIENTE PARZIALE	Comb. A1
PERMANENTI	γ_{G1ns}	1.3
PERMANENTI NON STRUTTURALI	γ_{G2ns}	1.5
VARIABILI	γ_{Qi}	1.5

- Coefficienti per i parametri geotecnici del terreno

PARAMETRO	GRANDEZZA ALLA QUALE APPL. IL COEFF. PARZIALE	Comb. M1
Tangente dell'angolo di attrito	$\tan\phi$	1.0
Coesione drenata del terreno	C	1.0
Coesione non drenata del terreno	C_u	1.0
Peso dell'unità di volume	γ	1.0

- Coefficienti parziali γ_R per le verifiche agli stati ultimi di fondazioni superficiali

VERIFICA	COEFFICIENTE PARZIALE R3
Capacità portante	$\gamma_R = 2.3$

Le verifiche vengono riassunte nelle successive tabelle.

Travi di fondazione. SLU-SLV

Campata : campata alla quale appartengono le aste riportate;

Asta : numerazione interna dell'asta;

Fili : fili fissi ai quali appartiene l'asta considerata;

A1 - Bt : verifica della combinazione di carico A1 a breve termine;

A1 - Lt : verifica della combinazione di carico A1 a lungo termine;

B : larghezza piano di appoggio;

D : profondità del piano di posa;

X : ascissa di verifica;

qlimd : carico limite di calcolo;

σ_t : tensione di calcolo;

S : Coefficiente di sicurezza;

Esito : V = Verificato; NV = Non Verificato

Campata	Asta	Fili	Combinazione A1 - Lt						
			B [cm]	D [cm]	X [cm]	qlimd [daN/cm ²]	σ_t [daN/cm ²]	S	Esito
20	1	7-1	100.00	80.00	0.00	1.57	1.33	1.18	V
21	7	1-9	100.00	80.00	366.43	1.60	1.28	1.25	V
22	13	2-3	100.00	80.00	96.08	1.54	1.24	1.24	V
23	24	6-2	100.00	80.00	0.00	1.57	1.41	1.11	V
24	30	9-2	100.00	80.00	0.00	1.64	1.28	1.28	V
25	35	3-4	100.00	80.00	551.51	1.55	1.47	1.05	V
26	42	4-5	100.00	80.00	0.00	1.54	1.48	1.04	V
27	49	5-6	100.00	80.00	0.00	1.81	1.41	1.28	V
28	50	8-6	100.00	80.00	273.19	1.64	1.41	1.16	V
29	53	7-8	100.00	80.00	374.17	1.60	1.34	1.19	V

Travi di fondazione. SLD

Campata : campata alla quale appartengono le aste riportate;

Asta : numerazione interna dell'asta;

Fili : fili fissi ai quali appartiene l'asta considerata;

A1 - Bt : verifica della combinazione di carico A1 a breve termine;

A1 - Lt : verifica della combinazione di carico A1 a lungo termine;

B : larghezza piano di appoggio;

D : profondità del piano di posa;

X : ascissa di verifica;

qlimd : carico limite di calcolo;

σ_t : tensione di calcolo;

S : Coefficiente di sicurezza;

Esito : V = Verificato; NV = Non Verificato

Campata	Asta	Fili	Combinazione A1 - Lt						
			B [cm]	D [cm]	X [cm]	qlimd [daN/cm ²]	σ_t [daN/cm ²]	S	Esito
20	1	7-1	100.00	80.00	0.00	1.57	1.05	1.50	V
21	7	1-9	100.00	80.00	366.43	1.60	0.95	1.68	V
22	13	2-3	100.00	80.00	643.02	1.54	0.96	1.60	V
23	24	6-2	100.00	80.00	0.00	1.57	1.05	1.50	V
24	30	9-2	100.00	80.00	0.00	1.64	0.95	1.73	V
25	35	3-4	100.00	80.00	561.54	1.55	1.18	1.31	V
26	42	4-5	100.00	80.00	0.00	1.54	1.18	1.31	V
27	49	5-6	100.00	80.00	0.00	1.81	1.07	1.69	V
28	50	8-6	100.00	80.00	249.43	1.64	1.05	1.56	V
29	53	7-8	100.00	80.00	0.00	1.60	1.05	1.52	V

Verifiche nei confronti degli stati limite di esercizio (SLE).

Gli stati limite di esercizio (punto 6.4.2.2 delle N.T.C.) investigati, si riferiscono al raggiungimento di valori critici dei cedimenti differenziali che possono compromettere la funzionalità dell'opera. Il calcolo dei cedimenti è stato eseguito per la combinazione di esercizio , quasi permanente

Travi di fondazione.

Campata : campata alla quale appartengono le aste riportate;

Asta : numerazione interna dell'asta;

Fili : fili fissi ai quali appartiene l'asta considerata;

Comb. : tipo involuppo;

Dist. : distanza tra i punti di massimo cedimento differenziale;

Istant. : cedimento istantaneo;

Consol. : cedimento di consolidamento;

Tot. : cedimento totale;

Diff. : cedimento differenziale;

Lim. : cedimento limite (4‰ x Dist.);

S : Coefficiente di sicurezza;

Esito : V = Verificato; NV = Non Verificato

Campa ta	As ta	Fili	Comb.	Dist. [cm]	Max			Min			Diff. [cm]	Lim. [cm]	S	Esito
					Istant. [cm]	Consol. [cm]	Tot. [cm]	Istant. [cm]	Consol. [cm]	Tot. [cm]				
20	1	7-1	Q. Perm.	527.0	-0.1747	-0.6719	-0.8466	-0.1386	-0.6210	-0.7596	0.0869	2.1080	24.24	V
21	7	1-9	Q. Perm.	406.2	-0.1602	-0.6441	-0.8043	-0.1386	-0.6146	-0.7532	0.0511	1.6249	31.81	V
22	13	2-3	Q. Perm.	681.4	-0.1561	-0.6534	-0.8095	-0.1557	-0.6528	-0.8086	0.0009	2.7256	2973.93	V
23	24	6-2	Q. Perm.	499.0	-0.1883	-0.6914	-0.8798	-0.1557	-0.6453	-0.8011	0.0787	1.9960	25.37	V
24	30	9-2	Q. Perm.	284.2	-0.1602	-0.6324	-0.7926	-0.1557	-0.6266	-0.7823	0.0103	1.1366	110.81	V
25	35	3-4	Q. Perm.	622.0	-0.1992	-0.7111	-0.9103	-0.1561	-0.6492	-0.8053	0.1050	2.4881	23.69	V
26	42	4-5	Q. Perm.	690.4	-0.1992	-0.7151	-0.9143	-0.1893	-0.7006	-0.8899	0.0244	2.7617	113.34	V
27	49	5-6	Q. Perm.	68.0	-0.1893	-0.5680	-0.7573	-0.1883	-0.5672	-0.7556	0.0017	0.2720	159.62	V
28	50	8-6	Q. Perm.	285.1	-0.1883	-0.6687	-0.8571	-0.1773	-0.6545	-0.8319	0.0252	1.1403	45.29	V
29	53	7-8	Q. Perm.	405.1	-0.1773	-0.6675	-0.8449	-0.1747	-0.6638	-0.8385	0.0064	1.6206	254.28	V

Dalle tabelle relative al cedimento differenziale limite delle fondazioni, si evince che i cedimenti differenziali massimi stimati risultano compatibili con la funzionalità dei lavori in oggetto.

2 RELAZIONE SULLE FONDAZIONI

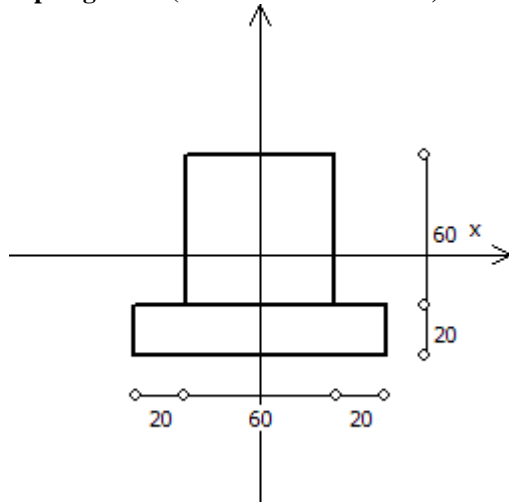
2.1 Strutture di fondazione e del suolo di fondazione.

Descrizione delle tipologie di fondazione utilizzate.

Nell'ambito dei lavori in oggetto si sono utilizzate le seguenti tipologie di fondazione: travi rovesce, le cui dimensioni e la loro ubicazione vengono di seguito meglio descritte.

Descrizione delle tipologie di travi di fondazione utilizzate.

Tipologia N.1 (Sezione di Fondazione)



A	= 3600 cm ²
J _x	= 1080000 cm ⁴
J _y	= 1080000 cm ⁴
J _t	= 1611360 cm ⁴
Materiale	= Cls1
Peso	= 900 daN/ml

Caratteristiche delle travi di fondazione con la loro ubicazione in pianta.

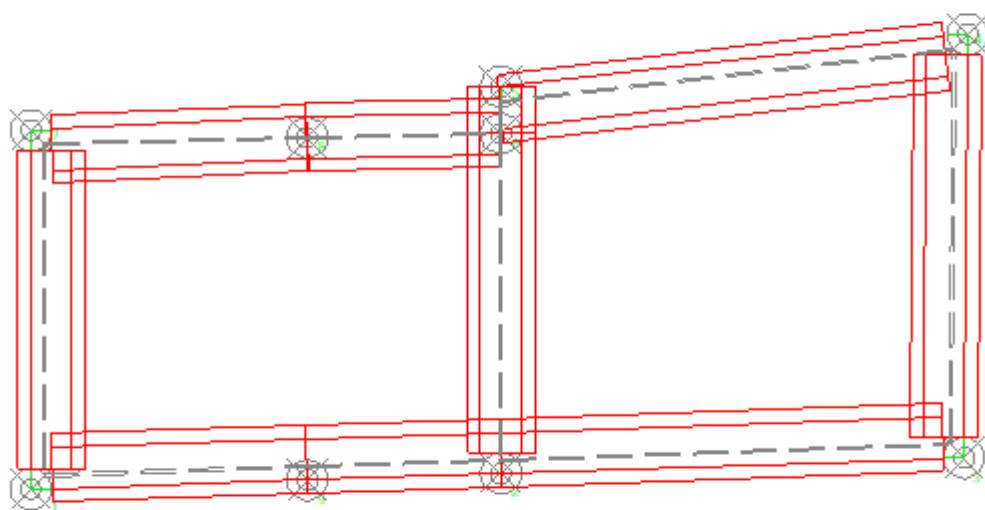
Asta	: numerazione dell'asta;
Fili	: fili fissi ai quali appartiene l'asta;
Nodo Iniziale	: nodo iniziale dell'asta;
Nodo Finale	: nodo finale dell'asta;
SEZIONE	: sezione trasversale associata all'asta;
L	: lunghezza teorica (nodo-nodo) dell'asta;
Impalcato	: impalcato di appartenenza dell'asta;
K _{wN}	: modulo di Winkler normale;
K _{wT}	: modulo di Winkler tangenziale;

Asta	Fili	Nodo Iniziale	Nodo Finale	SEZIONE	L [cm]	Impalcato	K _{wN} [daN/cm ³]	K _{wT} [daN/cm ³]
1	7, 1	7	84	1	87.83	Fondazioni	5.00	2.50
2	7, 1	84	85	1	87.83	Fondazioni	5.00	2.50
3	7, 1	85	86	1	87.83	Fondazioni	5.00	2.50
4	7, 1	86	87	1	87.83	Fondazioni	5.00	2.50
5	7, 1	87	88	1	87.83	Fondazioni	5.00	2.50
6	7, 1	88	1	1	87.83	Fondazioni	5.00	2.50
7	1, 9	1	95	1	50.66	Fondazioni	5.00	2.50
8	1, 9	95	43	1	50.66	Fondazioni	5.00	2.50
9	1, 9	43	96	1	60.00	Fondazioni	5.00	2.50
10	1, 9	96	45	1	60.00	Fondazioni	5.00	2.50
11	1, 9	45	97	1	92.45	Fondazioni	5.00	2.50

12	1, 9	97	9	1	92.45	Fondazioni	5.00	2.50
13	2, 3	2	47	1	50.70	Fondazioni	5.00	2.50
14	2, 3	47	51	1	60.00	Fondazioni	5.00	2.50
15	2, 3	51	102	1	60.00	Fondazioni	5.00	2.50
16	2, 3	102	50	1	60.00	Fondazioni	5.00	2.50
17	2, 3	50	103	1	60.00	Fondazioni	5.00	2.50
18	2, 3	103	55	1	60.00	Fondazioni	5.00	2.50
19	2, 3	55	104	1	60.00	Fondazioni	5.00	2.50
20	2, 3	104	54	1	60.00	Fondazioni	5.00	2.50
21	2, 3	54	105	1	60.00	Fondazioni	5.00	2.50
22	2, 3	105	57	1	60.00	Fondazioni	5.00	2.50
23	2, 3	57	3	1	90.69	Fondazioni	5.00	2.50
24	6, 2	6	113	1	88.50	Fondazioni	5.00	2.50
25	6, 2	113	114	1	88.50	Fondazioni	5.00	2.50
26	6, 2	114	115	1	88.50	Fondazioni	5.00	2.50
27	6, 2	115	59	1	88.50	Fondazioni	5.00	2.50
28	6, 2	59	116	1	72.50	Fondazioni	5.00	2.50
29	6, 2	116	2	1	72.50	Fondazioni	5.00	2.50
30	9, 2	9	121	1	52.84	Fondazioni	5.00	2.50
31	9, 2	121	61	1	52.84	Fondazioni	5.00	2.50
32	9, 2	61	122	1	60.00	Fondazioni	5.00	2.50
33	9, 2	122	63	1	60.00	Fondazioni	5.00	2.50
34	9, 2	63	2	1	58.47	Fondazioni	5.00	2.50
35	3, 4	3	129	1	88.86	Fondazioni	5.00	2.50
36	3, 4	129	130	1	88.86	Fondazioni	5.00	2.50
37	3, 4	130	131	1	88.86	Fondazioni	5.00	2.50
38	3, 4	131	132	1	88.86	Fondazioni	5.00	2.50
39	3, 4	132	133	1	88.86	Fondazioni	5.00	2.50
40	3, 4	133	134	1	88.86	Fondazioni	5.00	2.50
41	3, 4	134	4	1	88.86	Fondazioni	5.00	2.50
42	4, 5	4	143	1	98.63	Fondazioni	5.00	2.50
43	4, 5	143	144	1	98.63	Fondazioni	5.00	2.50
44	4, 5	144	145	1	98.63	Fondazioni	5.00	2.50
45	4, 5	145	146	1	98.63	Fondazioni	5.00	2.50
46	4, 5	146	147	1	98.63	Fondazioni	5.00	2.50
47	4, 5	147	148	1	98.63	Fondazioni	5.00	2.50
48	4, 5	148	5	1	98.63	Fondazioni	5.00	2.50
49	5, 6	5	6	1	68.00	Fondazioni	5.00	2.50
50	8, 6	8	153	1	95.02	Fondazioni	5.00	2.50
51	8, 6	153	154	1	95.02	Fondazioni	5.00	2.50
52	8, 6	154	6	1	95.02	Fondazioni	5.00	2.50
53	7, 8	7	161	1	81.03	Fondazioni	5.00	2.50
54	7, 8	161	162	1	81.03	Fondazioni	5.00	2.50
55	7, 8	162	163	1	81.03	Fondazioni	5.00	2.50
56	7, 8	163	164	1	81.03	Fondazioni	5.00	2.50
57	7, 8	164	8	1	81.03	Fondazioni	5.00	2.50

Piante fondazioni.

Fondazioni



2.2 Tensioni sul Terreno.

I dati seguenti riportano i valori delle tensioni esercitate dalla fondazione sul terreno.

Asta/Piastra : numerazione interna dell'asta/piastra.

X : distanza dal nodo iniziale misurata lungo l'asse dell'asta/piastra.

Comb : combinazione di appartenenza del valore considerato nell'involuppo.

Tensioni (σ_T) : valore della tensione dovuta alla pressione dell'asta/piastra di fondazione:

Tabella 10.I

Tensioni Terreno							
				SLU	SLE		
					Caratteristi che	Frequenti	Quasi Permanenti
Asta	Imp.	Fili	X [cm]	σ_T [daN/cm ²]	σ_T [daN/cm ²]	σ_T [daN/cm ²]	σ_T [daN/cm ²]
1	Fondazioni	7-1	0.00	1.33(2)	0.99(1)	0.89(3)	0.87(1)
			43.92	1.29(2)	0.96(1)	0.86(3)	0.85(1)
			87.83	1.24(2)	0.93(1)	0.84(3)	0.82(1)
2	Fondazioni	7-1	0.00	1.24(2)	0.93(1)	0.84(3)	0.82(1)
			43.92	1.21(2)	0.90(1)	0.81(3)	0.80(1)
			87.83	1.17(2)	0.88(1)	0.79(3)	0.78(1)
3	Fondazioni	7-1	0.00	1.17(2)	0.88(1)	0.79(3)	0.78(1)
			43.92	1.14(2)	0.86(1)	0.77(3)	0.76(1)
			87.83	1.12(2)	0.84(1)	0.75(3)	0.75(1)
4	Fondazioni	7-1	0.00	1.12(2)	0.84(1)	0.75(3)	0.75(1)
			43.92	1.10(2)	0.82(1)	0.74(3)	0.73(1)
			87.83	1.08(2)	0.81(1)	0.72(3)	0.72(1)
5	Fondazioni	7-1	0.00	1.08(2)	0.81(1)	0.72(3)	0.72(1)
			43.92	1.07(2)	0.80(1)	0.71(3)	0.71(1)
			87.83	1.07(2)	0.80(1)	0.71(3)	0.70(1)
6	Fondazioni	7-1	0.00	1.07(2)	0.80(1)	0.71(3)	0.70(1)
			43.92	1.06(2)	0.79(1)	0.70(3)	0.70(1)
			87.83	1.07(2)	0.80(1)	0.70(3)	0.69(1)
7	Fondazioni	1-9	0.00	1.07(2)	0.80(1)	0.70(3)	0.69(1)
			25.33	1.07(2)	0.80(1)	0.71(3)	0.70(1)
			50.66	1.08(2)	0.81(1)	0.71(3)	0.70(1)
8	Fondazioni	1-9	0.00	1.08(2)	0.81(1)	0.71(3)	0.70(1)
			25.33	1.09(2)	0.81(1)	0.71(3)	0.71(1)
			50.66	1.11(2)	0.82(1)	0.72(3)	0.71(1)
9	Fondazioni	1-9	0.00	1.11(2)	0.82(1)	0.72(3)	0.71(1)
			30.00	1.12(2)	0.84(1)	0.73(3)	0.72(1)
			60.00	1.15(2)	0.85(1)	0.74(3)	0.73(1)
10	Fondazioni	1-9	0.00	1.15(2)	0.85(1)	0.74(3)	0.73(1)
			30.00	1.17(2)	0.87(1)	0.75(3)	0.74(1)
			60.00	1.19(2)	0.88(1)	0.76(3)	0.76(1)
11	Fondazioni	1-9	0.00	1.19(3)	0.88(2)	0.76(4)	0.76(1)
			46.22	1.22(3)	0.91(2)	0.78(4)	0.77(1)
			92.45	1.25(3)	0.93(2)	0.79(4)	0.79(1)
12	Fondazioni	1-9	0.00	1.25(3)	0.93(2)	0.79(4)	0.79(1)
			46.22	1.27(3)	0.94(2)	0.80(4)	0.80(1)
			92.45	1.28(3)	0.95(2)	0.81(4)	0.80(1)
13	Fondazioni	2-3	0.00	1.22(3)	0.91(2)	0.78(4)	0.78(1)
			25.35	1.23(3)	0.91(2)	0.78(4)	0.78(1)
			50.70	1.23(3)	0.91(2)	0.79(4)	0.79(1)
14	Fondazioni	2-3	0.00	1.23(3)	0.91(2)	0.79(4)	0.79(1)
			30.00	1.23(3)	0.92(2)	0.79(4)	0.79(1)
			60.00	1.24(3)	0.92(2)	0.79(4)	0.79(1)
15	Fondazioni	2-3	0.00	1.24(3)	0.92(2)	0.79(4)	0.79(1)
			30.00	1.24(3)	0.92(2)	0.80(4)	0.80(1)
			60.00	1.24(3)	0.92(2)	0.80(4)	0.80(1)
16	Fondazioni	2-3	0.00	1.24(2)	0.92(1)	0.80(3)	0.80(1)
			30.00	1.24(2)	0.92(1)	0.80(3)	0.80(1)
			60.00	1.23(2)	0.91(1)	0.79(3)	0.79(1)
17	Fondazioni	2-3	0.00	1.23(2)	0.91(1)	0.79(3)	0.79(1)
			30.00	1.22(2)	0.91(1)	0.79(3)	0.79(1)
			60.00	1.21(2)	0.90(1)	0.79(3)	0.79(1)
18	Fondazioni	2-3	0.00	1.21(2)	0.90(1)	0.79(3)	0.79(1)
			30.00	1.21(2)	0.90(1)	0.78(3)	0.78(1)
			60.00	1.20(2)	0.89(1)	0.78(3)	0.78(1)

19	Fondazioni	2-3	0.00	1.20(2)	0.89(1)	0.78(3)	0.78(1)
			30.00	1.19(2)	0.89(1)	0.78(3)	0.78(1)
			60.00	1.18(2)	0.88(1)	0.78(3)	0.78(1)
20	Fondazioni	2-3	0.00	1.18(2)	0.88(1)	0.78(3)	0.78(1)
			30.00	1.18(2)	0.88(1)	0.77(3)	0.77(1)
			60.00	1.16(2)	0.87(1)	0.77(3)	0.77(1)
21	Fondazioni	2-3	0.00	1.16(2)	0.87(1)	0.77(3)	0.77(1)
			30.00	1.15(2)	0.86(1)	0.77(3)	0.76(1)
			60.00	1.15(2)	0.86(1)	0.76(3)	0.76(1)
22	Fondazioni	2-3	0.00	1.15(2)	0.86(1)	0.76(3)	0.76(1)
			30.00	1.14(2)	0.85(1)	0.76(3)	0.76(1)
			60.00	1.14(2)	0.85(1)	0.77(3)	0.76(1)
23	Fondazioni	2-3	0.00	1.14(2)	0.85(1)	0.77(3)	0.76(1)
			45.35	1.15(2)	0.86(1)	0.78(3)	0.77(1)
			90.69	1.16(2)	0.87(1)	0.79(3)	0.78(1)
24	Fondazioni	6-2	0.00	1.41(3)	1.05(2)	0.95(4)	0.94(1)
			44.25	1.41(3)	1.05(2)	0.95(4)	0.94(1)
			88.50	1.41(3)	1.05(2)	0.94(4)	0.93(1)
25	Fondazioni	6-2	0.00	1.41(3)	1.05(2)	0.94(4)	0.93(1)
			44.25	1.40(3)	1.04(2)	0.94(4)	0.92(1)
			88.50	1.38(3)	1.03(2)	0.92(4)	0.91(1)
26	Fondazioni	6-2	0.00	1.38(3)	1.03(2)	0.92(4)	0.91(1)
			44.25	1.36(3)	1.01(2)	0.90(4)	0.89(1)
			88.50	1.33(3)	0.99(2)	0.88(4)	0.87(1)
27	Fondazioni	6-2	0.00	1.33(3)	0.99(2)	0.88(4)	0.87(1)
			44.25	1.30(3)	0.97(2)	0.86(4)	0.85(1)
			88.50	1.27(3)	0.94(2)	0.83(4)	0.82(1)
28	Fondazioni	6-2	0.00	1.27(3)	0.94(2)	0.83(4)	0.82(1)
			36.25	1.25(3)	0.93(2)	0.81(4)	0.81(1)
			72.50	1.23(3)	0.92(2)	0.80(4)	0.79(1)
29	Fondazioni	6-2	0.00	1.23(3)	0.92(2)	0.80(4)	0.79(1)
			36.25	1.23(3)	0.91(2)	0.79(4)	0.78(1)
			72.50	1.22(3)	0.91(2)	0.78(4)	0.78(1)
30	Fondazioni	9-2	0.00	1.28(3)	0.95(2)	0.81(4)	0.80(1)
			26.42	1.28(3)	0.95(2)	0.81(4)	0.80(1)
			52.84	1.27(3)	0.94(2)	0.80(4)	0.80(1)
31	Fondazioni	9-2	0.00	1.27(3)	0.94(2)	0.80(4)	0.80(1)
			26.42	1.27(3)	0.94(2)	0.80(4)	0.79(1)
			52.84	1.26(3)	0.93(2)	0.79(4)	0.79(1)
32	Fondazioni	9-2	0.00	1.26(3)	0.93(2)	0.79(4)	0.79(1)
			30.00	1.24(3)	0.92(2)	0.79(4)	0.78(1)
			60.00	1.23(3)	0.91(2)	0.78(4)	0.78(1)
33	Fondazioni	9-2	0.00	1.23(3)	0.91(2)	0.78(4)	0.78(1)
			30.00	1.23(3)	0.91(2)	0.78(4)	0.78(1)
			60.00	1.22(3)	0.91(2)	0.78(4)	0.78(1)
34	Fondazioni	9-2	0.00	1.22(3)	0.91(2)	0.78(4)	0.78(1)
			29.24	1.22(3)	0.91(2)	0.78(4)	0.78(1)
			58.47	1.22(3)	0.91(2)	0.78(4)	0.78(1)
35	Fondazioni	3-4	0.00	1.16(2)	0.87(1)	0.79(3)	0.78(1)
			44.43	1.16(2)	0.87(1)	0.79(3)	0.78(1)
			88.86	1.16(2)	0.87(1)	0.79(3)	0.78(1)
36	Fondazioni	3-4	0.00	1.16(2)	0.87(1)	0.79(3)	0.78(1)
			44.43	1.16(2)	0.87(1)	0.79(3)	0.79(1)
			88.86	1.16(2)	0.87(1)	0.80(3)	0.80(1)
37	Fondazioni	3-4	0.00	1.16(2)	0.87(1)	0.80(3)	0.80(1)
			44.43	1.18(2)	0.88(1)	0.81(3)	0.81(1)
			88.86	1.19(2)	0.89(1)	0.82(3)	0.82(1)
38	Fondazioni	3-4	0.00	1.19(2)	0.89(1)	0.82(3)	0.82(1)
			44.43	1.21(2)	0.91(1)	0.84(3)	0.84(1)
			88.86	1.24(2)	0.93(1)	0.85(3)	0.85(1)
39	Fondazioni	3-4	0.00	1.24(2)	0.93(1)	0.85(3)	0.85(1)
			44.43	1.27(2)	0.95(1)	0.87(3)	0.87(1)
			88.86	1.30(2)	0.98(1)	0.90(3)	0.89(1)
40	Fondazioni	3-4	0.00	1.30(2)	0.98(1)	0.90(3)	0.89(1)
			44.43	1.34(2)	1.00(1)	0.92(3)	0.91(1)
			88.86	1.38(2)	1.04(1)	0.95(3)	0.94(1)
41	Fondazioni	3-4	0.00	1.38(2)	1.04(1)	0.95(3)	0.94(1)
			44.43	1.43(2)	1.07(1)	0.98(3)	0.97(1)
			88.86	1.48(2) *	1.11(1) *	1.02(3) *	1.00(1) *
42	Fondazioni	4-5	0.00	1.48(2) *	1.11(1) *	1.02(3) *	1.00(1) *
			49.32	1.45(2)	1.09(1)	1.00(3)	0.98(1)
			98.63	1.43(2)	1.08(1)	0.99(3)	0.98(1)
43	Fondazioni	4-5	0.00	1.43(2)	1.08(1)	0.99(3)	0.98(1)

			49.32	1.42(2)	1.06(1)	0.97(3)	0.97(1)
			98.63	1.41(2)	1.06(1)	0.97(3)	0.97(1)
44	Fondazioni	4-5	0.00	1.41(3)	1.06(2)	0.97(4)	0.97(1)
			49.32	1.41(3)	1.06(2)	0.96(4)	0.96(1)
			98.63	1.42(3)	1.06(2)	0.97(4)	0.96(1)
45	Fondazioni	4-5	0.00	1.42(3)	1.06(2)	0.97(4)	0.96(1)
			49.32	1.42(3)	1.06(2)	0.97(4)	0.96(1)
			98.63	1.42(3)	1.06(2)	0.97(4)	0.96(1)
46	Fondazioni	4-5	0.00	1.42(3)	1.06(2)	0.97(4)	0.96(1)
			49.32	1.42(3)	1.07(2)	0.97(4)	0.96(1)
			98.63	1.42(3)	1.07(2)	0.96(4)	0.96(1)
47	Fondazioni	4-5	0.00	1.42(3)	1.07(2)	0.96(4)	0.96(1)
			49.32	1.42(3)	1.06(2)	0.96(4)	0.95(1)
			98.63	1.42(3)	1.06(2)	0.96(4)	0.95(1)
48	Fondazioni	4-5	0.00	1.42(3)	1.06(2)	0.96(4)	0.95(1)
			49.32	1.41(3)	1.06(2)	0.96(4)	0.95(1)
			98.63	1.41(3)	1.05(2)	0.95(4)	0.95(1)
49	Fondazioni	5-6	0.00	1.41(3)	1.05(2)	0.95(4)	0.95(1)
			34.00	1.41(3)	1.05(2)	0.95(4)	0.94(1)
			68.00	1.41(3)	1.05(2)	0.95(4)	0.94(1)
50	Fondazioni	8-6	0.00	1.34(3)	1.00(2)	0.90(4)	0.89(1)
			47.51	1.34(3)	1.01(2)	0.90(4)	0.89(1)
			95.02	1.36(3)	1.01(2)	0.91(4)	0.90(1)
51	Fondazioni	8-6	0.00	1.36(3)	1.01(2)	0.91(4)	0.90(1)
			47.51	1.37(3)	1.02(2)	0.92(4)	0.91(1)
			95.02	1.38(3)	1.03(2)	0.93(4)	0.92(1)
52	Fondazioni	8-6	0.00	1.38(3)	1.03(2)	0.93(4)	0.92(1)
			47.51	1.39(3)	1.04(2)	0.94(4)	0.93(1)
			95.02	1.41(3)	1.05(2)	0.95(4)	0.94(1)
53	Fondazioni	7-8	0.00	1.33(2)	0.99(1)	0.89(3)	0.87(1)
			40.51	1.32(2)	0.99(1)	0.89(3)	0.87(1)
			81.03	1.31(2)	0.98(1)	0.88(3)	0.87(1)
54	Fondazioni	7-8	0.00	1.31(2)	0.98(1)	0.88(3)	0.87(1)
			40.51	1.30(2)	0.97(1)	0.88(3)	0.87(1)
			81.03	1.30(2)	0.97(1)	0.87(3)	0.87(1)
55	Fondazioni	7-8	0.00	1.30(3)	0.97(2)	0.87(4)	0.87(1)
			40.51	1.30(3)	0.97(2)	0.87(4)	0.87(1)
			81.03	1.30(3)	0.98(2)	0.88(4)	0.87(1)
56	Fondazioni	7-8	0.00	1.30(3)	0.98(2)	0.88(4)	0.87(1)
			40.51	1.31(3)	0.98(2)	0.88(4)	0.88(1)
			81.03	1.32(3)	0.99(2)	0.89(4)	0.88(1)
57	Fondazioni	7-8	0.00	1.32(3)	0.99(2)	0.89(4)	0.88(1)
			40.51	1.33(3)	0.99(2)	0.89(4)	0.88(1)
			81.03	1.34(3)	1.00(2)	0.90(4)	0.89(1)

* valore massimo.

Descrizione del suolo di fondazione.

- Caratteristiche litostratigrafiche

L'analisi dei risultati ottenuti dalle indagini per la caratterizzazione del suolo di fondazione sono meglio indicati nella relazione geologico-tecnica allegata. Per quanto riguarda l'aspetto geologico a seguito il rilevamento di un significativo intorno della zona in esame si è riscontrata la presenza delle seguenti successioni litostratigrafiche nelle relative sezioni geologiche (colonne stratigrafiche):

Filo : filo fisso al quale appartiene la colonna stratigrafica;
 Colonna : nome della colonna stratigrafica;
 Strato : nome dello strato appartenente la colonna stratigrafica;
 Descrizione : descrizione dello strato;

Filo	Colonna	Strato	Descrizione
1	Colonna 1	Argilla	Argilla

- Caratteristiche fisico meccaniche dei terreni di fondazione

Nell'ambito del progetto si è fatto uso delle seguenti colonne stratigrafiche:

Caratteristiche delle colonne stratigrafiche:

Colonna : nome della colonna stratigrafica;
 Filo : filo fisso al quale appartiene la colonna stratigrafica;
 Impalcato : Impalcato al quale appartiene la colonna stratigrafica;
 Falda : Presenza della falda;
 Prof. Falda : Profondità della falda (se è presente);
 Spicc. Fond. : Quota dell'estradosso della fondazione rispetto al piano campagna;
 No. Strati : Numero degli strati della colonna stratigrafica.
 RQD : (Rock Quality Designation) grado di fratturazione dell'ammasso roccioso in [0-1]

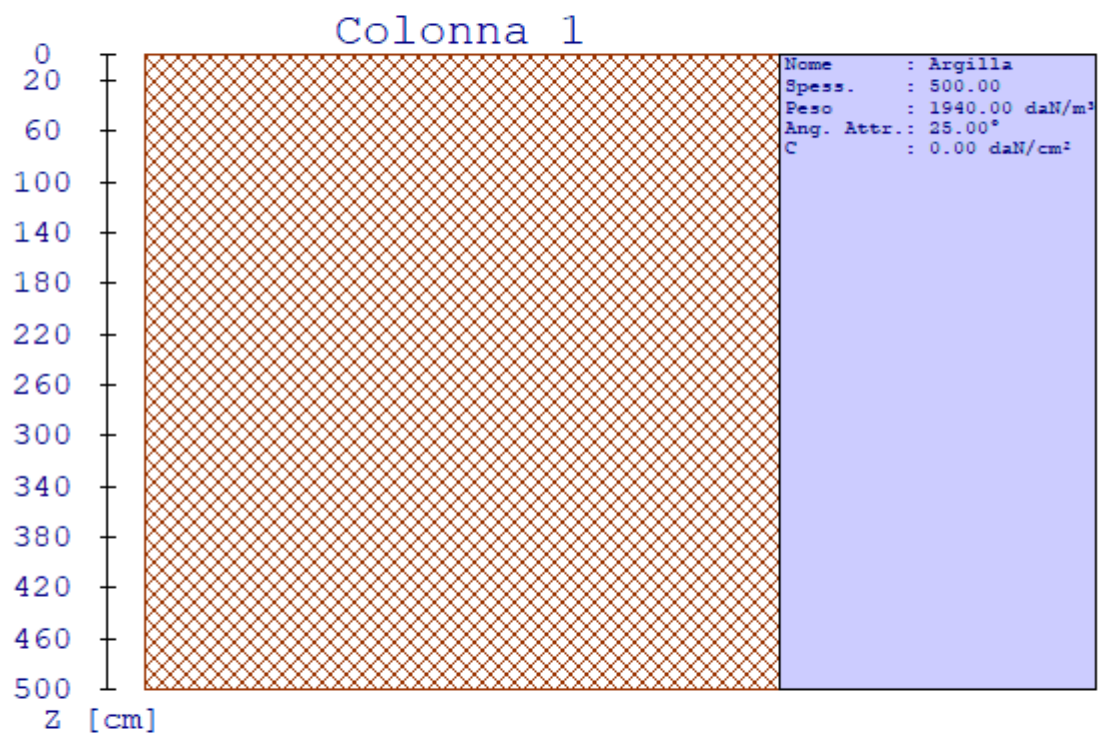
Filo	Colonna	Impalcato	Falda	Prof. Falda [cm]	Spicc. Fond. [cm]	No. Strati	RQD
1	Colonna 1	Fondazioni	Non Presente	-	0.00	1	-
2	Colonna 1	Fondazioni	Non Presente	-	0.00	1	-
3	Colonna 1	Fondazioni	Non Presente	-	0.00	1	-
4	Colonna 1	Fondazioni	Non Presente	-	0.00	1	-
5	Colonna 1	Fondazioni	Non Presente	-	0.00	1	-
6	Colonna 1	Fondazioni	Non Presente	-	0.00	1	-
7	Colonna 1	Fondazioni	Non Presente	-	0.00	1	-
8	Colonna 1	Fondazioni	Non Presente	-	0.00	1	-
9	Colonna 1	Fondazioni	Non Presente	-	0.00	1	-

Caratteristiche degli strati appartenenti alle colonne stratigrafiche:

Colonna : nome della colonna stratigrafica;
 Strato : nome dello strato appartenente la colonna stratigrafica;
 Spess. : Spessore dello strato;
 Peso : Peso dell'unità di volume dello strato;
 Peso eff. : Peso dell'unità di volume efficace dello strato;
 NSPT : Numero di colpi medio misurato nello strato;
 Qc : Resistenza alla punta media misurata nello strato;
 ϕ : Angolo di attrito del terreno;
 C : Coesione drenata del terreno;
 Cu : Coesione non drenata del terreno;
 E : Modulo elastico del terreno;
 G : Modulo di taglio del terreno;
 ν_t : Coefficiente di Poisson;
 E_{ed} : Modulo Edometrico;
 OCR : Grado di sovraconsolidazione del terreno.

Colonna	Strato	Spess. [cm]	Peso [daN/m ³]	Peso eff. [daN/m ³]	NSPT T	Qc [daN/cm ²]	ϕ [°]	C [daN/cm ²]	Cu [daN/cm ²]	E [daN/cm ²]	G [daN/cm ²]	ν_t	E _{ed} [daN/cm ²]	OC R
Colonna 1	Argilla	500.0	1940.0	940.0	-	-	25.0	0.00	0.19	300.00	150.00	0.35	-	1.00

- Sezioni Geologiche:



- Caratterizzazione sismica del suolo di fondazione:

La categoria assunta per il suolo di fondazione per il sito in oggetto è: C

2.3 Relazione sulle fondazioni (D.M. 17/01/2018)

Scelta del tipo di fondazioni.

In funzione dei risultati ottenuti dalla campagna di indagini eseguite e della tipologia strutturale adottata per i lavori in oggetto, si è proceduto alla scelta delle tipologie di fondazione superficiali per distribuire i carichi trasmessi dalla sovrastruttura al terreno di fondazione ripartendoli il più possibile in modo uniforme sul suolo di sedime delle fondazioni stesse. La scelta della profondità del piano di posa ha permesso il superamento del suolo vegetale, della zona soggetta a gelo-disgelo e variazioni stagionali di umidità. La profondità del piano di posa delle fondazioni risulta tale da prevenire fenomeni di erosione o scalzamento.

Le dimensioni strutturali delle opere di fondazione, le tipologie usate e la loro ubicazione risultano descritte nella prima parte della presente relazione e vengono meglio evidenziate negli elaborati grafici allegati.

Le verifiche di sicurezza relative agli stati limite ultimi (SLU) ed agli stati limite d'esercizio (SLE) indagati risultano tali da non limitare l'uso della costruzione, la sua efficienza, la durabilità della struttura garantendo un grado di sicurezza ed un livello di prestazioni nel rispetto della normativa vigente in materia.

Ipotesi assunte ed analisi dei risultati nei riguardi del complesso terreno-opera di fondazione.

Tutte le analisi presentate si riferiscono studio del sottosuolo semplificando la situazione reale con criteri cautelativi, analizzando diverse possibili schematizzazioni ed adottando i risultati meno favorevoli mediante coefficienti parziali per i parametri geotecnici del terreno, coefficienti parziali per le azioni o per l'effetto delle azioni e coefficienti parziali di sicurezza da applicare alle resistenze caratteristiche.

Le analisi delle elaborazioni eseguite permette di evidenziare i seguenti livelli di sicurezza:

Riassunto risultati verifiche:

ELEMENTO	Tipo verifica	S Min	S Max
Travi di fondazione	Capacità portante SLU-SLV	1.04	1.28
	Capacità portante SLD	1.31	1.73
	Cedim. Diff. SLE Q. Perm.	23.69	2973.93

La caratterizzazione geologica da un lato, le caratteristiche dimensionali, strutturali e le configurazioni di carico dall'altro, hanno reso possibile effettuare valutazioni che hanno conto del comportamento complessivo delle strutture e delle interazioni terreno-fondazione.

Si rimanda alla Relazione Geologica-Tecnica redatta dal Dott. Geologo Giorgio Milazzo per prendere visione di ogni altra informazione relativa alla stratigrafia che caratterizza il suolo di fondazione.

I coefficienti di sicurezza per tutte le verifiche di resistenza eseguite sulle strutture di fondazione, sono riportate nella Relazione di Calcolo allegata.

Dalle verifiche eseguite su tutti gli elementi di fondazione risultano livelli di sicurezza accettabili e pertanto i lavori in oggetto si valutano realizzabili.

Per quanto sopra esposto, a seguito delle analisi geomorfologiche e dalle verifiche geotecniche svolte l'intervento in oggetto, nel rispetto delle disposizioni progettuali individuate, si ritiene perfettamente compatibile con le caratteristiche del sottosuolo ed attuabile nel rispetto delle Norme vigenti e delle esigenze della Committenza.

Si prescrive che in corso d'opera si debba riscontrare la rispondenza della caratterizzazione geotecnica assunta in progetto e la situazione reale e che la sistemazione esterna dovrà evitare infiltrazioni di acqua tale da variare le caratteristiche geotecniche del terreno di fondazione.

SOMMARIO

1 Introduzione	2
1.1 Premessa	2
1.1.1 Cenni sulla casa produttrice del software.....	2
1.1.2 Descrizione dell'Opera da calcolare	2
1.2 Riferimenti Legislativi.....	2
1.3 Convenzioni,Unità di misura e simboli adottati.....	3
2 Descrizione del Modello.....	4
2.1 Modello assunto per il calcolo.....	4
2.2 Tipo di calcolo. (ANALISI STATICA NON LINEARE)	6
2.3 Condizioni di carico valutate	7
2.4 Procedura di Verifica degli elementi.....	9
2.4.1 Elementi in C.A.	9
2.4.2 Elementi in Muratura.....	14
3 Dati	16
3.1 Dati Generali	16
3.2 Elenco e Caratteristiche dei materiali.....	18
3.3 Elenco e caratteristiche delle colonne stratigrafiche.	19
3.4 Elenco dei carichi.....	20
3.4.1 Pesi propri unitari - G1.	20
3.4.2 Carichi Permanenti unitari - G2.....	22
3.4.3 Carichi Variabili unitari - Q.....	23
3.4.4 Pesi Impalcati.....	24
3.4.5 Carico del Vento.....	24
3.5 Elenco e Caratteristiche delle sezioni trasversali.....	24
3.6 Elenco dei vincoli interni degli elementi monodimensionali.....	26
3.7 Geometria Struttura.....	27
3.7.1 Fili Fissi.....	27
3.7.2 Caratteristiche dei nodi.....	27
3.7.3 Caratteristiche delle aste.....	39
3.7.4 Caratteristiche delle Pareti in Muratura.....	41
3.7.5 Carichi distribuiti sugli elementi.....	42
3.7.6 Carichi termici sugli elementi.....	60
3.8 Caratteristiche meccaniche della muratura.....	64
3.9 Consolidamenti.....	65
3.9.1 Intonaco Armato.....	65
4 Risultati di Calcolo.....	65
4.1 Tensioni sul Terreno.....	65
4.2 Percentuale di forza sismica assorbita dagli elementi in muratura.....	68
4.3 Risultati del calcolo non lineare.....	68
4.3.1 Stato degli elementi maschio al collasso della struttura.....	68
4.3.2 Spostamenti degli elementi maschio per SLD.....	110
4.3.3 Calcolo della curva di capacità della struttura.....	128
4.3.4 Sistema bi-lineare equivalente.....	161
4.4 Verifiche.....	163
4.4.1 Verifiche calcolo globale della struttura agli SLU.....	163
4.4.2 Verifiche calcolo globale della struttura agli SLD.....	166
4.4.3 Grafici Analisi non Lineare.....	168
4.5 Verifica A	

ste.....	200
4.5.1 Travi di Elevazione.	200
4.5.1.1 Verifiche Travi di Elevazione in C.A.	200
4.5.1.1.1 Verifiche SLV - Flessione Composta	200
4.5.1.1.2 Verifiche SLV - Taglio	200
4.5.1.1.3 Verifiche SLE - Stato Tensionale.	201
4.5.1.1.4 Verifiche SLE - Fessurazione.	202
4.5.2 Verifica armature cordoli.	202
4.5.3 Verifiche Travi di Fondazione in C.A.	203
4.5.3.1 Verifiche SLV - Flessione Composta	204
4.5.3.2 Verifiche SLV - Taglio	205
4.5.3.3 Verifiche SLE - Stato Tensionale.	205
4.5.3.4 Verifiche SLE - Fessurazione.	207
4.6 Verifica Elementi Bidimensionali.	208
4.6.1 Verifica Pareti.	208
4.6.1.1 Verifica Pareti in Muratura.	208
4.6.1.1.1 Verifica Carichi Verticali.	209
4.6.1.1.2 Verifica a Pressoflessione Fuori Piano	213
4.6.1.1.3 Verifica ad Eccentricità.	215
5 ALLEGATI.	221
5.1 ALLEGATO A (Verifica Solai e Balconi)	221
Carichi ripartiti sulle aste.....	227
COMBINAZIONI DI CARICO	227
Carichi ripartiti sulle aste.....	229
COMBINAZIONI DI CARICO	230
Carichi ripartiti sulle aste.....	232
COMBINAZIONI DI CARICO	232
Carichi ripartiti sulle aste.....	235
COMBINAZIONI DI CARICO	235
5.1.2 Verifica Solai in Legno e Tavolato.	236
Carichi ripartiti sulle aste.....	238
COMBINAZIONI DI CARICO	238
Carichi ripartiti sulle aste.....	242
COMBINAZIONI DI CARICO	242
Carichi ripartiti sulle aste.....	246
COMBINAZIONI DI CARICO	246
Carichi ripartiti sulle aste.....	248
COMBINAZIONI DI CARICO	249
5.2 ALLEGATO B - (Verifiche Architravi)	250
ALLEGATO C - (Meccanismi Locali)	263
ALLEGATO D - (Scheda Sintetica NTC).	330
1 RELAZIONE GEOTECNICA	336
1.1 DESCRIZIONE DELL'OPERA E DEGLI INTERVENTI.	336
1.2 RELAZIONE GEOTECNICA (CAP. 6 delle N.T.C.)	340
2 RELAZIONE SULLE FONDAZIONI	351
2.1 Strutture di fondazione e del suolo di fondazione.	351
2.2 Tensioni sul Terreno.	354
2.3 Relazione sulle fondazioni (D.M. 17/01/2018)	359